

EDITURA TEHNICĂ

D. Bolangiu,
Gh. Palzi,
N. Enescu

Elementele elastice ale mașinilor

Lucrarea tratează calculul, proiectarea, utilizarea și tehnologia de execuție a arcurilor de toate tipurile.

Cuprinde: materialele folosite la fabricarea arcurilor, arcurile în foi, arcurile bară de torsiune, arcurile spirale plane, arcurile elicoidale, arcurile inelare, arcurile-disc, arcurile speciale metalice (tuburi Bourdon, membrane, capsule, tuburi gofrate) și nemetalice, arcuri de cauciuc, arcuri pneumatice și amortizoare.

De asemenea, lucrarea se ocupă și de încercarea principalelor tipuri de arcuri mai des întâlnite în construcția de mașini.

Pentru fiecare tip de arc se dau și exemple de calcul.

Se adresează inginerilor proiectanți și tehnologilor din industria constructoare de mașini, fiind utilă și studenților institutelor tehnice.

Redactor responsabil: ing. NICOLAE UDEANU
Tehnoredactor: ELLY GORUN

Dat la cules 17.10.1966. Bun de tipar 17.03.1967. Apărut 1967.
Tiraj: 3.000+140. Broșate. Hirtie tipar înalt tip A, 610×860/16.
Coli editoriale 25,17. Coli de tipar 28,50. Planșe: tipar, 10.
A 15.858/1966. C. Z. pentru bibliotecile mari 62-27. C. Z. pentru bibliotecile mici 62.

Tiparul executat la Intreprinderea poligrafică Sibiu,
str. N. Bălcescu nr. 17.
Republica Socialistă România
Comanda nr. 197

P R E F A Ț Ă

În stadiul actual al dezvoltării industriei constructoare de mașini, elementele elastice au o utilizare deosebit de largă.

Elementele elastice apar în componența celor mai importante mașini și instalații, iar studiul, proiectarea și construcția acestora constituie în general o problemă specifică. O deosebită atenție trebuie acordată elementelor elastice utilizate în dispozitivele de automatizare, la care precizia lor de funcționare are o mare însemnătate.

Dezvoltarea impetuoasă a tehnicii, proiectării și construcției de mașini din țara noastră, eforturile tot mai accentuate de a automatiza procesele de producție, au făcut să se simtă lipsa unei monografii care să trateze elementele elastice ale mașinilor și aparatelor. Deși în literatura noastră tehnică există o serie de lucrări referitoare la arcuri și la elemente elastice folosite în construcția de mașini, totuși se simte nevoia ca unele elemente elastice speciale, folosite în dispozitivele și instalațiile moderne, care în general nu au fost tratate pînă acum, să fie cunoscute mai în amănunt de către proiectanți, ingineri și tehnicieni.

În cadrul spațiului rezervat, autorii și-au propus ca, pe lângă o tratare generală a problemelor construcției și folosirii elementelor elastice, să prezinte principalele rezultate practice și teoretice actuale, cunoscute în acest domeniu.

S-a insistat asupra elementelor elastice speciale utilizate în dispozitivele de automatizare.

Lucrarea se adresează inginerilor, proiectanților și tehnicienilor din sectorul construcții de mașini, fiind totodată utilă studenților și personalului didactic din învățământul tehnic.

În general, în lucrare problemele au fost expuse succint, căutându-se a se pune la dispoziția celor interesați rezultatele ce pot fi utile proiectanților și inginerilor ce utilizează aceste elemente.

Pentru a ușura orientarea proiectanților, precum și a inginerilor și tehnicienilor din exploatare, în lucrarea de față sunt prezentate numeroase tabele, nomograme, diagrame din care se pot extrage rezultatele necesare în mod operativ. În acest scop s-au folosit lucrări de specialitate din care s-au extras figuri, tabele etc. Lucrările de specialitate consultate de autori sunt indicate în bibliografia de la sfârșitul cărții.

Autorii au lucrat în comun, munca de coordonare revenind tov. conf. ing. D. D. Boianțiu.

AUTORII

Noțiuni introductive

1.1. Generalități

Organele de mașini care intră în componența mecanismelor, aparatelor și mașinilor se pot împărți în două mari grupuri:

— organe de mașini ale căror deformări în timpul funcționării mecanismului, aparatului sau mașinii sînt de nedorit; dintre acestea fac parte: pîrghiile mecanismelor, roțile dințate, arborii unor mașini, șuruburile conducătoare ale strungurilor etc.;

— organe de mașini ale căror deformări sînt necesare pentru buna funcționare a mecanismului, aparatului sau mașinii respective; acestea se numesc elemente elastice, din care fac parte și arcurile.

Noțiunea de element elastic este mai largă decît aceea de arc, arcurile fiind numai anumite tipuri de elemente elastice. Prin elementele elastice se realizează legătura elastică dintre diferite părți sau piese ale unei mașini, ale unui mecanism, aparat sau dispozitiv. Datorită formei și proprietăților elastice ale materialului din care sînt executate, acestea permit deformării elastice acceptabile sau corespunzătoare cerințelor, sub acțiunea forțelor exterioare. Elementele elastice au o largă utilizare în construcția de mașini și aparate, de exemplu:

- ca amortizoare de șocuri la suspensia vehiculelor de orice fel, tampoane, cîrlige de foraj, unele tipuri de cuplaje, frîne;
- ca elemente motoare utilizate pentru a reda energia acumulată cum sînt: arcurile de ceasornic, arcurile supapelor motoarelor cu ardere internă, arcurile unor arme de foc;

- pentru exercitarea unor forțe elastice permanente, la ambreiaje de fricțiune, întinzătoare;
- pentru măsurarea forțelor la dinamometre, cântare, aparate de calibrat;
- pentru măsurarea unor parametri fizici prin transformarea acestora în forțe;
- pentru modificarea frecvenței proprii și amortizarea vibrațiilor la autovehicule, fundații, unele subansambluri sau organe de mașini;
- ca limitatori de forțe sau elemente de reglare la prese, ambreiaje, mașini sau cuplaje automate și robinete de reglare.

1.2. Clasificarea arcurilor

Variatatea domeniilor de utilizare și a formelor constructive ale elementelor elastice determină clasificarea lor după mai multe criterii. STAS 6916-64 stabilește clasificarea și terminologia pentru arcurile folosite în construcția de mașini și aparate.

După criteriul formeii lor constructive, arcurile se clasifică în: arcuri în foi, elicoidale, disc, inelare, spirale plane, bare de torsiune și speciale.

Terminologia arcurilor este dată în standard pe baza acestei clasificări. După criteriul solicitării arcului (direcția și sensul forțelor exterioare), arcurile se clasifică în: arcuri de compresiune, de tracțiune și de încovoire.

Solicitarea arcului în ansamblu nu trebuie confundată cu solicitarea materialului din care el este executat (natura eforturilor din material). Astfel, materialul arcurilor elicoidale de compresiune și tracțiune este solicitat la răsucire, materialul arcurilor elicoidale de torsiune este solicitat la încovoire etc.

După criteriul secțiunii semifabricatului, arcurile se clasifică în: arcuri cu secțiune rotundă, dreptunghiulară, pătrată și profilată.

După criteriul materialului elementului elastic, arcurile se clasifică în: arcuri de oțel, de metale neferoase, de materiale nemetalice.

După criteriul rolului lor funcțional în mașină sau aparat, arcurile se clasifică în: arcuri de amortizare, de acumulare de energie și pentru exercitarea unei forțe de măsurare.

După criteriul rigidității lor, arcurile se clasifică în: arcuri cu rigiditate constantă și arcuri cu rigiditate variabilă.

Materialele din care se execută elementele elastice trebuie să prezinte o serie de calități. Dintre acestea se menționează: rezistența la rupere, rezistența la oboseală, limita de elasticitate—cît mai ridicată, o bună rezistență la coroziune și la variațiile de temperatură posibile în condițiile de funcționare.

În cap. 2 se tratează pe larg problemele privind proprietățile fizice și chimice ale materialelor pentru elemente elastice și se fac recomandări privind alegerea și utilizarea lor.

Ca în orice construcție nouă și în proiectarea elementelor elastice, problema principală care se pune este alegerea soluției care satisface cel mai bine condițiile impuse de scop, la un preț de cost cît mai redus. O cerință de bază pentru rezolvarea optimă a problemei este folosirea cît mai judicioasă a materialului în vederea asigurării solicitării cît mai uniforme și alegerea unei forme economice care să permită acumularea unui lucru mecanic de deformații maxim, sub formă de energie potențială, cu un volum de material minim.

1.3. Caracteristica elementelor elastice

Elementele elastice sînt solicitate de forțe sau momente care au valori constante sau variabile.

Cînd forțele sau momentele nu depășesc limitele de elasticitate ale materialului, între acestea și deformații există o anumită dependență, care poate fi exprimată printr-o relație de forma:

$$P = \varphi(f), \text{ sau } M = \varphi(\theta),$$

în care: P este sarcina, în kgf; M — momentul, în kgf·cm;

f — deformația (săgeata), în cm; θ — deformația unghiulară, în rad.

Curba rezultată din reprezentarea grafică a acestei funcții se numește caracteristica arcului.

Caracteristicile elementelor elastice pot fi liniare sau neliniare.

În fig. 1.1 sînt reprezentate principalele tipuri de curbe caracteristice, pentru elementele elastice.

Raportul dintre creșterea sarcinii și creșterea deformației poartă denumirea de rigiditate și se notează cu c_r :

$$c_r = \frac{\Delta P}{\Delta f} \text{ sau } c_r = \frac{\Delta M}{\Delta \theta}.$$

În fig. 1.1, a curba caracteristică I reprezintă cazul cînd c_r este constant, iar curbele II și III cazurile caracteristice cînd c_r este variabil.

Uneori se folosește și noțiunea de flexibilitate a elementului elastic — îndeosebi la arcuri, care reprezintă inversul rigidității:

$$\delta = \frac{1}{c_r}.$$

În fig. 1.1, *b* este reprezentată caracteristica reală a unui arc. Se observă diferența între caracteristica de încărcare și cea de descărcare a arcului.

Sub sarcină, elementele elastice se deformează, acumulând lucru mecanic. Lucrul mecanic de deformare este suprafața cuprinsă între caracteristica elementului elastic și abscisă (fig. 1.1, *a* și fig. 1.2, *a* și *b*).

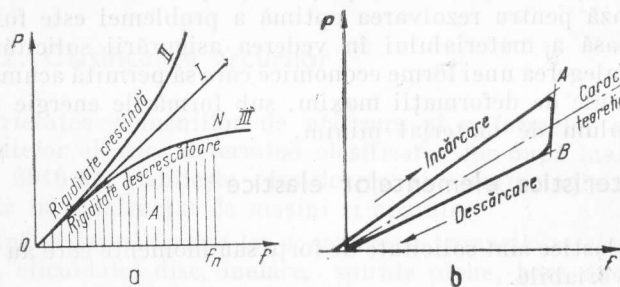


Fig. 1.1

Valoarea lucrului mecanic de deformare, pentru elementele elastice cu caracteristică neliniară, se obține prin integrarea suprafeței respective, adică:

— pentru solicitările la încovoiere (fig. 1.2, *a*):

$$L = \int_{f_1}^{f_2} P df;$$

— pentru solicitările la răsucire (fig. 1.2, *b*):

$$L = \int_{\theta_1}^{\theta_2} M d\theta.$$

În cazul caracteristicilor liniare, lucrul mecanic de deformare este:

— pentru solicitări la încovoiere: $L = \frac{Pf}{2}$;

— pentru solicitări la răsucire: $L = \frac{M\theta}{2}$,

sau, ținând seama de faptul că $c_r = \frac{P_1}{f_1} = \frac{P_2}{f_2} = \dots = \frac{P_n}{f_n} = \tan \alpha$,

unde α este unghiul de înclinare a caracteristicii liniare:

$$L = \frac{c_r f^2}{2} \text{ și } L = \frac{c_r \theta^2}{2}.$$

Dacă se înlocuiește săgeata, respectiv deformația unghiulară, cu valoarea sa în funcție de σ_{max} sau τ_{max} , se obține energia de deformare:

$$W = \eta \frac{V \sigma_{max}^2}{E} \text{ sau } W = \eta \frac{V \tau_{max}^2}{G},$$

după cum elementul elastic este solicitat la încovoiere sau răsucire.

În aceste relații, V este volumul elementului, E și G modulele de elasticitate longitudinal și transversal, iar η este coeficientul de utili-

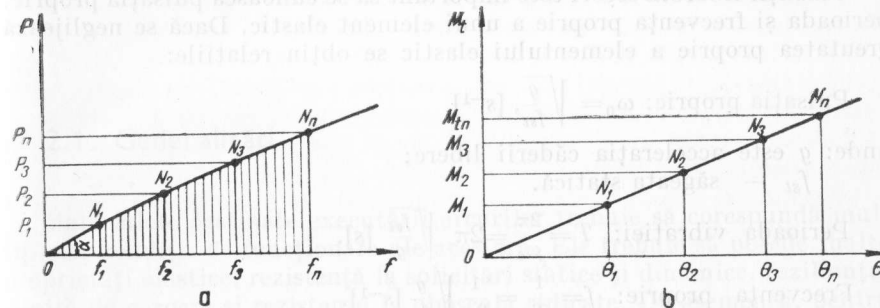


Fig. 1.2

zare volumetrică, care indică gradul de utilizare a materialului pentru acumularea de lucru mecanic de deformare.

Luarea în considerare a coeficientului de utilizare volumetrică pentru stabilirea formei celei mai indicate este obligatorie la proiectarea unui element elastic.

Uneori se fac aprecieri privind lucrul mecanic acumulat pe unitatea de volum. În acest scop se folosesc relațiile:

$$W_0 = \frac{W}{V} = \eta \frac{\sigma^2}{E} \text{ sau } W_0 = \frac{W}{V} = \eta \frac{\tau^2}{G}.$$

Raportînd la greutatea arcului se obține:

$$W_a = \frac{W}{Q} = \frac{W_0}{\gamma},$$

unde Q este greutatea elementului elastic, iar γ greutatea specifică a materialului.

Pentru a se lua în considerare prevederile necesare în exploatarea elementelor elastice se folosește relația: $\eta_0 = \frac{L_u}{L_c}$, unde L_u este lucrul mecanic util, iar L_c lucrul mecanic consumat.

1.4. Vibrațiile elementelor elastice

Problema vibrațiilor elementelor elastice, inclusiv a arcurilor, nu este cuprinsă în această lucrare. Totuși, pentru rezolvarea unor probleme mai simple, se dau unele relații de bază pentru calculul vibrațiilor.

Vibrații libere. Deseori este important să se cunoască pulsația proprie, perioada și frecvența proprie a unui element elastic. Dacă se neglijează greutatea proprie a elementului elastic se obțin relațiile:

$$\text{Pulsația proprie: } \omega_0 = \sqrt{\frac{g}{f_{st}}}, [s^{-1}]$$

unde: g este accelerația căderii libere;
 f_{st} — săgeata statică.

$$\text{Perioada vibrației: } T = \frac{2\pi}{\omega_0} = 2\pi \sqrt{\frac{f_{st}}{g}} [s].$$

$$\text{Frecvența proprie: } f = \frac{1}{T} = \frac{1}{2\pi} \sqrt{\frac{g}{f_{st}}} [s^{-1}].$$

Vibrații forțate. În cazul unei sarcini oscilatorii, care are o pulsație ω , vibrațiile forțate se caracterizează prin factorul de amplificare

$$\beta = \frac{1}{1 - \frac{\omega^2}{\omega_0^2}},$$

care înmulțește amplitudinea pe care ar produce-o sarcina aplicată static.

Factorul de amplificare este infinit cînd apare fenomenul de rezonanță, adică $\omega = \omega_0$, ceea ce duce la ruperea elementului elastic. Principala concluzie care se desprinde este că fenomenul de rezonanță și cîmpul din apropierea sa trebuie evitate. Atunci însă cînd condițiile impun ca $\omega_0 > \omega$, este necesar ca trecerea prin $\omega = \omega_0$ să se facă foarte rapid, pentru a evita ruperea sau deteriorarea elementului elastic.

În capitolele care urmează se dau la diferite tipuri de elemente elastice unele indicații referitoare la vibrații, fără ca acest lucru să însemne că problema vibrațiilor a fost propusă și tratată în această lucrare.

Materiale pentru arcuri

2.1. Generalități

Materialele destinate executării arcurilor trebuie să corespundă multiplelor condiții de funcționare ale acestora. Ele trebuie să posedă înalte proprietăți elastice, rezistență la solicitări statice și dinamice, reziliență, limită de curgere și rezistență la oboseală ridicate. De asemenea, pentru anumite condiții de exploatare se mai impune: rezistență la temperaturi ridicate și la coroziune, dilatare termică redusă, precum și o stabilitate cât mai ridicată a proprietăților elastice.

Alegerea materialului, cît și a procesului tehnologic pentru un caz dat trebuie să se facă cu luarea în considerare a tuturor factorilor care caracterizează regimul de funcționare a arcului, comportarea materialului și eventuala modificare în timp a unor caracteristici ale acestuia.

La alegerea materialului trebuie să se țină seama că:

- modulul de elasticitate variază cu timpul și temperatura;
- poziția de zero a arcului și sarcina se schimbă cu timpul;
- caracteristica arcului în procesul de acumulare a energiei este întotdeauna deasupra caracteristicii sale la redarea energiei (efect histeretic);
- proprietatea elastică a elementului elastic se manifestă în unele cazuri nu imediat, ci după un timp oarecare; acest efect este evident mai ales la arcurile de cauciuc, la care, după comprimare și încetarea acțiunii forței, este necesar un timp de câteva minute pentru ca să revină

la forma inițială, dar el se întâlnește și la arcurile metalice (acțiune elastică întârziată).

Caracteristicile unui arc depind de:

- calitatea materialului din care este executat;
- procesul tehnologic de execuție a semifabricatului;
- procesul tehnologic de execuție a arcului.

Arcurile se execută din trei categorii de materiale: metale feroase, metale neferoase și materiale nemetalice.

2.2. Metale feroase

În această categorie intră oțelurile carbon de calitate și oțelurile aliate. Caracteristicile impuse arcului determină atât alegerea unei anumite compoziții chimice, cât și a unei anumite stări de livrare a oțelului respectiv. Un oțel laminat la cald nu poate fi folosit, de exemplu, pentru arcuri de mare precizie, deoarece cu toleranțele relativ mari cu care se livrează un asemenea oțel, nu se poate asigura obținerea unei săgeți (deformații) corespunzătoare.

Săgeata are o mare importanță în modul de lucru și comportarea unui arc. Ea depinde de dimensiunile și forma geometrică a barelor din care se execută arcul respectiv, astfel că dacă se urmărește obținerea unei săgeți cât mai apropiată de cea teoretică, trebuie ca toleranțele admise la dimensiunile barelor să fie cât mai mici. Operația de tragere sau laminare la rece care asigură astfel de toleranțe ridică însă prețul de cost al materialului.

La alegerea materialului, proiectantul trebuie să îmbine considerațiile de ordin tehnic cu cele de ordin economic, să utilizeze la maxim calitățile oțelurilor de la cele mai ieftine, utilizabile în condițiile date și să aibă în vedere toți factorii care concură la obținerea unor arcuri corespunzătoare destinației; îndeosebi să țină seama de proprietățile tehnologice ale materialului în ceea ce privește posibilitatea de execuție a arcului, de importanța secțiunilor și parametrilor lor dimensionali, de posibilitatea de ridicare a indicilor calitativi ai materialului prin tratament termic sau mecanic.

Alegerea judicioasă a unui oțel de arc care să țină seamă de toți factorii indicați mai înainte impune, în primul rând, cunoașterea compoziției chimice a oțelului și a influenței elementelor de aliere.

Oțel carbon pentru arcuri. Oțelurile nealiate cu un conținut de 0,4—1,25% C se folosesc pentru arcuri ca semifabricat laminat la cald sau tras. Este un oțel ieftin și în cazul unui tratament termic adecvat

poate chiar să înlocuiască unele oțeluri aliate. Oțelurile carbon prezintă însă tendință mare de decarburare, și aceasta cu atât mai mult cu cât conținutul în carbon și siliciu este mai ridicat. Decarburarea duce la micșorarea rezistenței la oboseală. Călibilitatea scăzută a acestor oțeluri impune anumite limite pentru grosimea semifabricatelor:

- semifabricatele rotunde să nu depășească diametrul de 15—18 mm;
- semifabricatele dreptunghiulare să nu depășească grosimea de 12—15 mm;

Temperatura de regim cea mai ridicată pentru oțelurile solicitate permanent nu trebuie să depășească 180°C. La temperaturi joase sub 0°C reziliența scade sensibil; temperatura critică de fragilitate fiind circa -100°C.

Arcurile din oțel carbon se caracterizează printr-o rezistență la oboseală foarte ridicată — în această privință nu sînt întrecute decît de arcurile fabricate din oțel aliat cu crom și vanadiu. Fiind ieftine se utilizează pe scară largă.

Oțel aliat cu siliciu pentru arcuri. Conținutul în carbon al acestor oțeluri variază între 0,35 și 1%, iar conținutul în siliciu între 1 și 3%. Față de oțelurile carbon, ele au o limită de elasticitate și de curgere mai ridicate și o rezistență la rupere mai mare. Siliciul influențează favorabil reziliența și tenacitatea. Rezistența la șocuri repetate crește cu conținutul în siliciu, devenind foarte importantă la un conținut mai mare de 2% Si. La încălzirea pentru prelucrarea la cald, mai ales cînd aceasta este de lungă durată și la temperaturi înalte, oțelul respectiv înclină spre decarburare, grafitizare (separarea carbonului liber) și supraîncălzire (creșterea grăuntelui oțelului, materialul devenind fragil). Cu creșterea conținutului în siliciu peste 2%, această deficiență se accentuează. Față de oțelurile cu mangan, acestea nu sînt expuse pericolului fisurării în timpul călirii și nu sînt sensibile la fragilitatea de revenire. Gradul de călibilitate (adîncimea zonei călite) permite executarea arcurilor din semifabricate de grosimi pînă la 20 mm. În comparație cu alte oțeluri pentru arcuri, oțelurile aliate cu siliciu au structură pronunțat fibroasă, care, în cazul arcurilor, este avantajoasă, împiedicînd apariția crăpăturilor. Ca urmare a acestei structuri, epruvetele tăiate transversal vor prezenta o reziliență scăzută.

La temperaturi ridicate, arcurile din oțel aliat cu siliciu au aceeași comportare ca și arcurile din oțel carbon. La temperaturi sub 0°C, în funcție de conținutul în siliciu, oțelul devine fragil. În tabela 2.1 sînt indicate temperaturile la care apare pericolul de fragilitate.

Rezistența la rupere a oțelului aliat cu siliciu în stare laminată la cald este de 80—95 kgf/mm², iar după călire și revenire, 90—160 kgf/mm².

Tabela 2.1

Temperaturile la care apare pericolul de fragilitate la oțelul cu siliciu

Conținutul în siliciu, %	Temperatura la care apare fragilitatea, °C
2	— 100
3	— 50
4	+ 40

mite semifabricatelor respective să aibă o grosime pînă la 25 mm. De asemenea, datorită manganului, oțelurile respective suferă o decarburare superficială redusă. Alierea cu mangan mai are ca scop ridicarea rezistenței la rupere, simultan însă reziliența și tenacitatea oțelului scad. După terminarea prelucrării la cald, suprafața semifabricatului din oțel cu mangan este foarte netedă. Aceste oțeluri prezintă dezavantajul că sînt sensibile la supraîncălzire; ca urmare, temperatura de încălzire în vederea executării arcului sau în vederea tratamentului termic, precum și durata menținerii la temperatură ridicată trebuie să corespundă dimensiunii și formei semifabricatului sau arcului. Datorită conductibilității termice reduse, aceste oțeluri tind să formeze stări de tensiune interioară, deci trebuie încălzite și răcite cu atenție, și aceasta cu atît mai mult cu cît profilul semifabricatului este mai dificil. Alt neajuns important al acestor oțeluri pentru arcuri este fragilitatea la revenire.

La temperatură ridicată, arcurile din oțel mangan se comportă ca și arcurile din oțel carbon.

Rezistența la rupere în stare laminată la cald este de 80—90 kgf/mm²; limitele obișnuite de utilizare, după călire și revenire, 90—150 kgf/mm²; limita superioară de utilizare (la oțelul cu 0,8%C)—180 kgf/mm².

Acest oțel se folosește la fabricarea tuturor tipurilor de arcuri, dar în special a arcurilor în foi și a celor elicoidale pentru autovehicule și material rulant.

Oțel aliat cu mangan și siliciu pentru arcuri. Astfel de oțeluri conțin 0,8—1,5%Mn și 1—1,5% Si (chiar mai mult în anumite cazuri). Cele două elemente de aliere ridică gradul de călibilitate, reduce gradul de decarburare și îmbunătățește caracteristicile mecanice. Introducerea manganului micșorează pericolul de separare a carbonului liber, neajuns pe care-l prezintă oțelurile aliate numai cu siliciu. Prezența siliciului micșorează sensibilitatea la supraîncălzire provocată de mangan și mărește stabilitatea la revenire.

Pentru arcurile de supape, limita superioară de utilizare după călire și revenire este de 200 kgf/mm².

Oțelurile aliate cu siliciu sînt cele mai puțin deficitare, rezistă la solicitări mari și la șocuri repetate.

Oțel aliat cu mangan pentru arcuri. Acest oțel conține 0,45—0,8%C și 0,66—2% Mn. Manganul mărește călibilitatea oțelului, fapt care per-

Folosirea oțelului aliat cu siliciu și mangan la arcuri permite mărirea grosimii semifabricatelor pînă la 25 mm. Se utilizează la fabricarea diferitelor tipuri de arcuri greu solicitate pentru vehicule de mare viteză, arcuri care se comportă bine la șoc.

Oțel aliat cu nichel și siliciu pentru arcuri. Aceste oțeluri conțin 0,8—4,5% Ni și 1—2% Si.

Adaosul nichelului are drept scop mărirea călibilității. Într-o mică măsură se mărește și rezistența și tenacitatea oțelului. Adaosul de nichel în oțelurile cu siliciu împiedică separarea grafitului și decarburarea stratului superficial.

Oțel aliat cu crom pentru arcuri. Conținutul în crom variază între 1—1,5%.

Fără a scădea reziliența oțelului, cromul oferă oțelului o rezistență mai mare decît siliciul și manganul. Cu creșterea conținutului în crom peste 1,5%, reziliența oțelului începe să scadă.

Printre avantajele pe care le prezintă oțelurile aliate cu crom pentru arcuri sînt următoarele: grad de călibilitate ridicat, susceptibilitate redusă la decarburare și supraîncălzire; deformare redusă sub influența tensiunilor interne cu ocazia tratamentului termic. Prezintă însă dezavantajul de a fi susceptibil la fragilitatea de revenire.

Temperatura de regim a arcurilor din oțel aliat cu crom ajunge pînă la 320°C.

Oțelurile aliate cu crom se utilizează la arcuri solicitate intens. Utilizarea lor nu este suficient de frecventă din cauza fragilității de revenire. Cromul, ca adaos la alte elemente de aliere, constituie un material de bază pentru arcuri.

Oțel aliat cu crom și siliciu pentru arcuri. Aceste oțeluri conțin 0,35—0,60% C, 0,70—2% Si și 0,70—1,30%Cr.

Oțelurile cu crom și siliciu au proprietăți mecanice înalte și o oarecare sensibilitate la supraîncălzire. Adaosul de siliciu înlătură fragilitatea de revenire provocată de prezența cromului, iar acesta împiedică separarea grafitului, defect caracteristic oțelurilor cu siliciu. Călibilitatea oțelurilor aliate cu crom și siliciu nu este însă suficient de bună; în scopul ameliorării acesteia se adaugă 0,8...1,2% Mn, denumirea oțelului în acest caz fiind oțel crom-siliciu-mangan.

Proprietățile elastice ale arcurilor respective nu dispar dacă temperatura de regim nu depășește 350°C.

Arcurile din oțel cu crom și siliciu se folosesc pe scară largă datorită rezistenței lor la temperatură, la oxidare și datorită caracteristicilor lor mecanice înalte.

Oțel aliat cu crom și mangan pentru arcuri. Aceste oțeluri conțin 0,40...0,65% C; 0,90...1,50% Cr; 0,70...1,20% Mn.

De alegerea corectă a raportului între crom și mangan depinde obținerea valorilor maxime ale proprietăților oțelului respectiv. Un conținut mai mare în mangan micșorează brusc reziliența arcului, mai ales după călirea și revenirea acestuia.

Manganul fiind elementul hotărîtor în privința călibilității, asociat cu cromul face posibilă călirea semifabricatelor de arcuri cu grosimi de 25—30 mm.

Oțelul aliat cu crom și mangan manifestă, într-o măsură mai mică decît oțelul mangan, sensibilitate la fragilitatea de revenire, totuși și în acest caz trebuie luate măsuri pentru prevenirea ei. La călirea în ulei, arcurile suferă deformații reduse. Cromul micșorează sensibilitatea la supraîncălzire, defect dat de mangan; totuși, temperaturile în timpul prelucrării la cald nu trebuie să depășească pe cele prescrise. Atît manganul, cît și cromul, spre deosebire de carbon și siliciu, măresc modulul de elasticitate transversal, G . În oțelurile aliate cu crom și mangan, modulul de elasticitate transversal ajunge la valori de circa 8 000 kgf/mm². Cu mărirea temperaturii, valoarea lui scade considerabil. În fig. 2.1 sînt date curbele de variație a modulului de elasticitate transversal cu temperatura pentru diferite materiale.

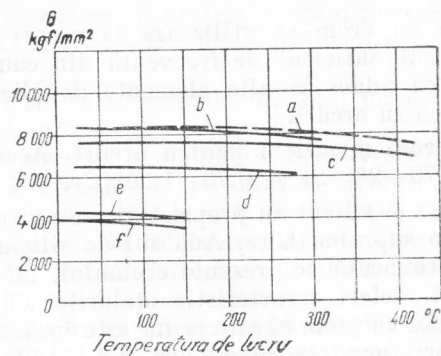


Fig. 2.1

Curba *a* este trasată pentru oțelul R4 STAS 893-54 (fost coardă de pian), oțel carbon călit în ulei, oțel carbon tras la rece; curba *b* pentru oțel aliat cu crom și vanadiu prelucrat la cald și pentru oțel aliat cu wolfram; curba *c* pentru oțel inoxidabil tras la rece; curba *d* pentru

metal-monell; curba *e* pentru bronz cu beriliu; curba *f* pentru alamă specială. Diagramele au fost trasate pentru epruvete cu diametrul de 2,5 mm.

Ca și oțelurile aliate cu mangan, aceste oțeluri nu sînt indicate la execuția arcurilor supuse la șocuri repetate.

Temperatura de regim a arcurilor solicitate permanent și intens nu trebuie să depășească 300°C.

Arcurile din oțel aliat cu crom și mangan tind să înlocuiască pe cele cu crom și siliciu, care sînt mai scumpe și care au aproximativ aceeași comportare la temperatură și aceeași rezistență la oxidare.

Oțelul de arc aliat cu crom și mangan are o bună rezistență la oboseală, fapt care îl face utilizabil la arcurile cu destinații importante, care funcționează la eforturi alternative.

Oțelul aliat cu crom și mangan se folosește la fabricarea arcurilor elicoidale groase, călibilitatea fiind asigurată pînă la dimensiunile limită ale acestor arcuri, de asemenea și la alte tipuri de arcuri solicitate intens: arcuri pentru locomotive, vagoane, autovehicule de mare viteză. Dezavantajul lor constă în fragilitate la revenire.

Oțel aliat cu crom-siliciu și mangan pentru arcuri. Conținutul atît în mangan, cît și în siliciu este de circa 1%, iar în crom de 0,4—0,8%.

Cromul în proporție de numai 0,4% este suficient pentru a împiedica efectele supraîncălzirii, decarburarea stratului superficial și separarea grafitului. Pentru reducerea tendinței de creștere a grăuntelui oțelului la încălzire, adică a sensibilității la supraîncălzire, se adaugă de obicei 0,15—0,40% molibden, element care influențează pozitiv și călibilitatea.

Temperatura de regim a arcurilor solicitate permanent și intens nu trebuie să depășească 300°C.

Arcurile din oțel aliat cu crom, siliciu și mangan au rezistență mare, elasticitate bună, rezistență la oboseală și nu prezintă tendință de fragilitate la revenire. Din acest material se execută mai ales arcuri inelare și arcuri de torsiune.

Oțel aliat cu crom și vanadiu pentru arcuri. Conținutul în crom este de 1%, iar în vanadiu de 0,1—0,25%.

Adaosul de vanadiu mărește rezistența la oboseală a oțelului respectiv. Rezistența la oboseală a oțelurilor pentru arcuri depinde în mai mare măsură de starea suprafeței decît de compoziția chimică; totuși și aceasta are o oarecare influență.

Datorită însușirii vanadiului de a forma carburi și de a contribui la purificarea înaltă a oțelului, oțelurile respective nu sînt sensibile la supraîncălzire, iar după călire și revenire prezintă o structură cu

grăunte fin, rezistentă la rupere prin acționări bruște. Vanadiul ridică punctele de transformare ale oțelului, permițând deci reveniri la temperaturi înalte. Revenirea la temperatura de 600°C, la care este supus oțelul aliat cu crom și vanadiu, permite evitarea domeniului de fragilitate ireversibilă, precum și eliminarea într-un grad înalt a tensiunilor interne, și deci a deformațiilor. Arcurile fabricate din acest oțel își păstrează proprietățile elastice până la o temperatură de 400°C.

Oțelul aliat cu crom și vanadiu dă arcurilor o rezistență la oboseală deosebit de mare; ca urmare se folosește la fabricarea arcurilor supuse la eforturi alternative. Sirma trasă din acest oțel poate fi executată cu un diametru de până la 10 mm. Arcurile din oțel aliat cu crom și vanadiu se remarcă prin proprietăți elastice ridicate, rezistență dinamică și statică mare, prezentând o mare siguranță în funcționare. De asemenea, aceste arcuri se folosesc la dispozitive de mare precizie, putându-se impune condiții stricte în ceea ce privește deformarea. Folosirea lor curentă este limitată de prețul lor foarte ridicat.

Oțel aliat cu crom, siliciu și vanadiu pentru arcuri. Conținutul în crom este de circa 1%, în siliciu de 1—2%, iar în vanadiu 0,1—0,2%.

Cu creșterea conținutului în siliciu, capacitatea oțelurilor aliate cu crom și vanadiu pentru arcuri de a opune rezistență la șocuri repetate crește și mai mult. Față de oțelurile aliate cu crom și vanadiu, oțelurile acestea prezintă o rezistență la oboseală mai mică.

Arcurile din oțel aliat cu crom, siliciu și vanadiu își păstrează proprietățile elastice până la temperaturi de 320°C. La temperaturi sub 0°C, fragilitatea oțelului dată de prezența siliciului este întrucâtva ameliorată de către crom și vanadiu (v. oțelul aliat cu siliciu pentru arcuri).

Arcurile din oțel aliat cu crom-siliciu și vanadiu pot fi intens solicitate, pot lucra la temperaturi ridicate sub sarcini bruște; de asemenea pot fi solicitate la sarcini repetate.

Oțeluri aliate cu molibden, wolfram și vanadiu. Molibdenul, wolframul și vanadiul se folosesc numai ca adaosuri pe lângă alte elemente de aliere, având o influență favorabilă asupra proprietăților oțelului.

Molibdenul micșorează sensibilitatea oțelului la revenire. Influența wolframului este egală cu a molibdenului numai dacă adaosul de wolfram este dublu față de cel de molibden. Vanadiul nu micșorează sensibil fragilitatea de revenire.

Vanadiul dă oțelului o mare rezistență la oboseală; wolframul influențează mai puțin în acest sens, iar molibdenul nu îmbunătățește de loc această caracteristică a oțelului.

Wolframul și vanadiul influențează favorabil în special tenacitatea.

Până la un conținut de 2%, molibdenul ridică sensibil rezistența la rupere, limita de elasticitate, limita de curgere, conținut după care valorile caracteristicilor mecanice încep să scadă. Un procent de 1—2% Mo se adaugă oțelurilor de arcuri, înalt aliate cu crom, pentru a le mări rezistența la coroziunea acidului clorhidric și a sărurilor acestuia. Arcurile din oțel cu crom și molibden, înalt aliate, mai sînt destinate și funcționării la temperaturi până la 450°C. Oțelurile cu adaos de molibden, wolfram și vanadiu permit revenirea la temperaturi ridicate, evitându-se prin aceasta posibilitatea de apariție a fisurilor la revenire.

Arcurile cărora li se impun condiții stricte în ce privește deformația se fabrică din oțeluri cu unul din aceste adaosuri, deoarece numai revenirea la temperatură înaltă permite o bună eliminare a tensiunilor interne apărute cu ocazia călirii.

Molibdenul, wolframul și vanadiul se mai introduc în oțeluri pentru a micșora sensibilitatea acestora la supraîncălzire (carburile acestor elemente descompunându-se doar la temperaturi de 2000°C, împiedică creșterea grăuntelui oțelului în timpul încălzirii).

Oțeluri pentru arcuri anticorozive și rezistente la temperaturi înalte.

Atît rezistența la coroziune cît și rezistența la temperaturi înalte presupun formarea unei pelicule protectoare la suprafața materialului, care să împiedice acțiunea în adîncime, distrugerea oțelului la temperaturi ridicate constînd dintr-o coroziune gazoasă, datorită oxigenului sau gazelor de sulf.

Oțelurile anticorozive și rezistente la temperatură ridicată pentru arcuri sînt oțelurile înalt aliate cu crom, care, oxidîndu-se mai repede decît fierul, formează o peliculă protectoare de oxizi.

Deoarece în cazul arcurilor rezistente la temperatură înaltă trebuie ca materialul să prezinte la temperaturi ridicate și anumite proprietăți mecanice, în oțelul respectiv se mai adaugă molibden sau wolfram, elemente care mențin aceste proprietăți la un nivel ridicat chiar la temperatură înaltă. Arcurile executate din aceste oțeluri se împart în două categorii, după structura oțelului care se obține după călire și revenire în aer, și anume: arcuri din oțeluri martensitice; arcuri din oțeluri austenitice.

Oțelurile martensitice sînt magnetice și călibile, și conțin 12—18% Cr. Sînt de asemenea susceptibile la supraîncălzire, iar în cazul unei reveniri în domeniul de temperatură cuprins între 500 și 550°C devin fragile.

Din această categorie de oțeluri face parte oțelul 40 C 130, STAS 3583-64, cu compoziția: 0,35—0,44% C; Mn ≤ 0,6%, Si ≤ 0,6%; 12—14% Cr. Modulul de elasticitate longitudinal, E , al acestui oțel are

valoarea aproximativă 22 000 kgf/mm², iar modulul de elasticitate transversală $G \approx 8\,700$ kgf/mm².

Oțelurile austenitice prezintă proprietăți optime la coroziune, cât și la temperatură ridicată, cum și la temperaturi sub 0°C. Sînt antimagnetice și nu devin dure în urma călirii, rezistența și duritatea obținindu-se prin laminare la rece sau trefilare. După ecruisare, și anume la o reducere a secțiunii cu 50%, se poate ajunge la o rezistență de rupere de 125 kgf/mm² și o limită de proporționalitate de 100 kgf/mm². Din această categorie de oțeluri face parte oțelul 10 TNC 180, STAS 3583-64, cu compoziția: C ≤ 0,12%; Mn ≤ 2%; Si ≤ 0,8%, 17–19 %Cr; 8–9,5% Ni, 0,7%Ti. Modulul de elasticitate longitudinal E al acestui oțel are valoarea aproximativă de 20 300 kgf/mm², temperatura de călire 1050–1120°C. Se utilizează la executarea membranelor și burdufurilor și a altor arcuri care lucrează la temperaturi mari, pînă la 400°C, în medii agresive, ca apa de mare, în soluții bazice și în soluții slab acide. Acest oțel este antimagnetic, se sudează bine, dar se lipește greu. Proprietățile elastice reduse nu permit utilizarea oțelului respectiv la executarea arcurilor pentru aparate de măsură.

Aliajul elinvar (0,7–0,8% C; Si ≤ 0,6%; 2–3% Mn; 7–9% Cr; 33–35% Ni, 3,4% W, restul fier) se folosește la fabricarea arcurilor cu proprietăți anticorosive ridicate, însă nu sînt stabile la temperaturi înalte; proprietățile lui elastice rămîn neschimbate numai pînă la temperatura de 100°C.

Caracteristic la acest material mai este coeficientul de dilatare termică redus. Modulul de elasticitate al acestui aliaj este de 14 500 kgf/mm², rezistența la rupere 95–100 kgf/mm².

Durificarea se face numai prin ecruisare în urma prelucrării la rece. Din elinvar se fabrică arcuri pentru instrumente de mare precizie.

În STAS 795-62 sînt prevăzute nouă calități de oțeluri destinate fabricării arcurilor de diferite tipuri, utilizate în diverse ramuri ale construcțiilor mecanice.

În cele ce urmează se prezintă principalele calități de oțeluri pentru arcuri.

Oțelul Arc 1 este un oțel aliat cu crom și vanadiu. Se folosește la fabricarea arcurilor pentru armament, arcuri pentru supape, arcuri destinate suspensiei vehiculelor și autovehiculelor de mare viteză etc. Este oțelul de cea mai bună calitate; folosirea lui pe scară largă este limitată de prețul de cost foarte ridicat.

Oțelul Arc 2 este un oțel aliat cu crom și mangan. Se folosește la fabricarea arcurilor groase de 25–30 mm de toate tipurile, arcuri pentru

vehicule și autovehicule de viteză mare etc. Are un preț de cost destul de ridicat.

Oțelurile Arc 3 și Arc 9 sînt oțeluri aliate cu mangan și siliciu. Se folosesc la fabricarea arcurilor cu grosime pînă la 25 mm, arcuri de supape, arcuri pentru vehicule și autovehicule etc.

Oțelurile Arc 4 și Arc 5 sînt cele mai frecvent folosite dintre oțelurile aliate. Au preț de cost convenabil și pot fi tratate termic. Se folosesc la fabricarea diferitelor tipuri de arcuri în construcția de mașini, arcuri pentru supape de manevră, arcuri pentru supape de siguranță și de închidere rapidă, arcuri pentru material rulant, arcuri de tampoane, arcuri în foi, arcuri spirale. Oțelul Arc 4 se folosește în special la execuția arcurilor elicoidale cu profil dreptunghiular (volute) și a arcurilor în foi.

Oțelurile Arc 6 și Arc 7 sînt oțeluri carbon. Se folosesc la fabricarea arcurilor de importanță redusă; totuși, cînd sînt tratate termic în condiții optime pot înlocui oțelurile aliate, mai ales cînd se cere o rezistență mare la oboseală. Sînt cele mai ieftine oțeluri de arc.

Oțel Arc 8 este un oțel aliat cu crom-siliciu. Se folosește la fabricarea arcurilor intens solícitate, arcuri pentru vehicule și autovehicule de mare viteză, arcuri de supape, diferite arcuri care lucrează la temperaturi mari, arcuri rezistente la oxidare. Au preț de cost ridicat.

Modulul de elasticitate longitudinal al oțelurilor cuprinse în STAS 795-62 este, în medie, de $2,1 \times 10^4$ kgf/mm², iar cel transversal de $G = 8 \times 10^3$ kgf/mm².

2. 2. 1. Semifabricate standardizate pentru arcuri

Profiluri laminate la cald din oțel, STAS 795-62, sînt: oțelul rotund, oțelul pătrat, oțelul canelat și oțelul lat.

În ceea ce privește livrarea, STAS 795-62 prevede că în mod normal, oțelurile se livrează în stare laminată la cald, cu duritatea Brinell corespunzătoare.

Pe bază de înțelegere, profilurile se pot livra și în stare recoaptă sau normalizată, cu o duritate stabilită de comun acord. Tot în STAS 795-62 se indică adîncimea maximă a stratului decarburat (zona feritică plus zona de trecere) admisă, în funcție de calitatea oțelului și de grosimea laminatului.

Epruvetele pentru încercarea la tracțiune se execută prin așchiere din probe luate în anumite condiții, după tipul profilului. Aceste epruvete se supun înainte de încercare tratamentului termic corespunzător

calității de oțel din care este laminat profilul, tratament indicat în STAS 795-62.

Oțel lat pentru arcuri în foi și arcuri volute, STAS 3020-59, se laminează în două tipuri: tip I (fig. 2.2, a) și tip II fig. 2.2, b).

Standardul respectiv indică dimensiunile, masele, precum și abaterile limită la dimensiuni. Acest oțel se livrează:

- în lățimi de la 30—200 mm;
- în grosimi de la 4—12 mm;
- în lungimi de la 2—6 m, admițându-se la 15% din lot, la greutate, să fie format din bucăți de 1—2 m; afară de cazul când în comandă s-a specificat că nu se admit lungimi mai scurte.

Atît în lungul muchiei, cît și în planul perpendicular pe suprafața profilului, benzile de oțel lat sînt deformate, prezintă o anumită curbura. Standardul respectiv indică curbura admise pe metru.

Pentru arcuri destinate autocamioanelor, precum și pentru arcuri conice, STAS 3020-59 prevede și laminarea unui oțel lat cu dimensiuni speciale.

Oțel canelat pentru arcuri în foi. Dimensiunile, masele și toleranțele acestui profil sînt prevăzute în STAS 909-62.

Drept material se folosește oțelul Arc 4; la înțelegere se pot utiliza și alte calități de oțeluri pentru arcuri, prevăzute în STAS 795-62.

Oțel în bare profilate pentru arcuri elicoidale. Arcurile elicoidale se execută din bare de diferite secțiuni: standardizate sînt numai două profiluri: rotund și pătrat.

Arcurile elicoidale din oțel rotund se execută din bare cu secțiune circulară, ale căror dimensiuni sînt prevăzute în STAS 333-64. În standardul respectiv sînt prescrise diametrele, abaterea limită a diametrelor și greutatea în funcție de diametre. Barele sînt laminate la diametre

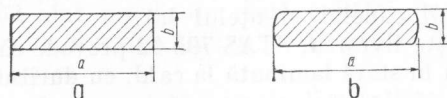


Fig. 2.2

cuprinse între 12 și 240 mm. În privința abaterilor, standardul respectiv menționează că oțelul rotund se poate livra, la înțelegere, cu abateri numai în plus, în limitele întregului cîmp de toleranțe.

Uzina producătoare, în cazul când beneficiarul specifică în comandă, livrează profilurile decrustate. În acest scop profilul laminat la un diametru mai mare, cu aproximativ 2,5 mm, se decrustează la mașini de

rectificat; în orice caz nu se folosește în acest scop trefilarea, operație în care crusta arsă și oxidată care acoperă suprafața materialului laminat la cald s-ar include în material. De asemenea nu este permisă operația de calibrare cu galeți.

Oțelul pătrat pentru arcuri elicoidale. În STAS 334-59 sînt indicate dimensiunile, toleranțele admise și greutatea în funcție de dimensiuni a acestor profiluri. Dimensiunile la care sînt laminate barele respective corespund unei variații a laturii pătratului de la 8 la 14 mm.

Oțelul pătrat este preferat celui rotund; numărul arcurilor rebutate în aceleași condiții de funcționare fiind mai scăzut. Barele din oțel pătrat nu se admit cu curburi mai mari de 6 mm/m.

Oțel trapezoidal laminat la cald pentru inele-resort. Pentru inelele-resort dimensionate conform STAS 1384-50, se folosește oțelul trapezoidal, laminat la cald, STAS 1717-50. Profilul se laminează din oțel Arc 5, STAS 795-62, și se verifică în conformitate cu acest standard. Duritatea Brinell a semifabricatului în stare de livrare trebuie să fie de maxim 265 kgf/mm².

Sîrmă trasă. La alegerea între un profil laminat la cald sau unul laminat la rece trebuie să se țină seama de toleranțele dimensiunilor și de eventualele abateri ale săgeții de la valoarea calculată pe baza diametrului nominal și anume:

$$\Delta f = -4(\Delta d) + 0,2(\Delta d)^2 - 0,01(\Delta d)^3,$$

unde: Δf este abaterea săgeții;

Δd — abaterea diametrului

Cu creșterea diametrului sîrmei ($\Delta d > 0$), săgeata scade ($\Delta f < 0$) și invers (fig. 2.3)

Diagrama din fig. 2.3 arată că atunci cînd Δf trebuie menținut în limite strînse (cazul arcurilor pentru aparate de precizie), trebuie să se recurgă la sîrmă trasă, al cărui cîmp de toleranțe este restrîns; Zona hașurată se referă la oțelul tras, iar cea nehașurată la oțelul laminat la cald.

Pentru fabricarea arcurilor de importanță mai mică sau a arcurilor grele, de exemplu arcuri pentru vagoane sau autovehicule, ale căror

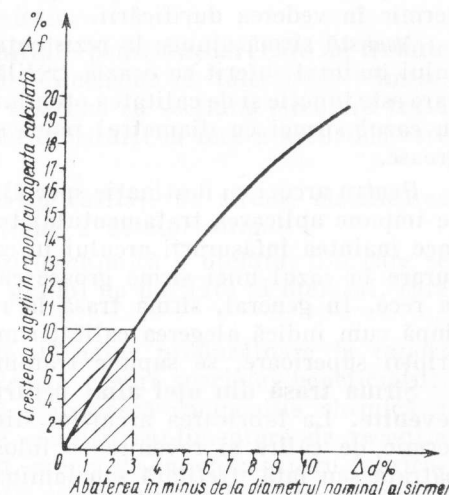


Fig. 2.3

toleranțe sînt peste 10%, se poate folosi o sîrmă ale cărei abateri sînt mai mari de 3%, ceea ce corespunde cu sîrma laminată la cald.

Pentru fabricarea arcurilor de precizie, arcuri pentru dinamometre, aparataj electric, supape, ale căror toleranțe de funcționare sînt de ordinul 4–10%, trebuie să se folosească sîrma trasă, ale cărei abateri la dimensiune sînt de ordinul 1–3%.

Pentru fabricarea arcurilor foarte precise, din sîrmă subțire, ale căror toleranțe de funcționare sînt de ordinul 1–4%, ar fi necesară o sîrmă cu abateri de circa 0,03 pînă la 0,1%. Așa, de pildă, pentru o sîrmă de 0,5 mm diametru, abaterile ar trebui să fie de $\pm 0,0017$ pînă la $\pm 0,005$ mm. Fabricarea unei astfel de sîrme ar fi foarte costisitoare și n-ar fi justificată decît la o producție de serie foarte mare. Pentru serii mici sau unicate, se folosește sîrma trasă cu abaterile uzuale, din care, prin măsurări, se alege sîrma care corespunde toleranțelor impuse.

Sîrma de oțel cu diametrul de pînă la 12 mm trasă, de asemenea banda de oțel cu grosimea de pînă la 2 mm laminată la rece posedă calități adecvate utilizării ei ca arc, nemai necesitînd nici un tratament termic în vederea durificării.

Această sîrmă ajunge la rezistența corespunzătoare în urma ecruisajului înaintat suferit cu ocazia trefilărilor finale. Rezistența de rupere, care este funcție și de calitatea oțelului, ia valori între 170 și 265 kgf/mm² în cazul sîrmei cu diametrul redus și 100–130 kgf/mm² pentru sîrme groase.

Pentru arcuri cu destinație specială, mai ales pentru arcuri de supape se impune aplicarea tratamentului termic de călire și revenire, care se face înaintea înfășurării arcului în cazul sîrmei subțiri, sau după înfășurare în cazul unei sîrme groase care nu permite înfășurarea arcului la rece. În general, sîrma trasă la rece din oțel aliat fiind destinată, după cum indică alegerea calității materialului, pentru arcuri cu prescripții superioare, se supune tratamentului termic.

Sîrma trasă din oțel aliat pentru arcuri ce urmează a fi călite și revenite. La fabricarea arcurilor din oțel aliat supuse tratamentului termic de călire și revenire se folosește sîrma cu secțiune circulară, pătrată sau lată, trefilată sau laminată la rece, conform STAS 892-60.

Oțelul din care se trag aceste semifabricate este oțelul prevăzut în STAS 795-62 sau un oțel cu o compoziție chimică corespunzătoare, stabilită pe bază de înțelegere între producător și beneficiar. STAS 892-60 prevede dimensiunile, toleranțele și condițiile de livrare ale acestei sîrme. Conform acestui standard, sîrmele se livrează cu dimensiunile după cum urmează:

— sîrma cu secțiune circulară, cu diametrul cuprins între 3 și 12,5 mm;

— sîrma cu secțiune pătrată, cu latura de 3–10 mm;

— sîrma lată: lățimea nominală de 4–10 mm; grosimea nominală de 2–3 mm.

Sîrma se livrează în stare recoaptă și de calitate uniformă pe toată lungimea ei. Standardul limitează adîncimea stratului decarburat, și anume:

— pentru arcurile supuse la solicitări mari cu destinații speciale, sîrma va fi lipsită de strat decarburat, livrarea făcîndu-se în bare rectificate;

— la sîrmele rotunde și pătrate, adîncimea stratului decarburat va fi: maximum 0,1 mm pentru sîrmele cu diametru, respectiv lățimea cuprinsă între 3–6,5 mm inclusiv; maximum 0,2 mm, pentru restul dimensiunilor.

La recepția materialului trebuie avute în vedere anumite condiții de stare a suprafeței sîrmei, și anume: suprafața sîrmei trebuie să aibă un aspect uniform, fără dungi, așchii, crăpături, scobituri, pelicule, îngroșări, pete de rugină și alte defecte.

Sîrma trasă din oțel carbon de calitate pentru arcuri care nu trebuie tratate termic. STAS 893-54 prevede dimensiunile, toleranțele admise, condițiile de livrare și recepționare a sîrmei cu secțiune circulară trasă din oțel carbon de calitate, destinată fabricării la rece a arcurilor care nu trebuie tratate termic.

Standardul respectiv prevede patru calități de sîrmă, clasificarea făcîndu-se după rezistența la tracțiune a acestor sîrme.

În standard nu se indică compoziția chimică a oțelului din care se trag aceste sîrme; este prescris însă gradul de puritate al oțelului, care trebuie să fie cît mai înalt.

Compoziția chimică se stabilește de uzina producătoare în raport cu dimensiunile și marca sîrmei. Pentru cazuri speciale, beneficiarul, de acord cu producătorul, poate să stabilească compoziția chimică a oțelului. STAS 893-54 mai prevede condiții suplimentare de recepție pentru sîrmele cu destinație specială, arcuri de supapă; pentru fabricarea și livrarea acestor sîrme, destinația lor trebuie indicată în comandă.

Mărcile de sîrmă R2 și R3, destinate arcurilor de supape, vor satisface și condiții metalografice pentru structură, decarburare și eventual mărimea grăuntelui.

Procesul tehnologic de fabricație al oricărei calități de sîrmă trasă trebuie să conțină cel puțin un tratament termic; recoacere, normalizare sau patentare.

Sîrma obținută prin patentare, numită și sîrmă coardă de pian, este sîrma care între trefilări este supusă la operația de patentare. Ea prezintă caracteristici mecanice mai bune și toleranțe la diametru mult mai mici decît sîrma care, în vederea trefilării, este supusă operației de recoacere sau normalizare. De asemenea, sîrma patentată prezintă o uniformitate dimensională și o suprafață netedă, fără defecte.

Operațiile de recoacere, normalizare sau patentare au drept scop distrugerea ecrusajului produs de trefilările anterioare, și prin aceasta aducerea materialului în stare de a mai putea suporta trefilări în continuare. Aceste operații duc la micșorarea fragilității și rigidității, și deci la îmbunătățirea plasticității sîrmei.

În urma operației de patentare, care constă din încălzirea sîrmei la o temperatură cuprinsă între 850 și 1000°C și apoi răcirea ei într-o baie de plumb topit la temperatura de 480—510°C, se obține o structură sorbitică, rezultată din descompunerea izotermică a austenitei, cu o rezistență la rupere de 80—100 kgf/mm². Această structură permite un număr mare de trefilări așa, încît în urma unui ecrusaj puternic se poate ajunge în final la o rezistență de rupere de 180—280 kgf/mm², adică la rezistența corespunzătoare mării R4 (coardă de pian). Sîrma își păstrează în același timp o plasticitate suficientă, necesară prelucrărilor mecanice ulterioare.

Oțelul carbon destinat sîrmei R4 este caracterizat nu numai printr-un grad mare de puritate, ci și printr-un conținut ridicat în carbon. caracteristicile mecanice înalte ale acestei sîrme obținîndu-se prin combinarea efectului produs de conținutul ridicat în carbon și de gradul înalt de ecrusaj.

Compoziția chimică a oțelului pentru sîrma R4 poate fi următoarea: C 0,94%; Mn 0,38%, Si 0,16%, Cr 0,5%, P 0,030%, S 0,02%, Cu 0,2%.

În fig. 2.4 se dă comparativ variația rezistenței sîrmei obținută prin procedeul de patentare (curba *a*) și a sîrmei călitate și revenite (curba *b*) în funcție de diametrul sîrmei; se vede că

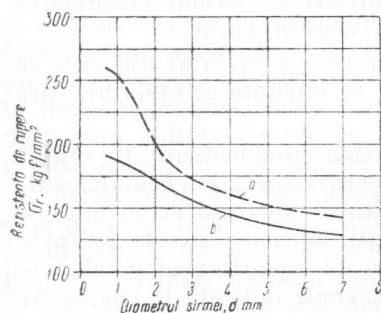


Fig. 2.4

diferența este mai accentuată la diametre mici. În ce privește rezistența la oboseală, sîrma R4 nu ajunge la valorile date de către sîrma călită și revenită. De aceea ea nu este potrivită pentru fabricarea arcurilor de supapă, adică la solicitări variabile.

Sîrma R4 se folosește în mod deosebit la fabricarea arcurilor spirale ale mecanismelor de precizie cum sînt mașinile de scris, de calcul, armele automate și altele.

Arcurile executate din sîrmă trasă (prin recoacere, normalizare sau patentare) nu sînt supuse de regulă unui tratament termic suplimentar, cu excepția unei încălziri reduse, în scopul eliminării tensiunilor remanente.

2. 2. 2. Considerații asupra tratamentului termic aplicat arcurilor din oțel

Imprimarea proprietăților corespunzătoare unui oțel de arcuri se face fie prin tratament termic de călire-revenire, fie prin deformări plastice la rece (ecruisare).

Arcurile executate din semifabricatele durificate prin ecrusare se supun și ele unui tratament termic, și anume unei recoaceri de detensionare, care constă din încălzirea la 230 pînă la 400°C, urmată de răcire în aer. Acest tratament termic are drept scop eliminarea tensiunilor remanente, apărute cu ocazia operațiilor executate la rece: deformarea plastică a semifabricatului și înfășurarea arcului. Pentru sîrma obținută prin patentare, limitele de recoacere pentru detensionare sînt mai strînse. În fig. 2.5. se indică variația rezistenței la rupere σ_r și a limitei de elasticitate σ_e , a acestei sîrme în funcție de temperatura de recoacere. Valorile maxime pentru σ_r și σ_e se obțin prin recoacere în jurul temperaturii de 200°C.

Tratamentul termic de călire-revenire se aplică semifabricatelor din oțeluri aliate, iar în anumite cazuri și semifabricatelor din oțel carbon, folosite la arcuri cu destinație specială. Acest tratament se aplică arcurilor gata executate, iar în unele cazuri și semifabricatelor folosite la executarea arcurilor prin înfășurare exclusiv la rece.

Tratamentul termic de călire-revenire este influențat foarte mult de dimensiunile relativ reduse ale arcurilor. Aici mai mult decît în alte cazuri, o călire prost aplicată duce la fragilitate, duritate neuniformă, deformății și fisuri. Operația de călire-revenire trebuie condusă astfel încît să se obțină o structură care să dea arcului o rezistență suficientă și în același timp tenacitate și limită elastică superioară. În urma călirii, în toată secțiunea materialului se urmărește obținerea unei structuri martensitice.

Reușita procesului depinde de următorii factori:

Compoziția chimică a oțelului, care trebuie să corespundă, din punctul de vedere al călibilității (adâncimea stratului călit), dimensiunii rezultate prin calcul pentru arcul respectiv. În general, toate elementele de aliere, care cu fierul γ formează soluții solide, măresc călibilitatea;

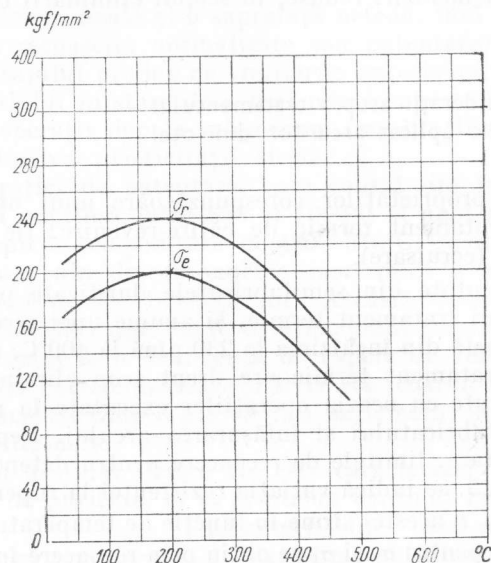


Fig. 2.5

influența este totuși diferențiată, așa cum s-a arătat la descrierea diferitelor oțeluri pentru arcuri. Elementele de aliere contribuie, de asemenea, la formarea unei structuri de martensită fină.

Temperatura de călire și durata de menținere la această temperatură, care trebuie să asigure completa transformare a perlitei și feritei în austenită, dar totodată să nu fie depășite ca să nu se producă o creștere exagerată a grăunților de austenită formați (supraîncălzire). Temperatura de călire și durata optimă se stabilesc pentru fiecare oțel și dimensiune în parte prin încercări prealabile, asociate cu un control metalografic sau de durtate.

Temperatura de călire și durata sînt influențate de viteza de încălzire a arcului. Cu cît încălzirea se face mai încet, cu atît temperatura la care are loc transformarea este mai mică, iar durata transformării mai

mare. Dintre elementele obișnuite de aliere ale oțelului pentru arcuri, manganul dă acestuia o sensibilitate ridicată la supraîncălzire, ceea ce impune o respectare riguroasă a temperaturii și duratei de încălzire, în vederea călirii. Un oțel supraîncălzit duce la o martensită grosolană și, în final, după revenire, structura obținută posedă proprietăți mecanice scăzute, îndeosebi reziliența scăzută. O încălzire uniformă a materialului arcului, în condițiile evitării unei supraîncălziri la suprafață, se realizează în băi de sare și de plumb.

Viteza de răcire are o influență hotărîtoare asupra formării martensitei în toată secțiunea materialului arcului. Dacă viteza cu care se răcește arcul nu este suficient de mare încît să se asigure și în miezul sîrmei transformarea austenitei în martensită, apar structuri nedorite ca perlita, care provoacă tasarea timpurie a arcului, sau troostita de călire. Troostita de călire, care se obține la viteze de răcire superioare transformării perlitice, dar inferioare transformării martensitice, prezintă cementita sub formă de lamele, ceea ce face oțelul fragil chiar și după revenire, întrucît temperatura de revenire nu poate realiza solubilizarea cementitei. Structura obținută în urma unei căliri în condiții optime corespunde unei martensite fine, dar cu cît conținutul în carbon este mai ridicat, cu atît probabilitatea de a găsi o cantitate oarecare de austenită reziduală este mai mare.

Viteza de răcire trebuie să fie mai mare, mai ales în intervalul de temperaturi 600—450°C, cînd austenita prezintă nestabilitatea cea mai accentuată, transformarea ei ducînd în acest caz la troostita de călire. Viteza de răcire trebuie să fie relativ mică în intervalul de temperaturi 300—200°C (în jurul temperaturii de formare a martensitei), pentru a preîntîmpina apariția tensiunilor termice datorite răcirii. În funcție de aceste două caracteristici pe care trebuie să le posede un mediu de răcire, se alege de preferință drept mediu de răcire uleiul care, în intervalul de temperatură 600—450°C, posedă o viteză de răcire de circa 130°C/s, iar în intervalul de temperatură 200—300°C — de circa 25°C/s.

În cazul oțelurilor carbon, viteza de răcire în intervalul de temperatură 600—450°C trebuie să fie deosebit de mare, așa încît uleiul nu mai corespunde ca mediu de răcire. În acest caz se folosește apa, care prezintă o viteză de răcire de circa 500°C/s pentru intervalul de temperatură 600—450°C și de circa 260°C/s pentru intervalul 200—300°C.

Viteza de răcire ridicată în jurul punctului martensitic este cauza frecventelor crăpături la care este expus după călire oțelul carbon.

Din această cauză arcurile nu se pot folosi în starea corespunzătoare călirii pentru martensită; ele trebuie supuse unui tratament termic de

revenire prin care se urmărește mărirea tenacității, reducerea durității și reducerea tensiunilor interne. O mare influență asupra acestui proces o au temperatura de revenire și durata menținerii la această temperatură. Modificările care apar la încălzirea unui oțel cu 0,4% C, călit în prealabil pentru martensită, se pot urmări în diagrama din fig. 2.6.

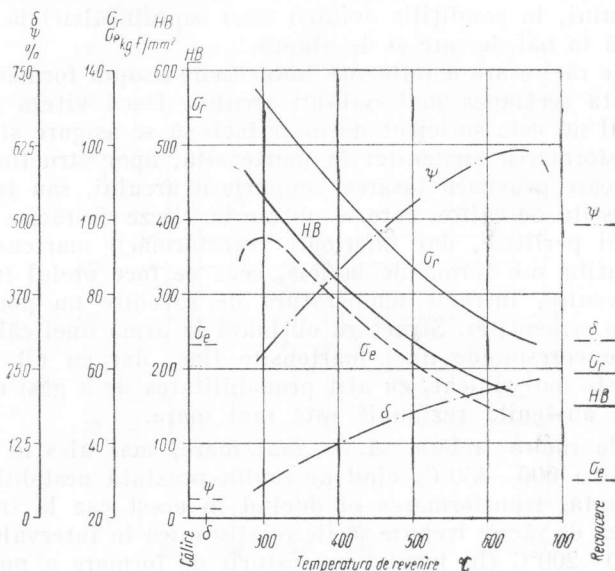


Fig. 2.6

În figură au fost reprezentate curbele de variație în funcție de temperatură ale: alungirii specifice la rupere $\delta\%$, gîturii specifice $\psi\%$, durității Brinell HB, limitei de elasticitate σ_e și rezistenței de rupere σ_r . Proprietățile materialului călit sînt indicate în partea stîngă a diagramei, iar valorile corespunzătoare materialului recopt sînt date în partea dreaptă a diagramei.

Curbele arată că pe măsura ridicării temperaturii de revenire, începînd de la 250°C, rezistența oțelului, cu excepția limitei de elasticitate (proporționalitate), scade, iar reziliența crește. Modificarea apreciabilă a proprietăților mecanice începe la temperatura de 400°C, iar la temperaturi de revenire cuprinse între 550—600°C se ajunge la o îmbinare optimă a proprietăților mecanice, caracterizată printr-o rezistență sufi-

cientă și o reziliență ridicată. Oțelul supus unei asemenea reveniri înalte prezintă constituenții structural de sorbită globulară.

Arcurilor supuse la sarcini dinamice li se aplică revenirea la temperaturi care duc la obținerea sorbitei globulare; celor cărora li se cere o rezistență și o duritate mai ridicată revenirea se face în jurul temperaturii de 500°C, cînd se obține o structură troosto-sorbitică. Constituentul denumit troostită de revenire se obține prin revenirea oțelului la temperaturi de 300—450°C. Datorită dispersiei fine a cementitei, troostita de revenire este un constituent tenace, spre deosebire de troostita de călire care, din cauza cementitei lamelare, este casantă.

Formarea structurilor de revenire se bazează pe un proces de difuziune a carbonului, proces care este ușurat nu numai de temperatura ridicată, ci și de durata menținerii la această temperatură. Deoarece modificările structurale care intervin în timpul procesului de revenire sînt însoțite și de modificări în volum (diferenții constituenți avînd volume diferite) pentru a se evita apariția de crăpături, încălzirea trebuie să se facă treptat, temperatura cuptorului la introducerea arcului trebuie să fie cu circa 150°C mai mică decît temperatura prescrisă revenirii. Folosirea băilor de revenire asigură o temperatură de încălzire uniformă a arcului și-l ferește de oxidare, necesitînd o întreținere relativ simplă. De reținut că revenirea trebuie aplicată imediat după călire.

La alegerea duratei de revenire la o anumită temperatură, pentru a se evita obținerea de rezultate diferite chiar în cazul aceluiași lot de arcuri tratate termic, trebuie să se aleagă regimul la care proprietățile devin practic stabile. Curba de variație a acestor proprietăți este asimptotică la axa timpului. Pentru temperaturi de revenire care depășesc 300°C, menținerea la temperatura de revenire este între o jumătate de oră și o oră.

Structura oțelului supus revenirii este hotărîtoare în obținerea unei structuri de revenire cu o dispersie fină a cementitei. Influența dăunătoare a grăuntelui de austenită mult crescut cu ocazia supraîncălzirii oțelului în timpul călirii se manifestă după revenire și se resimte mai ales asupra rezilienței arcului. Caracteristicile de reziliență sînt mai puțin influențate. Structura optimă de călire, din care să rezulte o structură optimă de revenire, o constituie martensita fină prezentă în toată secțiunea arcului. S-a arătat că dacă în miezul arcului se obține troostită de călire, aceasta nu suferă nici o modificare în urma încălzirii pentru revenire, arcul respectiv prezentînd o reziliență scăzută.

Viteza de răcire după revenire trebuie să fie redusă pentru a se evita apariția unor noi tensiuni remanente de natură termică. În cazul oțelurilor care prezintă sensibilitate la fragilitate după revenire la tem-

peraturi înalte, și anume la temperaturi care depășesc 500°C , răcirea lentă este contraindicată. În diagrama din fig. 2.7 se poate urmări efectul pe care îl are asupra rezilienței o răcire bruscă, în comparație cu una lentă, în cazul unui oțel crom-nichel.

Fenomenul de micșorare a rezilienței, cînd răcirea de la temperatura de revenire ridicată se face încet, este numit fragilitate de revenire de ordinul doi sau fragilitate de revenire reversibilă.

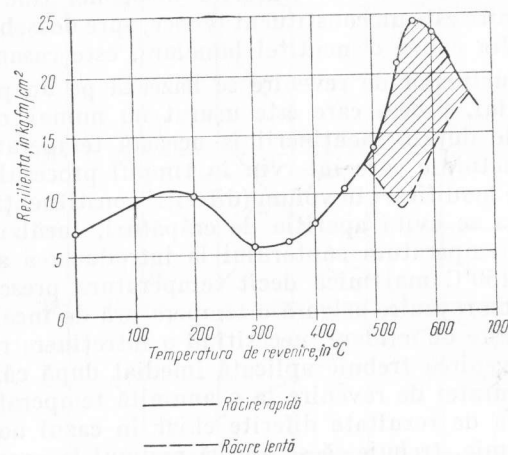


Fig. 2.7

Curba din fig. 2.7 pune în evidență existența a încă unui domeniu de reziliență scăzută, între 300 și 400°C . Această fragilitate, numită fragilitate de ordinul întâi sau fragilitate de revenire ireversibilă, apare independent de condițiile de răcire și poate fi înlăturată numai printr-o revenire la o temperatură mai înaltă. Fragilitate de ordinul întâi prezintă, într-un grad mai mare sau mai mic, toate oțelurile. Fragilitate de revenire de ordinul doi și de ordinul doi prezintă oțelurile al căror conținut în fosfor depășește $0,05-0,06\%$, adică depășește limita admisă din oțelurile de calitate, precum și oțelurile cu un procent ridicat de mangan. Cromul dă de asemenea acest neajuns oțelului mai ales cînd conține nichel și un procent ridicat de mangan. Molibdenul și wolframul reduc această sensibilitate a oțelurilor.

Tensiunile termice, care apar cu ocazia răcirii bruște a oțelurilor care manifestă sensibilitate la fragilitatea de ordinul doi, se pot elimina printr-o recoacere de detensionare la temperatură coborîtă, urmată

de răcire lentă. Este de menționat faptul că fragilitatea de ordinul doi, care apare, de exemplu, în cazul unei reveniri la 520°C , urmată de răcire lentă, poate fi înlăturată printr-o revenire la 570°C , urmată de răcire rapidă; însă dacă în timpul încălzirii în vederea eliminării tensiunilor interne rezultate prin răcirea bruscă, dintr-o eroare oarecare arcurile ajung iarăși la temperatura de 520°C , în urma răcirii lente, se obține din nou reziliență scăzută.

Prin călire obișnuită, într-un singur mediu, urmată de revenire, nu se realizează o suficientă eliminare a tensiunilor interne, așa încît pentru arcurile cu toleranțe de funcționare strînse se aplică, cu rezultate mai bune, călirea în trepte sau chiar călirea izotermă, care duc la o eliminare mai completă a tensiunilor interne și la proprietăți mecanice mai înalte. Călirea întreruptă în cazul arcurilor este dificil de realizat.

Călirea în trepte constă în călirea piesei în două medii de răcire; martensita obținută este transformată ulterior, prin revenire, în sorbită. Practica acestei căliri presupune cunoașterea temperaturii de început de transformare a austenitei în martensită, temperatură care depinde

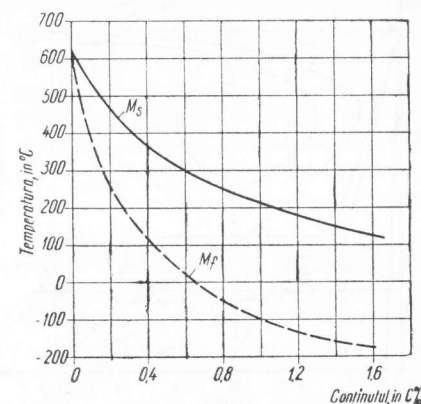


Fig. 2.8

de compoziția chimică a oțelului respectiv și îndeosebi de conținutul în carbon. În fig. 2.8 se dau curbele de început (M_s) și sfîrșit (M_f) ale transformării austenitei în martensită în funcție de conținutul în carbon.

Arcul încălzit la temperatura prescrisă pentru călire este răcit întîi într-un mediu cald la o temperatură puțin superioară temperaturii de

inceput de transformare a austenitei în martensită (în jurul temperaturii de 250°C), menținut la această temperatură un timp suficient ca toate punctele arcului să ia temperatura respectivă, apoi răcit din nou cu viteză mică într-un mediu cu temperatura de $40-60^{\circ}\text{C}$.

În prima treaptă de răcire, austenita rămâne neschimbată și de-abia în a doua treaptă austenita trece în martensită (are loc călirea propriu-zisă). Schematic, călirea în trepte se poate urmări pe fig. 2.9 (curba 2), comparativ cu călirea obișnuită într-un singur mediu (curba 1). Este de remarcat faptul că timpul de menținere în prima baie de răcire nu trebuie depășit, ca să nu aibă loc transformarea austenitei; în diagramă, segmentul ab nu taie curba de început de transformare a austenitei.

Acest procedeu de călire duce la apariția unor tensiuni interne termice reduse, deoarece răcirea se împarte în două etape; de asemenea, transformările în diferitele puncte ale arcului se produc simultan. Acest

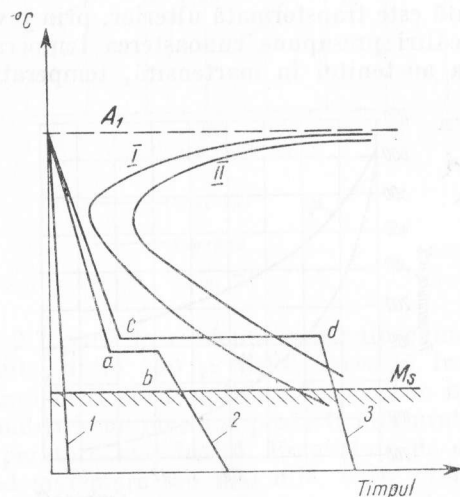


Fig. 2.9

mod de călire este indicat arcurilor de dimensiuni reduse, executate din oțeluri care se călesc în apă (oțeluri carbon și oțeluri slab aliate).

Călirea izotermă a arcurilor are drept scop transformarea austenitei la temperatură ridicată în bainită, o structură care dă oțelului caracteristici mecanice superioare, îndeosebi rezistență la oboseală, reziliență ridicată pentru durtăți de asemenea ridicate. Călirea izotermă constă

din răcirea rapidă a arcurilor într-un mediu cald a cărui temperatură să asigure transformarea austenitei în bainită (fig. 2.9, curba 3), după care urmează o răcire pînă la temperatura mediului ambiant. Durata de menținere în mediu cald, care nu trebuie să depășească temperatura de 450° — mai ales pentru arcurile din oțel sensibil la fragilitatea de revenire de ordinul doi — trebuie să fie suficient de mare pentru ca în acest timp să se termine transformarea izotermică a austenitei. În diagramă se vede că segmentul cd taie atât curba I de început, cât și curba II de sfârșit de transformare a austenitei, așa încît răcirea ulterioară se poate face cu orice viteză, aceasta nemaiavinnd nici o influență asupra structurii. O călire izotermă corect condusă în ce privește temperatura și timpul de menținere în baia de călire face inutilă operația de revenire. Transformarea austenitei făcîndu-se la temperatură ridicată, tensiunile interne care apar sînt reduse, așa încît arcurile călite în acest mod nu necesită de obicei nici un tratament termic de recoacere

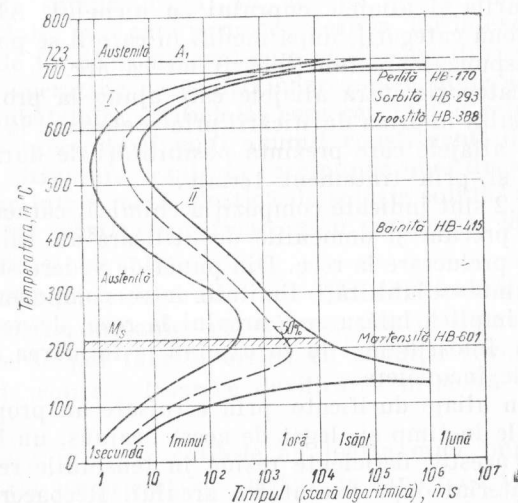


Fig. 2.10

de detensionare. Călirea izotermă se aplică numai oțelurilor aliate, caracterizate printr-o perioadă de incubare mare a austenitei (durată mare de stabilitate a austenitei în oțel la temperaturi mult inferioare punctelor critice). Pentru fiecare oțel în parte trebuie să se cunoască curbele transformării izoterme a austenitei în funcție de care se poate stabili temperatura și durata menținerii în baia de călire. În fig. 2.10

sînt date curbele de transformare izotermică a austenitei în cazul unui oțel eutectoid. Curba *I* indică începutul transformării, curba *II* indică sfîrșitul transformării, iar curba întreruptă indică transformarea austenitei în proporție de 50%. Pe diagramă mai sînt indicate și structurile care se obțin în cazul călirii izoterme la diferite temperaturi, cu duritatea Brinell corespunzătoare.

2.3. Metale neferoase

2.3.1. Caracteristici generale

Anumite arcuri, cărora li se cer anumite proprietăți speciale, corespunzătoare condițiilor de exploatare, se execută din metale neferoase. Dintre acestea, o importanță deosebită prezintă aliajele de cupru: alămurile, bronzurile și aliajele cuprului cu nichelul. Aliajele de cupru se împart în două categorii, după modul în care li se pot imprima proprietățile corespunzătoare funcționării lor ca arc.

În prima categorie intră aliajele care ajung la proprietăți elastice și rezistență înaltă în urma durificării prin prelucrare la rece (ecruisare), iar în a doua, aliajele care prezintă posibilități de durificare atît prin ecrusare, cît și prin tratament termic.

În tabela 2.2 sînt indicate compoziția chimică, caracteristicile mecanice și fizice, precum și domeniile de utilizare ale aliajelor de cupru durificate prin prelucrare la rece. Din punct de vedere structural, aceste aliaje nu prezintă solubilități limitate între componenți. Durificarea prin ecrusare implică înfășurarea arcului la rece, de aceea aliajele respective se pot folosi numai în cazul cînd la formarea arcului nu apar sarcini mari de încovoiere.

Arcurile din aliaje durificate prin ecrusare au proprietăți elastice reduse, instabile în timp și, legat de acest neajuns, un histeresis foarte ridicat. Cauza acestor deficiențe rezidă în tensiunile remanente considerabile în material după executarea arcului. Recoacerea de detensionare la care sînt supuse arcurile după executare, făcută cu precauțiune ca să nu se distrugă ecrusarea și deci proprietățile elastice, nu reușește să elimine complet tensiunile din material. Tensiunile remanente duc nu numai la instabilitatea caracteristicilor arcului în raport cu timpul, dar și la ruperea arcului după un timp oarecare de funcționare.

Din gama aliajelor de cupru posibile se folosesc pentru arcuri numai acelea care prezintă în structură constituenți maleabili care să suporte un grad înalt de ecrusare.

În tabela 2.3 sînt indicate compoziția chimică, caracteristicile mecanice și fizice, precum și domeniile de utilizare ale aliajelor de cupru, care se durifică prin deformări plastice la rece sau prin tratament termic. Arcurile din aliaje de cupru, tratate termic, posedă caracteristici mult mai bune decît arcurile ale căror proprietăți elastice se datoresc ecrusării.

Prin tratament termic, care constă din călire prin precipitare, se pot durifica unele aliaje de cupru care prezintă în diagramele respective de echilibru limite de solubilitate în stare solidă. Călirea prin precipitare a acestor aliaje constă dintr-o operație de punere în soluție, urmată de o răcire rapidă și în final de o operație de maturizare (îmbătrînire artificială). Operația de punere în soluție constă din încălzirea aliajului peste temperatura de transformare în stare solidă și din menținerea un timp suficient la această temperatură, pentru ca un anumit constituent să treacă total în soluție solidă. Răcirea rapidă care urmează duce la o soluție solidă suprasaturată. În această stare, materialul prezintă o mare plasticitate, fapt care permite folosirea lui la executarea elementelor elastice de formă complexă, cum ar fi burdufurile și membranele gofrate. După operațiile de confecționare, elementele elastice se supun operației de îmbătrînire artificială, care constă din reîncălzirea aliajului în vederea precipitării unui anumit constituent din soluția solidă suprasaturată. Structura rezultată corespunde unei dispersii fine a unui constituent dur într-o masă plastică de soluție solidă, care dă materialului proprietăți elastice superioare și o rezistență comparabilă cu a oțelurilor călite și revenite.

Aliajele călibile, comparativ cu cele durificabile prin ecrusare, avînd caracteristici mecanice superioare, sînt utilizate pe o scară mai largă. Din ele se pot fabrica arcuri cu condiții severe de înfășurare, fără pericol de rupere, deoarece durificarea urmează după înfășurarea arcului.

De asemenea, aliajele călibile au foarte mici imperfecțiuni în ce privește variația proprietăților elastice în raport cu timpul, ceea ce se explică prin eliminarea practic completă a tensiunilor remanente în timpul încălzirii pentru maturizare. Aceste arcuri prezintă o durificare mult mai omogenă în volum.

În scopul ușurării alegerii materialului celui mai potrivit unor condiții de funcționare date, se vor descrie cîteva aliaje de cupru, aparținînd celor două categorii, aliaje folosite mai frecvent la fabricarea arcurilor.

Aliaje pe bază de cupru durificate

Materialul	Compoziția chimică, %	Conductivitate electrică la 20°C, raportată la cupru pur, %	Limita de proporționalitate, kgf/mm ²	Limita de curgere, kgf/mm ²	Rezistența la rupere, kgf/mm ²	Modulul de elasticitate ×10 ³ , kgf/mm ²	Modulul de elasticitate transversal ×10 ³ , kgf/mm ²
Cupru	Cu 99,9	98	21,8	34,2	40	11,6	3,88
Alamă	Cu 70 Zn 30	25	31	54,5	68	9,5	3,25
Alamă cu nichel (Neusilber)	Ni 18	6,3	35,6	54,2	70	13	4
Bronz fosforos	Cu 94,7 Sn 5,3	16	47	66,5	74,5	10,6	3,88—4,5
Bronz fosforos	Cu 93,3 Sn 6,7	13,4	62	80,5	87,5	10,6	3,88—4,5
Bronz cu conductivitate ridicată	Cu 99 Sn 1	50—55	23,4	46,5	58,5	11,6	—
Bronz cu siliciu	Cu 96 Si 3 Mn 1	6,7	31	62	71	10	—
Bronz cu cadmiu	Cu 99 Cd 1	85	23,2	47	59	11,6	—
Monel	Ni 60—70 Fe 2—3 Mn 1,20—1,80 Cu restul	3,7	16	39	71—77,5	11,8	6,5

Tabela 2.2

prin prelucrare la rece

Duritatea Brinell, kgf/mm ²	Alungirea, %	Rezistența la oboseală		Observații
		Număr de cicluri ×10 ⁶	Rezistența kgf/mm ²	
110	9,8	300	7,6	
180	20	300	10,1	Tras sau laminat la rece. Proprietăți anticorozive: rezistența la vapori supraîncălziți și CO ₂ . Nu rezistă la H ₂ SO ₄ . Conductibilitate electrică bună
190—220	20—30	100	16,1	Tras sau laminat la rece. Proprietăți anticorozive mai bune decât alama.
220	10—15	100	15,8	Tras sau laminat la rece. Arcuri cu proprietăți anticorozive mai bune decât ale arcurilor din alamă: rezistă soluțiilor slab acide, 20% H ₂ SO ₄ . Limita elastică, rezistența mecanică și rezistența la oboseală ridicate.
240	10	100	12	
120	10—15	—	—	Tras sau laminat la rece. Arcuri cu conductivitate electrică ridicată. Proprietăți anticorozive.
180	20—30	100	12,5	Tras sau laminat la rece. Arcuri ieftine, înlocuiesc arcurile din bronz fosforos.
120	10	—	—	Tras sau laminat la rece. Arcuri cu conductivitate electrică bună, apropiată de a cuprului, însă cu rezistența mecanică mai mare decât a acestuia.
200—220	—	260	23	Tras sau laminat la rece. Arcuri cu rezistență înaltă. Proprietăți anticorozive: rezistă la apă de mare, vapori supraîncălziți, CO ₂ , Cl, soluții slab acide de H ₂ SO ₄ , substanțe alcaline.

Aliaje pe bază de cupru durificate prin

Materialul	Compoziția chimică, %	Conductivitate electrică raportată la Cu pur, %	Limita de proporționalitate, kgf/mm ²	Limita de curgere, kgf/mm ²	Rezistența la rupere, kgf/mm ²	Modul de elasticitate $\times 10^3$, kgf/mm ²
Alamă specială	Cu 72 Ni 6 Al 1,5 Zn 20,5	15,6	40	70	85	11
Bronz cu crom	Cr 0,6—0,85 Cu 99—99,4	80—85	23—4	46,8	55,5	12
Bronz cu aluminu	Cu 88,9 Al restul	6,7	45	70	80	11,6
Bronz cu beriliu	Be 2 Co 0,5 Cu 97,5	25—30	75	100	116—140	11,6—13
Monel K	Ni 66 Cu 29 Al 5	28	62	93—116	116—130	16,8
Nichel Z	Ni 98 Cu, Mn, Fe, Si 2	4	73	114	140	21

2.3.2. Alămuri pentru arcuri

Acestea cuprind alăturile industriale și alăturile speciale, utilizabile la fabricarea arcurilor.

Alăturile industriale, utilizate la execuția arcurilor, conțin 10—37% Zn, restul Cu. Zincul adăugat cuprului mărește duritatea și rezistența la rupere; adaosul este limitat de faptul că la un conținut mai mare de 45% Zn, apare un constituent fragil.

Arcuri cu caracteristici bune se obțin din aliaje cu conținut de zinc cuprins între 30—33%.

În STAS 95-59 sînt prevăzute alăturile laminabile, dintre acestea însă, ca material pentru arcuri nu se pot folosi decît alăturile cu simbolurile Am70 și Am72.

Plasticitatea mare a alăturilor industriale le face utilizabile la executarea arcurilor de formă complexă. Arcurile respective au proprietăți

Tabela 2.3

prelucrare la rece sau tratamente termice

Modul de elasticitate transversal $\times 10^3$, kgf/mm ²	Duritatea Brinell, kgf/mm ²	Alungirea, %	Rezistența la oboseală		Observații
			Numărul de cicluri $\times 10^6$	Rezistența kgf/mm ²	
4	157	20	300	12,8	Tratate termic. Arcuri cu proprietăți anticorozive și caracteristici mecanice bune
4,5	150	10	300	15,8	Tratate termic. Conductivitate electrică comparabilă cu a cuprului, însă mai rezistent ca acesta
5	200	7	100	16	Tratate termic. Arcuri cu proprietăți anticorozive; rezistă mai ales la apa de mare. Sînt ieftine.
4,6—5,5	350	10	300	20	Tratate termic. Arcuri cu proprietăți anticorozive chiar la temperatura de 150°C. Conductivitate electrică bună
6	330	—	20	23	Tratate termic. Idem ca la aliajul Monel, în plus caracteristici mecanice înalte
5	—	—	—	—	Tratate termic. Păstrează proprietățile elastice și mecanice chiar la temperatură ridicată

anticorozive slabe, dar mai bune decît oțelurile obișnuite de arcuri; sînt stabile în apă dulce, apă de mare, aburi și CO₂.

Arcurile din alamă, deși ieftine, nu au o utilizare largă, deoarece nu prezintă o siguranță în funcționare din cauză variației proprietăților elastice cu timpul și din cauza pericolului de fisurare.

Alăturile speciale folosite la executarea arcurilor sînt alăturile cu nichel. Nichelul mărește duritatea elementului de bază, a cuprului, fără însă a-i micșora alungirea. De asemenea, mărește rezistența la tracțiune, reziliența și rezistența la coroziune.

În STAS 3439-52 este standardizată sîrma de alamă cu nichel pentru arcuri, avînd următoarea compoziție: 58% Cu; 34—39,8% Zn; 3,5% Ni; Pb \leq 0,5%, Al \leq 0,1%, Fe \leq 0,2%, 0,2% diferite impurități.

Arcurile din acest aliaj rezistă la aceleași medii corosive la care rezistă și alăturile industriale, însă în concentrații mai mari prezintă caracteristici mecanice mai bune, mai ales în ce privește stabilitatea

proprietăților elastice în timp. Sînt supuse și ele pericolului fisurării în timpul funcționării datorită tensiunilor remanente.

Aliajul Neusilber (18—28% Zn; 13,5—19% Ni, restul cupru) are proprietăți anticorozive bune atît la temperatura obișnuită, cît și la temperaturi ridicate. În general, un conținut mai mare de 10% nichel dă alamei o culoare albă și proprietatea de a se lustrui bine. Nichelul scumpește însă foarte mult materialul. În STAS 1096-50 este standardizat materialul cu simbolul APC 55.18, care corespunde acestui aliaj.

Aliajul Neusilber se folosește frecvent la fabricarea arcurilor de telefon, datorită faptului că are un modul de elasticitate mai mare decît al celorlalte alămuri, asigurînd prin aceasta o presiune de contact foarte bună.

Alama specială cu adaos de aluminiu (20,5% Zn, 6% Ni, 1,5% Al, restul cupru) are o rezistență la tracțiune mai mare decît a celorlalte alămuri și o rezistență la coroziune superioară, datorită prezenței aluminului. Aliajul respectiv putînd fi tratat termic, arcurile nu sînt afectate de defectele provocate de tensiunile remanente (tensiuni apărute la formarea arcului).

2.3.3. Bronzuri pentru arcuri

Bronz fosforos. Staniul adăugat cuprului îi mărește rezistența la rupere, duritatea și rezistența la uzură, îi micșorează însă reziliența și alungirea. Aliajele care se folosesc la fabricarea arcurilor conțin staniu în proporție de 5—9%.

În STAS 93-62 sînt indicate, ca aliaje de bronz cu staniu pentru arcuri, aliajele Bz6 și Bz8.

În general arcurile din bronz fosforos sînt destinate să lucreze în medii corosive; sînt mai rezistente la coroziunea apei de mare, la soluții slab acide în general și la aburi decît alăturile.

Prezintă, de asemenea, o bună rezistență mecanică, rezistența la oboseală și o limită elastică ridicată.

Aliajul respectiv se durifică numai prin tratament termic.

Aliajele cu 1% Sn sînt indicate pentru execuția arcurilor cu conductibilitatea electrică mare, însă sub sarcini nu prea mari.

Bronz cu siliciu. Siliciul intră în componența bronzurilor ca înlocuitor al staniului, în scopul obținerii unui bronz mai ieftin. Materialul pentru arcuri se elaborează cu un conținut de 2—5% Si. Un adaos scăzut de mangan îi îmbunătățește proprietățile.

În general, arcurile din bronz cu siliciu, acolo unde condițiile de lucru nu sînt prea severe, înlocuiesc cu succes arcurile din bronz cu staniu (bronz fosforos).

Bronz cu cadmiu și bronz cu crom. Atît cadmiul, cît și cromul, în procente reduse (în jur de 1%) măresc rezistența la rupere a cuprului, fără a-i micșora sensibil conductibilitatea electrică. Arcurile respective se utilizează acolo unde se cere o conductibilitate electrică ridicată în condiții de solicitări mecanice importante.

Bronz cu aluminiu. Aluminiul mărește rezistența la coroziune, rezistența la rupere și duritatea, fără a micșora sensibil alungirea.

Conținutul în aluminiu nu poate depăși procentul de 10%, peste care bronzul devine fragil. În tabela 2.3 se dau caracteristicile aliajului corespunzător compoziției 88,9% Cu și 11,1% Al, supus unei căliri la 900°C, urmată de o operație de maturizare la 500°C.

Bronzul de aluminiu laminabil este standardizat conform STAS 203-53.

Arcurile din bronz de aluminiu se folosesc pentru rezistența lor la coroziune, mult superioară arcurilor din alamă sau bronz fosforos. Ele rezistă la acțiunea bioxidului de carbon, a acizilor organici; în apa de mare prezintă o stabilitate comparabilă cu arcurile din cele mai bune oțeluri inoxidabile. Sînt mai puțin rezistente față de baze și mai ales față de acizii minerali concentrați.

Bronzurile de aluminiu sînt mai puțin deficitare decît bronzurile cu staniu corespunzătoare.

Bronz cu beriliu. Aliajele de cupru și beriliu, denumite și bronzuri α cu beriliu, prezintă un interes deosebit la fabricarea arcurilor, căroră le transmite calități superioare. Conținutul în beriliu al acestor bronzuri este de 2—3%; un adaos de cîteva procente de nichel, cobalt sau siliciu favorizează obținerea unei structuri fine.

Pentru orientare, în tabela 2.3 sînt indicate caracteristicile mecanice și fizice ale aliajului cu compoziția: 97,5% Cu; 2% Be; 0,5% Co.

Valorile caracteristicilor mecanice și fizice corespunzătoare aliajului indicat se referă la materialul călit în apă la 800°C, iar apoi supus unei îmbătrîniri artificiale la 350°C.

Arcurile din bronz de beriliu se folosesc ca:

— arcuri care lucrează în medii corosive (apă sărată, majoritatea bazelor, acid acetic, sărurile acidului sulfuric, mercur) și sub sarcini variabile;

— arcuri pentru aparate de precizie, avînd proprietăți elastice ridicate, stabile în timp și la temperatură ridicată; solicitările la temperaturi de 150—200°C pot fi aplicate timp nelimitat fără o micșorare a rezistenței;

— arcuri pentru diferite aparate electrice, avînd o bună conductibilitate electrică;

— arcuri rezistente la oboseală; arcuri la care survin pierderi reduse datorită histeresisului elastic;

— arcuri de ceasornice, amagnetice, arcuri manometrice, tuburi gofrate, membrane și capsule.

Prețul de cost ridicat limitează însă utilizarea arcurilor din bronz de beriliu.

2.3.4. Aliaje Cu-Ni pentru arcuri

Aliajul Monel. În tabela 2.2 sînt date compoziția chimică, precum și caracteristicile mecanice și fizice obținute în urma prelucrării la rece a acestui aliaj.

Arcurile din aliajul Monel sînt folosite datorită rezistenței lor la coroziune, datorită rezistenței la oboseală și remarcabilelor proprietăți elastice care se păstrează pînă la temperaturi de 200°C.

Aliajul Monel — K. Adăugînd aliajului Monel 3—6% Al și aplicîndu-i tratamentul termic corespunzător de călire prin precipitare, pe lîngă proprietățile caracteristice materialului de bază, se obține o rezistență și o duritate înaltă, fără ca alungirea să se micșoreze.

Aliajul Nichel — Z. Acest aliaj cuprinde circa 98% Ni, iar în rest diferite adaosuri de cupru, mangan, fier și siliciu. Este folosit la fabricarea arcurilor datorită proprietăților lui elastice superioare, pe care le păstrează chiar la temperaturi ridicate.

2.3.5. Semifabricate din aliaje de cupru

Semifabricatele din aliaje de cupru, avînd diferite grade de durități, se folosesc în funcție de natura aliajului și condițiile de execuție a arcului.

La aliajele durificabile numai prin ecruisare, semifabricatul trebuie să posede deja caracteristicile mecanice impuse arcului, care se obțin prin deformarea materialului la rece.

În diagrama din fig. 2.11 se dau relațiile de legătură dintre reducerea procentuală a secțiunii și creșterea rezistenței materialului pentru o sîrmă (a) și o lamelă (b) din bronz fosforos cu 6% Sn, pentru o sîrmă (c) și o lamelă (f) de alamă cu 70% Cu și 30% Zn și pentru o sîrmă (d) și o lamelă (e) de Neusilber cu 18% Ni.

În diagrama din fig. 2.12, a se arată legătura între reducerea procentuală a secțiunii semifabricatului și variația caracteristicilor mecanice (rezistența la rupere — a, reducerea suprafeței secțiunii în procente — b, limita de elasticitate — c, limita de proporționalitate — d, alungirea — e), pentru o lamelă de alamă cu 70% Cu și 30% Sn. În fig. 2.12, b se dă aceeași relație de legătură, însă în funcție de duritatea alamei.

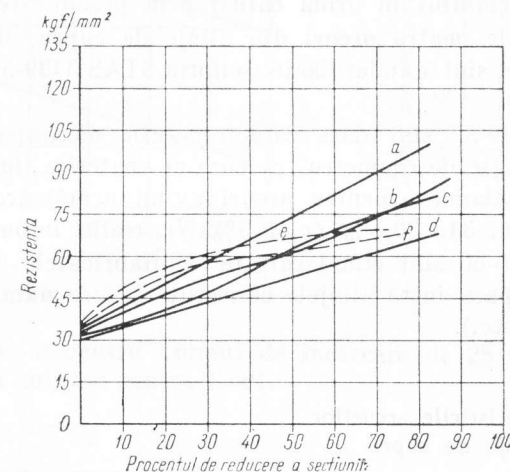


Fig. 2.11

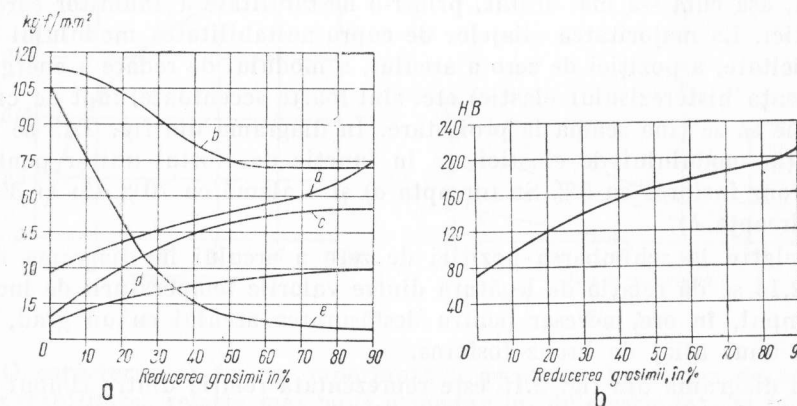


Fig. 2.12

Semifabricatele din categoria aliajelor care se durifică prin deformare la rece sau prin tratament termic se folosesc:

— în stare durificată, atunci când solicitările la executarea arcului permit;

— În stare moale sau parțial ecruisat, când condițiile de înfășurare sînt mai severe, proprietățile mecanice corespunzătoare urmînd să fie imprimate materialului în urma călirii prin precipitare.

Semifabricatele pentru arcuri din aliaje de cupru, durificate prin prelucrare la rece, sînt standardizate conform STAS 3439-52, STAS 93-62 și STAS 1096-60.

În STAS 3439-52 sînt date caracteristicile mecanice, diametrele, greutatea în funcție de diametru, precum și abaterile limită la diametrele sîrmei de alamă — pentru arcuri avînd următoarea compoziție chimică: 58% Cu, 34...39,8% Zn, 3,5% Ni, restul impurități.

În STAS 1096-60 sînt standardizate semifabricatele din alpaca (în denumirea de alpaca intră aliajele cunoscute și sub numele de Neusilber, Maillechort etc.).

2.3.6. Caracteristicile arcurilor din aliaje de cupru

Comportarea arcurilor la temperatura normală de lucru se caracterizează, așa cum s-a mai arătat, printr-o nestabilitate a anumitor caracteristici. La majoritatea aliajelor de cupru nestabilitatea modulului de elasticitate, a poziției de zero a arcului, a modulului de redare a energiei (prezența histerezisului elastic) etc. sînt foarte accentuate, fapt de care trebuie să se țină seama la proiectare. În diagrama din fig. 2.13 se dă variația modulului de elasticitate în funcție de efortul unitar pentru un bronz fosforos cu 5% Sn (dreapta *a*) și o alamă cu 70% Cu și 30% Zn (dreapta *b*).

Relativ la schimbarea poziției de zero a arcului în diagrama din fig. 2.14 se dă relația de legătură dintre valorile temperaturii de lucru și timpul, în ore, necesar pentru desfășurarea arcului cu un grad, în cazul unui aliaj de bronz fosforos.

În diagrama din fig. 2.15 este reprezentată relația dintre timpul de încărcare a unui arc din bronz de beriliu și abaterea în procente a defor-

mației; iar în diagrama din fig. 2.16 se dă relația dintre timpul de revenire și abaterea în % a deformației față de linia de zero, pentru bronz

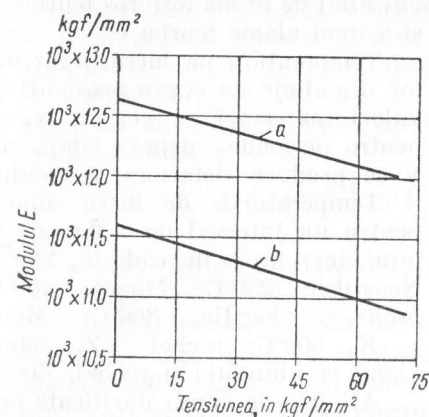


Fig. 2.13

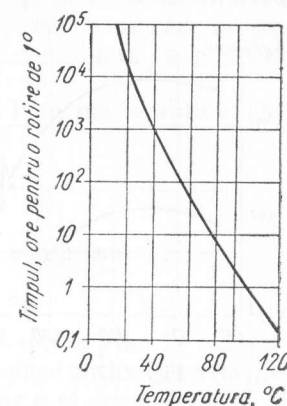


Fig. 2.14

fosforos. Curba *a* pentru timpul de încărcare de 25 de ore, curba *b* pentru 5 ore și curba *c* pentru 1 oră.

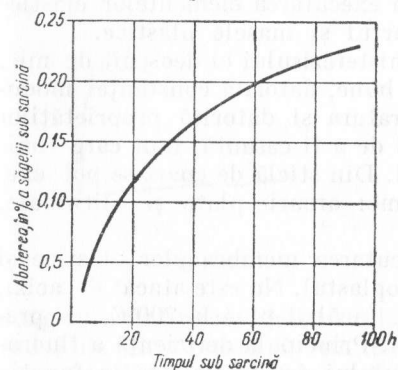


Fig. 2.15

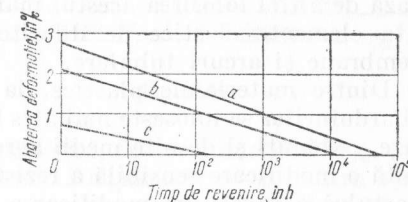


Fig. 2.16

O caracteristică foarte importantă a arcurilor din aliaje de cupru este stabilitatea relativ mai bună a modulului de elasticitate la tempe-

rături ridicate, în comparație cu a arcurilor din oțel. În diagrama din fig. 2.17 este reprezentată variația modului de elasticitate transversal în funcție de temperatură în cazul unui aliaj de bronz fosforos (curba *a*) și a unei alame (curba *b*).

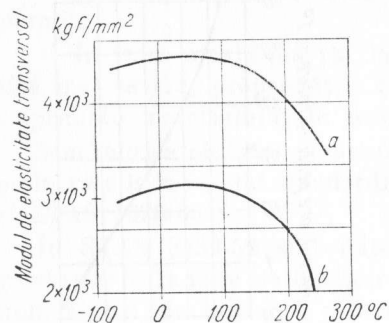


Fig. 2.17

Temperatura de lucru a arcurilor din aliaje de cupru poate atinge valori mai mari ca cea de regim, pentru perioade scurte de timp, fără a se produce deteriorarea arcului.

Temperaturile de lucru admise pentru un interval de timp de 15 min sînt: bronz de cadmiu, 200°C; Neusilber, 250°C; Monel, 400°C; bronz de beriliu, 300°C; Monel — K, 500°C; nichel — Z, 500°C; alamă cu aluminiu și nichel, 400°C.

Aliajele de cupru durificate prin tratament termic se pot supune la temperaturi de lucru mult mai mari decît cele durificate prin ecruisaj.

2.4. Materiale nemetalice

Din această categorie de materiale la executarea elementelor elastice se utilizează îndeosebi: cauciucul, cuarțul și masele plastice.

Sticla de cuarț se folosește datorită histerizisului ei deosebit de mic, datorită proprietăților ei elastice foarte bune, datorită constanței modului de elasticitate în raport cu temperatura și datorită proprietăților ei anticorozive. Prezintă inconvenientul de a fi casantă, fapt care limitează de altfel folosirea acestui material. Din sticlă de cuarț se pot executa elemente elastice de diferite forme: arcuri plate și elicoidale, membrane și arcuri tubulare.

Dintre materialele plastice, la executarea membranelor elastice și a burdufurilor se folosește mai ales fluoroplastul. Nu este atacat de acizi, baze, oxidanți și de alte medii agresive. Încălzit pînă la 200°C, nu prezintă o modificare sensibilă a rezistenței. Principala deficiență a fluoroplastului o constituie modificarea modului de elasticitate în funcție de temperatură.

Utilizare foarte largă în executare elementelor elastice o au diferitele tipuri de cauciuc. Comparativ, cauciucul natural are proprietăți elastice superioare cauciucului sintetic. În schimb, sub acțiunea luminii,

a căldurii, a oxigenului din aer, a unor agenți cum ar fi uleiurile sau benzina, cauciucul natural își pierde proprietățile elastice. Cauciucul sintetic este mai puțin sensibil la aceste influențe și tinde să înlocuiască cauciucul natural ca material pentru arcuri. Arcurile de cauciuc se execută din blocuri, plăci și tuburi de cauciuc, combinate cu piese metalice de armare.

Cauciucul nu urmează legea lui Hooke. I se poate aplica, însă, o relație asemănătoare:

$$\sigma = G \left[\varepsilon + 1 - \frac{1}{(\varepsilon + 1)^2} \right],$$

în care:

σ este efortul unitar de întindere sau de compresiune;

ε — alungirea relativă;

G — modulul de elasticitate transversal.

Pentru cauciucul natural, relația se poate aplica pînă la alungiri de aproximativ 300%. La alungiri mai mari se produce un fenomen de „recristalizare”, care face ca valoarea efortului unitar σ să crească brusc. În ce privește temperatura, relația este valabilă între -30°C și $+100^\circ\text{C}$.

Caracteristicile mecanice ale cauciucului sînt cu totul deosebite ca valoare de cele ale oțelurilor și, în general, de cele ale metalelor. Astfel, rezistența de rupere a cauciucului moale este de aproximativ 200 kgf/cm²,

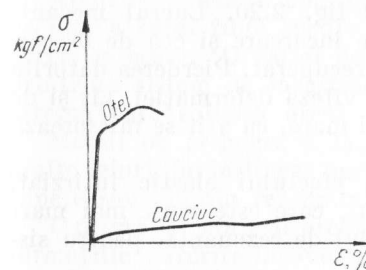


Fig. 2.18

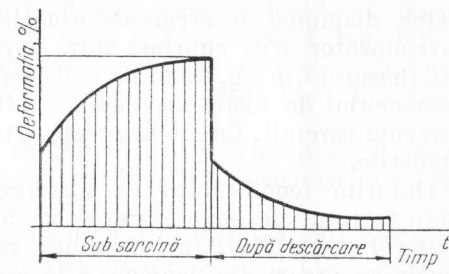


Fig. 2.19

alungirea relativă maximă a aceluiași material, de aproximativ 550%, iar modul de elasticitate $E=40\ldots 80$ kgf/cm². Diagramele $\sigma-\varepsilon$ pentru oțel și cauciuc din fig. 2.18, trasate la aceeași scară, arată această deosebire.

Efectul elastic întîrziat. După aplicarea sarcinii, deformarea pieselor de cauciuc continuă să crească. După aproximativ 10 minute, variația deformăției devine neglijabilă. Analog, la descărcare, deformăția nu dispăre complet, ci treptat (v. fig. 2.19). Acest fenomen este uneori

denumit și „curgere rece“. El este, de fapt, comun tuturor materialelor, cu deosebirea că la multe este atât de redus, încât poate fi neglijat la temperatura normală, ca de exemplu la oțel. În legătură cu acest fenomen apare necesitatea precizării noțiunii de „modul de elasticitate“

pentru cauciuc. Modulul de elasticitate static la cauciuc este cel care corespunde valorii finale a deformației (după aproximativ 10 min de la aplicarea sarcinii). În cazul sarcinilor variabile periodic, calculul trebuie să se efectueze ținând seama de modulul de elasticitate dinamic, de valoare mai mare decât modulul de elasticitate static și influențat de frecvență. În practică se ia:

$$E_d = Q E_{st},$$

unde coeficientul dinamic $Q = 1 \dots 1,25$.

Fenomenul de histerezis elastic pronunțat este caracteristic cauciucului. Presupunând o încărcare și o descărcare lentă și progresivă, se obține diagrama încărcare-deformație din fig. 2.20. Lucrul mecanic corespunzător ariei cuprinse între curba de încărcare și cea de descărcare (hașurată în fig. 2.20) nu mai poate fi recuperat. Pierderea datorită fenomenului de histerezis depinde atât de viteza deformației, cât și de frecvența sarcinii. Cu cât frecvența este mai mare, cu atât se micșorează pierderile.

Datorită fenomenului de histerezis și efectului elastic întârziat, apare factorul de amortizare al cauciucului, care este mult mai mare decât cel al oțelului. În consecință, pericolul de rezonanță, pentru sistemele cu arcuri din cauciuc, este redus.

Temperatura influențează negativ asupra calităților cauciucului: atât modulul de elasticitate, cât și rezistența de rupere scad cu creșterea temperaturii. Coeficientul de dilatație liniară a cauciucului este:

$$\alpha = (1,6 \dots 2) \cdot 10^{-4}.$$

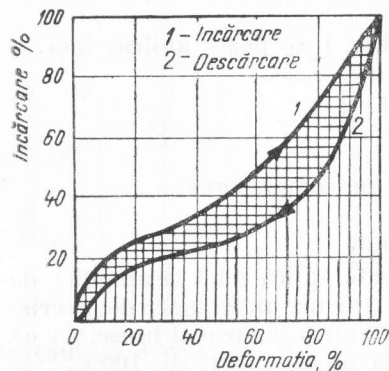


Fig. 2.20

3.

Arcuri în foi

3.1. Arcuri lamelare

3.1.1. Generalități

Arcurile lamelare sînt construite dintr-o singură foaie sau lamelă de arc, a cărei fibră medie poate fi după o linie dreaptă sau după o curbă oarecare. O astfel de lamelă este prinsă de obicei la un capăt printr-un sistem de încastrare, în timp ce la capătul liber acționează sarcina care soliciță arcul.

Modul de prindere a lamelei la capete poate fi realizat în foarte multe feluri. Se întîlnesc numeroase arcuri lamelare încastrate la ambele capete sau simplu rezemate la ambele capete.

O primă categorie de arcuri lamelare o constituie acele arcuri la care deformațiile datorite încovoierii se pot considera relativ mici față de lungimea lamelei, forma deformată fiind relativ apropiată de cea nedeformată.

O a doua categorie de arcuri lamelare o constituie acele arcuri la care deformațiile datorite încovoierii sînt relativ mari, astfel încît sub sarcină arcul lamelar ia forme foarte diferite.

3.1.2. Arcuri lamelare cu deformații mici

Arcurile lamelare cu deformații mici se utilizează, în general, în mecanisme și dispozitive la care forța de solicitare nu este prea mare. Cea mai mare utilizare a acestor tipuri de arcuri lamelare se întîlnește

la construcția aparatelor și instrumentelor de măsură, precum și la construcția dispozitivelor.

Exemple de utilizare a acestor tipuri de arcuri lamelare sînt indicate în fig. 3.1, lamelele de contact de la relele electromagnetice; în fig. 3.2,

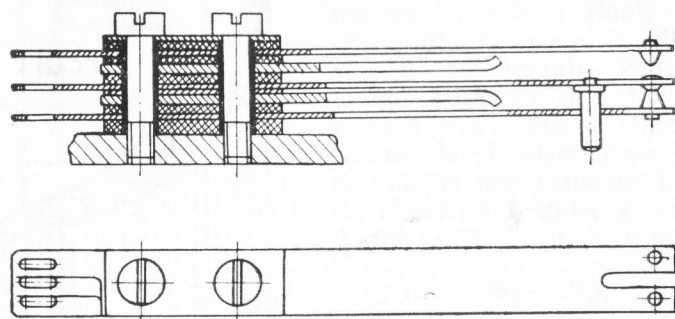


Fig. 3.1

arcurile lamelare folosite la un controler cu tobă și în fig. 3.3, arcul lamelar folosit la apăsarea unei pene mobile.

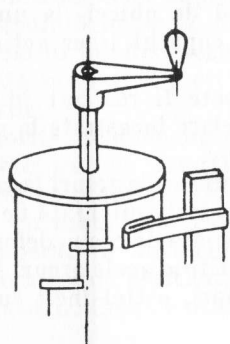


Fig. 3.2

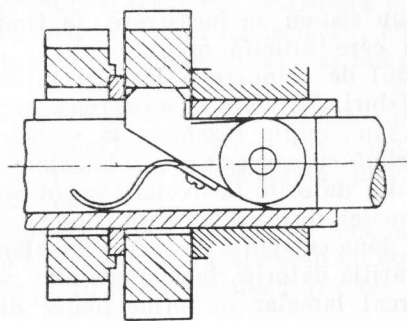


Fig. 3.3

Arcurile lamelare se pot întâlni și ca arcuri cu scop de suspensie elastică și de acumulare de lucru mecanic ca, de exemplu, la ciururile de la batoze sau arcul de suspensie de la scaunul tractoristului etc.

3.1.2.1. Arcul lamelar încastrat la un capăt

Arcurile lamelare încastrate la un capăt și încărcate cu o sarcină concentrată la celălalt capăt, care au în stare nedeformată fibra medie o linie dreaptă, sînt cele mai simple. În practică se întîlnesc foarte multe variante constructive de arcuri lamelare, cele mai utilizate tipuri fiind însă: arcul lamelar dreptunghiular, arcul lamelar triunghiular și arcul lamelar trapezoidal. Arcurile lamelare pot avea pe toată lungimea lor secțiunea constantă sau variabilă. Această variație a secțiunii poate fi liniară sau parabolică. Deoarece, în principiu, desfășurarea calculului pentru aceste arcuri este aceeași, în tabela 3.1 sînt arătate calculele principalelor elemente.

3.1.2.2. Arcul lamelar dreptunghiular cu braț dublu

Acest tip de arc se execută dintr-o lamelă dreptunghiulară, puțin curbată și prevăzută la capete cu două îndoituri de reazem (fig. 3.4). Arcul lamelar de acest tip se folosește ca arc de apăsare continuă în capetele A și B, sub acțiunea forței P, aplicată în mijlocul lamelei. În timpul funcționării, curbura lamelei variază.

Folosind notațiile din figura 3.4 se pot determina relațiile principale, necesare dimensionării unei astfel de lamele. Astfel, efortul unitar maxim la încovoiere, în mijlocul lamelei, este:

$$\sigma_{i \max} = \frac{3Fl}{bh^2} = \frac{1,5Pl}{bh^2} \leq \sigma_{ai}. \quad (3.1)$$

Săgeata arcului în dreptul forței P aplicată la mijlocul lamelei este dată de relația:

$$f = \frac{Fl^3}{24EI}, \quad (3.2)$$

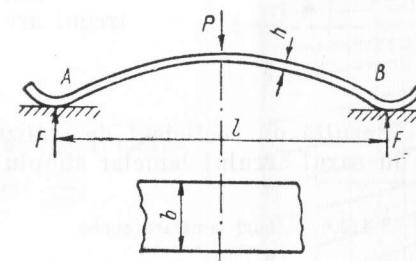


Fig. 3.4

sau ținînd seama de relația (3.1)

$$f = \frac{1}{6} \frac{l^3}{h} \frac{\sigma_{i \max}}{E}. \quad (3.3)$$

Lucrul mecanic al forței P este acumulat ca energie de deformare și este dat de relația:

$$L = \frac{Pf}{2} = W = \frac{1}{18} V \frac{\sigma_{i \max}^2}{E}. \quad (3.4)$$

3.1.2.3. Arcul lamelar dreptunghiular dublu încastrat

Acest tip de arc se execută dintr-o lamelă dreptunghiulară care se încastrează la ambele capete (fig. 3.5). Prin modul lui de utilizare, indicat și în figură, el poate fi asimilat cu două arcuri lamelare dreptunghiulare simplu încastrate, puse cap la cap. Folosind notațiile din figură se pot determina relațiile de calcul:

— pentru săgeată

$$f = \frac{1}{3} \cdot \frac{l^2}{h} \cdot \frac{\sigma_{i \max}}{E}; \quad (3.5)$$

— reacțiunea din încastrare F este egală cu forța de încărcare P determinată cu relația următoare:

$$P = \frac{bh^2}{6} \cdot \frac{\sigma_{i \max}}{l} \cdot \frac{1}{2}. \quad (3.6)$$

— energia de deformare acumulată de întregul arc

$$W = \frac{1}{18} V \frac{\sigma_{i \max}^2}{E}. \quad (3.7)$$

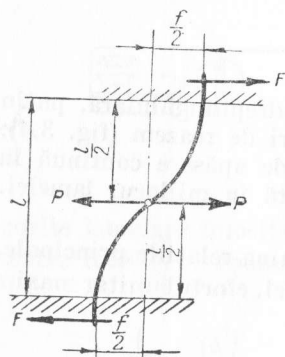


Fig. 3.5

Rezultă un coeficient de utilizare volumetric specific $\eta = 0,111$, ca și în cazul arcului lamelar simplu încastrat la un capăt.

3.1.2.4. Arcuri lamelare [curbe

În foarte multe dispozitive și mai ales în construcția aparatelor și a instrumentelor se întâlnesc arcuri lamelare care au linia medie curbă. În cele ce urmează vor fi luate în considerare acele arcuri pentru care, sub acțiunea forțelor, deformările arcului sînt relativ mici, astfel că alura arcului deformat nu este schimbată față de alura arcului nedeformat. Calculele necesare pentru dimensionarea și pentru determinarea deformărilor (săgeților) la aceste tipuri de arcuri se fac după metodele

Elemente de calcul	Simbolul	Unități	Relație de definiție
Secțiunea transversală în x	A_x	cm^2	A
Momentul de inerție în x	I_x	cm^4	I
Momentul de încovoiere în x	M_x	$\text{kg} \cdot \text{cm}$	$M = P(l-x)$
Derivata a doua a curbei elastice	y''	$\frac{1}{\text{cm}}$	$y'' = \frac{M}{EI}$
Înclinarea	y'	rad	$y' = \int_0^x y'' dx$
Ecuația fibrei medii deformate (curbei elastice)	y	cm	$y = \int_0^x y' dx$
			$Mh \quad E$

obișnuit folosite în calculul barelor curbe. Deoarece în practică se întâlnesc curent anumite tipuri de arcuri lamelare curbe, în tabela 3.2 sînt indicate relațiile de calcul pentru astfel de arcuri.

3.1.2.5. Arcuri în bucle plane multiple

Arcurile în bucle plane multiple, sollicitate la încovoiere (fig. 3.6), pot fi folosite ca arcuri de compresiune, tipul *A*, sau ca arcuri de întindere, tipul *B*. Acest tip de arc are o caracteristică liniară și poate fi utilizat în aceleași scopuri ca și arcul elicoidal cilindric. Calculul exact al acestui tip de arc se face după metodele de calcul utilizate pentru barele curbe. Pentru un calcul aproximativ, satisfăcător cerințelor practicii, se folosesc relații aproximative care dau erori sub 3%.

În acest caz se consideră că porțiunile de la capetele arcului sînt inactive și nu se deformează, porțiunea activă fiind considerată cea cuprinsă între punctele *a* și *b* indicate în figură; Echivalent spirei de la arcul elicoidal, la aceste arcuri este o buclă sau o ramură care este compusă dintr-o porțiune dreaptă și din cele două sferturi de cerc racordate la capetele porțiunii drepte. Majoritatea arcurilor de acest tip se confecționează din sîrme sau din bare de secțiune circulară sau pătrată. Pentru calcul se folosesc următoarele notații:

- d* — diametrul sîrmei de secțiune circulară sau latura pătratului;
 - E* — modulul de elasticitate al materialului din care este confecționat arcu;
 - I* — momentul de inerție al secțiunii transversale a sîrmei;
 - P* — forța (sarcina) care acționează asupra arcului;
 - R* — raza de curbura;
 - l* — lungimea porțiunii drepte;
 - y* — săgeata corespunzătoare unei ramuri;
 - α — unghiul inițial între porțiunile drepte;
 - σ — efort unitar total.
- $k = \frac{l}{R}$, raportul de formă al arcului.

Relațiile de calcul aproximativ care pot fi utilizate în practică, pentru determinarea săgeții și pentru dimensionare, asigurînd o eroare de 3%, sînt:

— pentru săgeata

$$y = \frac{PR^3}{12EI} \left(\frac{l^3}{R^3} + 9,43 \frac{l^2}{R^2} + 24 \frac{l}{R} + 18,85 \right) \quad (3,8)$$

Această nomogramă servește la determinarea diametrului d și a raportului de formă $k = \frac{l}{R}$ al arcului cunoscând săgeata repartizată pe o ramură (spiră), efortul unitar admisibil și forța P care acționează arcul. În nomogramă sînt reprezentate la scară valorile săgeții y , diametrului sîrmei d , raportului $\frac{P}{\sigma}$ și produsului $P \cdot \sigma$, precum și curbele de calcul stabilite în funcție de rapoartele $k = \frac{l}{R}$ și $\frac{R}{d}$. Se unește cu o dreaptă punctul B , care indică pe scara respectivă valoarea produsului $P \cdot \sigma$, cu punctul A , care indică pe scara săgeților valoarea săgeții. Această dreaptă intersectează în C latura verticală a nomogramei. Se duce din C o orizontală care intersectează curbele indicate de raportul $\frac{R}{d}$, și se alege punctul D în funcție de acest raport. Din punctul D se duce o verticală DE pînă la caracteristica secundă a aceluiași raport $\frac{R}{d}$, care este numerotată cu același număr de ordine și indicația secundă ($''$). Din punctul E astfel determinat se duce orizontala EF la marginea din stînga a diagramei. Se unește punctul F astfel determinat cu punctul C corespunzător de pe scara raportului $\frac{P}{\sigma}$ cu o linie dreaptă. Punctul H determinat la intersecția acestei drepte la scara diametrelor sîrmei dă valoarea acestui diametru. Curbele caracteristice desenate cu linie plină corespund secțiunii circulare, iar cele cu linie întreruptă secțiunii pătrate.

3.1.3. Arcuri lamelare plane, cu deplasări și deformații mari

La arcurile lamelare prezentate anterior se consideră că deplasările care apar sub sarcină, precum și schimbările dimensiunilor și ale formei lamelei elastice încărcate sînt relativ mici, astfel că la alcătuirea ecuațiilor de echilibru se poate considera sistemul nedeformat. În acest fel, la aceste tipuri de arcuri se poate aplica principiul invariantei dimensiunilor inițiale, precum și principiul suprapunerii efectelor.

În cazul arcurilor lamelare cu deplasări și deformații mari, aceste principii nu mai pot fi aplicate. Datorită deplasărilor mari și schimbării formei lamelei elastice, lungirea specifică maximă care apare în lamelă este dată de relația: $\varepsilon_{max} = \frac{h}{2\rho}$, unde h este grosimea lamelei și ρ — raza de curbură a axei lamelei în punctul considerat. Dacă grosimea

lamelei h este mică, deformațiile lamelei pot fi complet elastice, chiar dacă lamela suferă în ansamblu deformații mari.

Din punctul de vedere al desfășurării calculelor trebuie avut în vedere faptul că, în ecuația diferențială a curburii liniei elastice a unei grinzi:

$$\frac{1}{\rho} = \frac{y''}{(1+y'^2)^{3/2}}, \quad (3.10)$$

variația razei de curbură este foarte mare, iar valorile tangentelor y' nu mai sînt neglijabile. Din această cauză aproximarea care se face în cazul deformațiilor mici ale lamelei, scriind ecuația diferențială sub forma:

$\frac{1}{\rho} \approx y'' = + \frac{M}{EI}$, nu mai este posibilă în cazul lamelelor flexibile cu deplasări și deformații mari.

Dacă deplasările nu sînt mici, însă nu sînt nici prea mari, ecuația diferențială se poate transforma prin dezvoltare în serie sub forma:

$$\frac{1}{\rho} \approx y'' \left(1 - \frac{3}{2} y'^2 \right) = + \frac{M}{EI}. \quad (3.11)$$

Dacă deplasările sînt mari sau foarte mari, ecuația diferențială devine:

$$\frac{1}{\rho} - \frac{1}{R} = \frac{M}{EI}, \quad (3.12)$$

unde R este raza de curbură inițială a lamelei în stare nedeformată, iar

$$EI = \frac{EI}{1-\mu^2} \quad (3.13)$$

este rigiditatea cilindrică (μ = coeficientul lui Poisson).

Pentru primele două categorii arătate, calculele se desfășoară obișnuit, pe baza rezolvării ecuațiilor diferențiale indicate.

Pentru cazul deplasărilor mari, desfășurarea calculelor este mult mai dificilă și pentru anumite situații problema nu este rezolvată pe baza unei metode unitare. Problema barelor flexibile cu deplasări mari, din categoria cărora fac parte aceste arcuri lamelare cu deplasări mari, a fost atacată inițial în anul 1744 de Leonard Euler, urmat apoi de Kirchhoff care a pus bazele teoriei generale a deplasărilor mari în anul 1850, pentru barele solicitate în domeniul elastic. Problema a fost și este și în

prezent studiată de foarte mulți cercetători. Arcurile lamelare cu deplasări mari se caracterizează prin următoarele condiții:

- lamela are axa sau forma unei curbe plane;

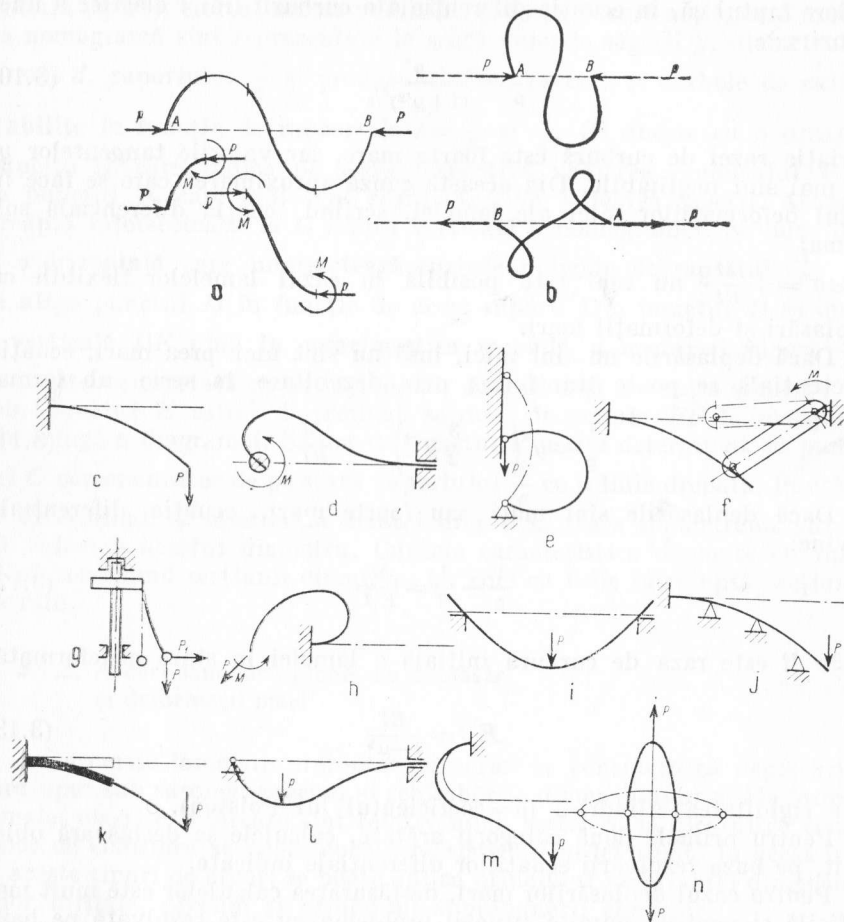


Fig. 3.8

- lamela poate fi împărțită în porțiuni distincte, astfel ca în limitele fiecărei porțiuni rigiditatea la încovoier să rămână constantă;
- curbura inițială a barei este constantă sau egală cu zero;

— sarcinile exterioare sub formă de forțe sau momente încovoietoare acționează la capetele porțiunii sau în puncte intermediare.

În fig. 3.8, *a* și *b* sînt reprezentate formele axelor lamelilor deformat, iar în fig. 3.8, *c-n* sînt date exemple de lamele elastice cu deplasări mari, deformat sub acțiunea sarcinilor aplicate. Cu linie întreruptă este indicată alura inițială a lamelei, iar cu linie continuă este indicată lamela deformată.

3.1.4. Elemente de calcul pentru deducerea ecuației liniei elastice

În fig. 3.9 este reprezentată porțiunea *OL* a unei lamele elastice cu rigiditate constantă. Forma ei inițială OL_0 este un arc de cerc de rază *R*. Lamela este încărcată la extremități cu forțe concentrate și momente încovoietoare. Înainte de încărcare și după încărcare lamela se consideră în echilibru. Pentru ușurarea calculului se poate face ipoteza că lungimea arcului *OL* rămîne neschimbată în timpul deformării și deplasării lamelei, deformarea la întindere sau la compresiune a lamelei fiind neglijabilă față de deplasările sistemului, datorită încovoierii. Din acest motiv se poate considera drept variabilă independentă în calculul pentru stabilirea formei elastice, lungimea arcului *s* măsurat de la capătul *O* spre capătul *L*.

Pentru urmărirea deplasărilor față de un sistem de referință fix și pentru ușurarea calculului, se utilizează două sisteme de coordonate cu originea comună în *O'*. Sistemul de referință $O'xy$ este fix, iar sistemul $O'x'y'$ este mobil și orientat permanent cu axa $O'x'$ după o direcție paralelă cu direcția forțelor *P* din capetele lamelei. Unghiul de rotire al sistemului mobil față de cel fix se notează cu δ .

Un punct oarecare *T* al lamelei deformat se afla înainte de deformare într-un punct T_0 , tangenta la linia lamelei nedeformate făcînd unghiul θ_0 cu axa $O'x$, iar tangenta în *T* la lamela deformată face, cu axele $O'x$ fixă și Ox' mobilă, unghiurile θ , respectiv ζ . Între coordonatele punctului *T* față de sistemul fix și cel mobil există relațiile:

$$\theta = \zeta - \delta; \quad x = x' \cos \delta + y' \sin \delta; \quad y = y' \cos \delta - x' \sin \delta. \quad (3.14)$$

Curbura liniei elastice în punctul *T* este dată de relația:

$$\frac{d\theta}{ds} = \frac{d\zeta}{ds} = \frac{1}{R}. \quad (3.15)$$

Pentru a putea determina ecuația diferențială a încovoierii plane a lamelei este necesară expresia momentului încovoietor în același punct.

Momentul încovoietor în punctul T are expresia:

$$M_T = P(y'_L - y') + M_L. \quad (3.16)$$

Ecuția diferențială a încovoierii plane devine:

$$\frac{d\zeta}{ds} = \frac{P}{E'I} (y'_L - y') + \frac{M}{E'I} + \frac{1}{R}. \quad (3.17)$$

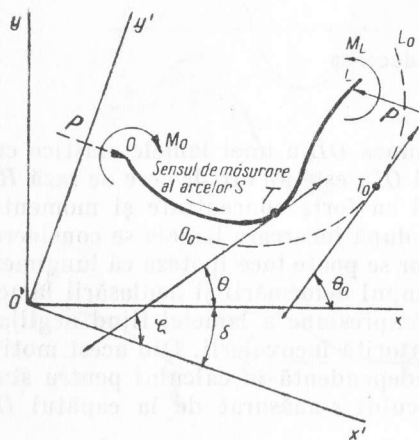


Fig. 3.9

Aceasta este ecuația diferențială a axei lamelei încovoiate, unde l este lungimea lamelei OL .

Integrala întâi a acestei ecuații se poate scrie sub forma:

$$l \frac{d\zeta}{ds} = 2\beta \sqrt{D - \sin^2 \frac{\zeta}{d}}, \quad (3.21)$$

unde D este constanta de integrare.

Această ecuație leagă expresia curburii $\frac{d\zeta}{ds}$ într-un punct de valoarea unghiului ζ , unghiul de înclinare a tangentei în acel punct față de axa $O'x'$ paralelă cu linia de acțiune a forțelor P .

Se poate constata ușor că linia de echilibru elastic a lamelei se poate caracteriza prin câteva puncte caracteristice, și anume puncte de compresiune C , puncte de întindere I și puncte de inflexiune I . În fig. 3.10 sînt reprezentate schematic două lamele cu punctele caracteristice corespunzătoare.

Forța normală din secțiunea transversală este o forță egală cu forța P aplicată în capătul lamelei, iar forța tangențială este nulă. Tangenta la linia elastică în punctele de compresiune este paralelă cu linia de acțiune a forțelor și implicit cu axa $O'x'$, astfel că sensul pozitiv al tangentei coincide cu sensul pozitiv al axei Ox' . Rezultă că

$$\zeta = 2\pi n, \text{ deci } \sin^2 \frac{\zeta}{d} = 0. \quad (3.22)$$

Curbura lamelei în punctul de compresiune are valoarea maximă dată de expresia

$$\frac{d\zeta}{ds} = \frac{2\beta}{l} \sqrt{D}. \quad (3.23)$$

În cazul punctelor de întindere, forța normală în secțiunea transversală este egală cu P și o sollicită la întindere. În acest caz rezultă

$$\zeta = \pi(2n+1) \text{ și } \sin^2 \frac{\zeta}{2} = 1, \quad (3.24)$$

iar curbura lamelei în punctul de întindere are valoarea minimă dată de expresia:

$$\frac{d\zeta}{ds} = \frac{2\beta}{L} \sqrt{D-1}. \quad (3.25)$$

În punctele de inflexiune, curbura liniei elastice este nulă. În acest caz rezultă

$$D = \sin^2 \frac{\zeta}{2}. \quad (3.26)$$

Din ecuația (3.26) rezultă că valoarea constantei de integrare D este totdeauna pozitivă. După cum D este mai mic, egal sau mai mare ca 1, distingem următoarele feluri de curbe:

Cazul a.

$$D < 1.$$

Pentru a avea puncte de inflexiune trebuie ca

$$D - \sin^2 \frac{\zeta}{2} = 0, \text{ deci } \sin^2 \frac{\zeta}{2} < 1,$$

ceea ce este posibil. Aceste curbe au deci puncte de inflexiune la poziția de echilibru.

Cazul b.

$$D > 1.$$

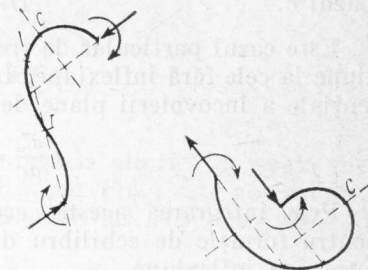


Fig. 3.10

Pentru aceeași condiție rezultă că trebuie să avem $\sin^2 \frac{\zeta}{2} > 1$, ceea ce este imposibil.

Rezultă, deci, că la aceste curbe nu putem avea puncte de inflexiune la poziția de echilibru.

Cazul c. $D=1$.

Este cazul particular de trecere de la pozițiile de echilibru cu inflexiune la cele fără inflexiune. În acest caz integrala întâi a ecuației diferențiale a încovoierii plane devine:

$$l \frac{d\zeta}{ds} = \pm 2\beta \cos \frac{\zeta}{2}. \quad (3.27)$$

Prin integrarea acestei ecuații se poate determina parametrul β pentru formele de echilibru de trecere de la forma fără inflexiune la forma cu inflexiune.

$$\beta = \left| \ln \frac{\operatorname{tg} \frac{\pi + \zeta_L}{4}}{\operatorname{tg} \frac{\pi + \zeta_0}{4}} \right|, \quad (3.28)$$

unde ζ_0 și ζ_L sînt unghiurile de înclinare ale liniei elastice la începutul și la sfîrșitul porțiunii respective a barei.

Integrarea ecuației diferențiale (3.21) se poate face prin introducerea unei noi variabile, ψ , și anume:

pentru cazul $D < 1$ al curbelor cu puncte de inflexiune, se notează:

$$D = k^2 \text{ și } \sin \frac{\zeta}{2} = k \sin \psi, \quad (3.29, a)$$

iar pentru cazul $D > 1$ al curbelor fără puncte de inflexiune se notează:

$$D = \frac{1}{k^2} \text{ și } \sin \frac{\zeta}{2} = \sin \psi. \quad (3.29, b)$$

Ecuația diferențială (3.21) a curbei elastice, în urma folosirii schimbărilor de variabile indicate, devine

$$l \frac{d\zeta}{ds} = 2\beta k \cos \psi \quad (3.30, a)$$

pentru curbele cu inflexiune;

$$l \frac{d\zeta}{ds} = \frac{2\beta}{k} \sqrt{1 - k^2 \sin^2 \psi} \quad (3.30, b)$$

pentru curbele fără inflexiune.

Prin integrare, după eliminarea lui ζ , pe baza relațiilor (3.29, a) și (3.29, b) se obține

$$\beta \cdot \frac{s}{l} = F(\psi) - F(\psi_0) \quad (3.31, a)$$

pentru curbele cu inflexiune;

$$\beta \cdot \frac{s}{l} = k F(\psi) - k F(\psi_0) \quad (3.31, b)$$

pentru curbele fără inflexiune.

În aceste relații funcția $F(\psi)$ este integrala eliptică de speța întâi pentru valoarea instantanee a unghiului ψ , iar $F(\psi_0)$ este aceeași integrală pentru valoarea inițială $\psi = \psi_0$. Valoarea lui $F(\psi)$ este dată de

$$F(\psi) = \int_0^\psi \frac{\psi}{\sqrt{1 - k^2 \sin^2 \psi}}. \quad (3.32)$$

Expresiile (3.31, a) și (3.31, b) pot stabili legătura între amplitudinea ψ (inițială și finală) și parametrul β dacă se înlocuiește s cu l , astfel:

$$\beta = F(\psi_L) - F(\psi_0) \quad (3.33, a)$$

pentru curbele fără inflexiune;

$$\beta = k F(\psi_L) - k F(\psi_0) \quad (3.33, b)$$

pentru curbele cu inflexiune.

Rezultă:

$$F(\psi) = F(\psi_L) \cdot F(\psi_0) \frac{s}{l} + F(\psi_0). \quad (3.34)$$

Folosind expresiile care determină forma liniei elastice în sistemul de coordonate mobile $x'y'$ se poate scrie:

$$\begin{aligned} dx' &= \cos \zeta \cdot ds = (2 \cos^2 \frac{\zeta}{2} - 1) \cdot ds \\ dy' &= \sin \zeta \cdot ds = 2 \sin \frac{\zeta}{2} \cos \frac{\zeta}{2} \cdot ds. \end{aligned} \quad (3.35)$$

Folosind relațiile 3.29, a, 3.29, b și integrînd de la capătul inițial al barei pînă la un punct oarecare, se obține:

$$\begin{aligned} \frac{x' - x_0}{l} &= \frac{2}{\beta} E(\psi) - E(\psi_0) - \frac{s}{l} \\ \frac{y' - y_0}{l} &= \frac{2k}{\beta} (\cos \psi_0 - \cos \psi) \end{aligned} \quad (3.36)$$

pentru cazul curbelor fără inflexiune;

$$\frac{x'-x_0}{l} = \frac{2}{k\beta} E(\psi) - E(\psi_0) - \frac{2}{k^2} - 1 \frac{s}{l}$$

$$\frac{y'-y_0}{l} = \frac{2}{k\beta} [\sqrt{1-k^2 \sin^2 \psi_0} - \sqrt{1-k^2 \sin^2 \psi}] \quad (3.37)$$

pentru curbele cu inflexiune, unde $E(\psi)$ este integrala eliptică de speța a doua:

$$E(\psi) = \int_0^\psi \sqrt{1-k^2 \sin^2 \psi} \cdot d\psi, \text{ pentru } 0 \leq \psi \leq \frac{\pi}{2}. \quad (3.38)$$

Expresia momentului încovoietor (3.16) se poate exprima în funcție de parametrii elastici prin relațiile:

$$M = \frac{2k(\cos \psi - \cos \psi_0)}{\beta} Pl - \frac{E'I}{R} \quad (3.39, a)$$

pentru curbele fără inflexiune și

$$M = \frac{2Pl}{k} \left[\sqrt{1-k^2 \sin^2 \psi} - \sqrt{1-k^2 \sin^2 \psi_0} - \frac{E'I}{R} \right] \quad (3.39 b)$$

pentru curbele cu inflexiune.

Funcția ψ , denumită amplitudinea eliptică, variază ca și ζ în lungul axei lamelei încovoiate, de la ψ_0 , la capătul din originea axelor, pînă la ψ_L , la capătul opus al lamelei. Mărimea ψ_0 se alege în funcție de semnul curburii și de semnul unghiului ζ_0 , astfel ca ψ să varieze între limitele:

$$-\frac{\pi}{2} < \psi < +\infty.$$

Pentru determinarea intervalelor de variație ψ_0 , E. P. Popov a stabilit tabela de orientare (tabela 3.3.), în funcție de semnul curburii elastice în origine și de intervalul de variație al lui ζ_0 .

În cazul cînd $\zeta_0 = n\pi$, deci

$$\sin \frac{\zeta}{2} = \sin \psi_0 = 1,$$

expresiile momentelor devin:

$$M = \frac{2kPl \cos \psi}{\beta} - \frac{E'I}{R}, \quad (3.40, a)$$

Tabela 3.3

Intervale de variație a valorilor lui ψ_0			
Semnul curburii liniei elastice	Interval de variație a unghiului ζ_0 (semnul unghiului în punctul inițial O al axei încovoiate)	Intervalul în care este cuprinsă valoarea ψ_0	Ramura curbei periodice în care se află imaginea punctului O, conform fig. 3.11
$\frac{1}{f_0} > 0$	$-\pi \leq \zeta_0 < 0$	$-\frac{\pi}{2} \leq \psi_0 < 0$	NA
	$0 \leq \zeta_0 < +\pi$	$0 \leq \psi_0 < \frac{\pi}{2}$	AB
$\frac{1}{f_0} < 0$	$+\pi \geq \zeta_0 > 0$	$\frac{\pi}{2} \leq \psi_0 < \pi$	BC
	$0 \geq \zeta_0 > -\pi$	$\pi \leq \psi_0 < \frac{3\pi}{2}$	CD

pentru curbele cu puncte de inflexiune, și

$$M = \frac{2Pl \sqrt{1-k^2 \sin^2 \psi}}{k\beta} - \frac{E'I}{R}, \quad (3.40, b)$$

pentru cele fără puncte de inflexiune.

Efortul unitar în secțiunea transversală este dat de relația

$$\sigma = \frac{M}{W}. \quad (3.41)$$

În urma deplasărilor mari ale lamelelor elastice, linia elastică a lamelei poate lua diferite forme care fac parte dintr-o familie de curbe periodice, care, pentru condiții corespunzătoare, pot duce la o similitudine geometrică a barelor.

În fig. 3.11 sînt arătate formele curbelor periodice, care pot apărea în cazul pozițiilor de echilibru elastic la lamelele cu deplasări mari în funcție de valorile lui α , care rezultă din relațiile modulului: $k = \sin \alpha$ ($0^\circ \leq \alpha \leq 90^\circ$). Coordonatele ξ și η sînt definite prin relațiile (3.48).

Condițiile de similitudine geometrică a liniilor de echilibru elastic al lamelelor constau în egalitatea mărimilor unghiurilor determinate de tangentele la două puncte ale curbelor și în proporționalitatea lungimilor între punctele corespunzătoare. Se poate considera că două curbe (fig. 3.12, a și b) sînt asemenea, dacă lungimile arcelor s_1 și s_2 sînt proporționale cu razele de curbura R_1 și R_2 în punctele corespunzătoare B_1 respectiv B_2 și dacă unghiul făcut de tangentele în punctele B_1 și

C_1 de pe o curbă egală cu unghiul format de tangentele în punctele corespunzătoare B_2 și C_2 , de pe a doua curbă.

Afară de coeficienții de asemănare pur geometrice trebuie avut în vedere și coeficienții de asemănare la sollicitarea de încovoiere. Astfel,

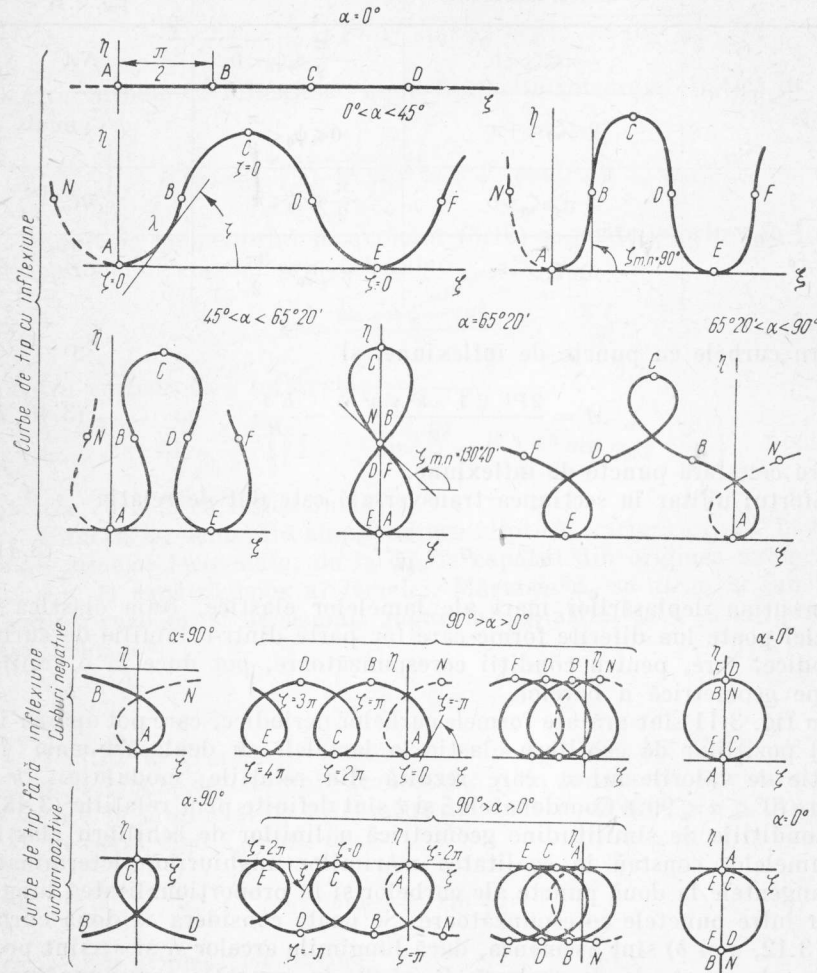


Fig. 3.11

trebuie avut în vedere coeficientul de asemănare denumit coeficientul de asemănare de forță dat de expresia

$$\beta = \sqrt{\frac{Pl^2}{E'I}}. \quad (3.42)$$

Acest coeficient nu depinde de poziția punctului de pe lamelă, ci este determinat ca o constantă pentru o porțiune de lamelă de lungime l ,

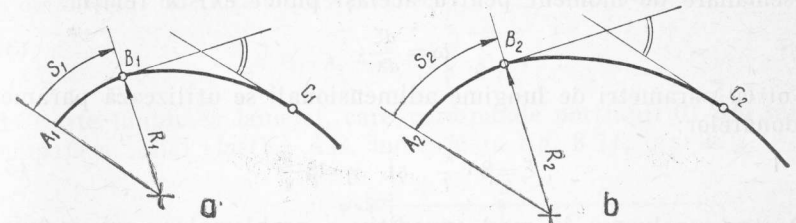


Fig. 3.12

de rigiditate $E'I$ și sollicitat de o forță P . Un alt coeficient important este denumit coeficientul de asemănare de moment și este dat de expresia:

$$\omega = \frac{M + \frac{E'I}{R}}{\sqrt{PE'I}}, \quad (3.43)$$

în care M este momentul încovoiator în secțiunea studiată, iar R — raza de curbură a arcului înaintea deplasărilor elastice (în forma inițială). Valoarea acestui coeficient depinde de poziția punctului pe curba elastică.

În aplicații practice este necesară determinarea coeficientului de moment la capetele O și L ale arcului unde au valorile:

$$\omega_0 = \frac{M_0 + \frac{E'I}{R}}{\sqrt{PE'I}}; \text{ și } \omega_L = \frac{M_L + \frac{E'I}{R}}{\sqrt{PE'I}}. \quad (3.44)$$

Al treilea coeficient de asemănare utilizat este denumit coeficientul unghiular de asemănare, care este unghiul ζ , format de direcția liniei de acțiune a forței P , aplicată în capătul inițial al lamelei și de tangenta la linia elastică de echilibru în punctul studiat. Valoarea acestui coeficient depinde de poziția punctului pe curba elastică.

Parametrul de lungime al unei porțiuni din curba elastică (lungimea unui arc) este dat de relația:

$$\lambda = \beta \frac{s}{l}. \quad (3.45)$$

Pentru porțiunea cuprinsă între capetele lamelei se poate scrie relația:

$$\beta = \lambda_L - \lambda_0. \quad (3.46)$$

Între curbura curbei elastice într-un punct oarecare și coeficientul de asemănare de moment pentru același punct există relația:

$$\omega = \frac{d\zeta}{d\lambda}. \quad (3.47)$$

Tot ca parametri de lungime adimensionali se utilizează parametrii coordonatelor:

$$\xi = \beta \cdot \frac{x}{l} \quad \text{și} \quad \eta = \beta \cdot \frac{y}{l} \quad (3.48)$$

Pentru rezolvarea în mod expeditiv a problemelor care se pun în practică, E. P. Popov a imaginat o metodă de lucru grafică în care, pe baza coeficienților de asemănare geometrică și de încărcare, orice lamelă elastică, care se încadrează în categoria curbelor de bază, stabilite de Popov, poate fi comparată cu un segment al curbelor periodice, ale căror imagini sînt reprezentate în diagrama parametrilor elastici, și din care — cunoscînd trei coeficienți de asemănare oarecare — se pot determina ceilalți coeficienți (încă cinci).

Coeficienții utilizați de Popov sînt: coordonatele adimensionale ξ și η , parametrul de lungime a arcului λ , curbura $1/\rho$ și unghiul ζ făcut de axă cu tangenta la un punct al curbei, notate ca în fig. 3.13. Sistemul de notare depinde de modul de citire și de alegere a sistemului de

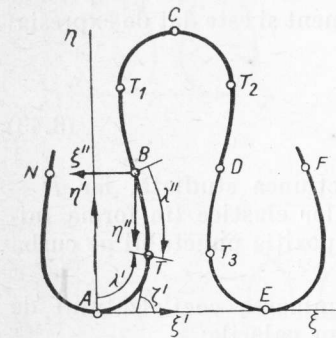


Fig. 3.13

referință. Dacă citirea se face pornind de la originea A a ramurii principale, parametrii elastici se notează cu ξ' , η' , λ' , ω' , ζ' . Dacă citirea se face de la capătul B al ramurii principale se notează cu ξ'' , η'' , λ'' . Deoarece parametrii elastici ai punctului P se notează cu ξ'_{90} , η'_{90} , λ'_{90} , se poate scrie:

$$\xi' = \xi_{90} - \xi''; \quad \eta' = \eta_{90} - \eta''; \quad \lambda' = \lambda_{90} - \lambda''. \quad (3.49)$$

Punctul B este caracterizat prin amplitudinea eliptică $\psi = 90^\circ$.

Dacă într-un punct al curbei se cunosc parametrii elastici ξ , η , λ , ω și ζ , se pot deduce pentru punct coeficienți de asemănare și apoi se pot determina toate celelalte mărimi necesare dimensionării lamelei. În acest scop se pot folosi relațiile:

$$x - x_0 = \frac{l}{\beta} (\xi - \xi_0); \quad y - y_0 = \frac{l}{\beta} (\eta - \eta_0). \quad (3.50)$$

Coeficientul de forță de asemănare β este dat de relația:

$$\beta = \lambda_1 - \lambda_0 = l \sqrt{\frac{P}{E'I}}, \quad (3.51)$$

unde l este lungimea lamelei, care corespunde porțiunii 01 din ramura principală a liniei elastice AB, indicată în fig. 3.14, a și b.

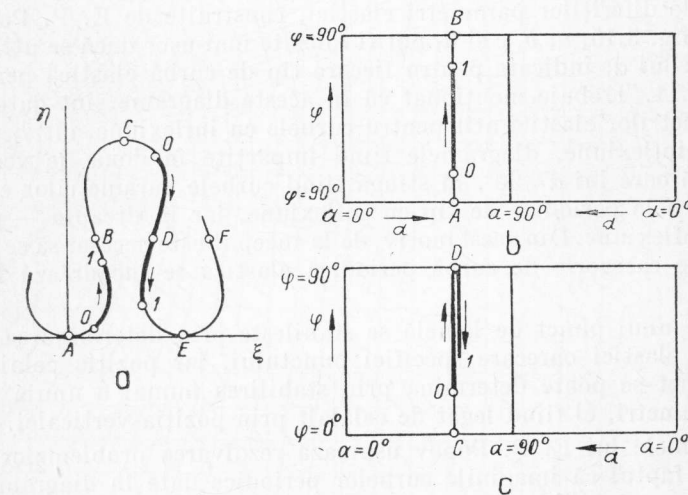


Fig. 3.14

În această figură ramura principală a curbei periodice în coordonate ξ , η este redată în diagrama parametrilor α , ϕ de verticala AB, iar un segment oarecare 01 al curbei periodice — de segmentul corespunzător. Dacă acest segment 01 al curbei periodice corespunde la două ramuri principale, imaginea lui pe diagrama parametrilor α , ϕ va fi dublă ODI (fig. 3.14, c).

Punctul A inițial al ramurii principale a curbei periodice elastice este determinat de coordonate $\varphi=0$, iar capătul final B — de valoarea $\varphi=90^\circ$.

Expresia momentului încovoietor într-o secțiune a lamelei este:

$$M = \frac{E'I}{l} \left(\beta\omega - \frac{l}{R} \right). \quad (3.52)$$

Pentru rezolvarea problemelor practice, E. P. Popov a construit într-un sistem de coordonate α și φ o serie de curbe cu diferite valori ale parametrilor elastici: ξ' , η' , λ' , ω' , ζ' , ξ'' , η'' și λ'' . Aceste coordonate α și φ se obțin din calcul pentru fiecare bară în parte, α fiind dat de relația $\alpha = \arcsin k$, unde k este modulul integralei eliptice, iar φ este amplitudinea eliptică ce rezultă din tabele și este legată de valoarea ψ prin relația $\psi = n 180^\circ \pm \varphi$, unde: $0^\circ \leq \varphi \leq 90^\circ$ și $n=0, 1, 2, \dots$ etc. Diagramele diferiților parametri elastici, construite de E. P. Popov și redată în fig. 3.15, a, b, c și d , pot fi folosite mai ușor dacă se utilizează și valorile lui α , indicate pentru fiecare tip de curbă elastică periodică din fig. 3.11. Trebuie menționat că în aceste diagrame sînt date valorile parametrilor elastici atît pentru curbele cu inflexiune, cît și pentru cele fără inflexiune, diagramele fiind împărțite în două de verticala corespunzătoare lui $\alpha=90^\circ$, în stînga fiind curbele parametrilor elastici pentru curbele periodice de tip cu inflexiune, iar în dreapta — pentru cele fără inflexiune. Din acest motiv, de la început este necesar să se determine în ce categorie de curbă periodică elastică se încadrează lamela elastică.

Poziția unui punct de lamelă se stabilește prin determinarea a doi parametri elastici oarecare specifici punctului, iar poziția celui de-al doilea punct se poate determina prin stabilirea numai a unuia dintre acești parametri, el fiind legat de celălalt prin poziția verticalei.

Diagramele lui E. P. Popov ușurează rezolvarea problemelor practice, prin faptul că imaginile curbelor periodice date în diagramă sînt asemenea cu cele ale barelor încovoiate. Folosind diagramele, se determină cei opt parametri care permit apoi efectuarea ușoară a calculelor cu formulele indicate anterior.

Pentru a ușura calculele, E. P. Popov a stabilit și o tabelă cu formule de trecere a parametrilor elastici de la ramura principală la celelalte ramuri, care permit determinarea mărimilor adimensionale ξ , η , λ și ω , corespunzătoare ramurii respective. Tabela cu formulele de trecere (tabela 3.4) se folosește în legătură cu curbele și notațiile prezentate în fig. 3.14.

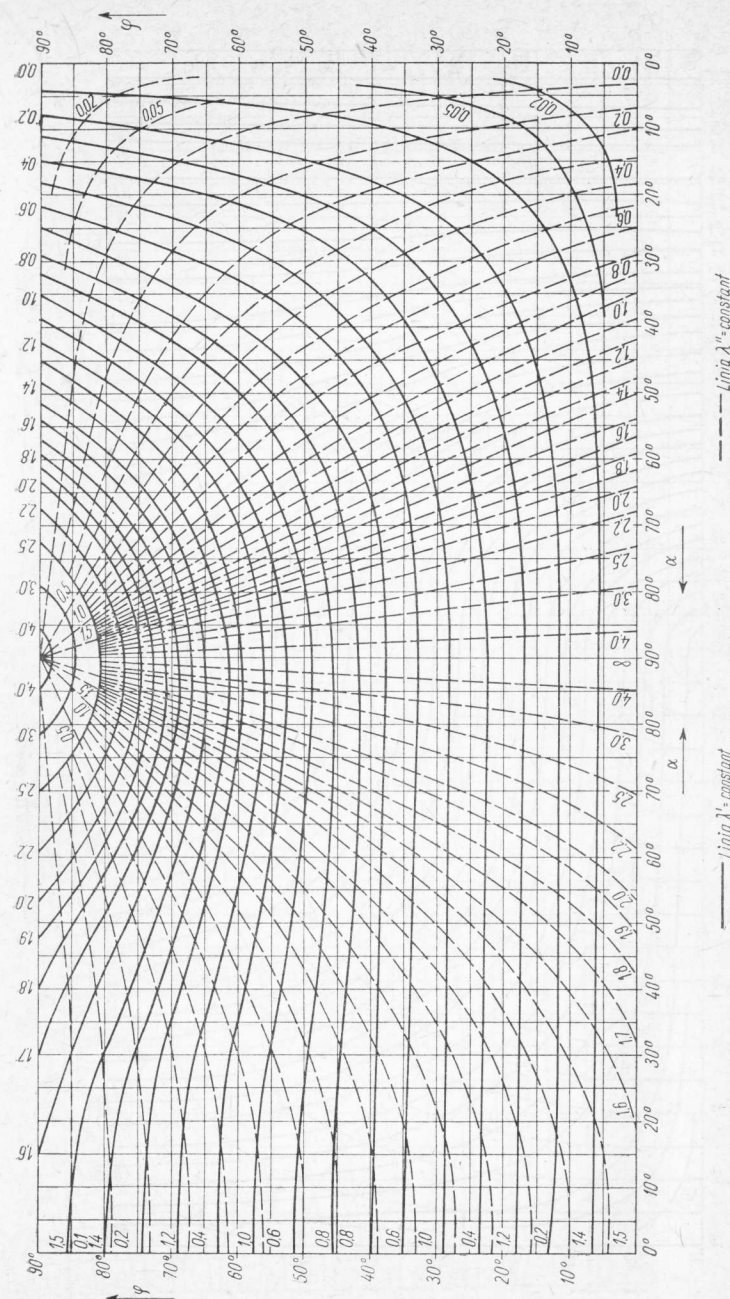


Fig. 3.15, a

3.2. Arcuri în foi suprapuse

3.2.1. Generalități

Pentru obținerea unui element elastic cu un gabarit redus capabil să preia sarcini mai mari decât arcurile lamelare simple se utilizează arcuri în foi multiple.

În principiu, un arc în foi multiple este un element elastic compus din mai multe elemente elastice, lamele suprapuse, strînse între ele printr-una sau mai multe brățări de strângere, denumite bride sau legături de arc, astfel că fiecare lamelă în parte lucrează în același timp cu celelalte, preluând partea ce-i revine din sarcina care acționează asupra ansamblului.

Datorită capacității acestor arcuri de a amortiza trepidațiile și șocurile, ele au o utilizare foarte largă în suspensia vehiculelor (vagoane, locomotive, vehicule rutiere, tractoare etc.), formînd legătura elastică între cutia vehiculului și elementul de rulare (roată, osie și lagăr). Uti-

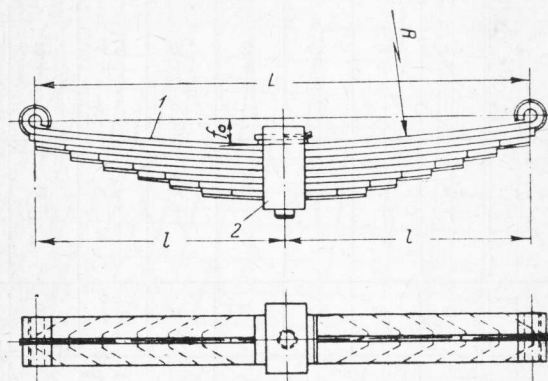


Fig. 3.16

lizarea arcurilor în foi suprapuse ca elemente amortizoare este des întâlnită și la diferite mașini sau mecanisme ca, de exemplu, la unele ciocane mecanice de forjă, la tamponane de ascensor etc.

În fig. 3.16 este reprezentat un arc simplu în foi suprapuse cu două brațe egale, care este cazul cel mai răspândit.

Un astfel de arc este format dintr-un număr de lame (foi) I care de cele mai multe ori au aceeași secțiune, strînse legate prin brida 2, astfel că foile se consideră încastrate la mijlocul lor. La arcul cu foi suprapuse se deosebesc trei feluri de foi și anume: foaie principală, foaie principală de întărire și foi secundare. Foaia principală de lungime egală cu deschiderea arcului este prevăzută cu ochiuri de prindere. Foaia principală de întărire are lungimea egală cu cea a foii principale și este montată sub aceasta. Foile secundare sînt mai scurte, lungimea fiecărei foi secundare fiind mai scurtă decît lungimea celei care se află imediat deasupra ei. Arcul indicat în fig. 3.16 are foile strînse cu o singură legătură, care se mai numește și bridă principală. Există și arcuri la care foile se leagă prin mai multe legături. Acestea au denumirea de legături sau bride secundare. Foile principale sînt prevăzute la capete cu un sistem de prindere sau de rezemare, astfel că arcul este de regulă acționat de trei forțe; două care apar la capete ca forțe de legătură și o forță care acționează la mijloc (fig. 3.17).

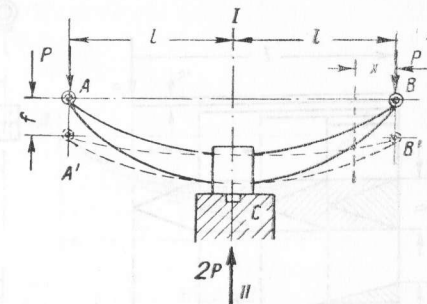


Fig. 3.17

Din figură rezultă că fiecare braț al arcului este solicitat de un moment de încovoiere.

Pentru o bună utilizare a materialului din care se execută arcul se urmărește ca foile să fie astfel dimensionate, încît arcul să aibă forma unui solid de egală rezistență. Arcul din fig. 3.17, reprezentat schematic, este o bară de secțiune variabilă care echivalează cu un solid de egală rezistență. Forma ideală a unui arc cu două brațe ar fi un arc constituit dintr-o singură foaie de oțel în formă de romb, astfel că fiecare dintre cele două brațe ar fi de fapt un arc lamelar triunghiular care lucrează ca un solid de egală rezistență (fig. 3.18). Deoarece folosirea unei asemenea lamele ar duce la o formă cu totul neconvenabilă și necorespunzătoare scopului, acest arc se înlocuiește cu un arc echivalent,

obținut prin tăierea lamei romboidale în fișii simetrice de lățimi $\frac{b}{2}$ ca în figură și apoi prin unirea fișiilor simetrice se obțin lamele de aceeași lățime b care, suprapuse, duc la forma arcului în foi suprapuse. Deoarece capetele foilor astfel obținute au formă ascuțită triunghiulară,

curbarea capetelor foi principale pentru formarea ochiurilor de legătură nu ar putea fi realizată. De asemenea, forma ascuțită a capetelor la foile secundare contribuie la degradarea foilor superioare de care se sprijină. Pentru eliminarea acestor neajunsuri se utilizează arcuri în

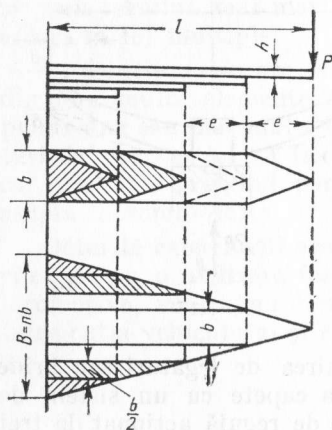


Fig. 3.18

foi cu capul trapezoidal, având baza mare $B_2=nb$ și baza mică $B_1=mb$ (fig. 3.19), n fiind numărul total al foilor, iar m numărul foilor principale.

Se întâlnesc însă și cazuri când în afara capului trapezoidal, forma capetelor lamelelor poate fi triunghiulară, dreaptă, semicirculară, semi-eliptică sau parabolică. Cea mai răspândită formă, afară de cea trapezoidală și de cea dreaptă, este cea parabolică (fig. 3.20).

La unele construcții, pentru obținerea unei caracteristici a arcului mai puțin rigide se subțiază grosimea foilor la capetele arcului, ca în fig. 3.20.

La diferite construcții de mașini și de material rulant sau rutier se întâlnesc foarte multe variante constructive ale arcurilor în foi, care pot diferi între ele fie prin numărul de foi de întărire, fie prin forma capătului foi.

Alte variante constructive se obțin prin dispunerea, din construcție, în mod neegal a brațelor arcurilor (fig. 3.21) sau pur și simplu din con-

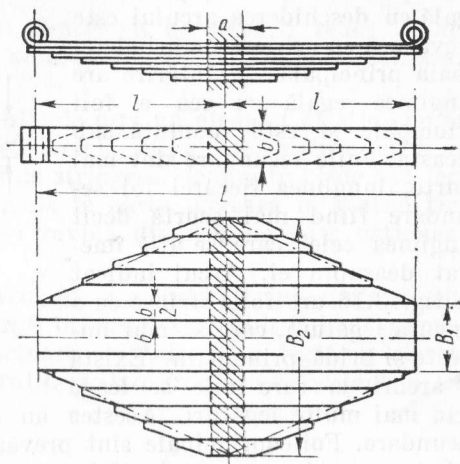


Fig. 3.19

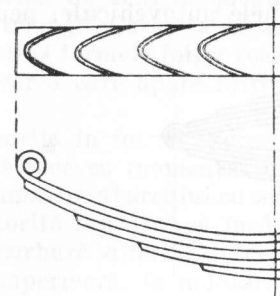


Fig. 3.20

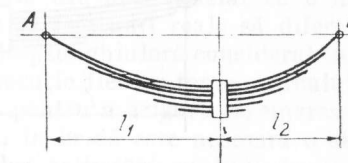


Fig. 3.21

struirea arcului cu un singur braț (fig. 3.22). De asemenea, se întâlnesc arcuri la care sistemul de rezemare sau de solicitare la capete este diferit (articulat la un capăt și simplu rezemat la celălalt) (fig. 3.23).

De asemenea, în foarte multe cazuri, se întâlnesc arcuri de același fel grupate în serie sau în paralel. Arcurile grupate în serie se numesc arcuri duble în foi sau arcuri în foi închise eliptice (fig. 3.24).

În majoritatea cazurilor, caracteristica arcurilor în foi este liniară, rigiditatea lor fiind constantă.

În anumite situații trebuie ca arcul să aibă o rigiditate progresivă, ceea ce se realizează fie prin formarea arcului prin foi de rază de curbă diferită — fig. 3.25 — fie prin sprijinirea capetelor arcului pe suprafețe rotunde, astfel ca deschiderea arcului reală să fie variabilă (fig. 3.26).

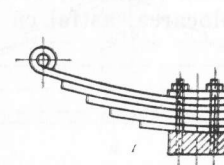


Fig. 3.22

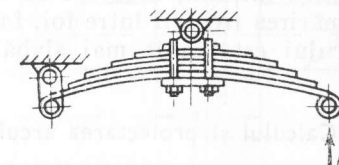


Fig. 3.23

Arcurile în foi multiple sînt utilizate în mod deosebit la vehicule și la alte tipuri de mașini datorită următoarelor avantaje:

— au lățimea mică în raport de lungime, ceea ce permite așezarea lor paralel cu axa vehiculului;

— frecările interioare care se produc între foi contribuie la realizarea unei bune amortizări a șocurilor și la obținerea unei rigidități convenabile a arcului;

— prin gruparea în serie sau în paralel a mai multor arcuri în foi se pot realiza caracteristici convenabile; la unele autovehicule, pentru a

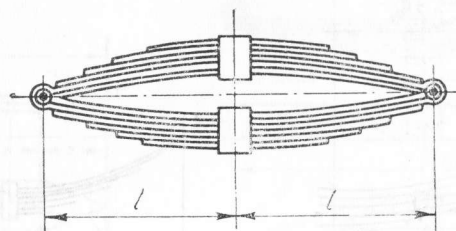


Fig. 3.24

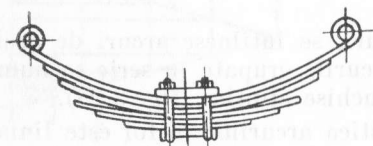


Fig. 3.25

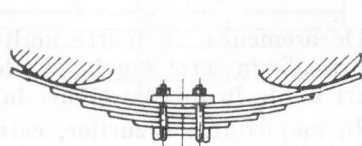


Fig. 3.26

realiza o caracteristică convenabilă, se grupează arcurile în foi cu arcuri-bare de torsiune.

Arcurile în foi necesită o oarecare întreținere pentru a-și păstra caracteristica inițială, deoarece cu timpul acestea ruginesc, ceea ce are ca efect mărirea frecării între foi, favorizând blocarea, astfel că amortizarea arcului este mult mai slabă.

3.2.2. Calculul și proiectarea arcului în foi

Relațiile de calcul care se stabilesc pentru proiectarea arcurilor pornesc de la dimensionarea unui arc ideal teoretic și apoi, prin corectarea lor în mod corespunzător, se adaptează la arc real care se execută practic.

Arcul în foi multiple ideal se calculează ca un solid de egală rezistență prin echivalarea lui cu un arc lamelar triunghiular sau cu un arc lamelar trapezoidal.

Arcul în foi real se deosebește de cel ideal din următoarele cauze: capetele foilor de la arcurile reale diferă de forma triunghiulară care rezultă la formarea arcului ideal;

capătul la foaia principală reală, pentru a putea fi formată la cald sub formă de ochi de prindere, se execută sub formă dreptunghiulară și nu triunghiulară, ca la arc ideal; în fig. 3.27 sînt reprezentate cu linie plină formele foilor reale și punctat, formele celor ale arcului ideal;

frecarea care apare între foile arcului modifică comportarea arcului real;

arcurile în foi se execută de regulă din oțel canelat cu o nervură, ceea ce face ca momentul de inerție al secțiunii reale să difere de cel corespunzător al arcului cu secțiunea dreptunghiulară considerat în calcul;

datorită faptului că încă de la execuție fiecare foaie a arcului în foi are o curbura diferită de cea vecină, pentru a asigura rezemarea foii pe foaia superioară, la montarea arcului în bridă este necesară o strângere inițială care provoacă în foile arcului solicitări suplimentare;

secțiunea de încastrare nu poate fi considerată nici la mijlocul și nici la marginea bridei; după normele de calcul date de GOST 1425-48,

secțiunea de încastrare I—I (fig. 3.28) se ia la distanța $\frac{a}{6}$ de la mijlocul arcului, unde a este lungimea legăturii (bridei) de strângere;

ultima foaie, cea mai scurtă la arc real, este o foaie dreptunghiulară sau trapezoidală care are totuși o porțiune dreptunghiulară (cota c , fig. 3.28), spre deosebire de ultima foaie care rezultă la arc ideal ca dublu triunghiulară. Această diferență modifică, desigur, caracteristica și implicit relațiile de calcul pentru arc real.

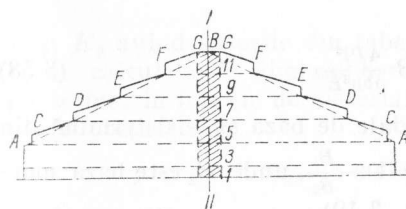


Fig. 3.27

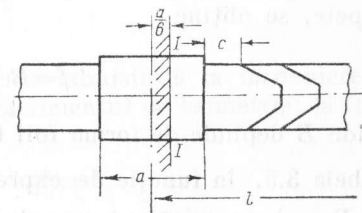


Fig. 3.28

Relația de calcul pentru arc ideal format dintr-o lamelă dublu triunghiulară sau romboidală (ca în fig. 3.18), solicitat la încovoiere, este următoarea:

$$\sigma_{max} = \frac{Pl}{W} \quad (3.53)$$

Știind că $W = \frac{nbh^2}{6}$, unde n este numărul de foi;

b — lățimea unei foi;

h — grosimea unei foi;

rezultă

$$\sigma_{max} = \frac{6Pl}{nbh^2}; P = \frac{nbh^2\sigma_a}{6l}; n = \frac{6Pl}{bh^2\sigma_a} \quad (3.54)$$

unde σ_a este efortul unitar admisibil.

$$\text{Săgeata } f = \frac{6Pl^3}{nbh^3E} \quad (3.55)$$

(săgeata inițială a arcului considerându-se nulă), iar lucrul mecanic de deformare

$$L = \frac{1}{6} V \frac{\sigma^2}{E} = \frac{6P^2l^3}{nbh^3E} \quad (3.56)$$

Se observă că indicele de utilizare volumetric este $\frac{1}{6}$

Relațiile de calcul pentru arcul ideal, format pe baza unei lamele trapezoidale (v. fig. 3.19), sint:

$$\sigma_{max} = \frac{6Pl}{B_2 \cdot h^2} = \frac{6Pl}{nbh^2}, \quad (3.57)$$

unde $B_2 = nb$.

Comparind săgeata obținută cu cea a unei grinzi simplu rezemate la capete, se obține

$$f = B \frac{l^3 P}{3EI} = B \frac{4Pl^3}{nbh^3E}, \quad (3.58)$$

unde B depinde de forma foi trapezoidale de bază și se determină din tabela 3.5, în funcție de expresia $K_0 = 1 - \frac{B_1}{B_2}$, unde B_2 este baza mare și B_1 — baza mică a trapezului (v. fig. 3.19).

Tabela 3.5

Valorile coeficientului B pentru arcul lamelar trapezoidal în funcție de K_0 .

K_0	0	0,1	0,2	0,3	0,4	0,5	0,6	0,7	0,8	0,9
B	1,00	1,025	1,054	1,085	1,121	1,160	1,202	1,250	1,315	1,390

Lucrul mecanic de deformare

$$L = \frac{2Pf}{2} = Pf. \quad (3.59)$$

Din 3.57 se deduce

$$P = \frac{nbh^2\sigma}{6l}, \quad (3.60)$$

deci:

$$L = \frac{nbh^2\sigma}{6l} \cdot \frac{2}{3} \frac{l^2\sigma}{hE} \cdot B$$

sau

$$L = \frac{nbhl}{9} \cdot \frac{\sigma^2}{E} B. \quad (3.61)$$

$$\text{Știind că } V = 2nbhl \left(1 - \frac{K_0}{2}\right), \quad (3.62)$$

se obține:

$$L = \frac{1}{18} \frac{B}{1 - \frac{K_0}{2}} \cdot V \cdot \frac{\sigma^2}{E}. \quad (3.63)$$

În acest caz, coeficientul de utilizare volumetrică este

$$\eta = \frac{1}{18} \cdot \frac{B}{1 - \frac{K_0}{2}}, \quad (3.64)$$

B și K_0 avînd valorile din tabela 3.5.

În calculele de dimensionare rezistența admisibilă la încovoiere se poate lua, în funcție de material și de coeficientul de asimetrie, la frecvențe obișnuite

$$\sigma_{ai} = 6\,000 - 10\,000 \text{ kgf/cm}^2.$$

În relațiile precedente s-a considerat că arcul nedeformat are forma unei bare drepte de secțiune variabilă. În realitate, arcului i se imprimă o formă inițială, astfel că în calcul este necesar să se țină seamă și de săgeata inițială, deoarece valoarea momentului încovoiator se schimbă. În fig. 3.29 este reprezentat un astfel de arc care are o săgeată inițială f_0 , iar capetele acestuia sint articulate prin ochiurile de arc cu eclise speciale, a căror axă este înclinată cu unghiul α față de verticală.

În acest caz, forța P care acționează vertical la capătul arcului este însoțită de o componentă orizontală de mărime $P \cdot \operatorname{tg} \alpha$, astfel că secțiunea de încastrare considerată la mijlocul bridei de stringere este solicitată de două momente încovoietoare, și anume:

$M_1 = Pl$, datorită componentei verticale de la capătul arcului;

$M_2 = f_0 P \cdot \operatorname{tg} \alpha$, datorită componentei orizontale.

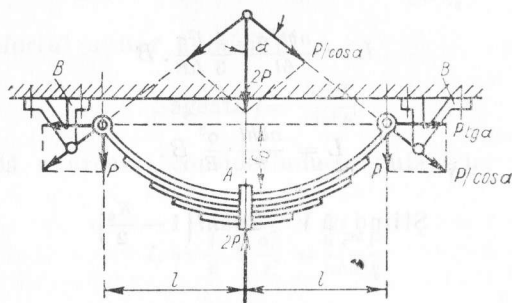


Fig. 3.29

Momentul încovoietor rezultat,

$$M_i = P(l + f_0 \operatorname{tg} \alpha) \quad (3.65)$$

va produce efortul unitar

$$\sigma_i = \frac{M_i}{W} = \frac{6P(l + f_0 \operatorname{tg} \alpha)}{nbh^2}, \quad (3.66)$$

relația din care rezultă numărul n de foi necesare.

Componenta orizontală va produce în foaia principală și un efort de întindere $\sigma_t = \frac{P \operatorname{tg} \alpha}{bn}$, astfel că efortul unitar rezultat în foaia principală este dat de relația

$$\sigma_{\max} = \frac{P}{bh} \left[\operatorname{tg} \alpha + \frac{6(l + f_0 \operatorname{tg} \alpha)}{nh} \right]. \quad (3.67)$$

Această relație este aproximativă, deoarece, în realitate, sub sarcină, arcul se aplatizează și săgeata sa se modifică, devenind f_1 (fig. 3.30), așa încît săgeata de lucru a sarcinii $f = f_0 - f_1$.

Acestei aplatizări îi corespunde și o modificare a unghiului de înclinare a eclisei, α , care devine α_1 , astfel că $f_1 = l \operatorname{tg} \frac{\alpha_1}{2}$.

În acest caz relațiile pentru efortul unitar și pentru săgeată, în cazul asimilării arcului respectiv cu un arc lamelar dublu triunghiular, devin:

$$\sigma_i = \frac{6P(l + f_1 \operatorname{tg} \alpha_1)}{bh^2 n}; \quad (3.68)$$

$$f = \frac{l^2}{h} \frac{\sigma_i}{E} = \frac{6Pl^2(l + f_1 \operatorname{tg} \alpha_1)}{Ebh^3 n}. \quad (3.69)$$

În cazul arcului preformat, bazat pe ideea formării „dublu trapezoidală” a foi, relațiile acestea devin:

$$f = B \cdot \frac{4Pl^3}{nbh^3 E} \left(1 + \frac{f_1}{l} \operatorname{tg} \alpha_1 \right) \quad (3.70)$$

și

$$\sigma_i = \frac{6P(l + f_1 \operatorname{tg} \alpha_1)}{nbh^2}. \quad (3.71)$$

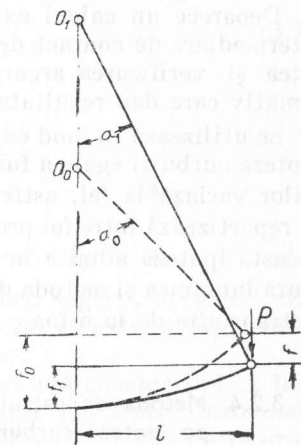


Fig. 3.30

3.2.3. Calculul arcului real în foi

La arcul real în foi apar unele deosebiri de formă și de solicitare care necesită dirijarea calculului în mod corespunzător, așa cum s-a arătat mai înainte (paragraful 3.2.1).

Pe lângă cele arătate, trebuie precizat că la arcul real, foile de arc au în stare liberă curburi diferite, iar la asamblare sînt strînse între ele într-o bridă, cu ajutorul unui bulon central, astfel că, datorită acestui lucru, în foile arcului apar tensiuni încă înainte de încărcarea sa. Aceste tensiuni, denumite tensiuni de asamblare, se suprapun tensiunilor care apar în foile arcului datorită sarcinii. Astfel, în foile scurte tensiunile de asamblare se adună la tensiunile provocate de sarcină, iar în cele lungi se scad din acestea. Diferiți autori au reușit să demonstreze că, la arcul real, sarcina se transmite între foile arcului numai prin forțe concentrate în anumite puncte, așa încît un punct de sprijin se află totdeauna la capătul foi, iar al doilea se află în imediata

apropiere de locul de încadrare, la o distanță aproximativă $x \approx 0,055 l$ din lungimea foi.

În unele norme de calcul se consideră că punctul de sprijin se află chiar în secțiunea de încadrare, la distanța $\frac{a}{6}$ de la mijlocul arcului, a fiind lungimea bridei de strângere (GOST 1425-48).

Deoarece un calcul exact, în care să se țină seamă și de punctele intermediare de contact de lângă bridă, este foarte complicat, la proprietatea și verificarea arcurilor în foi se folosesc metode de calcul aproximativ care dau rezultate destul de apropiate de cele exacte.

Se utilizează în mod curent metoda de calcul aproximativ care admite ipoteza curburii egale a foilor, adică într-o secțiune dată curbura tuturor foilor variază la fel, astfel că momentul încovoietor produs de sarcină se repartizează între foi proporțional cu momentele de inerție respective; această ipoteză admite în fond că foile se află în contact, între ele, pe toată lungimea și metoda de calcul aproximativ admite ipoteza că sarcina se transmite de la o foaie la alta numai prin extremitățile foilor.

3.2.4. Metoda de calcul aproximativ bazată pe ipoteza curburii egale a foilor

Această metodă este cea mai utilizată, deoarece rezultatele care se obțin sînt cele mai apropiate de realitate, iar calculul este simplu și foarte expeditiv. Calculul se apropie în acest caz de calculul unei grinzi cu secțiune variabilă, adică al unui solid de egală rezistență, astfel că momentul de inerție al unei secțiuni oarecare este egal cu suma momentelor de inerție ale foilor arcului în aceeași secțiune.

Pentru a determina săgeata unui sfert de arc (fig. 3.31) se poate folosi, pe baza metodei lui Mohr, relația

$$f = \int_0^l \frac{M \cdot M'}{EY} dx, \quad (3.72)$$

în care M' este momentul încovoietor într-o secțiune oarecare x , dat de o forță-unitate: $M' = 1 \cdot x$; iar M — momentul încovoietor dat de forța P în aceeași secțiune: $M = Px$.



Fig. 3.31

Notînd cu a_2, a_3, \dots, a_n distanțele capetelor foilor față de capătul foi principale în care se aplică sarcina P , expresia săgeții arcului este următoarea:

$$f = \frac{P}{E} \int_0^l \frac{x^2 dx}{Y} = \frac{P}{3E} \left[\frac{a_2^3}{Y_1} + \frac{a_3^3 - a_2^3}{Y_2} + \frac{a_4^3 - a_3^3}{Y_3} + \dots + \frac{a_n^3 - a_{n-1}^3}{Y_{n-1}} + \frac{l^3 - a_n^3}{Y_n} \right] \quad (3.73)$$

sau

$$f = \frac{P}{3E} \sum_{i=1}^n \frac{a_{i+1}^3 - a_i^3}{Y_i}; \quad (3.74)$$

unde

$$a_{n+1} = l$$

$$Y_1 = I_1; \quad Y_2 = I_1 + I_2; \quad \dots; \quad Y_n = I_1 + I_2 + \dots + I_n. \quad (3.75)$$

Această relație dă valoarea minimă a valorii săgeții, deci mai mică decît cea reală, deoarece în calcul s-a considerat că extremitățile foilor se încovoie la fel ca și foile de deasupra lor.

Valoarea maximă a săgeții arcului se determină considerînd că încovoierea extremităților foilor este nulă, deoarece momentul încovoietor la extremitatea foi este nul. Relația pentru săgeata maximă este următoarea:

$$f = \frac{P}{3E} \left[\sum_{i=1}^{n-1} \frac{a_{i+2}^3 - a_{i+1}^3}{Y_i} + \frac{a_2^3}{Y_1} \right]. \quad (3.76)$$

Pentru un calcul practic se folosește relația care dă valoarea medie a săgeții

$$f = \alpha \frac{P}{3E} \sum_{i=1}^n \frac{a_{i+1}^3 - a_i^3}{Y_i}, \quad (3.77)$$

în care

$$\alpha = 1,15 \dots 1,21.$$

Efortul unitar într-o secțiune a unei foi de arc se determină considerînd că momentul încovoietor se împarte între foile arcului proporțional cu momentele lor de inerție,

$$\sigma_i = \frac{M_x}{W_n} \frac{I_n}{Y_n}. \quad (3.78)$$

Pentru determinarea săgeților arcului asamblat se consideră că în stare liberă foile arcului au forma unor arce de cerc, cu razele de curbură $R_1, R_2, R_3 \dots R_n$, după numărul de ordine al foii. Pentru a putea desfășura calculul se folosește noțiunea de rază de curbură a foilor, raportate la prima foaie, conform relațiilor:

$$\begin{aligned} R'_2 &= R_2 - h_1; \\ R'_3 &= R_3 - (h_1 + h_2); \\ R'_4 &= R_4 - (h_1 + h_2 + h_3), \end{aligned} \quad (3.79)$$

$h_1, h_2, h_3 \dots h_n$ fiind grosimile foilor.

După asamblare, toate foile primesc aceeași curbură, datorită faptului că fiecare foaie este supusă unui moment de încovoiere. Dacă într-o porțiune a arcului asamblat raza de curbură a primei foi devine R_0 , variația curburii primei foi pe porțiunea dată este

$$\frac{1}{R_0} - \frac{1}{R_1}, \quad (3.80)$$

iar pentru celelalte foi

$$\frac{1}{R_0} - \frac{1}{R'_2}; \frac{1}{R_0} - \frac{1}{R'_3}; \dots \frac{1}{R_0} - \frac{1}{R'_n}. \quad (3.81)$$

Deoarece suma momentelor de încovoiere din toate foile arcului, în secțiunea respectivă a arcului strâns trebuie să fie nulă, rezultă:

$$\begin{aligned} \sum_1^k M &= EI_1 \left(\frac{1}{R_0} - \frac{1}{R_1} \right) + EI_2 \left(\frac{1}{R_0} - \frac{1}{R'_2} \right) + \\ &+ EI_3 \left(\frac{1}{R_0} - \frac{1}{R'_3} \right) + EI_k \left(\frac{1}{R_0} - \frac{1}{R'_k} \right) = 0, \end{aligned} \quad (3.82)$$

de unde

$$\frac{1}{R_0} = \frac{\sum_1^k \frac{I_n}{R'_n}}{\sum_1^k I_n}, \quad (3.83)$$

unde 1, 2...k reprezintă foile de arc care alcătuiesc secțiunea respectivă. Cunoscând valoarea expresiei $\frac{1}{R_0}$, se pot determina momentele încovo-

ietoare din fiecare foaie și evident și efortul unitar respectiv, cu ajutorul relațiilor:

$$M_1 = EI_1 \left(\frac{1}{R_0} - \frac{1}{R_1} \right); M_2 = EI_2 \left(\frac{1}{R_0} - \frac{1}{R'_2} \right) \dots M_k = EI_k \left(\frac{1}{R_0} - \frac{1}{R'_k} \right) \dots, \quad (3.84)$$

iar eforturile unitare

$$\sigma_1 = \frac{M_1}{W_1}; \sigma_2 = \frac{M_2}{W_2} \dots \sigma_k = \frac{M_k}{W_k}. \quad (3.85)$$

Pentru a determina variația totală a razei de curbură a foii principale, în urma asamblării se observă că raza de curbură a foii principale se modifică de la valoarea R_1 până la valoarea R_{0n} , determinată cu relația precedentă, pentru fiecare porțiune care apare o dată cu o nouă foaie a arcului. Variația totală a săgeții primei foi rezultă din relația

$$f_0 - f_1 = \frac{1}{2} \sum_{i=1}^n \left(\frac{1}{R_{0i}} - \frac{1}{R_1} \right) (a_{i+1} - a_i^2) \quad (3.86)$$

sau considerînd R_1 constantă pentru toate porțiunile (cazul foii libere în formă de arc de cerc)

$$f_0 = f_1 - \frac{l^2}{2R_1} + \frac{1}{2} \sum_{i=1}^n \frac{a_{i+1}^2 - a_i^2}{R_{0i}}, \quad (3.87)$$

unde:

- f_0 este săgeata foii principale în stare liberă;
- l — lungimea;
- R_1 — raza de curbură a foii principale în stare liberă;
- R_{0n} — raza de curbură a porțiunii din arcul asamblat, cuprinsă între distanțele a_n și a_{n+1} de capătul primei foi.

Ca observație trebuie reținut că prin această metodă de calcul, valorile eforturilor unitare în ultimele două foi mai scurte sînt mai mici decît în realitate.

3.2.5. Calculul arcurilor în foi pe baza ipotezei transmiterii forțelor prin extremități

Pentru un calcul aproximativ, suficient de apropiat de realitate, se consideră o jumătate de arc strînsă în brida de legătură, transmiterea încărcării de la o foaie la alta realizîndu-se numai prin capătul foii.

Pe baza acestei ipoteze, fiecare foaie se poate considera ca o grindă rectilinie, încastrată la un capăt (în mijlocul bridei) și încărcată cu două forțe concentrate: forța de interacțiune cu foaie de deasupra și forța de interacțiune cu foaie de dedesubt.

Dacă se consideră două foi ale arcului de ordinul $(k-1)$ și k , fiecare foaie este solicitată ca în fig. 3.32; și dacă se notează cu 1 și 2 punctele de aplicare ale forțelor concentrate în capătul foii, respectiv în dreptul capătului foii de dedesubt, săgeata punctelor 1 și 2 pentru foaie se poate scrie sub forma:

$$\begin{aligned} y_1^{(k)} &= P_k \delta_{11}^{(k)} - P_{k+1} \delta_{12}^{(k)} \\ y_2^{(k)} &= P_k \delta_{12}^{(k)} - P_{k+1} \delta_{22}^{(k)} \end{aligned} \quad (3.88)$$

unde: $\delta_{11}^{(k)}$ este săgeata punctului 1 al foii k , produsă de o forță egală cu unitatea aplicată în punctul 1 al foii de ordinul k ;

$\delta_{12}^{(k)}$ — săgeata punctului 1 al foii k , produsă de o forță egală cu unitatea aplicată în punctul 2 al foii de ordinul k ;

$\delta_{22}^{(k)}$ — săgeata punctului 2 al foii k , produsă de o forță egală cu unitatea aplicată în punctul 2 al foii de ordinul k ;

Săgețile δ sînt date de relațiile:

$$\delta_{11}^{(k)} = \frac{1}{3EI_k} l_{12}^{(k)} + K(l_k - l_{k+1})^3; \quad (3.89)$$

$$\delta_{12}^{(k)} = \frac{1}{6EI_k} l_{k+1}^2 (3l_k - l_{k+1});$$

$$\delta_{22}^{(k)} = \frac{l_{k+1}}{3EI_k}, \quad (3.89)$$

în care I_k este momentul de inerție al secțiunii transversale.

K — un coeficient care ține seamă de forma capătului foii, modificat fie prin subțierea sa, fie prin retezarea sa; în cazul foii nesubțiate și neretatezate la capăt, $K=0$; în tabela 3.6 se dau valorile coeficientului K pentru diferite forme uzuale ale capetelor foilor de arc;

l_k , l_{k+1} sînt lunigmile foilor k și $k+1$ măsurate de la secțiunea de încastrare pînă la capătul foii.

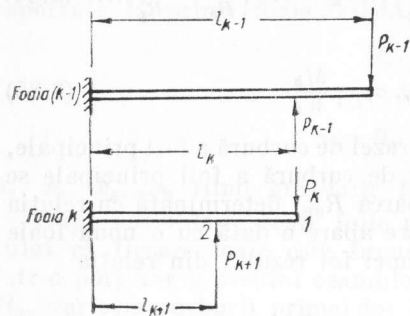


Fig. 3.32

Tabela 3.6
Valorile coeficientului K pentru diferite forme ale capetelor foilor de arc

$K^{[k]} = \frac{\alpha^3}{2} \cdot \frac{1}{6\beta^3 \ln \frac{1}{\beta} + (1-\beta)(1-5\beta-2\beta^2)} \cdot \frac{1}{(1-\beta^3)}$ $\alpha = \frac{a}{l_k - l_{k+1}}; \quad \beta = \frac{b_1}{b}$	$K^{[k]} = \frac{\alpha^3}{2} \cdot \frac{1}{6 \ln \frac{1}{\beta} - (1-\beta)(11-7\beta+2\beta^2)} \cdot \frac{1}{(1-\beta^3)}$ $\alpha = \frac{a}{l_k - l_{k+1}}; \quad \beta = \frac{h_1}{h}$	$K = \alpha^3 \cdot \frac{1-\beta}{\beta}$ $\alpha = \frac{a}{l_k - l_{k+1}}; \quad \beta = \frac{h_1}{h}$

Deoarece săgeata capătului 1 al foi k este egală cu săgeata punctului de sprijin pe foia superioară $(k-1)$ notat cu 2 se poate scrie:

$$y_1^{(k)} = y_2^{(k-1)} = P_k \delta_{11}^{(k)} - P_{k+1} \delta_{12}^{(k)} = P_{k-1} \delta_{12}^{(k-1)} - P_k \delta_{22}^{(k-1)} \quad (3.90)$$

Pentru a determina valorile forțelor de interacțiune P_1, P_2, \dots, P_k se folosesc rapoartele:

$$\frac{P_{k-1}}{P_k} = C_{k-1}; \quad \frac{P_k}{P_{k+1}} = C_k \dots \quad (3.91)$$

Folosind egalitatea săgeților menționate

$$C_{k-1} = \frac{\delta_{11}^{(k)} + \delta_{22}^{[k-1]}}{\delta_{12}^{(k-1)}} - \frac{1}{C_k} \frac{\delta_{12}^{(k)}}{\delta_{12}^{(k-1)}} \quad (3.92)$$

Dacă arcul are în total n foi, atunci

$$\frac{1}{C_n} = \frac{P_{n+1}}{P_n} = 0, \quad (3.93)$$

deoarece $P_{n+1} = 0$, neexistând foia $n+1$.

Rezultă în acest caz:

$$C_{n-1} = \frac{P_{n-1}}{P_n} = \frac{\delta_{11}^{(n)} + \delta_{22}^{(n-1)}}{\delta_{12}^{(n-1)}};$$

$$C_{n-2} = \frac{P_{n-2}}{P_{n-1}} = \frac{\delta_{11}^{(n-1)} + \delta_{22}^{(n-2)}}{\delta_{12}^{(n-2)}} - \frac{1}{C_{n-1}} \frac{\delta_{12}^{(n-1)}}{\delta_{12}^{(n-2)}};$$

$$\dots$$

$$C_1 = \frac{P_1}{P_2} = \frac{\delta_{11}^{(2)} + \delta_{22}^{(1)}}{\delta_{12}^{(1)}} - \frac{1}{C_2} \frac{\delta_{12}^{(2)}}{\delta_{12}^{(1)}}, \quad (3.94)$$

unde P_1 este forța care acționează în capătul (ochiul) foi principale.

Determinând coeficienții de raport al forțelor ce pot determina toate forțele, deoarece forța P_1 este cunoscută fiind încărcarea arcului, rezultă:

$$P_2 = \frac{P_1}{C_1}; \quad P_3 = \frac{P_2}{C_2}; \quad \dots; \quad P_n = \frac{P_{n-1}}{C_{n-1}} \quad (3.95)$$

Relațiile coeficienților de raport al forțelor se pot exprima în funcție de lungimile foilor, folosind relațiile stabilite anterior pentru deplasările δ . Deoarece pentru calculul de proiectare au o importanță mare

ultimii trei coeficienți (corespunzători foilor celor mai scurte), în fig. 3.33 se dau valorile acestora în funcție de raportul $\frac{l_n}{l_{n-1}-l_n}$ și de coeficientul K , care depinde de forma capetelor foilor. Deoarece, în majoritatea cazurilor uzuale, arcurile în foi se execută din foi de grosime egală și cu diferențe egale între lungimile foilor vecine, valorile coeficienților C se găsesc în unele tratate calculate pentru anumite condiții.

În tabela 3.7 se dau valorile coeficienților C pentru două situații folosite mai des, și anume:

— lungimea l_n a ultimei foi este egală cu diferența dintre lungimile foilor vecine, adică $l_n = l_k - l_{k+1}$;

— lungimea l_n a ultimei foi este egală cu dublul diferenței dintre lungimile foilor vecine, adică $l_n = 2(l_k - l_{k+1})$.

Pentru fiecare dintre aceste două situații s-a prevăzut și influența modificării capetelor foilor redată prin valoarea coeficientului K , a cărui valoare este nulă pentru capetele foilor retezate după o dreaptă și egală cu 0,5 pentru capetele foilor subțiate.

Se observă că majoritatea coeficienților sînt foarte apropiați de unitate, cu excepția ultimilor trei: $C_{n-1}, C_{n-2}, C_{n-3}$, a căror determinare este importantă pentru calculul precis al eforturilor unitare în ultimele foi.

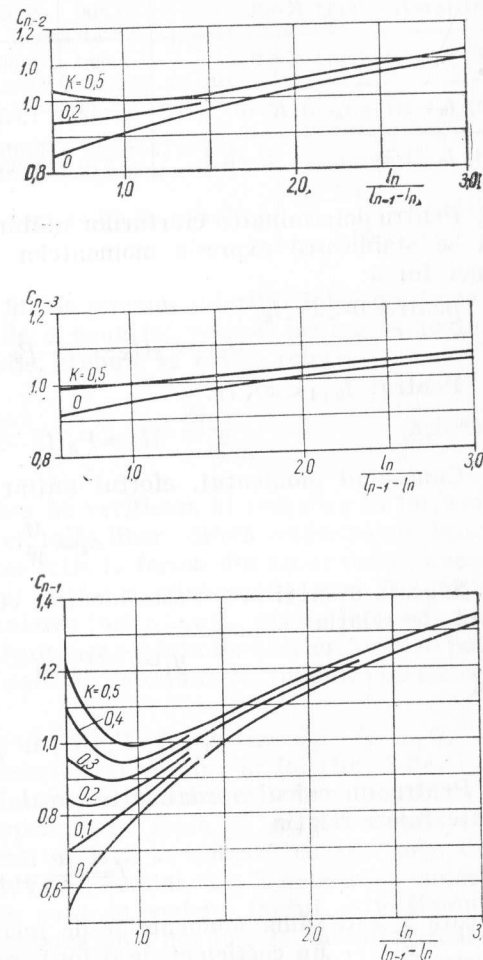


Fig. 3.33

Tabela 3.7

Valorile coeficienților C_{n-1}, \dots, C_{n-6} pentru arcuri în foi cu diferite lungimi ale ultimei foi și diferite forme ale capetelor foilor

Variantele arcurilor (din punctul de vedere al lungimii ultimei foi și al valorii coeficientului K)	C_{n-1}	C_{n-2}	C_{n-3}	C_{n-4}	C_{n-5}	C_{n-6}
a) $l_n = l_k - l_{k+1}; K=0$	0,800	0,920	0,957	0,975	0,983	0,988
b) $l_n = l_k - l_{k+1}; K=0,5$	1,000	1,000	1,000	1,000	1,000	1,000
c) $l_n = 2(l_k - l_{k+1}); K=0$	1,142	1,031	1,008	1,001	0,999	0,998
d) $l_n = 2(k_k - l_{k+1}); K=0,5$	1,179	1,052	1,023	1,012	1,007	1,005

Pentru determinarea eforturilor unitare și a săgeții arcului este necesar să se stabilească expresia momentelor încovoietoare într-o secțiune a unei foi k :

pentru $0 < x < l_{k-1}$,

$$M_x = P_k(l_k - x) - P_{k+1}(l_{k+1} - x); \quad (3.96)$$

Pentru: $l_{k+1} < x < l_k$,

$$M_x = P_k(l_k - x). \quad (3.97)$$

Cunoscînd momentul, efortul unitar se determină cu relația

$$\sigma_i = \frac{M}{W}.$$

Săgeata arcului în foi este identică cu săgeata foi principale și este dată de relația

$$y_1 = f = P_1 \delta_{11}^{(1)} - P_2 \delta_{12}^{(1)} \quad (3.98)$$

sau

$$y_1 = f = P_1 \left[\delta_{11}^{(1)} - \frac{1}{C_1} \delta_{12}^{(1)} \right]. \quad (3.99)$$

Pentru un calcul aproximativ prealabil al săgeții arcului în foi se poate folosi relația

$$f = x \frac{P \cdot l^3}{3EY}, \quad (3.100)$$

în care Y este suma momentelor de inerție ale tuturor foilor arcului;
 x — un coeficient de deformare, care depinde de tipul arcului ale cărui valori sînt date în tabela 3.8.

Tabela 3.8

Valorile coeficientului de deformare

Tipul arcului	Coeficientul de deformare x
Grindă de egală rezistență (arc „ideal“)	1,5
Arcuri cu extremitățile foilor subțiate, apropiate de o grindă de egală rezistență (arcuri de autoturism)	1,4—1,45
Arcuri cu extremitățile foilor retezate după o dreaptă, la care foaia a doua are o lungime egală cu prima și care au cel mult o foaie deasupra foi principale	1,35
Arcuri cu extremitățile foilor retezate după o dreaptă, avînd două-trei foi egale în lungime cu foaia principală și citeva foi deasupra foi principale	1,3
Arcuri deosebit de grele cu un număr mare de foi de aceeași lungime	1,25

Dacă arcul este executat din foi de grosimi diferite, între grosimea foilor și diferența dintre lungimile a două foi vecine, pentru ca toate calculele menționate să fie valabile, trebuie să existe relația

$$\frac{l_k - l_{k+1}}{h_k^3} = \frac{l_{k+1} - l_{k+2}}{h_{k+1}^3} = \dots = \frac{l_{n-1} - l_n}{h_{n-1}^3}. \quad (3.101)$$

În calculul de dimensionare sau de verificare al arcurilor în foi trebuie să se aibă în vedere faptul că foile libere diferă ca formă de foile din arcul strîns. Pentru a se aduce foile la forma din arcul strîns, acestea sînt strînse astfel că în arcul în foi montat există între foi forțe de interacțiune care apar la asamblarea foilor în arc. Aceste forțe se consideră că acționează la capetele foilor, iar mărimile acestor forțe se pot determina prin aceeași metodă folosită la determinarea modului de transmitere a sarcinilor exterioare.

Între foile unui arc în stare liberă există jocurile J_1, J_2, \dots, J_{n-1} (fig. 3.34, $a-d$), care în urma asamblării arcului în foi (fig. 3.34, e), dispar. Dacă se presupune că la montarea arcului se strînge penultima foaie pe ultima foaie, apoi antepenultima foaie pe grupul format de ultimele două și așa mai departe, și dacă se notează cu Q_k forța de strîngere care acționează în capătul foi, acestea se pot determina cunoscînd mărimile jocurilor. Trebuie avut în vedere faptul că în timpul asamblării succesive, odată cu montarea unei noi foi, se modifică toate forțele de interacțiune care acționează între foile de arc deja montate. În fig. 3.34, $a-e$ se arată modul de strîngere succesiv a foilor arcului.

Folosind metoda de calcul aproximativ bazată pe ipoteza transmiterii forțelor prin extremități pentru un arc care are n foi, în cazul stringerii penultimei foi, $n-1$ pe ultima foaie pînă la anularea jocului j_{n-1} , se poate scrie, folosind aceleași notații:

$$j_{n-1} = Q_n [\delta_{11}^{(n)} + \delta_{22}^{(n-1)}], \quad (3.102)$$

de unde

$$Q_n = \frac{j_{n-1}}{\delta_{11}^{(n)} + \delta_{22}^{(n-1)}}. \quad (3.103)$$

Făcînd calculul pînă la prima foaie, pe baza aceleiași metode, se obține:

$$\begin{aligned} Q_{n-1} &= \frac{j_{n-2} + Q_n \delta_{12}^{(n-1)}}{C_{n-2} \delta_{12}^{(n-2)}}; \\ Q_{n-2} &= \frac{j_{n-3} + Q_{n-1} \delta_{12}^{(n-2)}}{C_{n-3} \delta_{12}^{(n-3)}}; \\ &\dots \dots \dots \\ Q_3 &= \frac{j_2 + Q_4 \delta_{12}^{(3)}}{C_2 \delta_{12}^{(2)}}; \\ Q_2 &= \frac{j_1 + Q_3 \delta_{12}^{(2)}}{C_1 \delta_{12}^{(1)}}. \end{aligned} \quad (3.104)$$

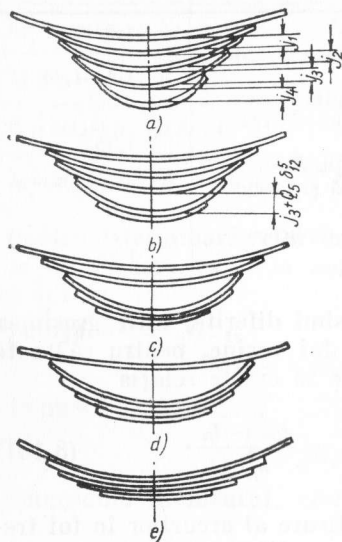


Fig. 3.34

Forța $Q_1 = Q = 0$, deoarece, la montare, la extremitățile primei foi nu apare nici o forță de interacțiune.

Forțele Q_k apar în momentul asamblării foi respective. În timpul montării foilor următoare superioare, valorile lor se modifică, adăugîndu-se și partea de sarcină care se transmite prin capetele foilor montate. Valorile forțelor totale de interacțiune care acționează în capetele foilor se determină cu relațiile:

$$\begin{aligned} P'_2 &= Q_2; \\ P'_3 &= Q_3 + \frac{P'_2}{C_2}; \\ &\dots \dots \dots \\ P'_n &= Q_n + \frac{P'_{n-1}}{C_{n-1}}. \end{aligned} \quad (3.105)$$

Variația săgeții foi principale a arcului este dată de relația:

$$f' = P'_2 \delta_{12}^{(1)}. \quad (3.106)$$

Chiar dacă nu există o sarcină exterioară care să acționeze asupra arcului montat, în fiecare foaie în parte apar solicitări datorită forțelor de asamblare, care produc momente și deci eforturi unitare suplimentare. Suma acestor momente în secțiunea de încadrare trebuie să fie nulă și deci:

$$M'_1 + M'_2 + \dots + M'_n = 0 = \Sigma \sigma' W, \quad (3.107)$$

unde W este modulul de rezistență al foi k .

Rezultă că eforturile unitare în diferite foi sînt de semne diferite (deoarece suma de mai sus este nulă). Astfel, în foaia cea mai lungă, ele au semn negativ, iar în foaia cea mai scurtă — semnul pozitiv. Între forțele de stringere și eforturile unitare care se produc în foi există relații:

$$\begin{aligned} P'_n &= \sigma'_n \frac{W_n}{l_n}; \\ P'_{n-1} &= \frac{\sigma'_{n-1} W_{n-1}}{l_{n-1}} - P'_n \frac{l_n}{l_{n-1}}; \\ P'_{n-2} &= \frac{\sigma'_{n-2} W_{n-2}}{l_{n-2}} - P'_{n-1} \frac{l_{n-1}}{l_{n-2}}; \\ &\dots \dots \dots \\ P'_2 &= \frac{\sigma'_2 W_2}{l_2} - P'_3 \frac{l_3}{l_2}. \end{aligned} \quad (3.108)$$

În foile scurte, efortul unitar datorit stringerii este de același semn cu efortul unitar produs de sarcina exterioară (încărcarea arcului în foi), astfel că cele două eforturi se adună, iar în foile lungi este de semn contrar, astfel că eforturile unitare cele mai mari și mai periculoase apar în foile cele mai scurte.

Între săgețile foilor în stare liberă și săgețile foilor din arc asamblat (fig. 3.35) există relația:

$$y_k = y'_k + P'_k \delta_{11}^{(k)} - P'_{(k-1)} \delta_{12}^{(k)}, \quad (3.109)$$

în care y_k este săgeata foi de ordinul k liberă;
 y'_k — săgeata foi de ordinul k în arc montat.

La calculul de dimensionare al unui arc în foi trebuie să se dea o atenție deosebită eforturilor unitare care se produc în ultimele trei foi, a căror mărime este de regulă substanțial mai mare decât în celelalte foi. În acest scop este necesar să se determine în prealabil expresia momentelor încovoietoare din secțiunile de încastrare din aceste foi.

Momentele încovoietoare și eforturile unitare în ultimele trei foi ale unui arc cu n foi, în raport cu momentul de încovoiere total M_i , care lucrează în secțiunea de încastrare, sînt date de relațiile:

$$M_{n-2} = \frac{M_i}{\frac{l_{n-1}}{C_{n-2}(l_{n-2}-l_{n-1})} + \sum \frac{I_k}{I_{n-2}}} \text{ și } \sigma_{n-2} = \frac{M_{n-2}}{W_{n-2}};$$

$$M_{n-1} = M_{n-2} \frac{C_{n-1}(l_{n-1}-l_n)}{C_{n-1}(C_{n-2} \cdot l_{n-2} - l_{n-1})} \text{ și } \sigma_{n-1} = \frac{M_{n-1}}{W_{n-1}};$$

$$M_n = M_{n-2} \frac{l_n}{C_{n-1}(C_{n-2} l_{n-2} - l_{n-1})} \text{ și } \sigma_n = \frac{M_n}{W_n}. \quad (3.110)$$

Dacă eforturile unitare în ultimele foi depășesc valorile admisibile, o cale pentru a simplifica calculul de proiectare constă în înlocuirea ultimei sau ultimelor foi prin mai multe foi subțiri în care vor apărea eforturi unitare mai mici.

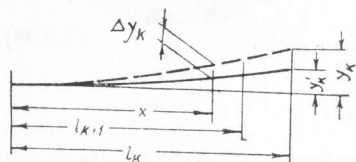


Fig. 3.35

În calculele prezentate anterior s-a considerat cazul arcului în foi în formă de jumătate de arc, adică cazul arcului cu un capăt încastrat în brida de strîngere și cu celălalt solicitat de sarcină.

Pentru arcurile semieliptice, cantilivere sau pentru arcurile închise, relațiile de calcul sînt similare, deosebirea constînd numai la determinarea mărimii săgeții, adică a deplasării bridei de legătură, fiind necesar să se adune săgețile care rezultă din fiecare parte.

3.2.6. Încărcarea arcului prin eclise oblice

După cum s-a arătat în paragraful 3.2.2, în foarte multe cazuri, mai ales la arcurile de suspensie folosite la materialul rulant, sarcina se transmite pe capetele arcului după o direcție înclinată față de verticală, prin intermediul unor eclise articulate prin buloane cu un capăt de ochiul

arcului și celălalt capăt de suportul de arc. Trebuie observat, de asemenea, faptul că foaia principală nu este dreaptă, ci are — din construcție — o curbura. În acest fel ea prezintă o săgeată inițială f_0 , care variază la încărcarea arcului. În acest caz semilungimea foi, l_f , diferă de lungimea l a semideschiderii arcului (fig. 3.36).

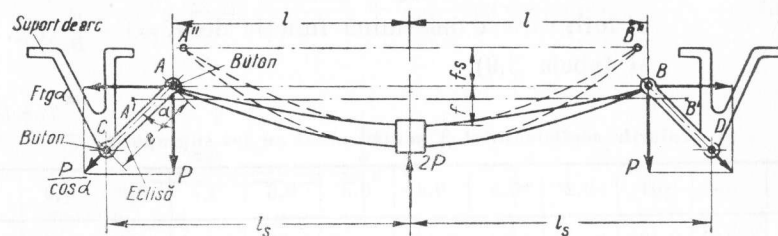


Fig. 3.36

Valorile lui σ și f pentru acest caz sînt cele date de relațiile (3.70) și (3.71). Trebuie avut în vedere însă că secțiunea de încastrare a foilor nu se află chiar la mijlocul bridei de strîngere, ci la o distanță egală cu a șasea parte din lățimea a (v. fig. 3.19) a bridei.

Pe baza acestui considerent, relațiile (3.70) și (3.71) devin:

$$\sigma_{max} = \frac{6P \left(l - \frac{a}{6} + f_1 \operatorname{tg} \alpha \right)}{nbh^2} \quad (3.111)$$

$$f = B \frac{4P \left(l - \frac{a}{6} \right)^3}{nbh^3 E} \left[1 + \frac{f_1}{l - \frac{a}{6}} \operatorname{tg} \alpha \right] \quad (3.112)$$

Pentru un calcul mai precis trebuie avut în vedere că mărimile l , α și f_1 sînt variabile depinzînd de mărimea sarcinii P . Din această cauză unii autori (de exemplu Siefried Gross) deosebesc două cazuri: arcul în foi cu o deformare mică (rigiditate mare și încărcare redusă) și arcul în foi cu deformări mari.

Pentru primul caz săgeata este dată de relația:

$$f = \frac{P \cdot l_f}{EI} \left[\frac{l_f}{3} B + F_1 \left(\frac{l}{l_f} \right) \beta \operatorname{tg} \alpha \right], \quad (3.113)$$

în care l_f este semilungimea foii principale;

l — semideschiderea arcului;

B — coeficient în funcție de forma trapezoidală a foii, dat în tabela 3.5;

β — coeficient care depinde de forma capătului trapezoidal al foii, care se determină funcție de $K=1-\frac{B_1}{B_2}$ (fig. 3.37 și tabela 3.9).

Tabela 3.9

Valorile coeficientului β pentru arcu cu foi suprapuse

K	0	0,1	0,2	0,3	0,4	0,5	0,6	0,7	0,8	0,9	1,0
β	0,417	0,429	0,442	0,467	0,473	0,493	0,513	0,539	0,569	0,609	0,667

Pentru cazul al doilea al deformărilor mari, săgeata

$$f = \frac{1 + \frac{P_1 l_f^2}{EI} \beta \operatorname{tg} \alpha_1}{1 + \frac{P_1 l_f^2}{EI} \beta \operatorname{tg} \alpha} \cdot \frac{P l_f^2}{EI} \left(\frac{l_f}{3} B + f_1' \operatorname{tg} \alpha_1 \right), \quad (3.114)$$

unde P_1 , α_1 și f_1' sînt valori corespunzătoare unei sarcini determinate inițial și considerată de referință (ca punct de pornire). Prin variația sarcinii P , mărimile α și f se modifică, deoarece prin coborîrea capetelor arcurilor eclisele se rotesc. Dacă lungimea ecliselor (v. fig. 3.36) este e , iar ele se rotesc cu un unghi $\alpha - \alpha_1$, capetele ecliselor articulate la capetele foii principale de arc se ridică cu distanța $s = e(\cos \alpha - \cos \alpha_1)$, astfel că linia orizontală AB (v. fig. 3.36), care unește centrele buloanelor de articulație, se deplasează cu distanța

$$d = f' - (f - f_1) + s, \quad (3.115)$$

iar deschiderea arcului $2l$ se modifică în funcție de mărimea unghiului α , ..., dacă se notează cu $2l_s$ distanța dintre centrele articulațiilor eclisei la suporturile de arc

$$\sin \alpha = \frac{l_s - l}{e}. \quad (3.116)$$

Considerînd curbura foii principale aproximativ un arc de cerc (fig. 3.38) se pot scrie relațiile:

$$\begin{aligned} \frac{l}{l_f} &= \frac{\sin \varphi}{\varphi} - \frac{2e+h}{2l_f} \sin \varphi; \\ \frac{f_1}{l_f} &= \frac{1 - \cos \varphi}{\varphi} + \frac{2e+h}{2l_f} \cos \varphi - \frac{h}{2l_f}. \end{aligned} \quad (3.117)$$

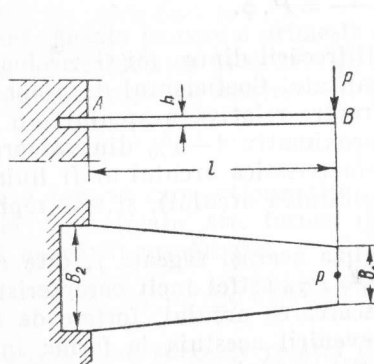


Fig. 3.37

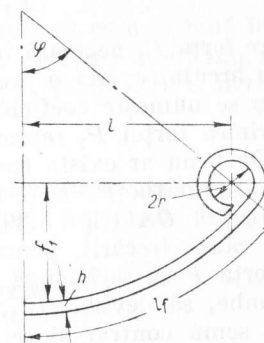


Fig. 3.38

Relațiile (3.116) și (3.117) servesc la determinarea valorilor l și α pentru o valoare f_1' impusă unui arc, la care se cunosc h , l_f , r și e . Odată determinate aceste valori, se poate obține săgeata f cu relația (3.114).

3.2.7. Influența forțelor de frecare asupra caracteristicii arcului

În timpul deformării arcului, datorită alunecării relative, între foi apare o forță de frecare care-i schimbă caracteristica. Considerînd că transmiterea sarcinii între foile arcului are loc prin capetele arcului (forțele de frecare apar în aceste puncte), asupra unei foi vor acționa — pe fața superioară și pe cea inferioară — două forțe de frecare aproximativ egale și de semn contrar, formînd un cuplu. Excepție fac prima și ultima foaie, asupra cărora acționează numai cîte o forță. Considerînd forțele în capetele foilor aproximativ egale cu forța P din capătul

arcului, valoarea fiecărei forțe de frecare fiind astfel μP , suma momentelor forțelor de frecare:

$$(n-2)\mu Ph + 2\mu P \frac{h}{2} = (n-1)\mu Ph = P_1 l, \quad (3.118)$$

unde P_1 este forța din capătul arcului, necesară pentru a învinge frecarea dintre foi.

Rezultă:

$$P_1 = \frac{P(n-1)h}{l} = P \cdot \varphi. \quad (3.119)$$

Între forța P_1 necesară învingerii frecării dintre foi și sarcina P din capătul arcului există o proporționalitate. Coeficientul de proporționalitate φ se numește coeficient de frecare relativă a arcului.

Mărimea forței P_1 reprezintă aproximativ 4–5% din valoarea sarcinii. Dacă nu ar exista frecare, caracteristica arcului ar fi liniară, ar fi dată de relația $P=cf$ (c fiind rigiditatea arcului), și s-ar reprezenta prin dreapta OA (fig. 3.39).

Din cauza frecării, pentru a realiza aceeași săgeată f , este necesar ca la forța P să se adauge forța $P_1=P\varphi$, astfel încât caracteristica să se schimbe, să devină OA_1 . La descărcarea arcului, forțele de frecare sînt de semn contrar și se opun revenirii acestuia la forma inițială. Pentru a se produce o variație a săgeții arcului — este necesar ca acesta să fie descărcat cu o forță P_1+P_2 , forța P_2 fiind forța necesară învingerii frecării care apare la descărcarea arcului, caracteristica acestuia la descărcare fiind OA_2 . Pentru a determina suma forțelor P_1+P_2 corespunzătoare unei săgeți oarecare se trasează dreapta M_1M_2 paralelă la axa ordonatelor.

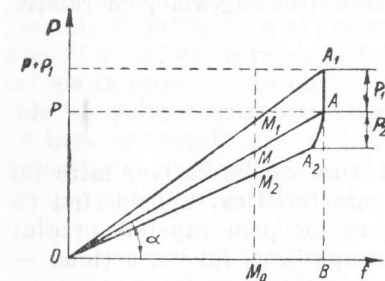


Fig. 3.39

Pentru un calcul mai exact al forței necesare învingerii frecării la arcul în foi, se poate utiliza relația

$$P = cf(1 \pm \mu a) \pm \mu b, \quad (3.120)$$

în care:

$$a = \frac{1}{l_2} \sum_{k=2}^n l_k (l_k + h_{k-1});$$

$$b = \frac{1}{l_2} \sum_{k=2}^n P_k l_k (h_k + h_{k-1}), \quad (3.121)$$

care ține seama de grosimile și lungimile fiecărei foi. Semnul plus corespunde încărcării arcului, iar semnul minus — descărcării lui, notațiile fiind cele folosite anterior.

3.2.8. Oscilațiile arcurilor în foi

În cazul când arcurile în foi sînt supuse oscilațiilor, este necesar să se ia în considerație și frecarea dintre foi.

După cum s-a amintit, forța necesară pentru a învinge frecarea dintre foi în stare de repaus este:

$$P_1 = \varphi P. \quad (3.122)$$

Dacă săgeata pe care o primește arcul încărcat cu o sarcină în repaus este f_s , iar rigiditatea sa este c , și dacă sub acțiunea unui impuls oarecare săgeata crește cu mărimea y , expresia forței pentru a învinge frecarea din arc devine:

$$P_1 = \varphi c(f_s + y). \quad (3.123)$$

Dacă sarcina care acționează asupra arcului supus oscilațiilor este P , ecuația de mișcare are forma (schimbarea semnului depinzînd de sensul mișcării) următoare:

$$P \pm \varphi c(f_s + y) - (f_s + y)c = \frac{P}{g} \frac{d^2 y}{dt^2}. \quad (3.124)$$

Transformînd succesiv relația (3.124), devine:

$$\frac{P}{g} \frac{d^2 y}{dt^2} + c y \pm \varphi c(f_s + y) = 0; \quad (3.125)$$

$$\frac{d^2 y}{dt^2} + \frac{(1 \mp \varphi)gc}{P} y \mp \frac{\varphi f_s}{1 \mp \varphi} = 0. \quad (3.126)$$

Notînd

$$\omega_1^2 = \frac{(1-\varphi)gc}{P} \text{ și } \omega_2^2 = \frac{(1+\varphi)gc}{P}. \quad (3.127)$$

Rezultînd ecuațiile de mișcare după cum urmează: pentru deplasarea sarcinii de jos în sus

$$y = A_1 \cos \omega_1 t + B_1 \sin \omega_1 t + \frac{\varphi f_s}{1-\varphi}; \quad (3.128)$$

pentru deplasarea sarcinii de sus în jos:

$$y = A_2 \cos \omega_2 t + B_2 \sin \omega_2 t - \frac{\varphi f_s}{1+\varphi}. \quad (3.129)$$

La prima ecuație, pentru determinarea constantelor A_1 și B_1 , se poate considera că la $t=0$, $y=y_0$, $\frac{dy}{dt}=0$,

deci

$$y = \left(y_0 - \frac{\varphi f_s}{1-\varphi} \right) \cos \omega_1 t + \frac{\varphi f_s}{1-\varphi}. \quad (3.130)$$

Pentru $t = t_1 = \frac{\pi}{\omega_1}$ rezultă amplitudinea:

$$y_1 = -y_0 + \frac{2\varphi f_s}{1-\varphi} \approx -y_0 + 2\varphi f_s. \quad (3.131)$$

Pentru determinarea constantelor A_2 și B_2 se consideră că, la $t=0$, $y=y_1$, $\frac{dy}{dt}=0$, astfel că rezultă:

$$y = \left(-y_0 + \frac{\varphi f_s}{1-\varphi} + \frac{\varphi f_s}{1+\varphi} \right) \cos \omega_2 t - \frac{\varphi f_s}{1+\varphi}. \quad (3.132)$$

Pentru $t = \frac{\pi}{\omega_2}$ rezultă amplitudinea:

$$y_2 = y_0 - \frac{4\varphi f_s}{1-\varphi^2} \approx y_0 - 4\varphi f_s. \quad (3.133)$$

Se observă că după fiecare schimbare de sens a mișcării, amplitudinea se micșorează cu $2\varphi f_s$. Perioada unei oscilații complete fiind:

$$T = \frac{\pi}{\omega_1} + \frac{\pi}{\omega_2} = 2\pi \sqrt{\frac{f_s}{g}} \approx 0,2 \sqrt{f_s}. \quad (3.134)$$

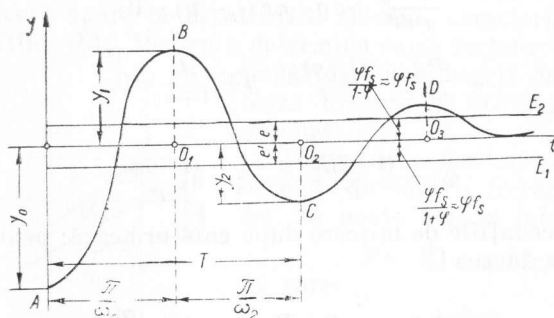


Fig. 3.40

Mișcarea sarcinii este o mișcare oscilatorie, amortizată, a cărei diagramă este reprezentată în fig. 3.40.

Se mai observă că dacă sarcina este mică, sub o anumită limită forțele de frecare frânează arcul, astfel că el rămâne insensibil la impulsurile mici.

Dacă se consideră cazul $\frac{d^2y}{dt^2}=0$, adică echilibrul arcului, rezultă:

$$\omega_1^2 \left(y - \frac{\varphi f_s}{1-\varphi} \right) = 0 \text{ și } \omega_2^2 \left(y + \frac{\varphi f_s}{1+\varphi} \right) = 0, \quad (3.135)$$

de unde

$$y = \pm \frac{\varphi f_s}{1 \pm \varphi}. \quad (3.136)$$

Între aceste limite, denumite săgețile frecării, este cuprinsă zona de echilibru a arcului sau zona moartă. În fig. 3.40, această zonă este determinată aproximativ de dreptele E_1 și E_2 , distanța între ele fiind $2\varphi f_s$.

3.2.9. Arcuri în foi, simple, cu brațe neegale

Relațiile de calcul pentru arcurile în foi indicate anterior se referă la jumătăți de arc egale. Deseori la autovehicule se întâlnesc arcuri cu brațe neegale de lungimi l_1 și l_2 (fig. 3.41), capetele A și B aflându-se de obicei pe aceeași orizontală.

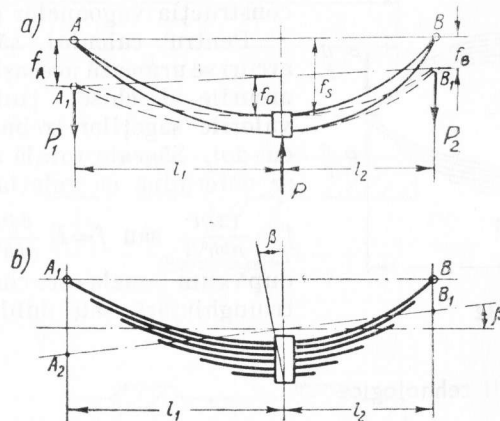


Fig. 3.41

Dacă asupra arcului, în brida de strângere acționează forța P , la capete vor acționa sarcinile:

$$P_1 = \frac{l_2}{l_1 + l_2} P \text{ și } P_2 = \frac{l_1}{l_1 + l_2} P. \quad (3.137)$$

Săgețile la capete vor avea valorile aproximative:

$$f_A = B \frac{l_1^3}{3EI} P_1 = B \frac{l_1^3 l_2}{3EI(l_1 + l_2)} P; \tag{3.138}$$

$$f_B = B \frac{l_2^3}{3EI} P_2 = B \frac{l_2^3 l_1}{3EI(l_1 + l_2)} P.$$

Mărimile acestor săgeți nu sînt egale și din această cauză, după încărcare, arcul se înclină față de orizontală cu un unghi β. Deoarece, de regulă, capetele A și B se află mereu pe o aceeași orizontală, legătura arcului suferă o rotație cu unghiul β, ceea ce impune constructorului să prevadă posibilitatea de rotire a legăturii pe suportul său cu unghiul β.

Deplasarea legăturii arcului este dată de relația:

$$f = f_s - f_o = f_B + (f_A - f_B) \frac{l_2}{l_1 + l_2} = B \frac{l_1^3 l_2^2 P}{3EI(l_1 + l_2)}. \tag{3.139}$$

3.2.10. Arcuri în foi închise

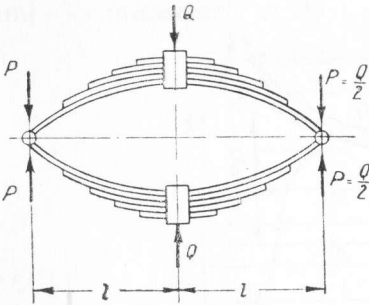


Fig. 3.42

Aceste arcuri se întîlnesc curent în construcția vagoanelor (fig. 3.42).

Pentru calculul săgeților acestor arcuri se urmează aceeași cale ca pentru arcurile deschise, ținînd seamă că valorile săgeților trebuie înmulțite cu doi. Săgeata totală a acestor arcuri se determină cu relația

$$f = \frac{12Pl^3}{nbh^3E} \text{ sau } f = B \frac{8Pl^3}{nbh^3E}, \text{ (fig. 3.140)}$$

după cum lamela este considerată dublu triunghiulară sau dublu trapezoidală.

3.2.11. Indicații tehnologice

Arcurile în foi multiple se execută din benzi de oțel pentru arcuri prelucrate la cald avînd dimensiunile și caracteristicile standardizate. Profilul laminat al oțelului pentru foi de arc poate avea diferite forme. În fig. 3.43, a–f, sînt arătate diferite forme ale acțiunii foi de arc.

Prima variantă a secțiunii (fig. 3.43 a) este o formă dreptunghiulară cu muchiile rotunjite și cu o concavitate în limitele de 0,1–0,2 mm.

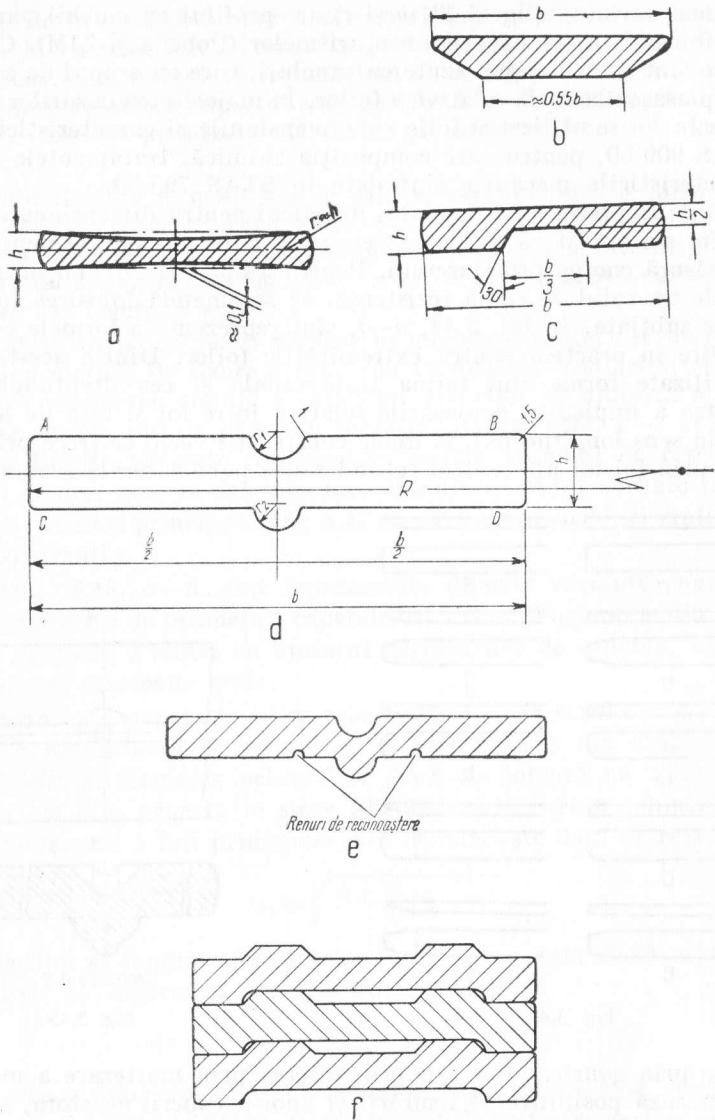


Fig. 3.43

A doua variantă (fig. 3.43, *b* și *c*) are profilul cu muchii parabolice și este folosită în construcția autoturismelor (Pobeda și ZIM). Celelalte variante sînt profiluri prevăzute cu caneluri, care au scopul de a împiedica deplasarea laterală relativă a foilor. În majoritatea cazurilor, pentru arcurile în foi se utilizează foile cu dimensiunile și caracteristicile date în STAS 909-50, pentru care compoziția chimică, tratamentele termice și caracteristicile mecanice sînt date în STAS 795-50.

Încă de la prezentarea modului de calcul pentru dimensionarea arcului în foi s-a arătat că forma extremităților foi de arc influențează în mare măsură comportarea arcului. Pentru a apropia cît mai mult arcul în foi de un solid de egală rezistență, se recomandă folosirea foilor cu capetele subțiate. În fig. 3.44, *a—j*, sînt reprezentate formele cele mai răspîndite în practică pentru extremitățile foilor. Dintre acestea, cele mai utilizate forme sînt forma trapezoidală și cea dreptunghiulară.

Pentru a împiedica deplasările relative între foi și față de legătura de arc în sens longitudinal, la unele construcții vechi se trece prin legătură și prin foi un nit central rotund sau o pană laterală rectangulară.

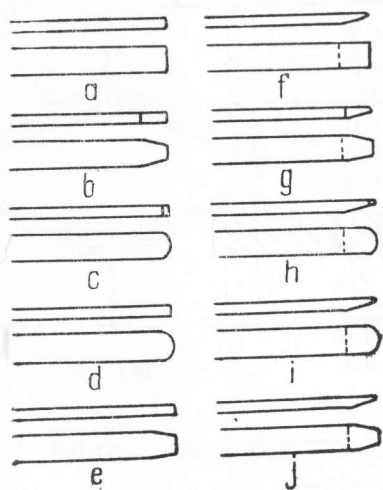


Fig. 3.44

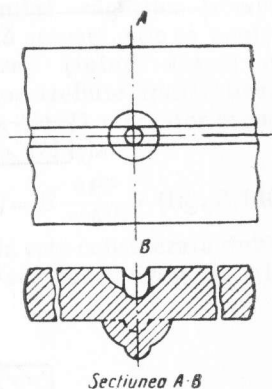


Fig. 3.45

Deoarece prin găurirea foi sau prin tăierea prin mortezare a marginii foi se creează posibilitatea fisurării și apoi a ruperii acestora, se folosește aplicarea în centrul foi a unei epolări, a realizării unei proeminențe, prin presare la cald cu ajutorul unui dorn (fig. 3.45).

Arcurile în foi trebuie prevăzute cu sisteme de fixare în partea centrală și la extremități. Fixarea în partea centrală se face prin bride de legătură, care trebuie să fie suficient de solide și totodată să permită o asamblare ușoară cu suportul său. Se deosebesc două feluri de legături: legături care se montează la cald și legături care se montează la rece.

Legăturile care se montează la cald se execută dintr-o singură piesă din OL 34 prin forjare dintr-un bloc sau prin sudură. Legăturile care se montează la rece realizează strîngerea foilor prin intermediul unor șuruburi de strîngere. În fig. 3.46, *a—h* se dau diferite variante constructive ale legăturii arcului.

Capetele arcurilor pot fi dispuse în moduri diferite, cea mai răspîdită fiind metoda de fixare a capetelor cu ajutorul ochiurilor și al ecliselor sau rezemarea simplă a capetelor arcurilor cu ajutorul a diferite piese de sprijin sau de prindere speciale. În fig. 3.47, *a—i* sînt reprezentate diferite variante constructive pentru sistemul de rezemare cu ochiuri de arc, care se fac din una sau din două foi curbate (fig. 3.47 *a, b, c* — ochiuri principale, fig. 3.47 *d—i* reprezintă ochiuri suplimentare — de siguranță).

În fig. 3.48, *a—h* sînt reprezentate diferite variante constructive de rezemare sau de prindere a capetelor arcurilor. Variantele din fig. 3.48 *g* și *h* prezintă o fixare cu ajutorul garniturilor de cauciuc, folosită la autobuze și camioane grele.

Pentru executarea arcurilor este necesar să se stabilească lungimile foilor. Foaia principală trebuie astfel tăiată, încît din lungimea ei să fie posibilă și formarea ochiurilor. Dacă se notează cu *l* deschiderea arcului, cu *f₀* — săgeata în stare liberă și cu *r* — raza ochiului, lungimea desfășurată a foi principale fără ochiuri este dată de relația:

$$l_{d1} \approx \sqrt{l^2 + \frac{16}{3} (f_0 - r)^2}. \quad (3.141)$$

Socotind și lungimea ochiurilor, lungimea totală desfășurată a foi principale se determină cu ajutorul relației:

$$l_{d \text{ tot}} = l_{d1} + 4 (\pi r + h). \quad (3.142)$$

Pentru a determina lungimile foilor intermediare este necesar să se respecte relația de legătură dintre lungimile foilor și curbările lor arătate anterior.

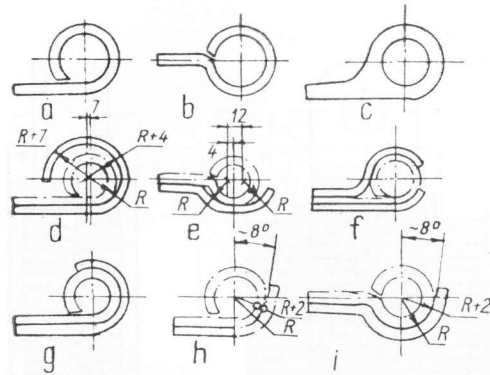


Fig. 3.47

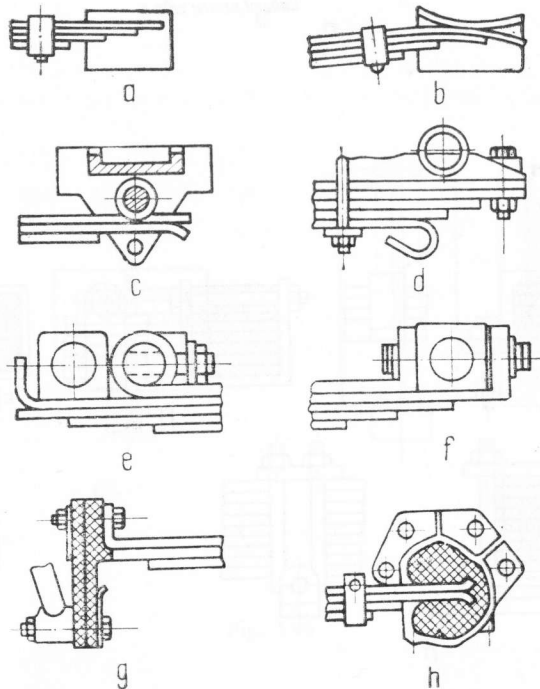


Fig. 3.48

3.2.12. Exemple de calcul

Exemplul 1. Un arc dreptunghiular cu lungimea $l=70$ mm și înălțimea $h=0,12$ cm exercită, la capătul său liber, asupra unui mecanism, o apăsare echivalentă cu o forță de 2,5 kgf. Să se dimensioneze arcul și să se stabilească săgeata lamelei dacă se admite un efort unitar maxim admisibil $\sigma_{ai}=6\,000$ kgf/cm².

Rezolvare. Lățimea arcului lamelar este dată de relația

$$b = \frac{6Pl}{h^2\sigma_{ai}} = \frac{6 \times 2,5 \times 7}{0,12^2 \times 6\,000} = 1,22 \text{ cm.}$$

Se ia $b=1,3$ cm, astfel că secțiunea arcului lamelar $A=1,2 \times 13 = 15,6$ mm², iar momentul de inerție al secțiunii $I = \frac{1}{12} 1,3 \times 0,12^3 = 1,87 \times 10^{-4}$ cm⁴.

Săgeata la capătul arcului lamelar (săgeata inițială de preformare a lamelei de care trebuie ținut seamă la montaj) este

$$f = \frac{Pl^3}{3EI} = \frac{2,5 \times 7^3}{3 \times 2,1 \times 10^6 \times 1,87 \times 10^{-4}} = 7,3 \times 10^{-1} \text{ cm}$$

$$f = 7,3 \text{ mm.}$$

Exemplul 2. Să se calculeze secțiunea unui arc lamelar dreptunghiular cu lungimea $l=6$ cm, folosit la acționarea unui clichet, știind că pentru o săgeată $f=5$ mm, arcul trebuie să exercite la capătul său liber o apăsare $P=2,5$ kgf (fig. 3.49).

Rezolvare: Din expresia săgeții la extremitatea arcului se poate deduce momentul de inerție necesar:

$$I = \frac{Pl^3}{3Ef} = \frac{2,5 \times 6^3}{3 \times 2,2 \times 10^6 \times 0,5} = \frac{1}{6\,100} \text{ cm}^4.$$

Momentul de inerție pentru o secțiune dreptunghiulară $I = \frac{bh^3}{12}$. Alegând $h=1$ mm $=0,1$ cm se obține

$$b = \frac{12 \cdot I}{h^3} = \frac{12}{6\,100 \times 0,001} = 1,97 \text{ cm} \approx 19,7 \text{ mm.}$$

Prin rotunjire, lățimea $b=20$ mm.

Secțiunea arcului $A=1 \times 20 = 20$ mm².

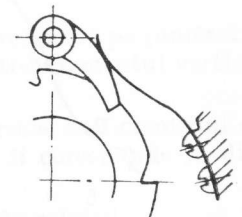


Fig. 3.49

Efortul unitar maxim

$$\sigma_{i \max} = \frac{M}{W} = \frac{Pl}{bh^2} = \frac{6 \times 2,5 \times 6}{2 \times 0,1^2} = 4\,500 \text{ kgf/cm}^2.$$

Pentru construcția arcului se poate alege materialul. Arc 1, după STAS 795-62, care are $\sigma_r = 140 \text{ kgf/cm}^2$. În acest caz coeficientul de siguranță

$$c = \frac{\sigma_r}{\sigma_{ief}} = \frac{14\,000}{4\,500} = 3,1.$$

Exemplul 3. Să se determine deplasarea capătului liber al unei lamele de oțel încastrată la celălalt capăt, care are lungimea $l=80 \text{ cm}$, lățimea $b=6 \text{ cm}$ și grosimea $h=0,3 \text{ cm}$, dacă este încărcată cu o forță $P=150 \text{ gf}$, care acționează în sensul lungimii lamelei (fig. 3.50, a).

Rezolvare. Lamela indicată face parte din clasa de bază, deoarece satisface condițiile care se impun clasei de bază, rigiditatea la încoviere a barei și curbura sa inițială fiind constante, iar sarcina care solicită bara avind forma unei forțe concentrate.

Se alege sistemul de axe indicat în fig. 3.50 b.

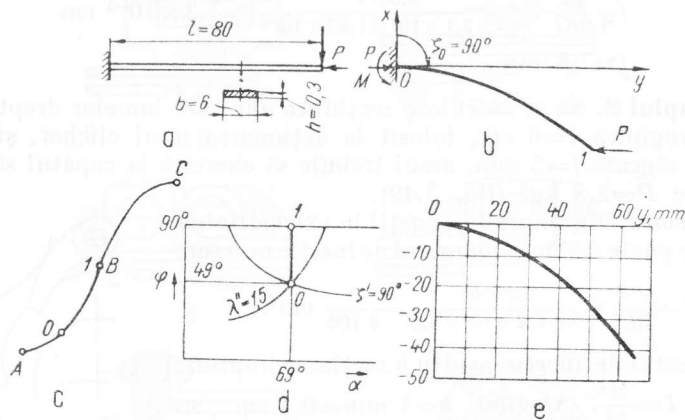


Fig. 3.50

Forța critică pentru care bara își pierde stabilitatea se obține cu ajutorul formulei lui Euler:

$$P_{cr} = \frac{\pi^2 EI_{min}}{(l^2)}.$$

Pentru bara încastrată la un capăt și liberă la celălalt, $l_f = 2l$.

Rezultă:

$$P_{cr} = \frac{\pi^2 \times 2,1 \times 10^6 \times \frac{6 \times 0,3^3}{12}}{(2 \times 80)^2} = 0,110 \text{ kgf}.$$

Deoarece sarcina indicată în enunț este mai mare decât sarcina critică, lamela își pierde stabilitatea și ia forma încovoiată, indicată în fig. 3.50, c.

Parametrii principali de similitudine, ținând seamă de sistemul de referință ales, au valorile $\omega_1 = 0$ și $\zeta_0 = 0$.

Coeficientul de forță de similitudine

$$\beta = l \sqrt{\frac{P}{EI}} = 80 \sqrt{\frac{0,150}{2,1 \times 10^4 \times \frac{6 \times 0,3^3}{12}}} = 1,84.$$

Curbura în originea 0 este $\frac{1}{\rho_0} > 0$ (pozitivă), iar $\zeta_0 = 0$. Folosind tabela 3.4 rezultă că linia elastică a barei se reflectă pe ramura principală AB a curbei elastice periodice. Se poate deduce ușor că punctul 0 al lamelei coincide cu punctul A de pe ramura principală, iar imaginea punctului de inflexiune — cu punctul B. Parametrii principali au valorile

$$\lambda'_0 = \zeta'_0 = \eta'_0 = 0.$$

Observînd că segmentul 01 (fig. 3.50, d) este reflectat pe jumătatea din stînga a diagramei parametrilor elastici de către segmentul vertical (fig. 3.50, c) se observă că $\omega' = 0$ și $\zeta' = 0$.

Folosind diagrama parametrilor elastici și expresia coeficientului de forță de similitudine: $\beta = \lambda_1 - \lambda_0 = \lambda'_1 = 1,84$, căruia îi corespunde în diagramă $\alpha = 45^\circ$.

Coordonatele x_1 și y_1 ale capătului sînt date de relațiile

$$x_1 = \frac{\xi'_1}{\beta} l \text{ și } y_1 = \frac{\eta'_1}{\beta} l.$$

Parametrii elastici ξ' și η' se află din diagramele parametrilor elastici și au valorile: $\xi' = 0,85$ și $\eta' = 1,41$.

Înlocuind cu valori se obține:

$$x_1 = \frac{0,85}{1,84} \times 80 = 37 \text{ mm};$$

$$y_1 = \frac{1,41}{1,84} \times 80 = 61,4 \text{ mm}.$$

În fig. 3.50, e este reprezentată forma liniei elastice a barei.

Exemplul 4. Să se determine forțele P care, aplicate asupra capetelor unei lamele zvelte drepte, fac ca extremitățile ei să se atingă. Se cunosc: lungimea lamelei $2l=740$ mm, secțiunea $0,3 \times 8 = 2,4 \text{ cm}^2$ și faptul că este construită din oțel cu $E = 2,1 \times 10^6$.

Rezolvare. Deoarece bara prezintă simetrie față de mijlocul ei, se consideră numai jumătate din lamelă, și anume o lamelă încastrată la un capăt, care coincide cu mijlocul lamelei date, și liberă la celălalt capăt (fig. 3.51).

Sarcina acționează în lungul axei lamelei neîncărcate și are direcția permanent paralelă cu aceasta. Lamela astfel obținută se încadrează în clasa de bază stabilită de E. P. Popov.

Se poate deduce ușor că forma liniei elastice este cu inflexiune și că punctul de inflexiune coincide cu punctul de aplicație a forței P , unde momentul încovoietor este nul.

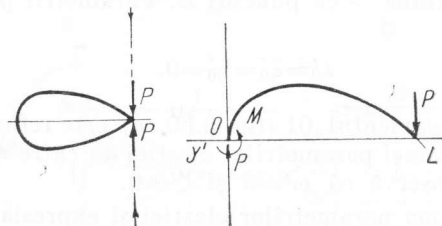


Fig. 3.51

Se alege sistemul de referință ca în figură.

Se observă că în origine $\frac{1}{\rho_0} < 0$, curbura este negativă și $\zeta_0 = 0$.

Folosind tabela 3.3 rezultă că $\psi_0 = \pi$.

Observând că punctul 0 este un punct de compresiune, iar punctul 1 (capătul lamelei) este un punct de inflexiune se deduce că de la punctul

0 pînă la punctul 1 unghiul ψ variază cu $\frac{\pi}{2}$, astfel că $\psi_1 = \frac{3\pi}{2}$ și deci unghiul ψ variază între limitele $\pi \leq \psi \leq \frac{3\pi}{2}$.

Se observă că $\psi = \pi + \varphi$;

$$F(\psi) = 2F\left(\frac{\pi}{2}\right) + F(\varphi); \text{ și } E(\psi) = 2E\left(\frac{\pi}{2}\right) + E(\varphi),$$

unde valorile lui φ sînt cuprinse între 0 și $\frac{\pi}{2}$.

Avînd în vedere condițiile puse în enunț, așa cum rezultă și din figură, rezultă

$$x_1 = x_0 = 0.$$

Observînd că $s = l$ și $\psi = \psi_1$ se obține;

$$\frac{2}{\beta} [E(\Psi_1) - E(\Psi_0)] = 1,$$

$$\frac{2}{\beta} \left[3E\left(\frac{\pi}{2}\right) - 2E\left(\frac{\pi}{2}\right) \right] = 1$$

și deci $2E\left(\frac{\pi}{2}\right) = \beta$.

Folosind relația parametrului β pentru curbele fără inflexiune se poate scrie:

$$\beta = 3F\left(\frac{\pi}{2}\right) - 2F\left(\frac{\pi}{2}\right) = F\left(\frac{\pi}{2}\right) = 2E\left(\frac{\pi}{2}\right)$$

$$\text{sau } F\left(\frac{\pi}{2}\right) = 2E\left(\frac{\pi}{2}\right).$$

Aceasta este ecuația transcendentă pentru determinarea modulului k . Folosind tabelele pentru integralele eliptice complete se obține $\alpha \approx 65,4^\circ$.

Rezultă $k = \sin \alpha = 0,908$ și $\beta = F\left(\frac{\pi}{2}\right) = 2,323$ și

$$l \sqrt{\frac{P}{EI}} = 2,323 \text{ sau } P = \frac{5,396 EI}{l^2}.$$

$$\text{Deci } P = \frac{5,396 \cdot \frac{2,1 \times 10^6}{1-0,3^2} \times \frac{0,3 \times 8^3}{12}}{140^2} = 8,25 \text{ kgf}.$$

Exemplul 5. Să se dimensioneze un arc în foi suprapuse simetric, care să suporte o sarcină de lucru de 1 300 kgf, știind că distanța dintre ochiurile arcului îndreptat este de 1 200, iar săgeata sub sarcina de lucru de 80 mm.

Rezolvare. Pentru simplificare se consideră un sfert de arc care are lungimea în stare îndreptată $l=600$ mm și este încărcată la capăt cu sarcina $P=650$ kgf.

Momentul de inerție total al secțiunii arcului

$$I_{tot} = B \frac{Pl^3}{3Ef},$$

se alege $B=1,35$.

Înlocuind cu valori se obține

$$I_{tot} = 1,35 \frac{650 \times 60^3}{3 \times 2,1 \times 10^6 \times 8} = 3,75 \text{ cm}^4.$$

Grosimea foi principale, alegând o rezistență admisibilă $\sigma_{ai}=5\,000$, $\frac{\text{kgf}}{\text{cm}^2}$ se determină cu relația

$$h = \frac{2 \sigma_{ai} I_{tot}}{M_i} = \frac{2 \times 5\,000 \times 3,76}{650 \times 60} = 0,960 \text{ cm}.$$

Se alege secțiunea foi $9,6 \times 60$ mm.

Momentul de inerție al secțiunii unei foi

$$I = \frac{6 \times 0,96^3}{12} = 0,44 \text{ cm}^4.$$

Numărul de foi necesar

$$n = \frac{I_{tot}}{I} = \frac{3,76}{0,44} = 8,55.$$

Prin rotunjire, $n=9$ foi.

Constructiv se stabilește lungimea celei de-a doua foi egală cu lungimea foi principale. Tot constructiv se alege lungimea foi celei mai mici de 110 mm (lungimea totală, deci, 220 mm).

Pentru stabilirea lungimilor foilor intermediare se iau trepte egale între capetele foilor, deoarece foile au grosimi egale.

Rezultă:

$$\frac{600-110}{7} = 70 \text{ mm}.$$

Lungimile foilor (pentru sfertul de arc) sînt următoarele: $l_1=600$ mm pînă la ochiul pentru legătură; $l_2=600$ mm; $l_3=530$; $l_4=460$ mm; $l_5=390$ mm; $l_6=320$ mm; $l_7=250$ mm; $l_8=180$ mm; $l_9=110$ mm.

Pentru determinarea valorilor maxime și minime ale săgeții se efectuează, pe baza formulelor indicate, calculele concentrate în tabela următoare:

$k(1...n)$	a_k cm	I_k cm ⁴	$Y_{k\,tot}$ cm ⁴	a_k^3 cm ³	$\frac{a_{k+1}^3 - a_k^3}{Y_k}$ cm ⁻¹	$\frac{a_{k+2}^3 - a_{k+1}^3}{Y_k}$ cm ⁻¹
1	0	0,44	0,44	0	0	780
2	0	0,44	0,88	0	390	2 740
3	7	0,44	1,32	343	1 830	4 950
4	14	0,44	1,76	2 744	3 700	7 220
5	21	0,44	2,20	9 261	5 870	9 500
6	28	0,44	2,64	21 952	7 950	11 900
7	35	0,44	3,08	42 875	10 200	14 000
8	42	0,44	3,52	74 088	12 400	27 800
9	49	0,44	3,96	117 649	16 500	—
$l=60$				$l^3=216\,000$	58 840	78 890

Valoarea săgeții minime

$$f_{min} = \frac{P}{3E} \sum_{k=1}^9 \frac{a_{k+1}^3 - a_k^3}{Y_k} = \frac{650}{3 \times 2,1 \times 10^6} \times 58\,840 = 6,1 \text{ cm}.$$

Săgeata maximă

$$f_{max} = \frac{P}{3E} \left[\sum_{k=1}^8 \frac{a_{k+2}^3 - a_{k+1}^3}{Y_k} + \frac{a_2^3}{Y_1} \right] = \frac{600}{3 \times 2,1 \times 10^6} \times 78\,890 = 8,15 \text{ cm}.$$

Săgeata arcului este cuprinsă între 6,1 și 8,15 cm.

Săgeata are valoarea medie: $\frac{6,1+8,15}{2} = 7,0625$ cm, astfel că abaterea față de săgeata prescrisă este de aproximativ 0,5 cm.

Verificarea tensiunilor în foile scurte (ultimele 3 foi). Extremitățile foilor se execută retezate după o dreaptă.

Rezultă $K=0$ și

$$\frac{l_9}{l_9 - l_8} = \frac{110}{180 - 110} = 1,57.$$

Folosind relațiile indicate pentru coeficienții C_{n-1} și C_{n-2} se obține:

$$C_8 = 1 \text{ și } C_7 = 0,98.$$

Momentele încovoietoare în ultimele trei foi:

$$M_7 = \frac{M_t}{\frac{l_8}{C_8 l_7 - l_8} + \sum_{k=1}^{n-2} \frac{I_k}{I_{n-2}}} = \frac{650 \times 60}{18} \approx 4\,600 \text{ kgf} \cdot \text{cm};$$

$$M_8 = M_7 \frac{C_8 l_8 - l_9}{C_8 (C_7 l_7 - l_8)} = 4\,600 \frac{1 \times 18 - 11}{1 \times (0,98 \times 25 - 18)} \approx 4\,800 \text{ kgf} \cdot \text{cm};$$

$$M_9 = M_7 \frac{l_9}{C_8 (C_7 l_7 - l_8)} = 4\,600 \frac{11}{1 (0,98 \times 25 - 18)} \approx 7\,200 \text{ kgf} \cdot \text{cm}.$$

Ținând seama de faptul că

$$W = \frac{bh^2}{6} = 0,92.$$

Valorile eforturilor unitare:

$$\sigma_{1-7} \approx 4\,700 \text{ kgf/cm}^2;$$

$$\sigma_7 = \frac{M_7}{W} = \frac{4\,600}{0,92} = 5\,000 \text{ kgf/cm}^2;$$

$$\sigma_8 = \frac{M_8}{W} = \frac{4\,800}{0,92} = 5\,200 \text{ kgf/cm}^2;$$

$$\sigma_9 = \frac{M_9}{W} = \frac{7\,200}{0,92} = 7\,800 \text{ kgf/cm}^2.$$

Alegînd $\varepsilon = 0,005$, săgeata deformării probabile se determină cu relația:

$$f_0 = \frac{l^2 \varepsilon}{h} = \frac{60^2 \times 0,005}{0,96} \approx 18 \text{ cm}.$$

Săgeata permanentă după deformarea prealabilă se consideră $\Delta f = 7\%$ din f_0 , adică $\Delta f = 13 \text{ mm}$.

Săgeata arcului neîncărcat $f_1 = f_0 + f$; unde f_0 este săgeata la sarcina totală a arcului și se poate alege $f_0 = 40 \text{ mm}$.

Rezultă $f_1 = f_0 + f = 40 + 80 = 120 \text{ mm}$.

Săgeata arcului înainte de deformare prealabilă:

$$f'_0 = f_1 + \Delta f = 120 + 13 = 133 \text{ mm}.$$

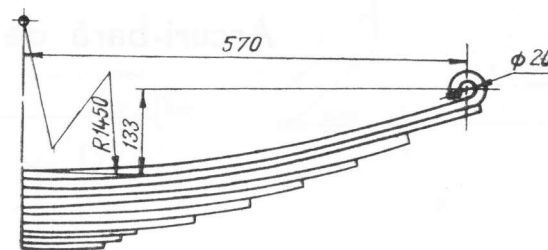


Fig. 3.52

Raza de curbura a foi principale este dată de relația:

$$R = \frac{l^2}{2 f'_0 - d},$$

în care d este diametrul interior al ochiului arcului. Se poate alege $d = 20 \text{ mm}$. Înlocuind se obține:

$$R = \frac{60^2}{2 \times 13,3 - 2} = 1\,450 \text{ cm}.$$

Semicoarda arcului asamblat este dată de relația:

$$L = \left(1 - \frac{d}{2R}\right) \sqrt{l^2 - \left(f'_0 - \frac{d}{2}\right)^2} \approx 57 \text{ cm}.$$

În fig. 3.52 este reprezentată schița arcului căutat.

Arcuri-bară de torsiune

Arcurile-bară de torsiune sînt elemente elastice formate din bare drepte, de regulă de secțiune constantă pe toată lungimea, care, sub sarcină, sînt solicitate de un moment de răsucire constant de-a lungul barei.

Din punct de vedere constructiv, arcul bară de torsiune simplu, ca element elastic, se realizează, în majoritatea cazurilor, în două variante: cu o singură pîrghie de încărcare la capătul liber simplu rezemat și o încastrare la celălalt capăt și cu două pîrghii de încărcare, câte una la fiecare capăt, bara de torsiune propriu-zisă fiind simplu rezemată. În fig. 4.1, *a* și *b* sînt reprezentate schematic cele două variante constructive.

În anumite cazuri se folosesc și arcuri-bară de torsiune duble, compuse dintr-o bară de torsiune de secțiune circulară plină și o bară tubulară, exterioară primei bare. Cele două bare așezate coaxial lucrează ca două bare așezate în serie. Barele sînt legate rigid între ele la un capăt, prin caneluri (fig. 4.2).

Caracteristica arcului-bară de torsiune simplu, cu o pîrghie sau cu două pîrghii, este liniară în domeniul elastic al solicitărilor. Caracteristica arcului-bară de torsiune dublu este progresivă în trepte. Această variație a înclinării caracteristicii arcului se realizează prin modul de îmbinare prin caneluri a celor două bare. Pentru aceasta, la unul dintre capete, ambele bare sînt încastrate rigid prin caneluri, iar la celălalt capăt, și anume la acel prevăzut cu pîrghia de încărcare, barele sînt prevăzute cu caneluri conjugate, între care există însă un anumit joc

ce corespunde unghiului de răsucire în care bara tubulară lucrează singură cu o anumită rigiditate. După depășirea acestui joc lucrează la răsucire simultan ambele bare, astfel că arcul dublu are o rigiditate sporită. În fig. 4.3, *a* este reprezentat un astfel de arc și în fig. 4.3, *b* caracteristica sa.

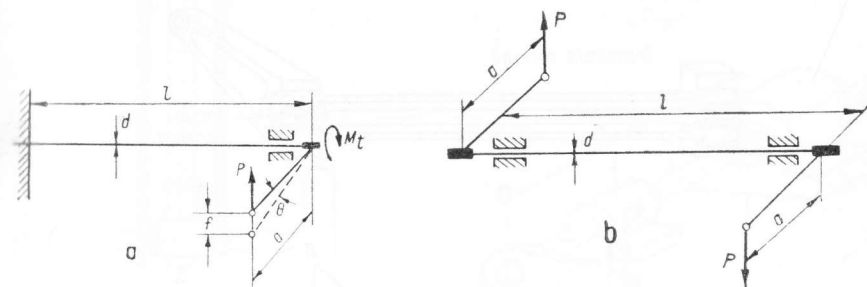


Fig. 4.1

Barele de torsiune se folosesc ca elemente elastice în construcția vagoanelor, autovehiculelor, la amortizarea suspensiilor. De asemenea, mai sînt utilizate ca element elastic în construcția cuplajelor cu jocuri

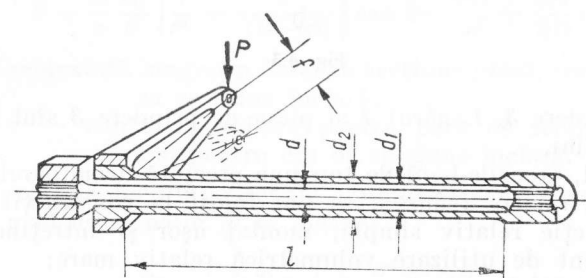


Fig. 4.2

rotaționale sau în dispozitive utilizate pentru măsurarea momentului motor.

În fig. 4.4 este reprezentată schematic folosirea a două arcuri-bară de torsiune la amortizarea oscilațiilor pendulare ale semiaxelor punții din spate ale unui autovehicul, care sînt montate paralel cu axa sa longitudinală.

În fig. 4.5 este reprezentată schema arcului-bară de torsiune utilizat la suspensia unui vagon.

Pirghia de încărcare 2 este legată cu un capăt de cutia vagonului, iar în celălalt capăt este fixată prin caneluri de capătul barei de torsiune 1, care se sprijină în lagărul 4 și este montată prin caneluri în

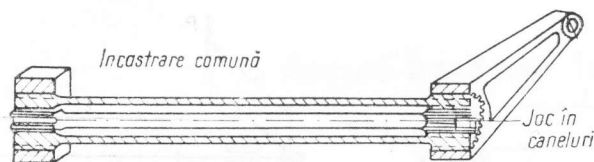


Fig. 4.3

piesa de prindere 3. Lagărul 4 și piesa de prindere 3 sînt solidare cu șasiul boghiului.

În general, arcurile-bară de torsiune prezintă următoarele avantaje:

- gabarit relativ redus și se pot folosi la construcții capsulate;
- construcție relativ simplă, montaj ușor și întreținere ușoară;
- coeficient de utilizare volumetrică relativ mare;
- lipsesc frecările interioare.

Ca dezavantaje trebuie remarcat faptul că, în general, necesită amortizoare de oscilații și sistemul de prindere la capătul fix se deteriorează ușor.

Pentru calculul elementelor caracteristice principale ale arcului-bară de torsiune s-au concentrat în tabela 4.1 relațiile de calcul în funcție de forma secțiunii transversale folosite.

În cazul arcului-bară de torsiune dublu, format dintr-o bară de secțiune inelară și o bară de secțiune circulară plină, așezate în serie și

montate rigid prin caneluri între ele, relațiile de calcul pentru unghiul de răsucire și pentru lucrul mecanic se obțin prin adunarea expresiilor respective, corespunzătoare barelor componente.

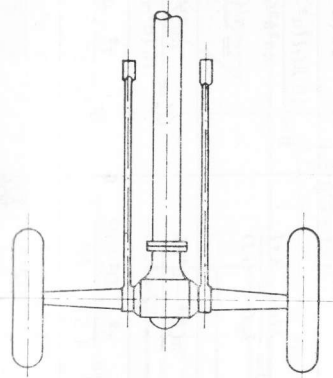


Fig. 4.4

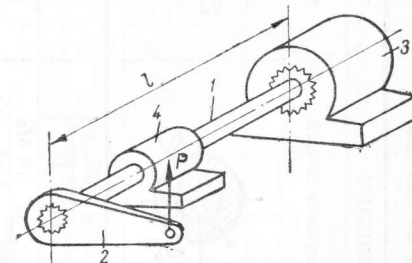


Fig. 4.5

Astfel, pentru unghiul de răsucire la capătul barei de torsiune se obține relația:

$$\theta = \frac{32 M_t}{\pi G} \left[\frac{l}{d^4} + \frac{l'}{(D^4 - d^4)} \right] \text{ sau } \theta = \frac{2\tau l}{Gd} + \frac{2\tau' l'}{GD}, \quad (4.1)$$

unde: l și l' reprezintă lungimea barei cu secțiune plină, respectiv a barei cu secțiune inelară;

τ și τ' — eforturile unitare pentru bara de secțiune circulară plină și pentru cea de secțiune inelară.

Pentru expresia lucrului mecanic acumulat prin deformare se procedează în mod asemănător și se obține:

$$W = \frac{1}{4} \frac{\tau^2}{G} V + \frac{1}{4} \frac{\tau'^2}{G} \frac{D^2 + d^2}{D^2} V', \quad (4.2)$$

unde V și V' reprezintă volumele celor două bare.

Pentru ușurarea calculului barei de torsiune de secțiune dreptunghiulară se dau, în diagramele din fig. 4.6, valorile coeficienților k_1 și k_2 în funcție de mărimea raportului $\frac{a}{b}$.

Alegerea unui arc-bară de torsiune pe baza relațiilor de calcul indicate în tabela 4.1 implică, de regulă, pentru stabilirea soluției celei

Relațiile de calcul ale arcului-bară de torsiune

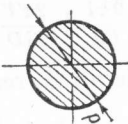

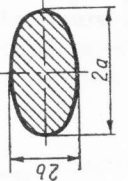
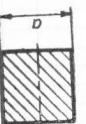
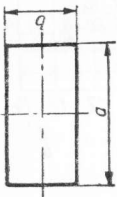
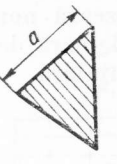
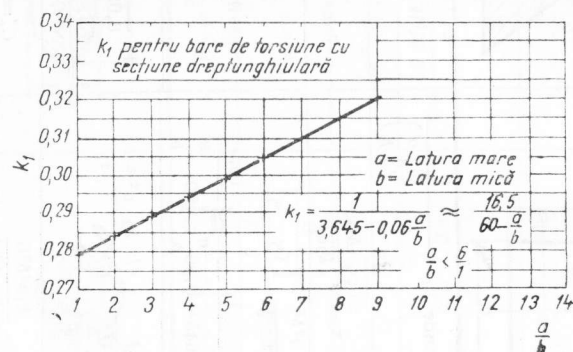
FORMA SECȚIUNII TRANSVERSALE				
Elementul de calcul	Simbol	Secțiunea circulară	Secțiunea inelară	Secțiunea eliptică
				
Momentul de rezistență polar	W_p	$\frac{\pi d^3}{16}$	$W_p = \frac{\pi}{16} \left[\frac{D^4 - d^4}{D} \right]$	$W_p = \frac{\pi a b^2}{16}$
Efortul unitar maxim	τ_{max}	$\tau_{max} = \frac{16 Pl}{\pi d^3} = \frac{16 M_t}{\pi d^3}$	$\tau_{max} = \frac{16 M_t}{\pi \left[\frac{D^4 - d^4}{D} \right]}$	$\tau_{max} = \frac{16 M_t}{\pi a b^2}$
Momentul de inerție polar	I_p	$I_p = \frac{\pi d^4}{32}$	$I_p = \frac{\pi (D^4 - d^4)}{32}$	$I_p = \frac{\pi a^3 b^3}{16 (a^2 + b^2)}$
Unghiul de răsucire al capătului barei	θ	$\theta = \frac{M_t l}{I_p G} = \frac{2 \tau l}{G d}$ în rad.	$\theta = \frac{M_t l}{I_p G} = \frac{2 \tau l}{G D}$	$\theta = \frac{16 M_t l (a^2 + b^2)}{\pi a^3 b^3 G} = \frac{\tau l (a^2 + b^2)}{a^2 b G}$
Rigiditatea arcului	C_r	$C_r = \frac{M_t}{\theta} = \frac{\pi d^4 G}{32 l}$	$C_r = \frac{\pi (D^4 - d^4) G}{32 l}$	$C_r = \frac{\pi a^3 b^3 G}{16 (a^2 + b^2) l}$
Energia specifică acumulată	W_0	$W_0 = \frac{\tau^2}{4 G}$	$W_0 = \frac{\tau^2}{4 G} \cdot \frac{D^2 + d^2}{D^2}$	$W_0 = \frac{\tau^2}{BG} \cdot \frac{a^2 + b^2}{a^2}$
Coefficientul de utilizare volumetrică	η	$\eta = \frac{1}{4}$	$\eta = \frac{1}{4} \frac{D^2 + d^2}{D^2}$	$\eta = \frac{1}{8} \frac{a^2 + b^2}{a^2}$

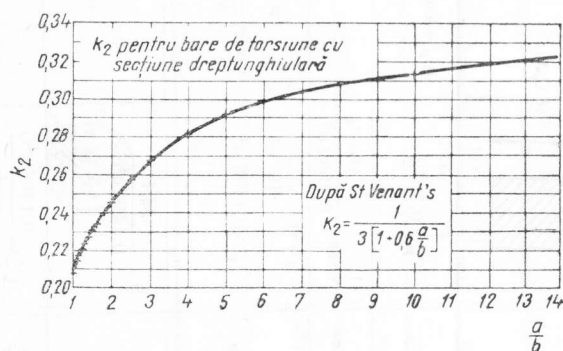
Tabela 4.1 (continuare)

FORMA SECȚIUNII TRANSVERSALE				
Elementul de calcul	Simbol	Secțiunea pătrată	Secțiunea dreptunghiulară	Secțiune triunghi echilateral
				
Momentul de rezistență polar	W_p	$W_p = 0,2082 a^3$	$W_p = k_2 a b^2$, unde $k_2 = \frac{1}{3 \left(1 + 0,6 \frac{a}{b} \right)}$	$W_p = \frac{a^3}{20}$
Efortul unitar maxim	τ_{max}	$\tau_{max} = \frac{M_t}{0,2082 a^3}$	$\tau_{max} = \frac{M_t}{k_2 a b^2}$	$\tau_{max} = M_t \frac{20}{a^3}$
Momentul de inerție polar	I_p	$I_p = 0,1406 a^4$	$I_p = k_1 \frac{a^3 b^3}{a^2 + b^2}$, unde $k_1 = \frac{1}{3,645 - 0,06 \frac{a}{b}} \approx \frac{16,5}{60 - \frac{a}{b}}$	$I_p = 0,02164 a^4$
Unghiul de răsucire al capătului barei	θ	$\theta = \frac{M_t l}{0,1406 a^4 G} = \frac{1,482 \tau l}{Ga}$	$\theta = \frac{M_t l}{G k_1 \frac{a^3 b^3}{a^2 + b^2}} = \frac{\tau l}{G} \cdot \frac{k_2}{k_1} \cdot \frac{a^2 + b^2}{a^2 b}$	$\theta = \frac{M_t l}{0,02164 a^4 G} = \frac{46,2 M_t l}{a^4 G} = \frac{2,31 \tau l}{Ga}$
Rigiditatea arcului	C_r	$C_r = \frac{0,1406 a^4 G}{l}$	$C_r = \frac{k_1 a^3 b^3 G}{(a^2 + b^2) l}$	$C_r = \frac{Ga^4}{46,2 l}$
Energia specifică acumulată	W_0	$W_0 = \frac{\tau^2}{6,48 G}$	$W_0 = \frac{\tau^2}{297 a^2 b + 356,4 a b^2 + 106,92 b^3}$	$W_0 = \frac{\tau^2}{7,5 G}$
Coefficientul de utilizare volumetrică	η	$\eta = \frac{1}{6,48}$	$\eta = \frac{60 a^2 b + 60 b^3 - a^3 - ab^2}{297 a^2 b + 356,4 a b^2 + 106,92 b^3}$	$\eta = \frac{1}{7,5}$

mai corespunzătoare, un calcul repetat și destul de laborios. Pentru un calcul mai expeditiv și ușor de realizat se utilizează nomograme. În fig. 4.7 se dă nomograma de calcul pentru arcurile-bară de torsiune cu secțiune circulară plină și cu secțiune dreptunghiulară.



a



b

Fig. 4.6

Pentru lucru cu această nomogramă se utilizează diagrama reprezentată în fig. 4.8 pentru determinarea coeficienților C_1 pentru eforturi unitare și C_2 pentru rigiditate în funcție de raportul $\frac{a}{b}$ al laturilor secțiunii dreptunghiulare. Tot pentru secțiunile dreptunghiulare se utilizează o tabelă ajutătoare pentru valorile a/b diferite de cele trecute pe nomogramă.

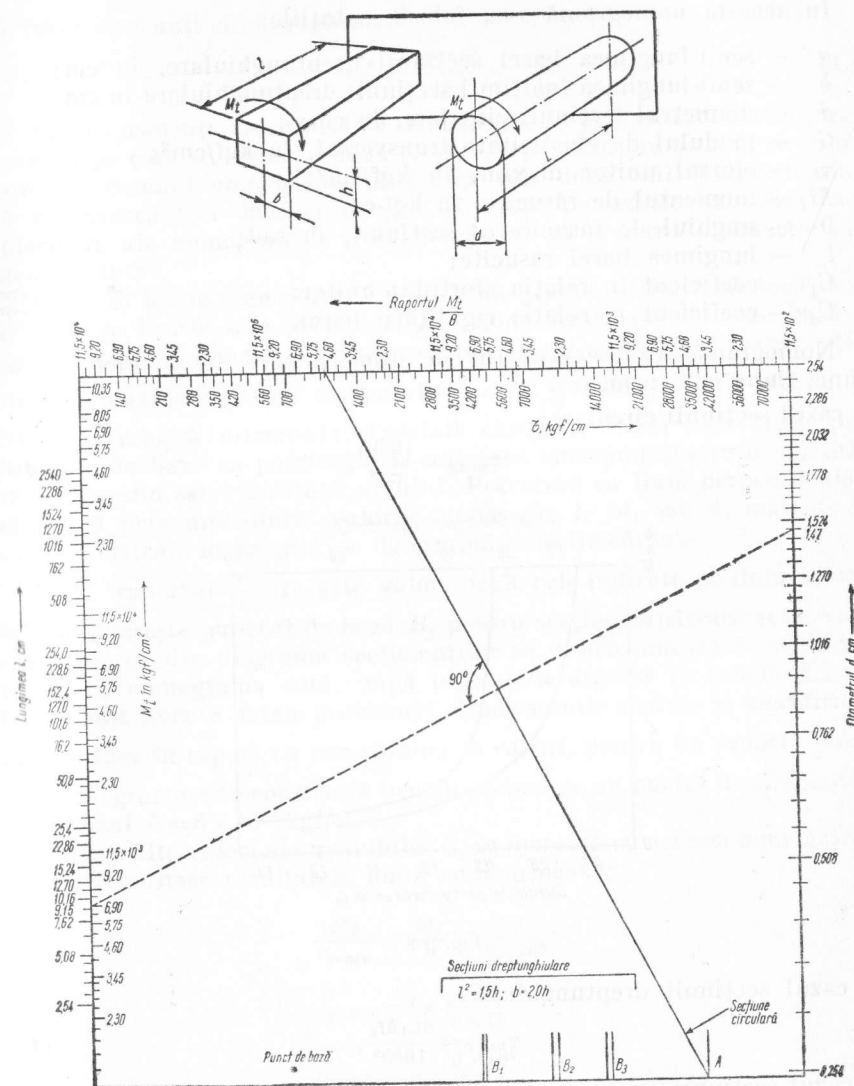


Fig. 4.7

În această nomogramă s-au folosit notațiile:

- a — semi-lungimea bazei secțiunii dreptunghiulare, în cm;
- b — semi-lungimea înălțimii secțiunii dreptunghiulare în cm;
- d — diametrul secțiunii circulare, în cm;
- G — modulul de elasticitate transversal, în kgf/cm²;
- τ — efortul unitar maxim, în kgf/cm²;
- M_t — momentul de răsucire, în kgf·cm;
- θ — unghiul de răsucire al secțiunii, în rad;
- l — lungimea barei răsucite;
- C_1 — coeficient în relația efortului unitar;
- C_2 — coeficient în relația rigidității barei.

Nomograma rezolvă ecuațiile de dimensionare ale barelor de torsiune, după cum urmează:
în cazul secțiunii circulare;

$$\tau_{max} = \frac{16 M_t}{\pi d^3}, \quad (4.3)$$

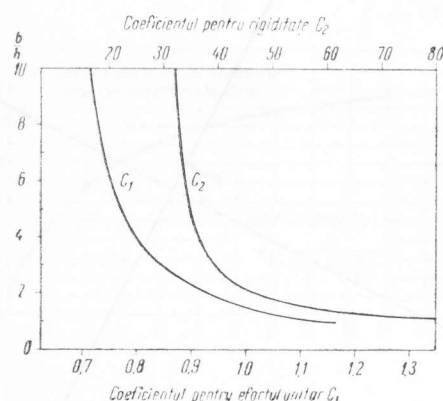


Fig. 4.8

în cazul secțiunii dreptunghiulare;

$$\tau_{max} = \frac{9C_1 M_t}{16bh^2}, \quad (4.4)$$

în cazul secțiunii circulare;

$$\frac{M_t}{\theta} = \frac{G\pi d^4}{32l}, \quad (4.5)$$

în cazul secțiunii dreptunghiulare;

$$\frac{M_t}{\theta} = \frac{16l b^3}{C_2 l}. \quad (4.6)$$

Pentru ușurința calculului cu nomograma se utilizează o hîrtie transparentă pe care se trasează două trepte perpendiculare și apoi se supra-pune pe desenul nomogramei astfel ca cele două linii perpendiculare să întâlnească trei date cunoscute, stabilite pe scările exterioare sau interioare ale nomogramei, și să determine în a patra intersecție elementul căutat.

Se așază hîrtia transparentă peste nomogramă, astfel încît totdeauna una dintre liniile sale să treacă prin unul dintre punctele de bază A corespunzător secțiunii circulare sau B_1, B_2, B_3 corespunzătoare secțiunilor rectangulare pentru rapoartele: $\frac{a}{b}=1$; $\frac{a}{b}=1,5$ și $\frac{a}{b}=2$, aflate pe latura inferioară orizontală. Celălalt capăt al liniei care trece prin punctele de bază se potrivește la valoarea corespunzătoare a efortului unitar maxim sau rigidității arcului. Potrivind ca linia perpendiculară să treacă prin una dintre valorile cunoscute l, M_t sau d , marcate pe scările verticale marginale, se determină valorile căutate.

Dacă raportul $\frac{a}{b}$ are alte valori decît cele indicate pe linia orizontală se folosește punctul de bază B_1 pentru secțiunea pătrată și cu valorile C_1 și C_2 din diagrama coeficienților se dimensionează bara de torsiune, cu nomograma dată, după indicațiile arătate în tabela 4.2. În tabelă sînt trecute datele problemei, dimensiunile căutate și modificarea care se face în raport cu nomograma în calcul, pentru un raport $\frac{a}{b}$ dat.

Nomograma este construită pentru oțeluri cu un modul de elasticitate transversal $G=8 \times 10^5$ kgf/cm².

Pentru alte valori ale modului G_1 se lucrează cu aceeași nomogramă, dar se înmulțesc rezultatele după cum urmează:

$$\begin{aligned} \frac{M_t}{\theta_{echiv}} &= \frac{M_t}{\theta} \times \frac{G_1}{8 \times 10^5}; \\ l_{echiv} &= l \times \frac{G_1}{8 \times 10^5}; \\ a_{echiv} &= a \times \frac{8 \times 10^5}{G_1}; \\ d_{echiv} &= d \times \left(\frac{8 \times 10^5}{G_1} \right)^{1/4}. \end{aligned} \quad (4.7)$$

Tabela 4.2

Tabelă ajutătoare pentru dimensionarea barei de torsiune

Cazul 1. Se dă $\tau_{max} = \tau_a$	Se cere să se determine M_t sau a	Se calculează $\tau_{max} = \frac{C_1}{1,608} \left(\frac{a}{b} \right)^2 \tau_a$ În nomograma se introduce τ' și se obțin rezultatele dorite
Cazul 2. Se dau M_t și a	Se cere efortul unitar τ_{max}	Se determină τ'_{max} obișnuit cu ajutorul nomogramei. Valoarea reală a efortului se determină calculînd: $\tau'_{max} = \frac{C_1}{1,608} \left(\frac{a}{b} \right)^2 \tau_{max}$
Cazul 3. Se dă $\frac{M_t}{\theta}$	Se cere a sau l	Se calculează rigiditatea echivalentă $\left(\frac{M_t}{\theta} \right)' = \frac{1,285}{C_2} \cdot \left(\frac{b}{a} \right)^3 \cdot \frac{M_t}{\theta}$ Cu această valoare se lucrează cu ajutorul nomogramei și se determină b sau l
Cazul 4. Se dau a și l	Se cere $\frac{M_t}{\theta}$	Se determină rigiditatea cu ajutorul nomogramei $\frac{M_t}{\theta}$ Valoarea reală a rigidității se determină din relația: $\frac{M_t}{\theta} = \frac{1,285}{C_2} \left(\frac{b}{a} \right)^3 \left(\frac{M}{\theta} \right)'$

Nomograma indicată se poate folosi astfel pentru toate materialele cărora li se poate aplica legea lui Hooke.

Exemplu de calcul. Un arc-bară de torsiune (fig. 4.9) trebuie să înmagazineze o energie de deformare maximă $W=900$ kgf.cm și să obțină o deformare unghiulară maximă de 15° . Să se dimensioneze acest arc, astfel ca τ_a să nu depășească valoarea de $3\,000$ kgf/cm².

Să se verifice la oboseală în ipoteza că momentul de răsucire variază ciclic cu un coeficient de asimetrie $R=0,4$ și că se folosește ca material oțel Arc 4, STAS 795-62, iar suprafața barei urmează să fie rectificată fin.

Rezolvare. Valoarea momentului de răsucire:

$$M_t = \frac{2W}{\theta} = \frac{2 \times 900}{\frac{15 \times 2}{360}} = 6\,750 \text{ kgf} \cdot \text{cm}.$$

Diametrul barei:

$$d = \sqrt[3]{\frac{16M_t}{\pi\tau_a}} = \sqrt[3]{\frac{16 \times 6\,750}{\pi \times 3\,000}} = 2,3 \text{ cm}.$$

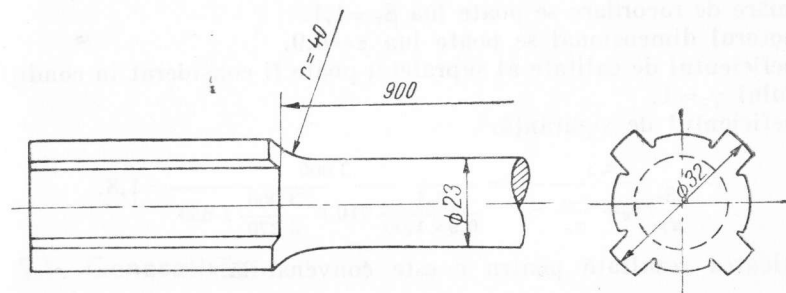


Fig. 4.9

Lungimea utilă a arcului:

$$l = \frac{\pi d^4 G \theta}{32 M_t} = \frac{\pi \times 2,3^4 \times 8,3 \times 10^5 \times 0,274}{32 \times 6\,750} = 90 \text{ cm}.$$

Verificarea la oboseală. Efortul unitar maxim de răsucire:

$$\tau_{max} = \frac{M_{tmax}}{W_p} = \frac{6\,750}{\frac{\pi}{16} \times 2,3^3} = 2\,360 \text{ kgf/cm}^2.$$

Efortul unitar minim:

$$\tau_{min} = R \tau_{max} = 0,4 \times 2\,360 = 940 \text{ kgf/cm}^2.$$

Efortul unitar mediu de răsucire;

$$\tau_m = \frac{\tau_{max} + \tau_{min}}{2} = \frac{2\,360 + 940}{2} = 1\,650 \text{ kgf/cm}^2.$$

Amplitudinea efortului unitar mediu de răsucire:

$$\tau_v = \frac{\tau_{max} - \tau_{min}}{2} = \frac{2\,360 - 940}{2} = 710 \text{ kgf/cm}^2.$$

Pentru oțelul Arc 4, STAS 795-62 se poate lua:

$$\sigma_c = 11\,000 \text{ kgf/cm}^2 \text{ (limita de curgere),}$$

$$\tau_{-1} = 3\,000 \text{ kgf/cm}^2.$$

Limita de curgere la răsucire:

$$\tau_c = 0,57 \sigma_c = 0,57 \times 11\,000 = 6\,270 \text{ kgf/cm}^2.$$

Coeficientul efectiv de concentrare a eforturilor unitare pentru o rază mare de racordare se poate lua $\beta_\tau = 1,1$.

Factorul dimensional se poate lua $\varepsilon = 0,9$.

Coeficientul de calitate al suprafeței poate fi considerat în condițiile enunțului $\gamma_\tau = 1$.

Coeficientul de siguranță:

$$c = \frac{\beta_\tau}{\varepsilon \gamma_\tau} \frac{\tau_{-1}}{\tau_c + \frac{\tau_{-1}}{\tau_m}} = \frac{1,1}{0,9 \times 1,00} \frac{3\,000}{710 + \frac{3\,000}{1\,650}} = 1,8.$$

Valoarea rezultată pentru c este convenabilă.

Arcuri spirale

5.1. Generalități

Arcul spiral se folosește în marea majoritate a cazurilor ca motor de antrenare a mecanismelor relativ fine, cum sînt: mecanismele de orologie, mecanismele de comandă, mecanismele aparatelor de măsură și mecanismele unor aparate electrotehnice.

Arcul spiral folosit ca motor de antrenare se caracterizează prin faptul că solicitările pot fi considerate relativ constante în timp. În fig. 5.1 este reprezentată schema unui arc spiral. Capătul interior al arcului este legat de un ax (fus), iar capătul exterior de corpul aparatului sau de o casetă în interiorul căreia se plasează tot arcul spiral.

Arcul spiral este solicitat la încovoiere, efectul practic al acestei solicitări traducîndu-se într-un moment de răsucire la fus.

Cînd arcul se armează, axul se rotește în raport de corp sau de casetă pînă cînd spirele se string pe el. Arcul armat are o anumită energie potențială. Dacă arcul este lăsat liber, el este capabil să execute un lucru mecanic rotind tamburul sau axul ansamblului. Arcul spiral se caracterizează în primul rînd prin faptul că acumulează o energie relativ mare într-un gabarit mic, are o rigiditate relativ mică, corespunzătoare modului său de funcționare. Fiind solicitat de forțe care acționează timp îndelungat, se poate considera că are practic un caracter static.

Datorită variației în timp relativ mic a valorii momentului de răsucire realizat, cum și a posibilităților de a realiza o mișcare de rotație,

aproape uniformă, dacă se folosesc anumite dispozitive auxiliare pentru uniformizarea acesteia, arcul spiral poate antrena mecanisme care nu necesită sarcini mari pentru punerea lor în mișcare.

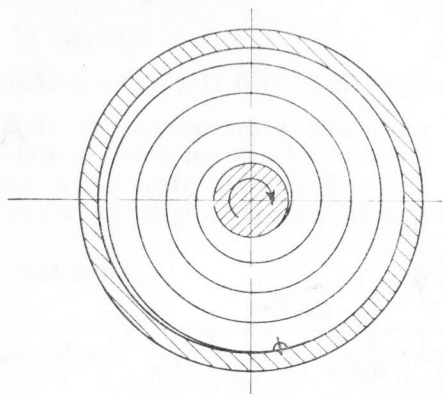


Fig. 5.1

Arcul spiral propriu-zis are forma unei panglici înfășurate după o spirală. În mod curent se folosește spirala lui Arhimede, a cărei ecuație în coordonate polare este următoarea:

$$r = \frac{h}{\pi} \theta, \quad (5.1)$$

în care:

r — raza vectorie;
 θ — unghiul polar;
 h — grosimea benzii.

Arcul are aproape pe toată lungimea sa, forma spirală. Prinderea arcului la cele două capete se realizează fie prin încadrare, fie prin articulație. La capete, forma arcului se abate de la spirală. La mecanismele de precizie, forma capetelor arcului are o mare importanță, constituind obiectul unui studiu amănunțit. Formele porțiunilor de capăt ale arcului spiral au primit numele de curbe lui Philips și satisfac anumite condiții, numite condițiile lui Philips. Acestea sînt:

centrul de greutate al curbei de capăt trebuie să se afle pe perpendiculara dusă din originea curbei;

distanța de la centrul de greutate pînă la fus trebuie să fie egală cu

$$\frac{\rho^2}{l_1} = D,$$

în care:

ρ este raza de curbura a spiralei;

l_1 — lungimea curbei de capăt;

D — diametrul mare al spiralei.

Satisfac aceste condiții:

— o dreaptă dusă sub un unghi $\alpha = 24^\circ 28'$ față de horizontala axei (fig. 5.2, a);

— două sferturi de cerc racordate prin dreapta AA_1 (fig. 5.2, b);

— un arc de cerc cu raza $R = 0,827 \rho$, unde ρ este raza de curbura a spiralei (fig. 5.2, c);

— un arc de elipsă cu semiaxa mică $b = 0,67 R$ și semiaxa mare $a = R$, unde $R = 0,827 \rho$ (fig. 5.2, d).

Modul de fixare al capătului interior este mai puțin important decît al celui exterior, el trebuind să asigure numai o transmisie sigură a

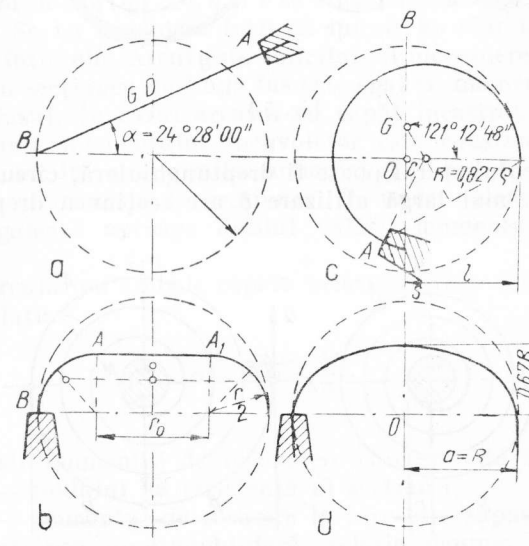


Fig. 5.2

momentului de la arc pînă la ax. Trebuie acordată o atenție deosebită modului de prindere, deoarece o prindere necorectă a capătului poate produce ruperea arcului, întrucît în acest loc apar deformările cele mai mari, deci eforturile cele mai mari, din arc.

În fig. 5.3, *a—g* sînt reprezentate diferite moduri de fixare a capătului interior al arcului a căror alegere depinde de diferite considerente tehnologice, precum și de asigurarea fixării.

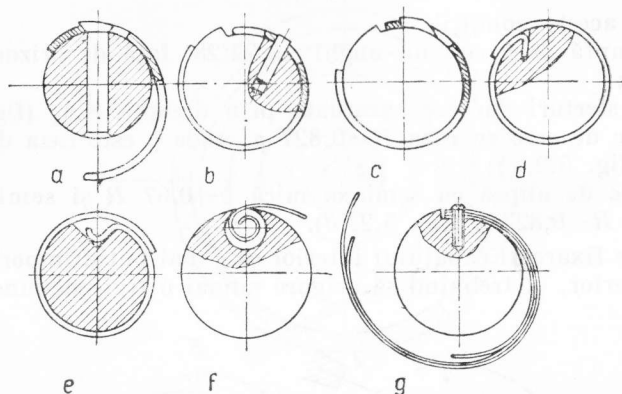


Fig. 5.3

Secțiunea arcului spiral poate fi dreptunghiulară, circulară, eliptică sau inelară. Cea mai largă utilizare o are secțiunea dreptunghiulară.

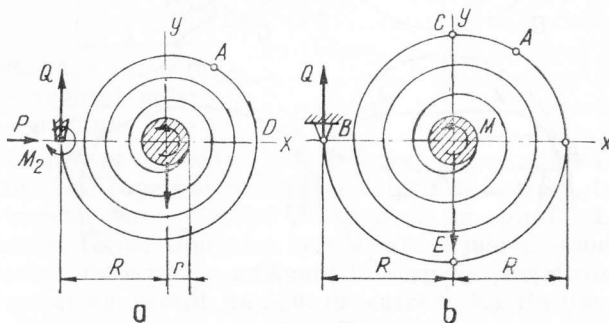


Fig. 5.4

După modul de funcționare al carcasei sau al fusului, arcurile spirale se pot clasifica în: arcuri spirale cu carcasa mobilă și fusul fix și arcuri spirale cu carcasa fixă și fusul mobil.

După modul de funcționare, se deosebesc: arcuri cu număr mare de spire, cu frecare între spire sau fără frecare între spire și arcuri cu număr mic de spire.

Un criteriu de clasificare îl constituie și materialul din care este executat arc. Din acest punct de vedere arcurile spirale pot fi din oțel sau din metale neferoase. De asemenea, arcurile pot avea capătul încastrat (fig. 5.4, *a*) sau articulat (fig. 5.4, *b*). De modul de prindere al capătului arcului se ține seamă la calculul de dimensionare.

5.2. Considerații teoretice. Relații de calcul

5.2.1. Arcuri spirale cu număr mare de spire

Arcurile spirale din fig. 5.4, *a* și *b* se dimensionează pe baza calculului de încovoiere. Se va considera întâi că spirele nu sînt în contact și nu există frecare între ele. Arcul este solicitat la încovoiere, iar momentul încovoiator din secțiunea de lîngă fus este egal cu momentul de răsucire care solicită fusul. În cazul arcului cu capăt încastrat (fig. 5.4, *a*) în carcasă, valoarea momentului încovoiator este constantă de-a lungul spirei arcului, iar în cazul arcului articulat (fig. 5.4, *b*) această valoare este variabilă și maximă în secțiunea *D*, unde valoarea momentului încovoiator egalează aproape dublul valorii momentului de răsucire din fus.

În cazul arcului cu ambele capete încastrate (fig. 5.5) efortul unitar este dat de relația:

$$\sigma_i = \frac{M_i}{W} = \frac{M_t}{W}, \quad (5.2)$$

în care:

M_i este momentul de încovoiere care solicită secțiunea;

W — modulul de rezistență al secțiunii;

M_t — momentul de răsucire la care este supus arc.

Pentru secțiunea dreptunghiulară, relația devine:

$$\sigma_i = \frac{6 M_t}{bh^2}, \quad (5.3)$$

în care:

b este lățimea benzii arcului;

h — grosimea benzii arcului.

de unde

$$h = \sqrt{\frac{6 M_t}{b \sigma_i}} \quad (5.4)$$

În cazul arcului cu capătul de la carcasă articulat, momentul încovoiător este variabil cu secțiunea, valoarea maximă fiind:

$$M_{i \max} = \left(1 + \frac{R - \alpha \pi}{R}\right) M_t, \quad (5.5)$$

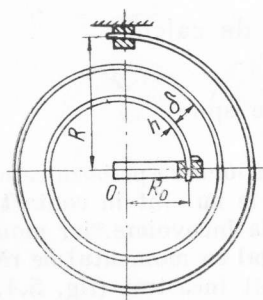


Fig. 5.5

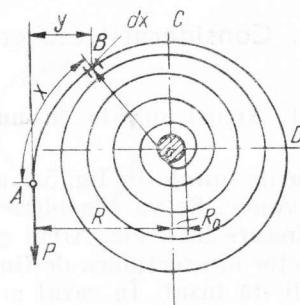


Fig. 5.6

iar efortul unitar corespunzător:

$$\sigma_{\max} = \frac{M_{i \max}}{W} \pm \frac{M_t}{RA}, \quad (5.6)$$

unde R este raza interioară a casetei sau raza maximă la capătul, la carcasă;

A — aria secțiunii benzii.

Termenul α se determină cu relația:

$$\alpha = \frac{h + \delta}{2\pi},$$

în care: δ este distanța dintre spirele arcului.

Deformația arcului spiral se caracterizează prin unghiul de rotire al fusului sau prin variația unghiului de înfășurare. Pentru a determina relațiile de deformare, se consideră o secțiune oarecare B aflată de capătul A la distanța $AB = x$, măsurată pe spirală (fig. 5.6). În B se consideră un element de arc de lungimea dx .

Relația generală de încovoiere, corespunzătoare momentului într-o secțiune oarecare B , este următoarea:

$$M_i = M_t = Py = EI \left(\frac{1}{\rho} - \frac{1}{\rho_0} \right), \quad (5.7)$$

în care: P este forța care acționează în capătul arcului pentru a echilibra momentul de răsucire din arc;

ρ — raza de curbură a elementului de arc după deformare;

ρ_0 — raza de curbură inițială a elementului de arc.

Pe baza relațiilor:

$$\frac{1}{\rho_0} = \frac{d\theta_0}{dx} \text{ și } \frac{1}{\rho} = \frac{d\theta}{dx} \quad (5.8)$$

se obține:

$$Py = EI \left(\frac{d\theta}{dx} - \frac{d\theta_0}{dx} \right), \quad (5.9)$$

de unde:

$$d\theta_1 = d\theta - d\theta_0 = \frac{Py dx}{EI}; \quad (5.10)$$

sau:

$$\theta_1 = \int_0^l \frac{Py dx}{EI} = \frac{M_t l}{EI} \text{ [rad]}; \quad (5.11)$$

$$\theta_1^\circ = \frac{180}{\pi} \cdot \frac{M_t l}{EI} \text{ [grd]}, \quad (5.12)$$

în care: θ este unghiul la centru al arcului de spirală de lungime x între secțiunile A și B după strângerea arcului;

θ_0 — unghiul la centru al arcului de spirală de lungime x în poziția inițială desfăcută;

$d\theta$ — unghiul la centru al elementului de arc de lungime dx după strângerea arcului;

$d\theta_0$ — unghiul la centru al elementului de arc de lungime dx în poziția inițială desfăcută;

l — lungimea spiralei arcului;

θ_1 — unghiul cu care se înfășoară întreg arcul sub acțiunea momentului de răsucire M corespunzător unghiului de rotire al fusului.

La efectuarea integrării, s-a ținut seama că M_t , E și I sînt constante. Pentru secțiunea dreptunghiulară, expresia devine:

$$\theta_1^\circ = \frac{180}{\pi} \cdot \frac{12l}{Ebh^3} M_t = \frac{180}{\pi} \frac{2l}{Eh} \sigma. \quad (5.13)$$

Lucrul mecanic de deformare:

$$L = M_{max} \frac{\theta_1}{2} = \frac{1}{2} M_t \theta_1 = \frac{1}{2} \frac{l}{E} \frac{M^2}{I} = \frac{1}{2} \frac{l W^2 \sigma^2}{EI}. \quad (5.14)$$

Pentru arcul spiral cu secțiunea dreptunghiulară:

$$L = \frac{1}{6} \cdot \frac{V}{E} \sigma^2. \quad (5.15)$$

Coeficientul de utilizare volumetrică este $\eta' = \frac{1}{6}$.

În cazul capătului articulat la casetă, expresia unghiului de înfășurare devine:

$$\theta = \frac{M_t}{IE} \left\{ \frac{1}{8R^2 \alpha} \left[R^4 - R_0^4 - 2 \left(\sin^2 \frac{R}{\alpha} - \cos^2 \frac{R_0}{\alpha} \right) \times \right. \right. \\ \left. \left. \times \left(R^3 \sin^2 \frac{R}{\alpha} - R_0^3 \sin^2 \frac{R_0}{\alpha} \right) \right] + 1 \right\}, \quad (5.16)$$

Tabela 5.1

Relații de calcul pentru arcul spiral

Secțiunea	Efortul unitar	Unghiul de rotație	Lucrul mecanic	Coeficientul de utilizare volumetrică, η
Oarecare	$\sigma = \frac{M_t}{W}$	$\theta_1 = \frac{M_t l}{EI} = \frac{l W}{EI} \sigma$	$L = \frac{1}{2} M_t \theta = \frac{1}{2} \frac{l}{E} \frac{W^2 \sigma^2}{I}$	
Dreptunghiulară	$\sigma = \frac{6}{bh^2} M_t$	$\theta_1 = \frac{12 l M_t}{E b h^3} = \frac{2 l}{E h} \sigma$	$L = \frac{1}{6} \frac{V \sigma^2}{E}$	$\frac{1}{6}$
Circulară	$\sigma = \frac{10,18}{d^3} M_t$	$\theta_1 = \frac{20,36 l}{E d^4} M_t = \frac{2 l}{E d} \sigma$	$L = \frac{1}{8} \frac{V \sigma^2}{E}$	$\frac{1}{8}$
Eliptică	$\sigma = \frac{32}{ab^2} M_t$	$\theta_1 = \frac{64 l M_t}{\pi E a b^3} = \frac{2 \sigma l}{E b}$	$L = \frac{1}{8} \frac{V \sigma^2}{E}$	$\frac{1}{8}$

în care: R_0 este raza fusului sau raza minimă la capătul arcului, la fus. În cazul secțiunii dreptunghiulare

$$I = \frac{bh^3}{12}; \quad W = \frac{bh^2}{6}.$$

Calculare analoge se pot efectua și în cazul secțiunilor pătrate, circulare, eliptice etc. Rezultatele respective sînt redată în tabela 5.1.

5.2.2. Arcuri spirale plane cu număr mic de spire

Un caz particular al arcurilor spirale plane îl constituie cazul înfășurat în practică al arcurilor spirale plane cu număr mic de spire. Aceste arcuri se execută din benzi de secțiune mare și sînt folosite în industrie pentru a transmite momente mari.

Relațiile care rezultă sînt relativ complicate, astfel încît se recurge deseori la relațiile simple de încovoiere (5.3) și deformație (5.12), în care se introduc coeficienți de corecție:

$$\sigma_t = \alpha \frac{M_0}{W}; \quad \theta_1 = \frac{M_0 l}{\beta EI}, \quad (5.17)$$

unde M_0 este momentul de răsucire la fus. Coeficienții α și β rezultă din diagramele din fig. 5.7, a și b, în funcție de unghiul θ_1 și de parametrul

$$\lambda = \frac{R_2 - R_1}{R_2}, \quad (5.18)$$

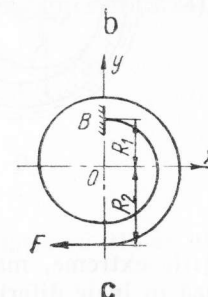
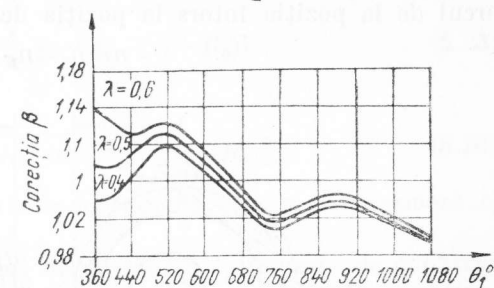
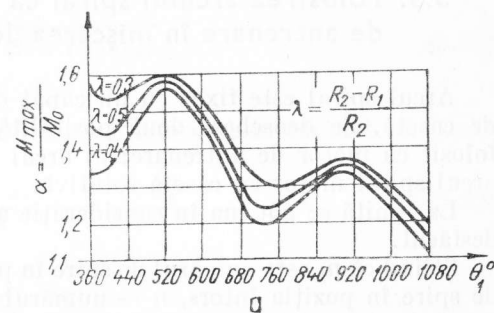


Fig. 5.7

în care:

R_2 este raza cea mai mare a spiralei;
 R_1 — raza cea mai mică a spiralei (fig. 5.7, c).

Diagramele sînt valabile numai pentru arcu cu număr redus de spire și numai pentru bandă de grosime mică.

5.3. Folosirea arcului spiral ca motor de antrenare în mișcarea de rotație

Arclu spiral este fixat cu un capăt de fus, iar cu celălalt este fixat de casetă. Se deosebesc două posibilități de montare a arcului spiral folosit ca motor de antrenare; a) arcu spiral motor cu casetă fixă; b) arcu spiral motor cu casetă rotativă.

La limită se pot lua în considerație arcu spiral strîns și arcu spiral desfăcut.

Știind că n_1 este numărul de spire în poziția desfăcut și n_2 — numărul de spire în poziția întors, n — numărul de rotații pe care le generează arcu de la poziția întors la poziția desfăcut se determină cu relația:

$$n = n_2 - n_1. \quad (5.19)$$

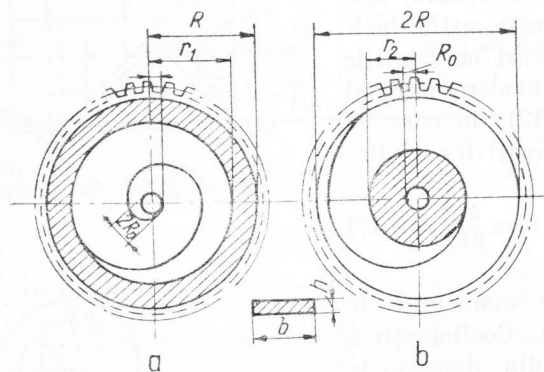


Fig. 5.8

În pozițiile extreme, materialul arcului (spirele sale aflate în contact) se așază în inele diferite: la poziția desfăcut în contact cu carcasa (fig. 5.8, a); la poziția strîns — în contact cu fusul (fig. 5.8, b).

Volumul arcului fiind neschimbat, se poate scrie cu aproximație:

$$\frac{\pi}{4} (R^2 - r_1^2) = \frac{\pi}{4} (r_2^2 - R_0^2), \quad (5.20)$$

unde: R este raza interioară a carcasei;

r_1 — raza interioară a arcului desfăcut;

r_2 — raza exterioară a arcului întors.

Făcînd calculul se obține:

$$r_2 = \sqrt{R^2 + R_0^2 - r_1^2}, \quad (5.21)$$

unde R_0 este raza fusului.

În ipoteza că, în pozițiile extreme, spirele sînt în contact, se poate scrie:

$$n_1 = \frac{R - r_1}{h}; \quad n_2 = \frac{r_2 - R_0}{h}, \quad (5.22)$$

unde h este grosimea benzii.

Înlocuind în relația (5.19) se obține:

$$n = n_2 - n_1 = \frac{1}{h} [r_1 + r_2 - (R + R_0)] \quad (5.23)$$

sau

$$n = \frac{1}{h} [\sqrt{R^2 + R_0^2 - r_1^2} + r_1 - (R + R_0)]. \quad (5.24)$$

În această expresie, variabila independentă este raza interioară r_1 a arcului desfăcut.

Problema importantă la arcu de antrenare spiral este de a obține un număr maxim de rotații. Anulînd derivata expresiei (5.24), se obține:

$$\frac{dn}{dr_1} = \frac{1}{h} \left[2 \frac{-2r_1}{\sqrt{R^2 + R_0^2 - r_1^2}} + 1 \right] = 0, \quad (5.25)$$

de unde:

$$r_1 = \sqrt{\frac{R^2 + R_0^2}{2}}. \quad (5.26)$$

Dacă se introduce această valoare în relația (5.21) se obține:

$$r_2 = \sqrt{\frac{R^2 + R_0^2}{2}} = r_1. \quad (5.27)$$

Deci cînd raza exterioră a arcului întors va fi egală cu raza interioară a arcului desfăcut, se obține un număr maxim de rotații. Numărul de rotații maxim:

$$n = \frac{1}{h} [\sqrt{2(R^2 + R_0^2)} - (R + R_0)]. \quad (5.28)$$

Pentru lungimea arcului se poate folosi relația aproximativă:

$$l = 2\pi \frac{R+r_1}{2} n_1 + 2\pi R_0, \quad (5.29)$$

în care lungimea spirei medii se înmulțește cu numărul de spire, pentru a se obține lungimea arcului. Termenul al doilea reprezintă lungimea curbei de capăt. La realizarea practică a acestor arcuri se ia constructiv $R_0 = \frac{R}{3}$, cu care se obține cu relația (5.28):

$$n = 0,157 \frac{R}{h} = 0,472 \frac{R_0}{h}. \quad (5.30)$$

Grosimea h a arcului se ia constructiv în raport cu grosimea fusului

$$h \leq \frac{R_0}{15}. \quad (5.31)$$

În poziția lui liberă, înainte de a fi introdus în tobă, arcul are un număr de n spire care nu vor participa la generarea momentului M . Pentru a introduce arcul în tobă, el trebuie răsucit cu $n_1 - n'$ rotații. Constructiv se ia $n' = (0,38 \dots 0,30) \cdot n_2$.

Valorile extreme ale unghiului de rotație sînt date de relațiile:

$$\begin{aligned} \theta_{max} &= 2\pi (n_2 - 0,35n_2); \\ \theta_{min} &= 2\pi (n_1 - 0,35n_2). \end{aligned} \quad (5.32)$$

Pornind de la relația

$$M = \frac{EI}{l} \theta, \quad (5.33)$$

rezultă:

$$\begin{aligned} M_{max} &= \frac{EI}{l} 2\pi (n_2 - 0,35n_2); \\ M_{min} &= \frac{EI}{l} 2\pi (n_1 - 0,35n_2). \end{aligned} \quad (5.34)$$

Pentru o poziție intermediară a arcului, se înseamnă cu n_0 numărul curent de rotații ale carcsei

$$0 \leq n_0 \leq n; \quad n = n_2 - n_1. \quad (5.35)$$

Se obține:

$$M = \frac{EI}{l} 2\pi (n_1 - 0,35n_2 + n_0), \quad (5.36)$$

care la limită dă tocmai valorile maxime și minime.

Rezultă că, teoretic, între valoarea momentului și numărul de rotații există o relație liniară. În condițiile reale de funcționare a arcului nu se observă o dependență liniară completă. În fig. 5.9 se arată comparativ diagrama teoretică și diagrama reală.

În regiunile OD și EF ale diagramei momentului, variația nu este liniară, deoarece intervin frecări între spirele arcului. În regiunea DE variația este liniară și arcul poate fi considerat ca un arc liber cu coeficient unghiular constant

$$\operatorname{tg} \beta = \frac{M}{\theta} = \frac{EI}{l}. \quad (5.37)$$

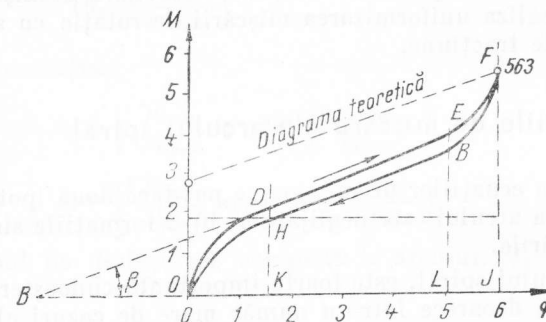


Fig. 5.9

Randamentul arcului spiral motor rezultă din diagrama momentului

$$\eta = \frac{\text{aria suprafeței } OHBFJ}{\text{aria suprafeței } ODEFJ}.$$

Randamentul arcului spiral depinde de pierderile prin histerezis ale materialului, de calitatea prelucrării suprafeței arcului, de sistemul

de ungere, de sistemul de fixare al arcului de fus. În mod curent se realizează $\eta=0,8\ldots 0,85$. Pentru arcuri de ceasornice s-a realizat $\eta=0,65\ldots 0,8$.

La folosirea arcului spiral ca mijloc de antrenare, datorită variației valorii momentului, mișcarea își pierde caracterul de mișcare uniformă.

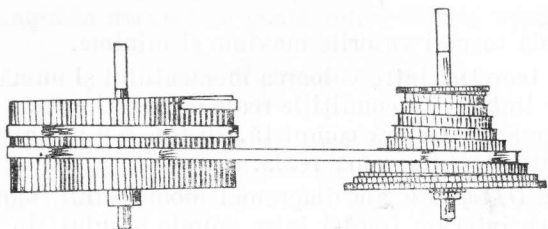


Fig. 5.10

Pentru corijare, se pot folosi diferite sisteme, cum ar fi cuplarea a două arcuri succesive sau corijarea prin melc cu lanț de tracțiune.

În fig. 5.10 este reprezentat modul de corijare a mișcării date de arc pentru a realiza uniformizarea mișcării de rotație cu ajutorul unui melc cu lanț de tracțiune.

5.4. Ecuațiile de mișcare ale arcului spiral

La stabilirea ecuațiilor de mișcare se pot face două ipoteze simplificatoare: a) masa arcului este neglijabilă; b) deformările sînt proporționale cu solicitările.

În cazul arcului spiral, este foarte importantă cunoașterea ecuațiilor sale de mișcare, deoarece într-un număr mare de cazuri el este folosit ca motor de antrenare.

Dacă se notează deformăția și momentul maxim cu θ_{max} și M_{max} , în cazul unui arc determinat, aceste două valori sînt constante și bine stabilite. Unei poziții intermediare, la un timp dat, îi corespunde un moment M_x și o deformăție θ_x .

Pe baza ipotezei a doua se poate scrie:

$$M_x = M_{max} \frac{\theta_{max} - \theta_x}{\theta_{max}}. \quad (5.38)$$

Dacă se notează cu ω_x viteza unghiulară instantanee a fusului sau a carcasi antrenate de arc, în poziția intermediară menționată, pe baza teoremei energiei se poate scrie relația:

$$\frac{1}{2} I \omega_x^2 = \int_0^{\theta_x} M_x d\theta_x = \int_0^{\theta_x} M_{max} \frac{\theta_{max} - \theta_x}{\theta_{max}} d\theta = M_{max} \left(\theta_x - \frac{\theta_x^2}{2\theta_{max}} \right). \quad (5.39)$$

Din relația (5.39), rezultă:

$$\omega_x = \sqrt{\frac{2M_{max}}{I} \left(\theta_x - \frac{\theta_x^2}{2\theta_{max}} \right)}. \quad (5.40)$$

Foarte importantă pentru nevoile practicii este cunoașterea timpului de desfășurare a arcului în mecanismele cu arc motor. Știind că

$$\omega_x = \frac{d\theta_x}{dt} \quad (5.41)$$

și ținînd seama de relația (5.40),

$$dt = \frac{d\theta_x}{\sqrt{\frac{2M_{max}}{I} \left(\theta_x - \frac{\theta_x^2}{2\theta_{max}} \right)}} = \sqrt{\frac{I\theta_{max}}{M_{max}}} \frac{d\theta_x}{\sqrt{2\theta_{max}\theta_x - \theta_x^2}}. \quad (5.42)$$

Prin integrare se obține:

$$t_x = \sqrt{\frac{I\theta_{max}}{M_{max}}} \arcsin \left(\frac{\theta_x - \theta_{max}}{\theta_{max}} \right), \quad (5.43)$$

$$t_x = \sqrt{\frac{I\theta_{max}}{M_{max}}} \arccos \left(1 - \frac{\theta_x}{\theta_{max}} \right). \quad (5.44)$$

Pentru timpul de desfășurare completă a arcului, $\theta_x = \theta_{max}$ și se obține:

$$\omega = \sqrt{\frac{M_{max}\theta_{max}}{2I}} \text{ și } t = \frac{\pi}{2} \sqrt{\frac{I\theta_{max}}{M_{max}}}. \quad (5.45)$$

Asupra arcului pot acționa forțe sau momente exterioare lui, datorite de exemplu frecării sau anumitor cupluri rezistente sau motoare provenite din mecanismele auxiliare. Dacă se notează cu M_0 momentul acestui cuplu și dacă el se consideră constant, se poate scrie:

$$\frac{1}{2} I \omega_x^2 = \int_0^{\theta_x} (M_r + M_0) d\theta_x = \int_0^{\theta_x} \left(M_{max} \frac{\theta_{max} - \theta_x}{\theta_{max}} \pm M_0 \right) d\theta, \quad (5.46)$$

de unde

$$\frac{1}{2} I \omega_x^2 = (M_{max} \pm M_0) \theta_x - M_{max} \frac{\theta_x^2}{2\theta_{max}} \quad (5.47)$$

și

$$\omega_x = \sqrt{\frac{2M_{max}}{I} \theta_x \cdot \left[\left(1 \pm \frac{M_0}{M_{max}} \right) - \frac{\theta_x}{2\theta_{max}} \right]} \quad (5.48)$$

Pentru timp se obține relația:

$$dt = \frac{d\theta}{\sqrt{\frac{2M_{max}}{I} \theta_x \left[\left(1 \pm \frac{M_0}{M_{max}} \right) - \frac{\theta}{2\theta_{max}} \right]}}, \quad (5.49)$$

de unde, prin integrare:

$$t = \sqrt{\frac{I\theta_{max}}{M_{max}}} \arccos \left[1 - \frac{M_{max}}{M_{max} \pm M_0} \cdot \frac{\theta_x}{\theta_{max}} \right] \quad (5.50)$$

Pentru destinderea completă a arcului se obține:

$$\omega = \sqrt{\frac{M_{max}\theta_{max}}{I} \left(1 \pm \frac{2M_0}{M_{max}} \right)} \quad (5.51)$$

și

$$t = \sqrt{\frac{I\theta_{max}}{M_{max}}} \arccos \frac{\pm M_0}{M_{max} \pm M_0} \quad (5.52)$$

În aceste relații, cuplul forțelor exterioare poate fi pozitiv sau negativ. Se va lua pozitiv dacă are același sens cu M_{max} dat de arc și negativ dacă este un cuplu rezistent.

5.5. Materiale și indicații tehnologice

Pentru fabricarea arcurilor spirale se folosesc mai ales benzi de oțel carbon sau de bronz cu beriliu. Banda din care se execută arcurile plate spirale pentru mecanisme de ceasornic, patefoane etc. se fabrică de obicei din oțel carbon. Procesul tehnologic al fabricației arcurilor spirale cuprinde următoarele faze: debitarea materialului, fasonarea capetelor (prin rectificare), înfășurarea, tratamentul termic, stabilizarea și recepția. Operația de înfășurare se execută după o încălzire prealabilă la $800^\circ - 1000^\circ\text{C}$, în cazul benzii de oțel. Înfășurarea se face pe o mașină prevăzută cu un dispozitiv de prindere corespunzător.

Încercarea statică a arcului spiral se execută cu ajutorul unor mașini de răsucit speciale.

Exemplu de calcul. Să se dimensioneze un arc spiral plan pentru antrenarea unui aparat de telegraf Morse, cunoscând următoarele date: $N=0,65$ kgfcm/s; $n=0,4$ rot/min; $R_0=13$ mm; timpul de desfășurare a arcului $t=30$ min.

Rezolvare. Cunoscând turația medie a arborelui antrenat de arc și timpul de desfășurare, se poate determina numărul n de rotații pe care le generează arcul de la poziția întors pînă la poziția destins. Astfel $n=30 \times 0,4=12$ rotații ale tobei arcului.

Pe baza relațiilor constructive date se poate determina raza interioară a tobei $R=3R_0=3 \times 13=39$ mm. Grosimea benzii arcului:

$$h \leq \frac{R_0}{15} = \frac{13}{15} = 0,8825 \text{ mm.}$$

Se alege $h=0,5$ mm.

Se verifică numărul de rotații ale tobei la destinderea arcului spiral:

$$n_{max} = \frac{1}{h} \left[\sqrt{2(R^2 + R_0^2)} - (R + R_0) \right] = \frac{1}{0,5} \left[\sqrt{2(39^2 + 13^2)} - (39 + 13) \right] = 12,4 \text{ rot.}$$

Rezultă că numărul de rotații ales pentru desfășurare a tobei se verifică.

Lungimea arcului. Se pornește de la relațiile:

$$n = n_2 - n_1; \quad n_1 = \frac{R-r}{h}; \quad n_2 = \frac{r_1 - R_0}{h}$$

$$n = n_2 - n_1 = \frac{r_1 - R_0 - R + r}{h} = 12 = \frac{r_1 - 13 - 39 + r}{0,5}$$

Rezultă:

$$r_1 + r = 12 \times 0,5 + 13 + 39 = 58 \text{ mm.}$$

Se alege $r=26$ mm și rezultă

$$r_1 = 58 - 26 = 32 \text{ mm; } n_1 = \frac{39 - 26}{0,5} = 26 \text{ spire,}$$

$$n_2 = \frac{32 - 13}{0,5} = 38 \text{ spire și deci}$$

$$n = n_2 - n_1 = 38 - 26 = 12 \text{ rot.}$$

Lungimea arcului

$$l = (R + r) n_1 + 2r,$$

$$l = (39 + 26) 26 + 2 \times 26 = 1\,742 \text{ mm}.$$

Se execută $l = 1\,750 \text{ mm}$.

Lăţimea arcului rezultată din relaţia (5.34) se determină cu relaţia:

$$b = \frac{6Ml}{0,65\pi E h^3 n_2 x},$$

unde x este un coeficient; $x = 0,6$.

Ştiind că

$$\omega = \frac{\pi n}{30} = \frac{\pi 0,4}{30} = 0,042 \text{ rad/s}$$

şi

$$M = \frac{N}{\omega} = \frac{0,65}{0,042} = 15,5 \text{ kgf} \cdot \text{cm},$$

se află

$$b = \frac{6 \times 15,5 \times 1\,750}{0,65\pi \times 2,2 \times 10^6 \times 5^3 \times 10^{-6} \times 38 \times 0,6} \approx 13,4 \text{ mm}.$$

Momentul maxim dat de arc $M_{max} = \frac{\pi E b h^3}{6l} (n_1 - 0,35 n_2 + n)$. Înlocuind se obţine

$$M_{max} = \frac{\pi \times 2,2 \times 10^6 \times 1,34 \times 5^3 \times 10^{-6}}{6 \times 175} (26 - 0,35 \times 38 + 12) = 28,2 \text{ kgf} \cdot \text{cm}.$$

$$M_{max} = 282 \text{ kgf} \cdot \text{mm}.$$

Momentul minim $M_{min} = \frac{\pi E b h^3}{6l} (n_1 - 0,35 n_2)$,

Înlocuind, se obţine:

$$M_{min} = \frac{\pi \times 2,2 \times 10^6 \times 1,34 \times 5^3 \times 10^{-6}}{6 \times 550} (26 - 0,35 \times 38) = 14,5 \text{ kgf} \cdot \text{cm}.$$

$$M_{min} = 145 \text{ kgf} \cdot \text{mm}.$$

$$\Delta M = M_{max} - M_{min} = 282 - 145 = 137 \text{ kgf} \cdot \text{mm}.$$

Arcuri elicoidale

6.1. Generalităţi

Arcurile elicoidale sînt elemente elastice cu o largă răspîndire în construcţia de maşini, care asigură prin elasticitatea lor întinderea sau apăsarea corespunzătoare între două elemente ale mecanismului din care fac parte, acumulînd energie sau acţionînd ca un amortizor, prezentînd în acelaşi timp avantajul de a ocupa un spaţiu destul de mic în mecanism.

Arcurile elicoidale se execută din bare de diferite secţiuni (circulară, dreptunghiulară, pătrată, trapezoidală, inelară, eliptică etc.) prin înfăşurarea după o elice.

După modul în care acţionează sarcina se deosebesc:

Arcuri de întindere supuse unor sarcini axiale care întind arcul şi la care, în secţiunea transversală a barei din care sînt executate se dezvoltă, în primul rînd, eforturi unitare de răsucire;

Arcuri de compresiune, supuse unor sarcini axiale care comprimă arcul şi la care, de asemenea, în secţiunea transversală a barei se dezvoltă în primul rînd eforturi unitare de răsucire;

Arcuri de răsucire, solicitate de sarcini care se reduc la cupluri de forţe acţionînd în plane perpendiculare pe axa arcului, astfel că în sec-

țiunea transversală a barei din care este executat arcul se dezvoltă, ca eforturi principale, eforturi unitare de încovoiere;

arcuri pentru sarcini combinate;

arcuri multiple, compuse din mai multe arcuri cilindrice dispuse concentric, utilizate în cazul sarcinilor mari.

După aspectul exterior (formal) al arcului și după unele particularități constructive se deosebesc următoarele tipuri principale de arcuri:

arcuri elicoidale cilindrice, care se pot obține prin înfășurarea barei (sîrmei) pe un dorn cu secțiune transversală circulară; în acest caz, axa spirelor acestor arcuri este o elice cu pas constant; aceste arcuri pot fi executate dintr-o bară (sîrmă) cu secțiune transversală: circulară, pătrată, dreptunghiulară, trapezoidală etc. sau, pentru arcuri speciale, din cabluri împletite dintr-un număr mic de sîrme subțiri, cablul fiind înfășurat după o elice; utilizarea arcurilor din cabluri de sîrmă împletită se justifică prin faptul că proprietățile mecanice ale sîrmei subțiri sînt mult superioare proprietăților sîrmei de diametru mare, astfel că un arc executat din cablu are proprietăți superioare;

arcuri prismatice, care se pot obține prin înfășurarea barei (sîrmei) pe un dorn prismatic de secțiune dreptunghiulară, pătrată etc.

arcuri profilate, care se obțin prin înfășurarea sîrmei pe un dorn de profil special conic, paraboloidal, dublu conic, dublu paraboloidal etc. Sîrma utilizată poate avea secțiunea transversală: circulară, pătrată sau dreptunghiulară. Aceste arcuri se execută în două moduri: cu pasul constant al spirelor și cu pantă constantă a spirelor.

Din punctul de vedere al formei, în fig. 6.1, *a-l* sînt reprezentate principalele tipuri de arcuri.

În funcție de solicitarea arcului la întindere, la compresiune, sau la răsucire capetele arcurilor sînt prevăzute cu diferite sisteme de legare, precum și posibilități de reglare a prinderii capătului arcului. În fig. 6.2, *a-r* se dau diferite variante constructive și dispozitive utilizate la formarea capetelor sau la prinderea lor pentru arcurile solicitate la întindere. În fig. 6.3, *a-e* se dau în mod similar variantele pentru cazul arcurilor solicitate la compresiune, iar în fig. 6.4, *a* și *b* soluții aplicate în cazul arcurilor de răsucire.

Pentru arcuri ușoare mici, denumite și arcuri comerciale, la formarea capetelor se folosesc cele 35 de variante constructive indicate în fig. 6.5

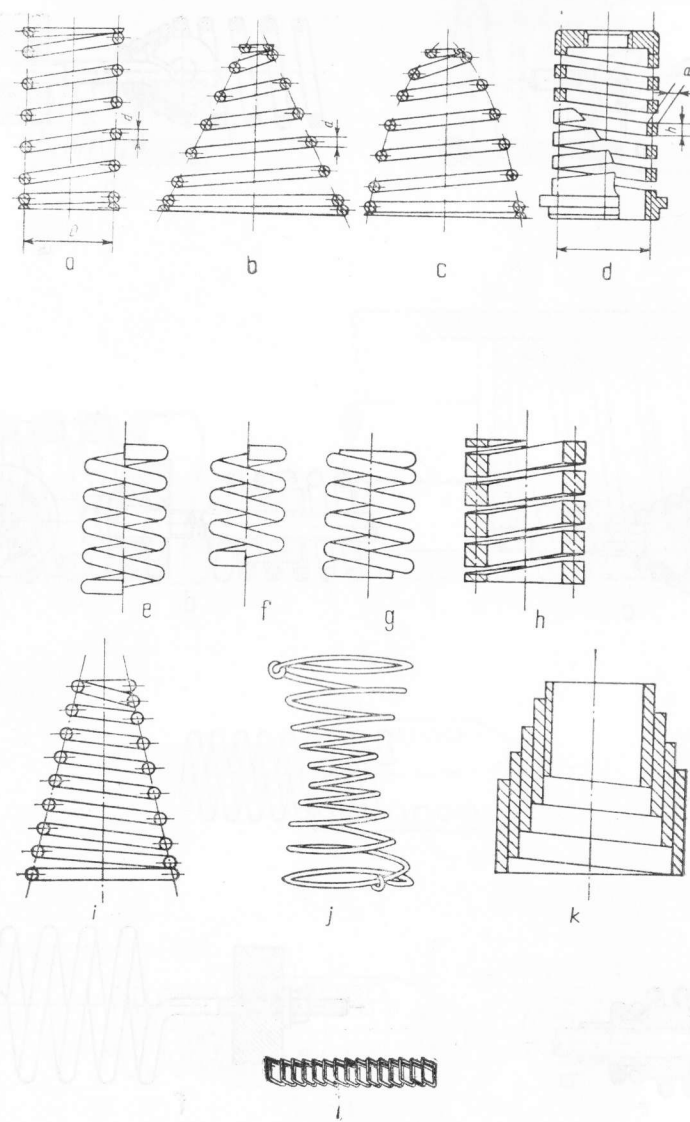


Fig. 6.1

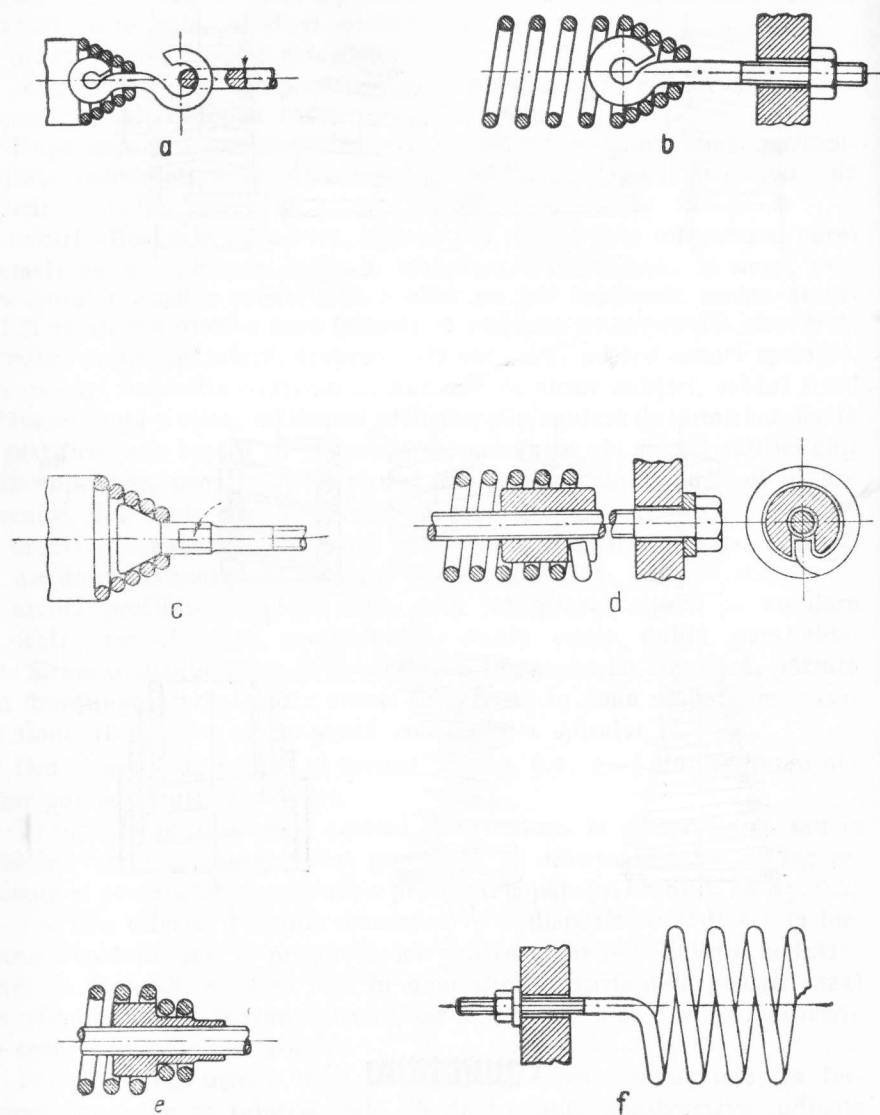


Fig. 6.2

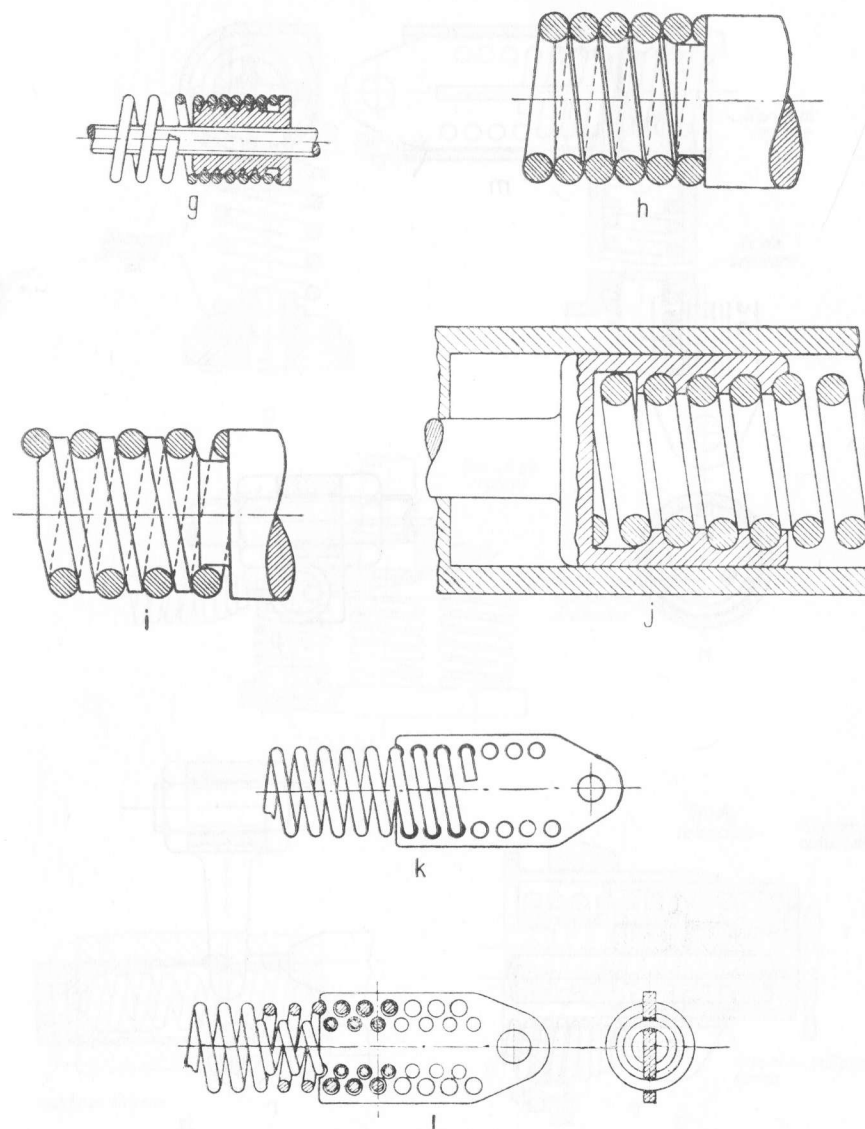


Fig. 6.2

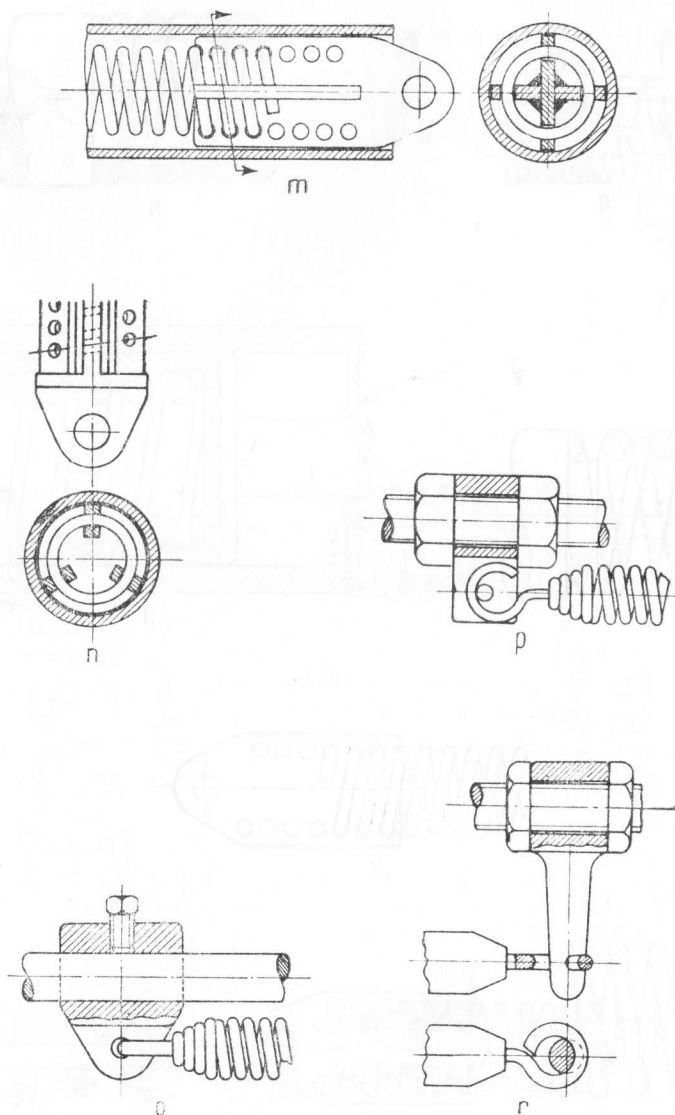


Fig. 6.2

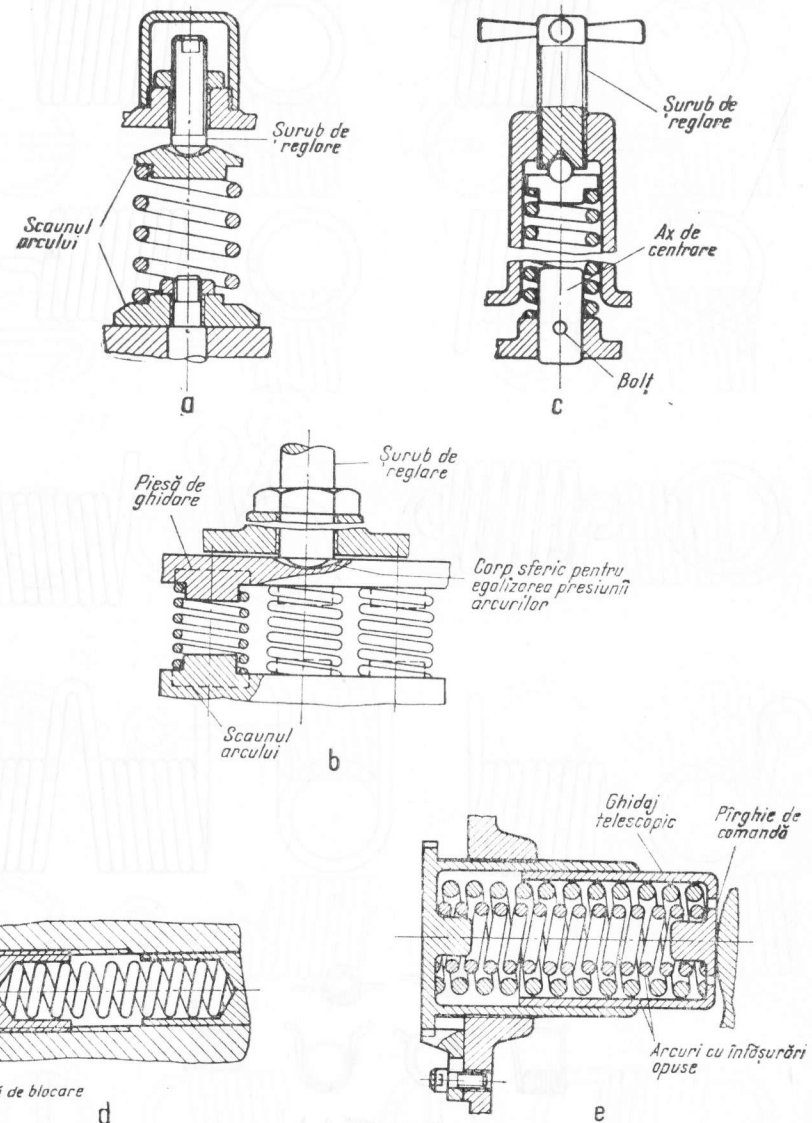
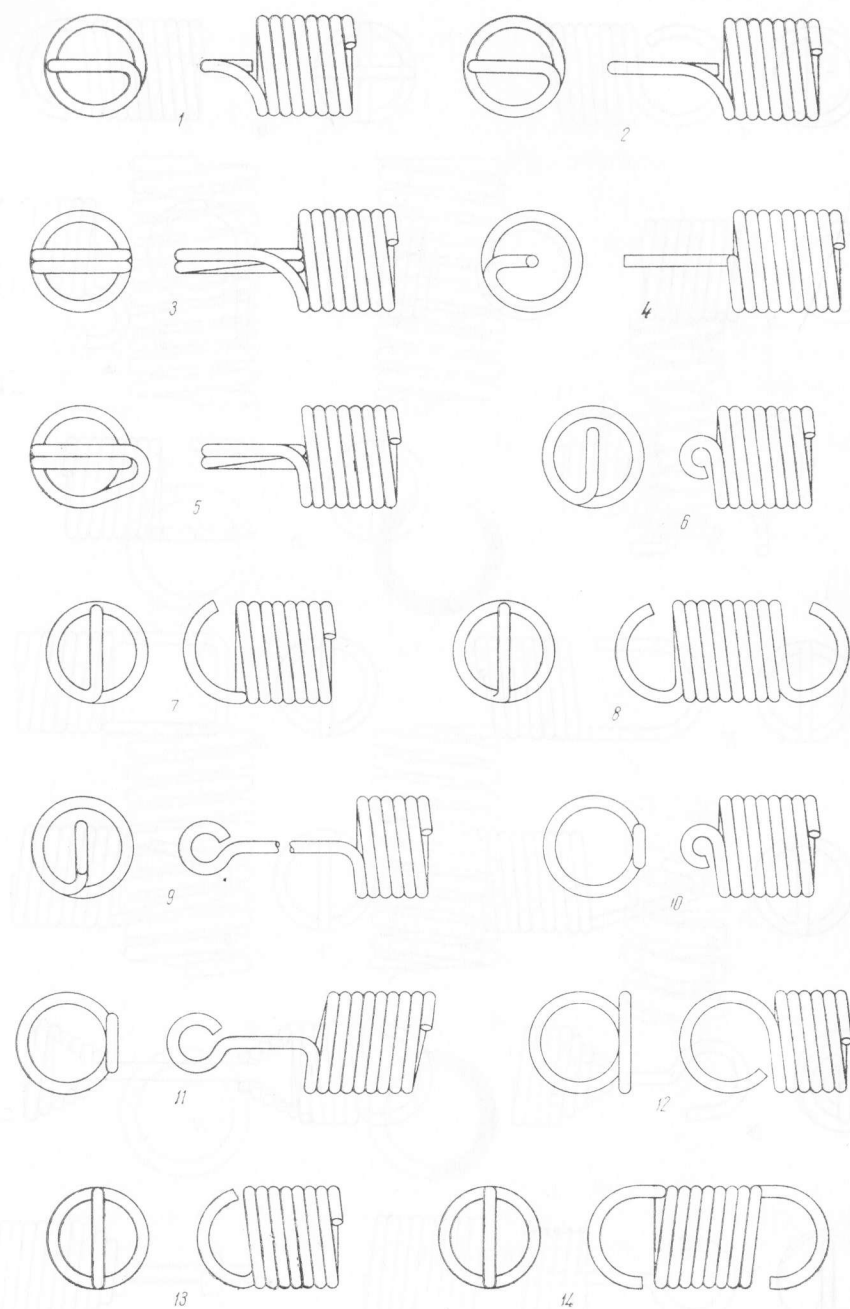
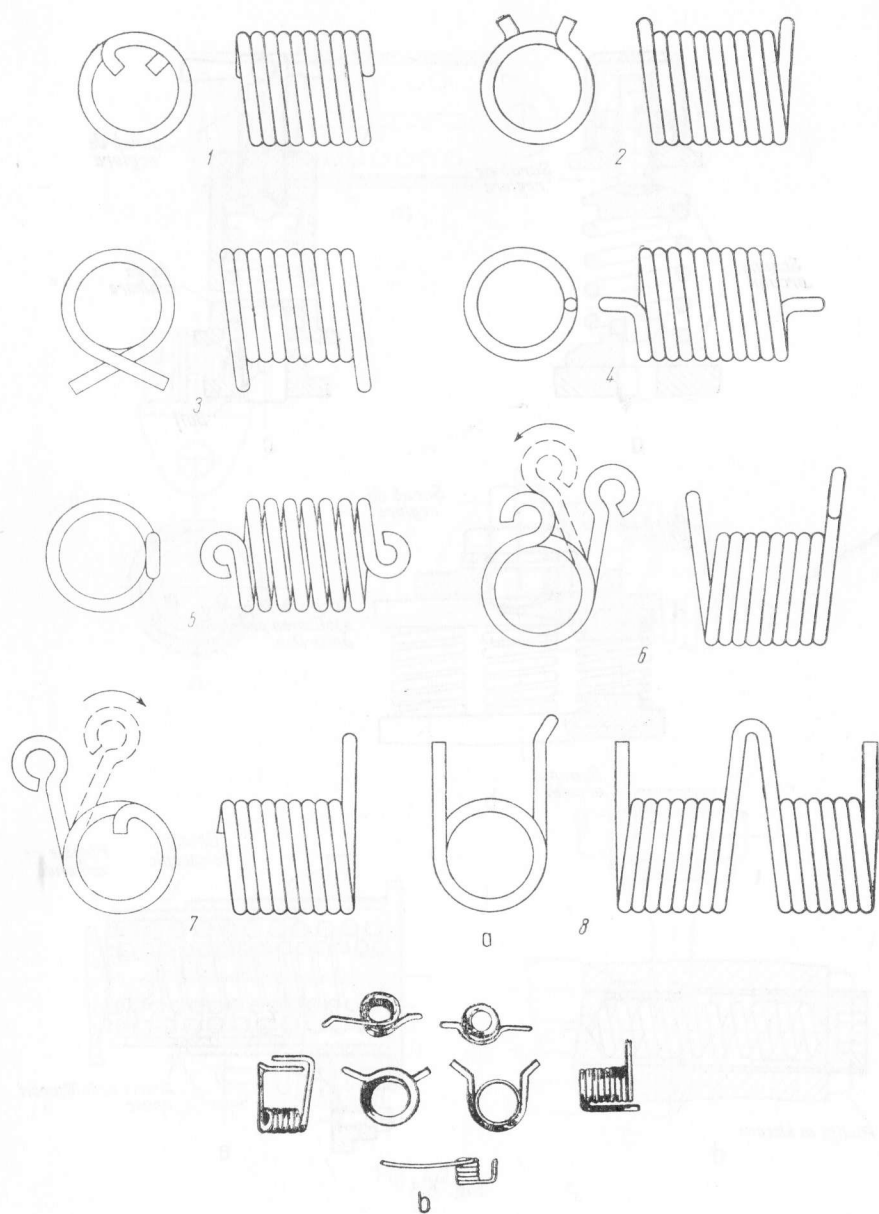


Fig. 6.3



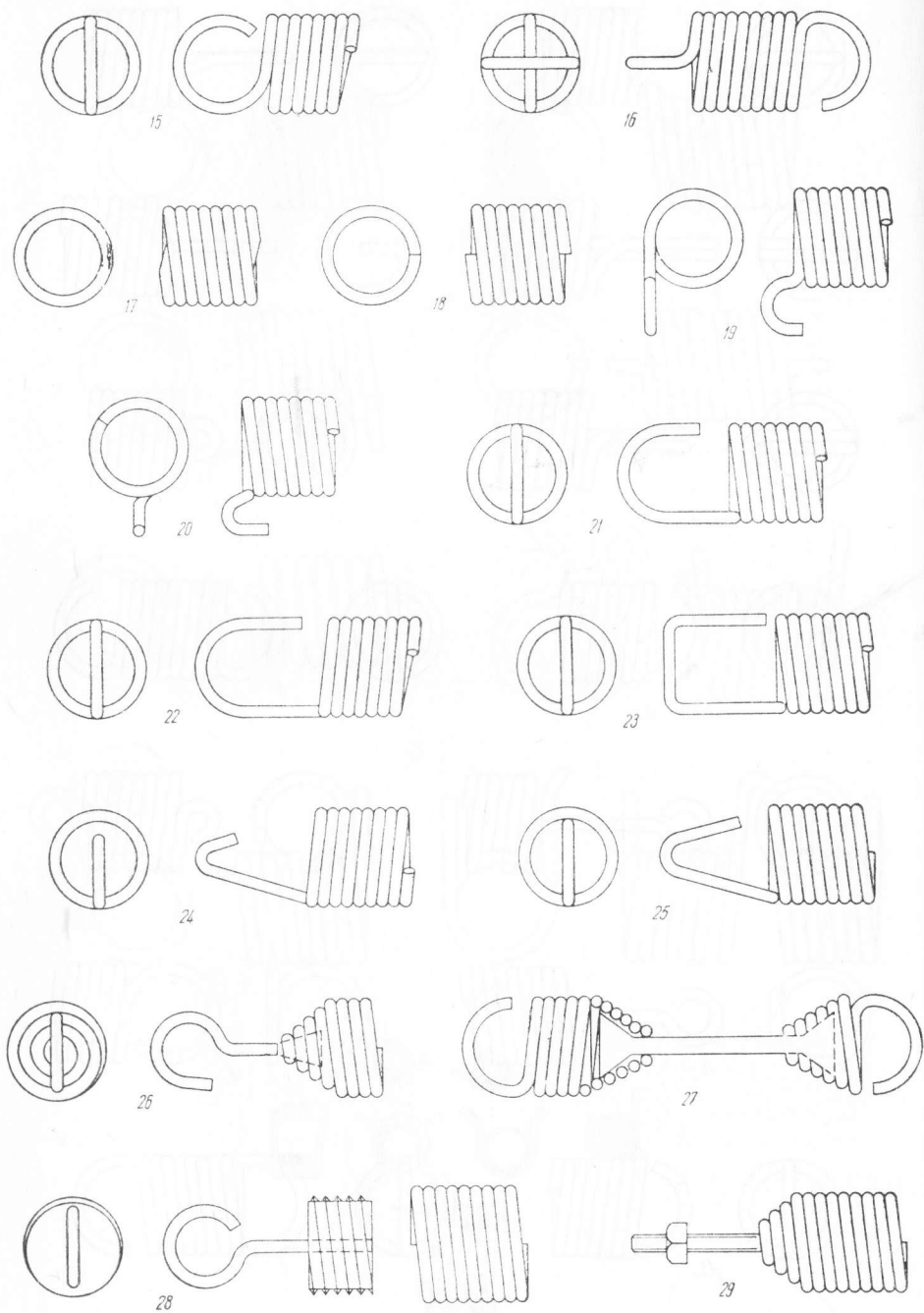


Fig. 6.5

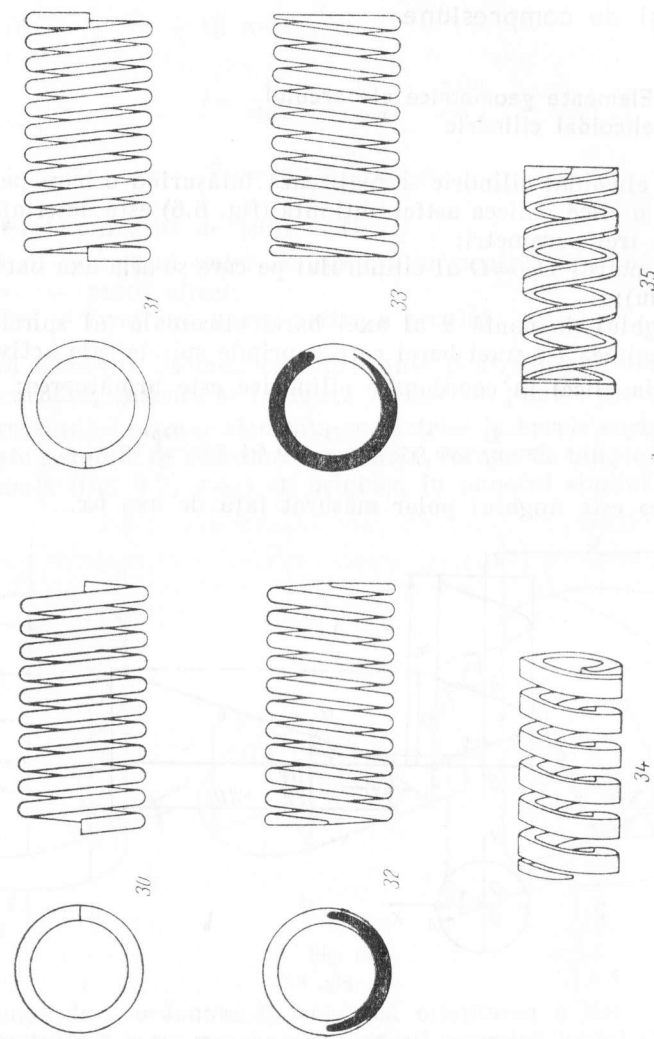


Fig. 6.5 b

6.2. Arcuri elicoidale cilindrice de întindere și de compresiune

6.2.1. Elemente geometrice ale arcului elicoidal cilindric

Arcul elicoidal cilindric se realizează înfășurând o bară pe un cilindru după o elice. Elicea astfel obținută (fig. 6.6) este determinată dacă se cunosc trei parametri:

- diametrul $D_m = D$ al cilindrului pe care se află axa barei (diametrul mediu);
- unghiul de pantă α al axei barei elicoidale (al spirei arcului);
- lungimea l a axei barei care cuprinde spirele sale active.

Ecuția elicei în coordonate cilindrice este următoarea:

$$x = \frac{D}{2} \cos \varphi; \quad y = \frac{D}{2} \sin \varphi; \quad z = \frac{D\varphi}{2} \operatorname{tg} \alpha, \quad (6.1)$$

în care: φ este unghiul polar măsurat față de axa ox .

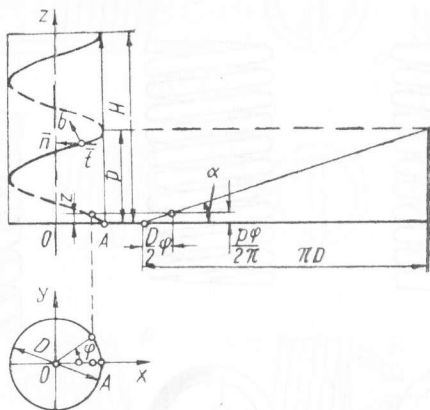


Fig. 6.6

Axa ox este astfel aleasă încât să treacă prin capătul A, originea lungimii l . Sistemul de coordonate x, y, z se ia dreapta în cazul elicei înfășurate pe dreapta și stînga, în cazul elicei înfășurate pe stînga.

Analizînd fig. 6.6 rezultă, de asemenea, relațiile:

$$\begin{aligned} \operatorname{tg} \alpha &= \frac{H}{\pi D n}; \\ l &= \frac{H}{\sin \alpha} = \frac{pn}{\sin \alpha} = \frac{\pi D n}{\cos \alpha}; \\ \varphi_n &= 2\pi n = \frac{2l}{D} \cos \alpha, \end{aligned} \quad (6.2)$$

în care: n este numărul de spire active;

φ_n — unghiul polar corespunzător pentru n spire;

p — pasul elicei;

H — lungimea părții active a arcului.

Tot ca elemente geometrice importante pentru arcul elicoidal sînt: raza de curbura, curbura și răsucirea în diferite puncte ale elicei.

Pentru studiul acestor elemente geometrice la barele curbe în spațiu se folosește sistemul de coordonate naturale, format de tangentă, normală și binormală (fig. 6.7, a—c) cu originea în punctul studiat

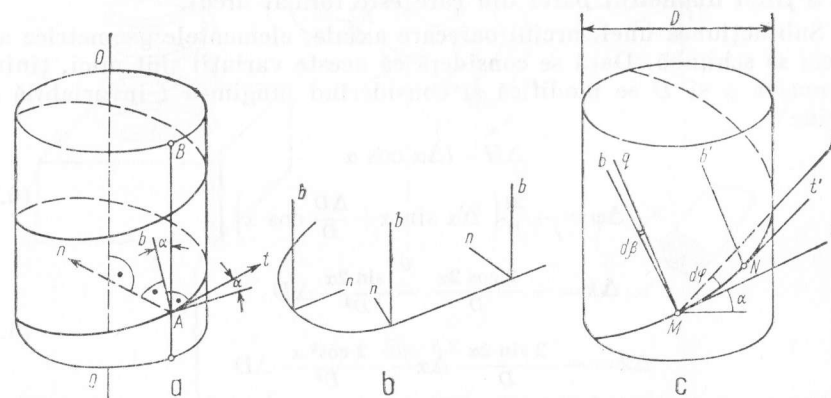


Fig. 6.7

Sistemul de coordonate își schimbă orientarea o dată cu trecerea de la punctul dat la un punct vecin, infinit apropiat, astfel că în această deplasare sistemul de coordonate se rotește rigid în jurul axei instantanee de rotație cu o viteză unghiulară ω , care se determină în raport

cu arcul s parcurs pe curbă. Această viteză unghiulară are două componente:

- o mișcare de rotație în jurul tangentei cu viteza unghiulară k ;
- o mișcare de rotație în jurul binormalei cu viteza unghiulară κ ; astfel se poate scrie:

$$\bar{\omega} = k\bar{t} + \kappa\bar{b},$$

unde k este torsiunea elicei; $k = \frac{\sin 2\alpha}{D}$ (6.3, a)

— curbura elicei $\kappa = \frac{2 \cos^2 \alpha}{D}$ (6.3, b)

Deoarece pentru o anumită poziție a elicei mărimile α și D sînt constante, rezultă că și răsucirea și curbura sînt mărimi constante pentru toate punctele elicei.

În calculele practice se ține seamă foarte mult de încă un indice geometric al arcului elicoidal cilindric și anume de raportul de formă al arcului $j = \frac{D}{d}$, (6.4)

d fiind diametrul barei din care este format arcul.

Sub acțiunea unei sarcini oarecare axiale, elementele geometrice ale elicei se schimbă. Dacă se consideră că aceste variații sînt mici, ținînd seama că α și D se modifică și considerînd lungimea l invariabilă se obține

$$\left. \begin{aligned} \Delta H &= l \Delta \alpha \cos \alpha \\ \Delta \varphi &= -\frac{2l}{D} \left(\Delta \alpha \sin \alpha + \frac{\Delta D}{D} \cos \alpha \right) \end{aligned} \right\} \quad (6.5)$$

$$\left. \begin{aligned} \Delta k &= +\frac{2 \cos 2\alpha}{D} - \frac{\sin 2\alpha}{D^2} \Delta D \\ \Delta \kappa &= -\frac{2 \sin 2\alpha}{D} \Delta \alpha - \frac{2 \cos^2 \alpha}{D^2} \Delta D \end{aligned} \right\} \quad (6.6)$$

Din ecuațiile (6.6) rezultă:

$$\Delta \alpha = \frac{D}{2} (\Delta k - \Delta \kappa \operatorname{tg} \alpha) \quad (6.7)$$

$$\frac{\Delta D}{D^2} = -\frac{\Delta \kappa}{2} (1 - \operatorname{tg}^2 \alpha) - \Delta k \operatorname{tg} \alpha$$

Folosind aceste relații, expresiile (6.5) devin:

$$\Delta H = \frac{D^2 n}{2} (\Delta k - \Delta \kappa \operatorname{tg} \alpha) \quad (6.8)$$

$$\Delta \varphi = \pi D n (\Delta \kappa + \Delta k \operatorname{tg} \alpha)$$

S-a obținut săgeata, respectiv unghiul relativ de rotire al suprafețelor frontale ale arcului.

Aceste relații legate de solicitările la care este supus arcul dau formulele de bază pentru calculul arcurilor în cazul deformațiilor mici.

Considerînd un arc solicitat de o forță axială P (la întindere sau la compresie) și de un moment M , ca în fig. 6.8, se pot determina solicitările care apar într-o secțiune transversală oarecare a arcului.

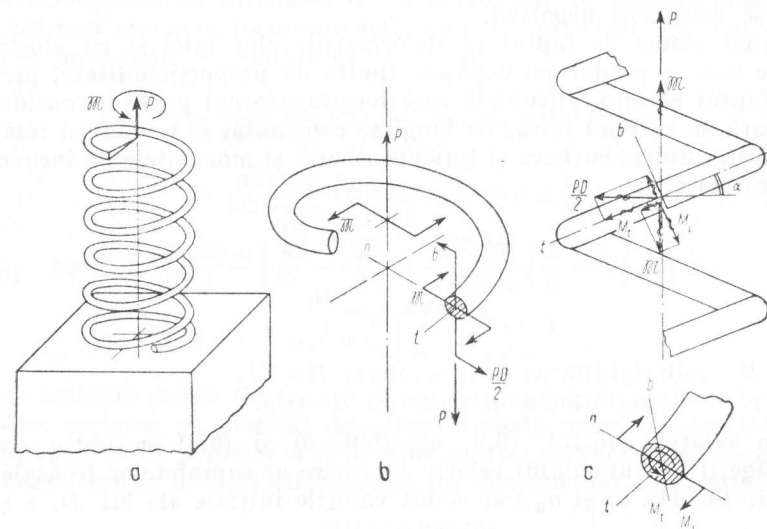


Fig. 6.8

Ținînd seamă că înclinarea α a spirei este constantă, pentru o poziție de echilibru a arcului se obțin expresiile momentelor de încovoiere și de răsucire care acționează într-o secțiune a arcului, precum și eforturile normale și tangențiale care apar în secțiune.

Astfel, momentul încovoiitor este

$$M_i = M \cos \alpha - \frac{PD}{2} \sin \alpha, \quad (6.9, a)$$

iar momentul de răsucire este:

$$M_t = \mathfrak{M} \sin \alpha + \frac{PD}{2} \cos \alpha. \quad (6.9, b)$$

Se observă că

$$N = P \sin \alpha, \quad (6.9, c)$$

este o forță axială normală pe secțiune, iar

$$T = P \cos \alpha \quad (6.9, d)$$

o forță care lucrează în secțiune.

Dacă momentul \mathfrak{M} care acționează tinde să răsucescă arcul în sensul înfășurării sale, el este considerat pozitiv, în caz contrar este considerat negativ.

Forța P care întinde arcul se consideră pozitivă, iar cea care comprimă arcul se consideră negativă.

Ținând seamă de faptul că deformațiile sînt mici și că eforturile unitare care se produc nu depășesc limita de proporționalitate, precum și de faptul că bara elicoidală care formează arcul poate fi considerată ca o bară de curbura mică, de lungime constantă, se pot folosi relațiile de legătură dintre curbura și torsiunea barei și momentele de încovoiere și de răsucire:

$$\Delta \kappa = \frac{1}{\rho} - \frac{1}{\rho_0} = \frac{M_i}{B} \quad (6.10)$$

$$\Delta k = k - k_0 = \frac{M_t}{C},$$

unde: B este rigiditatea la încovoiere; $B = EI$;

C — rigiditatea la răsucire; $C = GI_d$.

Din relațiile (6.10), (6.9, a), (6.9, b) și (6.8) se obțin expresiile săgeții f și unghiului relativ de rotire al suprafețelor frontale ale arcului. Cu D_0 , α_0 și n_0 s-au notat valorile inițiale ale lui D , α și n :

$$f = \frac{\pi D_0 n_0}{4B \cos \alpha_0} \left[PD_0 \left(\frac{B}{C} \cos^2 \alpha_0 + \sin^2 \alpha_0 \right) + \mathfrak{M} \left(\frac{B}{C} - 1 \right) \sin 2\alpha_0 \right];$$

$$\Delta \varphi = \frac{\pi D_0 n_0}{B \cos \alpha_0} \left[\frac{PD_0}{4} \left(\frac{B}{C} - 1 \right) \sin 2\alpha_0 + \mathfrak{M} \left(\frac{B}{C} \sin^2 \alpha_0 + \cos^2 \alpha_0 \right) \right]. \quad (6.11)$$

Variația diametrului:

$$\Delta D = -PD_0^3 \sin \alpha_0 \left(\frac{1}{2C} - \frac{1}{4B \cos^2 \alpha_0} \right) - \frac{\mathfrak{M} D_0^2}{2 \cos \alpha_0} \left(\frac{2 \sin^2 \alpha_0}{C} + \frac{\cos 2\alpha_0}{B} \right). \quad (6.11, a)$$

Dacă se ține seama și de eforturile N și T care apar în secțiune, expresia săgeții (deplasarea axială asupra fețelor frontale) devine:

$$f = \frac{\pi D_0^3 n_0}{2B \cos \alpha_0} \left[PD_0 \left(\frac{B}{C} \cos^2 \alpha_0 + \sin^2 \alpha_0 \right) + \mathfrak{M} \left(\frac{B}{C} - 1 \right) \sin 2\alpha_0 \right] +$$

$$+ \frac{\pi PD_0 n_0}{\cos \alpha_0} \left(\frac{\sin^2 \alpha_0}{EA} + \frac{\cos^2 \alpha_0}{GA} \right), \quad (6.11, b)$$

unde A este aria secțiunii transversale a spirei. În problemele practice, influența eforturilor normale și tangențiale la secțiune se consideră neglijabilă, fiind foarte mici, astfel că practic se lucrează numai cu prima variantă a relației indicate.

În cazul arcurilor solicitate la întindere sau la compresiune, care sînt încărcate numai cu forța care acționează în sens axial. $P \neq 0$ și $\mathfrak{M} = 0$, relațiile precedente se simplifică și devin:

$$f = \frac{\pi D_0^3 n_0}{4B \cos \alpha_0} PD_0 \left(\frac{B}{C} \cos^2 \alpha_0 + \sin^2 \alpha_0 \right) =$$

$$= \frac{\pi PD_0^3 n_0}{4C \cos \alpha_0} \left(\cos^2 \alpha_0 + \frac{C}{B} \sin^2 \alpha_0 \right) \quad (6.12)$$

$$\Delta \varphi = \frac{\pi PD_0^3 n_0 \sin \alpha_0}{2} \left(\frac{1}{C} - \frac{1}{B} \right) = \frac{\pi PD_0^3 n_0}{4B \cos \alpha_0} \left(\frac{B}{C} - 1 \right) \sin 2\alpha_0$$

$$\Delta D = -PD_0^3 \sin \alpha_0 \left(\frac{1}{2C} - \frac{\cos^2 \alpha_0}{4B \cos^2 \alpha_0} \right).$$

Sub acțiunea forței $P \neq 0$ dacă $\mathfrak{M} = 0$, suprafețele frontale ale arcului se rotesc reciproc cu unghiul $\Delta \varphi$. Dacă această rotire este împiedicată de dispozitivul de prindere a capătului arcului, atunci acest dispozitiv acționează asupra arcului elicoidal cu un moment dat de relația:

$$\mathfrak{M}_1 = \frac{PD_0(C-B) \sin 2\alpha_0}{4(B \sin^2 \alpha_0 + C \cos^2 \alpha_0)}. \quad (6.13)$$

Săgeata arcului se determină în acest caz introducînd în expresia (6.11) valoarea \mathfrak{M}_1 .

$$f_1 = \frac{\pi PD_0^3 n_0}{4 \cos \alpha_0 (B \sin^2 \alpha_0 + C \cos^2 \alpha_0)}. \quad (6.14)$$

În cazul arcurilor din sîrmă de secțiune circulară

$$B = \frac{\pi d^4}{64} E \text{ și } C = \frac{\pi d^4}{32} G = \frac{\pi d^4 E}{64(1+\mu)}. \quad (6.14, a)$$

În acest caz, pentru săgeata f , pentru unghiul de rotire relativă a suprafețelor frontale, $\Delta\varphi$ și pentru variația diametrului se obțin expresiile:

$$\begin{aligned} f &= \frac{16 PD_0^3 n_0}{Ed^4} \cdot \frac{1 + \mu \cos^2 \alpha_0}{\cos \alpha_0}; \\ \Delta\varphi &= \frac{32\mu PD_0^3 n_0 \sin \alpha_0}{Ed^4}; \\ \Delta D &= \frac{16 PD_0^3 \sin \alpha_0}{\pi Ed^4} \left(\frac{1}{\cos^2 \alpha_0} + 2\mu \right); \\ \mathfrak{M}_1 &= \frac{-\mu PD_0 \sin^2 \alpha_0}{4(1 + \mu \sin^2 \alpha_0)}; \\ f_1 &= \frac{16 PD_0^3 n_0 (1 + \mu)}{Ed^4 \cos \alpha_0 (1 + \sin^2 \alpha_0)}. \end{aligned} \quad (6.15)$$

Deoarece în aplicațiile practice în cazul arcurilor cilindrice pentru întindere și compresiune, unghiul de înclinare al spirei este mic ($\alpha_0 \leq 8...10^\circ$), se poate considera $\sin \alpha_0 \approx 0$ și $\cos \alpha_0 \approx 1$, astfel că relația săgeții devine:

$$f_1 = \frac{\pi PD_0^3 n_0}{4C} = \frac{8 PD_0^3 n_0}{Gd^4}. \quad (6.16)$$

Pentru calculul arcurilor de secțiune dreptunghiulară, expresia rigidității la răsucire C trebuie determinată în funcție de dimensiunile secțiunii transversale

$$C = GI_d,$$

unde $I_d = \beta a^3 b$ pentru $a < b$;

și $I_d = \beta ab^3$ pentru $a > b$.

Valorile coeficientului β sînt date în tabela 6.1, în funcție de raportul laturilor $\frac{a}{b}$ sau $\frac{b}{a}$.

Pentru arcuri la care $\alpha_0 \geq 10^\circ$ se folosește relația:

$$f_2 = m_1 \frac{\pi PD_0^3 n_0}{4C} = m_1 f_1, \quad (6.17)$$

Tabela 6.1

Valorile coeficientului β											
$\frac{a}{b}$ sau $\frac{b}{a}$	1	1,5	1,75	2	2,5	3	4	6	8	10	∞
β	0,141	0,198	0,214	0,229	0,249	0,263	0,281	0,299	0,307	0,303	0,333

în care

$$m_1 = \cos \alpha + \frac{C \sin^2 \alpha}{B \cos \alpha}. \quad (6.18)$$

În tabela 6.2 se dau valorile raportului $\frac{C}{B}$ în funcție de dimensiunile secțiunii.

Tabela 6.2

Valorile raportului $\frac{C}{B}$										
Forma secțiunii										
$\frac{a}{b}$	—	∞	3	2	1,5	1	—	—	—	—
$\frac{b}{a}$	—	—	—	—	—	1	1,5	2	3	∞
$\frac{C}{B}$	0,77	0	0,135	0,254	0,403	0,651	0,906	1,058	1,215	1,51

În cazul arcurilor solicate la răsucire $\mathfrak{M} \neq 0$; $P=0$, relațiile de calcul devin:

$$\begin{aligned} \Delta\varphi &= \frac{\pi \mathfrak{M} D_0 n_0}{\cos \alpha_0} \left(\frac{\sin^2 \alpha_0}{C} + \frac{\cos^2 \alpha_0}{B} \right); \\ f &= \frac{\pi \mathfrak{M} D_0^3 n_0}{2} \left(\frac{1}{C} - \frac{1}{B} \right) \sin \alpha_0; \\ \Delta D &= \frac{\mathfrak{M} D_0^3}{2 \cos \alpha_0} \left(2 \frac{\sin^2 \alpha_0}{C} + \frac{\cos^2 \alpha_0}{B} \right). \end{aligned} \quad (6.19)$$

6.2.2. Arcuri elicoidale supuse la deformații mari

În cazul solicitării arcului cu forțe axiale P și cupluri mari, aceasta continuă să aibă o formă elicoidală, însă parametrii geometrici principali ai arcului deformat diferă de cei inițiali.

Pentru dimensionare, este necesar să se țină seama de dimensiunile D și α , pe care le primește arcul încărcat.

Folosind aceleași notații și relații ca în cazul deformațiilor mici, se pot determina parametrii arcului cu deformații mari.

Deplasarea axială (săgeata) a capetelor arcului:

$$f = H - H_0 = l (\sin \alpha - \sin \alpha_0). \quad (6.20)$$

Unghiul de rotire relativă al suprafeței frontale:

$$\Delta \varphi = \varphi_n - \varphi_{n_0} = 2l \left(\frac{\cos \alpha}{D} - \frac{\cos \alpha_0}{D_0} \right). \quad (6.21)$$

Variația curburii barei:

$$\Delta \kappa = \kappa - \kappa_0 = \frac{2 \cos^2 \alpha}{D} - \frac{2 \cos^2 \alpha_0}{D_0} \quad (6.21, a)$$

Variația torsiunii barei:

$$\Delta k = k - k_0 = \frac{\sin 2\alpha}{D} - \frac{\sin 2\alpha_0}{D_0}. \quad (6.21, b)$$

Ținând seamă de relațiile stabilite pentru momentul încovoietor și pentru momentul de răsucire (6.9, a) și (6.9, b) precum și de relația de legătură între parametrii geometrice $\Delta \kappa$ și Δk și aceste momente (6.10) se obține:

$$\begin{aligned} 2B \left(\frac{\cos^2 \alpha}{D} - \frac{\cos^2 \alpha_0}{D_0} \right) &= - \frac{PD}{2} \sin \alpha + M \cos \alpha; \\ C \left(\frac{\sin 2\alpha}{D} - \frac{\sin 2\alpha_0}{D_0} \right) &= \frac{PD}{2} \cos \alpha + M \sin \alpha. \end{aligned} \quad (6.22)$$

În cazul arcurilor solicitate la întindere sau la compresiune $M = 0$, astfel că din relațiile (6.22) și (6.20) se obțin relațiile:

$$P = \frac{4B}{D_0^2} \sin (\alpha - \alpha_0) \frac{\cos^2 \alpha_0}{\cos \alpha} \cdot \frac{\frac{B}{C} \cos \alpha \cos \alpha_0 + \sin \alpha \sin \alpha_0}{\left(\frac{B}{C} \cos^2 \alpha + \sin^2 \alpha \right)^2} \quad (6.23)$$

$$f = l (\sin \alpha - \sin \alpha_0),$$

unde

$$l = \frac{H_0}{\sin \alpha_0} = \frac{\pi D_0 n_0}{\cos \alpha_0}. \quad (6.24)$$

Dacă suprafețele frontale sînt împiedicate de a se roti, capetele arcului fiind astfel fixate, încît nu se pot deplasa decît în sens longitudinal, adică $\Delta \varphi = 0$, rezultă:

$$\frac{\cos \alpha}{D} = \frac{\cos \alpha_0}{D_0} \quad \text{sau} \quad D = \frac{\cos \alpha}{\cos \alpha_0} D_0,$$

iar ecuațiile (6.23) devin:

$$\begin{aligned} P &= \frac{4 \cos^2 \alpha_0}{D_0^2} \left[C (\sin \alpha - \sin \alpha_0) - B \sin \alpha \left(1 - \frac{\cos \alpha_0}{\cos \alpha} \right) \right]; \\ f &= l (\sin \alpha - \sin \alpha_0). \end{aligned} \quad (6.25)$$

Aceste ecuații reprezintă caracteristica arcurilor de compresiune și tracțiune, în cazul fixării capetelor împotriva rotirii ($\Delta \varphi = 0$). În fig. 6.9 este reprezentată caracteristica arcului atît la întindere (curba b), cît și la compresiune (curba a). Caracteristica liniară trasată întrerupt la mijloc corespunde deplasărilor mici pentru $\alpha \approx \alpha_0$ și se numește caracteristică liniară aproximativă.

În proiectare se utilizează caracteristici specifice, care ajută la calcularea elementelor geometrice ale arcurilor, în speță la calcularea caracteristicii propriu-zise.

Notînd cu δ și q caracteristicile specifice, ale căror valori sînt date de relațiile:

$$\delta = \frac{f}{\pi D_0 n_0}; \quad (6.26)$$

$$q = \frac{PD_0^2}{4C} \quad (6.27)$$

și înlocuind aceste notații în ecuațiile caracteristicilor exprimate în relațiile (6.23) și (6.25), pentru arcurile de întindere și compresiune cu capătul liber (cu posibilitate de rotire relativă a suprafețelor frontale ale arcului $\Delta \varphi \neq 0$ sau cu capătul fixat, deci $\Delta \varphi = 0$), se pot obține caracteristicile specifice:

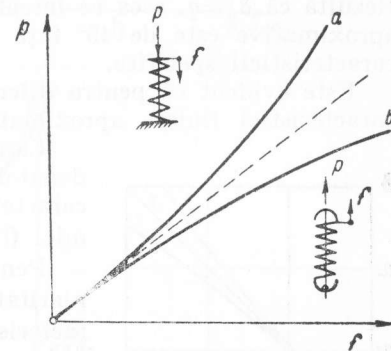


Fig. 6.9

$$\begin{aligned} q_{\Delta \varphi \neq 0} &= \sin (\alpha - \alpha_0) \frac{\cos^2 \alpha_0}{\cos \alpha} \frac{\cos \alpha \cos \alpha_0 + \frac{C}{B} \sin \alpha \sin \alpha_0}{\left(\cos^2 \alpha + \frac{C}{B} \sin^2 \alpha \right)^2}; \\ q_{\Delta \varphi = 0} &= \cos^2 \alpha_0 \left[(\sin \alpha - \sin \alpha_0) - \frac{B}{C} \sin \alpha \left(1 - \frac{\cos \alpha_0}{\cos \alpha} \right) \right]; \\ \delta &= \frac{\sin \alpha - \sin \alpha_0}{\cos \alpha_0}. \end{aligned} \quad (6.28)$$

Dacă se cunosc parametrii δ și q , se pot ușor determina săgeata și forța. Astfel:

$$f = \pi D_0 n_0 \delta; \quad P = \frac{4C}{D_0^3} q. \quad (6.29)$$

O astfel de caracteristică specifică se construiește pornind de la cunoașterea pantei de înclinare inițială α_0 și a formei secțiunii transversale a sîrmei, ceea ce permite cunoașterea raportului rigidității $\frac{C}{B}$. Efectuînd calculele pentru diferite valori ale lui α variabil se obțin valorile parametrilor caracteristicii specifice, din care se pot apoi ușor obține caracteristicile reale ale arcului studiat. În fig. 6.10 este reprezentată o astfel de caracteristică specifică pentru $\alpha_0 = 15^\circ$, curba 1 corespunzînd la întindere, curba 2 la compresiune, iar curba 3 fiind curba caracteristicii liniare aproximative, pentru unghiul $\alpha_0 \approx 15^\circ$. Ținînd seamă de relația (6.16), aplicabilă în domeniul deformațiilor mici, se obține:

$$f_1 = \frac{\pi P D_0^3 n_0}{4C} \text{ sau } \frac{f_1}{\pi D_0 n_0} = \frac{P D_0^3}{4C}. \quad (6.30)$$

Rezultă că $\delta_0 = q$, ceea ce înseamnă că înclinarea caracteristicii liniare aproximative este de 45° față de axele de coordonate ale diagramei caracteristicii specifice.

Este evident că pentru diferite valori ale unghiului α_0 vor rezulta caracteristici liniare aproximative diferite.

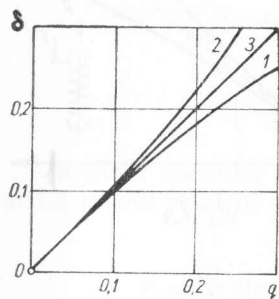


Fig. 6.10

Caracteristicile specifice exprimate în coordonatele $\delta-q$ sînt neliniare și abaterile de la caracteristica liniară aproximativă sînt foarte mici (fig. 6.11, a).

Pentru a pune mai bine în evidență neliniaritatea caracteristicilor se construiesc caracteristicile arcului în coordonate $(\delta - \delta_0)$ și $(q - \delta_0)$, așa cum se arată în fig. 6.11, b. Ținînd seamă că $q = \delta_0$ rezultă că determinarea parametrului δ_{max} se obține prin însumarea abscisei cu ordonata, adică, folosind notațiile din fig. 6.11: $(\delta - \delta_0) + q = \delta$, sau pentru valoarea maximă $\delta_{max} = OB + BA$.

În calculul de proiectare se determină deplasarea capătului arcului între două poziții limită (inițial A și final B) de lucru ale arcului. În acest caz, folosind notațiile din fig. 6.11, c, se obține:

$$\delta_{max} = (OB' + BB') - (OA' + A'A). \quad (6.31)$$

Caracteristicile specifice de neliniaritate depind de valoarea unghiului inițial α_0 . În fig. 6.12, a și c sînt reprezentate caracteristicile specifice ale arcurilor de secțiune circulară cu capătul liber, iar în fig. 6.12, b și d, cu capătul fix pentru diferite valori ale unghiului inițial α_0 . Arcurile din fig. 6.12 a și b sînt pentru compresiune, iar cele din fig. 6.12, c și d pentru întindere.

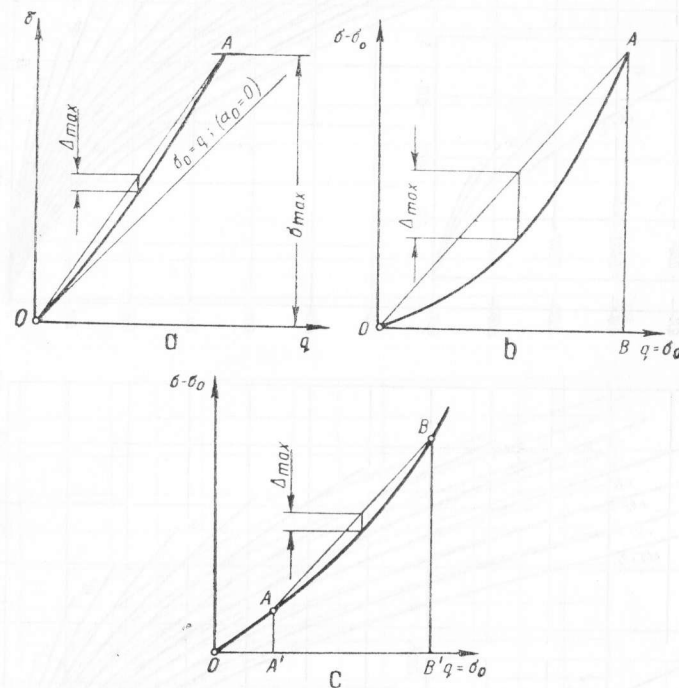


Fig. 6.11

În proiectare se utilizează la construcția caracteristicii arcului și noțiunea de abatere relativă (procentuală), dată de relația:

$$\eta = \frac{\Delta_{max}}{\delta_{max}} \quad (6.32)$$

unde Δ_{max} reprezintă maximumul diferenței dintre caracteristica liniară și cea neliniară.

Abaterea relativă dă o lungime mai clară a neliniarității caracteristicii arcului. Aceste abateri relative depind, de asemenea, de mărimea unghiului inițial. În fig. 6.13, *a* și *b* se dau diagramele abaterilor procentuale de neliniaritate în coordonatele δ , η în funcție de unghiul inițial α_0 pentru arcurile de compresiune; în fig. 6.13 *c* și *d* pentru

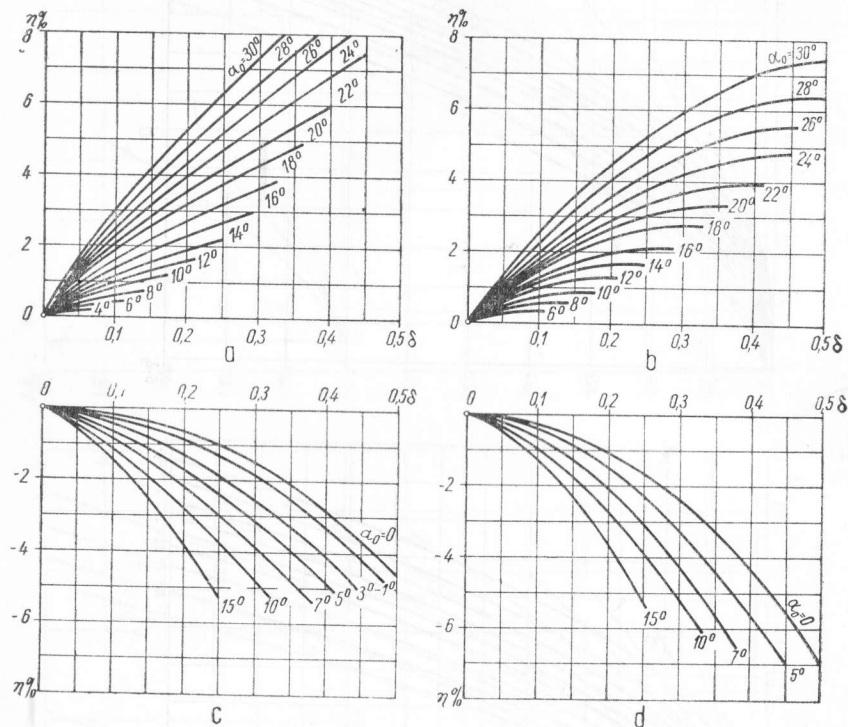


Fig. 6.13

arcurile de întindere. Diagramele din fig. 6.13 *a* și *c* corespund arcurilor cu capătul liber, iar cele din fig. 6.13, *b* și *d* celor cu capătul fixat.

Aceste diagrame și caracteristici specifice permit construirea rapidă a caracteristicilor reale și ușurează calculul de proiectare.

În cazul secțiunii dreptunghiulare, pentru determinarea caracteristicilor specifice și a caracteristicilor de neliniaritate, trebuie avut în vedere că în valorile parametrului q intervin și expresiile rigidității la încovoiere B și la răsucire C .

În fig. 6.14 sunt reprezentate astfel de caracteristici pentru secțiuni dreptunghiulare la care raportul laturilor este trei, comparate cu o secțiune circulară. Diagramele din fig. 6.14, *a* și *c* se referă la arcurile de compresiune, iar cele din fig. 6.14, *b* și *d* la cele de întindere.

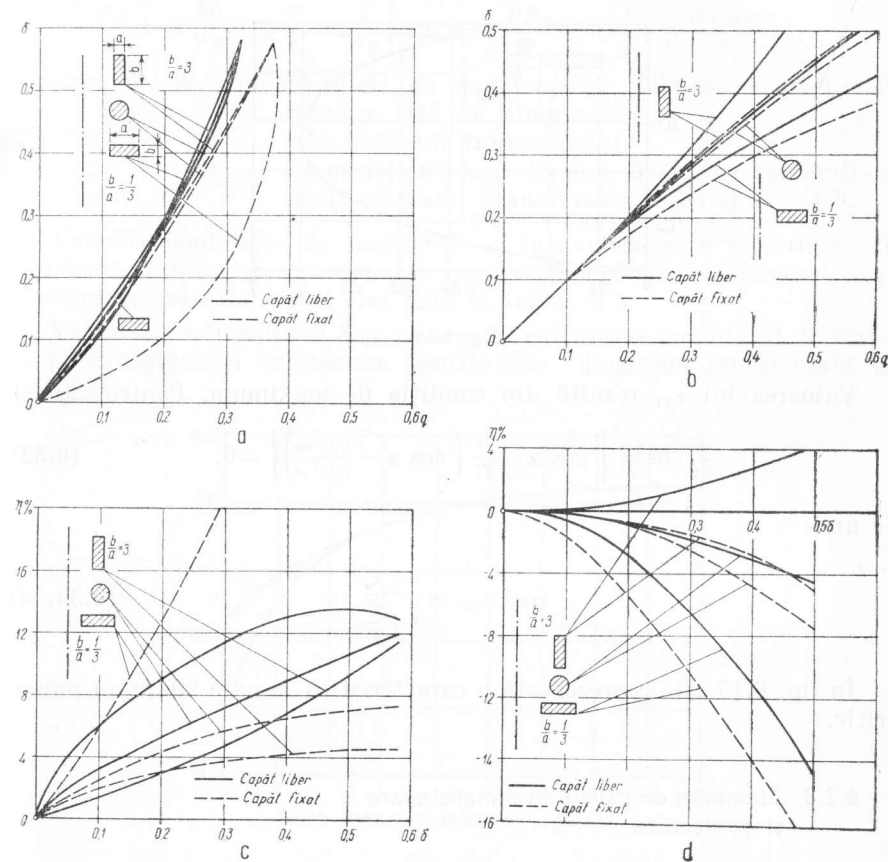


Fig. 6.14

Dacă raportul laturilor este mare și capătul arcului este fixat, astfel încât suprafețele frontale să nu se poată roti una față de alta, caracteristica arcului are un punct de întoarcere (de răsturnare) denumit punct

critic, care face ca funcționarea arcului să fie anormală, în sensul că, deși săgeata crește, forța scade. O dată cu creșterea săgeții variază și unghiul de înclinare al pantei spirei arcului. Unghiul corespunzător punctului critic se numește unghi critic. Acest fenomen apare mai ales la arcurile de compresiune.

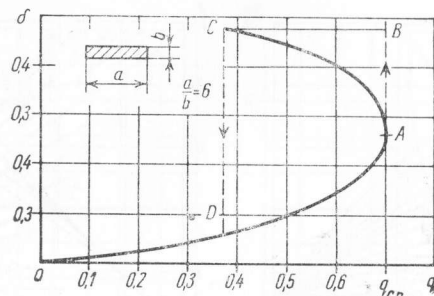


Fig. 6.15

Valoarea lui α_{cr} rezultă din condiția de maximum. Pentru $\Delta\varphi=0$

$$\frac{dq}{d\alpha} \cos^2 \alpha \left[\cos \alpha - \frac{B}{C} \left(\cos \alpha - \frac{\cos \alpha_0}{\cos^2 \alpha} \right) \right] = 0, \quad (6.33)$$

de unde

$$\cos^3 \alpha_{cr} = \frac{\cos \alpha_0}{1 - \frac{C}{B}} \quad (6.33, a)$$

În fig. 6.15 este reprezentată o caracteristică în care apare un punct critic.

6.2.3. Elemente de calcul de dimensionare și proiectare

Considerînd cazul general al unui arc elicoidal cilindric, solicitat de o forță axială P și de un cuplu M aplicat în planul suprafețelor frontale și ținînd seama de relațiile (6.9, a), (6.9, b) și (6.9, c), rezultă că spirele arcului sînt sollicitate simultan la răsucire, la încovoiere, la întindere și la forfecare. Într-o secțiune transversală oarecare dintr-o

spiră a arcului apar eforturi unitare normale și eforturi unitare tangențiale, ale căror expresii sînt:

$$\sigma = -\frac{M_i}{W_i} + \frac{N}{A} = \frac{-1}{W} \left[M \cos \alpha - \frac{PD}{2} \sin \alpha \right] + \frac{P \sin \alpha}{A} \quad (6.34)$$

$$\tau = \frac{M_t}{W_d} + \beta \frac{T}{A} = \frac{1}{W_d} \left[\sin \alpha + \frac{PD_n}{2} \cos \alpha \right] + \beta \frac{D \cos \alpha}{A},$$

în care: W , W_d sînt modulele de rezistență la încovoiere, respectiv răsucire față de binormală;

A — aria secțiunii transversale;

β — un coeficient care depinde de forma secțiunii în cazul secțiunii transversale circulare $\beta=1,3$.

Valorile modulelor de rezistență la încovoiere și a modulelor de rezistență la răsucire, precum și a rigidităților B și C la încovoiere și răsucire necesare în calcul sînt date în tabela 6.3.

Valoarea coeficienților ξ și η necesari calculului modului de rezistență și rigidității la răsucire rezultă din diagrama reprezentată în fig. 6.16.

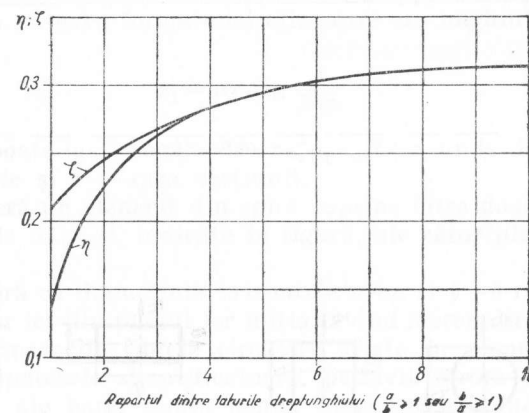

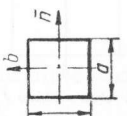
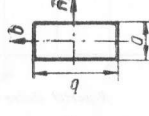
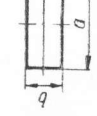


Fig. 6.16

Raza de curbură ρ a spirei arcului cilindric elicoidal are o influență deosebită asupra legii de repartiție a eforturilor unitare tangențiale în secțiunile transversale, astfel că în fibra interioară, efortul unitar tangențial este mai mare decît în fibra exterioară a spirei.

Valorile caracteristicilor auxiliare necesare pentru calculul de rezistență și rigiditate al arcurilor elicoidale

Forma secțiunii transversale a spirii și poziția ei față de axa arcului	B	C	W	W_d
	$\frac{\pi d^4}{64} E$	$\frac{\pi d^4}{32} G$	$\frac{\pi d^3}{32}$	$\frac{\pi d^3}{16}$
	$\frac{a^4}{12} E$	$0,141 a^4 G$	$\frac{a^3}{6}$	$0,208 a^3$
	$\frac{ba^3}{12} E$	$\eta_1 ba^3 G$	$\frac{ba^2}{6}$	ζba^2
	$\frac{ba^3}{12} E$	$\eta_1 ab^3 G$	$\frac{ba^2}{6}$	ζab^2

Observație. Valorile coeficienților η și ζ sînt date pe diagrama din fig. 6.16 în funcție de raportul dintre lungimea laturii mari a dreptunghiului și lungimea laturii mici

Dacă se consideră o spirală deschisă de forma unei bare toroidale încărcată prin două forțe aplicate în direcția axei longitudinale, a arcului, chiar pe axă, acționînd asupra spirei prin două pîrghii considerate absolut rigide I și II (fig. 6.17, a), și permanent orizontale, legate de capetele spirei, aceasta se deformează și ia forma unei bare elicoidale.

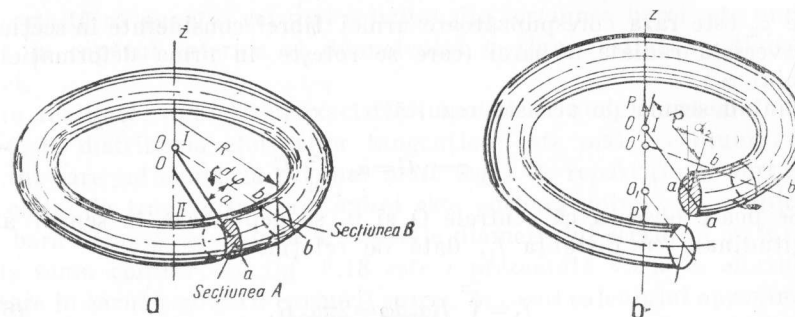


Fig. 6.17

Dacă se consideră o fibră circulară de rază ρ_1 din această bară, după deformare, ea va avea forma unei elice care are unghiul de înclinare al spirei:

$$\alpha_1 = \arctg \frac{h}{2\pi\rho_1} \quad (6.35)$$

Raza ρ_1 poate lua valorile $R-r \leq \rho_1 \leq R+r$, unde R este raza axei barei toroidale și r — raza secțiunii.

Se consideră un element din spirală cuprins între două secțiuni transversale radiale A și B, indicate în figură, ale căror plane fac între ele unghiul $d\varphi$.

Se consideră că diametrele orizontale $a-a$ și $b-b$ rămîn tot timpul orizontale, dar ies din planul lor inițial avînd mereu direcția normalelor la elicele formate de fibrele circulare aflate în planul median.

Folosind ipotezele simplificatoare, potrivit cărora secțiunile transversale plane ale barei rămîn mereu plane, păstrîndu-se dimensiunile inițiale (unghiul α_1 este mic) și potrivit cărora o secțiune a barei se rotește în jurul diametrului orizontal cu un unghi α_2 mic (fig. 6.17, b), astfel ca să fie mereu normală pe elicea formată de fibra centrală a secțiunii, se poate deduce că, datorită deformațiilor, fibrele nu mai sînt perpendiculare pe secțiunile transversale și că în aceste secțiuni apar eforturi tangențiale în toate punctele, cu excepția punctului central.

Dacă se consideră elementul de spirală cuprins între secțiunile A și B , lungimea unei fibre aflate la distanța ρ_1 de axa longitudinală este $\rho_1 d\varphi$. Unghiul de alunecare este dat de relația:

$$\gamma = \frac{\rho_2 \alpha_2 d\varphi}{\rho_1 d\varphi} = \frac{\rho_2 \alpha_2}{\rho_1}, \quad (6.36)$$

unde ρ_2 este raza corespunzătoare urmei fibrei considerate în secțiunea transversală radială a barei (care se rotește în urma deformăției cu unghiul α_2).

Ținând seama de aceasta rezultă:

$$\tau = \gamma G = \alpha_2 \frac{\rho_2}{\rho_1} G. \quad (6.37)$$

Se poate observa că centrele O și O_1 se deplasează în sensul axei longitudinale cu distanța f_1 , dată de relația:

$$f_1 = \int_0^{2\pi} R \alpha_2 d\varphi = 2\pi \alpha_2 R. \quad (6.38)$$

Se poate observa, de asemenea, că toate fibrele au într-o secțiune aceeași deplasare.

Lucrul mecanic efectuat de forțele exterioare este acumulat ca energie de deformare prin răsucire. Deci:

$$\frac{P f_1}{2} = \frac{M_t^2 2\pi R}{2GI_p} = \frac{P^2 R^3 2\pi}{2GI_p},$$

de unde

$$f_1 = \frac{2\pi R^3 P}{GI_p}. \quad (6.39)$$

Din relațiile (6.37), (6.38) și (6.39) rezultă:

$$\tau = \frac{PR^2 \rho_2}{I_p \rho_1} = \frac{M_t \rho_2}{I_p} \cdot \frac{R}{\rho_1}, \quad (6.40)$$

de unde

$$\tau_{max} = \frac{M_t r}{I_p} \cdot \frac{R}{R-r} = \frac{M_t}{W_p} \cdot \frac{j}{j-1} \quad (6.40, a)$$

apare în fibra interioară;

$$\tau_{min} = \frac{M_t r}{I_p} \cdot \frac{R}{R+r} = \frac{M_t}{W_p} \cdot \frac{j}{j+1} \quad (6.40, b)$$

apare în fibra exterioară.

Cu j s-a notat raportul de formă al arcului dat de relația $j = \frac{R}{r} = \frac{D}{d}$.

Valoarea uzuală a acestui raport este: $4 \leq j \leq 20$.

Se observă că:

$$\frac{\tau_{max}}{\tau_{min}} = \frac{j+1}{j-1}. \quad (6.41)$$

Rezultă că punctul cel mai solicitat din secțiunea barei este punctul aflat la capătul interior al diametrului secțiunii, aflat pe diametrul spirei.

În realitate, datorită inexactității ipotezelor simplificatoare expuse anterior, distribuția eforturilor tangențiale este mai accentuată. Elementul care influențează cel mai mult legea de repartitie a eforturilor în secțiunile transversale ale spirei este curbura spirei. Dacă spira ar fi o bară dreaptă, eforturile la capetele diametrului secțiunii ar fi egale și de semn contrar. În fig. 6.18 este reprezentată variația eforturilor unitare în cazul neglijării curburii spirei, în cazul calculului aproximativ

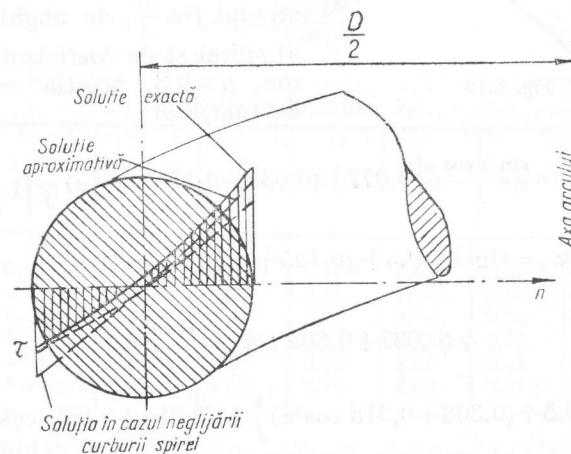


Fig. 6.18

și în cazul unui calcul exact. Eroarea care rezultă între calculul aproximativ și cel exact este de aproximativ 3%.

Pentru arcurile de întindere și compresie ($P \neq 0$ și $M = 0$), N. A. Cernîșev, pe baza unui studiu aprofundat, a stabilit valorile eforturilor unitare în punctul cel mai solicitat din capătul interior al diametrului

secțiunii transversale a spirei (fig. 6.19), care are direcția normalei. Eforturile unitare au fost stabilite după componentele lor pe direcțiile tangentei normalei și binormalei.

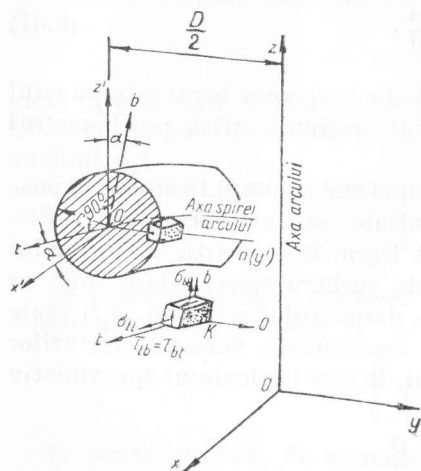


Fig. 6.19

$$\sigma_{bb} = k_{bp} \frac{PD}{W}; \quad \sigma_{tt} = k_{tp} \frac{PD}{W}$$

și

$$\tau_{tb} = \tau_{bt} = k_p \frac{PD}{W_p} \quad (6.42)$$

Valorile coeficienților k_{bp} , k_{tp} și k_p , în care litera p indică solicitarea numai la forța axială, iar indicii b și t — direcția axelor, au fost calculate de N. A. Cernîșev. Ținînd seamă de raportul de formă al arcului $j = \frac{D}{d}$, de unghiul de pantă al spirei și de coeficientul lui Poisson, $\mu=0,3$, aceștia se determină cu relațiile:

$$k_{bp} = \frac{\sin \alpha \cos \alpha}{j} \left[0,077 + (0,036 + 0,171 \cos^2 \alpha) \frac{1}{j} \right];$$

$$k_{tp} = \sin \alpha \left[0,5 + (0,125 + 0,436 \cos^2 \alpha) \frac{1}{j} + \right.$$

$$\left. + (0,037 + 0,305 \cos^2 \alpha) \frac{\cos^2 \alpha}{j^2} \right]; \quad (6.43)$$

$$k_p = \cos \alpha \left[0,5 + (0,308 + 0,318 \cos^2 \alpha) \frac{1}{j} + (0,356 + 0,082 \cos^2 \alpha) \frac{\cos^2 \alpha}{j^2} \right].$$

Valorile acestor coeficienți, calculate pentru diferite valori ale lui α și j , sînt date în tabela 6.4.

În cazul secțiunilor transversale dreptunghiulare (v. fig. din tabela 6.6), pentru eforturile în punctul K , în mijlocul laturii interioare, se folosește relația:

$$\tau = k_p' \frac{PD}{a^2 b} \quad (6.44, a)$$

Tabela 6.4

Valorile coeficienților k_{bp} , k_{tp} , k_p

$j = \frac{D}{d}$	K_{bp}			k_{tp}			k_p		
	0°	15°	30°	0°	15°	30°	0°	15°	30°
3	0,000	0,012	0,017	0,000	0,183	0,328	0,757	0,719	0,20
4	0,000	0,008	0,011	0,000	0,168	0,312	0,683	0,652	0,567
6	0,000	0,005	0,007	0,000	0,154	0,290	0,616	0,590	0,518
8	0,000	0,003	0,005	0,000	0,147	0,279	0,584	0,560	0,496
10	0,000	0,002	0,004	0,000	0,144	0,273	0,567	0,544	0,483

Valorile lui k_p' , pentru $\mu=0,3$, sînt date în tabela 6.5, în funcție de rapoartele D/a și b/a .

Un alt punct periculos este punctul N , mijlocul laturii perpendiculare pe axa arcului. În acest caz

$$\tau = k_p'' \frac{PD}{a^2 b} \quad (6.44 b)$$

Tabela 6.5

Valorile coeficienților k_p'

$\frac{D}{a} \backslash \frac{b}{a}$	$\frac{1}{3}$	$\frac{1}{2}$	0,8	1,0	1,25	1,5	2,0	3,0
4	6,16	4,53	3,47	3,16	2,93	2,78	2,58	2,35
5	5,80	4,28	3,29	3,01	2,80	2,67	2,48	2,25
6	5,55	4,10	3,18	2,90	2,70	2,58	2,40	2,19
7	5,37	3,98	3,09	2,84	2,65	2,52	2,35	2,15
8	5,24	3,83	3,03	2,78	2,60	2,48	2,31	2,10
10	5,06	3,76	2,94	2,70	2,53	2,41	2,26	2,06

Valorile lui k_p'' nedepinzînd de curbura, sînt date în tabela următoare, în funcție de raportul $\frac{b}{a}$.

$\frac{b}{a}$	$\frac{1}{3}$	$\frac{1}{2}$	0,8
k_p''	5,73	4,06	2,83

În calculele de proiectare a arcurilor de întindere sau de compresiune se folosesc, pentru cazurile unghiului pantei de înclinare $\alpha \approx 8^\circ - 10^\circ$, relații aproximative acoperitoare, care țin seama de faptul că valorile eforturilor unitare în punctele periculoase să nu depășească limitele admisibile. Deoarece efortul principal maxim este efortul dat de momentul de răsucire produs de forța axială, iar celelalte eforturi fiind neglijabile, ținând seama de relația (6.40):

$$\tau_{max} = k\tau_0 \leq \tau_a,$$

unde

$$\tau_0 = \frac{M_t}{W_p} \quad (6.45)$$

și τ_a este rezistența admisibilă.

Valorile coeficientului k se stabilesc în funcție de valoarea raportului de formă $j = \frac{D}{d}$ cu relația.

$$k = \frac{4j+2}{4j-2} \quad (6.46)$$

Pentru calculele preliminare se poate lua $k=1,2\dots 1,4$.

Pentru dimensionarea arcurilor cu secțiune circulară, pătrată sau dreptunghiulară, se folosesc relațiile date în tabela 6.6

În această tabelă, în afară de relațiile eforturilor unitare maxime τ_0 și a sarcinii maxime P_{max} , pe care o suportă arcul, se dau relațiile

pentru săgeata $f = \frac{P}{c}$; rigiditatea arcului $c = \frac{P}{f} = \frac{4C}{\pi d^3 n}$, precum și energia potențială totală acumulată de arc

$$L = \frac{Pf}{2}.$$

Coeficienții Δ și φ din aceste relații sînt dați de tabela 6.7.

Arcurile destinate acumulării unei cantități de energie W_0 trebuie să fie încărcate de la montajul inițial cu o sarcină P_{min} , astfel că expresia cantității de energie este următoarea:

$$W_0 = \frac{P_{max} + P_{min}}{2} x, \quad (6.47)$$

unde cursa de lucru

$$x = \frac{P_{max} + P_{min}}{c}. \quad (6.48)$$

La proiectarea arcurilor elicoidale cilindrice de întindere cu spire de secțiune circulară se folosesc următoarele relații de calcul: efortul maxim admisibil

$$\tau_{max} = k \frac{P_{max} D}{2W_p} = \frac{8k P_{max} D}{\pi d^3} = \frac{8k P_{max} j}{\pi d^2} \leq \tau_a; \quad (6.49)$$

încărcarea maximă admisă

$$P_{max} = \frac{\pi d^3}{8kD} \tau_a = \frac{\pi d^2}{8kj} \tau_a; \quad (6.50)$$

săgeata maximă

$$f_{max} = \frac{8 P_{max} D^3 n}{G d^4}; \quad (6.51)$$

săgeata la 1 kgf pentru o spiră

$$f' = \frac{8j^3}{Gd}; \quad (6.51 a)$$

$$\text{diametrul sîrmei } d = 1,6 \sqrt{\frac{k P_{max} j}{\tau_a}}; \quad (6.52)$$

diametrul mediu al arcului

$$D = jd; \quad (6.53)$$

lungimea porțiunii active a arcului complet comprimat

$$H = nd = \frac{Gfk}{\pi \tau_a j^2}. \quad (6.54)$$

În cazul arcurilor de întindere trebuie avut în vedere faptul că la execuție ele trebuie să se înfășoare astfel ca spirele să fie în contact între ele; În acest scop, la execuție sîrma este răsucită și îndoită, încît spirele să se apese una pe alta. Caracteristica arcului la întindere se poate considera liniară (fig. 6.20).

Pînă la o anumită mărime a forței de întindere $P = P_0$, denumită forța de întindere prealabilă, apăsarea între spire există, dar scade în intensitate treptat pînă cînd dispăre. Dacă forța de întindere crește, arcul continuă să se deformeze avînd rigiditatea (caracteristica) unui arc fără apăsare între spire.

Mărimea forței P_0 se determină cu relațiile:

$$P_0 \approx \frac{P_{lim}}{3} \text{ pentru } d < 5 \text{ mm}; \quad (6.55)$$

$$P_0 \approx \frac{P_{lim}}{4} \text{ pentru } d > 5 \text{ mm}.$$

Forța de întindere poate crește pînă la o sarcină limită P_{lim} care se stabilește, în funcție de sarcina maximă, pe baza relației:

$$P_{lim} \approx (1,05 \dots 1,2) P_{max}. \quad (6.56)$$

Tabela 6.7

Coefficienții auxiliari din relațiile pentru calculul arcurilor de întindere-compresiune cu spire de secțiune dreptunghiulară

$\frac{a}{b}$ sau $\frac{b}{a}$	ξ	Δ	φ
1,0	2,404	5,567	0,154
1,5	1,442	2,670	0,136
1,75	1,195	2,086	0,132
2,0	1,016	1,713	0,131
2,5	0,775	1,256	0,133
3,0	0,625	0,995	0,135
4,0	0,442	0,698	0,142
6,0	0,278	0,439	0,151
10,0	0,160	0,254	0,157

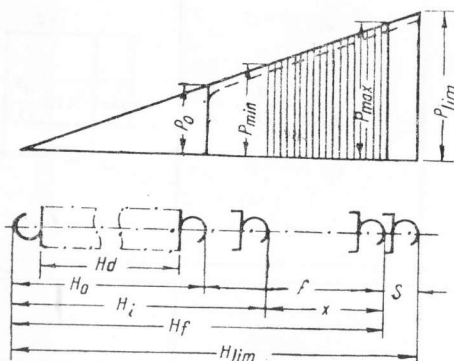


Fig. 6.20

funcție de modul de lucru al arcului și practic depinde de modul de montare al arcului. P_{min} ; lungimea arcului corespunzătoare sarcinii maxime, H_f ; H_i , lungimea arcului corespunzătoare sarcinii minime, cursa de lucru, x ; $x = nf' (P_{max} - P_{min})$;

cursa de reglare, s ;

lungimea ocupată de spirele active, H_d ; $H_d = nd$;

La această sarcină arcul are o lungime H_{lim} , care este lungimea maximă admisibilă.

Arcul trebuie astfel montat, încît la depășirea lungimii H_{lim} , respectiv a forței limită P_{lim} , întinderea mai departe a arcului să fie oprită prin limitatoare de cursă.

Pentru studiul arcului de întindere mai prezintă interes și mărimile:

sarcina maximă utilă, pe baza căreia se face calculul de rezistență al arcului, P_{max} ; sarcina minimă, care se stabilește în funcție de modul de lucru al arcului, P_{min} ; sarcina necesară pentru a comprima arcul, astfel încît spirele să fie în contact, P_{lim} ;

lungimea arcului descărcat, H_0 ;

lungimea totală a arcului descărcat, H'_0 ; $H'_0 = nd + z$, unde z este lungimea cîrligelor;

lungimea sîrmei necesare executării arcului l_s ;

$$l_s = \frac{\pi D n}{\cos \alpha} + l_z, \quad (6.57)$$

unde l_z este lungimea sîrmei necesare executării cîrligelor de prindere.

În cazul arcurilor supuse la compresiune trebuie avut în vedere faptul că ele se execută cu jocuri δ_0 între spire, pentru ca arcul să aibă săgeată. În fig. 6.21 este reprezentată caracteristica arcului, care este liniară pe cea mai mare porțiune a ei. În vecinătatea sarcinii P_{lim} ea poate fi neliniară.

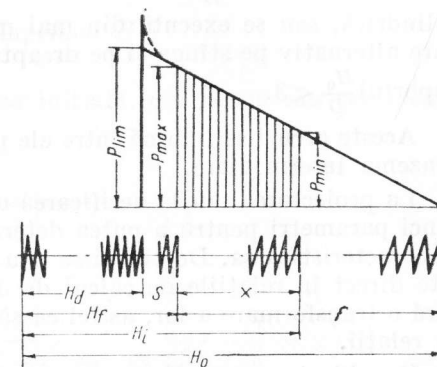


Fig. 6.21

Se remarcă în acest caz, mărimile:

— sarcina maximă (de calcul) P_{max} ; $P_{max} \approx (0,8 \dots 0,9) P_{lim}$;

— lungimea arcului comprimat de P_{max} , H_f ;

— sarcina minimă de lucru care se stabilește în funcție de modul de montare al arcului P_{min} ;

— sarcina necesară pentru a comprima arcul, astfel încît spirele să fie în contact, P_{lim} ;

— lungimea de montare corespunzătoare sarcinii P_{min} , H_i ;

— lungimea arcului comprimat pînă la atingerea spirelor, H ; $H = (n_t - 0,5)d$;

— numărul total de spire active și moarte, n_t ;

— lungimea arcului neîncărcat, H_0 ; $H_0 = H + n(p - d)$;

— jocul între spire la sarcina maximă, $\delta_n = \frac{s}{n} \approx (0,1 \dots 0,2) \frac{f}{n}$;

— pasul, p ; $p = d + \frac{f_{max}}{n} + \delta_n$; mărimea pasului se ia între $\frac{D}{3}$ și $\frac{D}{2}$;

— lungimea sîrmei necesară executării arcului, l_s ;

$$l_s = \frac{\pi D n_t}{\cos \alpha}. \quad (6.57, a)$$

Unghiul de pantă al spirei arcului neîncărcat se ia

$$\alpha = 6^\circ \dots 9^\circ.$$

Deoarece în cazul arcurilor de compresiune lungi apare pericolul ca acestea să-și piardă stabilitatea, trebuie ca $\frac{H_0}{D} \leq 3$.

Dacă raportul $\frac{H_0}{D} > 3$, arcul se montează pe un dorn sau într-o cămașă cilindrică, sau se execută din mai multe arcuri componente cu înfășurare alternativ pe stînga și pe dreapta, astfel ca pentru fiecare să existe raportul $\frac{H_0}{D} < 3$.

Aceste arcuri se îmbină între ele prin inele de centrare care formează reazeme intermediare.

La proiectarea sau la verificarea unui arc este necesar să se cunoască cinci parametri pentru a putea determina toate elementele constructive și caracteristica sa. De obicei se dau unele condiții care nu pot fi folosite direct în relațiile de calcul de dimensionare stabilite și este necesară o transformare a lor, astfel ca să se ajungă la parametrii care apar în relații.

De obicei se dau:

- materialul utilizat la executarea arcului, în funcție de condițiile de lucru ale arcului;
- diametrul locașului (carcasei) arcului și diametrul axului pe care se montează arcul;
- înălțimea inițială a arcului H_1 ;
- înălțimea finală a arcului H_2 ;
- unele date despre sarcină (forța inițială, forța finală sau forța medie, sau energia potențială între două înălțimi determinate ale arcului).

Aceste date trebuie prelucrate astfel încît să poată fi introduse în relațiile de calcul date în tabela 6.6.

Astfel, diametrul exterior al arcului, ținînd seama de creșterea sa în timpul comprimării, se ia în raport cu diametrul carcasei dat (fig. 6.22):

$$D_e = D + d = 0,96 D_c. \quad (6.58)$$

De asemenea trebuie avută în vedere lungimea cerută de construcția arcului complet comprimat;

$$H \approx nd.$$

În cazul arcurilor cu puține spire, cu capetele tăiate, se ia constructiv $\frac{H}{H_1} \approx 0,80$.

În acest fel se cunosc:

- modulul de elasticitate G ;
- diametrul exterior, D_e , al spirei și se poate aproxima diametrul mediu, D al spirei;
- lungimea arcului complet comprimat H ;
- cursa $x = H_1 - H_2$;
- sarcina dată care poate fi cea inițială, cea finală sau cea medie (P_1 , P_2 sau P_m).

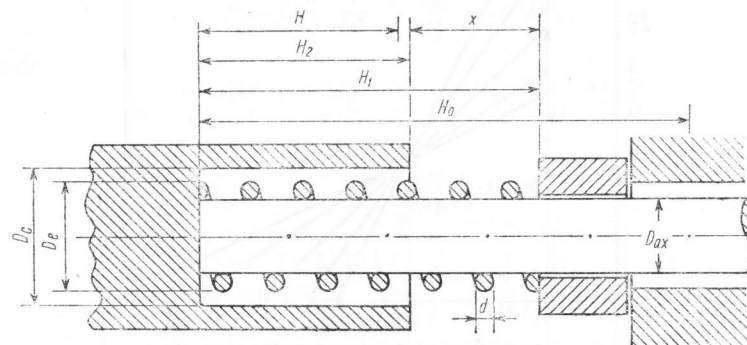


Fig. 6.22

Din acești cinci parametri, patru sînt determinați, iar al cincilea nefiind determinat, permite realizarea multor variante. Pentru a determina complet cei cinci parametri este necesar să se introducă un coeficient, denumit factor de precomprimare, dat de relația:

$$\lambda = \frac{f_1}{x}, \quad (6.59)$$

unde f_1 este săgeata inițială a arcului.

Acest factor de precomprimare oglindește condițiile de lucru ale arcului. Astfel, dacă $\lambda = 0$, este vorba despre un arc a cărui săgeată inițială este nulă, iar dacă $\lambda = 1$, arcul are o săgeată inițială egală cu săgeata normală de lucru. Variația lui λ atrage după sine variația eforturilor unitare. În fig. 6.23 se poate vedea corelația dintre sarcină și săgeată în funcție de factorul de precomprimare pentru o sarcină inițială P_1 dată.

Dacă sarcina se aplică lent, coeficienții de rigiditate la sarcină și la efort unitar tangențial τ_0 sînt constanți, astfel că pentru două poziții ale capătului arcului încărcat cu o sarcină constantă se poate scrie relația:

$$\tau_1 = \frac{f_1}{f_2} \tau_2. \quad (6.60)$$

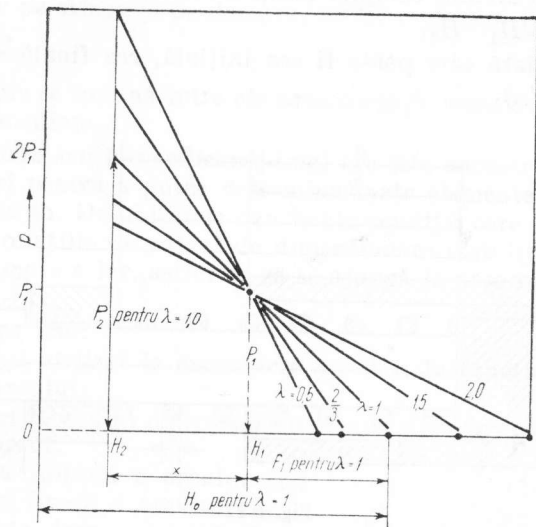


Fig. 6.23

În acest caz, notînd cursa cu $x = f_2 - f_1$ se obține:

$$\tau_1 = \frac{\lambda}{1+\lambda} \tau_2. \quad (6.61)$$

Pentru a găsi soluția optimă de construcție și montare a arcului este necesar să se determine variația mărimilor eforturilor limită τ_1 și τ_2 în funcție de factorul de precomprimare.

Folosind relațiile de rigiditate la sarcină și la eforturi unitare tangențiale τ_0 pentru arcuri cu secțiune circulară (tabela 6.6), se poate determina efortul unitar τ în funcție de G , D , H , P și x (cei cinci parametri cunoscuți). Adică, folosind relațiile:

$$\begin{aligned} c = \frac{P}{f} &= \frac{G}{8} \frac{d^4}{D^3} \frac{1}{n}; \\ c_1 = \frac{\tau_0}{f} &= \frac{G}{\pi} \frac{d}{D^2} \frac{1}{n} \end{aligned} \quad (6.62)$$

și adaptîndu-le pentru situația comprimării maxime, ele devin:

$$\begin{aligned} \frac{P_2}{f_2} &= \frac{G}{8} \frac{d^4}{D^3} \frac{1}{n}, \\ \frac{\tau_{02}}{f_2} &= \frac{G}{\pi} \frac{d}{D^2} \frac{1}{n} \text{ sau} \\ d &= \frac{\tau_{02}}{f_2} \frac{\pi}{G} n D^2. \end{aligned} \quad (6.63)$$

Făcînd calculul rezultă:

$$P_2 = f_2 \frac{G}{8} \frac{1}{D^3} \frac{1}{n} \frac{\tau_{02}^4}{f_2^4} \frac{\pi^4}{G^4} n^4 D^8, \quad (6.64)$$

de unde

$$\tau_{02}^4 = \frac{8 P_2 f_2^3 G^3}{\pi^4 D^5 n^3} = \frac{8 P_2 f_2^3 G^3}{\pi^4 D^5} \frac{d^3}{H^3} = \frac{8 P_2 f_2^3 G}{\pi^4 D^5} \frac{1}{H^3} \frac{8 P_2 D}{\pi \tau_{02}}. \quad (6.65)$$

sau

$$\tau_{02}^5 = \frac{8^2}{\pi^5} \frac{P_2^2 f_2^3 G^3}{D^4 H^3}, \quad (6.66)$$

sau

$$\tau_{02} = 0,731 G^{0,6} \left(\frac{P_2}{D^2} \right)^{0,4} \left(\frac{f_2}{H} \right)^{0,6}. \quad (6.67)$$

În această expresie, elementul care condiționează relația este forța P_2 . De regulă, în aplicații practice se impun: forța limită inițială P_1 , sarcina finală P_2 sau sarcina medie $P_m = \frac{P_1 + P_2}{2}$.

Pentru a analiza comportarea arcului în funcție de sarcina P_1 , este necesar să se determine efortul τ_2 în funcție de P_1 și de factorul de precomprimare.

Știînd că

$$\begin{aligned} \frac{P_2}{f_2} &= \frac{P_1}{f_1}, \\ f_2 &= f_1 + x \text{ și } \lambda = \frac{f_1}{x}, \end{aligned} \quad (6.68)$$

relația lui τ_{02} în funcție de P_1 devine:

$$\tau_{02} = 0,731 G^{0,6} \left(\frac{P_1}{D^2} \right)^{0,4} \left(\frac{x}{H} \right)^{0,6} \frac{1+\lambda}{\lambda^{0,4}}, \quad (6.69)$$

în care λ se alege funcție de condițiile de funcționare ale arcului.

Valoarea minimă a lui τ_2 corespunde lui $\lambda = \frac{2}{3}$.

În fig. 6.24 se arată calitativ variația mărimilor τ_2 și τ_1 , în funcție de factorul de precomprimare, pentru o sarcină inițială P_1 , precum și mărimea necesară a diametrului sîrmei d pentru diferite valori ale factorului de comprimare. Din diagramă se poate trage concluzia că

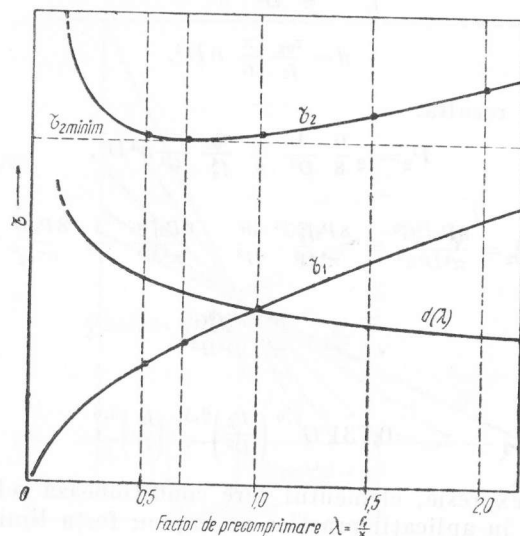


Fig. 6.24

arcul este solicitat convenabil pentru o precomprimare a cărei factor λ este cuprins între 0,5 și 1,5, cea mai convenabilă situație fiind pentru $\lambda \approx 1$.

Dacă se impune sarcina finală, efortul τ_2 în funcție de factorul de comprimare

$$\tau_{02} = 0,731 G^{0,6} \left(\frac{P_2}{D^2} \right)^{0,4} \left(\frac{x}{H} \right)^{0,6} (1 + \lambda)^{0,6}. \quad (6.70)$$

Se poate observa că minimum acestei expresii are loc pentru $\lambda = 0$. În fig. 6.25 se reprezintă calitativ variația eforturilor τ , în funcție de factorul de precomprimare λ , cînd este impusă sarcina finală (curba continuă).

Dacă se impune o anumită sarcină medie:

$$P_m = \frac{P_1 + P_2}{2}, \text{ ținînd seamă că } f_2 = f_1 + x \text{ și } \frac{f_1}{x} = \lambda, \text{ se obține, :}$$

$$\tau_{02} = 0,731 G^{0,6} \left[\frac{P_m}{D^2} \right]^{0,4} \left[\frac{x}{H} \right]^{0,6} \frac{1 + \lambda}{(0,5 + \lambda)^{0,4}}, \quad (6.71)$$

a cărei valoare minimă are loc pentru $\lambda = 0$, adică

$$\tau_{02 \min} = 0,965^{0,6} \left(\frac{P_m}{D^2} \right)^{0,4} \left(\frac{x}{H} \right)^{0,6}. \quad (6.72)$$

Variația lui τ_2 funcție de λ este dată în fig. 6.25, prin curba linie-punct, cînd este impusă sarcina medie.

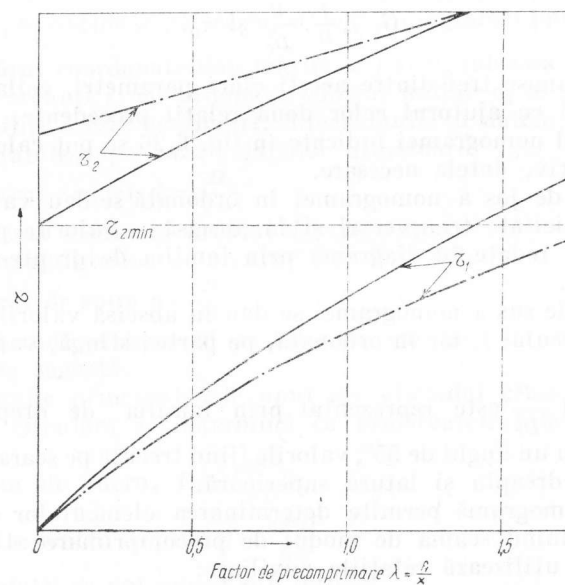


Fig. 6.25

În concluzie, se poate reține ideea foarte importantă, potrivit căreia la arcurile la care se condiționează forța finală P_2 sau forța medie este bine ca factorul de precomprimare să fie cît mai mic, cît mai aproape de zero.

Transformind aceste relații în mod convenabil, ele se pot aduce la o formă care permite transpunerea calculelor în nomograme, care permit un calcul expeditiv de proiectare al arcurilor.

Știind că: $D_e = D + d$,

$$H = dn,$$

$$j = \frac{D}{d},$$

relațiile rigidităților de sarcină și de efort unitar τ_0 se pot scrie sub forma:

$$\frac{P}{D_e^2} = \frac{G}{8} \frac{f}{H} \frac{1}{j^2(j+1)^2}; \quad \tau_0 = \frac{G}{\pi} \frac{f}{H} \cdot \frac{1}{j^2}. \quad (6.73)$$

Grupind factorii componenți ca în aceste relații se observă că apar alți cinci parametri importanți în calculul arcului:

$$G, j, \frac{f}{H}, \frac{P}{D_e^2} \text{ și } \tau_0.$$

Dacă se cunosc trei dintre acești cinci parametri, ceilalți doi pot fi determinați cu ajutorul celor două relații precedente.

Cu ajutorul nomogramei indicate în fig. 6.26 se pot calcula, în mod foarte expeditiv, datele necesare.

În partea de jos a nomogramei în ordonată se dau valorile modului de elasticitate transversal și în abscisă — valorile parametrului f/H , care sînt redată în diagramă prin familia de drepte înclinate la stînga cu 45° .

În partea de sus a nomogramei se dau în abscisă valorile raportului de formă al arcului j , iar în ordonată, pe partea stîngă, valorile efortului unitar τ_0 .

Parametrul $\frac{P}{D_e^2}$ este reprezentat prin familia de drepte înclinate spre dreapta cu un unghi de 55° , valorile fiind trecute pe scara de pe latura verticală din dreapta și latura superioară.

Această nomogramă permite determinarea elementelor constructive ale arcului, ținînd seamă de modul de precomprimare al arcului. În acest scop se utilizează relațiile auxiliare:

$$\lambda = \frac{f_1}{x};$$

$$\frac{f_2}{H} = (\lambda + 1) \frac{x}{H}; \quad (6.74)$$

$$\frac{P_2}{D_e^2} = \frac{(\lambda + 1)}{\lambda} \frac{P_1}{D_e^2}, \text{ cazul în care se impune sarcina inițială; } \quad (6.75)$$

$$\frac{P_2}{D_e^2} = \frac{(\lambda + 1)}{\lambda + 0,5} \cdot \frac{P_m}{D_e^2} \text{ cazul în care se impune sarcina medie. } \quad (6.76)$$

Pentru determinarea parametrilor corespunzători unui arc este necesar să se cunoască: G , D_e , H , $x = H_1 - H_2$ și P_1 , P_m sau P_2 .

Prin alegerea unui factor de precomprimare λ se determină săgeata specifică $\frac{f_2}{H}$, corespunzătoare încărcării maxime.

Se determină în diagrama inferioară punctul de coordonate $(G, \frac{f_2}{H})$ corespunzătoare arcului căutat.

Se determină parametrul sarcinii specifice pentru încărcarea maximă: $\frac{P_2}{D_e^2}$. Intersectînd liniile înclinate la stînga cu cele înclinate la dreapta, corespunzătoare punctului de coordonate $(G, \frac{f_2}{H})$ și sarcinii specifice a arcului $\frac{P^2}{D_e^2}$, se obține în partea superioară a diagramei punctul de intersecție, ale cărui coordonate dau mărimile j și τ_0 (abscisa fiind raportul de formă al arcului j , iar ordonata, efortul unitar τ_0 în spira arcului). O dată stabiliți acești parametri, dimensiunile și datele principale ale arcului se stabilesc pe baza relațiilor următoare:

- diametrul sîrmei $d = \frac{D_e}{j+1}$
- diametrul mediu al arcului $D = D_e - d$;
- diametrul interior al arcului $D_i = D_e - 2d$;
- numărul de spire $n = \frac{H}{d}$.

O altă metodă se bazează pe folosirea constantelor de sarcină și a constantei de săgeată.

Dimensiunile principale ale unui arc elicoidal cilindric din sîrmă de secțiune circulară se determină cu următoarele relații:

$$\begin{aligned} &\text{— sarcina de lucru, } P = \frac{\pi d^3 \tau_0}{8D}; \\ &\text{— săgeata pentru o spirală, } f = \frac{8PD^3}{Gd^4}. \end{aligned} \quad (6.77)$$

Aceste relații se pot aduce sub forma:

$$\begin{aligned} PD &= \frac{\pi d^3 \tau_0}{8} = Q; \\ f &= \frac{8PD^3}{Gd^4} = \frac{8PjD^2}{Gd^3} = \frac{\pi \tau_0 jD}{G} = SjD, \end{aligned} \quad (6.78)$$

$$\text{unde } S = \frac{\pi \tau_0}{G} \text{ este constanta săgeții. } \quad (6.79)$$

Valorile constantelor Q și S depind de materialul și de diametrul sîrmei din care este executat arcu, ele sînt date în tabelele 6.8 și 6.9. Pentru a obține valorile maxime ale eforturilor unitare, pe baza acestor relații trebuie să se țină seama de relația dată anterior:

$$\tau_{max} = k\tau_0 \leq \tau_a.$$

Valori constantei S

Tabela 6.8

Materialul sîrmei	Efortul unitar perpendicular	Modulul de elasticitate transversal, G kgf/cm ²	S
Sîrmă patentată (fost coardă de pian)	5 000	$8 \cdot 10^5$	0,01964
Sîrmă din oțel inoxidabil	3 580	$7,5 \cdot 10^5$	0,01500
Sîrmă din arc din nichel	4 300	$7,9 \cdot 10^5$	0,01714
Sîrmă de arc din monel	3 580	$6,8 \cdot 10^5$	0,01654
Sîrmă de arc din bronz cu beriliu	2 500	$5,15 \cdot 10^5$	0,01527
Sîrmă de arc din bronz fosforos	2 500	$4,3 \cdot 10^5$	0,01833
Sîrmă de arc din alamă	1 790	$3,56 \cdot 10^5$	0,01571

Tabela 6.9

Valori constantei Q pentru sîrmă patentată și oțel inoxidabil, kgf.cm

Diametrul sîrmei, d , cm	Sîrmă patentată	Oțel inoxidabil	Diametrul sîrmei, d , cm	Sîrmă patentată	Oțel inoxidabil
0	1	2	0	1	2
0,025	0,0370	0,0265	0,140	6,170	4,420
0,028	0,0494	0,0352	0,150	7,625	5,450
0,032	0,0640	0,0457	0,160	4,270	6,640
0,033	0,0815	0,0582	0,170	11,17	7,970
0,036	0,102	0,0727	0,180	13,28	9,470
0,041	0,152	0,108	0,190	15,65	11,20
0,046	0,216	0,154	0,202	18,98	13,50
0,051	0,297	0,212	0,216	22,8	16,25
0,056	0,396	0,282	0,229	27,0	19,35
0,061	0,514	0,366	0,241	31,9	22,7
0,066	0,653	0,465	0,254	37,1	26,5
0,074	0,904	0,656	0,269	41,2	31,6
0,079	1,107	0,789	0,285	52,1	32,5
0,084	1,342	0,948	0,300	61,0	43,6
0,089	1,590	1,360	0,315	70,7	50,5
0,094	1,880	1,345	0,330	81,5	58,1
0,099	2,185	1,573	0,350	97,5	69,6
0,104	2,560	1,828	0,370	115,8	82,5
0,109	2,955	2,109	0,390	135,0	96,7
0,114	3,390	2,410	0,410	157,6	112,7
0,119	3,845	2,760	0,432	182,5	130,5
0,124	4,358	3,120	0,460	216,5	154,5
0,129	4,925	3,520			

La proiectare, utilizînd relațiile (6.78) și (6.79) și tabelele 6.8, 6.9 și 6.10 cu valorile constantelor Q și S , se pot determina dimensiunile principale ale arcuului.

Tabela 6.10

Valori constantei Q pentru nichel, monel, bronz și alamă, kgf.cm

Diametrul sîrmei, d , cm	Nichel	Monel	Bronz cu beriliu și bronz fosforos	Alamă
0,025	0,0319	0,0265	0,0185	0,0132
0,028	0,0459	0,0382	0,0268	0,0191
0,032	0,0636	0,0530	0,0371	0,0267
0,036	0,0910	0,0758	0,0532	0,0379
0,040	0,0128	0,106	0,0747	0,0533
0,045	0,182	0,152	0,106	0,0760
0,051	0,258	0,215	0,150	0,107
0,057	0,367	0,306	0,214	0,153
0,064	0,515	0,430	0,301	0,214
0,072	0,735	0,614	0,430	0,307
0,081	1,042	0,868	0,607	0,435
0,091	1,475	1,225	0,859	0,612
0,102	2,085	1,735	1,215	0,867
0,115	2,960	1,460	1,726	1,232
0,129	4,180	3,470	2,430	1,736
0,145	5,940	4,940	3,460	2,460
0,163	8,380	6,970	4,890	3,500
0,183	10,96	9,880	6,940	4,940
0,205	16,82	14,00	9,800	7,000
0,230	23,55	19,80	13,86	9,880
0,259	33,70	28,10	19,65	14,05
0,290	47,80	39,80	27,87	18,90
0,326	67,60	56,40	39,50	29,10
0,366	95,50	79,70	55,80	39,90
0,410	135,0	112,5	78,80	55,00
0,462	191,5	160,0	111,4	79,70
0,518	272,0	226,0	158,6	113,0
0,580	384,0	320,0	224,0	160,0

În funcție de forma capetelor arcuului de compresiune se pot folosi relațiile din tabela 6.11.

În cazul arcuului de întindere este necesar să se verifice rezistența capetelor (cîrligului) de prindere al arcuului.

În fig. 6.27 sînt date două variante constructive pentru forma capetelor arcuilor de întindere. Punctele în care se produc eforturile periculoase sînt indicate în figură cu literele A și A' . În punctul A efortul periculos este efortul unitar de răsucire și este dat de relația:

$$\tau = \frac{16Pr}{\pi d^3} \frac{4j_1 - 1}{4j_1 - 4}, \quad (6.80)$$

unde

$$j_1 = \frac{2r}{d}$$

iar în A' efortul unitar periculos de încovoiere este dat de relația:

$$\sigma = \frac{32PrK_1}{\pi^3 d} + \frac{4P}{\pi d^2} \quad (6.81)$$

Valorile coeficientului K_1 sînt date în diagrama din fig. 6.28.

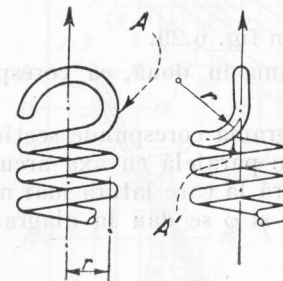


Fig. 6.27

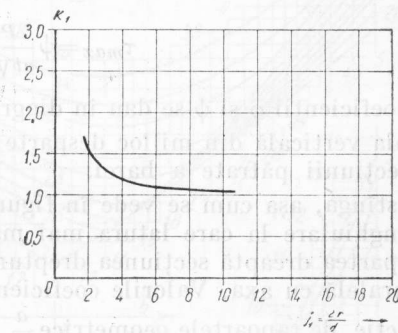


Fig. 6.28

6.3. Calculul arcurilor de întindere-compresiune de secțiune dreptunghiulară

În cazul sarcinilor mari, pentru executarea arcurilor puternice se utilizează bare de secțiune dreptunghiulară sau de secțiune pătrată.

Pentru calculele aproximative de dimensionare se utilizează relațiile de calcul date în tabela 6.6.

Pentru un calcul de rezistență mai precis este necesar să se țină seamă de influența curburii spirelor cu secțiune dreptunghiulară și de raportul laturilor secțiunii, precum și de poziția secțiunii față de axa arcului.

În general, eforturile unitare maxime apar în mijlocul laturii interioare a secțiunii paralele cu axa longitudinală a arcului. În foarte puține cazuri, și aceasta numai în cazul unui raport mare între latura

perpendiculară pe axă și cea paralelă cu axa, se poate întâmpla ca punctul periculos, de efort unitar maxim, să apară pe latura superioară, perpendiculară pe axa secțiunii spirei.

În general, pentru calculele de proiectare curente, folosirea relațiilor din tabela 6.6 și a valorilor coeficienților necesari din tabela 6.7 sînt satisfăcătoare.

Pentru un calcul expeditiv, se dau expresiile săgeții și efortului unitar tangențial maxim:

$$f = \varphi \frac{nD^3P}{Ga^2b^2};$$

$$\tau_{max} = \psi \frac{PD}{ab\sqrt{ab}},$$

unde coeficienții φ și ψ se dau în diagrama din fig. 6.29.

Linia verticală din mijloc desparte diagrama în două, ea corespunzînd secțiunii pătrate a barei.

În stînga, așa cum se vede în figură, diagrama corespunde secțiunii dreptunghiulare la care latura mai mare este paralelă cu axa arcului, iar în partea dreaptă secțiunea dreptunghiulară la care latura mai mică este paralelă cu axa. Valorile coeficienților ψ și φ se dau în diagramă, în funcție de rapoartele geometrice $\frac{a}{b}$ și $\frac{D}{a}$.

În general, arcurile elicoidale cilindrice din bară cu secțiune dreptunghiulară sînt utilizate ca arcuri de compresiune. Determinarea dimensiunilor și modul de calcul de proiectare indicat pentru arcurile executate din sîrmă cu secțiune circulară sînt valabile și în acest caz. Lungimea arcului comprimat la maximum este dat de relația:

$$H_c = (n_t - 0,5)b, \quad (6.83)$$

unde n_t este numărul total de spire.

Pasul

$$p = b + \frac{f_{max}}{n} + \delta_p, \quad (6.84)$$

unde δ_p este jocul între spire; $\delta_p = (0,12 \dots 0,15)b$.

Valorile maxime sînt indicate pentru arcuri care lucrează la oboseală. Bara din care se execută arcu nu trebuie să depășească lungimea de 10–12 m.

Pentru a realiza ușor formarea și rectificarea spirelor moarte, trebuie avut în vedere că la un capăt, după strunjire sau după rectificare, spira

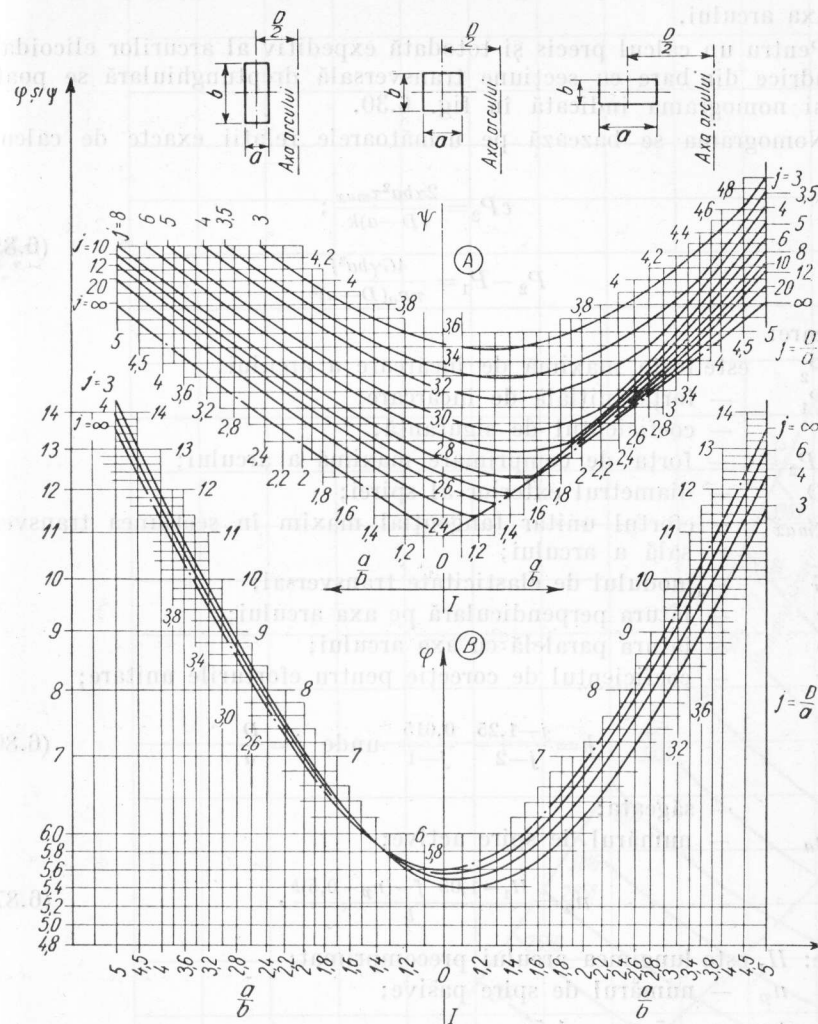


Fig. 6.29

trebuie să aibă o înălțime egală cu un sfert din latura secțiunii paralele cu axa arcului.

Pentru un calcul precis și totodată expeditiv al arcurilor elicoidale cilindrice din bare cu secțiune transversală dreptunghiulară se poate folosi nomograma indicată în fig. 6.30.

Nomograma se bazează pe următoarele relații exacte de calcul:

$$\begin{aligned} cP_2 &= \frac{2\alpha b a^2 \tau_{max}}{(D-a)k}; \\ P_2 - P_1 &= \frac{4G\gamma b a^3 f}{\pi n_a (D-a)^3} \end{aligned} \quad (6.85)$$

în care:

- P_2 — este forța maximă de încărcare a arcului;
- P_1 — forța inițială de încărcare;
- c — coeficientul de siguranță;
- cP_2 — forța de comprimare maximă a arcului;
- D — diametrul exterior al spirei;
- τ_{max} — efortul unitar tangențial maxim în secțiunea transversală a arcului;
- G — modulul de elasticitate transversal;
- a — latura perpendiculară pe axa arcului;
- b — latura paralelă cu axa arcului;
- k — coeficientul de corecție pentru eforturile unitare;

$$k = \frac{j-1,25}{j-2} \frac{0,615}{j-1} \text{ unde } j = \frac{D}{a} \quad (6.86)$$

- f — săgeata;
- n_a — numărul de spire active;

$$n_a = \frac{H_1 - 1,05}{b} \frac{f - (n_p - 0,5)b}{b}, \quad (6.87)$$

unde: H_1 este lungimea arcului precomprimat;

n_p — numărul de spire pasive;

pentru: $n_a < 5$, $n_p = 1,5$;

$n_a = 5 \dots 10$; $n_p = 2$;

$n_a > 10$; $n_p = 2,5$;

α și γ sînt coeficienți ai momentului de inerție polar dați în fig. 6.31, funcție de raportul $\frac{a}{b}$.

Aceste relații se pot transforma convenabil pentru folosirea nomogramei prin introducerea notațiilor A și B :

$$A = \frac{D^2 \tau_{max}}{c P_2}; \quad B = \frac{P_2 - P_1}{D^2} \frac{H_1 - 1,05 f (n_p - 0,5) b}{f} \quad (6.88)$$

În nomogramă, pe laturile verticale sînt reprezentate scările pentru parametrii A și B , iar pe latura orizontală de jos — scara raportului $\frac{a}{b}$.

Valorile pentru parametrii B și A sînt reprezentate în funcție de valorile raportului de formă al arcului $\frac{D}{a}$ și anume: curbele înclinate care coboară de la stînga spre dreapta corespund parametrului B , iar cele care urcă de la stînga spre dreapta corespund parametrului A . Folosind relațiile pentru A și B se pot determina în mod expeditiv elementele arcului.

În cazul secțiunii dreptunghiulare se produce o deformare a secțiunii în urma înfășurării arcului, astfel că ea devine trapezoidală. Baza mare a trapezului

$$b_2 = 0,48 \quad b \frac{(2D-a)}{D-a}$$

și se află la exteriorul arcului.

Pentru a realiza arcuri economice este bine să se folosească bare cu secțiune trapezoidală, a căror bază mare b_2 și baza mică b_1 să rezulte din relația:

$$b_2 = 2b - \frac{2,09 (D-a)}{2D-a}; \quad (6.89)$$

$$b_1 = 2b - b_2,$$

în care b este latura rezultată din calculul secțiunii dreptunghiulare, paralelă cu axa arcului.

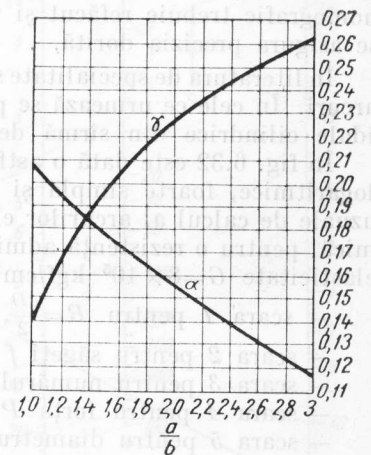


Fig. 6.31

Sarcina P_{max} , în kgf, pentru un efort unitar tangențial $\tau = 7000 \text{ kgf/cm}^2$

6.4. Nomograme pentru calculul arcurilor elicoidale, cilindrice din sîrmă cu secțiune circulară

Pentru a efectua un calcul rapid și corect al arcurilor elicoidale, se recomandă utilizarea diagramelor, a nomogramelor, nomogramelor mecanizate, riglelor de calcul pentru arcuri etc.

La folosirea nomogramelor pentru calculul arcurilor trebuie avut în vedere faptul că precizia calculului grafic nu este prea mare și, din această cauză, pentru arcurile cu condiții de funcționare deosebite, la care caracteristica nu trebuie să admită abateri prea mari, calculul nomografic trebuie refăcut și verificat prin calculul analitic, pentru a se asigura precizia dorită.

În literatura de specialitate se întâlnesc foarte multe nomograme pentru arcuri. În cele ce urmează se prezintă numai câteva pentru arcuri elicoidale cilindrice din sîrmă de secțiune circulară.

În fig. 6.32 este dată o astfel de nomogramă, după Dubbel, cu scări logaritmice, foarte simplă și expeditivă, întocmită pe baza relațiilor uzuale de calcul al arcurilor elicoidale cu panta de înclinare a spirelor mică, pentru o rezistență admisibilă $\tau_a = 3\,500 \text{ kgf/cm}^2$ și un modul de elasticitate $G = 8 \times 10^5 \text{ kgf/cm}^2$. Această nomogramă cuprinde:

- scara 1 pentru $R = \frac{D}{2}$, cu valori de la 3 pînă la 100 mm;
- scara 2 pentru săgeți f cuprinse între 1 și 200 mm;
- scara 3 pentru numărul de spire active n_a de la 1 pînă la 100;
- scara 4 pentru forța P de la 0,1 pînă la 1 000 kgf;
- scara 5 pentru diametrul sîrmei d de la 0,5 pînă la 30 mm;
- linia de bază 6 negradată, pe care se determină punctul de legătură între scări.

Dacă pentru efortul unitar admisibil se iau alte valori decît $\tau_a = 3\,500 \text{ kgf/cm}^2$, rezultatele obținute pentru diametrul sîrmei și numărul de spire active se corectează cu ajutorul coeficienților indicați în tabela 6.12.

Pentru a lucra cu această diagramă se procedează astfel:

Se presupune că s-a dat sarcina la care este supus arcu: $P = 700 \text{ kgf}$, iar diametrul mediu $D = 50 \text{ mm}$. Se unesc cele două valori prelungind linia pînă intersectează scara 5, unde se citește valoarea lui $d \approx 13 \text{ mm}$. Valoarea săgeții dorite ($f = 10 \text{ mm}$) se unește, printr-o linie, care trece prin punctul determinat pe linia de bază de prima, cu scara 3 pe care se determină numărul de spire active $n_a = 4$.

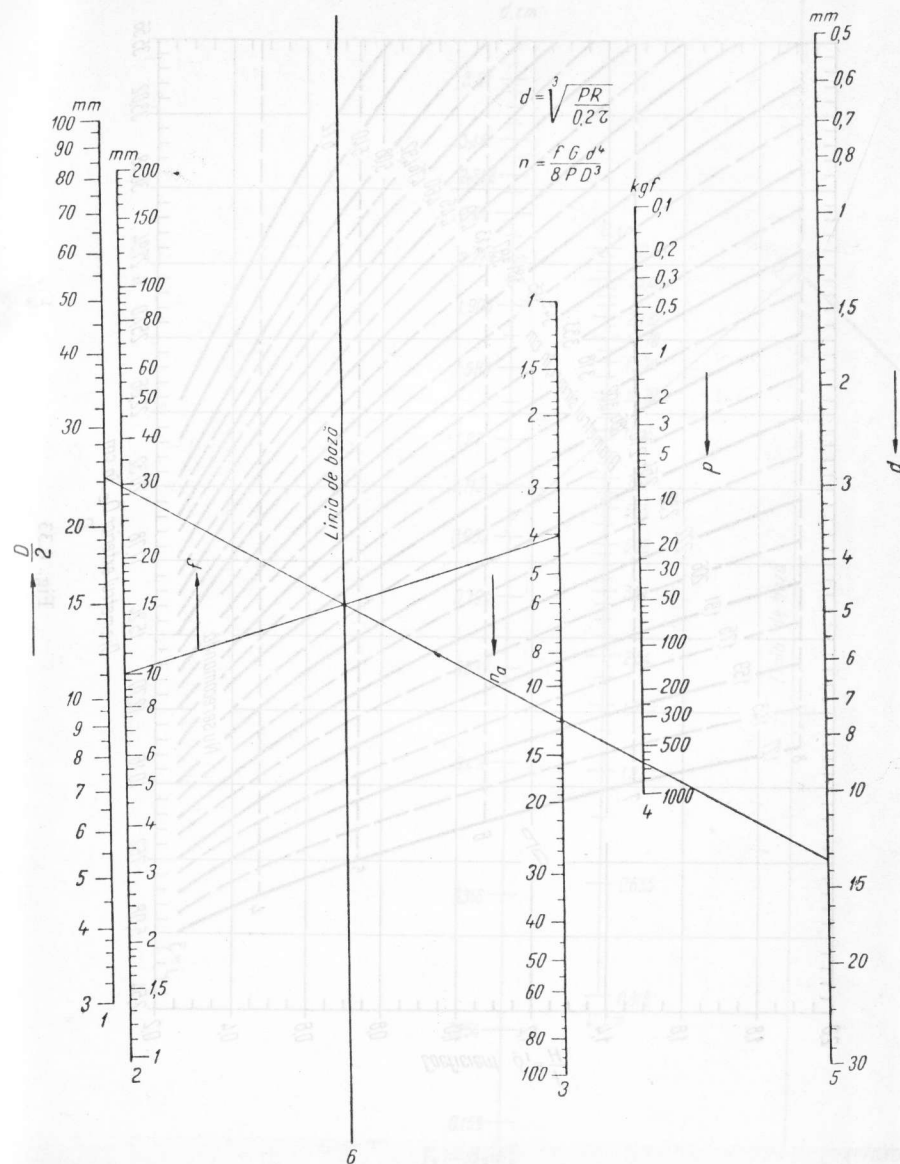


Fig. 6.32

O altă nomogramă utilizată îndeosebi pentru arcuri grele, solicitate la forțe mari de pînă la 10 000 kgf, care au dimensiuni mari și ca atare sînt executate din bare de oțel cu secțiune circulară, de diametre variind de la 12 pînă la 60 mm, iar diametrul spirii arcului mergînd pînă la aproximativ 260 mm, este indicată în fig. 6.33, *a* și *b*.

Această nomogramă este destinată arcurilor supuse numai la compresiune. Ea se compune din două părți corelate între ele. La baza acestei nomograme stau relațiile de calcul ale următoarelor

$$\text{sarcina } P = \frac{\pi \tau d^3}{8D}; \quad (6.90)$$

$$\text{săgeata pe o spirală activă } f_1 = \frac{\pi \tau D^2}{Gd} \quad (6.91)$$

și săgeata pe o spirală, raportată la diametrul sîrmei:

$$\delta_1 = \frac{f_1}{d} = \frac{\pi \tau D^2}{Gd^2} = \frac{f}{H}. \quad (6.92)$$

Acest coeficient este de fapt raportul dintre săgeata arcului f și lungimea arcului activ, complet comprimat, H .

Nomograma este calculată pentru un efort unitar $\tau \approx 7\,000 \text{ kgf/cm}^2$, la comprimarea totală a arcului.

Parametrii cu care se lucrează în nomogramă se determină cu următoarele relații auxiliare:

lungimea arcului complet destins

$$H_0 = H(1 + \delta_1) + 1,5 d; \quad (6.93)$$

lungimea efectivă a arcului complet destins

$$H'_0 = H_0 - 1,5 d; \quad (6.94)$$

săgeata arcului calculată pentru o spirală activă

$$f_1 = \delta_1 d; \quad (6.95)$$

Tabela 6.12
Coeficienții de corecție
la nomograma din fig. 6.32

τ_a	Pentru diametrul d	Pentru numărul de spire active, n_a
2 500	1,12	1,57
2 750	1,08	1,38
3 000	1,05	1,23
3 250	1,025	1,10
3 500	1,00	1,00
3 750	0,98	0,92
4 000	0,96	0,84
4 150	0,94	0,77
4 500	0,92	0,72

săgeata arcului calculată pentru toate spirele active

$$f = \delta_1 H = \delta_1 dn. \quad (6.96)$$

În prima parte a nomogramei (fig. 6.33, a) sînt cuprinse:

- pe abscisă, scara diametrelor exterioare D_e ale spirei;
- pe ordonată, scara coeficientului δ_1 ;
- prin linii întrerupte paralele cu axa absciselor sînt indicate valo-

rile raportului de formă al arcului, $j = \frac{D}{d}$;

— o familie de curbe corespunzătoare diametrelor d ale sîrmei din care se execută arcul.

În partea a doua a diagramei (fig. 6.33, b) sînt indicate:

- pe scara absciselor diametrele exterioare D_e ale spirei;
- pe scara ordonatelor, valorile forțelor P_{max} corespunzătoare comprimării totale a arcului;
- o familie de curbe trasate întrerupt, corespunzătoare raportului

de formă al arcului, $j = \frac{D}{d}$;

— o familie de curbe trasate cu linie plină, corespunzătoare diametrului barei.

Prin folosirea celor două părți ale nomogramei se pot determina elementele arcului căutat.

În fig. 6.34 este reprezentată o nomogramă întocmită pentru arcuri executate din oțel cu modulul de elasticitate transversal cunoscut, $G = 8,1 \times 10^5$ kgf/cm². Această nomogramă este însoțită de o nomogramă ajutătoare, cu care se găsește coeficientul de corecție K , necesar determinării efortului unitar maxim, care apare în punctele periculoase.

Această nomogramă este construită pentru arcuri elicoidale cilindrice din sîrmă cu secțiune circulară de oțel cu diametre cuprinse între aproximativ 0,4 și 120 mm, diametrul spirei cuprins între 3 și 300 mm, sarcina de încărcare a arcurilor mergînd de la 0,045 pînă la 45 000 kgf. Nomograma cuprinde șase scări pentru: diametru mediu D al spirei; diametrul sîrmei, d , sarcina P ; efortul unitar la răsucire, τ ; factorul de corecție K ; efortul unitar maxim, corectat, ținînd seama de toate eforturile (forfecare, compresiune, încovoiere), τ_k . Nomograma cuprinde și o linie de bază fără scară, punctul determinat pe ea servind la trecerea de la scările din dreapta spre cele din stînga, sau invers.

În nomograma ajutătoare se determină coeficientul K în funcție de diametrul d al sîrmei și diametrul D al spirei.

Pentru a arăta cum se lucrează cu nomograma, se presupune că se cunosc $D = 5$ cm, $d = 0,6$ cm, $P = 50$ kgf și se cere să se determine efortul

unitar τ_k . Unind valorile corespunzătoare lui D și d pe nomograma ajutătoare, pe aceeași linie se determină K . Pe nomograma de bază se unește D cu d și se determină un punct pe linia de bază. Unind acest punct cu valoarea P , se determină o valoare τ . Aceasta se unește cu valoarea K determinată pe nomograma ajutătoare și se determină $\tau_k = 3\ 200$ kgf/cm² față de $\tau \approx 2\ 500$ kgf/cm², cît era efortul unitar necorectat.

În fig. 6.35 este reprezentată o nomogramă întocmită pentru arcuri elicoidale cilindrice din sîrmă cu secțiune circulară, care se pot executa din diferite materiale, al căror modul de elasticitate transversal este indicat în scara G . Nomograma este determinată pe baza relațiilor uzuale de calcul și cuprinde șapte scări gradate și două linii de bază care servesc la fixarea punctelor de legătură între scări. Scările folosite sînt:

- d , pentru diametrul sîrmei la valori cuprinse între 1,5 și 40 mm;
- D , pentru diametrul mediu al spirei la valori cuprinse între 3 și 300 mm;
- n , pentru numărul de spire active de la 0,5 pînă la 30 de spire;
- G , pentru modulul de elasticitate transversal;
- c , pentru rigiditatea arcului;
- P , pentru sarcina de încărcare a arcului la valori variînd de la 0,04 pînă la 45 000 kgf;
- f , pentru săgeata arcului la săgeți de la 0,2 pînă la 250 mm.

Modul de utilizare al nomogramei. Fie un arc cu $G = 8,5 \times 10^5$ kgf/cm², o rigiditate $c = 300$ kgf/cm, $d = 1$ cm și $D = 10$ cm. Se cere numărul spirilor active și săgeata, dacă este supus la 200 kgf. Se unește valoarea G cu valoarea c și se determină pe scara c_2 punctul A . Se unește valoarea lui d cu valoarea lui D , determinînd pe scara C_1 punctul B . Se unește A cu B și se determină $n = 1$. Se unește valoarea c cu valoarea lui P și se determină, în prelungirea liniei, valoarea lui $f \approx 1,8$ cm.

6.5. Analiza dimensională a arcurilor elicoidale, cilindrice din sîrmă cu secțiune circulară, din punctul de vedere al toleranțelor dimensionale ale arcurilor

La proiectarea arcurilor pe baza relațiilor uzuale de calcul se stabilesc dimensiunile nominale pentru diametrul sîrmei, d ; diametrul spirei, D ; numărul de spire active, săgețile corespunzătoare, precum și valoarea sarcinii de încărcare;

Trebuie avut în vedere însă că în procesul de fabricare al arcurilor apar o serie de situații care duc la unele abateri dimensionale, și astfel la modificări în comportarea acestora.

Dacă se consideră relația de calcul pentru determinarea forței de încărcare a arcului

$$P = \frac{Gfd^4}{8nD^3}, \quad (6.97)$$

se observă că valoarea sarcinii de încărcare, P , a arcului se schimbă o dată cu modificarea oricărui factor care intră în relație. Această modificare depinde de exponentul puterii, la care este ridicat factorul respectiv în relație, precum și de semnul abaterii de la valoarea nominală a factorului respectiv.

Se poate observa astfel că o abatere pozitivă a factorilor de la numărător determină o creștere pozitivă a valorii corespunzătoare sarcinii de încărcare P . În schimb, factorii de la numitor determină o creștere pozitivă a valorii sarcinii de încărcare P dacă au o abatere negativă.

În relația care dă sarcina de încărcare P , săgeata f corespunde unei anumite lungimi a arcului, H_0 și o dată cu schimbarea acestei lungimi se schimbă și săgeata. Din această cauză, în calculul de toleranțe se va avea în vedere abaterea de la lungimea nominală a arcului raportată la săgeată.

Dacă se notează abaterile diametrului sîrmei, diametrului spirei, numărului de spire active și al lungimii, respectiv cu Δd , ΔD , Δn și ΔH , creșterea procentuală a mărimii forței de comprimare a arcului este dată de relația exactă:

$$\frac{\Delta P(+)}{P_{max}} = \frac{\left(1 + \frac{\Delta H}{f}\right) \left(1 + \frac{\Delta d}{d}\right)^4}{\left(1 - \frac{\Delta n}{n}\right) \left(1 - \frac{\Delta D}{D}\right)^3} - 1. \quad (6.98)$$

Dezvoltînd parantezele după binomul lui Newton și neglijînd toți termenii de la puterea a doua în sus, se poate scrie:

$$\begin{aligned} \left(1 + \frac{\Delta d}{d}\right)^4 &= 1 + 4 \frac{\Delta d}{d}; \\ \left(1 - \frac{\Delta D}{D}\right)^3 &= 1 - 3 \frac{\Delta D}{D}. \end{aligned} \quad (6.99)$$

Creșterea procentuală a mărimii forței ia forma aproximativă:

$$\frac{\Delta P(+)}{P_{max}} = \frac{\left(1 + \frac{\Delta H}{f}\right) \left(1 + 4 \frac{\Delta d}{d}\right)}{\left(1 - \frac{\Delta n}{n}\right) \left(1 - 3 \frac{\Delta D}{D}\right)} - 1. \quad (6.100)$$

În cazul schimbării semnelor abaterilor se obține scăderea procentuală a mărimii forței de comprimare dată de expresiile:

$$\frac{\Delta P(-)}{P_{max}} = 1 - \frac{\left(1 - \frac{\Delta H}{f}\right) \left(1 - 4 \frac{\Delta d}{d}\right)^4}{\left(1 + \frac{\Delta n}{n}\right) \left(1 + \frac{\Delta D}{D}\right)^3} \quad (\text{relație exactă}), \quad (6.101)$$

sau

$$\frac{\Delta P(-)}{P_{max}} = 1 - \frac{\left(1 - \frac{\Delta H}{f}\right) \left(1 - 4 \frac{\Delta d}{d}\right)}{\left(1 + \frac{\Delta n}{n}\right) \left(1 + 3 \frac{\Delta D}{D}\right)} \quad (\text{relație aproximativă}). \quad (6.102)$$

Creșterea medie a mărimii forței este dată de relația:

$$\Delta P = \pm P \left(4 \frac{\Delta d}{d} + \frac{\Delta H}{f} + \frac{\Delta n}{n} + 3 \frac{\Delta D}{D} \right). \quad (6.103)$$

Creșterea probabilă este:

$$\Delta P = \pm P \sqrt{\left(4 \frac{\Delta d}{d}\right)^2 + \left(\frac{\Delta H}{f}\right)^2 + \left(\frac{\Delta n}{n}\right)^2 + \left(3 \frac{\Delta D}{D}\right)^2}. \quad (6.104)$$

În mod asemănător, pentru variația săgeții se pornește de la relația de calcul

$$f = \frac{8 P_0 n D^3}{G d^4} \quad (6.105)$$

și se obțin relațiile exacte:

$$\frac{\Delta f(+)}{f_{max}} = \frac{\left(1 + \frac{\Delta n}{n}\right) \left(1 + \frac{\Delta D}{D}\right)^3}{\left(1 - \frac{\Delta d}{d}\right)^4} - 1; \quad (6.106)$$

$$\frac{\Delta f(-)}{f_{max}} = 1 - \frac{\left(1 - \frac{\Delta n}{n}\right) \left(1 - \frac{\Delta D}{D}\right)^3}{\left(1 + \frac{\Delta d}{d}\right)^4}$$

și relațiile aproximative:

$$\frac{\Delta f(+)}{f_{max}} = \frac{\left(1 + \frac{\Delta n}{n}\right) \left(1 + 3 \frac{\Delta D}{D}\right)}{\left(1 - 4 \frac{\Delta d}{d}\right)}; \quad (6.107)$$

$$\frac{\Delta f(-)}{f_{max}} = \frac{\left(1 - \frac{\Delta n}{n}\right) \left(1 - 3 \frac{\Delta D}{D}\right)}{\left(1 + 4 \frac{\Delta d}{d}\right)}$$

Creșterea medie a mărimii săgeții

$$\Delta f = \pm f \left[4 \frac{\Delta d}{d} + 3 \frac{\Delta D}{D} + \frac{\Delta n}{n} \right]. \quad (6.108)$$

Creșterea probabilă a săgeții

$$f = \pm f \sqrt{\left(4 \frac{\Delta d}{d}\right)^2 + \left(3 \frac{\Delta D}{D}\right)^2 + \left(\frac{\Delta n}{n}\right)^2}. \quad (6.109)$$

În aplicațiile practice interesează, de asemenea, variația rigidității arcului, dată de relația:

$$c = \frac{P}{f} = \frac{G d^4}{8 n D^3}. \quad (6.110)$$

Dezvoltind calculele în același fel, se obțin relațiile:

$$\frac{\Delta c(+)}{c} = \frac{\left(1 + \frac{\Delta d}{d}\right)^4}{\left(1 - \frac{\Delta n}{n}\right) \left(1 - \frac{\Delta D}{D}\right)^3} \approx \frac{1 + 4 \frac{\Delta d}{d}}{\left(1 - \frac{\Delta n}{n}\right) \left(1 - 3 \frac{\Delta D}{D}\right)}; \quad (6.111)$$

$$\frac{\Delta c(-)}{c} = \frac{\left(1 - \frac{\Delta d}{d}\right)^4}{\left(1 + \frac{\Delta n}{n}\right) \left(1 + \frac{\Delta D}{D}\right)^3} \approx \frac{\left(1 - 4 \frac{\Delta d}{d}\right)}{\left(1 + \frac{\Delta n}{n}\right) \left(1 + 3 \frac{\Delta D}{D}\right)}$$

Creșterea medie a rigidității

$$\Delta c = \pm c \left[4 \frac{\Delta d}{d} + 3 \frac{\Delta D}{D} + \frac{\Delta n}{n} \right]. \quad (6.112)$$

Creșterea probabilă a rigidității

$$\Delta c = \pm c \sqrt{\left(4 \frac{\Delta d}{d}\right)^2 + \left(3 \frac{\Delta D}{D}\right)^2 + \left(\frac{\Delta n}{n}\right)^2}. \quad (6.113)$$

În mod asemănător se poate observa influența abaterilor dimensionale asupra eforturilor unitare tangențiale care se nasc în secțiunea spirei. Pornind de la relația:

$$\tau = \frac{8 P D}{\pi d^3}, \quad (6.114)$$

se pot scrie relațiile:

$$\frac{\Delta \tau(+)}{\tau} = \frac{\left(1 + \frac{\Delta P}{P}\right) \left(1 + \frac{\Delta D}{D}\right)}{\left(1 - \frac{\Delta d}{d}\right)^3} \approx \frac{\left(1 + \frac{\Delta P}{P}\right) \left(1 + \frac{\Delta D}{D}\right)}{1 - 3 \frac{\Delta d}{d}}; \quad (6.115)$$

$$\frac{\Delta \tau(-)}{\tau} = \frac{\left(1 - \frac{\Delta P}{P}\right) \left(1 - \frac{\Delta D}{D}\right)}{\left(1 + \frac{\Delta d}{d}\right)^3} \approx \frac{\left(1 - \frac{\Delta P}{P}\right) \left(1 - \frac{\Delta D}{D}\right)}{1 + 3 \frac{\Delta d}{d}}$$

Creșterea medie a efortului unitar în secțiunea transversală

$$\Delta\tau = \pm\tau \left[\frac{\Delta P}{P} + \frac{\Delta D}{D} + 3 \frac{\Delta d}{d} \right]. \quad (6.116)$$

Creșterea probabilă

$$\Delta\tau = \pm\tau \sqrt{\left(\frac{\Delta P}{P} \right)^2 + \left(\frac{\Delta D}{D} \right)^2 + \left(3 \frac{\Delta d}{d} \right)^2}. \quad (6.117)$$

6.6. Încovoierea arcurilor elicoidale cilindrice

În cazul aplicării excentrice a sarcinii axiale, când datorită condițiilor de prindere a capetelor arcului, acesta este solicitat de un moment care se găsește în planul axei arcului sau când acesta este solicitat de forțe perpendiculare pe axa sa, se poate produce o încovoiere, adică o curbare a axei sale. De regulă, în construcția de mașini se evită solicitarea arcurilor elicoidale la încovoiere, dar încovoierea poate apărea totuși datorită unor condiții de montare a arcurilor, care fac ca sarcina axială să fie aplicată excentric, făcând ca asupra arcului să acționeze forțe perpendiculare pe axa lui sau să apară momente care să acționeze în plane care trec prin axa acestora.

În astfel de situații interesează să se dea răspuns la două probleme și anume:

determinarea eforturilor unitare periculoase care se produc în spirele arcului;

determinarea deplasărilor arcului.

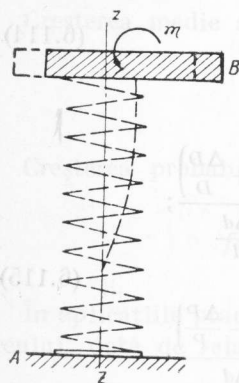


Fig. 6.36

6.6.1. Determinarea eforturilor unitare în cazul încovoirii arcului

În fig. 6.36 este reprezentat schematic un arc elicoidal solicitat la încovoiere de un moment M , aplicat la extremitatea arcului. Axa zz se curbează, iar ca urmare spirele arcului se răsucesc și se înconvoaie.

În fig. 6.37, momentul este reprezentat prin vectorul M , care se descompune, după direcția razei secțiunii și după direcția tangentei comune la cilindrul generator al arcului și la conturul secțiunii sîrmei, în componentele M_t și M_n .

Notînd cu ψ unghiul dintre planul secțiunii transversale a spirei și planul xoz , mărimile componentelor momentului au expresiile:

$$M_n = M \sin \psi \text{ și } M_t = M \cos \psi. \quad (6.118)$$

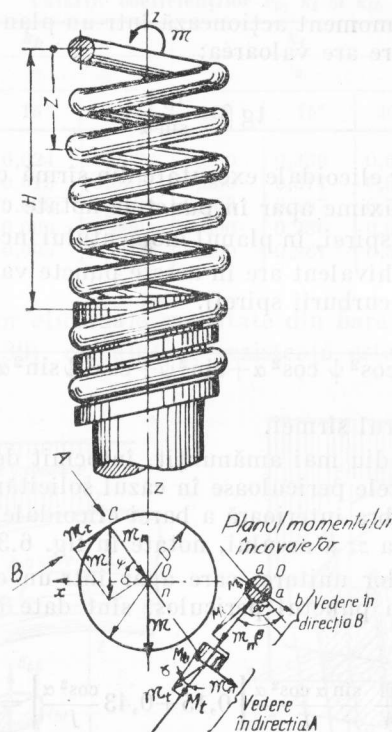


Fig. 6.37

Momentul M_t se descompune la rîndul său în două componente: una perpendiculară pe planul secțiunii transversale a spirei care solicită materialul la răsucire M_t și alta cuprinsă în planul secțiunii transversale a spirei M_b , care solicită materialul la înconvoiere. Acest moment produce rotirea secțiunii transversale în jurul binormalei.

Dacă unghiul de pantă al spirelor este α ,

$$\begin{aligned} M_t &= M \cos \psi \cos \alpha; \\ M_b &= -M \cos \psi \sin \alpha. \end{aligned} \quad (6.119)$$

Valoarea momentului înconvoier total într-o secțiune a spirei, care face unghiul ψ cu axa ox , este:

$$M_t = \sqrt{M_n^2 + M_b^2} = M \sqrt{\sin^2 \psi + \cos^2 \psi \sin^2 \alpha} \quad (6.120)$$

Vectorul acestui moment acționează într-un plan înclinat față de axa n cu un unghi β , care are valoarea:

$$\operatorname{tg} \beta = \frac{\operatorname{tg} \psi}{\sin \alpha} \quad (6.121)$$

În cazul arcurilor elicoidale executate din sîrmă cu secțiune rotundă, eforturile unitare maxime apar în punctele notate cu a pe conturul secțiunii transversale a spirei, în planul momentului înconvoier (fig. 6.37).

Efortul unitar echivalent are în aceste puncte valoarea aproximativă (neglijînd influența curburii spirei):

$$\sigma_e = \frac{M}{W_i} \sqrt{\cos^2 \psi \cos^2 \alpha + \sin^2 \psi + \cos^2 \psi \sin^2 \alpha} = \frac{M}{0,1 d^3} \quad (6.122)$$

unde: d este diametrul sîrmei.

Pe baza unui studiu mai amănunțit, întocmit de N.A. Cernîșev, s-a demonstrat că punctele periculoase în cazul solicitării la încovoiere sînt punctele aflate pe fibra interioară a barei elicoidale, adică punctele cele mai apropiate de axa zz a arcului, notate în fig. 6.38 cu litera I .

Valorile eforturilor unitare, care apar într-un element al spirei de secțiune circulară în punctul periculos, sînt date de relațiile stabilite de N. A. Cernîșev:

$$\sigma_{bb} = \frac{M}{W} \frac{\sin \alpha \cos^2 \alpha}{j} \left[0,15 + 0,43 \frac{\cos^2 \alpha}{j} \right] = \frac{M}{W} k_b \quad (6.123)$$

$$\sigma_{tt} = \frac{M}{W} \sin \alpha \left[1 + 0,87 \frac{\cos^2 \alpha}{j} + 0,38 \frac{\cos^4 \alpha}{j^2} \right] = \frac{M}{W} k_t$$

$$\tau_{tt} = \tau_{bt} = \frac{M}{W_p} \left[1 + 0,63 \frac{\cos^2 \alpha}{j} + (0,18 + 0,17 \cos^2 \alpha) \frac{\cos^2 \alpha}{j^2} \right] \cos \alpha = \frac{M}{W_p} k_{tb}$$

$$\text{unde: } j = \frac{D}{d}; \quad W = \frac{\pi d^3}{32} \text{ și } W_p = \frac{\pi d^3}{16} \quad (6.124)$$

Coefficienții k_b , k_t și k_{tb} care rezultă din aceste relații, se găsesc calculați în funcție de mărimile α și j în tabela 6.13.

Tabela 6.13

Valorile coeficienților k_b , k_t și k_{tb}

$j = \frac{D}{d}$	k_b			k_t			k_{tb}		
	α			α			α		
	0°	15°	30°	0°	15°	30°	0°	15°	30°
3	0,000	0,024	0,032	0,000	0,339	0,621	1,250	1,210	1,030
4	0,000	0,015	0,021	0,000	0,317	0,588	1,180	1,130	0,982
6	0,000	0,009	0,012	0,000	0,297	0,557	1,115	1,070	0,940
8	0,000	0,006	0,009	0,000	0,286	0,537	1,085	1,050	0,920
10	0,000	0,005	0,007	0,000	0,281	0,533	1,067	1,027	0,910

În cazul arcurilor elicoidale executate din bare cu secțiune dreptunghiulară (v. fig. 6.39), calculul de rezistență este mai complex și de

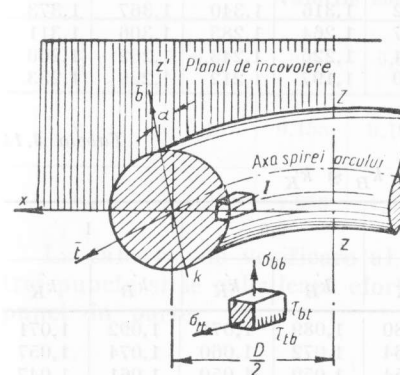


Fig. 6.38

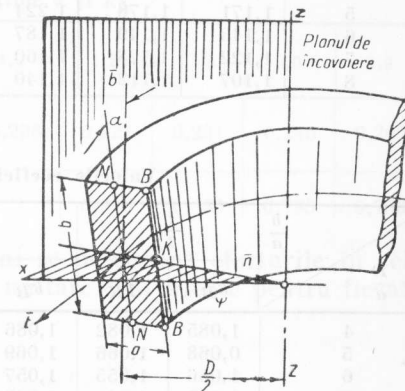


Fig. 6.39

regulă se aplică numai un calcul de verificare. Punctele în care apar eforturile unitare periculoase sînt notate în fig. 6.39 cu B (colțurile interioare), cu K (mijlocul laturilor b paralele cu axa zz) și N (mijlocul laturilor a).

Relațiile eforturilor unitare în aceste puncte au fost stabilite de S. P. Demidov și sînt valabile în cazul spirei cu unghiul de pantă mic.

Pentru punctele B (există o stare de eforturi monoaxială):

$$\sigma = k_B \frac{\mathfrak{M} \sin \psi}{ab^2} + k'_B \frac{\mathfrak{M} \cos \psi \sin \alpha}{a^2 b} \quad (6.125)$$

Pentru punctele K (există o stare de eforturi biaxială):

$$\sigma = k'_K \frac{\mathfrak{M} \cos \psi \sin \alpha}{a^2 b} \text{ și } \tau = k_K \frac{\mathfrak{M} \cos \psi \cos \alpha}{\nu a^2 b} \quad (6.126)$$

Tabela 6.14

Valorile coeficientului k_B

$\frac{D}{a} \backslash \frac{b}{a}$	$\frac{1}{3}$	$\frac{1}{2}$	0,8	1,0	1,25	1,5	2,0	3,0
4	1,214	1,223	1,280	1,340	1,395	1,425	1,454	1,466
5	1,171	1,178	1,224	1,272	1,316	1,340	1,367	1,373
6	1,143	1,149	1,187	1,227	1,264	1,283	1,306	1,311
7	1,122	1,128	1,160	1,194	1,226	1,243	1,262	1,266
8	1,107	1,112	1,140	1,170	1,197	1,212	1,229	1,233

Tabela 6.15

Valorile coeficienților k'_B și k'_K

$j = \frac{D}{a} \backslash \frac{b}{a}$	$\frac{1}{3}$		$\frac{1}{2}$		0,8		1	
	k'_B	k'_K	k'_B	k'_K	k'_B	k'_K	k'_B	k'_K
4	1,085	1,082	1,086	0,080	1,089	1,075	1,092	1,071
5	0,068	1,066	1,069	1,064	1,072	1,060	1,074	1,057
6	1,056	1,055	1,057	1,054	1,059	1,050	1,061	1,047
8	1,043	1,041	1,043	1,040	1,044	1,038	1,046	1,035

$j = \frac{D}{a} \backslash \frac{b}{a}$	1,25		1,5		2,0		3,0	
	k'_B	k'_K	k'_B	k'_K	k'_B	k'_K	k'_B	k'_K
4	1,096	1,064	1,103	1,055	1,114	1,033	1,145	0,971
5	1,077	1,051	1,083	1,044	1,090	1,027	1,115	0,977
6	1,064	1,043	1,067	1,037	1,075	1,022	1,096	0,981
8	1,048	1,032	1,051	1,028	1,056	1,017	1,072	0,986

Pentru punctele N (există o stare de eforturi biaxială):

$$\sigma = \frac{\mathfrak{M} \sin \psi}{ab^2} \text{ și } \tau = k_N \frac{M_t}{\nu a^2 b} \quad (6.127)$$

Valorile coeficienților k_B , k'_B , k'_K , k_K , k_N și ν sînt date în tabelele 6.14, 6.15, 6.16 și 6.17.

Tabela 6.16

Valorile coeficientului k_K

$\frac{D}{a} \backslash \frac{b}{a}$	$\frac{1}{3}$	$\frac{1}{2}$	0,8	1,0	1,25	1,5	2,0	3,0
4	1,275	1,232	1,162	1,135	1,114	1,098	1,079	1,048
5	1,220	1,186	1,129	1,109	1,091	1,079	1,063	1,039
6	1,183	1,155	1,108	1,090	1,076	1,066	1,053	1,032
7	1,157	1,133	1,098	1,077	1,065	1,056	1,045	1,028
8	1,137	1,116	1,081	1,068	1,057	1,049	1,040	1,024

Tabela 6.17

Valorile coeficienților ν și k_N

$\frac{b}{a}$	0,33	0,5	0,8	1,0	1,25	1,5	2,0	3,0
ν	0,107	0,155	0,193	0,208	0,221	0,231	0,246	0,267
k_N	1,322	1,258	1,092	1	0,916	0,859	0,795	0,753

La calculul de verificare al arcului se determină eforturile în cele trei puncte și se calculează eforturile unitare echivalente pentru fiecare punct în parte.

6.6.2. Determinarea deplasărilor

Deplasările, în cazul deplasărilor relativ mici, se determină cu ajutorul integralei lui Mohr. Astfel: pentru unghiul de rotire $\Delta\varphi$ al capătului de sus al arcului în raport cu cel de jos presupus încastrat (v. fig. 6.36), rezultă relația:

$$\Delta\varphi = \int_0^l \frac{\mathfrak{M}_n \mathfrak{M}_{n1} ds}{EI_n} + \int_0^l \frac{M_b M_{b1} ds}{EI_b} + \int_0^l \frac{M_t M_{t1} ds}{GI_0} \quad (6.128)$$

în care: M_n , M_b și M_t sînt momentele care acționează în secțiunea transversală a spirei;

M_{n1} , M_{b1} și M_{t1} — momentele care rezultă în secțiune datorită aplicării momentului $M=1$.

Acestea se determină cu relațiile:

$$M_{n1}=l \sin \psi; M_{b1}=l \cos \psi \sin \alpha; M_{t1}=l \cos \psi \cos \alpha, \quad (6.129)$$

în care l este lungimea sîrmei din care este executat arcul;

$$l = \frac{\pi D n}{\cos \alpha}, \quad (6.130)$$

unde: n este numărul de spire;

ds — lungimea unui element din axa spirei;

$$ds = \frac{D d\psi}{2 \cos \alpha}, \quad (6.131)$$

unde: I_n , I_b și I_0 sînt momentele de inerție axiale față de axele, n , b și polar față de centrul secțiunii transversale a sîrmei.

Efectuînd calculele se obține:

$$\begin{aligned} \Delta\varphi = & \int_0^{2\pi n} \frac{M D \sin^2 \psi d\psi}{2EI_n \cos \alpha} + \int_0^{2\pi n} \frac{M D \cos^2 \psi \sin^2 \alpha d\psi}{2EI_b \cos \alpha} + \\ & + \int_0^{2\pi n} \frac{M D \cos^2 \psi \cos^2 \alpha d\psi}{2GI_0 \cos \alpha} = \frac{M l}{2EI_n} \left[\left(\frac{I_b}{I_n} \sin^2 \alpha + \frac{EI_n}{GI_0} \cos^2 \alpha + 1 \right) + \right. \\ & \left. + \left(\frac{I_n}{I_b} \sin^2 \alpha + \frac{EI_n}{GI_0} \cos^2 \alpha - 1 \right) \frac{\sin 4\pi n}{4\pi n} \right]. \end{aligned} \quad (6.132).$$

Observînd că termenul al doilea este neglijabil, relația unghiului de rotire devine:

$$\Delta\varphi = \frac{M l}{2EI_n} \left[1 + \frac{I_n}{I_b} \sin^2 \alpha + \frac{EI_n}{GI_0} \cos^2 \alpha \right] =$$

$$= \frac{M}{EI_n} \frac{\left(1 + \frac{I_n}{I_b} \sin^2 \alpha + \frac{EI_n}{GI_0} \cos^2 \alpha \right) \pi D n}{2 \cos \alpha} \approx \frac{M}{EI_n} \frac{\pi D n}{2} \left(1 + \frac{EI_n}{GI_0} \right). \quad (6.133)$$

În cazul arcurilor executate din sîrmă cu secțiune circulară

$$\Delta\varphi = \frac{M}{EI} \frac{(2 + \mu \cos^2 \alpha) \pi D n}{2 \cos \alpha} \approx \frac{M \pi D n}{2EI} (2 + \mu). \quad (6.134)$$

Relațiile aproximative indicate sînt valabile în cazul arcurilor a căror pantă de înclinare a spirelor este mică: $\alpha \approx 0$.

Relația pentru calculul deformației $\Delta\varphi$ (unghiul de rotire al capătului) poate fi comparată cu relația pentru determinarea unghiului de rotire al unei bare echivalente încastrată la un capăt, de lungime egală cu înălțimea arcului, solicitată la încovoiere pură de un același moment.

Această relație este următoarea:

$$\Delta\varphi = \frac{M H}{B}, \quad (6.135)$$

în care B este rigiditatea barei echivalente la încovoiere;

$$B = \frac{2EI_n H \cos \alpha}{\pi D n \left(1 + \frac{I_n}{I_b} \sin^2 \alpha + \frac{EI_n}{GI_0} \cos^2 \alpha \right)}, \quad (6.136)$$

unde H este înălțimea arcului sau, în cazul particular al arcului din sîrmă rotundă

$$B = \frac{2EI H \cos \alpha}{\pi D n (2 + \mu \cos \alpha)}. \quad (6.137)$$

Pentru determinarea săgeții în direcția axei x se procedează asemănător.

Efectuînd calculele se obține:

$$\begin{aligned} f_x = & \frac{M l^2 \sin \alpha}{4EI_n} \left(1 + \frac{I_n}{I_b} \sin^2 \alpha + \frac{EI_b}{GI_0} \cos^2 \alpha \right) = \\ = & \frac{M H}{2EI_n} \frac{\left(1 + \frac{I_n}{I_b} \sin^2 \alpha + \frac{EI_n}{GI_0} \cos^2 \alpha \right) \pi D n}{2 \cos \alpha}, \end{aligned} \quad (6.138)$$

sau folosind bara echivalentă:

$$f_x = \frac{M H^2}{2B}. \quad (6.139)$$

6.6.3. Încovoierea arcurilor elicoidale sub acțiunea unor sarcini transversale

(Cazul unghiului de pantă mic $\alpha \approx 0$)

În cazul unui arc elicoidal încastrat la un capăt și încărcat la celălalt cu o forță transversală P paralelă cu axa x (fig. 6.40) o spiră aflată la distanța z de capătul arcului este solicitată de un moment încovoiător M și de o forță tăietoare T care au mărimile:

$$M = Pz \text{ și } T = P. \quad (6.140)$$

Într-o secțiune transversală a spirei a cărei poziție este determinată de unghiul ψ , care se formează între planul secțiunii spirei și planul care conține axa x și axa z , momentele au valorile (v. fig. 6.40):

$$\begin{aligned} M_n &= M \sin \psi, \\ M_b &= \frac{-TD}{2} \sin \psi, \end{aligned} \quad (6.141)$$

$$M_t = M \cos \psi.$$

În secțiunea transversală a sîrmei, în planul căreia se află și forța P , pentru care $\psi=0$, apar eforturile unitare tangențiale:

$$\tau_{tb} = k_{tb} \frac{M_t}{W_p} = k_{tb} \frac{PH}{0,2d^3}, \quad (6.142)$$

iar eforturile unitare normale sînt nule. Coeficientul k_{tb} se alege în funcție de raportul $j = \frac{D}{d}$ și de unghiul α din tabela 6.13. În secțiunile în care $\psi = \frac{\pi}{2}$ va rezulta $\tau=0$ și

$$\sigma = \frac{M_1}{W} = \frac{\sqrt{M_b^2 + M_n^2}}{W} = \frac{P\sqrt{D^2 + 4H^2}}{0,2d^3}. \quad (6.143)$$

Săgeata arcului (în direcția axei x) se poate determina pe baza barei echivalente cu ajutorul integralei lui Mohr. Efectuînd calculele se obține:

$$f_x = \frac{MM_1H}{nB} + \frac{TT_1H}{nS},$$

unde:

$$M_1 = lz, \quad T_1 = l, \quad (6.144)$$

$$B = \frac{2EI_nH}{\pi Dn} \frac{EI_n}{GI_0} \quad \text{și} \quad S = \frac{8EI_nH}{\pi D^3n};$$

B și S fiind rigiditatea la încovoiere și la alunecare a barei echivalente drepte încastrată la un capăt, de aceeași lungime H cu arcul și încărcată cu aceeași sarcină.

Pentru arcurile executate din sîrmă cu secțiune circulară rigiditățile

$$B = \frac{2EIH}{\pi Dn(2+\mu)} \quad \text{și} \quad S = \frac{8EIH}{D^3n} \quad (6.145)$$

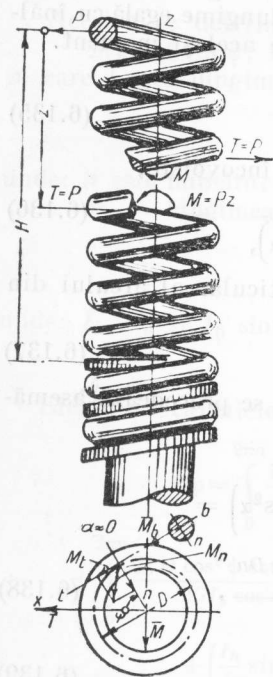


Fig. 6.40

6.7. Calculul arcurilor elicoidale de compresiune multiple (concentrice)

Uneori arcul elicoidal cilindric de compresiune sau de întindere necesită un gabarit mai mare decât permit posibilitățile constructive de montaj. Pentru a realiza un gabarit mai mic, care să satisfacă cerințele, se utilizează arcuri compuse din mai multe arcuri concentrice, care preiau concomitent sarcina totală și care au aceeași caracteristică funcțională (forță-săgeată) ca și arcul simplu echivalent (fig. 6.41).

Practic, numărul de arcuri, care se montează concentric este în majoritatea cazurilor de două, iar în cazuri speciale se pot găsi soluții constructive pentru trei sau pentru patru.

Pentru a evita răsucirea suprafețelor de reazem frontale și dezaxarea ansamblului, arcurile concentrice se dispun cu înfășurarea alternativă unul cu pantă pe dreapta, altul cu pantă pe stînga.

De asemenea, între arcuri trebuie să existe un joc radial satisfăcător, pentru a nu se produce frecarea între spire în timpul încărcării arcului. O condiție constructivă, care trebuie respectată, este de a executa reazemele frontale astfel ca centrarea arcurilor să fie asigurată.

Pentru calculul de dimensionare al arcurilor multiple se ține seama de faptul că ele trebuie să îndeplinească următoarele condiții:

— sarcina totală să fie egală cu suma sarcinilor preluate de arcurile componente, adică

$$P = P_1 + P_2 + \dots + P_n; \quad (6.146)$$

— în vederea utilizării cât mai rațională a materialului din care se execută arcurile, eforturile unitare care se produc în secțiunile fiecărui arc să aibă aceeași valoare, adică

$$\tau = \tau_1 = \tau_2 = \dots = \tau_n; \quad (6.147)$$

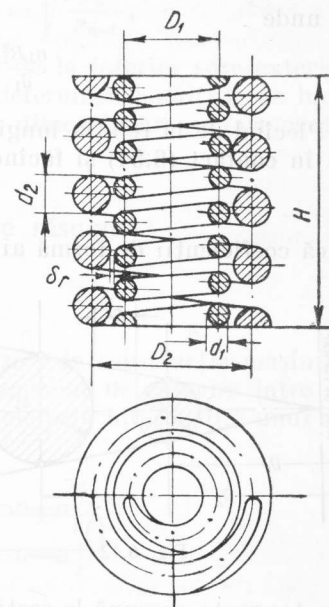


Fig. 6.41

— pentru buna funcționare a sistemului de arcuri, săgeata trebuie să fie aceeași la toate arcurile

$$f = f_1 = f_2 = f_3 = \dots = f_n; \quad (6.148)$$

— lungimea arcurilor în stare complet comprimate trebuie să fie aceeași, adică

$$n_1 d_1 = n_2 d_2 = \dots = n_n d_n. \quad (6.149)$$

Folosind relația săgeții se poate scrie:

$$f = \frac{4\pi n_1 R_1^2 \tau_1}{G d_1} = \frac{4\pi n_2 R_2^2 \tau_2}{G d_2} = \dots = \frac{4\pi n_n R_n^2 \tau_n}{G d_n}, \quad (6.150)$$

de unde

$$\frac{n_1 R_1^2}{d_1} = \frac{n_2 R_2^2}{d_2} = \frac{n_n R_n^2}{d_n}. \quad (6.151)$$

Plecind de la relația lungimii porțiunii active a arcului când spirele vin în contact (6.54) și făcînd calculele se obține:

$$j_1 + j_2 = \dots = j_n \quad (6.152)$$

adică coeficienții de formă ai arcurilor sînt egali.

Rezultă

$$\begin{aligned} \frac{1}{j} &= \sqrt{\frac{\pi H \tau_a}{k f G}} = \frac{d_1}{D_1} = \frac{d_2}{D_2} = \\ &= \dots = \frac{d_n}{D_n} = \operatorname{tg} \theta. \end{aligned} \quad (6.153)$$

Din această relație rezultă că poziția reciprocă optimă, din punct de vedere teoretic, a arcurilor compuse este obținută în cazul în

care tangenta comună la secțiunile circulare transversale trece prin axa longitudinală a arcului, prin același punct cu dreapta care unește diametrul orizontal comun (fig. 6.42).

Se obține de asemenea relația:

$$n_1 R_1 = n_2 R_2 = n_3 R_3 = \dots = n_n R_n \quad (6.154)$$

sau

$$\frac{n_1}{n_2} = \frac{R_2}{R_1}; \quad \frac{n_2}{n_3} = \frac{R_3}{R_2}; \quad \dots \quad \frac{n_{n-1}}{n_n} = \frac{R_n}{R_{n-1}}. \quad (6.155)$$

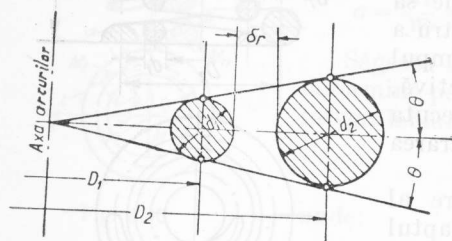


Fig. 6.42

Expresia sarcinii totale se poate scrie sub forma:

$$P = \frac{0,4 \tau_a}{k} \left[\frac{d_1^3}{D_1} + \frac{d_2^3}{D_2} + \dots + \frac{d_n^3}{D_n} \right]. \quad (6.156)$$

Pentru un joc radial $\delta_r = \frac{d_2 - d_1}{2}$, care corespunde condiției ca rapoartele de formă ale arcurilor $j_n = \frac{D_n}{d_n}$ să fie identice cu cele determinate anterior, rezultă:

$$\begin{aligned} \frac{d_2}{d_1} &= \frac{D_2}{D_1} = \frac{n_1}{n_2} = \frac{j}{j-2} = \sqrt{\frac{P_2}{P_1}} \\ \frac{d_n}{d_{n-1}} &= \frac{D_n}{D_{n-1}} = \frac{n_n}{n_{n-1}} = \frac{j}{j-2} = \sqrt{\frac{P_n}{P_{n-1}}}, \end{aligned} \quad (6.157)$$

indicii de numerotare ai arcurilor mergînd de la interior spre exterior.

Pe baza relațiilor stabilite anterior se determină condițiile de lucru pentru fiecare arc în parte și calculul de dimensionare se face pentru fiecare arc separat.

6.8. Arcuri elicoidale cilindrice de răsucire

6.8.1. Generalități

Arcurile elicoidale de răsucire sînt utilizate în construcția mașinilor și a aparatelor pentru transmiterea unui moment de răsucire între un arbore și o carcasă, care sînt cuplate între ele prin intermediul unui arc

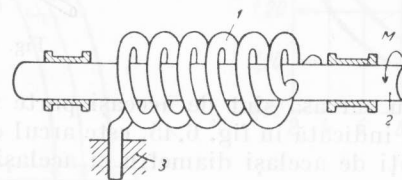


Fig. 6.43

elicoidal, a cărei axă coincide cu axa de simetrie și de rotație a elementelor cuplate. Un sistem prevăzut cu arc elicoidal de răsucire se compune din trei părți (fig. 6.43): arc propriu-zis, 1; arborele de care se fixează un capăt al arcului 2; carcasa 3, la care se fixează celălalt capăt al arcului.

Arcul transmite un moment de răsucire care solicită arborele sau fusul de care este legat la răsucire, în schimb materialul din care este executat arc este solicitat în primul rînd la încovoiere, solicitarea la răsucire fiind în general neglijabilă.

Deosebirea esențială dintre arcurile elicoidale cilindrice de răsucire și arcurile elicoidale cilindrice de compresiune și tracțiune constă în solicitarea lor. Dacă la arcurile de răsucire materialul este solicitat în primul rînd la încovoiere, solicitarea la răsucire fiind neglijabilă, la arcurile de întindere și compresiune situația este inversă, solicitarea importantă este cea de răsucire, iar cea datorită încovoierei este în general neglijabilă.

Arcurile elicoidale cilindrice de răsucire utilizate se deosebesc ca formă în primul rînd după felul secțiunii barei din care sînt executate, care poate fi: circulară, dreptunghiulară, pătrată, trapezoidală, triunghiulară, eliptică etc.

Arcul elicoidal cilindric de răsucire poate căpăta diferite variante constructive, după modul în care se efectuează răsucirea. Astfel, una din variantele de înfășurare o prezintă arc elicoidal cilindric de răsucire cu înfășurare interioară, și exterioară, indicat în fig. 6.44, care se caracterizează prin faptul că, atît capătul de legătură cu arborele, cît și

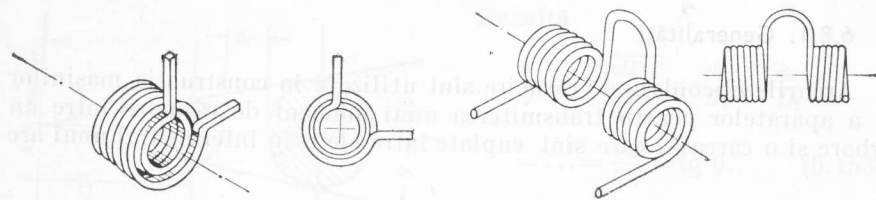


Fig. 6.44

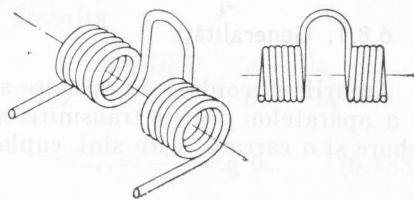


Fig. 6.45

capătul de legătură cu carcasa sînt de aceeași parte a arcului. O altă variantă des întîlnită, indicată în fig. 6.45, este arc de răsucire dublu, format din două bucăți de același diametru și același număr de spire.

6.8.2. Calculul arcurilor elicoidale, cilindrice de răsucire

O porțiune de spirală a arcului elicoidal cilindric de răsucire este de fapt o porțiune a unei bare curbe solicitată la încovoiere, astfel că determinarea eforturilor și dimensionarea arcului se bazează în primul rînd

pe teoria barelor curbe solicitate la încovoiere. Dacă momentul de răsucire transmis de arc este M și unghiul de înclinare al spirei arcului este α , într-o secțiune transversală a barei din care este executat arc apar două solicitări și anume: la încovoiere, sub acțiunea unui moment încovoiător $M_i = M \cos \alpha$ și la răsucire, sub acțiunea unui moment de răsucire $M_t = M \sin \alpha$.

Datorită faptului că unghiul α de înclinare a spirei este mic, solicitarea la răsucire a secțiunii transversale este cu totul neglijabilă. Din această cauză pentru calculul curent se ia în considerare numai solicitarea la încovoiere.

Expresia momentului de încovoiere este variabilă, mărimea sa depinzînd de unghiul cu care este rotită spira în timpul transmiterii momentului. Pentru determinarea efortului unitar maxim care apare în secțiunea barei se ia în considerare valoarea momentului de răsucire în momentul cînd arc este strins. Valoarea efortului unitar maxim depinde și de forma secțiunii transversale a barei din care este executată spira, și de coeficientul de formă al arcului $j = \frac{D}{d}$.

Relațiile de calcul pentru arc elicoidal de răsucire (fig. 6.46) sînt dependente de elementele geometrice ale arcului și de caracteristicile mecanice ale materialului din care este executat.

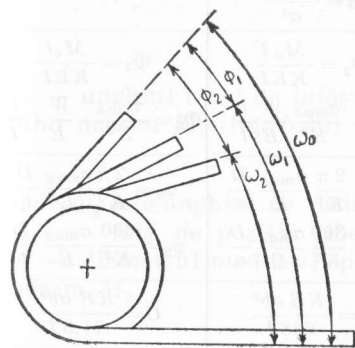


Fig. 6.46

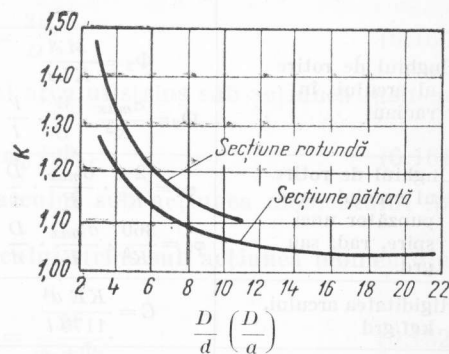


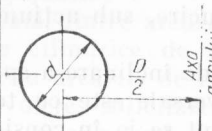
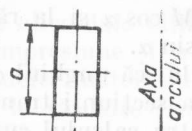
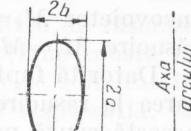
Fig. 6.47

În tabela 6.18 sînt date relațiile de calcul mai importante pentru calculul arcurilor elicoidale de răsucire în funcție de elementele geometrice și caracteristicile mecanice ale acestora.

Valorile coeficientului K rezultă din relațiile indicate în tabelă. Pentru un calcul mai expeditiv se folosește diagrama din fig. 6.47,

Tabela 6.18

Relațiile de calcul al arcurilor elicoidale

Felul secțiunii	Circulară	Dreptunghiulară	Eliptică
			
Raportul de formă al arcului	$j = \frac{D}{d}$	$j = \frac{D}{b}$	$j = \frac{D}{2b}$
Expresia efortului unitar maxim la încovoiere	$\sigma_{max} = \frac{32 M_c}{\pi d^3} \cdot \frac{4j^3 - j + 1}{4j(j-1)} = \frac{M_c}{W} K$	$\sigma_{max} = \frac{6 M_c}{ab^2} \cdot \frac{3j^2 - 1 + 1}{3j(j-1)} = \frac{M_c}{W} K$	$\sigma_{max} = \frac{4 M_c}{\pi ab^2} \cdot \frac{4j^3 - j + 1}{4j(j-1)} = \frac{M_c}{W} K$
Expresia efortului unitar de încovoiere simplu	$\sigma = \frac{10,2 M_c}{\pi d^3}$	$\sigma = \frac{6 M_c}{ab^2}$ în cazul secțiunii pătrate $\sigma = \frac{6 M_c}{a^3}$	$\sigma = \frac{4 M_c}{\pi ab^2}$
Unghiul de rotire al arcului, în radiani	$\Phi_2 = \frac{M_c l}{KEI}$ $\Phi_2 = \frac{\sigma_{max}}{K^2} \cdot \frac{W}{E} \cdot \frac{l}{I}$	$\Phi_2 = \frac{M_c l}{KEI}$ $\Phi_2 = \frac{\sigma_{max}}{K^2} \cdot \frac{W}{E} \cdot \frac{l}{I}$	$\Phi_2 = \frac{M_c l}{KEI}$ $\Phi_2 = \frac{\sigma_{max}}{K^2} \cdot \frac{W}{E} \cdot \frac{l}{I}$
Unghiul de rotire al arcului corespunzător unei spire, rad. sau grd.	$\varphi_2 = \frac{2\pi}{K^2} \cdot \frac{\sigma_{max}}{E} \cdot \frac{D}{d}$ $\varphi_2 = \frac{360}{K^2} \cdot \frac{\sigma_{max}}{E} \cdot \frac{D}{d}$	$\varphi_2 = \frac{2\pi}{K^2} \cdot \frac{\sigma_{max}}{E} \cdot \frac{D}{a}$ $\varphi_2 = \frac{360}{K^2} \cdot \frac{\sigma_{max}}{E} \cdot \frac{D}{a}$	$\varphi_2 = \frac{2\pi}{K^2} \cdot \frac{\sigma_{max}}{E} \cdot \frac{D}{b}$ $\varphi_2 = \frac{360}{K^2} \cdot \frac{\sigma_{max}}{E} \cdot \frac{D}{b}$
Rigiditatea arcului, kgf/grd	$C = \frac{KE d^4}{1170 l}$	$C = \frac{KE ab^3}{688 l}$	$C = \frac{KE ab^3}{71,3 l}$
Numărul de rotații de lucru al capătului acționat al arcului pornind din poziția liberă	$n_{rot} = \frac{\sigma_{max} l}{\pi K^2 E d}$	$n_{rot} = \frac{\sigma_{max} l}{K^2 E \pi b}$	$n_{rot} = \frac{\sigma_{max} l}{K^2 E \pi b}$
Lungimea desfășurată a arcului fără urechi, cm	$l = \frac{K^4 d^4}{1170 C}$	$l = \frac{KE ab^3}{688 C}$	$l = \frac{KE ab^3}{71,3 C}$

unde se dă coeficientul K pentru secțiunile circulare și dreptunghiulare.

În relațiile din tabelă, M_c este valoarea de calcul a momentului încovoiător care solicită spira. Această valoare se determină în funcție de valorile maximă M_2 sau minimă M_1 a momentului de transmis, prin intermediul unui coeficient de corecție A , care depinde de numărul de cicluri la care va fi supus arc, de modulul de elasticitate al materialului arcului și de raportul $\frac{M_2 - M_1}{M_2}$:

$$M_c = \frac{M_2}{A} \quad (6.158)$$

În tabela 6.19 se dau valorile coeficientului A , stabilite de S. L. Albright de la Hunter Spring Company, S.U.A.

Pentru determinarea elementelor constructive ale unui arc elicoidal cilindric de răsucire, în afara relațiilor din tabela 6.18, se mai folosește și următoarele relații:

$$- \text{numărul de spire al arcului liber } n = \frac{l}{\pi D}; \quad (6.159)$$

unde l este lungimea desfășurată a arcului activ (fără urechi);

D — diametrul mediu al spirei în poziție liberă a arcului;

— unghiul total de înfășurare al arcului liber (fig. 6.46)

$$\omega_0 = \frac{2l}{D}; \quad (6.160)$$

— unghiul total de înfășurare al arcului strins sub acțiunea momentului maxim M_2 (fig. 6.46)

$$\omega_2 = \omega_0 + \Phi_2, \quad (6.161)$$

unde Φ_2 este unghiul de rotire al arcului sub acțiunea momentului M_2 față de poziția liberă;

— diametrul mediu al spirei arcului strins sub acțiunea momentului maxim M_2

$$D_2 = \frac{2l}{\omega_2} = \frac{2l}{\omega_0 + \Phi_2}. \quad (6.162)$$

$$\text{Făcînd calculul se obține } D_2 = \frac{D \omega_0}{\omega_2}. \quad (6.163)$$

Pentru numărul de spire al arcului strins sub acțiunea momentului maxim M_2 se deduce relația:

$$n_2 = n \frac{D}{D_2}. \quad (6.164)$$

Tabela 6.19

Coeficientul A de corecție al momentului de calcul M_e

Materialul arcului	$\frac{M_2 - M_1}{M_2}$	Numărul de cicluri					Modulul de elasti- citate, kgf/cm ²
		5 000	10 000	50 000	100 000	Nelimitat	
Sîrmă pa- tentată (fost coardă pian)	0,25	1,28	1,23	1,11	1,06	0,954	$2,1 \times 10^6$
	0,50	1,23	1,16	1,00	0,926	0,762	
	0,75	1,21	1,12	0,928	0,845	0,652	
	1,00	1,17	1,08	0,864	0,771	0,551	
Oțel de ar- curi călit în ulei	0,25	1,23	1,20	1,12	1,09	1,01	2×10^6
	0,50	1,18	1,13	1,00	0,945	0,819	
	0,75	1,14	1,07	0,896	0,821	0,650	
	1,00	1,10	1,01	0,800	0,710	0,500	
Oțel crom- vanadiu că- lit în ulei și tras la rece	0,25	1,05	1,02	0,955	0,927	0,859	2×10^6
	0,50	0,991	0,941	0,826	0,776	0,660	
	0,75	0,962	0,896	0,746	0,681	0,529	
	1,00	0,941	0,865	0,694	0,620	0,450	
Oțel crom- siliciu călit	0,25	1,35	1,32	1,24	1,20	1,11	2×10^6
	0,50	1,30	1,24	1,10	1,04	0,901	
	0,75	1,25	1,18	0,985	0,903	0,715	
	1,00	1,21	1,11	0,880	0,781	0,550	
Bronz cu beriliu	0,25	1,91	1,87	1,78	1,75	1,67	$1,3 \times 10^6$
	0,50	1,84	1,78	1,64	1,58	1,42	
	0,75	1,78	1,71	1,51	1,42	1,22	
	1,00	1,75	1,62	1,38	1,27	1,00	
Monel	0,25	1,49	1,44	1,32	1,27	1,16	$1,8 \times 10^6$
	0,50	1,41	1,33	1,14	1,06	0,866	
	0,75	1,36	1,24	0,995	0,889	0,644	
	1,00	1,31	1,19	0,901	0,777	0,511	
Bronz fosforos	0,25	1,33	1,29	1,16	1,10	0,979	1×10^6
	0,50	1,27	1,18	1,00	0,923	0,734	
	0,75	1,22	1,13	0,899	0,800	0,578	
	1,00	1,19	1,09	0,825	0,711	0,445	
Alamă	0,25	0,822	0,800	0,738	0,711	0,644	1×10^6
	0,50	0,795	0,751	0,658	0,618	0,511	
	0,75	0,769	0,722	0,591	0,534	0,420	
	1,00	0,738	0,689	0,542	0,478	0,334	

Înălțimea arcului în poziție strînsă (evitînd frecarea între spire):

$$H_{min} = d(n_2 + 1) = d \left(\frac{l}{\pi D_2} + 1 \right) = \frac{dl}{\pi D_2} + d, \quad (6.165)$$

$$H_{max} = d(n_1 + 1) = \frac{dl}{\pi D_1} + d,$$

unde: d este diametrul sîrmei; D_1 — diametrul interior al arcului în poziție liberă.La aceste valori ale înălțimilor trebuie adăugate înălțimile urechilor h_1 și h_2 , necesare pentru prinderea arcului de fus și carcasă.

Diametrul exterior maxim al arcului în poziție liberă:

$$D_e = D + d \text{ (în cazul secțiunii circulare).}$$

Diametrul interior minim al arcului strîns:

$$D_1 = D_e - d \text{ (în cazul secțiunii circulare).}$$

Diametrul maxim al fusului, d_0 , se determină cu relația:

$$d_0 = D_e - d - j_0; \text{ unde } j_0 \geq 0,3 d.$$

Diametrul minim al carcasei se determină cu relația:

$$D_e = D + d + j_c, \text{ unde } j_c \geq 0,4 d.$$

La rezolvarea problemelor practice se recomandă a se alege construc-
tiv $\frac{D}{d} \geq 10$.Lungimea totală l_t a barei din care se execută spira arcului elicoidal
de răsucire se determină cu relația:

$$l_t = l + l_1 + l_2, \text{ unde } l_1 \text{ și } l_2 \text{ sînt lungimile urechilor.}$$

6.8.3. Nomograme pentru calculul arcurilor
elicoidale de răsucirePentru un calcul rapid al arcurilor elicoidale de răsucire fabricate
din sîrmă de oțel cu secțiune circulară, cu modulul de elasticitate $E =$
 $= 2,1 \times 10^6$ kgf/cm², se utilizează diverse nomograme. În fig. 6.48 se dă

o astfel de nomogramă, în care sînt reprezentate pe mai multe scări elementele principale de calcul și anume:

— unghiul de rotație corespunzător unei spire, φ_2 ; diametrul sîrmei, d ; efortul unitar la încovoiere ales, σ_i ; momentul de încovoiere de calcul, M_2 ; raportul de formă al arcului, corespunzător poziției sale $j_1=j_2=j=\frac{D}{d}$.

Scara $I-I$ reprezintă scara de legătură a nomogramei între diferitele mărimi, legătura realizîndu-se printr-un același punct al ei.

Dacă se dă de exemplu: $M_2=14,8 \text{ kgf}\cdot\text{cm}$; $d=0,2 \text{ cm}$ și $j=8$, se poate determina φ_2 și σ_i . Se duce secanta care leagă scara momentelor de scara diametrelor și care taie scara $I-I$ în punctul g . Se unește acest punct cu punctele corespunzătoare valorilor 8 de pe scările j_1 și j_2 . Secanta ce vine la scara j_1 taie scara σ_i într-un punct care determină efortul unitar din secțiune, iar secanta ce vine de la scara j_2 taie scara unghiului de rotire într-un punct care determină valoarea lui φ_2 , corespunzător pentru o spirală.

Nomograma poate fi utilizată și pentru alte materiale cu modul corespunzător E' . În aceste cazuri rezultatul obținut pe scara unghiului de rotire φ_2 se multiplică după relația:

$$\psi'_2 = \frac{2,1 \times 10^6 \times \varphi_2}{E'}. \quad (6.166)$$

6.8.4. Arcuri elicoidale multiple de răsucire

În cazul momentelor de răsucire mari rezultă secțiuni de sîrmă mari și un spațiu pentru arc mare. Pentru a evita secțiunile mari ale sîrmei, care duc la un proces tehnologic greoi de execuție a arcului și pentru a obține pentru arc un spațiu mai restrîns, se recomandă folosirea arcului multiplu, format din mai multe arcuri elicoidale cilindrice de răsucire, așezate coaxial, care preiau toate la un loc momentul total de răsucire M .

La calculul de dimensionare a arcului multiplu se pun următoarele condiții:

a. Suma momentelor preluate de arcurile componente este egală cu momentul de răsucire de transmis

$$M = M_1 + M_2 + M_3 + \dots + M_n. \quad (6.167)$$

b. Unghiul de răsucire este același la toate arcurile

$$\Phi = \Phi_1 = \Phi_2 = \dots = \Phi_n. \quad (6.168)$$

c. Efortul unitar de încovoiere trebuie să fie același pentru toate arcurile pentru ca materialul să fie la fel utilizat

$$\sigma = \sigma_1 = \sigma_2 = \dots = \sigma_n. \quad (6.169)$$

d. Înălțimea arcurilor trebuie să fie aceeași

$$H = n_1 d_1 + n_2 d_2 = \dots = n_n d_n. \quad (6.170)$$

Aceste condiții sînt satisfăcute dacă secțiunile spirelor arcurilor sînt înscrise într-o parabolă a cărei expresie este de forma

$$y^2 = d_i^2 = \frac{2}{3} \frac{H}{E} x. \quad (6.171)$$

Pentru dimensionarea arcului elicoidal de răsucire multiplu se dimensionează în prealabil un arc elicoidal de răsucire simplu echivalent, pentru a stabili valorile: Φ , σ și M , care intervin în calcul, iar apoi, utilizînd condițiile arătate mai înainte, se poate trece la dimensionarea arcurilor componente.

6.9. Arcuri elicoidale profilate

6.9.1. Generalități

În diferite construcții de mașini sau de aparate se întîlnesc arcuri elicoidale folosite în special ca arcuri de compresiune cunoscute sub numele de arcuri profilate. Denumirea acestora provine de la felul suprafeței de rotație pe care se află axa spirelor lor și de la modul de înclinare al diverselor porțiuni ale spirelor față de planul de bază, perpendicular pe axa arcului.

Ceea ce este specific acestor arcuri și face ca în ciuda unor dificultăți tehnologice de construcție ele să fie totuși folosite, este faptul că au o caracteristică neliniară, care corespunde anumitor scopuri cerute în construcția de mașini și de aparate. De asemenea, arcurile profilate au un gabarit mic și pot asigura o frecvență convenabilă oscilațiilor proprii ale sistemului elastic.

Principalele tipuri de arcuri profilate utilizate sînt:

- arcurile conice cu unghi de pantă constant;
- arcurile conice cu pas constant;
- arcurile paraboloidale cu unghi de pantă constant.

Datorită faptului că spirele și unghiul de înclinare sînt variabile în timpul încărcării și deformării arcului, unele spire vin în contact între

ele înaintea altora, astfel că se poate considera că din momentul reze-
mării lor, ele nu mai lucrează, în timp ce spirele care nu au venit încă
în contact continuă să lucreze. Acest lucru face ca rigiditatea arcului
să fie variabilă (caracteristică nelini-
ară). Caracteristica arcului poate fi
astfel liniară până la începutul culcării
(rezemării) spirelor, și apoi continuă
a fi neliniară până la culcarea tuturor
spirelor. În fig. 6.49 este reprezentată
o astfel de caracteristică pentru un
arc spiral conic cu unghi de pantă
constant. Până la punctul A, care
corespunde rezemării spirei a doua pe
prima, caracteristica este liniară (rigi-
ditatea constantă), după care caracte-
ristica arcului devine neliniară.

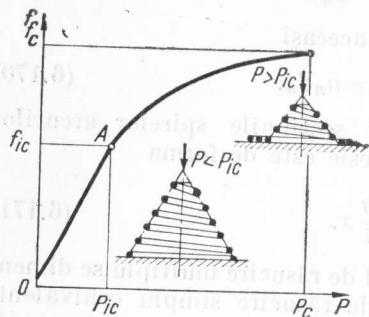


Fig. 6.49

6.9.2. Elemente geometrice principale ale arcurilor elicoidale profilate

6.9.2.1. Arcuri conice cu unghi de pantă constant

Suprafața directoare la aceste arcuri (fig. 6.50) este o suprafață conică.
Desfășurata axei spirelor este o dreaptă care face unghiul α cu ori-
zontala. Folosind sistemul de coordonate cu originea în vârful conului,
care are unghiul la vîrf ψ , se poate scrie relațiile:

$$r = z \operatorname{tg} \frac{\psi}{2}, \quad (6.172)$$

$$z = s \operatorname{tg} \alpha$$

$$r = s \operatorname{tg} \alpha \operatorname{tg} \frac{\psi}{2}, \quad (6.173)$$

unde s este lungimea arcului de spirală măsurat de la origine pînă la
secțiunea considerată.

Lungimea arcului de spirală și a unui element de arc sînt date de
relațiile:

$$s = \cotg \alpha \cotg \frac{\psi}{2} r; \quad ds = \cotg \alpha \cotg \frac{\psi}{2} dr. \quad (6.174)$$

Proiecția în plan este o spirală logaritmică.

Lungimea unui element de arc al spiralei în coordonate polare

$$ds = \sqrt{(rd\varphi)^2 + (dr)^2}. \quad (6.175)$$

Făcînd calculul se obține

$$r = \sqrt{\cotg^2 \alpha \cotg^2 \frac{\psi}{2} - 1} \cdot \frac{dr}{d\varphi}, \quad (6.176)$$

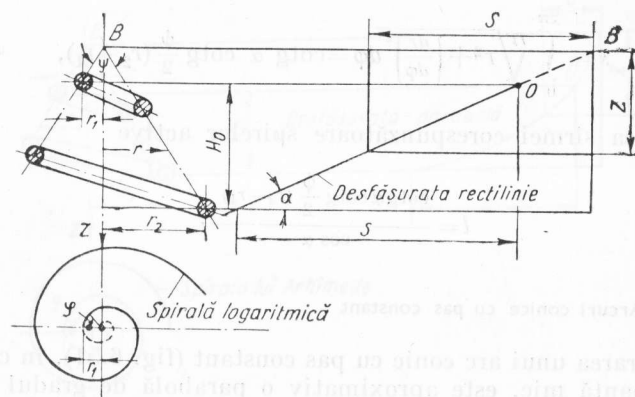


Fig. 6.50

unde notînd $A = \cotg \alpha \cotg \frac{\psi}{2}$, se obține după integrare

$$r = ce^{\frac{\varphi}{\sqrt{A^2-1}}}. \quad (6.177)$$

Punînd condiții la limită:

$$\varphi = 0; \quad r = r_1 \text{ rezultă } c = r_1.$$

$\varphi = 2\pi n; \quad r = r_2$ (n fiind numărul de spire al arcului) rezultă:

$$r_2 = r_1 e^{\frac{2\pi n}{\sqrt{A^2-1}}}. \quad (6.178)$$

Deoarece se poate considera $\frac{1}{\sqrt{A^2-1}} \approx \frac{1}{A}$, mărimea A^2 fiind mult
mai mare ca 1, atunci se obține:

$$r = r_1 e^{\frac{\varphi}{\sqrt{A^2-1}}} \approx r_1 e^{\frac{\varphi}{A}} \approx r_1 e^{\frac{\varphi}{\cotg \alpha \cotg \frac{\psi}{2}}} = r_1 e^{\varphi \operatorname{tg} \alpha \operatorname{tg} \frac{\psi}{2}} \quad (6.179)$$

Înălțimea liberă a arcului $H_0 = (r_2 - r_1) \cotg \frac{\psi}{2}$. (6.180)

Pasul arcului este variabil și se determină cu relația

$$p = re^{\varphi \operatorname{tg} \alpha \operatorname{tg} \frac{\psi}{2} \left(e^{2\pi \operatorname{tg} \alpha \operatorname{tg} \frac{\psi}{2}} - 1 \right) \cotg \frac{\psi}{2}}. \quad (6.181)$$

Lungimea totală a arcului de spirală în plan

$$s = \int_0^{2\pi} n \sqrt{r^2 + \left(\frac{dr}{d\varphi} \right)^2} d\varphi = \cotg \alpha \cotg \frac{\psi}{2} (r_2 - r_1), \quad (6.182)$$

iar lungimea sîrmei corespunzătoare spirelor active

$$l = \frac{\cotg \alpha \cotg \frac{\psi}{2} (r_2 - r_1)}{\cos \alpha}. \quad (6.183)$$

6.9.2.2. Arcuri conice cu pas constant

Desfășurarea unui arc conic cu pas constant (fig. 6.51), în cazul unui unghi de pantă mic, este aproximativ o parabolă de gradul al doilea (de obicei unghiul nu depășește $6 \dots 8^\circ$).

Proiecția în plan a unui arc conic cu pas constant este o spirală arhimedică.

Folosind notațiile din figură se poate demonstra că:

$$r = r_1 + \frac{p \operatorname{tg} \frac{\psi}{2}}{2} \varphi = r_1 + t\varphi, \quad (6.184)$$

$$t = \frac{p \operatorname{tg} \frac{\psi}{2}}{2}.$$

Pentru raza spirei maxime se poate scrie relația:

$$r_2 = r_1 + t2\pi n; \quad (6.185)$$

n fiind numărul de spire.

Lungimea totală a arcului de spirală arhimedică în plan corespunzătoare porțiunii active a spirelor:

$$S \approx (r_2 + r_1)\pi n. \quad (6.186)$$

Lungimea sîrmei necesare pentru executarea spirelor active ale arcului este dată de relația:

$$l = \frac{(r_2 + r_1)\pi n}{\cos \alpha_m}, \quad (6.187)$$

α_m fiind unghiul de pantă mediu al arcului.

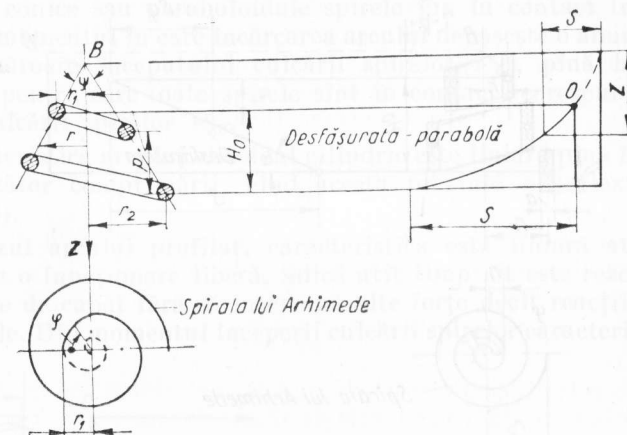


Fig. 6.51

6.9.2.3. Arcuri paraboloidale

În majoritatea cazurilor se folosește tipul de arc paraboloidal la care unghiul de pantă α al spirelor este constant (fig. 6.52).

În acest caz proiecția axei spirelor în plan este de forma unei spirale arhimedice dată de ecuația:

$$r = r_1 + \frac{r_2 - r_1}{2\pi n} \varphi = r_1 + t\varphi. \quad (6.188)$$

Lungimea arcului S_φ al spiralei arhimedice pe porțiunea cuprinsă între valorile unghiului polar de la 0 la φ , corespunzătoare razelor r_1 și r , este dată de relația:

$$S_\varphi \approx \frac{r + r_1}{2} \varphi. \quad (6.189)$$

Folosind notațiile de pe figură, coordonata z a centrului secțiunii transversale a spirei căreia îi corespunde unghiul φ , se determină cu relația:

(6.190)

$$z = S_{\varphi} \operatorname{tg} \alpha = \frac{\varphi(2r_1 + l\varphi)}{2} \operatorname{tg} \alpha. \quad (6.190)$$

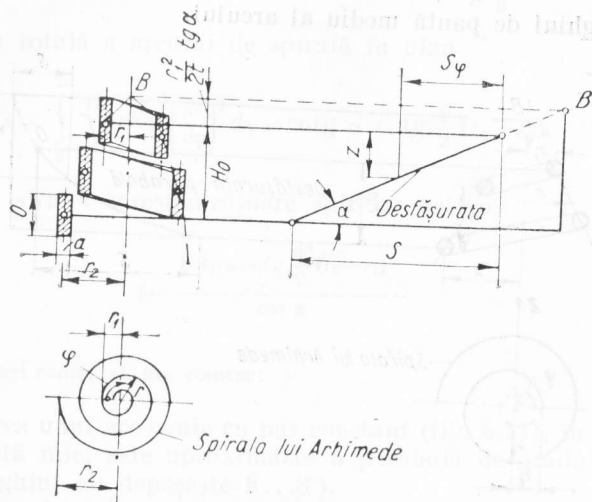


Fig. 6.52

Din cele două relații se obține:

$$r^2 = 2lz \cotg \alpha + r_1^2. \quad (6.191)$$

Vîrfurile parabolice se află deasupra spirei celei mai mici, de rază r_1 la distanța

$$z_B = -\frac{r_1^2}{2l} \operatorname{tg} \alpha \quad (6.192)$$

de originea stabilită în planul spirei mici.

Pasul arcului este variabil și este dat de relația:

$$p = 2\pi(r + \pi l) \operatorname{tg} \alpha. \quad (6.193)$$

Lungimea sîrmei pentru spirele active ale arcului

$$l = \frac{(r_2 + r_1)\pi n}{\cos \alpha}. \quad (6.194)$$

6.9.3. Calculul arcurilor profilate

În cazul arcurilor profilate, alegerea relațiilor de calcul, care se folosesc, depinde de modul lor de funcționare.

Dacă la arcurile cilindrice cu unghi de pantă α , strict constant, toate spirele vin simultan în contact la realizarea sarcinii maxime, la arcurile profilate conice sau paraboloidale spirele vin în contact treptat, începînd din momentul în care încărcarea arcului depășește o anumită valoare corespunzătoare începutului culcării spirelor P_{ic} , pînă la o valoare maximă, pentru care toate spirele sînt în contact, corespunzătoare sfîrșitului culcării spirelor P_{sc} .

Caracteristica arcului elicoidal cilindric este liniară pînă în momentul corespunzător comprimării, cînd acesta prezintă o inflexiune bruscă (fig. 6.53).

În cazul arcului profilat, caracteristica este liniară atît timp cît acesta are o funcționare liberă, adică atît timp cît este rezemat pe cele două spire de capăt fără să intervină alte forțe decît reacțiile pe aceste spire finale. Din momentul începerii culcării spirelor caracteristica devine

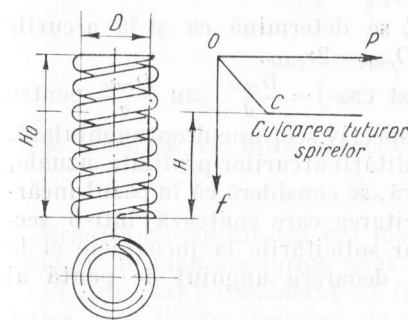


Fig. 6.53

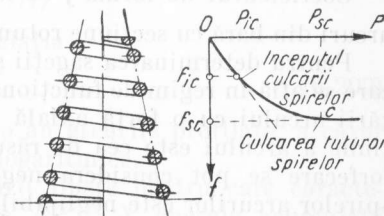


Fig. 6.54

neliniară. Un exemplu este dat în fig. 6.54, în care este reprezentat un arc conic și caracteristica lui.

Se disting astfel două regimuri de funcționare pentru arcurile profilate:

— funcționare liberă, în care arcul este rezemat numai pe spirele de capăt, fără ca celelalte spire să fie în contact; această stare arcul o păstrează pînă la o anumită încărcare, cînd începe culcarea spirelor (P_{ic});

— funcționare limitată la suprafața de reazem, care începe o dată cu depășirea sarcinii P_{ic} , spirele începând să se culce treptat pînă se ajunge la comprimarea totală, sub acțiunea sarcinii P_{sc} .

În cazul arcurilor profilate, o dată cu deformarea lor sub sarcină, se produce și modificarea suprafețelor directoare, care diferă de suprafețele directoare inițiale ale arcului nedeformat.

Calculul de rezistență al arcurilor profilate se face cu ajutorul aceluiași relații valabile și pentru arcurile elicoidale cilindrice de întindere-compresiune, cu observația că, în locul diametrului D trebuie introdus în calcul diametrul D_{calc} al spirei libere maxime, care nu a venit încă în contact. În acest mod, atît în cazul funcționării limitate — la suprafața de reazem, cît și în cazul funcționării libere, relațiile de calcul devin:

$$\tau_{max} = K \frac{P_{max} D_{calc}}{2W_p} = \frac{8KP_{max} D_{calc}}{d^3} = \frac{8KP_{max} j}{d^2} \leq \tau_a, \quad (6.195)$$

în cazul arcului executat din sîrmă cu secțiune rotundă, iar în cazul arcului executat din bară cu secțiune dreptunghiulară:

$$\tau_{max} = \psi \frac{PD_{calc}}{ab\sqrt{ab}}. \quad (6.196)$$

În aceste relații coeficientii K și ψ se determină ca și la arcurile elicoidale cilindrice, însă în funcție de $D_{calc} = 2r_{calc}$.

Coeficientul de formă j se ia în acest caz $j = \frac{D_{calc}}{d}$ sau $\frac{D_{calc}}{a}$ pentru arcuri din bară cu secțiune rotundă și respectiv secțiune dreptunghiulară.

Pentru determinarea săgeții și a rigidității arcurilor profilate uzuale, care se află în regim de funcționare liberă, se consideră că în cazul încărcării arcului cu o forță axială P , solicitarea care contează într-o secțiune a arcului este cea de răsucire, iar solicitările la încovoiere și la forfecare se pot considera neglijabile, deoarece unghiul de pantă al spirelor arcurilor este neglijabil.

Pe baza acestei ipoteze săgeata se poate determina folosind integrala lui Mohr:

$$f = \int_0^1 \frac{M_t M_{t1} ds}{C}, \quad (6.197)$$

în care: $M_t = Pr$; $M_{t1} = lr$; $C = GI_p$.

Lungimea elementului de arc $ds = r d\varphi$.

Din aceste relații se poate constata că săgeata nu depinde de unghiul de pantă al spirelor, ci de unghiul φ , adică este determinată de proiecția

sa pe planul perpendicular la axa arcului, care este o spirală exprimată printr-o funcție de forma $r = f(\varphi)$.

În acest caz se disting două forme:

— cazul unei spirale arhimedice $r = r_1 + t\varphi$;

— cazul unei spirale logaritmice $r = r_1 e^{m\varphi}$.

Efectuînd calculele se obține pentru primul caz:

$$f_{arh} = \frac{\pi P n (r_2 + r_1) (r_2^2 + r_1^2)}{2C}; \quad (6.198)$$

pentru al doilea:

$$f_{lg} = \frac{P(r_2^3 - r_1^3)}{3C} \cdot \frac{2\pi n}{\ln \frac{r_2}{r_1}}. \quad (6.199)$$

De obicei aceste arcuri se compară cu arcurile elicoidale cilindrice cu diametrul $D = 2r_2$, executate dintr-un semifabricat care are același profil și aceeași lungime ca și arcul profilat. Comparînd săgețile se obține:

$$f_{lg} = \frac{1}{3} f_{cil} \left[1 + \frac{r_1}{r_2} + \left(\frac{r_1}{r_2} \right)^2 \right] \quad (6.200)$$

și

$$f_{arh} = \frac{1}{2} f_{cil} \left[1 + \left(\frac{r_1}{r_2} \right)^2 \right]. \quad (6.201)$$

Se constată că între săgeți există relația

$$f_{lg} < f_{arh} < f_{cil}. \quad (6.202)$$

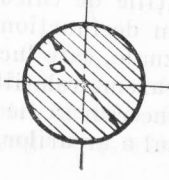
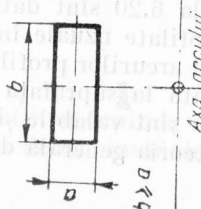
Rezultă că rigiditatea cea mai mare o au arcurile profilate, a căror proiecție în plan are forma unei spirale logaritmice.

Pentru cazul considerat al funcționării libere pentru care caracteristica este liniară (sarcina de încărcare $P \leq P_{ic}$), energia acumulată de arc

$$W = \frac{Pf}{2}. \quad (6.203)$$

În tabela 6.20 sînt date relațiile de calcul mai importante pentru arcurile profilate uzuale în regim de funcționare liberă.

În cazul arcurilor profilate uzuale, care lucrează în regim de funcționare limitată la suprafața de reazem, relațiile de calcul arătate anterior nu mai sînt valabile și este necesar să fie folosite relațiile de calcul bazate pe teoria generală de calcul a arcurilor, ținînd seama de culcarea

Forma secțiunii transversale a spirei	Rigiditatea arcurilor paraboloidale conice cu pas constant ($p = \text{const}$) $c = \frac{P}{I}$, kgf/cm	Rigiditatea arcurilor conice cu unghi de pantă constant ($\alpha = \text{const}$) $c = \frac{P}{I}$, kgf/cm	Energia potențială a arcurilor paraboloidale și a arcurilor conice cu pas constant ($p = \text{const}$) U , kgf·cm	Energia potențială a arcurilor conice cu unghi de pantă constant ($\alpha = \text{const}$) W , kgf·cm
	$\tau_{max} = \frac{16 P r^2}{\pi d^3}$	$c = \frac{G d^4}{16 n (r_2 + r_1) (r_2^2 + r_1^2)}$	$U = \frac{1}{8} \frac{\tau_{max}}{G} V \left[1 + \left(\frac{r_1}{r_2} \right)^2 \right]$	$W = \frac{1}{12} \frac{\tau_{max}}{G} V \times \left[1 + \left(\frac{r_1}{r_2} + \left(\frac{r_1}{r_2} \right)^2 \right) \right]$
	$\tau_{max} = \frac{P r_2}{\zeta a^2 b}$ $\tau_{max} = \frac{2 P r_2}{\zeta a^3}$	$c = \frac{G d^4}{2 \Delta n (r_2 + r_1) (r_2^2 + r_1^2)}$	$U = \frac{3}{2} \frac{\tau_{max}}{G} V \left[1 + \left(\frac{r_1}{r_2} \right)^2 \right]$	$W = \frac{3}{2} \frac{\tau_{max}}{G} V \times \left[1 + \left(\frac{r_1}{r_2} + \left(\frac{r_1}{r_2} \right)^2 \right) \right]$

Observații: 1. În aceste relații: V este volumul ocupat de spirele active; r_2 — raza maximă; r_1 — raza minimă a porțiunii active; τ_{max} — efectul unitar tangențial maxim în secțiunea transversală a spirei pentru $r = r_2$, neglijând curbura.
2. Valorile coeficienților ζ , Δ și φ sînt date în tabela 6.7 în funcție de raportul $\frac{b}{a}$ iar coeficienții ζ și η sînt dați în diagrama din fig. 6.16.

spirelor. Această teorie a fost elaborată de E. P. Popov și se bazează pe ipoteza că forma spiralei plane, care rezultă prin proiectarea spirelor arcului elicoidal pe planul perpendicular pe axa sa nu se modifică în timpul comprimării arcului și pe ipoteza că procesul de deformare al spirelor se termină în momentul culcării lor.

Relațiile principale de calcul pentru arcurile elicoidale profilate sînt date în tabela 6.21.

6.9.4. Construirea caracteristicii arcurilor elicoidale profilate

Problema directă a construirii caracteristicii arcurilor elicoidale profilate și cea inversă a proiectării arcurilor elicoidale profilate pe baza unei caracteristici date a fost tratată și dezvoltată în foarte multe lucrări, dintre care se evidențiază studiile lui E. P. Popov și D. C. Ponomarev.

În cazul arcurilor elicoidale profilate, forma spiralei care reprezintă proiecția spirei arcului pe planul perpendicular pe axă (fig. 6.55) este dată de o ecuație de forma:

$$r = r(\varphi), \quad (6.204)$$

unde $r_1 \leq r \leq r_2$, care se consideră invariabilă în timpul încărcării arcului.

În același timp, ecuația suprafeței directoare a arcului profilat este ecuația secțiunii sale meridiane și are o expresie de forma:

$$z = z(r), \quad (6.205)$$

variabilă o dată cu valoarea sarcinii.

Pentru arcul neîncărcat

$$z_0 = z_0(r). \quad (6.206)$$

În aceste ecuații, unghiul polar φ capătă valori între limitele $0 \leq \varphi \leq 2\pi n$, iar coordonata z_0 între limitele $0 \leq z_0 \leq H_0$.

Se poate observa că raza de contact a spirei, care se culcă la o anumită valoare a sarcinii P , depinde de valoarea sarcinii și se poate exprima sub forma:

$$r_c = f(P). \quad (6.207)$$

Generatoarea suprafeței directoare a unui arc elicoidal profilat se modifică pe măsura încărcării sale. Astfel, în cazul arcului liber, forma

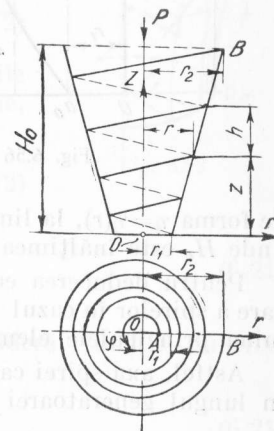


Fig. 6.55

generatoarei este cea dată de curba a_0-b_0 din fig. 6.56, iar în cazul comprimării maxime, forma generatoarei se schimbă și capătă alura curbei a_n-b_n (fig. 6.56 și 6.57).

Față de sistemul de axe cu originea în O_1 , generatoarea a_n-b_n a suprafeței de culcare a unui arc profilat se reprezintă printr-o ecuației

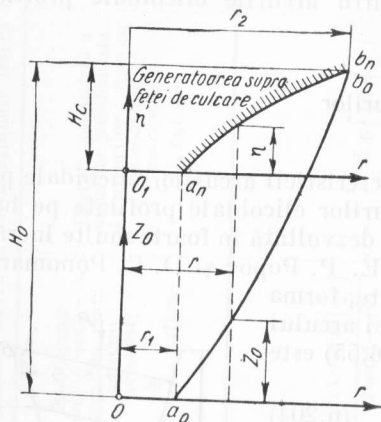


Fig. 6.56

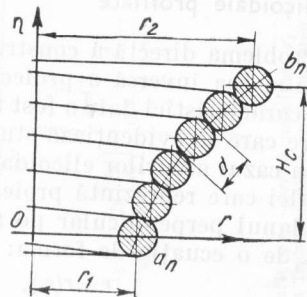


Fig. 6.57

de forma $\eta = \eta(r)$, la limită fiind valabile relațiile: $\eta(r_1) = 0$ și $\eta(r_2) = H_c$ unde H_c este înălțimea arcului complet comprimat.

Pentru deducerea ecuației $\eta = \eta(r)$ a generatoarei suprafeței de culcare a spirelor în cazul unui arc profilat, folosind fig. 6.58, se vor determina principalele elemente geometrice necesare.

Astfel, axa spirei care intră în contact cu spira vecină se deplasează în lungul generatoarei cu o distanță dată de relația:

$$\Delta g = \frac{d}{2\pi} \Delta \varphi, \quad (6.208)$$

în care: d este diametrul spirei;

$\Delta \varphi$ — creșterea unghiului polar φ , corespunzătoare culcării spirei la o creștere a sarcinii.

Valoarea corespunzătoare a deplasării pe axa η a centrului spirei este:

$$\Delta \eta = \sqrt{(\Delta g)^2 - (\Delta r)^2} = \Delta r \sqrt{\left(\frac{d}{2\pi}\right)^2 \left(\frac{\Delta \varphi}{\Delta r}\right)^2 - 1}. \quad (6.209)$$

Expresia funcției căutate $\eta(r)$ se obține deci din integrala:

$$\eta(r) = \int_{r_1}^r \sqrt{\left(\frac{d}{2\pi}\right)^2 \cdot \left(\frac{d\varphi}{dr}\right)^2 - 1} \cdot dr, \quad (6.210)$$

în care derivata $\frac{d\varphi}{dr}$ se obține din ecuația $r = r(\varphi)$ a spiralei proiectate în plan.

Lungimea unui element din spiră poate fi considerată cu aproximație

$$ds = r d\varphi. \quad (6.211)$$

Dacă la o spiră expresia săgeții, corespunzătoare culcării spirei cu o lungime elementară ds , este df , valoarea modificării unghiului de pantă (care de altfel este mic) este:

$$d\alpha = \frac{df}{ds} = \frac{1}{r} \frac{df}{d\varphi}. \quad (6.212)$$

Ținând seamă de expresia săgeții pentru arcurile elicoidale cilindrice de întindere — compresiune, se poate scrie:

$$df = \frac{Pr^3 d\varphi}{C} \quad (6.213)$$

și se obține

$$d\alpha = \frac{Pr^2}{C}, \quad (6.214)$$

unde C este rigiditatea barei; $C = GI_p$.

După notațiile lui E. P. Popov se consideră funcția auxiliară

$\xi(r) = \frac{r^3}{C} \frac{d\varphi}{dr}$, astfel că:

$$df = P \xi(r) dr \quad (6.215)$$

sau săgeata

$$f = P \int_{r_1}^{r_2} \xi(r) dr. \quad (6.215,a)$$

Pentru a lega expresia ecuației secțiunii meridiene a suprafeței directe a arcului neîncărcat, $z_0(r)$, de ecuația respectivă a aceluiași arc încărcat, $z(r)$, se pot scrie următoarele relații:

— unghiul de pantă inițial α_0 este dat de relația:

$$\alpha_0 = \frac{dz_0}{ds} = \frac{dz_0}{dr} \frac{1}{r} \frac{dr}{d\varphi},$$

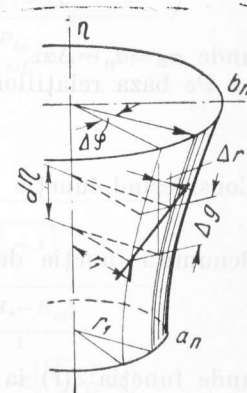


Fig. 6.58

sau

$$\alpha_0 = \frac{1}{\xi(r)} \frac{r^2}{C} \frac{dz_0}{dr}; \quad (6.216)$$

— unghiul de pantă pentru același element al spirei, cînd coincide cu suprafața de culcare, devine:

$$\alpha_n = \frac{d\eta}{ds} = \frac{dr}{rd\varphi} \frac{d\eta}{dr} = \frac{1}{\xi(r)} \frac{r^2}{C} \frac{d\eta}{dr}, \quad (6.217)$$

unde $\alpha_n = \alpha_0 - \Delta\alpha$.

Pe baza relațiilor amintite se obține:

$$P = \left[\frac{1}{\xi(r)} \frac{d(z_0 - \eta)}{dr} \right]_{r=r_0}. \quad (6.218)$$

Considerînd funcția

$$\zeta(r) = z_0(r) - \eta(r) \quad (6.219)$$

denumită funcția de culcare, se obține

$$P = \frac{1}{\xi(r_c)} \left(\frac{d\zeta}{dr} \right)_{r=r_0} \quad (6.220)$$

unde funcția $\zeta(r)$ ia valorile la limita $\zeta(r_1)=0$ și $\zeta(r_2)=H_0-H_c$.

Relația pentru valorile sarcinii P , cuprinse între începutul și sfîrșitul culcării spirelor $P_{ic} \leq P \leq P_{sc}$, este următoarea:

$$f = P \int_{r_1}^{r_2} \xi(r) dr + [H_0 - H_c] - [z_0(r_c) - \eta(r_c)]. \quad (6.221)$$

Ecuatiile (6.220) și (6.221) constituie ecuațiile parametrice ale caracteristicii arcului elicoidal profilat pe porțiunea neliniară și care, prin eliminarea parametrului r_c , devine ecuația curbei caracteristicii arcului.

Relații pentru calculul areurilor

Mărimile care se determină	Felul arcului	Arc paraboloidal	
		$(r_2 - r_1) > nd$	$(r_2 - r_1) < nd$
Forma proiecției arcului în plan		$r = r_1 + \frac{(r_2 - r_1)}{2\pi n} \varphi$ — spirala arhimedică	
Forța pentru care începe culcarea spirelor P_{ic}		$P_{ic} = \frac{C \cdot H_0}{\pi n(r_2 + r_1)r_2^2}$	$P_{ic} = \frac{C}{\pi n r_2^2} \left(\frac{H_0}{r_2 + r_1} - \frac{H_m}{2r_2} \right)$
Săgeata corespunzătoare începerii culcării spirelor ($P = P_{ic}$)		$f_{ic} = 0,5(1 + \lambda_0^2)H_0$	$f_{ic} = \frac{P_{ic}\pi n(r_1^2 + r_2^2)(r_1 + r_2)}{2C}$
Săgeata arcului sub acțiunea unei forțe mai mici decât cea corespunzătoare începerii culcării spirelor ($0 \leq P \leq P_{ic}$)		$f = \frac{P\pi n(r_2^2 + r_1^2)(r_2 + r_1)}{2C}$	
Forța pentru care se realizează comprimarea totală a arcului (sfîrșitul culcării spirelor P_{sc})		$P_{sc} = \frac{P_{ic}}{\lambda_0^2}$	$P_{sc} = \frac{C}{\pi n r_1^2} \left(\frac{H_0}{r_1 + r_2} - \frac{H_m}{2r_1} \right)$
Săgeata corespunzătoare unei forțe P $P_{ic} \leq P \leq P_{sc}$		$f = \frac{0,5H_0}{1 - \lambda_0^2} \left(2 - \frac{P_{ic}}{P} - \frac{P}{P_{ic}} \cdot \lambda_0^2 \right)$	$f \approx \frac{0,5(H_0 - H_m)}{1 - \lambda_0^2} \times \left(2 - \frac{P_1}{P} - \frac{P}{P_1} \lambda_0^2 \right)$ unde $P_1 = \frac{C(H_0 - H_m)}{\pi n(r_1 + r_2)r_2^2}$
Raza de calcul corespunzătoare unei forțe P după începerea culcării: r_{calc} pentru $P_{ic} \leq P \leq P_{sc}$		$r_{calc} = r_2 \sqrt{\frac{P_{ic}}{P}}$	$r_{calc} \approx r_2 \sqrt{\frac{P_1}{P}}$
Momentul de răsucire maxim pentru calculul eforturilor unitare maxime pentru o forță P $P_{ic} \leq P \leq P_{sc}$		$M_t = r_2 \sqrt{P_{ic}P}$	$M \approx r_2 \sqrt{P_1P}$

În aceste relații: H_0 este înălțimea liberă a arcului;

r_1 — raza minimă a porțiunii active a spirelor;

r_2 — raza maximă a porțiunii active a spirelor;

$C = GIp$; $\lambda_0 = \frac{r_1}{r_2}$; $H_m = \sqrt{(nd)^2 - (r_2 - r_1)^2}$;

$$r_m = \frac{d}{2\pi m(1 + \pi m)}; \quad m = \frac{\ln \frac{r_2}{r_1}}{2\pi n}.$$

Arcuri inelare

7.1. Generalități

Arcurile inelare se compun dintr-un număr de inele exterioare și interioare, care au suprafețele de contact dublu conice și sînt suprapuse axial, alternativ, formînd un ansamblu elastic. Sub acțiunea unei sarcini axiale inelele interioare se împănază în interiorul inelelor exterioare, astfel că lungimea totală a ansamblului de inele se scurtează. În fig. 7.1 este reprezentată schema unui ansamblu de arcuri inelare în stare liberă (fig. 7.1, a) și în stare încărcată (fig. 7.1, b).

Ansamblul de inele suprapuse se așază într-o montură metalică, telescopică, astfel că arcul poate fi acționat numai în sens axial la compresiune.

Sub acțiunea sarcinii axiale inelele exterioare sînt sollicitate la întindere, iar cele interioare la compresiune.

Arcurile inelare prezintă următoarele avantaje:

Principalul avantaj al arcurilor inelare provine din faptul că între inele se dezvoltă forțe de frecare foarte mari, care fac ca ansamblul să aibă o capacitate de încărcare foarte mare în raport cu dimensiunile sale și o capacitate mare de amortizare a energiilor mari de șoc. Energia transmisă prin șoc arcului se amortizează prin frecarea dintre inele în raportul 2/3 din valoarea totală, rămînînd ca restul de 1/3 să se amortizeze prin deformația elastică a inelelor. De asemenea trebuie remarcat faptul că aceste arcuri au un recul foarte mic. Arcul redă, în caz de destindere, numai 1/3 din lucrul mecanic de șoc acumulat prin comprimare.

Ocupă un volum relativ mic.

Materialul din inele este solicitat uniform și prin aceasta este superior altor arcuri în ceea ce privește capacitatea de lucru.

Din cauza condițiilor de solicitare, durata de funcționare a arcurilor este foarte mare.

În cazul ruperii unui inel nu este necesară înlocuirea întregului arc, ci numai a inelului rupt.

Arcurile inelare nu se distrug prin supraîncărcare, deoarece la atingerea săgeții maxime inelele se ating frontal între ele.

Arcurile inelare prezintă dezavantajul că nu pot fi utilizate în toate cazurile ca arcuri de compresiune, prin faptul că, datorită frecărilor,

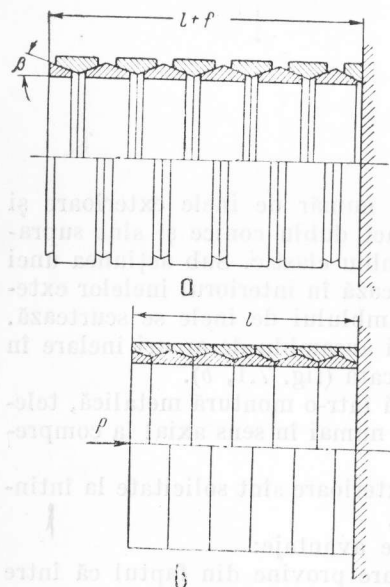


Fig. 7.1

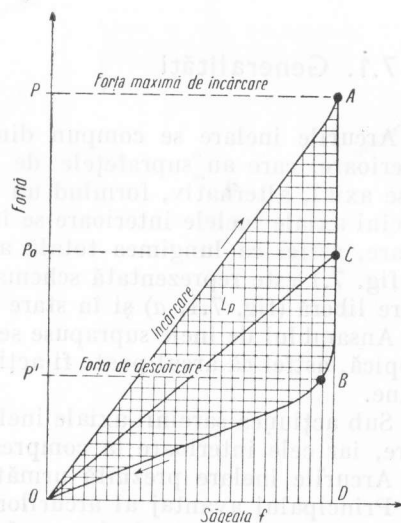


Fig. 7.2

forța elastică la descărcare este mult mai mică decât cea de încărcare, astfel că legătura elastică în ambele sensuri — comprimare și întindere — nu este similară. În acest sens, la arcul inelar caracteristica la încărcare diferă de cea de la descărcare. În fig. 7.2 sînt reprezentate cele două caracteristici ale arcului inelar.

Din această cauză arcurile inelare au un domeniu de utilizare restrîns. Ele sînt folosite ca arcuri-tampon pentru amortizarea șocurilor puternice la vagoanele de cale ferată, sau la utilaje grele, la care apar șocuri mari.

7.2. Calculul arcurilor inelare

În fig. 7.3 este reprezentată o secțiune printr-o pereche de inele, unul exterior și altul interior, care fac parte dintr-un ansamblu de inele ale unui arc. În figură apare și un inel de capăt care servește la montarea arcului.

Sub acțiunea forței P , care încarcă în sens axial ansamblul de inele ce formează arcul, inelele se împănăază între ele, astfel că în suprafața de contact se naște o presiune p , care se consideră a fi uniform repartizată și care produce întinderea inelelor exterioare și comprimarea inelelor interioare.

Aria suprafeței conice se determină cu relația

$$A_m = \pi r_m \frac{h}{\cos \beta}, \quad (7.1)$$

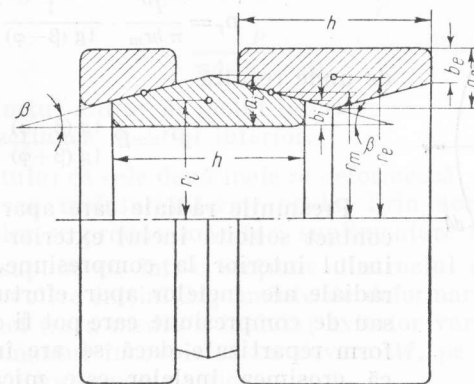


Fig. 7.3

în care:

- r_m este raza medie a suprafeței conice;
- h — înălțimea inelului;
- β — unghiul de înclinare al generatoarei suprafeței conice față de axă.

Condiția de echilibru pentru forțele care lucrează în direcția axei arcului, notind coeficientul de frecare $\mu = \operatorname{tg} \varphi$, unde φ reprezintă unghiul de frecare, este următoarea:

$$P = p A_m (\sin \beta + \mu \cos \beta) = \frac{p A_m \sin (\beta + \varphi)}{\cos \varphi}, \quad (7.2)$$

de unde rezultă valoarea presiunii pe suprafața conică:

$$p = \frac{P \cos \varphi}{A_m \sin (\beta + \varphi)}. \quad (7.3)$$

Componenta presiunii p pe suprafață în sens radial, care produce compresiunea, respectiv întinderea inelelor interior și exterior, este dată de relația:

$$p_r = \frac{P}{A_m \cos \beta} \cdot \frac{1}{\operatorname{tg} (\beta + \varphi)} = \frac{P}{\pi h r_m} \cdot \frac{1}{\operatorname{tg} (\beta + \varphi)}. \quad (7.4)$$

În cazul unui arc încărcat cu sarcina P , care urmează a fi destins, forța de destindere P' corespunde aceleiași presiuni radiale p_r . Ținând seamă că la destindere sensul forțelor de frecare este invers, rezultă relația:

$$p_r = \frac{P'}{\pi h r_m} \cdot \frac{1}{\operatorname{tg} (\beta - \varphi)}, \quad (7.5)$$

de unde rezultă

$$P' = P \frac{\operatorname{tg} (\beta - \varphi)}{\operatorname{tg} (\beta + \varphi)}. \quad (7.6)$$

Presiunile radiale care apar în suprafața de contact solicită inelul exterior la întindere și inelul interior la compresiune. În secțiunile radiale ale inelelor apar eforturi de întindere sau de compresiune care pot fi considerate uniform repartizate dacă se are în vedere faptul că grosimea inelelor este mică în raport cu diametrul lor.

Condiția de echilibru pe direcția axei Ox , pentru jumătate dintr-un inel exterior (fig. 7.4) este următoarea:

$$2\sigma_e \cdot A_e = \int_0^\pi dP \quad (7.7)$$

știind că

$$dA = h r_m d\alpha \quad (7.8)$$

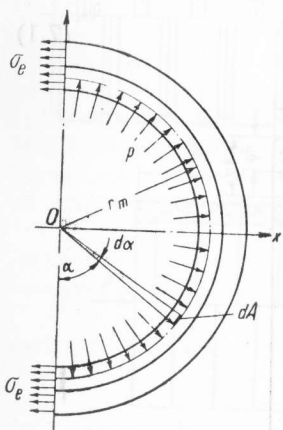


Fig. 7.4

și

$$dP = p_r h r_m \sin \alpha d\alpha \quad (7.9)$$

rezultă

$$2\sigma_e A_e = \int_0^\pi p_r h r_m \sin \alpha d\alpha,$$

de unde

$$\sigma_e = \frac{P}{\pi A_e \operatorname{tg} (\beta + \varphi)}, \quad (7.10)$$

în care:

- A_e este secțiunea inelului exterior;
- σ_e — efortul unitar în inelul exterior;
- dA — proiecția elementului de arie al suprafeței de contact laterală, conică, pe un plan perpendicular pe raza respectivă;
- dP — componenta forței care acționează pe un element al suprafeței de contact după direcția axei Ox .

În mod analog pentru inelul interior

$$\sigma_i = \frac{P}{\pi A_i \operatorname{tg} (\beta + \varphi)}, \quad (7.11)$$

unde: σ_i este efortul unitar în inelul interior;

A_i — secțiunea inelului interior.

Datorită faptului că cele două inele se deformează, raza inelului exterior crește și raza inelului interior scade. Prin aceste schimbări ale curburilor inelelor se produc solicitări suplimentare de încovoiere.

Dacă se presupune că într-o secțiune din inelul exterior există un moment de încovoiere inițial M_0 înainte de deformare și că prin întinderea acestui inel (raza medie a inelului exterior variază de la r_e până la $r_e + \Delta r_e$), momentul încovoiator va deveni M , pe baza relațiilor de bază de la încovoiere se poate scrie:

$$M_0 - M = E I \left(\frac{1}{r_e} - \frac{1}{r_e + \Delta r_e} \right), \quad (7.12)$$

unde: E este modulul de elasticitate al materialului din care este executat inelul;

I — momentul de inerție al secțiunii inelului în raport cu axa neutră, paralelă cu axa arcului.

Deoarece în situația inițială a inelului nedeformat momentul de încovoiere este nul ($M_0=0$), rezultă

$$M = E I \frac{\Delta r_e}{r_e^2} \quad (7.13)$$

Efortul unitar la încovoiere în fibra extremă, aflată la distanța v de axa neutră, este dat de relația

$$\sigma_{ie} = \frac{Mv}{I} = E v \frac{\Delta r_e}{r_e^2} \quad (7.14)$$

Expresia efortului unitar de încovoiere se poate corela cu expresia alungirii specifice. Conform legii lui Hooke

$$\sigma_e = E \varepsilon_e \quad (7.15)$$

În cazul inelului exterior

$$\varepsilon_e = \frac{2\pi(r_e + \Delta r_e) - 2\pi r_e}{2\pi r_e} = \frac{\Delta r_e}{r_e} \quad (7.16)$$

Din relațiile (7.15) și (7.16) se deduce:

$$\Delta r_e = r_e \varepsilon_e = r_e \frac{\sigma_e}{E} \quad (7.17)$$

Rezultă că expresia efortului unitar suplimentar, datorit încovoierei, devine

$$\sigma_{ie} = \frac{v}{r_e} \sigma_e \quad (7.18)$$

În mod similar se deduce efortul unitar suplimentar, datorit încovoierei inelului interior, produsă prin deformarea sa

$$\sigma_{ii} = \frac{v}{r_e} \sigma_i \quad (7.19)$$

Deoarece grosimea inelelor este mică în raport cu diametrul lor, raportul $\frac{v}{r}$ este mic, astfel că valoarea eforturilor unitare suplimentare reprezintă aproximativ 5–7% din valoarea efortului unitar de compresiune sau de întindere. În același timp trebuie menționat faptul că eforturile unitare suplimentare datorite încovoierei acționează în sensul măririi solicitării la inelele exterioare și în sensul scăderii la inelele interioare.

Dat fiind condițiile de funcționare diferită a celor două inele, rezistența admisibilă recomandată pentru inelele exterioare este mai mică

decît cea recomandată pentru inelele interioare, chiar dacă materialul este același. Pentru a echilibra rezistențele efective care se nasc în secțiunile inelelor, acestea se dimensionează astfel că secțiunea inelelor exterioare să fie cu aproximativ 15–30% mai mare decît a inelelor interioare. O altă soluție constă în a executa inelele din materiale diferite, și anume materialul pentru inelele exterioare să fie un oțel mai moale.

Dacă pentru variația razelor există relațiile:

$$\Delta r_e = \frac{\sigma_e}{E} r_e \quad (7.20)$$

alungirea razei inelului exterior

$$\Delta r_i = \frac{\sigma_i}{E} r_i \quad (7.21)$$

(scurtarea razei inelului interior), rezultă că, la împănarea celor două inele pe o singură suprafață de contact, ele intră unul în altul în sens axial cu distanța

$$f_0 = \frac{\sigma_i r_i + \sigma_e r_e}{E \operatorname{tg} \beta} \quad (7.22)$$

Pentru un număr de z perechi de inele rezultă săgeata totală a arcului

$$f_{tot} = z f_0 = \frac{z}{E} \cdot \frac{\sigma_i r_i + \sigma_e r_e}{\operatorname{tg} \beta} \quad (7.23)$$

sau

$$f_{tot} = \frac{z P}{\pi E \operatorname{tg} \beta \operatorname{tg}(\beta + \varphi)} \left[\frac{r_i}{A_i} + \frac{r_e}{A_e} \right] \quad (7.24)$$

Lucrul mecanic înmagazinat prin deformarea arcului este dat de relația:

$$L = \frac{P f_{tot}}{2} = \frac{1}{2} \cdot \frac{z P^2}{\pi E \operatorname{tg} \beta \operatorname{tg}(\beta + \varphi)} \left[\frac{r_i}{A_i} + \frac{r_e}{A_e} \right] \quad (7.25)$$

sau înlocuind se obține:

$$L = \frac{1}{2} \pi \frac{\operatorname{tg}(\beta + \varphi)}{\operatorname{tg} \beta} \frac{\sigma_e^2}{E} A_e^2 z \left[\frac{r_i}{A_i} + \frac{r_e}{A_e} \right] \quad (7.26)$$

Pentru determinarea coeficientului de utilizare volumetric se pune expresia lucrului mecanic, în funcție de volum, sub forma:

$$L = \eta_1 \cdot \frac{\sigma_e^2}{E} V \quad (7.27)$$

Volumul total al arcului

$$V = 2\pi(Z_e A_e r_e + Z_i A_i r_i). \quad (7.28)$$

Făcînd calculul se obține:

$$\eta = \frac{1}{4} \frac{z}{Z_e} \cdot \frac{\operatorname{tg}(\beta + \varphi)}{\operatorname{tg} \beta} \cdot \frac{1 + \frac{r_i A_e}{r_e A_i}}{1 + \frac{Z_i r_i A_i}{Z_e r_e A_e}}, \quad (7.29)$$

unde Z_e și Z_i reprezintă numărul de inele exterioare, respectiv interioare.

Pentru cazul particular: $Z_e = Z_i = \frac{z}{2}$ și $A_e = A_i$, relația coeficientului de utilizare volumetric devine:

$$\eta = \frac{1}{2} \cdot \frac{\operatorname{tg}(\beta + \varphi)}{\operatorname{tg} \beta}. \quad (7.30)$$

Revenind la fig. 7.2, curba OA corespunde perioadei de încărcare. Curba ABO , care corespunde perioadei de descărcare, se compune din două părți, și anume porțiunea AB corespunzătoare scăderii sarcinii de la P pînă la P' , arcul păstrînd săgeata constantă, și porțiunea BO cînd săgeata și forța scad pînă la zero. Dacă nu ar exista frecare, caracteristica arcului ar fi dată de dreapta OC , prin faptul că forțele elastice sînt echilibrate de forțele de frecare, în timp ce încărcarea arcului scade de la P pînă la P' . Suprafața cuprinsă în interiorul curbei $OACBO$ reprezintă lucrul mecanic consumat prin frecare.

Deoarece lucrul mecanic corespunzător porțiunilor OA la încărcare și BO la descărcare se determină cu relațiile:

$$L = \frac{1}{2} \frac{\operatorname{tg}(\beta + \varphi)}{\operatorname{tg} \beta} \frac{\sigma^2}{E} V \text{ și } L' = \frac{1}{2} \frac{\operatorname{tg}(\beta - \varphi)}{\operatorname{tg} \beta} \frac{\sigma^2}{E} V, \quad (7.31)$$

raportul dintre lucrul mecanic consumat prin frecare și lucrul mecanic total este dat de raportul:

$$\frac{Lp}{L} = \frac{L - L'}{L} = 1 - \frac{L'}{L} = 1 - \frac{\operatorname{tg}(\beta - \varphi)}{\operatorname{tg}(\beta + \varphi)}. \quad (7.32)$$

Pentru valorile uzuale ale lui β și φ , valoarea acestui raport este de aproximativ 0,7, ceea ce înseamnă că aproximativ 70% din lucrul mecanic înmagazinat se consumă în arc prin frecare transformîndu-se în căldură. În diagramă, suprafața $OACBO$ reprezintă deci aproximativ 70% din suprafața $OACDO$.

Exemplu de calcul. Să se calculeze un arc-tampon inelar care să preia o forță $P = 20\,000$ kgf, amortizînd un lucru mecanic $L = 100\,000$ kgf·cm, știind că raza medie a arcului — din motive de spațiu — se fixează la valoarea $r_m = 10$ cm (fig. 7.5)

Rezolvare. Pentru dimensionarea arcului se aleg: unghiul de înclinație al suprafețelor de contact $\beta = 14^\circ$; unghiul de frecare $\varphi = 8^\circ$; rezistența admisibilă la compresiune $\sigma_{ac} = 13\,000$ kgf/cm²; rezistența admisibilă la tracțiune $\sigma_{at} = 10\,000$ kgf/cm²; presiunea admisibilă de contact $p_a = 1\,000$ kgf/cm²; lungimea arcului $l = (3,3 \dots 10)f$; raportul dintre aria secțiunii inelului exterior și aria secțiunii inelului interior $y = \frac{A_e}{A_i} = 1,3$.

a. Săgeata maximă a arcului:

$$f = \frac{2L}{P} = \frac{2 \times 100\,000}{20\,000} = 10 \text{ cm.}$$

Forța de destindere:

$$P' = P \frac{\operatorname{tg}(\beta - \varphi)}{\operatorname{tg}(\beta + \varphi)} = P \frac{\operatorname{tg} 6^\circ}{\operatorname{tg} 22^\circ} = 0,26 P.$$

b. Aria secțiunii unui inel exterior se determină ținînd seamă că inelul este solicitat la întindere:

$$A_e = \frac{P}{\pi \sigma_{at} \operatorname{tg}(\beta + \varphi)} = \frac{20\,000}{\pi \times 10\,000 \operatorname{tg} 22^\circ} = \frac{20\,000}{\pi \times 10\,000 \times 0,404} = 1,57 \text{ cm}^2.$$

Aria secțiunii unui inel interior se determină ținînd seamă că inelul este solicitat la compresiune:

$$A_i = A_e \frac{\sigma_{at}}{\sigma_{ac}} = 1,57 \times \frac{10\,000}{13\,000} \text{ cm}^2.$$

c. Grosimea inelului exterior se obține egalînd forța datorită presiunii dintre inele cu forța datorită solicitării la întindere.

$$2r_m h p_a = 2a_e h \sigma_{at} \text{ sau } a_e = r_m \frac{p_a}{\sigma_{at}} = 10 \times \frac{1\,000}{10\,000}.$$

Grosimea inelului interior:

$$y = \frac{A_e}{A_i} = \frac{a_e}{a_i} \text{ sau } a_i = \frac{a_e}{\frac{A_e}{A_i}} = \frac{1}{1,3} \times 10 = 7,7 \text{ mm.}$$

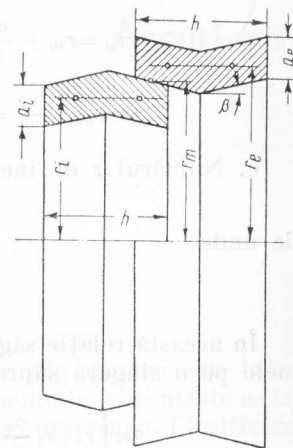


Fig. 7.5

Înălțimea unui inel:

$$h = \frac{A_e}{a_e} = \frac{1,57}{1} = 1,57 \text{ cm} = 15,7 \text{ mm}.$$

d. Pentru razele care trec prin centrele de greutate ale secțiunilor inelelor rezultă valorile:

$$r_e = r_m + \frac{a_e}{2} = 10 + \frac{1}{2} = 10,5 \text{ cm} = 105 \text{ mm};$$

$$r_i = r_m - \frac{a_i}{2} = 10 - \frac{0,77}{2} = 9,615 \text{ cm} = 96,15 \text{ mm}.$$

e. Numărul z de inele se deduce din relația săgeții totale

$$f = f_0(z-1),$$

de unde

$$z = \frac{f}{f_0} + 1.$$

În această relație săgeata corespunzătoare alunecării unei perechi de inele pe o singură suprafață de contact este următoarea

$$f_0 = \frac{\sigma_{at} \left(r_e + r_i \frac{\sigma_e}{\sigma_i} \right)}{E \tan \beta} = \frac{10\,000 (10,5 + 9,615 \times 1,3)}{2,1 \times 10^6 \cdot \tan 14^\circ} = 0,441 \text{ cm}.$$

Rezultă $z = \frac{10}{0,441} + 1 = 24,2$ inele; se iau 24 de inele.

Lungimea arcului:

$$l = 0,5hz + f = 0,5 \times 15,7 \times 24 + 10 = 198 \text{ mm}.$$

8

Arcuri-disc

8.1. Generalități

Arcurile-disc sînt sisteme elastice compuse din discuri sau talere inelare în formă de roncle tronconice din oțel montate și centrate axial, astfel încît ansamblul lor să formeze un arc de compresiune. Clasificarea arcurilor-disc este dată în STAS 6916-64.

În afara clasificării date de STAS 6916-64, se pot construi arcuri-disc cu secțiune variabilă, formate din discuri inelare, a căror grosime variază în lungul razei astfel că secțiunea lor transversală are forma unei pene trapezoidale. Pentru a realiza un element elastic (fig. 8.1) se folosește ansamblul de discuri de secțiune variabilă 2, distanțate între ele prin bușele de distanțare și de sprijin 1 și prinse prin inelele de legătură 3. Mărimea săgeții maxime este determinată de lungimea bușelor de distanțare care au prevăzute la capete locașuri de sprijin de formă tronconică, astfel încît la atingerea săgeții maxime bușele se sprijină unele pe altele, întreg ansamblul devenind un corp solid rigid.

Arcurile-disc au început a fi folosite în construcția de mașini abia în ultimul secol și pentru că ele erau la început folosite în producția de armament, metoda de calcul al lor a devenit cunoscută mai tîrziu. În prezent, utilizarea lor, s-a extins în construcția de mașini mai ales cu scopul de a înlocui arcurile elicoidale pentru compresiune, cînd se cere un arc mai rigid corespunzător unor sarcini mari și unor săgeți mici sau pentru amortizarea șocurilor. Se întîlnesc astfel de elemente elastice la utilajele de stanțare, la tampoanele pentru amortizarea șocurilor

mari la materialul rulant sau ca elemente de susținere și ancorare elastică în cazul construcțiilor mari, la care apar dilatări în timpul funcționării utilajelor (cuptoare metalurgice etc.).

În general, elementele elastice formate din discuri cu secțiune constantă sau cu secțiune variabilă prezintă o serie de avantaje care sînt

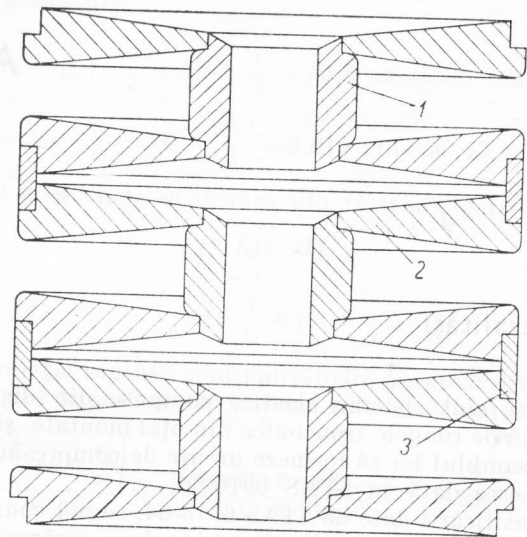


Fig. 8.1

uneori determinante în alegerea lor ca soluție constructivă care să înlocuiască arcurile elicoidale.

Astfel, aceste arcuri: suportă sarcini mari și pot înmagazina lucru mecanic mare, la săgeți relativ mici; au un coeficient de utilizare volumetrică foarte bun; au o caracteristică liniară relativ identică la încărcare și la descărcare; diferența între caracteristica de încărcare și cea de descărcare este în general mică și apare în cazul discurilor suprapuse datorită frecării între talere; rigiditatea și caracteristica elementului elastic pot fi modificate prin gruparea convenabilă a dimensiunilor discurilor sau a numărului de rondelle utilizate; mărimea săgeții totale a arcului poate fi realizată convenabil prin alegerea unui număr corespunzător de discuri; în caz de rupere a unui disc, elementul elastic se reface prin înlocuirea discului respectiv fără a fi nevoie să se renunțe la tot elementul elastic, cum se întâmplă în cazul arcului elicoidal;

în general, pericolul de rupere a discurilor este înlăturat datorită faptului că săgețile sînt limitate fie prin aplatizarea discurilor, fie prin contactul bușelor de distanțare la discurile cu secțiune variabilă.

8.2. Elemente de calcul pentru discuri de grosime constantă

Calculul de proiectare al arcurilor-disc (fig. 8.2) este în general foarte complex.

Pentru stabilirea eforturilor unitare în discuri și a deformațiilor acestora se fac unele ipoteze simplificatoare. În primul rînd se asimilează rondela cu o placă inelară plană neglijîndu-se forma sa conică reală.

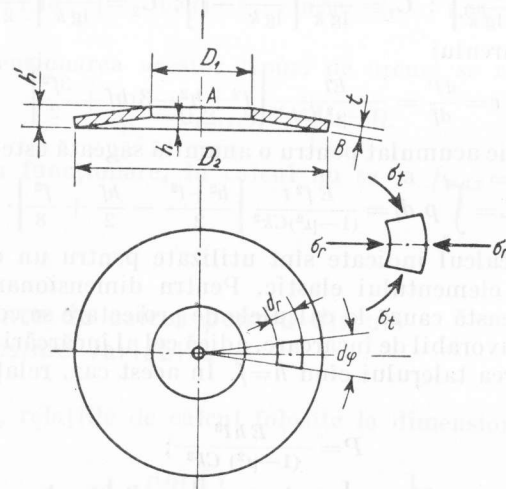


Fig. 8.2

În al doilea rînd, calculele de dimensionare se fac pe baza valorii maxime a eforturilor tangențiale, care apar la bordura interioară a talerului neglijîndu-se eforturile radiale, care de altfel sînt foarte mici.

Pentru calculul de proiectare se folosesc următoarele relații:

$$P = \frac{Ef}{(1-\mu^2)Ck^2} \left[\left(h-f \right) \left(h - \frac{f}{2} \right) t + t^3 \right]; \quad (8.1)$$

$$\sigma_{max} = \frac{Ef}{(1-\mu^2)Ck^2} \left[C_1 \left(h - \frac{f}{2} \right) + C_2 t \right], \quad (8.2)$$

în care:

f — este săgeata pentru un taler;

h — înălțimea discului în stare liberă; $f_{max}=h$;

P — sarcina;

E — modulul de elasticitate;

t — grosimea discului;

μ — coeficientul lui Poisson;

k — raportul de formă al discului; $k = \frac{D_2}{D_1}$

unde:

D_1 — este diametrul interior

D_2 — diametrul exterior.

$$C = \frac{6}{\lg k} \left[\frac{k-1}{\lg k} \right]^2; \quad C_1 = \frac{6}{\lg k} \left[\frac{k-1}{\lg k} - 1 \right]; \quad C_2 = \frac{6}{\lg k} \left[\frac{k-1}{2} \right] \quad (8.3)$$

Rigiditatea arcului

$$c = \frac{dP}{df} = \frac{Et}{(1-\mu^2)Ck^2} \left[t^2 + h^2 - 3hf + \frac{3f^2}{2} \right]. \quad (8.4)$$

Lucrul mecanic acumulat pentru o anumită săgeată este dat de relația:

$$L = \int_0^f p df = \frac{E f^2 t}{(1-\mu^2)Ck^2} \left[\frac{h^2 + t^2}{2} - \frac{hf}{2} + \frac{f^2}{8} \right]. \quad (8.5)$$

Relațiile de calcul indicate sînt utilizate pentru un calcul de verificare precisă a elementului elastic. Pentru dimensionare acestea sînt dificile și din această cauză la calculele de proiectare se consideră inițial cazul cel mai defavorabil de încărcare, adică cel al încărcării la maximum pînă la aplatizarea talerului cînd $h=f$. În acest caz, relațiile de dimensionare sînt:

$$P = \frac{E h t^3}{(1-\mu^2) C k^2}; \quad (8.6)$$

$$\sigma_{max} = \frac{E h}{(1-\mu^2) C k^2} \left[C_1 \frac{h}{2} + C_2 t \right] = \frac{P}{t^3} \left[C_1 \frac{h}{2} + C_2 t \right]. \quad (8.7)$$

Deoarece și aceste relații necesită încercări repetate pînă la stabilirea dimensiunilor corespunzătoare, se pot utiliza relațiile aproximative stabilite de prof. Max Essling în „Dinglers polytechnisches Journal“, Berlin, 1903:

$$P = \frac{\sigma t^2}{1,24 \psi_1}; \quad (8.8)$$

$$f = \frac{0,112 \psi_2 D_2^2 \sigma}{t E} \quad (8.9)$$

Aceste relații sînt valabile numai pentru eforturi unitare sub $\sigma_t = 15\,000 \text{ kgf/cm}^2$ și pentru porțiunea din caracteristică ce se păstrează aproximativ liniară. Valorile coeficienților ψ_1 și ψ_2 sînt dați în tabela

8.1 în funcție de raportul $\frac{D_1}{D_2} = \frac{1}{k}$.

Tabela 8.1

Valorile coeficienților de calcul ψ_1 și ψ_2

$\frac{D_1}{D_2}$	ψ_1	ψ_2	$\frac{D_1}{D_2}$	ψ_1	ψ_2
0,20	1,81	0,704	0,35	1,33	0,999
0,25	1,61	0,816	0,40	1,23	1,062
			0,45	1,14	1,117
0,30	1,46	0,911	0,50	1,06	1,151

Pentru dimensionarea acestor tipuri de arcuri se recomandă:

$$\frac{D_1}{D_2} = 0,2 \dots 0,6; \quad \frac{D_2}{t} \leq 35.$$

Pentru buna funcționare, în calcul nu se ia $f_{max}=h$, ci se alege

$$\frac{h}{f_{max}} \approx \frac{4}{3}.$$

8.3. Elemente de calcul pentru discuri de grosime variabilă

În acest caz, relațiile de calcul folosite la dimensionarea discurilor sînt:

$$f = \frac{P D_2^2}{4 E t_1^3} \left[\frac{1}{28} (5-k)^2 + 0,04 \right]; \quad (8.10)$$

$$\sigma = \frac{P}{t_1^2} \left[\frac{1}{44} (5-k)^2 + 0,3 \right], \quad (8.11)$$

în care:

σ — este efortul unitar maxim în disc;

t_1 — grosimea discului pe conturul interior;

t_2 — grosimea discului pe conturul exterior.

Aceste relații sînt valabile pentru valori ale lui k cuprinse între 1,5 și 5.

Relațiile (8.10) și (8.11) se mai pot scrie și sub forma:

$$f = \frac{PD_1^2 k^3}{4Et_2^3} \left[\frac{1}{28} (5-k)^2 + 0,04 \right]; \quad (8.12)$$

$$\sigma = \frac{Pk^2}{t_2^3} \left[\frac{1}{44} (5-k)^2 + 0,3 \right]. \quad (8.13)$$

Din (8.12) se deduce expresia forței capabile:

$$P = \frac{4fEt_2^3}{k^3 D_1^2 \left[\frac{1}{28} (5-k)^2 + 0,04 \right]}, \quad (8.14)$$

sau în funcție de efortul unitar σ ,

$$P = \frac{\sigma t_2^3}{k^2 \left[\frac{1}{44} (5-k)^2 + 0,3 \right]}, \quad (8.15)$$

8.4. Indicații tehnologice

Atît pentru arcurile disc cu secțiune constantă, cît și pentru cele cu secțiune variabilă se utilizează oțeluri de arc de cea mai bună calitate. Pentru discurile cu secțiune constantă se folosesc benzi din oțel, care, pentru asigurarea unei grosimi cît mai uniforme, se rectifică pe ambele fețe. Prin ștanțare se taie din benzi discuri de dimensiuni acoperitoare, adică discuri cu diametrul exterior mai mare și diametrul interior mai mic. Pentru a înlătura eforturile unitare remanente sau fisurile care apar datorită procesului de ștanțare, discul se strunjește și se alezează la dimensiunile sale. Deoarece la bordura interioară aceste eforturi unitare remanente sau fisuri provocate de procesul de ștanțare sînt periculoase, pentru arcuri mai pretențioase se înlocuiește ștanțarea găurii centrale printr-o operație de găurire. Forma conică a talerului se realizează prin presare la rece dacă grosimea sa este sub 4 mm sau la cald dacă grosimea este mai mare. Înainte de montarea discurilor se recomandă rotunjirea muchiilor talerelor mai ales la bordura exterioară. Montarea discurilor pe axul central este însoțită de cîteva încărcări la maximum, pînă la aplatizarea lor astfel ca unghiul de înclinare a generatoarei suprafeței conice să primească mărimea sa nominală înainte de aplicarea tratamentului termic.

Tratamentul termic trebuie aplicat cu deosebită grijă pentru a se asigura o uniformitate de proces pentru toate talerele pe toate suprafe-

țele. Se aplică un tratament de călire urmat de o revenire, astfel ca să se obțină o duritate RC de 45–52 HRC.

Tija centrală de ghidare se execută prin strunjire din OLC45 STAS 880-60 sau din OL60 STAS 500-63 și se tratează termic la duritatea 40 HRC.

Discurile cu secțiune variabilă se execută din oțel de arc de cea mai bună calitate, STAS 795-62. Bucșele de distanțare se execută din OL60, STAS 500-63 prin strunjire și se tratează termic, iar inelele de legătură se execută din oțel de arc de aceeași calitate ca și discurile, acestea fiind tăiate asemănător segmenților de piston. Ele se montează la fel ca și segmenții.

Exemplu de calcul. Să se dimensioneze un arc-disc, care să suporte o sarcină de 800 kgf și să dea pentru întregul arc o săgeată de aproximativ 22 mm. Diametrul interior al discului necesar a fi prevăzut pentru bolțul de ghidare și centrare a discurilor trebuie să fie $D_1 = 24$ mm.

Rezolvare. Se alege $\sigma_a = 15\,000$ kgf/cm² și raportul diametrelor $\frac{D_1}{D_2} = 0,35$.

Rezultă diametrul exterior al unui disc

$$D_2 = \frac{D_1}{0,35} = \frac{24}{0,35} = 68,5 \text{ mm.}$$

Se ia $D_2 = 68$ mm.

Folosind tabela 8.1 se determină coeficienții ψ_1 și ψ_2 :

$$\psi_1 = 1,33 \text{ și } \psi_2 = 0,999.$$

Grosimea discului:

$$t = \sqrt{\frac{1,24\psi_1 P}{\sigma_a}} = \sqrt{\frac{1,24 \times 1,33 \times 800}{150}} = 2,7 \text{ mm.}$$

Se ia $t = 3$ mm.

Săgeata corespunzătoare unui disc simplu:

$$f = \frac{0,112 D_2^2 \sigma_a \psi_2}{tE} = \frac{0,112 \times 68^2 \times 150 \times 0,99}{3 \times 2,1 \times 10^4} = 1,2 \text{ mm.}$$

Rezultă că pentru a obține o săgeată totală de 22 mm este necesar ca întreg arcul să fie format din 10 grupe de două discuri simple.

Arcuri termobimetalice

9.1. Generalități

Arcurile termobimetalice sînt executate din două lamele metalice din materiale diferite, îmbinate între ele prin sudură sau prin lipire, formînd astfel o singură lamelă care, datorită diferenței de dilatare dintre cele două lamele componente produce o deformare a lamelei rezultate, care are mare asemănare cu alura deformării în încovoiere. Stratul (lamela) cu un coeficient de dilatare mare se numește *strat activ*, iar cel cu coeficient de dilatare mic se numește *strat inert*.

Cea mai simplă formă de arc termobimetalic este aceea a unei lamele din două straturi, încastrată la un capăt. Sensibilitatea acestor arcuri

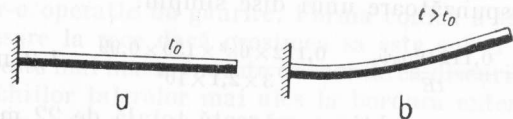


Fig. 9.1

este dependentă de mărimea săgeții care apare în capătul liber al lamelei care, la rîndul ei, depinde de lungimea lamelei bimetalice. Pentru a obține elemente elastice cu sensibilitate cît mai mare și totodată cu

un gabarit cît mai redus se dă arcului termobimetalic forma spirală sau elicoidală.

În fig. 9.1 este reprezentată schema unui arc termobimetalic în forma unei lamele din două straturi, încastrată la un capăt, în stare nedeformată (fig. 9.1, a) și în stare deformată (fig. 9.1, b).

Arcurile termobimetalice sînt utilizate în mod deosebit în construcția aparatelor de măsură, în construcția releelor, în construcția reglatoarelor de temperatură și în construcția anumitor mecanisme și dispozitive de comandă. Utilizarea arcurilor termobimetalice este propice atît în cazurile în care se măsoară temperatura, cît și în cazurile în care alți parametri care trebuie măsurați se pot transforma sau sînt

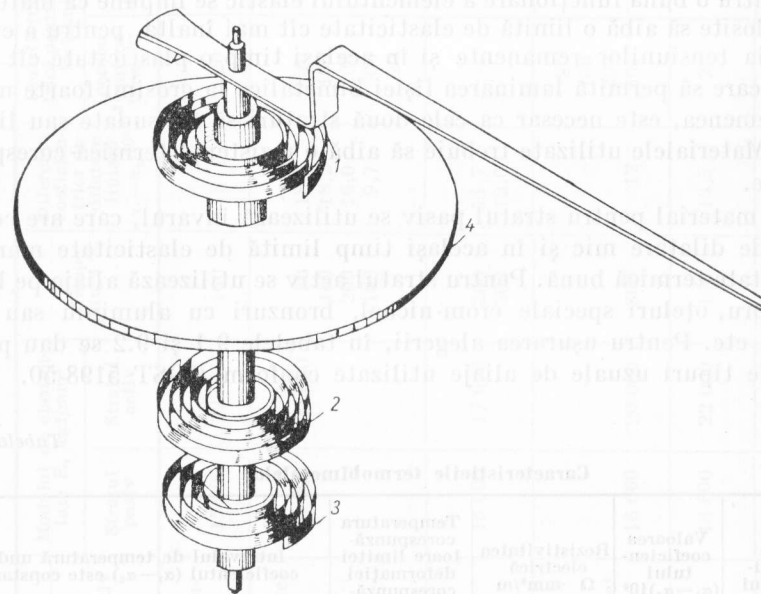


Fig. 9.2

în corelație cu temperatura. Ca exemplu de astfel de utilizări se poate da folosirea elementelor elastice bimetalice în construcția aparatelor pentru măsurarea intensității și puterii curentului, ampermetre și wattmetre bimetalice. În fig. 9.2 este reprezentat schematic sistemul de

măsurare al unui ampermetru bimetalic. În această schemă spirala bimetalică 1 este încălzită de curentul electric și acționează asupra acului indicator, arcul spiral bimetalic 3 prin care nu trece curentul are rolul de a introduce corelația de măsură în funcție de temperatura mediului ambiant, iar arcul spiral 2 are o funcție pur mecanică, de a asigura contactul electric în capătul mobil al spiralei bimetalice 1. Ecranul 4 are rolul de a despărți și proteja elementele elastice 2 și 3 de căldura degajată de elementul elastic bimetalic. 1. Materialele din care se execută straturile arcului termobimetalic trebuie să aibă coeficienții de dilatare liniară foarte diferiți între ei, dar constanți față de variația temperaturii. Cu cât diferența între coeficienți este mai mare, cu atât sensibilitatea aparatului este mai mare.

Pentru o bună funcționare a elementului elastic se impune ca materialele folosite să aibă o limită de elasticitate cât mai înaltă, pentru a evita apariția tensiunilor remanente și în același timp o plasticitate cât mai mare, care să permită laminarea fișiei bimetalice la grosimi foarte mici. De asemenea, este necesar ca cele două straturi să fie sudate sau lipite bine. Materialele utilizate trebuie să aibă o rezistență termică corespunzătoare.

Ca material pentru stratul pasiv se utilizează invarul, care are coeficient de dilatare mic și în același timp limită de elasticitate mare și stabilitate termică bună. Pentru stratul activ se utilizează aliaje pe bază de cupru, oțeluri speciale crom-nichel, bronzuri cu aluminiu sau cu beriliu etc. Pentru ușurarea alegerii, în tabelele 9.1 și 9.2 se dau principalele tipuri uzuale de aliaje utilizate conform GOST 5198-50.

Tabela 9.1

Caracteristicile termobimetalicelor

Marca termobimetalului	Valoarea coeficientului $(\alpha_1 - \alpha_2) \cdot 10^6$	Rezistivitatea electrică $\Omega \cdot \text{mm}^2/\text{m}$	Temperatura corespunzătoare limitei deformației corespunzătoare, °C	Intervalul de temperatură unde coeficientul $(\alpha_1 - \alpha_2)$ este constant
TB-1	21	0,58—0,68	530—550	De la —60 până la +(190—210)
TB-2	8	0,56—0,64	430—450	De la —50 până la +(320—340)
TB-3	20	0,75—0,83	450—470	De la —50 până la +(190—210)
TB-4	12	0,14—0,20	410—430	De la —60 până la +(190—210)
TB-5	19	0,08—0,14	180—200	De la —50 până la +(180—210)
TB-6	19,5	0,14—0,20	230—250	De la —50 până la +(190—210)
TB-7	18,0	0,14—0,18	290—310	De la —50 până la +(210—230)

Tabela 9.2

Caracteristicile termobimetalicelor

Materiale de bază	Stratul pasiv	Stratul activ	Modulul de elasticitate E, kgf/mm ²	Temperatura °C	Diferența coeficienților de dilatare liniară $(\alpha_1 - \alpha_2) \cdot 10^6$	Rezistivitatea electrică pentru raportul secțiunii 1:1		Intervalul de temperatură de lucru, °C	Temperatura maximă, °C
						pentru temperatura, °C	$\rho, \Omega \cdot \text{mm}^2/\text{m}$		
Invar H 36		Oțel crom-nichel	15 000	100	18	20	0,79	De la —60 până la +200	225
Invar H 36		Oțel nichel-molibden	15 000	50 100 200 100	18,2 18,2 16,0 9,7	20 100 200 305 20	0,79 0,83 0,86 0,96 0,54	De la —60 până la +200	225
Platină H 42		Metal-monel	16 000	200 300	11,7 12,6	—	—	De la —60 până la +315	325
Platină H 42		Oțel nichel-molibden	16 600	300	12	20 100 200 300	0,68 0,70 0,73 0,82	De la —60 până la +375	400
Platină H 42		Oțel crom-nichel	22 000	100	13,5	20	0,6	De la —60 până la +185	200
Invar H 36		Alamă JI 68	11 500	100 150 200	18,7 18,5 18,2	20	0,159	De la — până la +	200

Materiale de bază		Modul de elasticitate E , kgf/mm ²		Temperatura °C	Diferența coeficienților de dilatare liniară $(\alpha_1 - \alpha_2)10^6$	Rezistivitatea electrică pentru raportul secțiunii 1:1		Intervalul temperaturilor de lucru °C	Temperatura maximă °C
Stratul pasiv	Stratul activ	Stratul pasiv	Stratul activ			Pentru temperatura, °C	ρ , $\Omega \cdot \text{mm}^2/\text{m}$		
Invar H 36	Alamă JL 62	15 000	10 700	100 200	19,1 17,8	20	0,16	De la — până la +	200
Invar H 36	Alamă JPH 60—1,5—1,0	15 000	10 600	100	19,7	20	0,18	De la — până la +	200
Invar H 36	Alamă JLOC 60—0,7—0,2	15 000	11 000	100 150	19,9 19,8	20	0,16	De la — până la +	200
Invar H 36	Alamă JMIH 58—2	15 000	10 500	100	19,7	20	0,17	De la — până la +	200
Invar H 36	Bronz cu aluminiu B p. A 5	15 000	13 400	100	14,1	20	0,29	De la — până la +	200
Invar H 36	Bronz cu beriliu B p. B 2	15 000	12 500	150 200	15,1 14,5	20	0,157	De la — până la +	225

9.2. Elemente de calcul

Un arc termobimetalic se deformează și este supus la solicitări fie datorită încălzirii sale, fie datorită acțiunii unor forțe exterioare. Eforturile unitare, care se nasc în secțiunea lamelei și deformările totale în cazul solicitării simultane sub efectul termic și cel al forțelor exterioare, se determină prin însumarea valorilor determinate pentru fiecare efect luat în parte.

9.2.1. Relații de calcul pentru elementul elastic, bimetalic sub efectul încălzirii

Pentru stabilirea relațiilor de calcul se poate lua în considerație un element din lama arcului, izolat prin două secțiuni transversale, supus numai efectului temperaturii (fig. 9.3).

Dacă temperatura elementului variază cu valoarea t , elementul de arc termobimetalic se încovoie astfel că secțiunile transversale rămân plane, dar se rotesc una față de alta cu un unghi $d\theta$, datorită faptului că fibrele din stratul activ se lungesc mai mult decât cele din stratul pasiv. În același timp, deoarece în stratul de lipire, alungirea (deforma-

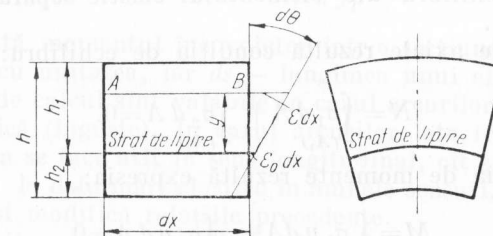


Fig. 9.3

rea) fibrelor din cele două straturi trebuie să fie aceeași, în fibrele celor două straturi apar și deformări elastice. Deformarea totală ϵ a unei fibre AB aflată la distanța y de stratul de lipire rezultă din însumarea algebrică a deformării termice ϵ_t și a deformării elastice ϵ_y :

$$\epsilon = \epsilon_t + \epsilon_y. \quad (9.1)$$

Observînd că în stratul de lipire apare o deformare procentuală ε_0 , alungirea relativă totală a fibrei AB aflată la distanța y de stratul de lipire este dată de relația:

$$\varepsilon = \varepsilon_0 + y \frac{d\theta}{dx}, \quad (9.2)$$

unde: $\frac{d\theta}{dx} = \frac{1}{\rho}$ reprezintă variația curburii.

Ținînd seamă că deformarea termică ε_t este dată de relația $\varepsilon_t = \alpha t$ rezultă pentru deformarea elastică ε_y a fibrei relația:

$$\varepsilon_y = \varepsilon_0 + y \frac{d\theta}{dx} - \alpha t. \quad (9.3)$$

Eforturile unitare pe baza legii lui Hooke au expresiile

$$\sigma = E \left(\varepsilon_0 + y \frac{d\theta}{dx} - \alpha t \right), \quad (9.4)$$

respectiv: $\sigma_1 = E_1 \left(\varepsilon_0 + y \frac{d\theta}{dx} - \alpha_1 t \right)$ pentru $(0 \leq y \leq h_1)$ (9.4, a)

și $\sigma_2 = E_2 \left(\varepsilon_0 + y \frac{d\theta}{dx} - \alpha_2 t \right)$ pentru $(-h_2 \leq y \leq 0)$. (9.4, b)

În aceste relații ε_0 și $\frac{d\theta}{dx}$ sînt necunoscute și se pot determina din condițiile de echilibru ale elementului elastic separat, supus numai acțiunii termice.

Pentru forțele axiale rezultă condiția de echilibru:

$$N = \int_{(A_1)} \sigma_1 dA + \int_{(A_2)} \sigma_2 dA = 0. \quad (9.5)$$

Pentru ecuația de momente rezultă expresia:

$$M = \int_{(A_1)} \sigma_1 y dA + \int_{(A_2)} \sigma_2 y dA = 0. \quad (9.6)$$

Înlocuind relațiile indicate anterior pentru σ_1 și σ_2 , și integrînd se obține:

$$\left. \begin{aligned} E_1 h_1 \left(\varepsilon_0 + \frac{h_1 d\theta}{2 dx} - \alpha_1 t \right) - E_2 h_2 \left(-\varepsilon_0 + \frac{h_2}{2} \cdot \frac{d\theta}{dx} + \alpha_2 t \right) &= 0; \\ E_1 h_1^2 \left(\varepsilon_0 + \frac{2}{3} h_1 \frac{d\theta}{dx} - \alpha_1 t \right) - E_2 h_2^2 \left(\varepsilon_0 - \frac{2}{3} h_2 \frac{d\theta}{dx} - \alpha_2 t \right) &= 0. \end{aligned} \right\} \quad (9.7)$$

Din aceste relații rezultă:

$$\frac{d\theta}{dx} = \frac{6(\alpha_1 - \alpha_2)t}{\frac{(E_1 h_1^2 - E_2 h_2^2)^2}{E_1 E_2 h_1 h_2 (h_1 + h_2)} + 4(h_1 + h_2)} \quad (9.8)$$

Pentru o sensibilitate maximă este necesar ca această expresie să fie maximă. Această condiție este dată de relația:

$$E_1 h_1^2 = E_2 h_2^2 \text{ sau } \frac{h_1}{h_2} = \sqrt{\frac{E_2}{E_1}}. \quad (9.9)$$

Elementul elastic care satisface condiția aceasta se numește arc termobimetalic *normal*.

Din relațiile (9.8) și (9.9), notînd $h = h_1 + h_2$, rezultă relația variației curburii:

$$\frac{d\theta}{dx} = \frac{3}{2} (\alpha_1 - \alpha_2) \frac{t}{h}. \quad (9.10)$$

Expresia lui ε_0 devine în acest caz:

$$\varepsilon_0 = (\alpha_1 h_2 + \alpha_2 h_1) \frac{t}{h}. \quad (9.11)$$

Pentru determinarea deplasării (săgeții) capătului arcului termobimetalic se folosește relația:

$$f = \int_1 \frac{d\theta}{dx} M_1 ds = \frac{3}{2} (\alpha_1 - \alpha_2) \frac{t}{h} \int_1 M_1 ds, \quad (9.12)$$

unde: M_1 reprezintă momentul încovoietor într-o secțiune a barei creat de o forță egală cu unitatea, iar ds — lungimea unui element de arc.

Aceste relații de calcul sînt valabile în cazul arcurilor termobimetalice de lățime mică (înguste). În cazul arcurilor late trebuie avut în vedere că dilatarea se face atît în sens longitudinal, cît și în sens lateral, ceea ce duce la deformări elastice în ambele sensuri, care se influențează reciproc și modifică relațiile precedente.

Relația eforturilor unitare în fibra aflată la distanța y de stratul de lipit se obține pornind de la relațiile deformațiilor:

$$\left. \begin{aligned} \sigma_1 &= E_1 \left(\varepsilon_0 + y \frac{d\theta}{dx} - \alpha_1 t \right) = E_1 \frac{t}{h} (\alpha_1 - \alpha_2) \left(\frac{3}{2} y - h_1 \right), \\ \sigma_2 &= E_2 \left(\varepsilon_0 + y \frac{d\theta}{dx} - \alpha_2 t \right) = E_2 \frac{t}{h} (\alpha_1 - \alpha_2) \left(\frac{3}{2} y + h_2 \right), \end{aligned} \right\} \quad (9.13)$$

unde $-h_2 \leq y \leq 0$.

Valorile maxime ale efortului unitar se află în dreptul stratului lipiturii ($y=0$).

Eforturile unitare se anulează pentru $y = \frac{2}{3} h_1$, respectiv $y = -\frac{2}{3} h_2$.

Eforturile unitare maxime sînt date de relațiile:

$$\left. \begin{aligned} \sigma_{1 \max} &= -E_1(\alpha_1 - \alpha_2)l \frac{h_1}{h} \\ \sigma_{2 \max} &= E_2(\alpha_1 - \alpha_2)l \frac{h_2}{h} \end{aligned} \right\} \quad (9.14)$$

În fig. 9.4 este reprezentată diagrama variației deformațiilor (deformația totală, deformația datorită încălzirii, deformația elastică și variația eforturilor unitare).

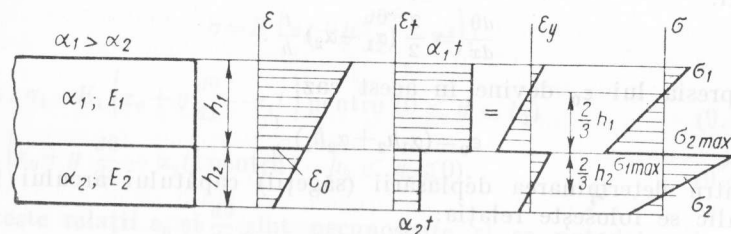


Fig. 9.4

9.2.2. Solicitarea la încovoiere a arcului bimetalic sub acțiunea forțelor exterioare

Pentru stabilirea relațiilor de calcul se ia în considerare un element de lamă a arcului izolat solicitat de momentele exterioare M , în condițiile unei temperaturi constante. Sub acțiunea momentelor încovoietoare, secțiunile din capetele elementului se rotesc realizînd între ele un unghi $d\theta$, ca în fig. 9.5, secțiunile rămînd plane.

Fibrele elementului astfel izolat se lungesc în stratul activ și o parte din stratul inert, și se scurtează într-o parte a stratului inert. În acest fel, fibra neutră a cărei lungime rămîne neschimbată se află sub stratul de lipire în stratul inert, la distanța e .

Deformarea relativă a unei fibre AB aflată la distanța y de stratul de lipire este

$$\varepsilon = \frac{y+e}{\rho} = (y+e) \frac{d\theta}{dx} \quad (9.15)$$

Pe baza legii lui Hooke, relațiile eforturilor unitare sînt următoarele:

$$\left. \begin{aligned} \sigma_1 &= E_1(y+e) \frac{d\theta}{dx} \text{ pentru } (0 \leq y \leq h_1) \\ \sigma_2 &= E_2(y+e) \frac{d\theta}{dx} \text{ pentru } (-h_2 \leq y \leq 0). \end{aligned} \right\} \quad (9.16)$$

Din condiția de echilibru a unei fețe a elementului elastic, notînd cu b lățimea lamelei, rezultă:

$$\left. \begin{aligned} N &= \int_0^{h_1} \sigma_1 dA + \int_{-h_2}^0 \sigma_2 dA = 0 \\ M &= b \left[\int_0^{h_1} \sigma_1 y dy + \int_{-h_2}^0 \sigma_2 y dy \right] \end{aligned} \right\} \quad (9.17)$$

Din aceste relații rezultă:

$$E_1(h_1^2 + 2eh_1) + E_2(-h_2^2 + 2eh_2) = 0 \quad (9.18)$$

sau

$$\frac{E_1}{E_2} = \frac{h_2^2 - 2eh_2}{h_1^2 + 2eh_1} \quad (9.18, a)$$

Ținînd seamă de condiția care a rezultat din solicitarea la încălzire pentru a avea un element elastic termobimetalic normal, rezultă că $e=0$.

Momentul M se determină cu relația:

$$M = \frac{b}{3} \frac{d\theta}{dx} (E_1 h_1^3 + E_2 h_2^3) \quad (9.19)$$

sau

$$\frac{1}{\rho} = \frac{d\theta}{dx} = \frac{3M}{b} \cdot \frac{1}{E_1 h_1^3 + E_2 h_2^3} \quad (9.19, a)$$

Considerînd un arc-lamă de secțiune dreptunghiulară echivalent cu arcul termobimetalic, acționat de același moment M , pentru a se obține aceeași rază de curbura va trebui ca:

$$\frac{1}{\rho} = \frac{M}{EI} = \frac{M}{E \frac{bh^3}{12}} = \frac{3M}{b} \cdot \frac{1}{E_1 h_1^3 + E_2 h_2^3} \quad (9.20)$$

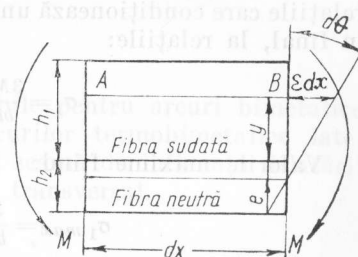


Fig. 9.5

Astfel se poate determina cu E echivalent pentru cazul cînd se raportează calculul arcului bimetalic la calculul unei lamele metalice alcătuite din același material:

$$E_{ech} = \frac{4}{h^3} (E_1 h_1^3 + E_2 h_2^3) = \frac{4E_1 E_2}{(\sqrt{E_2} + \sqrt{E_1})^2}. \quad (9.21)$$

Ținînd seamă de relațiile eforturilor σ_1 și σ_2 amintite, precum și de relațiile care condiționează un element termobimetalic normal, se ajunge, în final, la relațiile:

$$\sigma_1 = \frac{3M \cdot y}{bh_1^2 h}; \quad \sigma_2 = \frac{3M \cdot y}{bh_2^2 h}, \quad (9.22)$$

Valorile maxime fiind:

$$\sigma_{1max} = \frac{3M}{bhh_1}; \quad \sigma_{2max} = \frac{-3M}{bhh_2}; \quad (9.23)$$

pentru $y = h_1$ și $y = -h_2$.

În fig. 9.6 este reprezentată diagrama variației deformației și a efortului unitar, în cazul solicitării elementului elastic termobimetalic numai de către forțe exterioare.

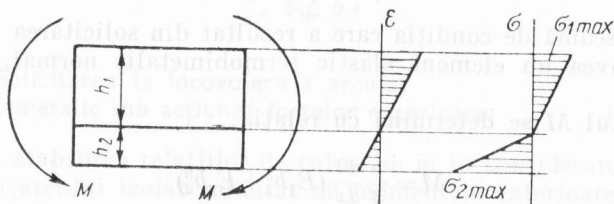


Fig. 9.6

În acest mod, problema determinării săgeții (deplasării) arcului bimetalic sub acțiunea forțelor exterioare se rezolvă determinînd săgeata unui arc simplu lamelar, care are un modul de elasticitate egal cu modulul de elasticitate echivalent pentru lamela termobimetalică.

Pentru arcul bimetalic solicitat de forțe exterioare și supus la încălzire săgețile date de încălzire și de solicitarea forțelor exterioare se calculează izolat și se adună obținînd săgeata totală. În mod asemănător se procedează la calculul eforturilor unitare.

În cazul arcului termobimetalic solicitat numai la încălzire se poate proceda, de asemenea, la echivalarea sa cu un arc lamelar echivalent, căruia i se aplică la capăt un moment de încovoiere echivalent:

$$\frac{1}{\rho} = \frac{d\theta}{dx} = \frac{3}{2} (\alpha_1 - \alpha_2) \frac{t}{(h_1 + h_2)} = \frac{M_t}{E_{ech} I}, \quad (9.24)$$

$$M_t = \frac{3}{2} (\alpha_1 - \alpha_2) t \frac{E_{ech} I}{h}, \quad (9.25)$$

unde $E_{ech} = \frac{4E_1 E_2}{(\sqrt{E_1} + \sqrt{E_2})^2}.$

Relațiile de calcul stabilite sînt valabile pentru arcuri bimetalice înguste, de lungime mare. În cazul arcurilor termobimetalice late, relațiile de calcul trebuie corectate ținînd seamă de influența dilatării și deci a deformațiilor care apar în sens transversal.

Elemente elastice în formă de membrană

10.1. Generalități

Membrana este o placă elastică subțire, ondulată sau neondulată, de obicei rotundă, care, deformându-se elastic sub acțiunea unei forțe concentrate sau uniform repartizate, acumulează lucrul mecanic pe care îl redă.

Membrana trebuie fixată pe contur. Fixarea poate fi rigidă sau alunecătoare.

Membranele au o utilizare foarte mare în construcția aparatelor manometrice de înaltă precizie.

În industria constructoare de aparate noțiunea de membrană are un sens mai larg decât cel utilizat în teoria elasticității. Se înțelege astfel, prin membrană, orice placă subțire capabilă de a se deforma elastic foarte mult sub acțiunea unei sarcini, indiferent că ea lucrează la încovoiere sau la întindere.

O dimensiune caracteristică importantă a membranelor o constituie diametrul activ, adică diametrul membranei măsurat pe conturul de fixare. Acest diametru activ este determinat de dimensiunile de gabarit stabilite, de mărimea necesară a suprafeței efective, de săgeată necesară la centru, de coeficientul de siguranță la rezistență etc. Diametrul membranei poate avea mărimi cuprinse între 10–15 mm și 200–300 mm. Grosimea membranei se alege în funcție de sensibilitatea și rezistența necesare ei și în funcție de caracteristicile mecanice ale materialului;

de regulă, grosimea este de 0,06–1,5 mm pentru membranele metalice și de 0,1–5 mm pentru cele nemetalice.

Forma geometrică a membranelor are o influență categorică asupra caracteristicii lor, care poate fi fie liniară, fie neliniară. Se deosebesc membrane plate (fig. 10.1, a), ondulate (gofrate) (fig. 10.1, b), concave (sferice) (fig. 10.1, c) și membrane nemetalice prevăzute cu arc elicoidal (fig. 10.1, d).

Membranele ondulate pot fi lipite pe contur două câte două, formînd capsule elastice. Prin împerecherea membranelor în capsule se obțin ele-

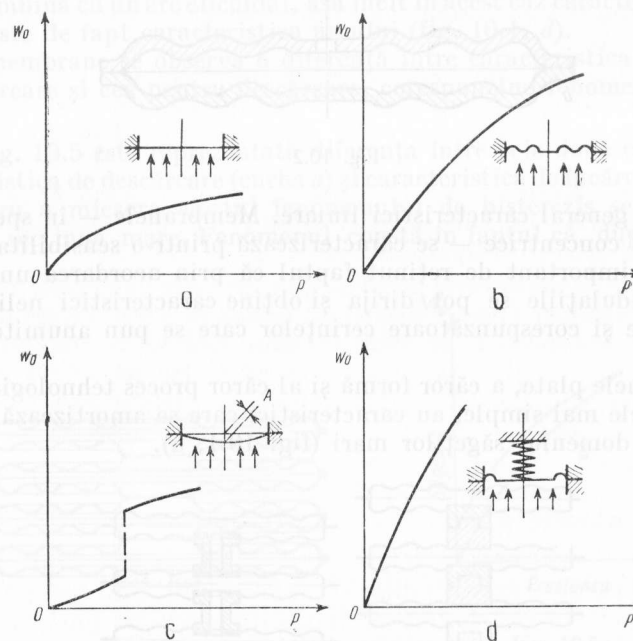


Fig. 10.1

mente elastice cu caracteristici diferite. În fig. 10.2 se reprezintă schema unor capsule. Se deosebesc două tipuri de capsule: aneroide și manometrice.

Capsulele aneroide sînt complet închise, presiunea aplicîndu-se din exterior, iar la capsulele manometrice fluidul sub presiune acționează din interiorul capsulei.

Capsulele, la rândul lor, pot fi grupate, prin asamblare, în blocuri cu centrul montat rigid (fig. 10.3, *a*) sau montate cu garnituri elastice (fig. 10.3, *b*) și în baterii (fig. 10.4).

Membranele capsulelor și bateriile de capsule pot avea caracteristici variate (după nevoie), spre deosebire de celelalte elemente elastice,

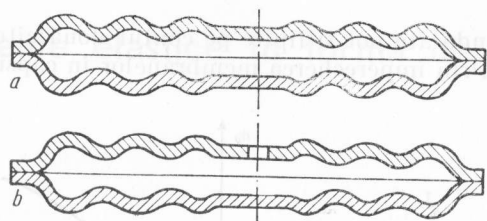


Fig. 10.2

care dau în general caracteristici liniare. Membranele — în special cele cu ondulații concentrice — se caracterizează printr-o sensibilitate foarte mare. Este important de reținut faptul că prin acordarea unor forme speciale, ondulațiile se pot dirija și obține caracteristici neliniare de forme dorite și corespunzătoare cerințelor care se pun anumitor dispozitive.

Membranele plate, a căror formă și al căror proces tehnologic de execuție sînt cele mai simple, au caracteristici care se amortizează brusc la presiune în domeniul săgeților mari (fig. 10.1, *a*).

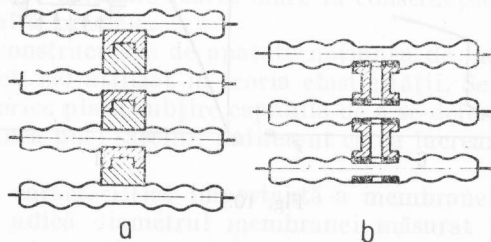


Fig. 10.3

În cazul membranelor gofrate, caracteristicile sînt mai înclinate, în sensul că săgețile de lucru se măresc (fig. 10.1, *b*). Aceste membrane au o tehnologie mai complexă și totodată calculul lor este mai dificil, în

schimb — datorită faptului că forma caracteristicii poate fi dirijată convenabil scopurilor printr-un profil corespunzător al ondulațiilor — domeniul de utilizare al acestora este foarte larg, mai ales în construcția de aparate de măsură și de elemente de automatizare.

Membranele concave (sferice sau conice), (fig. 10.1, *c*) dacă sînt solitate pe partea concavă, au caracteristică cu salt datorită pierderii de stabilitate. Acest mod de lucru face ca ele să fie utilizate în mod deosebit la rele și dispozitive de semnalizare, la conectarea și deconectarea contactelor.

Membranele nemetalice au o rigiditate redusă, și din această cauză ele se combină cu un arc elicoidal, așa încît în acest caz caracteristica membranei este de fapt caracteristica arcului (fig. 10.1, *d*).

La membrane se observă o diferență între caracteristica trasată pentru încărcare și cea pentru descărcare, corespunzînd fenomenului de histererezis.

În fig. 10.5 este reprezentată diferența între cele două caracteristici: caracteristica de descărcare (curba *a*) și caracteristica de încărcare (curba *b*).

Pentru a micșora efectul fenomenului de histererezis se lucrează cu plăci cu secțiune mare. Fenomenul constă în faptul că, după îndepărta-

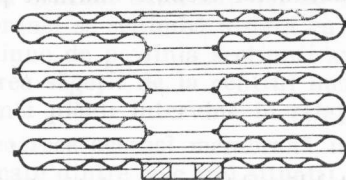


Fig. 10.4

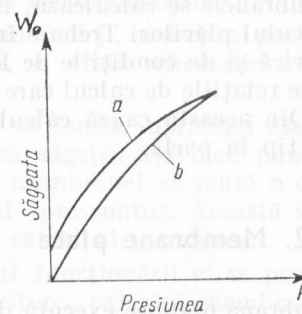


Fig. 10.5

rea sarcinii, membrana nu revine îndată la starea inițială. Întîrzierea poate ajunge la cîteva ore. Acest fenomen de întîrziere la revenirea la starea inițială se numește fenomen de întîrziere elastic.

Membranele se folosesc la aparatele de măsură ca element elastic, îndeosebi la aparatele manometrice de înaltă clasă de precizie ca: altimetre, manovacuumetre, indicatoare de benzină, vitezometre etc.

Cu ajutorul membranelor pot fi măsurate presiuni de la sute de atmosfere pînă la presiuni de cîțiva milimetri coloană de apă. Este important de remarcat faptul că membranele mai pot fi utilizate ca mijloc de despărțire a două medii și ca mijloc de etanșare elastică, pentru transmiterea deplasărilor din domeniul presiunilor sau al rarefierilor.

Membranele plate au o caracteristică amortizată, astfel că din cursa posibilă numai o parte este liniară, utilizîndu-se practic numai această parte. În consecință, membranele plate se pot folosi numai la acele aparate la care este nevoie de o cursă mică.

Membranele plate se pot utiliza și ca transformatoare de presiune în forță, cu ajutorul unor traductoare piezoelectrice, magnetoelastice, cu rezistență sau de frecvență.

Membranele plate combinate cu astfel de traductoare au pentru oscilațiile proprii o frecvență mare, ceea ce permite utilizarea lor la măsurarea presiunilor variabile cu frecvență mare, de ordinul sutelor și miilor de hertzi.

Membranele de diferite forme geometrice se utilizează în funcție de forma caracteristicii lor, care poate fi adusă la o alură dorită prin găsirea unei forme de gofraj corespunzătoare.

Membranele se calculează, în principiu, pe baza ipotezelor obișnuite din calculul plăcilor. Trebuie însă ținut seama în acest calcul de forma geometrică și de condițiile de lucru specifice fiecărui tip de membrană, deoarece relațiile de calcul care rezultă diferă foarte mult de la un tip la altul. Din această cauză calculul membranelor trebuie analizat pentru fiecare tip în parte.

10.2. Membrane plate

Membrana plată se execută dintr-o tablă subțire, bine întinsă și bine fixată pe contur. În fig. 10.6 este reprezentată schema unei membrane plate, întinsă la montarea în aparat și solicitată la presiune.

Relațiile de calcul pentru membrana plată depind de modul de solicitare. În cazul săgeților mici se poate considera că deplasările membranei se datoresc în special solicitării la încovoiere. În acest caz, planul mediu al membranei are o alungire neglijabilă, iar caracteristica este liniară.

Calculul membranei este în acest caz bazat pe teoria liniară a încovoierii plăcilor circulare.

În caz că săgețile sînt mari și devin comparabile cu grosimea, planul mediu se alungește, astfel încît — afară de solicitarea la încovoiere — capătă importanță și solicitarea la întindere în planul mediu. În acest caz, calculul membranelor se bazează pe teoria neliniară, care ține seamă atît de încovoierea, cît și de întinderea membranei în planul mediu.

Dacă săgețile devin foarte mari, calculul membranei trebuie făcut pe baza teoriei membranei absolut elastice, neglijîndu-se rigiditatea la încovoiere.

Desigur că trebuie luată în seamă și grosimea membranei, deoarece, dacă la membranele suficient de subțiri se pot obține, în domeniul elastic, săgeți mari, la membranele de grosimi mari apar deformații plastice chiar pentru săgeți mici.

În fig. 10.7 este reprezentată schema unei plăci plate, precum și forma ei deformată în cele trei situații: *) săgeți mici (solicitări la încovoiere), săgeți mari comparabile cu grosimea (solicitări la încovoiere și întindere) și săgeți foarte mari (cazul membranei absolut elastice).

În figură se arată și caracteristica membranei și, în dreptul porțiunilor corespunzătoare ale acestei caracteristici, se arată schematic modul în care sînt solicitate membranele.

Din schema deformațiilor se observă că forma suprafeței elastice a membranei se schimbă o dată cu creșterea săgeții, așa încît punctul de inflexiune de pe linia secțiunii axiale a membranei se mută o dată cu creșterea săgeții de la centrul membranei spre contur. Această variație a formei plăcii intervine în relațiile de calcul al membranei.

Deoarece aceeași membrană în timpul funcționării ei se poate afla în oricare dintre cele trei situații de solicitare, calculul membranei stabilit numai pe o categorie de solicitare este nesatisfăcător. A fost necesar să se stabilească un mod de calcul precis, care să cuprindă toate cele trei tipuri de solicitări, adică să stabilească relații de calcul valabile pe toată caracteristica de lucru a membranei.

Metoda de calcul a fost stabilită de V. I. Fedoseev.

*) Notațiile referitoare la eforturile σ , au următoarele semnificații:

σ_{ri} — efortul unitar radial datorat încovoierii;

σ_{rt} — efortul unitar radial datorat întinderii;

σ_{ti} — efortul unitar circumferențial, care apare datorită încovoierii;

σ_{tt} — efortul unitar circumferențial, care apare datorită întinderii.

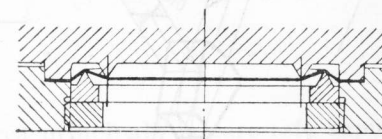


Fig. 10.6

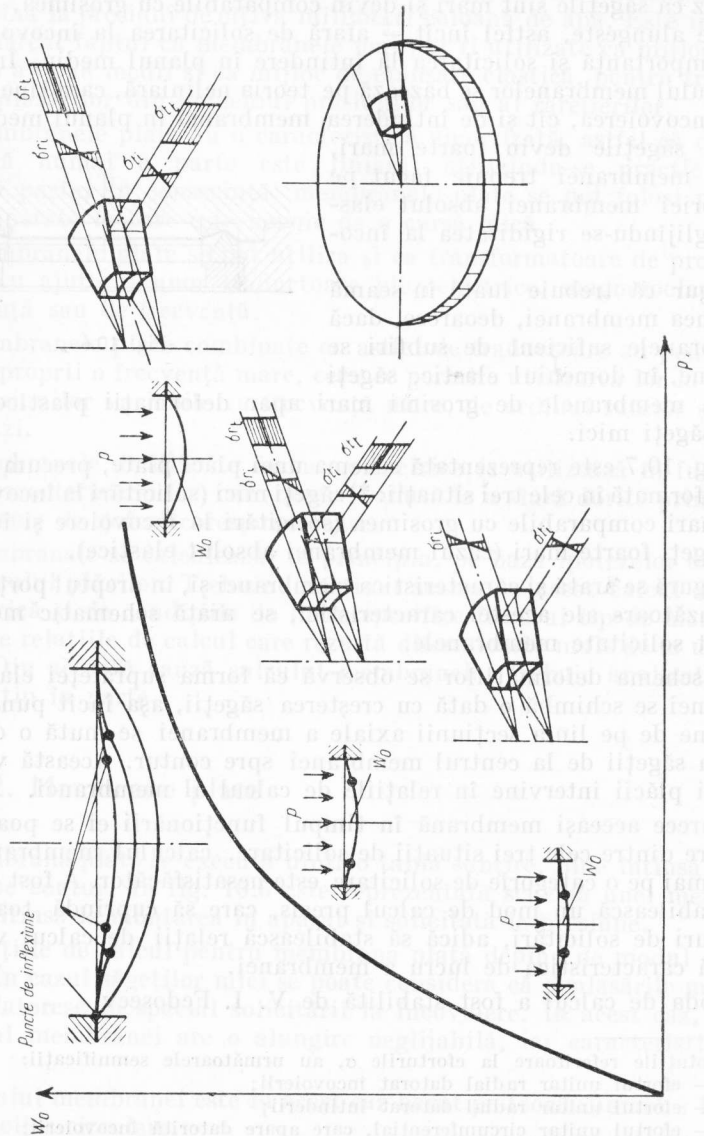


Fig. 10.7

Pentru a se putea vedea rezultatele metodei de calcul stabilite de V. I. Fedoseev, este necesară prezentarea în prealabil a relațiilor de calcul pentru fiecare caz de solicitare în parte. Deoarece cazul deplasărilor mari este un caz particular al membranei absolut elastice, în cele ce urmează se vor deosebi două situații, și anume: cazul micilor deplasări și cazul membranei absolut elastice.

10.2.1. Cazul membranei plate în domeniul micilor deplasări

În acest caz se consideră că solicitarea principală la care este supus materialul plăcii este cea de încovoiere și se neglijează solicitarea la întindere, care ar apărea în planul mediu al plăcii.

În fig. 10.8 este reprezentată schematic o astfel de placă unde se evidențiază eforturile care apar la un element de placă, separat prin două secțiuni axiale și două cilindrice.

S-au notat cu M_r și M_t momentele încovoiătoare raportate la unitatea de lungime în sens radial și în sens tangențial și cu T_r — forța transversală pe unitatea de lungime.

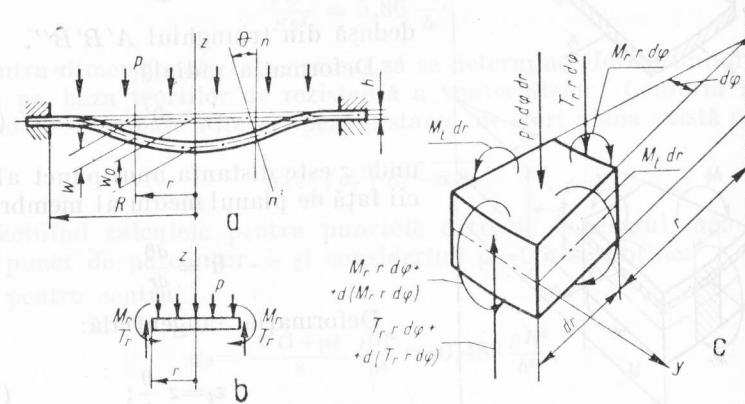


Fig. 10.8

Deoarece placa are o simetrie polară în raport cu axa z , factorii de forță și geometrice variază numai cu raza și, din această cauză, momentele tangențiale M_t de pe fețele opuse ale elementului separat sînt egale.

În lungul razei atît momentul M_r , cît și forța transversală T_r variază cu lungimea razei.

Sub acțiunea sarcinii placa se deformează și implicit fiecare element al plăcii se deformează.

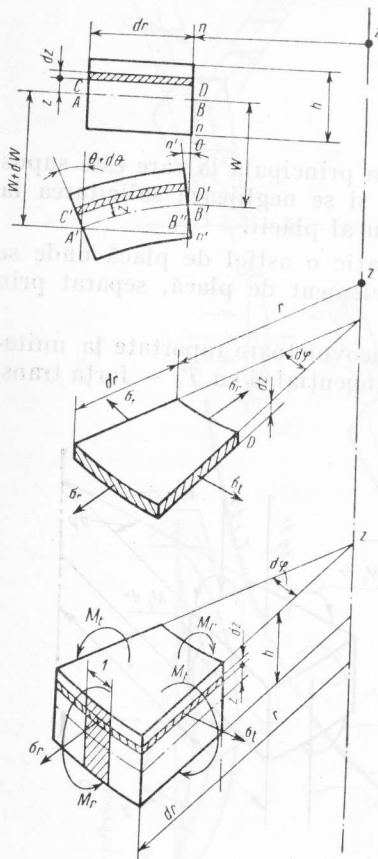


Fig. 10.9

Deoarece eforturile de compresiune în direcția axei z se neglijează, calculele de rezistență se efectuează considerînd că starea de eforturi a plăcii este plană.

În fig. 10.9 sînt reprezentate deformațiile și eforturile unitare care apar într-un element al plăcii. În cazul micilor deplasări se consideră că punctele suprafeței medii nu se deplasează în sens radial (solicitarea la întindere fiind neglijabilă), ci doar în sensul axei z , primind săgeți verticale w . În acest mod, lungimea segmentului AB rămîne neschimbată și după deformare, astfel că $AB=A'B'=dr$. Unghiul de rotire al normalei $n-n'$ este legat de săgeată, ca și în teoria încovoierii barelor, prin relația:

$$\theta = \frac{dw}{dr}, \quad (10.1)$$

dedusă din triunghiul $A'B'B''$.

Deformația radială:

$$\varepsilon_r = z\theta', \quad (10.2)$$

unde z este distanța unui punct al plăcii față de planul mediu al membranei;

$$\theta' = \frac{d\theta}{dr}.$$

Deformația tangențială:

$$\varepsilon_t = z \frac{\theta}{r}; \quad (10.3)$$

unde r este raza cercului pe care se află punctul considerat al plăcii.

Eforturile unitare radiale și tangențiale maxime la suprafețele superioară și inferioară ale membranei au valorile date de relațiile:

$$(\sigma_r)_{z=\pm \frac{h}{2}} = \pm \frac{3}{8} \frac{pR^2}{h^2} \left[(3+\mu) \frac{r^2}{R^2} - (1+\mu) \right]; \quad (10.4)$$

$$(\sigma_t)_{z=\pm \frac{h}{2}} = \pm \frac{3}{8} \frac{pR^2}{h^2} \left[(3\mu+1) \frac{r^2}{R^2} - (1+\mu) \right],$$

în care: h este grosimea plăcii;

p — presiunea care solictă placa;

R — raza la conturul de sprijin al plăcii.

Săgeata w_0 în centrul membranei este dată de relația:

$$\frac{pR^4}{Eh^4} = \frac{16}{3(1-\mu^2)} \frac{w_0}{h}, \quad (10.5)$$

în care: E este modulul de elasticitate al materialului din care este executată placa.

Pentru $\mu=0,3$ se obține:

$$\frac{pR^4}{Eh^4} = 5,86 \frac{w_0}{h}. \quad (10.6)$$

Pentru dimensionare este necesar să se determine efortul unitar echivalent pe baza teoriilor de rezistență a materialelor. Conform teoriei energiei de schimbare a formei pentru starea de efort plană există relația:

$$\sigma_e = \sqrt{\sigma_r^2 + \sigma_t^2 - \sigma_r \sigma_t}. \quad (10.7)$$

Efectuînd calculele pentru punctele extreme — centrul membranei și un punct de pe contur — și considerînd $\mu=0,3$ se obține:

— pentru centru

$$\sigma_e = \frac{3(1+\mu)}{8} \frac{pR^2}{h^2} \approx 0,488 \frac{pR^2}{h^2}; \quad (10.8)$$

— pentru marginea membranei

$$\sigma_e = \frac{3}{4} \frac{pR^2}{h^2} \sqrt{1-\mu+\mu^2} \approx 0,666 \frac{pR^2}{h^2}. \quad (10.9)$$

Se observă că solicitarea periculoasă este în punctul de încăstrare al membranei.

Pentru determinarea presiunii admisibile se pune condiția ca efortul echivalent maxim să fie inferior efortului unitar admisibil:

$$\sigma_e = 0,666 \frac{pR^2}{h^2} \leq \sigma_a. \quad (10.10)$$

Rezultă:

$$p_a = 1,5 \sigma_a \frac{h^2}{R^2}. \quad (10.11)$$

Săgeata admisibilă se determină eliminând presiunea p din expresiile presiunii admisibile și ale săgeții în centrul membranei:

$$(w_0)_a = 0,256 \sigma_a \frac{R^2}{Eh}. \quad (10.12)$$

Un caz particular, des întâlnit în practică, îl constituie cazul membranei cu centru rigid de rază r_0 , a cărei schemă este reprezentată în fig. 10.10.

Relația săgeții maxime în centru, în cazul când membrana este supusă presiunii p (fig. 10.10, a), este următoarea:

$$w_0 = A_q \frac{p R^4}{E h^3}, \quad (10.13)$$

în care coeficientul A_q este dependent de raportul dintre raza activă R și razei r_0 a conturului rigid ($e = \frac{R}{r_0}$)

$$A_q = \frac{3(1-\mu^2)}{16} \frac{e^4 - 1 - 4e^2 \ln e}{e^4}. \quad (10.14)$$

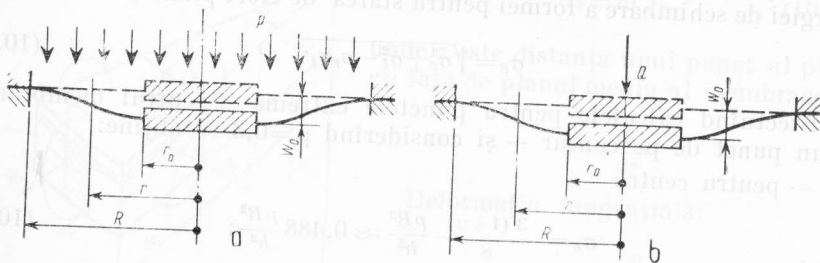


Fig. 10.10

Eforturile unitare radiale din punctele de pe conturul exterior, aflate pe suprafețele superioare sau inferioare ale membranei, sînt date de relația:

$$\sigma_r = \pm B_q \frac{E h w_0}{R^2}, \quad (10.15)$$

unde coeficientul B_q este dat de relația:

$$B_q = \frac{4}{1-\mu^2} \frac{e^2(e^2-1)}{e^4-1-4e^2 \ln e}. \quad (10.16)$$

Eforturile unitare tangențiale se determină cu relația:

$$\sigma_t = \mu \sigma_r. \quad (10.17)$$

Cunoscînd relațiile pentru σ_r , σ_t și w_0 , calculul de dimensionare se face în mod asemănător celui stabilit la cazul anterior.

Un caz des întâlnit îl constituie membrana cu centru rigid solicitată de o forță concentrată Q , aplicată în centrul său ca în fig. 10.10, b.

În acest caz relațiile de calcul devin:

$$w_0 = A_K \frac{Q R^2}{E h^3}, \quad (10.18)$$

unde:

$$A_K = \frac{3(1-\mu^2)}{4\pi} \left[\frac{e^2-1}{e^2} \frac{4 \ln^2 e}{e^2-1} \right]; \quad (10.19)$$

pentru eforturile unitare radiale pe conturul exterior și pe cel interior

$$\sigma_{re} = \pm B_{Ke} \frac{E h w_0}{R^2} \text{ și } \sigma_{ri} = \pm B_{Ki} \frac{E h w_0}{R^2}, \quad (10.20)$$

unde

$$B_{Ke} = \frac{2}{1-\mu^2} \frac{e^2(e^2-1-2\ln e)}{(e^2-1)^2-4e^2 \ln^2 e} \quad (10.21)$$

și

$$B_{Ki} = \frac{2}{1-\mu^2} \frac{e^2(2e^2 \ln e - e^2 + 1)}{(e^2-1)^2-4e^2 \ln^2 e} \quad (10.22)$$

Valorile coeficienților A_q , B_q , A_K , B_{Ke} și B_{Ki} sînt date în tabela 11.1 în funcție de raportul e .

Dacă forța Q acționează excentric asupra centrului rigid, atunci efectul ei asupra membranei poate fi redus la efectul momentului încovoietor aplicat asupra centrului rigid. Solicitarea membranei în acest caz nu mai este simetrică și este foarte complexă. Placa care formează centrul rigid se rotește cu un unghi φ dat de relația:

$$\varphi = A_r \frac{M}{E h^3}, \quad (10.23)$$

unde

$$A_r = \frac{3(1-\mu^2)}{\pi} \left(\ln e - \frac{e^2-1}{e^2+1} \right). \quad (10.24)$$

Eforturile unitare maxime pe conturul exterior și pe cel interior ale membranei sînt date de relațiile:

$$\sigma_{re} = B_{re} \frac{\varphi E h}{R} \text{ și } \sigma_{ri} = B_{ri} \frac{\varphi E h}{R}, \quad (10.25)$$

unde

$$B_{re} = \frac{3}{\pi} \frac{e^2-1}{e^2+1} \frac{1}{A_2}; \quad (10.26)$$

$$B_{ri} = B_{re} e. \quad (10.27)$$

Valorile acestor coeficienți sînt date în tabela 11.1.

10.2.2. Cazul membranei plate în domeniul deplasărilor mari și foarte mari (membrane absolut elastice)

În cazul membranei cu deplasări foarte mari, adică al membranei absolut elastice, solicitarea la încovoiere este neglijabilă și se ține seamă numai de solicitarea la întindere.

În fig. 10.11 este reprezentat un element de membrană și solicitările la care este supus în cazul deplasărilor mari.

După cele expuse, referitor la membrana absolut elastică, solicitările la încovoiere dispar și asupra elementului de placă nu mai acționează decît forțele de întindere radială N_r și tangențială N_t (fig. 10.11, a) care produc eforturile unitare σ_r și σ_t , ca în fig. 10.12.

Calculul precis al membranelor care să cuprindă atît domeniul deformațiilor mici, cît și domeniul deplasărilor mari a fost stabilit de V. I. Fedoseev.

Metoda de calcul stabilită de V. I. Fedoseev pornește de la rezolvarea ecuațiilor diferențiale ale membranelor în domeniul deplasărilor mari:

$$\begin{aligned} \rho \frac{d^2 \psi}{d\rho^2} + \frac{d\psi}{d\rho} - \frac{\psi}{\rho} &= \frac{\theta^2}{2} \\ \rho \frac{d^2 \theta}{d\rho^2} + \frac{d\theta}{d\rho} - \frac{\theta}{\rho} &= \frac{R^2}{D} \left[-Eh \psi \theta + \frac{1}{2} p R \rho^2 \right], \end{aligned} \quad (10.28)$$

unde: p este presiunea pe unitatea de suprafață;

R — raza suprafeței active a membranei;

ρ — raza relativă; $\rho = \frac{r}{R}$;

r — raza cercului pe care se află latura interioară a elementului (fig. 10.11, b)

θ — unghiul de rotire al normalei într-un punct oarecare al suprafeței medii (fig. 10.11, b).

ψ reprezintă o funcție adimensională care depinde de forța de întindere în sens radial N_r și este dată de relația:

$$\psi = -\frac{N_r \rho}{E h^2}, \quad (10.29)$$

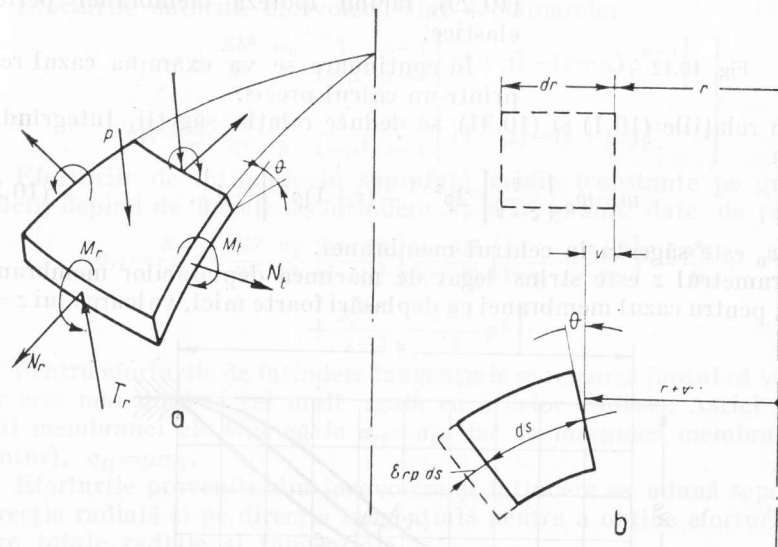


Fig. 10.11

iar D reprezintă rigiditatea la încovoiere a membranei. În cazul membranelor absolut elastice, rigiditatea la încovoiere D se poate considera nulă astfel că sistemul de ecuații diferențiale devine:

$$\begin{aligned} \rho \psi'' + \psi' - \frac{\psi}{\rho} &= \frac{\theta^2}{2} \\ \psi \theta &= \frac{p R}{2 E h} \rho^2. \end{aligned} \quad (10.30)$$

Integrarea acestor ecuații diferențiale se face după metoda lui Bubnov-Galerkin. Pe baza acestei metode, ecuația pentru unghiul de rotire al normalei într-un punct al membranei se alege sub forma:

$$\theta = c(\rho^z - \rho), \quad (10.31)$$

sau

$$\theta = c\rho, \quad (10.32)$$

unde c și z sînt parametrii care se determină prin metoda Bubnov-Galerkin. Relația (10.31) se utilizează în ecuațiile (10.28) pentru un calcul precis, iar relația (10.32) în ecuațiile (10.29), făcînd ipoteza membranei perfect elastice.

În continuare se va examina cazul real, printr-un calcul precis.

Din relațiile (10.1) și (10.31) se deduce relația săgeții. Integrînd se obține:

$$w = w_0 \left\{ \frac{1}{z-1} \left[2\rho^{z+1} - (z+1)\rho^2 \right] + 1 \right\}, \quad (10.33)$$

unde w_0 este săgeata în centrul membranei.

Parametrul z este strîns legat de mărimea deplasărilor membranei. Astfel, pentru cazul membranei cu deplasări foarte mici, valoarea lui $z=3$.

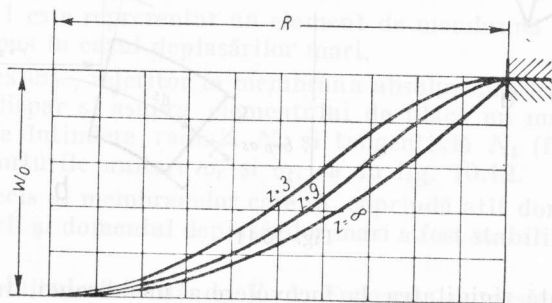


Fig. 10.13

Pentru cazul membranei absolut elastice valorile lui z cresc luînd, în cazul extrem al suprafeței sferice, valoarea $z=\infty$. În fig. 10.13 este reprezentată variația formei generatoarei suprafeței elastice a membranei în funcție de mărimea parametrului z , pentru aceeași săgeată w_0 la centru.

Valorile lui z se stabilesc în funcție de raportul dintre săgeată și grosimea membranei $\frac{w_0}{h}$, denumit și săgeată relativă a membranei (v. fig. 10.15).

Pentru dimensionare și pentru stabilirea curbei caracteristice a membranei, pornind de la ecuațiile diferențiale de bază indicate, V. I. Fedoseev a folosit metoda suprapunerii efectelor.

Astfel eforturile unitare în membrană pot fi rediate ca sumă a eforturilor unitare provenite din încovoierie σ_i și a eforturilor de întindere σ_t în suprafața medie:

$$\sigma = \sigma_i + \sigma_t.$$

Aceste eforturi unitare apar atât în sens radial, cît și în sens tangențial. Eforturile datorită încovoierii sînt următoarele:

$$\left. \begin{aligned} \sigma_{ri} &= \pm \frac{Eh^2}{R^2} \frac{w_0}{h} \frac{1}{1-\mu^2} \frac{z+1}{z-1} \left[(1+\mu) - (z+\mu)\rho^{z-1} \right]; \\ \sigma_{ti} &= \pm \frac{Eh^2}{R^2} \frac{w_0}{h} \frac{1}{1-\mu^2} \frac{z+1}{z-1} \left[(1+\mu) - (1+\mu z)\rho^{z-1} \right]. \end{aligned} \right\} \quad (10.34)$$

Eforturile de întindere în suprafața medie (constante pe grosimea plăcii) depind de forțele de întindere N_r și N_t și sînt date de relațiile:

$$\begin{aligned} \sigma_{rt} = \frac{N_r}{h^2} = \frac{Eh^2}{R^2} \frac{w_0^2}{h^2} \frac{2(z+1)}{(z-1)^2} \left[\frac{(z-1)^2}{4(z+3)} \left(\frac{1}{1-\mu} + \frac{z+6}{2z} \right) - \frac{\rho^2 z}{4z} + \right. \\ \left. + \frac{2\rho^{z+1}}{z+3} - \frac{z+1}{8} \rho^2 \right]. \end{aligned} \quad (10.35)$$

Pentru eforturile de întindere tangențiale se remarcă faptul că valoarea lor este mai mică și cel mult egală cu a celor radiale. Astfel în centrul membranei ele sînt egale $\sigma_{rt} = \sigma_{tt}$, iar la marginea membranei (pe contur), $\sigma_{tt} = \mu\sigma_{rt}$.

Eforturile provenite din încovoierie și întindere se adună separat pe direcția radială și pe direcția tangențială pentru a obține eforturile unitare totale radiale și tangențiale.

Astfel:

$$\sigma_r = \sigma_{ri} + \sigma_{rt};$$

$$\sigma_t = \sigma_{ti} + \sigma_{tt}.$$

Valorile extreme se obțin la centrul membranei și pentru punctele de pe contur.

În centrul membranei, $\rho=0$ (raza relativă)

$$\sigma_r = \sigma_t = \frac{Eh^2}{R^2} \frac{w_0}{h} \frac{1+z}{1-\mu} \left\{ \mp \frac{1}{z-1} + \frac{w_0}{h} \frac{1}{2(z+3)} \left[1 + (1-\mu) \frac{z+6}{2z} \right] \right\}. \quad (10.36)$$

Pentru punctele de pe contur, $\rho=1$

$$\sigma_r = \frac{Eh^2 w_0}{R^2 h} \left[\pm \frac{1}{1+\mu} \frac{w_0}{h} \frac{1}{2(z+3)} \right] \quad (10.37)$$

$$\sigma_t = \mu \sigma_r.$$

În aceste relații se ia semnul de sus pentru punctele de pe suprafața superioară a membranei solicitată de presiune, și cel de jos pentru punctele suprafeței inferioare.

Analizînd aceste relații se poate remarca faptul că solicitarea periculoasă este pe contur.

Tot pe baza metodei suprapunerii, V. I. Fedoseev a stabilit ecuațiile caracteristicii membranei. Pe baza acestei metode, solicitarea membranei poate fi exprimată sub forma:

$$\frac{pR^4}{Eh^4} = \left(\frac{pR^4}{Eh^4} \right)_i + \left(\frac{pR^4}{Eh^4} \right)_t, \quad (10.38)$$

în care termenul din stînga caracterizează rezistența totală a membranei, iar cei din dreapta — rezistența la încovoiere, respectiv la întindere.

Ținînd seama că:

$$\left(\frac{pR^4}{Eh^4} \right)_i = \frac{16}{3(1-\mu^2)} \frac{w_0}{h} \quad (10.39)$$

$$\left(\frac{pR^4}{Eh^4} \right)_t = \frac{7-\mu}{3(1-\mu)} \frac{w_0^3}{h^3},$$

se obține:

$$\frac{pR^4}{Eh^4} = \frac{16}{3(1-\mu^2)} \frac{w_0}{h} + \frac{7-\mu}{3(1-\mu)} \frac{w_0^3}{h^3}, \quad (10.40)$$

iar pentru $\mu=0,3$

$$\frac{pR^4}{Eh^4} = 5,86 \frac{w_0}{h} + 3,19 \frac{w_0^3}{h^3}. \quad (10.41)$$

În fig. 10.14 este reprezentată caracteristica membranei plate în domeniul deplasărilor mari. Curba *a* reprezintă caracteristica trasată în urma unui calcul bazat pe formule exacte, curba *b*, caracteristica trasată după teoria lineară, iar curba *c* reprezintă caracteristica trasată pe baza ipotezei membranei absolut elastice.

În cazul membranei cu centru rigid, relația care dă caracteristica membranei devine:

$$\frac{pR^4}{Eh^4} = \frac{1}{A_q} \frac{w_0}{h} + B_q \frac{w_0^3}{h^3}, \quad (10.42)$$

unde coeficienții A_q și B_q sînt dați în tabela 11.1.

Pentru a efectua un calcul expeditiv și independent de dimensiunile geometrice ale membranei, V. I. Fedoseev a întocmit diagrame care

pot fi utilizate la determinarea eforturilor. În aceste diagrame introduce noțiunile de presiune relativă, efort radial relativ și săgeată rela-

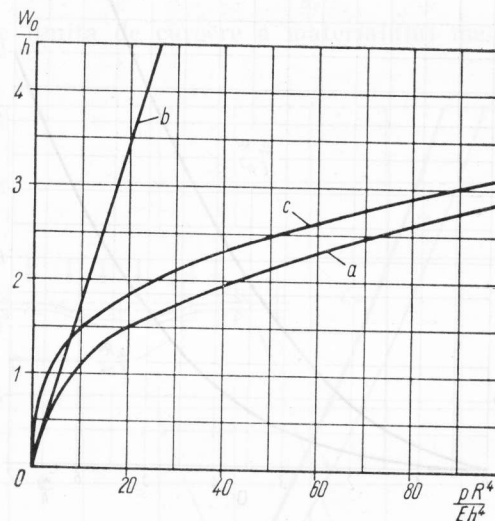


Fig. 10.14

tivă ale membranei date respectiv de relațiile $\frac{pR^4}{Eh^4}$; $\frac{\sigma_r R^2}{Eh^2}$ și $\frac{w_0}{h}$, a căror expresie este conținută în relațiile eforturilor și ale săgeților membranei.

Diagramele în coordonate adimensionale a presiunii relative și a efortului radial maxim relativ și a lui z în funcție de săgeata relativă sînt date în fig. 10.15, *a*, iar cea a lui z în funcție de săgeata relativă în fig. 10.15, *b*.

În fig. 10.16 sînt reprezentate comparativ diagramele eforturilor relative provenite din încovoiere, întindere și efortul total (în linii groase) pentru punctele extreme *L* din centrul membranei și *M* de pe contur.

Pentru dimensionare este necesar să se stabilească efortul echivalent în punctul periculos al membranei. Astfel pe baza teoriei energetice de rezistență:

$$\sigma_e = \sqrt{\sigma_r^2 + \sigma_t^2 - \sigma_r \sigma_t} \quad (10.43)$$

Ținînd seama că $\sigma_t = \mu \sigma_r$ și $\mu=0,3$ se obține

$$\sigma_e = \sigma_r \sqrt{1 - \mu + \mu^2} = 0,89 \sigma_r \leq \sigma_a. \quad (10.44)$$

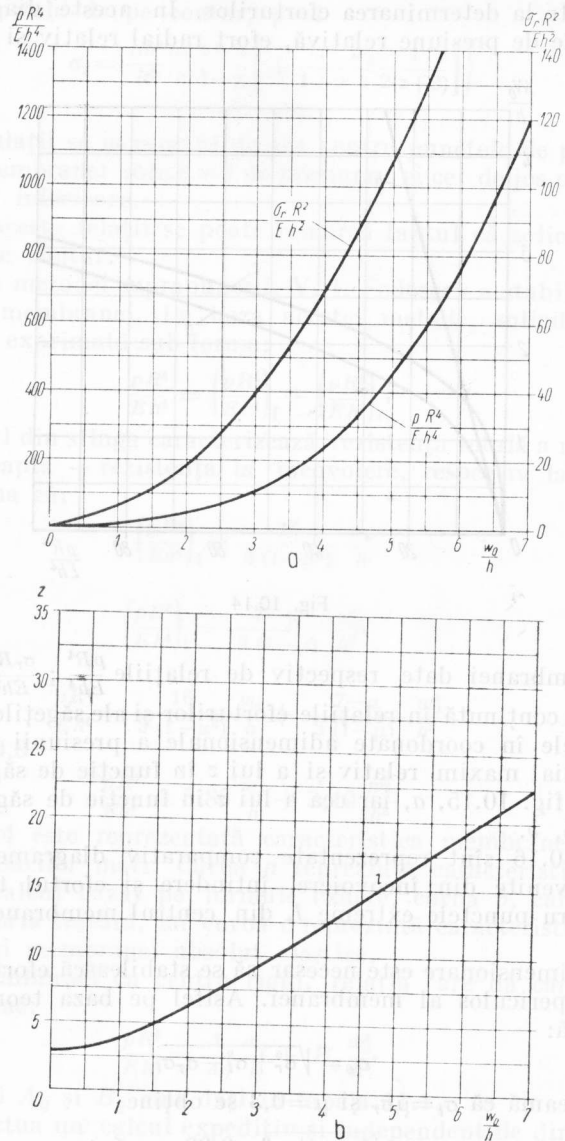


Fig. 10.15

Coeficientul de siguranță c al membranei este dat de relația:

$$c = \frac{\sigma_c}{\sigma_e}, \quad (10.45)$$

unde: σ_c este limita de curgere a materialului membranei.

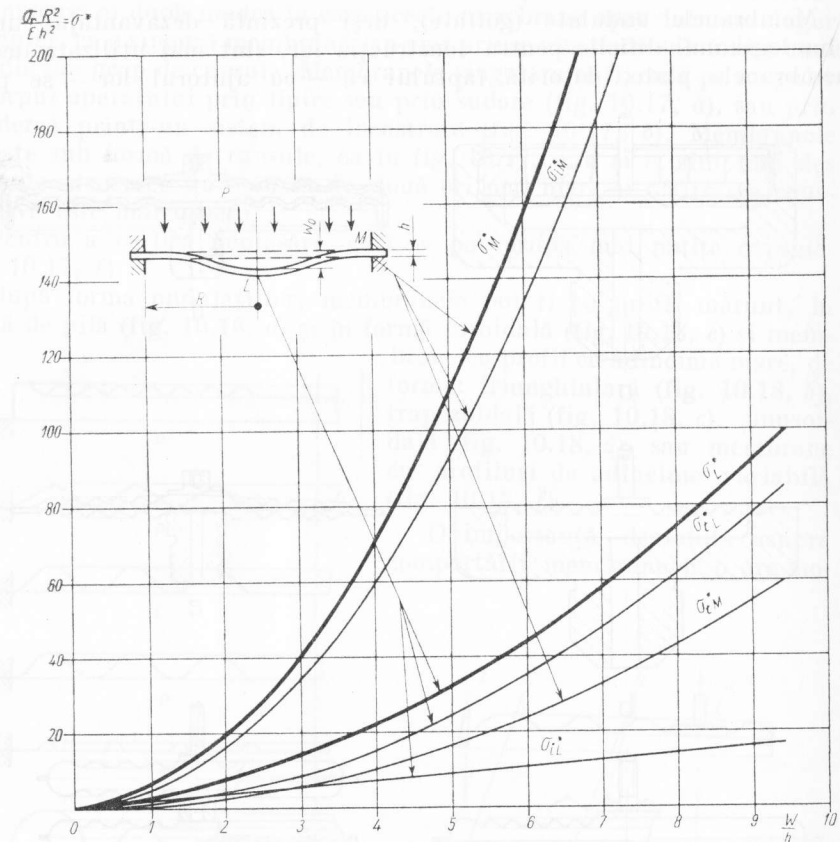


Fig. 10.16

Pentru membranele folosite ca perete despărțitor este important să se poată determina volumul, care se formează între suprafața inițială a membranei și cea determinată de membrana deformată.

Relația cu care se determină acest volum este următoarea:

$$V = \pi R^2 w_0 \frac{z+1}{2(z+3)}. \quad (10.46)$$

10.3. Membrane ondulate (gofrate)

10.3.1. Considerații generale

Membranele ondulate (gofrate), deși prezintă dezavantajul unei tehnologii mai dificile pentru construcția lor, sînt mai utilizate decît membranele plate, datorită faptului că — cu ajutorul lor — se pot

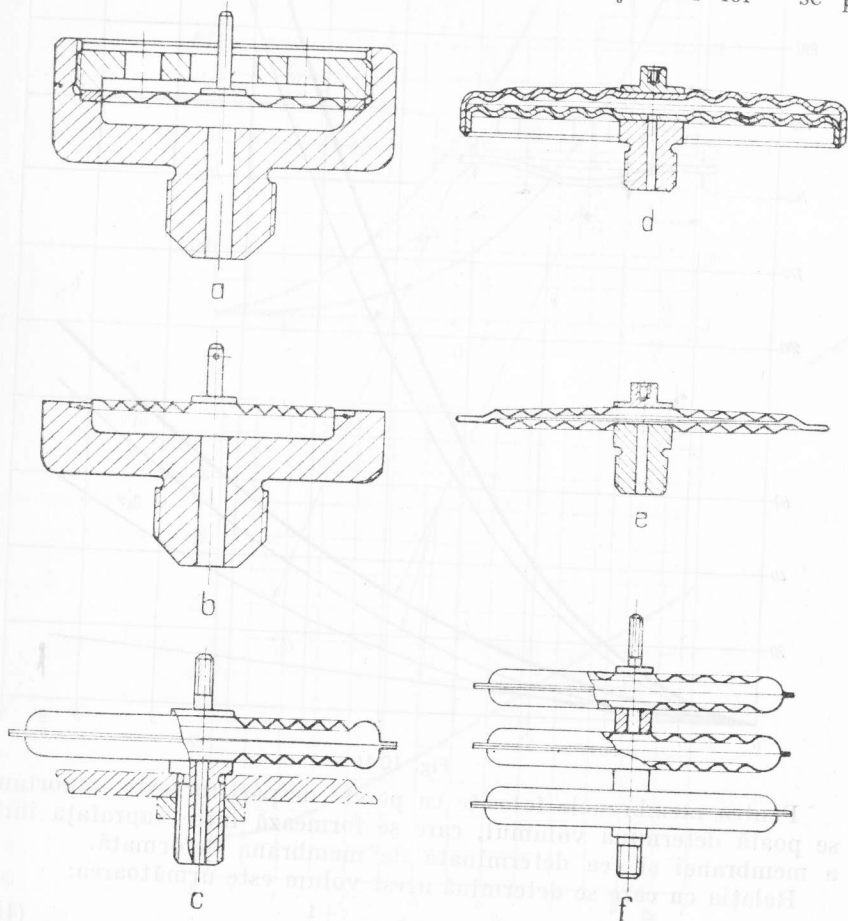


Fig. 10.17

realiza caracteristici de lucru convenabile, corespunzătoare cerințelor aparatelor în care sînt utilizate.

Membranele ondulate se pot clasifica după forma undulațiilor, după modul lor de prindere la conturul exterior, după forma centrului discului, precum și după modul în care aceste membrane apar într-un singur exemplar, ca o singură membrană sau sînt prinse cîte două sub forma unei capsule sau grup de capsule. Membranele singulare se fixează pe un guler la corpul aparatului prin lipire sau prin sudare (fig. 10.17, a), sau prin prinderea printr-un sistem de încadrare (fig. 10.17, b). Membranele grupate sub formă de capsule, ca în fig. 10.17, c, d și e, sînt mai des utilizate, deoarece au o cursă de două ori mai mare și realizarea constructivă este mai ușoară.

Pentru a realiza deplasări mari se pot grupa mai multe capsule (fig. 10.17, f).

După forma undulațiilor, membranele pot fi cu profil mărunț, în formă de pilă (fig. 10.18, a) și în formă toroidală (fig. 10.18, e) și membrane cu profil cu adîncime mare, de

forme: triunghiulară (fig. 10.18, b), trapezoidală (fig. 10.18, c), sinusoidală (fig. 10.18, d), sau membrane cu profiluri de adîncime variabilă (fig. 10.18, f).

O importanță deosebită asupra comportării membranelor o are mo-

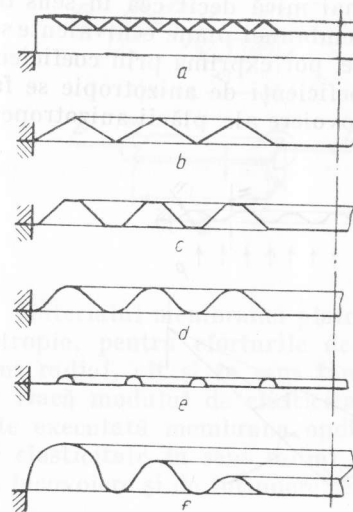


Fig. 10.18

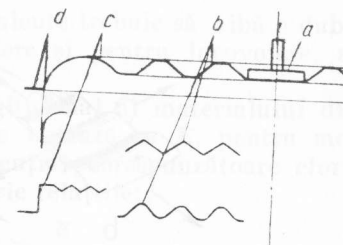


Fig. 10.19

dul de prindere al acestora pe conturul exterior. Din acest punct de vedere se deosebesc membrane ondulate obișnuite și membrane cu undulație marginală.

În fig. 10.19 este reprezentată schematic o membrană cu ondulație marginală în formă de arc de cerc. Ondulația marginală influențează foarte mult forma caracteristicii membranei. În figură sînt reprezentate elementul de fixare axial al membranei (a), diverse forme de ondulație (b), de ondulații marginale (c) și de margini de montaj (d).

10.3.2. Considerații teoretice și de calcul

Membranele ondulate se calculează pe baza metodelor de calcul cunoscute pentru piesele în formă de învelișuri subțiri flexibile axial-simetrice. Calculul acestor plăci este în general foarte laborios. Metoda de calcul folosită curent în literatură tehnică modernă a fost stabilită de L. E. Andreeva și constă în înlocuirea membranei ondulate printr-o membrană plană anizotropă. Această metodă pornește de la observația că rigiditatea la întindere și la încovoiere a unui element din membrană în sens radial diferă de rigiditatea sa în sens tangențial (circular), și anume, rigiditatea în sens radial este mai mică decît cea în sens tangențial. Proprietățile anizotropice ale membranei plane echivalente sînt condiționate de forma ei geometrică și se pot exprima prin coeficienții de anizotropie. Determinarea acestor coeficienți de anizotropie se face egalînd rigiditățile la întindere și la încovoiere ale plăcii anizotrope cu

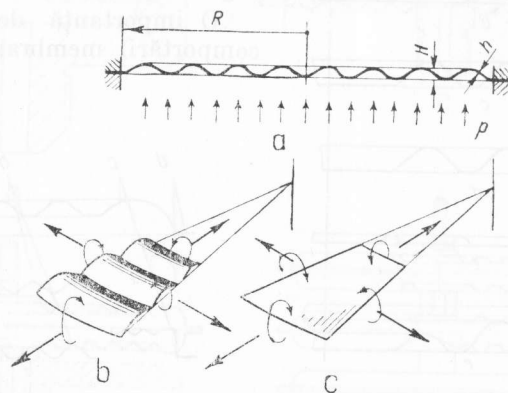


Fig. 10.20

rigiditățile respective ale membranei ondulate, avînd în vedere ca grosimile celor două membrane să fie egale. Un element de membrană ondulată este solicitat simultan la întindere și la încovoiere atît în

sens radial, cît și în sens tangențial. În fig. 10.20, a este reprezentată schematic o membrană; în fig. 10.20, b un element de membrană ondulată, cum și solicitările la care este supus; în fig. 10.20, c — elementul de membrană plan anizotrop echivalent și încărcarea echivalentă.

Pentru determinarea coeficienților de anizotropie se ia o fișie tăiată în lungul razei membranei gofrate și o fișie tăiată la fel din membrana plană echivalentă anizotropă și se egalează alungirile sub acțiunea aceleiași forțe de întindere.

În fig. 10.21 sînt reprezentate schematic aceste fișii și modul de încărcare al lor.

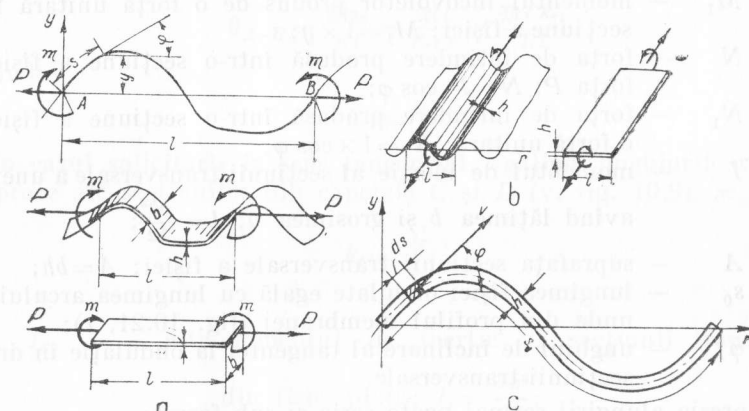


Fig. 10.21

Materialul membranei plate echivalente trebuie să aibă o dublă anizotropie, pentru eforturile de întindere și pentru încovoiere, atît în sens radial, cît și în sens tangențial.

Dacă modulul de elasticitate longitudinal al materialului din care este executată membrana ondulată se notează cu E , pentru modulele de elasticitate în sens radial și tangențial corespunzătoare eforturilor de încovoiere și de întindere se pot scrie relațiile:

$$\begin{aligned} E_{rt} &= \frac{E}{k_{rt}}; \quad E_{ri} = \frac{E}{k_{ri}}; \\ E_{tt} &= k_{tt}E; \quad E_{ti} = k_{ti} \cdot E, \end{aligned} \quad (10.47)$$

unde E_{rt} și E_{tt} sînt modulele radial și tangențial corespunzătoare tracțiunii, iar E_{ri} și E_{ti} , cele corespunzătoare încovoierii.

În aceste relații coeficienții k sînt supraunitari.

În caz că elementul de membrană sub formă de fișie este întins cu o forță P în sens radial (fig. 10.21, a), alungirea fișiei AB , concretizată prin deplasarea capătului B în direcția forței P , este:

$$\delta_{AB} = \int_0^{s_0} \frac{M M_1}{EI} ds + \int_0^{s_0} \frac{N N_1}{EA} ds, \quad (10.48)$$

unde: M — este momentul încovoietor produs de forța P într-o secțiune a fișiei; $M = Py$;

M_1 — momentul încovoietor produs de o forță unitară într-o secțiune a fișiei; $M_1 = 1 \times y$;

N — forța de întindere produsă într-o secțiune a fișiei de forța P ; $N = P \cos \varphi$;

N_1 — forța de întindere produsă într-o secțiune a fișiei de o forță unitară; $N_1 = 1 \times \cos \varphi$;

I — momentul de inerție al secțiunii transversale a unei fișii avînd lățimea b și grosimea h ; $I = \frac{bh^3}{12}$;

A — suprafața secțiunii transversale a fișiei; $A = bh$;

s_0 — lungimea fișiei ondulate egală cu lungimea arcului unei unde din profilul membranei (fig. 10.21, c);

φ — unghiul de înclinare al tangentei la ondulație în dreptul secțiunii transversale.

Expresia alungirii se mai poate scrie și sub forma:

$$\delta_{AB} = \frac{P}{EI} \int_0^{s_0} y^2 ds + \frac{P}{EA} \int_0^{s_0} \cos^2 \varphi ds. \quad (10.49)$$

Pentru fișia din membrana echivalentă anizotropă supusă la întindere de aceeași forță P , expresia alungirii este următoarea:

$$\delta_{AB} = \frac{Pl}{E_{rt} A} = \frac{Pl k_{rt}}{E A}, \quad (10.50)$$

unde: l este lungimea echivalentă, egală cu lungimea unei profilului membranei ondulate.

Egalînd relațiile alungirilor se obține:

$$k_{rt} = \frac{12}{h^2 l} \int_0^{s_0} y^2 ds + \frac{1}{l} \int_0^{s_0} \cos^2 \varphi ds. \quad (10.51)$$

Dacă se egalează alungirile fișiiilor tăiate și întinse în sens tangențial (fig. 10.21, b) se obține coeficientul de anizotropie

$$k_{tt} = \frac{s_0}{l}. \quad (10.52)$$

În mod asemănător se determină coeficienții de anizotropie corespunzători pentru încovoire, solicitînd fișiiile membranei ondulate și ale membranei echivalente plate anizotrope la încovoire.

Din egalarea unghiurilor de rotire reciprocă a secțiunilor din A și B în cazul solicitării în sens radial se obține:

$$\theta_{A-B} = \frac{\mathfrak{M} s_0}{EI} = \frac{\mathfrak{M} l}{E_{ri} I} = \frac{\mathfrak{M} l k_{ri}}{EI}, \quad (10.53)$$

de unde

$$k_{ri} = \frac{s_0}{l}. \quad (10.54)$$

În cazul solicitării în sens tangențial, egalînd unghiurile rotirilor reciproce ale secțiunilor din capetele C și D (v. fig. 10.9), se obține:

$$k_{ti} = \frac{I'_r}{I_r}, \quad (10.55)$$

unde:

I_r — este momentul de inerție al secțiunii transversale

din fișie plată; $I_r = \frac{b h^3}{12}$;

I'_r — momentul de inerție al secțiunii transversale a unei fișii ondulate, în raport cu raza r ;

$$I'_r = h \int_0^{s_0} y^2 ds + \frac{h^3}{12} \int_0^{s_0} \cos^2 \varphi ds. \quad (10.56)$$

Înlocuind se obține:

$$k_{ti} = \frac{I'_r}{I_r} = \frac{12}{h^2 l} \int_0^{s_0} y^2 ds + \frac{1}{l} \int_0^{s_0} \cos^2 \varphi ds = k_{tt}. \quad (10.57)$$

Se observă că cei patru coeficienți de anizotropie se reduc în fond la doi, și anume:

$$k_{tt} = k_{ri} = k_1 = \frac{s_0}{l}; \quad (10.58)$$

$$k_{rt} = k_{ti} = k_2 = \frac{12}{h^2 l} \int_0^{s_0} y^2 ds + \frac{1}{l} \int_0^{s_0} \cos^2 \varphi ds.$$

De regulă, valorile acestor coeficienți sînt calculate și date în tabele, în funcție de elementele geometrice ale membranei ondulate.

Pentru a stabili ecuațiile de legătură între eforturi unitare și deformații se pot scrie pe baza legii lui Hooke, pentru întindere și încovoiere, relațiile:

$$\begin{aligned}\varepsilon_{rt} &= \frac{\sigma_{rt}}{E_{rt}} - \mu_{tt} \frac{\sigma_{tt}}{E_{tt}}; \\ \varepsilon_{tt} &= \frac{\sigma_{tt}}{E_{tt}} - \mu_{rt} \frac{\sigma_{rt}}{E_{rt}}; \\ \varepsilon_{ri} &= \frac{\sigma_{ri}}{E_{ri}} - \mu_{ti} \frac{\sigma_{ti}}{E_{ti}}; \\ \varepsilon_{ti} &= \frac{\sigma_{ti}}{E_{ti}} - \mu_{ri} \frac{\sigma_{ri}}{E_{ri}}.\end{aligned}\quad (10.59)$$

Deoarece întinderea în sens tangențial a unei membrane este egală cu scurtarea relativă în sens radial se poate scrie:

$$\mu_{tt} = \mu_{ti} = \mu \quad (\text{coeficientul lui Poisson}).$$

Pentru materialele anizotrope, în conformitate cu legea lui Hooke, sînt valabile relațiile:

$$\frac{\mu_{tt}}{E_{tt}} = \frac{\mu_{rt}}{E_{rt}} \quad \text{și} \quad \frac{\mu_{ti}}{E_{ti}} = \frac{\mu_{ri}}{E_{ri}}. \quad (10.60)$$

Pe baza acestor relații se poate scrie:

$$\begin{aligned}\varepsilon_{rt} &= \frac{k_2}{E} \left[\sigma_{rt} - \frac{\mu}{k_1 k_2} \sigma_{tt} \right]; \\ \varepsilon_{tt} &= \frac{1}{k_1 E} [\sigma_{tt} - \mu \sigma_{rt}]; \\ \varepsilon_{ri} &= \frac{k_1}{E} \left[\sigma_{ri} - \frac{\mu}{k_1 k_2} \sigma_{ti} \right]; \\ \varepsilon_{ti} &= \frac{1}{k_2 E} [\sigma_{ti} - \mu \sigma_{ri}].\end{aligned}\quad (10.61)$$

Dacă se notează cu N_r și N_t forțele de întindere, pe unitatea de lungime a secțiunii, care acționează în sens radial sau în sens tangențial și știind că:

$$\sigma_{rt} = \frac{N_r}{h} \quad \text{și} \quad \sigma_{tt} = \frac{N_t}{h}, \quad (10.62)$$

h fiind grosimea membranei, se poate scrie:

$$\begin{aligned}\varepsilon_{rt} &= \frac{k_2}{Eh} \left[N_r - \frac{\mu}{k_1 k_2} N_t \right]; \\ \varepsilon_{tt} &= \frac{1}{k_1 Eh} \left[N_t - N_r \right].\end{aligned}\quad (10.63)$$

Notînd cu θ unghiul de rotire al normalei față de planul median al plăcii în funcție de raza punctului și cu r raza (fig. 10.9) și ținînd seamă de ecuațiile diferențiale ale plăcilor plane, ecuația plăcii plane anizotrope echivalente este următoarea:

$$-r(N_r r)'' - (N_r r)' + k_1 k_2 N_r = E h k_1 \frac{\theta^2}{2}, \quad (10.64)$$

unde derivatele sînt făcute în funcție de $\varphi = \frac{r}{R}$.

Pe baza relațiilor (10.2) și (10.3), care dau valoarea deformațiilor datorită încovoierii, se obține:

$$\sigma_{ri} = \frac{E z}{k_i \left(1 - \frac{\mu^2}{k_1 k_2} \right)} \left(\theta' + \mu \frac{\theta}{r} \right); \quad (10.65)$$

$$\sigma_{ti} = \frac{k_2 E z}{1 - \frac{\mu^2}{k_1 k_2}} \left(\frac{\theta}{r} + \frac{\mu}{k_1 k_2} \theta' \right);$$

$$M_r = \frac{D_a}{k_1} \left(\theta' + \mu \frac{\theta}{r} \right);$$

$$M_t = K_2 D_a \frac{\theta}{r} + \frac{\mu}{k_1 k_2} \theta', \quad (10.66)$$

unde D_a este rigiditatea învelișului anizotrop;

$$D_a = \frac{E h^3}{12 \left[1 - \frac{\mu^2}{k_1 k_2} \right]}. \quad (10.67)$$

Folosind ecuațiile de echilibru pentru plăcile plate, pentru placa anizotropă se obține ecuația diferențială:

$$r\theta'' + \theta' - k_1 k_2 \frac{\theta}{r} = \frac{k_1}{D_a} N_r r \theta + \frac{k_1 p r^2}{2 D_a}. \quad (10.68)$$

Dacă se introduc notațiile:

$$\psi = \frac{N_r r}{E h R k_1}; \quad D_a = \frac{E h^3}{12 \left(1 - \frac{\mu^2}{\alpha^2}\right)}; \quad \alpha^2 = k_1 k_2; \quad \rho = \frac{r}{R}, \quad (10.69)$$

ecuațiile diferențiale (10.64) și (10.68) devin:

$$\rho \psi'' + \psi' - \alpha^2 \frac{\psi}{\rho} = \frac{\theta^2}{2}; \quad (10.70)$$

$$\rho \theta'' + \theta' - \alpha^2 \frac{\theta}{\rho} = \frac{R^2 k_1}{D_a} \left[-E h k_1 \psi \theta + \frac{\rho h}{2} \rho^2 \right].$$

Aceste ecuații diferențiale constituie punctul de plecare pentru determinarea atât a caracteristicilor membranelor ondulate, cât și ale celor plate.

Se poate observa că dacă membrana este plată, atunci $k_1 = k_2 = \alpha^2 = 1$ și ecuațiile diferențiale precedente devin ecuațiile obișnuite ale unei membrane plate (10.28).

Ecuațiile diferențiale (10.70) ale membranei ondulate se rezolvă prin aproximații, în mod asemănător ca la membrana plată, și din integrarea lor se obține ecuația caracteristicii membranei. Ecuația caracteristicii se compune din doi termeni, în care într-unul apare săgeata la puterea întâi și în altul la puterea a treia. Termenul care conține săgeata la puterea întâi corespunde săgeților mici ale membranei, în care solicitarea importantă, predominantă, este cea de încovoire, cea de întindere fiind neglijabilă. Rezultă că pentru determinarea acestui termen se poate neglija solicitarea la întindere, adică funcția efortului de întindere se poate considera nulă, $\psi = 0$.

Pentru determinarea termenului care conține săgeata la puterea a treia și care corespunde săgeților mari, în care solicitarea predominantă asupra membranei este cea de întindere, iar cea la încovoire este neglijabilă, se poate considera membrana absolut elastică, adică cu rigiditate nulă, $D = 0$.

Prin rezolvarea ecuației diferențiale în cele două situații separat se ajunge la ecuația caracteristicii:

$$\begin{aligned} \frac{p R^4}{E h^4} = & \frac{2(3+\alpha)(1+\alpha)}{3k_1 \left(1 - \frac{\mu^2}{\alpha^2}\right)} \left(\frac{w_0}{h}\right) + \\ & + \frac{32}{9-\alpha^2} \left[\frac{1}{6} - \frac{3-\mu}{(\alpha-\mu)(\alpha+3)} \right] \left(\frac{w_0}{h}\right)^3 \end{aligned} \quad (10.71)$$

sau

$$\frac{p R^4}{E h^4} = a \frac{w_0}{h} + b \frac{w_0^3}{h^3}, \quad (10.72)$$

unde

$$a = \frac{2(3+\alpha)(1+\alpha)}{3k_1 \left(1 - \frac{\mu^2}{\alpha^2}\right)} \quad \text{și} \quad b = \frac{32}{9-\alpha^2} \left[\frac{1}{6} - \frac{3-\mu}{(\alpha-\mu)(\alpha+3)} \right].$$

Valorile coeficienților a și b , pentru diferite situații, sînt calculate în diagramele din fig. 10.22 $a-d$, în funcție de adîncimea relativă a undulației $\frac{H}{h}$, de unghiul de înclinare φ' pentru profilul triunghiular mărunț, sau în funcție de raportul $\frac{H}{l}$ în cazul undulației sinusoidale (H este adîncimea profilului).

Ecuația caracteristicii se mai poate pune și sub forma:

$$p = \frac{E h^3 a}{R^4} w_0 + \frac{E h b}{R^4} w_0^3 \quad \text{sau} \quad (10.73)$$

$$p = A w_0 + B w_0^3 \quad (10.74)$$

unde

$$A = \frac{E h^3 a}{R^4} \quad \text{și} \quad B = \frac{E h b}{R^4}.$$

Eliminînd grosimea h din aceste relații, se obține:

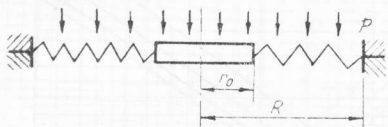
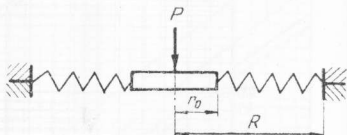
$$\frac{a}{b^3} = \frac{A}{B^3} \left(\frac{E}{R^4} \right)^2, \quad (10.75)$$

relație importantă la proiectarea membranelor.

Modulul de elasticitate E și raza R se stabilesc o dată cu alegerea materialului și a condițiilor de gabarit, iar coeficienții a și b se determină alegînd forma geometrică a profilului în funcție de raportul $\frac{H}{h}$. Pentru ușurarea calculelor de proiectare raportul $\frac{a}{b^3}$ se dă în diagramele din fig. 10.23 $a-d$, în funcție de diferite valori ale raportului $\frac{H}{h}$. După determinarea raportului $\frac{a}{b^3}$ și a coeficienților a și b din diagramele amintite, în funcție de raportul $\frac{H}{h}$ se determină — cu ajutorul relațiilor precedente — coeficienții A și B și grosimea h a membranei.

Tabela 10.1

Relațiile de calcul ale caracteristicilor membranelor ondulate cu centru rigid și coeficienții corespunzători de corecție

Sarcina uniform distribuită					Sarcină concentrată				
									
$\frac{p R^4}{E h^4} = \gamma_1 a_1 \frac{w_0}{h} + \xi_1 b_1 \frac{w_0^3}{h^3}$					$\frac{P R^2}{\pi E h^4} = \gamma_2 a_2 \frac{w_0}{h} + \xi_2 b_2 \frac{w_0^3}{h^3}$				
γ_1					γ_2				
$\alpha = \sqrt[3]{k_1 k_2}$	0,2	0,4	0,6	0,8	0,2	0,4	0,6	0,8	
2	1,10	1,68	4,25	28,3	1,32	2,72	9,04	76,2	
4	1,01	1,22	2,33	12,8	1,12	1,69	4,17	29,0	
6	1,01	1,11	1,75	7,77	1,08	1,45	2,89	16,2	
8	1,00	1,08	1,52	5,53	1,07	1,36	2,39	10,9	
10	1,00	1,06	1,40	4,34	1,06	1,31	2,15	8,31	
12	1,00	1,05	1,34	3,64	1,06	1,29	2,01	6,81	
16	1,00	1,04	1,27	2,90	1,05	1,26	1,86	5,25	
ξ_1					ξ_2				
2	1,14	1,89	5,21	36,7	2,36	6,69	26,2	237	
4	1,13	1,75	4,46	30,6	2,35	6,52	25,3	229	
6	1,13	1,73	4,28	28,7	2,34	6,49	25,1	227	
8	1,13	1,73	4,22	27,9	2,34	6,49	25,0	226	
10	1,13	1,72	4,20	27,4	2,34	6,48	25,0	226	
12	1,13	1,72	4,20	27,2	2,34	6,48	25,0	225	
16	1,13	1,72	4,18	27,0	2,34	6,48	25,0	225	

10.3.3. Membrane ondulate cu centru rigid

La majoritatea aparatelor la care se utilizează membrane ondulate pentru transmiterea deplasării la mecanismul indicator este necesar ca centrul membranei să fie de formă plată. În acest scop, în partea centrală a membranei se lipește sau se sudează un disc metalic plat denumit centru rigid (v. fig. 10.19). Sarcina care acționează asupra membranei poate fi uniform distribuită sau concentrată în mijlocul plăcii care constituie centrul rigid.

Relațiile de calcul pentru caracteristicile membranelor sînt, în acest caz, asemănătoare cuprinzînd niște coeficienți de corecție. În tabela 10.1 se dau relațiile de calcul și valorile coeficienților de corecție γ și ξ pentru cazul sarcinii uniform distribuite și pentru cazul sarcinii concentrate.

10.4. Membrane pocnitoare

Prin membrană pocnitoare se înțelege o calotă sferică sau o membrană conică de forma unui înveliș subțire, solicitată de o presiune sau de o forță concentrată la partea convexă. Sub acțiunea acestei sarcini săgeata membranei crește lent pînă la o valoare a presiunii denumită presiune critică, după care își schimbă săgeata printr-un salt. Această schimbare a săgeții prin salt constituie în fond o pierdere de stabilitate a membranei, care se realizează cu păstrarea proprietăților elastice ale materialului.

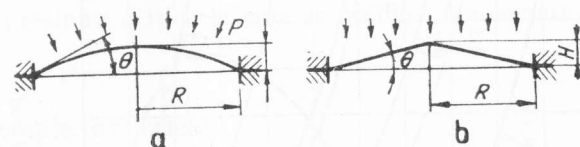


Fig. 10.24

Dacă fenomenul de pierdere a stabilității nu este urmat de o degradare a membranei, el poartă numele de pocnire, iar membrana se numește membrană pocnitoare.

În fig. 10.24, a se arată schematic forma unei astfel de membrane pocnitoare în formă de calotă sferică.

Ecuția caracteristicii membranei pocnitoare în formă de calotă sferică, în cazul uzual al încastrării perfecte a conturului, este următoarea:

$$\frac{p R^4}{E h^4} = \left(\frac{8}{15} \frac{7-2\mu}{1-\mu} \frac{H^2}{h} + \frac{16}{3(1-\mu^2)} \right) \frac{w_0}{h} - 2 \frac{3-\mu}{1-\mu} \frac{H}{h} \left(\frac{w_0}{h} \right)^3 + \frac{2}{21} \frac{23-9\mu}{1-\mu} \left(\frac{w_0}{h} \right)^5 \quad (10.76)$$

sau pentru $\mu=0,3$:

$$\frac{p R^4}{E h^4} = \left(4,88 \frac{H^2}{h^2} + 5,86 \right) \frac{w_0}{h} \pm 7,72 \frac{H}{h} \left(\frac{w_0}{h} \right)^2 + 2,76 \left(\frac{w_0}{h} \right)^5 \quad (10.77)$$

Pentru membrana conică (fig. 10.24, b), ecuația caracteristicii este următoarea:

$$\frac{p R^4}{E h^4} = \left(3,46 \frac{H^2}{h^2} + 5,86 \right) \frac{w_0}{h} \pm 6,52 \frac{H}{h} \left(\frac{w_0}{h} \right)^2 + 2,76 \left(\frac{w_0}{h} \right)^5 \quad (10.78)$$

Semnul plus corespunde solicitării membranei din partea convexă, iar minus — din partea concavă.

Formele acestor caracteristici sînt reprezentate în fig. 10.25, a în funcție de raportul $\frac{H}{h}$. În fig. 10.25, b este reprezentată caracteristica membranei ondulate conice.

Pentru a determina condițiile în care apare fenomenul de pierdere a stabilității (pocnirea membranei), se derivează ecuația caracteristicii în raport cu $\frac{w_0}{h}$ și se anulează derivata obținută.

Rezolvînd ecuația obținută în raport cu $\frac{w_0}{h}$ se determină valoarea critică a raportului $\frac{H}{h}$, care determină apariția pocnirii membranei și apoi valoarea presiunii critice la care se produce fenomenul de pierdere a stabilității.

10.5. Exemple de calcul

Exemplu de calcul 1. O membrană despărțitoare are următoarele date caracteristice:

- raza de lucru (activă) $R=90$ mm;
- grosimea membranei $h=0,35$ mm;
- modulul de elasticitate al materialului $E=2,1 \times 10^6$ kgf/cm²;
- limita de curgere $\sigma_c=8\,000$ kgf/cm²;
- săgeata de lucru $w_0=1,75$ mm.

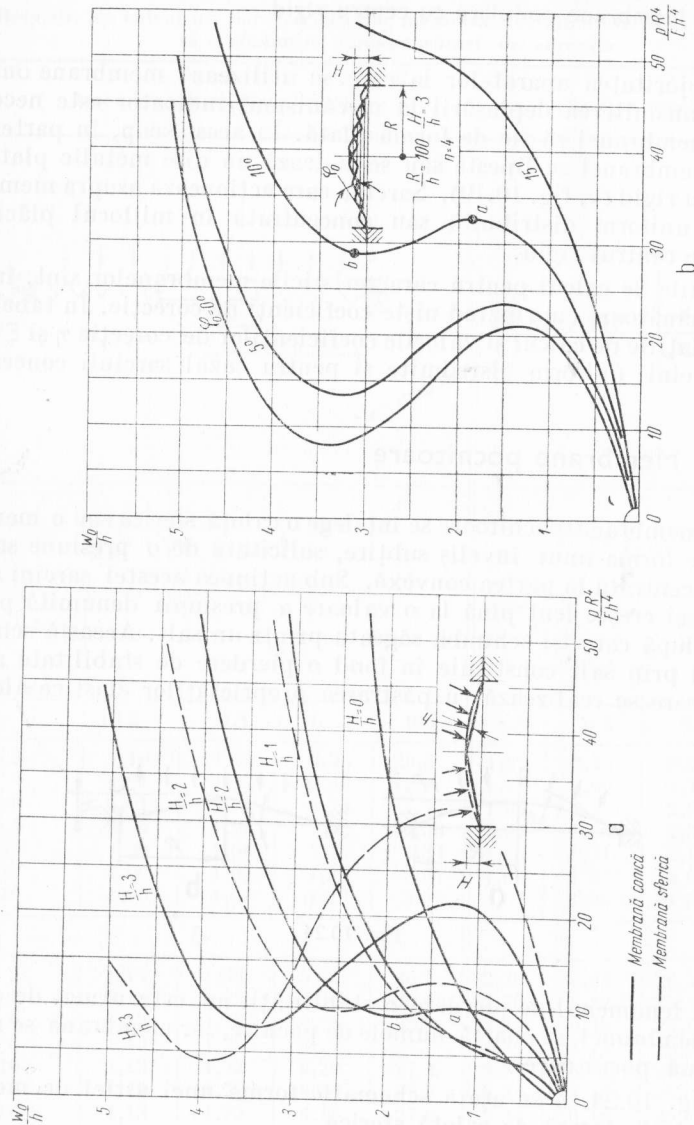


Fig. 10.25

Să se determine căderea de presiune, variația de volum și efortul radial maxim, și ecuația suprafeței elastice.

Rezolvare. Folosind diagrama din fig. 10.15 se determină mărimile $\frac{p R^4}{E h^4}$ și z , în funcție de raportul $\frac{w_0}{h} = \frac{1,75}{0,35} = 5$.

Rezultă: $\frac{p R^4}{E h^4} = 450$; $z = 16$.

Căderea de presiune

$$p = \frac{450 E h^4}{R^4} = \frac{450 \times 2,1 \times 10^6 \times 0,035^4}{9^4} \approx 0,210 \text{ kgf/cm}^2.$$

Ecuația suprafeței elastice a membranei, pentru săgeata $w_0 = 1,75$ mm:

$$w = w_0 \left\{ \frac{1}{16-1} [2\rho^{16+1} - (16+1)\rho^2] + 1 \right\}$$

sau

$$w = w_0 \left[\frac{1,75}{15} \left(\frac{r}{R} \right)^{17} - \frac{17}{15} \left(\frac{r}{R} \right)^2 + 1 \right].$$

$$V = \pi R^2 w_0 \frac{z+1}{2(z+3)} = \pi \times 9^2 \times 0,175 \times \frac{16+1}{2(16+3)} = 20 \text{ cm}^3.$$

Efortul radial maxim se obține folosind diagrama din fig. 10.15.

Pentru $\frac{w_0}{h} = 5$, se obține:

$$\frac{\sigma_r R}{E h^2} = 108.$$

Rezultă

$$\sigma_r = \frac{108 E h^2}{R^2} = \frac{108 \times 2,1 \times 10^6 (0,035)^2}{9^2} \approx$$

$$\approx 3400 \text{ kgf/cm}^2.$$

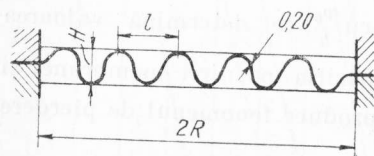


Fig. 10.26

Exemplu de calcul 2. O membrană cu profil sinusoidal are dimensiunile (fig. 10.26): $2R = 50$ mm; $H = 0,80$ mm; $l = 6,8$ mm. Modulul de elasticitate $E = 1 \times 10^6$ kgf/cm².

Să se determine ecuația caracteristicii membranei.

Rezolvare. Ecuația caracteristicii se poate pune sub forma:

$$p = \frac{E h}{R^4} (a h^2 w_0 + b w_0^3).$$

Din diagrama din fig. 10.22, b folosind parametrii:

$$\frac{H}{h} = \frac{0,80}{0,20} = 4 \text{ și } \frac{H}{l} = \frac{0,80}{6,8} = 0,1176,$$

se determină:

$$a = 38; b = 0,19.$$

Înlocuind în ecuația caracteristicii se obține:

$$p = \frac{1 \times 10^4 \times 0,20}{(25)^4} [38 \times 0,20^2 w_0 + 0,19 w_0^3].$$

Efectuând calculele rezultă:

$$p = 1,1 w_0 + 1,07 w_0^3.$$

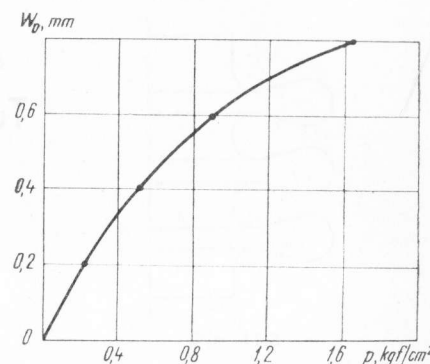


Fig. 10.27

Caracteristica membranei se construiește prin puncte, dând valori, de exemplu, lui w_0 :

w_0 mm	$1,1 w_0$	w_0^3	$1,07 w_0$	p
0	0	0	0	0
0,2	0,22	0,008	0,00856	0,22856
0,4	0,44	0,064	0,0685	0,5085
0,6	0,66	0,216	0,231	0,891
0,8	0,88	0,512	0,548	1,628

În fig. 10.27 este reprezentată caracteristica membranei.

Tuburi ondulate (silfoane)

11.1. Generalități

Tubul ondulat, denumit și silfon, este un înveliș de revoluție cu pereți subțiri, ondulat transversal, care se deformează elastic sub sarcini axiale și acumulează lucru mecanic (fig. 11.1). Dacă i se aplică o forță transversală, care produce momente de încovoiere, silfonul primește deplasări corespunzătoare în planul axial.

Profilul undulațiilor se caracterizează prin unghiul de înclinare α , distanța a între undulații, diametrul exterior D_e ; interior, D_i și mediu D . Profilul undulațiilor în funcție de condițiile de funcționare ale tubului ondulat variază astfel:

- în caz că tubul lucrează la întindere, profilul se execută cu inflexiune (fig. 11.2);
- pentru compresiune se utilizează un profil cu flancurile drepte (fig. 11.3);
- pentru sarcini repetate (oboseală), $\alpha=0$, flancurile sînt paralele (fig. 11.4);
- în cazurile speciale se folosește tubul cu undulație fără sfîrșit (fig. 11.5);
- pentru a îmbunătăți caracteristica atît la întindere, cît și la compresiune se folosesc tuburi ondulate combinate cu arcuri elicoidale (fig. 11.6); în acest caz se realizează micșorarea efectului de histererezis;

f) pentru a proteja tubul ondulat împotriva suprapresiunilor se folosește metoda armării sale cu inele exterioare (fig. 11.7).

Un tub ondulat se caracterizează prin săgeată, rigiditate, presiune maximă admisă, arie efectivă.

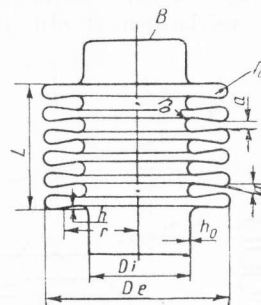


Fig. 11.1

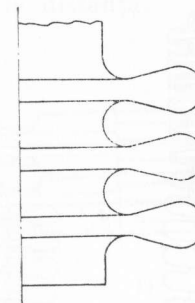


Fig. 11.2

Prin arie efectivă se înțelege raportul dintre forța concentrată P și presiunea p , care dau aceeași săgeată.

Presiunile interioare pentru care se folosesc tuburile ondulate variază în limite destul de largi. În construcția de aparate și în diferite utilaje se folosesc tuburi ondulate cu diametre de la 7–10 până la 120–150 mm și cu grosimea peretelui de 0,08–0,3 mm.

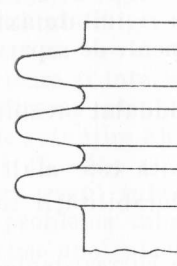


Fig. 11.3

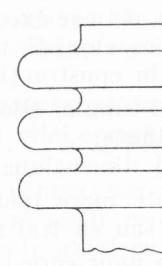


Fig. 11.4

Sensibilitatea silfoanelor de diametru mare și pereți subțiri este foarte mare, astfel că aceste silfoane pot fi utilizate pentru presiuni de ordinul zecimilor de milimetru coloană de apă. În schimb, silfoanele de diametru mic și cu pereți groși pot lucra la presiuni de sute de atmosfere.

Tuburile ondulate fiind de fapt arcuri foarte sensibile, se folosesc ca elemente elastice manometrice în construcția aparatelor de precizie ca: manometre, termometre manometrice, manometre diferențiale, aparatură manometrică de reglare etc.

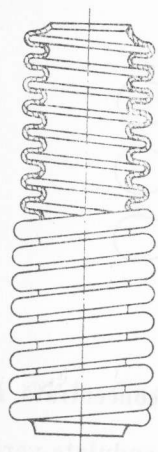


Fig. 11.5

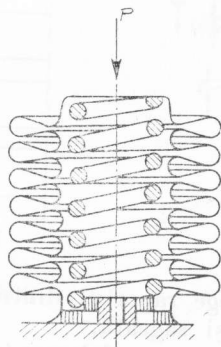


Fig. 11.6

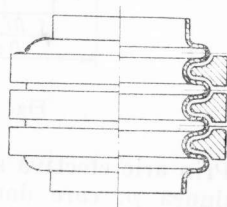


Fig. 11.7

De asemenea, tubul ondulat poate fi folosit ca mijloc de etanșare fără garnitură.

Posibilitatea de a se executa silfoane cu rigiditate axială și de încovoire mică face ca ele să fie utilizate ca elemente de separare și de ieșire, fără garnituri, în construcția aparatelor.

Față de arcul tubular (Bourdon), tubul ondulat prezintă următoarele avantaje importante:

- la aceeași dimensiune, forța dezvoltată este mult mai mare;
- durabilitate mare (pentru mărirea durabilității se pot construi tuburi cu două sau cu trei straturi);
- îmbinarea unor caracteristici ridicate cu rezistența la coroziune; pentru funcționare în condiții de coroziune se folosesc două tuburi ondulate: tubul exterior este executat dintr-un material cu proprietăți elastice înalte, iar cel interior dintr-un material rezistent în condițiile date de coroziune;
- histerezis mic (pentru a micșora și mai mult efectul de histerezis se folosește tubul ondulat combinat cu arc elicoidal).

Deoarece tuburile ondulate pot dezvolta eforturi de tracțiune mari, asigurând aparatelor un mic prag de sensibilitate, se utilizează și ca elemente în dispozitivele de acționare.

Datorită variației mari a volumului, tuburile ondulate se pot folosi și ca elemente ale transmisiilor hidraulice la distanță.

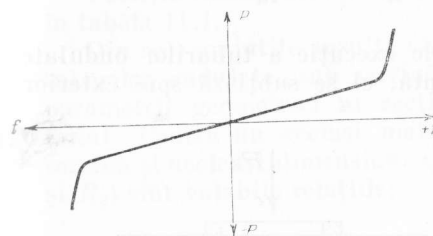


Fig. 11.8

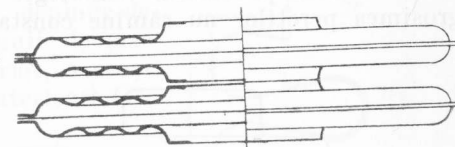


Fig. 11.9

Caracteristica tubului ondulat este liniară în anumite limite (fig. 11.8), fie că sarcina este concentrată fie că tubul lucrează la presiune interioară.

Pentru a îmbunătăți liniaritatea caracteristicii, în unele cazuri se procedează la gofrarea undulațiilor tubului, ca în fig. 11.9.

11.2. Considerații teoretice și de calcul

Pentru determinarea rigidității axiale a tubului ondulat se asimilează o parte a gofrajului tubului cu o placă inelară, astfel că întreg tubul ondulat se compară cu un set de plăci inelare îmbinate rigid între ele pe contururile exterioare și interioare.

Pentru simplificarea calculului se fac următoarele ipoteze:

- razele r_0 de rotunjire ale gofrajului sînt mici comparativ cu adîncimea undulației $R_e - R_i$;
- se consideră cazul tuburilor ondulate pentru care $\alpha = 0$.

În acest fel, problema tuburilor ondulate se poate rezolva prin asimilare cu problema unei plăci inelare încărcate axial cu o sarcină P . Deoarece tubul se poate asimila cu un set de astfel de plăci, săgeata tubului ondulat cu n undulații este de $2n$ ori mai mare decât săgeata unei plăci asimilate. În fig. 11.10 se dă schematic modul de asimilare a tubului cu plăci inelare.

Pentru săgeată se obține relația:

$$f = 2nA_k \frac{PR_e^2}{Eh^3} \quad (11.1)$$

Coeficientul A_K este dat de relația:

$$A_K = \frac{3(1-\mu^2)}{4\pi} \left[\frac{e^2-1}{e^2} - \frac{4\ln^2 e}{e^2-1} \right], \quad (11.2)$$

unde: e este raportul de formă al silfonului; $e = \frac{R_e}{R_i}$;
 h — grosimea peretelui.

Din cauza procesului tehnologic de execuție a tuburilor ondulate, grosimea pereților nu rămâne constantă, ci se subțiază spre exterior.

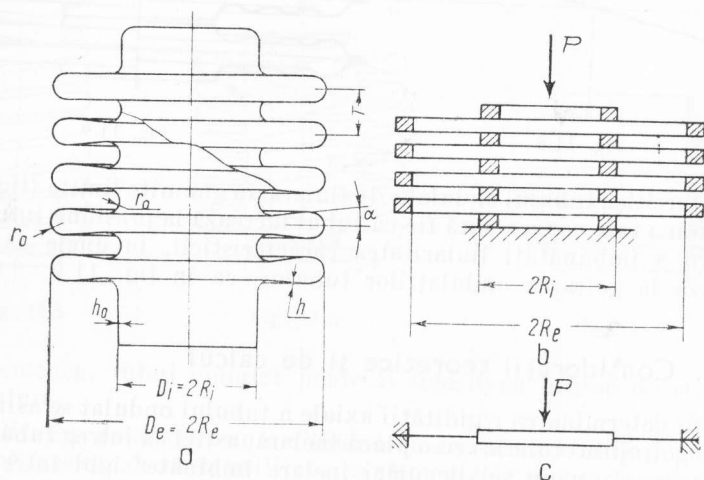


Fig. 11.10

Grosimea pereților într-un punct la distanța r de centrul tubului, se poate calcula cu relația:

$$h = h_0 \frac{r}{R_i}, \quad (11.3)$$

unde: h_0 este grosimea semifabricatului din care este executat tubul ondulat;

R_i — raza interioară a tubului.

Din fig. 11.11 reies grosimile tubului în punctele 1, 2, 3.

$$h_1 = h_0; \quad h_2 = \frac{2R_i}{R_e + R_i}; \quad h_3 = h_0 \frac{R_i}{R_e}. \quad (11.4)$$

În relația săgeții, h^3 are valoarea:

$$h^3 = \frac{h_0^3}{3} \left[1 + \left(\frac{2}{1+e} \right)^3 + \frac{1}{e^3} \right]. \quad (11.5)$$

Valorile coeficientului A_K sînt calculate, în funcție de parametrul e , în tabela 11.1.

Din cele amintite rezultă că comportarea tuburilor ondulate, sub sarcină, depinde de parametrii geometrici ai secțiunii de material. Pentru un același material, aceeași sarcină și aceleași dimensiuni exterioare (R_i și R_e) sînt valabile relațiile:

$$\left. \begin{aligned} \frac{f_1}{f_2} &= \frac{n_1}{n_2}, \\ \frac{f_1}{f_2} &= \frac{h_2^3}{h_1^3}, \end{aligned} \right\} \quad (11.6)$$

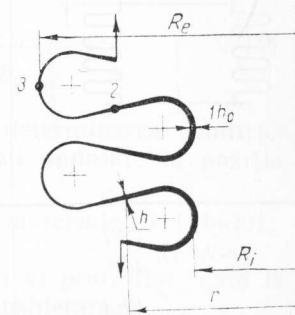


Fig. 11.11

unde: f_1 și f_2 sînt săgețile;

n_1 și n_2 — numărul undulațiilor active;

h_1 și h_2 — grosimea pereților tuburilor.

Cînd tubul este acționat de sarcini uniforme distribuite (presiune interioară) pentru calcul aceste sarcini se înlocuiesc cu una concentrată, echivalentă. În acest caz se folosește și noțiunea de suprafață efectivă.

Săgeata f_1 , care ia naștere sub acțiunea presiunii p , și f_2 care ia naștere sub acțiunea forței concentrate, P se determină cu relațiile:

$$f_1 = C_1 p; \quad f_2 = C_2 P, \quad (11.7)$$

unde coeficienții C_1 și C_2 sînt diferiți ca dimensiuni:

Dacă $f_1 = f_2$ rezultă:

$$C_1 p = C_2 P, \quad (11.8)$$

de unde:

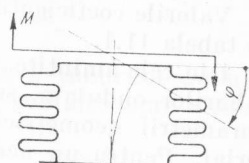
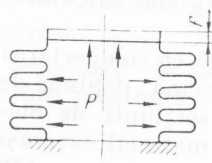
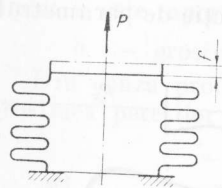
$$\frac{P}{p} = \frac{C_1}{C_2} = A_{ef} \text{ (arie efectivă)}. \quad (11.9)$$

Din această relație se obține:

$$P = p A_{ef} = p \pi R^2, \quad (11.10)$$

Relații pentru calculul tuburilor ondulate

Tabela 11.1



$$f = 2n A_K \frac{P R_i^2}{E h^3}$$

$$\sigma_{ri} = B_{ki} \frac{E h_i f}{2n R_e^2}$$

$$\sigma_{re} = B_{ke} \frac{E h_e f}{2n R_e^2}$$

$$f = 2n A_q \frac{p R_e^4}{E h^3}$$

$$\sigma_{ri} = B_q \frac{E h_i f}{2n R_e^2}$$

$$\sigma_{re} = B_q \frac{E h_e f}{2n R_e^2}$$

$$\varphi = 2n A_r \frac{M}{E h^3}$$

$$\sigma_{ri} = B_{ri} \frac{\varphi E h_i}{2n R_e}$$

$$\sigma_{re} = B_{re} \frac{\varphi E h_e}{2n R_e}$$

e	A_K	B_{ki}	B_{ke}	A_q	B_q	A_r	B_{re}	B_{ri}
1,10	0,000122	411	386	0,000326	399	0,000249	364	401
1,15	0,000344	202	184	0,000944	194	0,000782	170	195
1,20	0,000731	120	107	0,00193	119	0,001729	75,5	93,0
1,25	0,00129	88,9	76,6	0,00327	82,6	0,003154	66,5	83,1
1,30	0,00201	67,7	56,9	0,00493	62,1	0,00508	48,2	62,6
1,35	0,00290	54,4	44,6	0,00687	49,2	0,00755	36,8	49,7
1,40	0,00394	45,5	36,4	0,00905	40,6	0,01056	29,3	41,1
1,45	0,00510	39,0	30,5	0,0114	34,5	0,01408	24,1	34,9
1,50	0,00640	34,3	26,2	0,0139	29,9	0,01812	20,3	30,4
1,55	0,00782	30,6	22,9	0,0166	26,4	0,0226	17,4	26,9
1,60	0,00933	27,7	20,3	0,0193	23,7	0,0276	15,1	24,2
1,65	0,01093	25,5	18,3	0,0221	21,5	0,0331	13,4	22,0
1,70	0,01261	23,6	16,6	0,0249	19,7	0,0389	11,9	20,3
1,75	0,01436	22,0	15,2	0,0277	18,2	0,0451	10,9	18,8
1,80	0,01616	20,7	14,0	0,0305	17,0	0,0517	9,76	17,6
1,85	0,01800	19,6	13,0	0,0334	15,9	0,0586	8,93	16,4
1,90	0,01991	18,6	12,2	0,0362	15,0	0,0658	8,22	15,7
1,95	0,02182	17,8	11,4	0,0390	14,2	0,0732	7,61	14,8
2,00	0,02377	17,0	10,8	0,0417	13,5	0,0810	7,08	14,2

unde:

$$R = \frac{R_e + R_i}{2}, \quad (11.11)$$

R_e și R_i fiind razele exterioară și interioară ale tubului ondulat, măsurate la suprafața mediană.

Pentru un calcul mai exact al săgeții tuburilor ondulate se utilizează relația:

$$f = P \frac{1 - \mu^2}{h E} \frac{n}{A_0 - \alpha A_1 + \alpha^2 A_2 + B_0 \frac{h_0^2}{R_i^2}}, \quad (11.12)$$

stabilită prin metoda lui Ritz, bazată pe determinarea condiției de minim a energiei potențiale totale a tubului ondulat, în poziția de echilibru static,

în care: E este modulul de elasticitate al materialului tubului;

μ — coeficientul lui Poisson;

α — unghiul de înclinare (în rad) al profilului, care la un calcul mai exact se ia în considerare;

n — numărul de ondulații;

A_0, A_1, A_2, B_0 sînt coeficienți care au valorile date în diagramele din fig. 11.12, în funcție de parametrii m și e ;

unde:

$$m = \frac{r_0}{R_i}; \quad e = \frac{R_e}{R_i}, \quad (11.13)$$

r_0 fiind raza de rotunjire a profilului.

Unghiul α , care este de obicei mic (fig. 11.13), se determină pe baza relației:

$$\operatorname{tg} \alpha \approx \alpha = \frac{\frac{2r_0 - a}{2}}{R_e - R_i - 2r_0} = \frac{2m - \frac{a}{R_i}}{2(e - 2m - 1)}. \quad (11.14)$$

Lungimea tubului:

$$L = 2r_0 n + (n - 1)a. \quad (11.15)$$

Folosind această expresie, relația pentru unghiul α este următoarea:

$$\alpha = \frac{2m - \frac{L - 2nr_0}{(n - 1)R_i}}{2(e - 2m - 1)}. \quad (11.16)$$

Variația volumului cavității interioare a tubului ondulat se calculează cu ajutorul relației:

$$\Delta V = f A_{ef}. \quad (11.17)$$

Dacă silfonul este solicitat la încovoiere, produsă de un moment încovoietor M sau de o forță transversală, planul plăcii inelare echivalente unei ondulații a tubului se rotește cu un unghi

$$\varphi = 2n A_r \frac{M}{Eh^3}, \quad (11.18)$$

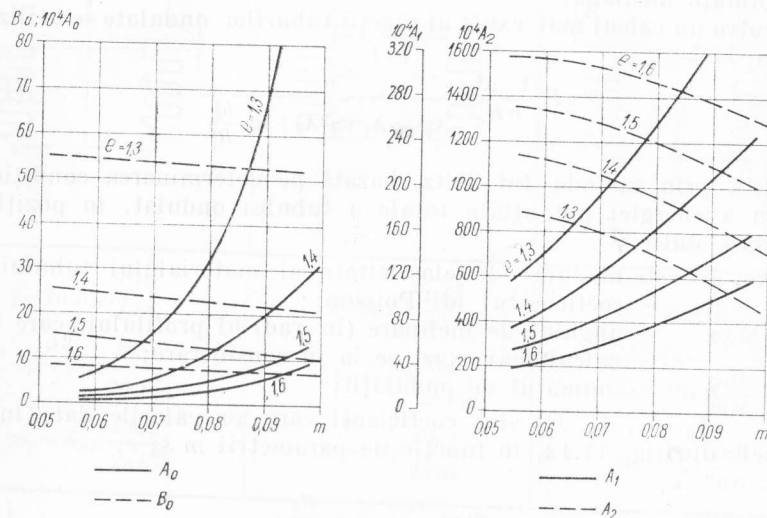


Fig. 11.12

unde: n este numărul de ondulații active;
 h — grosimea pereților;
 A_r — un coeficient

$$A_r = \frac{3(1-\mu^2)}{\pi} \left(\ln e - \frac{e^2-1}{e^2+1} \right), \text{ unde } e = \frac{R_e}{R_i}. \quad (11.19)$$

Valorile coeficientului A_r sînt date în tabela 11.1.

Tubul ondulat poate fi comparat cu o bară echivalentă cu el în ceea ce privește rigiditatea la încovoiere. Unghiul de rotire al barei echivalente sub acțiunea momentului aplicat la capătul ei

$$\varphi = \frac{ML}{B_e}, \quad (11.20)$$

unde: B_e este rigiditatea barei la încovoiere, de aceeași lungime L , ca lungimea părții gofrate active a tubului.

Din egalarea celor două unghiuri rezultă rigiditatea barei echivalente

$$B_e = \frac{Eh^3L}{2nA_r}. \quad (11.21)$$

O problemă care se pune curent în multe aplicații practice este stabilitatea tubului ondulat, acționat de o forță axială la compresie.

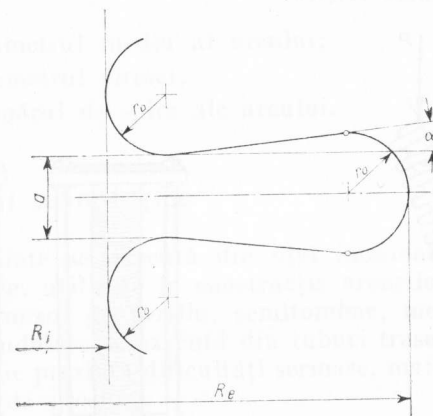


Fig. 11.13

Pentru o anumită sarcină critică, tubul ondulat flambează întocmai ca și o bară comprimată, pierzîndu-și stabilitatea, astfel că în secțiunea transversală a silfonului forța axială creează un moment de încovoiere egal cu Pv , unde v este săgeata axei față de poziția rectilinie inițială (fig. 11.14). În cazul unei bare echivalente, forța critică este dată de relația:

$$P_{cr} = \frac{\pi^2 B_e}{(\gamma L)^2}, \quad (11.22)$$

unde: L este lungimea părții gofrate active a tubului ondulat;
 γ — un coeficient care depinde de modul de fixare a capătului.

Valorile sale sînt identice cu cele folosite la barele drepte (în cazul flambajului), la stabilirea lungimii de calcul pentru flambaj.

În cazul tubului gofrat se obține:

$$P_{cr} = \frac{\pi^2 E h^3}{\gamma^2 L^2 n A_r}. \quad (11.23)$$

În caz că deplasarea axială a capătului silfonului este împiedicată de un reazem fix, el își poate pierde stabilitatea sub acțiunea presiunii interioare (fig. 11.15).

Reacțiunea reazemului fix:

$$R = P_{cr} = (p_{cr} - p_0) A_{ef}, \quad (11.24)$$

unde: p_0 este presiunea inițială la care se atinge reazemul fix;
 p_{cr} — presiunea critică.

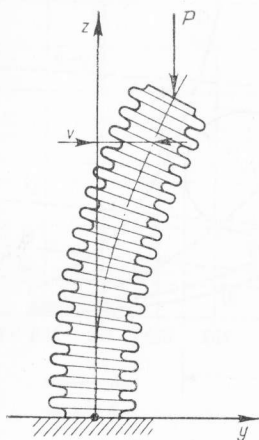


Fig. 11.14

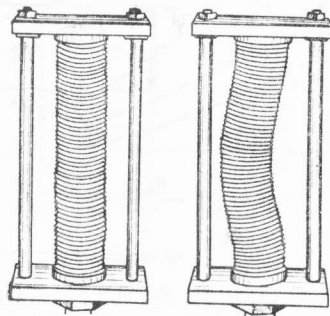


Fig. 11.15

Din relația (11.21) se obține:

$$p_{cr} = \frac{P_{cr}}{A_{ef}} + p_0 = \frac{\pi^2 E h^3}{\gamma^2 A_r 2n L A_{ef}} + p_0 \quad (11.25)$$

sau

$$p_{cr} = \frac{\pi E h^3}{\gamma^2 A_r 2n L R^2} + p_0. \quad (11.26)$$

Calculul de rezistență al tuburilor ondulate este foarte complex; pentru o proiectare satisfăcătoare se pot folosi, însă, la determinarea eforturilor unitare, relațiile din tabela 11.1, din care se pot calcula: săgeata, unghiul de rotire, precum și expresiile eforturilor unitare σ_{ri} și σ_{re} pentru $r = R_i$ și $r = R_e$.

Pentru micșorarea efectului de histeresis și uneori pentru sarcini mai mari, se utilizează tuburi ondulate combinate cu arc elicoidal.

Pentru determinarea săgeții în acest caz se folosește o relație care ține seamă de influența arcului elicoidal:

$$f = \frac{P}{\frac{Eh}{n(1-\mu^2)} \left[A_0 - \alpha A_1 + \alpha^2 A_2 + B_0 \frac{h^2}{R_i} \right] + \frac{Gd^2}{8D^2n_1}}, \quad (11.27)$$

în care: G este modulul de elasticitate transversal al materialului arcului;

D — diametrul mediu al arcului;

d — diametrul sîrmei;

n_1 — numărul de spire ale arcului.

11.3. Indicații tehnologice

Tuburile ondulate se execută din oțel inoxidabil, precum și din materiale neferoase, utilizate în construcția arcurilor ca: alama, bronzul fosforos și bronzul de beriliu, semitombac, metal monel etc. De obicei, tuburile ondulate se execută din tuburi trase avînd pereții subțiri a căror execuție prezintă dificultăți serioase, mai ales dacă se impun toleranțe strînse de grosime.

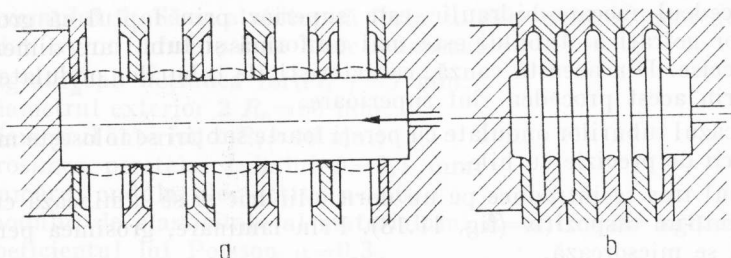


Fig. 11.16

Tuburile ondulate se execută prin procedee hidraulice sau mecano-hidraulice. În cazul procedeeului hidraulic, tubul semifabricat se fixează într-un dispozitiv al unei mașini speciale, la care sînt prevăzute — la distanțe corespunzătoare în lungul tubului — niște inele demontabile care strîng tubul. Prin introducerea de ulei sub presiune în tub, acesta se ondulează corespunzător distanțelor dintre inele (fig. 11.16, a). După

această operație, tubul este ținut la presiune interioară constantă și se presează în sens axial, permițându-se deplasarea inelelor (fig. 11.16, b).

La procedeul mecano-hidraulic, tubul semifabricat se roluiește pe un dorn special, prevăzut cu ondulații, ca în fig. 11.17. După această

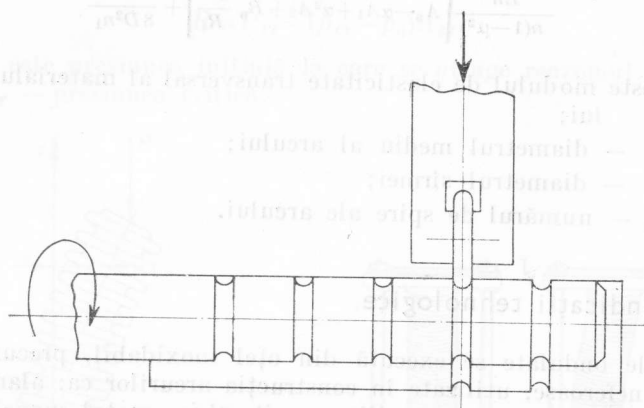


Fig. 11.17

operație, tubul se montează la o mașină hidraulică care-l menține sub presiune constantă și se presează în sens axial.

Procedeul mecano-hidraulic este superior prin faptul că grosimea pereților gofrați ai tubului este mai uniformă și tubul are dimensiuni mai precise. Din această cauză, caracteristicile tuburilor ondulate obținute prin acest procedeu sînt superioare.

În cazul tuburilor ondulate cu pereți foarte subțiri se folosește metoda laminării de precizie cu bile.

Tubul tras se introduce pe un dorn cilindric și se laminează cu bile aflate într-un dispozitiv (fig. 11.18). Prin laminare, grosimea pereților tubului se micșorează.

Un alt procedeu mult utilizat, care dă rezultate foarte bune, constă în executarea tuburilor ondulate din tablă ondulată încheiată prin sudură. Caracteristicile acestor tuburi ondulate obținute prin sudură sînt de regulă superioare, deoarece în acest caz grosimea tablei este mai uniformă și prin diferite variante constructive se pot obține tuburi ondulate de rezistență superioară. În fig. 11.19, a, b și c sînt reprezentate schematic cîteva variante constructive de tuburi ondulate încheiate prin sudură. Se observă că prin sudură se îmbină între ele o serie de discuri.

Înainte de procesul de profilare, tubul trebuie supus în prealabil unui tratament termic de recoacere în cutii etanșe, pentru a fi ferit de oxidare.

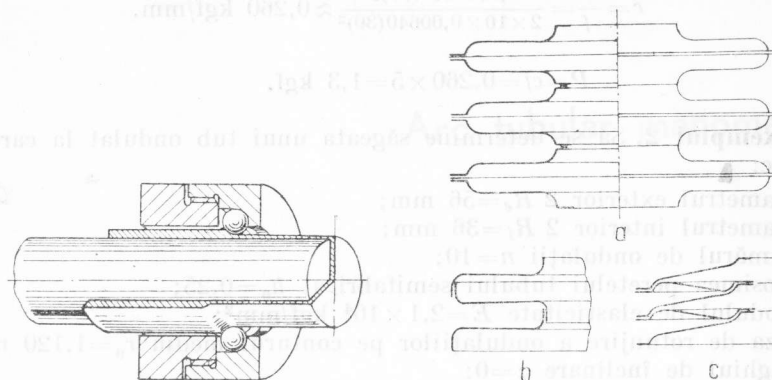


Fig. 11.18

Fig. 11.19

11.4 Exemple de calcul

Exemplul 1. Să se stabilească forța cu care trebuie încărcat un tub ondulat avînd următoarele date cunoscute:

săgeata sub acțiunea forței, $f=5$ mm;

diametrul exterior $2 R_e=60$ mm;

diametrul interior $2 R_i=40$ mm;

grosimea peretelui tubului $h=0,1$ mm;

numărul ondulațiilor active $n=10$;

modulul de elasticitate al materialului $E=2,15 \times 10^4$ kgf/cm²;

coeficientul lui Poisson $\mu=0,3$.

Tubul ondulat se execută prin sudură.

Rezolvare. Rigiditatea:

$$c = \frac{P}{f} = \frac{Eh^3}{2nA_k R_e^3}$$

Coeficientul A_k se alege din tabela 11.1, în funcție de raportul

$$e = \frac{R_e}{R_i} = \frac{60}{40} = 1,50.$$

Rezultă $A_k=0,00640$.

Rigiditatea tubului ondulat:

$$c = \frac{P}{f} = \frac{2,15 \times 10^4 \times 0,1^3}{2 \times 10 \times 0,00640(30)^2} \approx 0,260 \text{ kgf/mm.}$$

$$P = cf = 0,260 \times 5 = 1,3 \text{ kgf.}$$

Exemplul 2. Să se determine săgeata unui tub ondulat la care se cunosc:

diametrul exterior $2 R_e = 56 \text{ mm}$;

diametrul interior $2 R_i = 36 \text{ mm}$;

numărul de ondulații $n=10$;

grosimea peretelui tubului semifabricat $h_0=0,25$;

modulul de elasticitate $E=2,1 \times 10^4 \text{ kgf/mm}^2$;

raza de rotunjire a ondulațiilor pe conturul mediu $r_0=1,120 \text{ mm}$;

unghiul de înclinare $\alpha=0$;

forța cu care se încarcă tubul ondulat $P=0,5 \text{ kgf}$.

Rezolvare. Se determină în prealabil rigiditatea tubului:

$$c = \frac{P}{f} = \frac{E h_0}{f (1 - \mu^2) n} \left(A_0 + B_0 \frac{h_0^2}{R_i^2} - \alpha A_1 + \alpha^2 A_2 \right).$$

Pentru determinarea coeficienților A_0 , B_0 , A_1 , A_2 se folosesc diagramele din fig. 11.12.

Mai întâi se determină parametrii m și e :

$$m = \frac{r_0}{R_i} = \frac{1,120}{18} = 0,06; \quad e = \frac{R_e}{R_i} = \frac{56}{36} = 1,55.$$

Cu ajutorul acestora, din figura amintită se alege

$$A_0 \approx 0,0002 \text{ și } B_0 \approx 8.$$

Deoarece $\alpha=0$,

$$\text{rezultă } c = \frac{P}{f} = \frac{2,1 \times 10^4 \times 0,25}{(1 - 0,3^2) 10} \left(0,0002 + 8 \frac{0,25^2}{36^2} \right) \approx 1,2 \text{ kgf/mm.}$$

Săgeata tubului

$$f = \frac{P}{c} = \frac{0,5}{1,2} = 4,18 \text{ mm}$$

Arc tubular manometric

12.1. Considerații generale

Arcul tubular manometric este larg utilizat în construcția aparatelor de măsură ca: manometre indicatoare, manometre înregistratoare, manometre de reglare, termometre, vacuummetre, nivelmetre, debitmetre, manometre de adîncime la sondele de petrol etc.

Arcul tubular manometric este de regulă un tub curb, metalic, avînd o secțiune transversală eliptică, ovală sau de profil special. Datorită diferenței dintre presiunea exterioară și interioară a tubului, secțiunea își schimbă forma provocînd schimbarea curbării tubului, astfel încît capătul lui se deplasează cu o distanță oarecare corespunzătoare, care se transmite acului aparatului prin intermediul unui mecanism de transmisie montat de obicei compact în partea centrală cuprinsă de arc.

Cel mai răspîndit și mai cunoscut tip de arc tubular manometric se execută sub forma unui arc de cerc plan cu un unghi la centru de $200-270^\circ$ (cu o singură spiră), cunoscut în literatura tehnică sub numele de tubul Bourdon.

În fig. 12.1, a este reprezentat un arc tubular monometric (tub Bourdon), iar în fig. 12.1, b și c este reprezentată schematic variația formei tubului în funcție de modificarea formei secțiunii sale sub acțiunea presiunii.

La un arc tubular manometric, axa tubului este locul geometric al centrelor secțiunilor tubului. Planul care conține această axă se numește plan central.

Arcul tubular manometric este utilizat în construcția de aparate de măsură și control și de elemente de automatizare, pentru că are gaba-

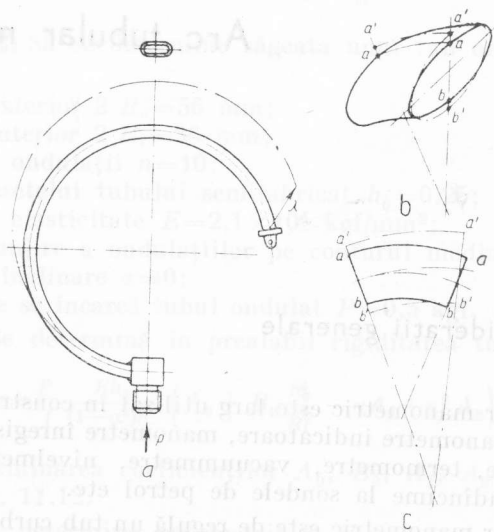


Fig. 12.1

rit mic, sensibilitate deosebită și robustețe mare. Trebuie remarcat însă faptul că aceste arcuri dezvoltă, în schimb, la capătul care acționează asupra mecanismului de transmitere o forță de tracțiune redusă, ceea ce, în unele cazuri, constituie un dezavantaj.

Pentru aparatele la care este necesară o deplasare a capătului arcului mai mare sau o anumită direcție în spațiu se utilizează arcuri tubulare cu mai multe spire, sub formă de spirală plană, de elice cilindrică sau conică, sau în formă de S simplu sau multiplu. Tehnologia construirii acestor arcuri tubulare este mai complicată, în schimb realizarea unor deplasări mai mari ale capătului tubului prezintă avantajul simplificării mecanismului de transmitere la acul indicator al aparatului.

Trebuie remarcat faptul că aceste arcuri tubulare manometrice cu mai multe spire prezintă totuși avantajul unui gabarit foarte mic, deoa-

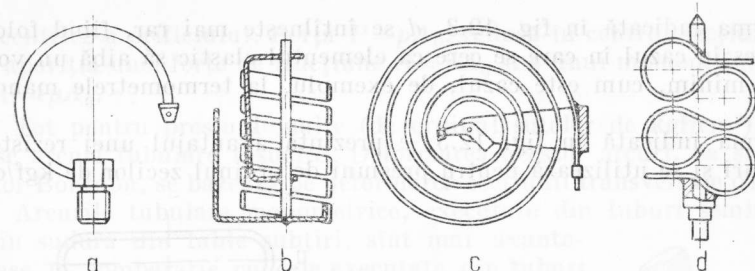


Fig. 12.2

rece ocupă aproximativ același spațiu pe care-l ocupă și arcul cu o singură spirală.

În fig. 12.2, a-d sînt reprezentate schemele citorva tipuri de arcuri tubulare manometrice cu una și cu mai multe spire.

12.2. Forme de secțiuni transversale ale arcurilor tubulare manometrice și importanța lor

Forma secțiunii transversale la arcul tubular manometric influențează caracteristicile mecanice ale arcului, îndeosebi sensibilitatea și rezistența, atât datorită urmărilor pe care le are în comportarea arcului procesul tehnologic folosit la construcția lui, cît și datorită influenței și corelației care există între modul de deformare a secțiunii transversale și deformarea și comportarea arcului tubular manometric.

Formele secțiunii transversale se pot împărți în două categorii, în funcție de procesul tehnologic folosit la construcția tubului:

— secțiuni transversale obținute din tuburi trase fără sudură (fig. 12.3, a-f);

— secțiuni transversale obținute prin sudură din table (fig. 12.4, a-e).

Primele cinci forme (fig. 12.3, a-e) sînt utilizate pentru presiuni mici sau mijlocii. Cele mai uzuale sînt primele trei tipuri: forma ovală (fig. 12.3, a), forma eliptică (fig. 12.3, b) și forma „D” (fig. 12.3, c). Forma ovală este cea mai folosită, deoarece necesită un proces tehnologic mai simplu, în schimb forma eliptică — mai pretențioasă din punct de vedere tehnologic — prezintă avantajul unei sensibilități mai mari a arcului tubular manometric.

Secțiunea transversală „D” prezintă avantajul unei tehnologii simple, în schimb sensibilitatea arcului este mult mai mică.

Forma indicată în fig. 12.3, *d* se întâlnește mai rar, fiind folosită mai ales în cazul în care se cere ca elementul elastic să aibă un volum inițial minim, cum este cazul, de exemplu, la termometrele manometrice.

Forma indicată în fig. 12.3, *e* prezintă avantajul unei rezistențe mai mari și se utilizează pentru presiuni de ordinul zecilor de kgf/cm².

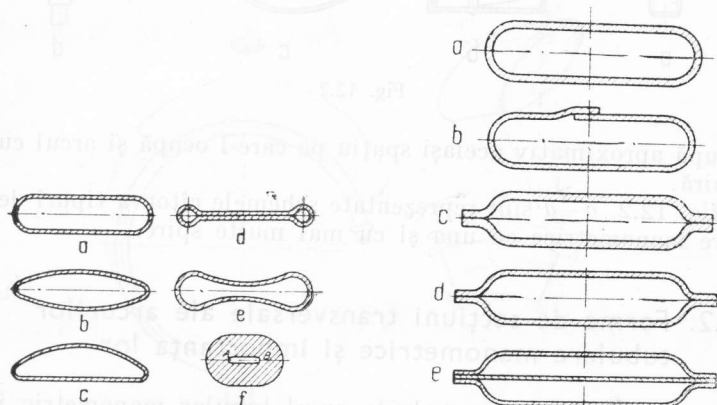


Fig. 12.3

Pentru presiuni înalte (de ordinul sutelor de kgf/cm² sau mai mari) se utilizează tuburi cu pereți groși, având secțiunea plan-ovală (fig. 12.3, *f*). Utilizarea acestei forme este însă limitată, deoarece în punctele A și B ale secțiunii apar eforturi unitare foarte mari care provoacă ruperea ei în aceste puncte.

Pentru presiuni mari (de ordinul miilor de kgf/cm²) se utilizează tuburi cu pereți groși, cu orificiul interior excentric în raport cu conturul exterior al secțiunii (fig. 12.5). Aceste secțiuni se utilizează la arcurile tubulare manometrice cunoscute sub numele de arcuri Negatkin. Solicitarea și funcționarea arcului Negatkin diferă complet de cele ale arcului Bourdon. Dacă la arcul Bourdon, modificarea curburii tubului arcului manometric și deplasarea capătului tubului sînt produse de deformarea secțiunii transversale, în cazul arcului tip Nagatkin, curbura se modifică datorită faptului că tubul este solicitat de un moment încovoiător, dat de forțele de presiune care sînt aplicate excentric față de centrul de greutate al secțiunii. În fig. 12.5 este arătat modul cum apare momentul încovoiător în secțiune datorită plasării

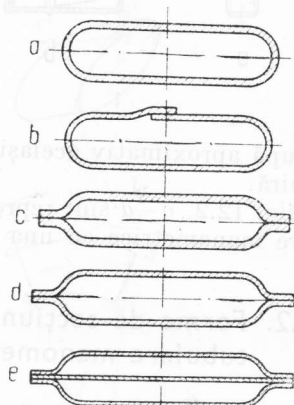


Fig. 12.4

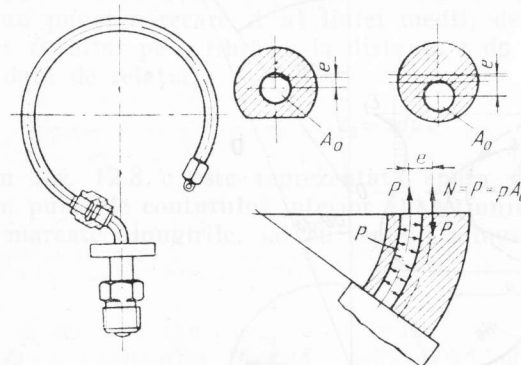


Fig. 12.5

excentrice a orificiului. Forța $P = pA_0$, redusă în centrul secțiunii, duce la apariția unei forțe de tracțiune $N = pA_0$ și a unui moment încovoiător $M_i = epA_0$.

Tot pentru presiuni înalte (de ordinul sutelor de kgf/cm²) se folosesc arcuri tubulare răsucite. Deformarea acestor arcuri, ca și a tuburilor Bourdon, se bazează pe deformarea secțiunii transversale (fig. 12.6).

Arcurile tubulare manometrice, executate din tuburi semifabricate prin sudură din table subțiri, sînt mai avantajoase în comparație cu cele executate din tuburi trase fără sudură, în primul rînd datorită simplificării tehnologiei. Deoarece toleranțele care se

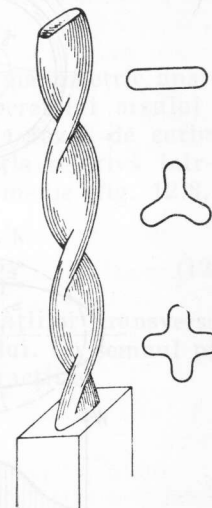


Fig. 12.6

pot impune la grosimea tablei sînt mult mai strînse decît la tuburile trase fără sudură, cîmpul de împrăștiere a caracteristicilor arcurilor dintr-un lot este mult mai redus. Prin folosirea tuburilor sudate s-au obținut tipuri noi de arcuri tubulare, și anume arcuri cu mai multe cavități, la care deplasarea capătului unui astfel de arc depinde de presiunea care acționează în diferitele cavități.

12.3. Considerații teoretice și de calcul

Se consideră tubul din fig. 12.7 care are un capăt fixat într-un ștuț, iar la celălalt capăt este montat mecanismul indicator al aparatului. Sub acțiunea presiunii interioare exercitate de fluid, arcul se desface

primind o deformare unghiulară $\Delta\gamma$, iar capătul său execută o cursă (fig. 12.7, a). În același timp, secțiunea transversală a tubului se deformează, tinzând să devină circulară și se rotește în jurul axei mari. Astfel, o fibră oarecare AB a unui element de arc limitat de două secțiuni

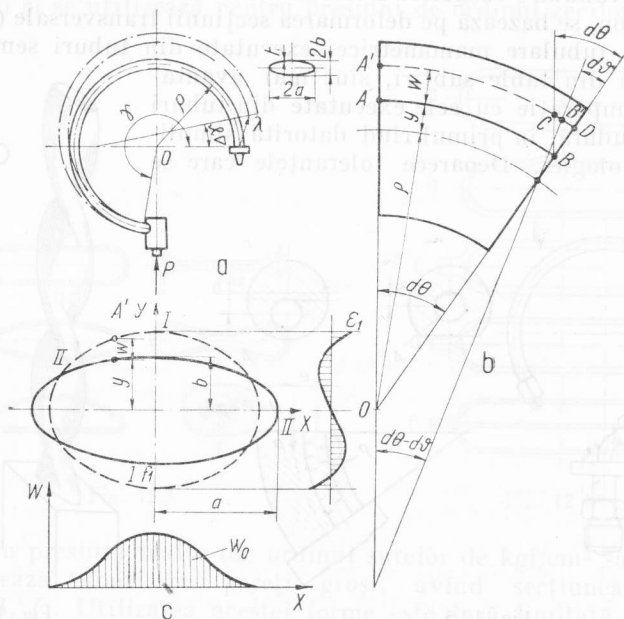


Fig. 12.7

transversale, care fac între ele unghiul inițial $d\theta$ (fig. 12.7, b) și după deformare unghiul $d\theta - d\theta$, ar lua poziția $A'B'$.

Dacă se notează cu y distanța fibrei AB pînă la fibra neutră a peretelui și cu w , deplasarea punctului A din secțiunea transversală pe direcția axei y , (fig. 12.7, c), alungirea fibrei AB este dată de relația:

$$\epsilon_1 = \frac{Cd'}{AB} = \frac{w\Delta\theta - (y+w)d\theta}{(\rho+y)d\theta}, \quad (12.1)$$

în care: ρ este raza de curbură a axei înainte de deformare, în mm. Deoarece $y \ll \rho$, $w \ll y$ și unghiul de rotație relativă al elementului

$\frac{d\theta}{d\theta}$ este egal cu unghiul de rotație relativ $\frac{\Delta\gamma}{\gamma}$, $\frac{d\theta}{d\theta} = \frac{\Delta\gamma}{\gamma}$, se poate scrie:

$$\epsilon_1 = \frac{w - y \frac{d\theta}{d\theta}}{\rho} \approx \frac{w - y \frac{\Delta\gamma}{\gamma}}{\rho}, \quad (12.2)$$

unde: γ este unghiul la centru al părții active a arcului, măsurat pe axa centrală a tubului

$\Delta\gamma$ — deformarea unghiulară.

Afară de deformările longitudinale ϵ_1 , la arcul manometric apar și deformările transversale ϵ_2 , datorite încovoierii peretelui arcului în sens transversal. Dacă se notează cu dx — variația razei de curbură într-un punct oarecare A al liniei medii, deformarea relativă într-un punct B , aflat pe o fibră cc la distanța z de linia medie (fig. 12.8, a) este dată de relația:

$$\epsilon_2 = zdx. \quad (12.3)$$

În fig. 12.8, c este reprezentată epura deformațiilor transversale ϵ_2 , în punctele conturului interior al secțiunii arcului. Cu semnul plus sînt marcate alungirile, iar cu semnul minus contractiile.

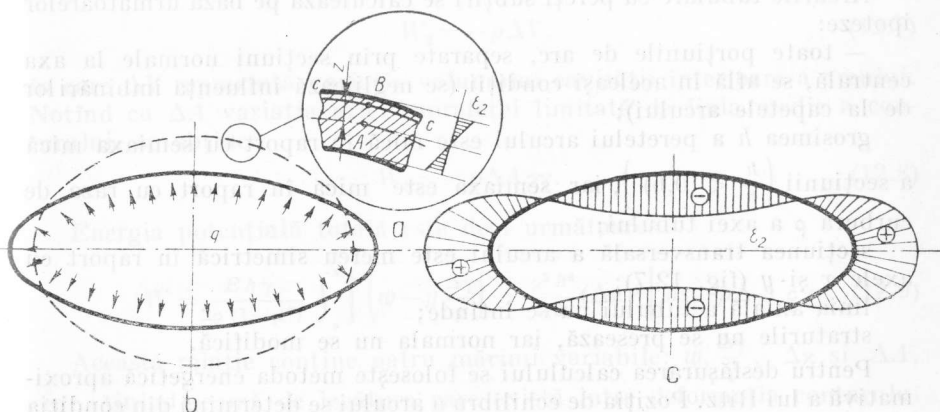


Fig. 12.8

Din analiza relațiilor precedente pentru deformații se poate vedea că funcționarea arcului Bourdon este influențată de modul în care se

deformează conturul secțiunii transversale. Deformarea unghiulară $\Delta\gamma$ și deplasarea liniară λ a capătului arcului depind de modul de deformare a conturului secțiunii transversale.

Sensibilitatea arcului manometric crește o dată cu micșorarea grosimii h și cu creșterea razei de curbura ρ a arcului. Sensibilitatea arcului depinde și de raportul $\frac{a}{b}$ al axelor secțiunii transversale, astfel că cu cât secțiunea este mai aplatisată, cu atât ea se deformează mai mult sub acțiunea presiunii. În cazul secțiunii circulare, sensibilitatea arcului este aproape nulă.

Calculul arcurilor tubulare de tip Bourdon se face în două ipoteze și anume:

a) cazul arcurilor cu pereți subțiri, caracterizate prin raportul:

$$\frac{h}{b} < 0,6;$$

b) cazul arcurilor cu pereți groși, caracterizate prin raportul:

$$\frac{h}{b} > 0,6 \dots 0,7.$$

Arcurile tubulare cu pereți subțiri se calculează pe baza următoarelor ipoteze:

— toate porțiunile de arc, separate prin secțiuni normale la axa centrală, se află în aceleași condiții (se neglijează influența îmbinărilor de la capetele arcului);

grosimea h a peretelui arcului este mică în raport cu semiaxa mică a secțiunii ($\frac{h}{b} < 0,6$), iar semiaxa este mică în raport cu raza de curbura ρ a axei tubului;

secțiunea transversală a arcului este mereu simetrică în raport cu axele x și y (fig. 12.7);

linia axială a tubului nu se întinde;

straturile nu se presează, iar normala nu se modifică.

Pentru desfășurarea calculului se folosește metoda energetică aproximativă a lui Ritz. Poziția de echilibru a arcului se determină din condiția minimului de energie potențială totală, condiție care va da relația dintre sarcină și deplasarea capătului arcului.

Energia potențială totală se obține însumând energia potențială a deformațiilor cu energia forțelor exterioare. Energia potențială a defor-

mației se obține pornind de la expresia energiei potențiale specifice, care, în cazul unei stări tensionale cu două axe, este dată de relația:

$$W_0 = \frac{E}{2(1-\mu^2)} (\varepsilon_1^2 + \varepsilon_2^2 + 2\mu\varepsilon_1\varepsilon_2). \quad (12.4)$$

Pentru a exprima energia potențială de deformare a întregului arc se pornește de la energia potențială de deformare a unui element de volum dV , care se obține prin separarea unei porțiuni din arc, cu unghiul la centru $\Delta\theta$. Dacă elementul de volum are grosimea dz și lățimea ds elementul de volum $dV = \rho d\theta ds dz$.

Energia potențială de deformare a întregului arc:

$$W_1 = \int_{-\frac{h}{2}}^{+\frac{h}{2}} \int_0^s W_0 dV = \frac{E\rho\gamma}{2(1-\mu^2)} \int_{-\frac{h}{2}}^{+\frac{h}{2}} \int_0^s (\varepsilon_1^2 + \varepsilon_2^2 + 2\mu\varepsilon_1\varepsilon_2) ds dz \quad (12.5)$$

care ținând seamă de relațiile date anterior pentru ε_1 și ε_2 devine:

$$W_1 = \frac{Eh\gamma}{2\rho(1-\mu^2)} \int_0^s \left[\left(w - y \frac{\Delta\gamma}{\gamma} \right)^2 + \frac{\rho^2 h^2}{12} (\Delta z)^2 \right] ds. \quad (12.6)$$

Energia de poziție a forțelor exterioare, ținând seamă că asupra arcului acționează numai presiunea fluidului, este dată de relația:

$$W_2 = -p\Delta V, \quad (12.7)$$

în care ΔV reprezintă variația volumului cavității interioare a arcului. Notînd cu ΔA variația ariei suprafeței limitată de linia medie a conturului, se obține:

$$W_2 = -p\Delta A \rho\gamma. \quad (12.8)$$

Energia potențială totală este deci următoarea:

$$W = \frac{Eh\gamma}{2\rho(1-\mu^2)} \int_0^s \left[\left(w - y \frac{\Delta\gamma}{\gamma} \right)^2 + \frac{\rho^2 h^2}{12} (\Delta z)^2 \right] ds - p\Delta A \rho\gamma. \quad (12.9)$$

Această relație conține patru mărimi variabile: w , $\frac{\Delta\gamma}{\gamma}$, Δz și ΔA , care, ținând seamă de legătura care există între deformarea conturului transversal și valorile acestor patru mărimi, se poate transforma astfel ca să depindă numai de două variabile.

Pentru a realiza transformarea dorită, se consideră un cadru (un inel) închis, obținut prin două secțiuni apropiate dintr-un tub drept,

care are forma tubului manometric studiat, solicitat de o sarcină uniform repartizată q (fig. 12.9, a).

Din studiul acestui inel, considerat ca un cadru static nedeterminat, se pot exprima relațiile de legătură între mărimile q , w , Δx și ΔA , în funcție de deformarea conturului.

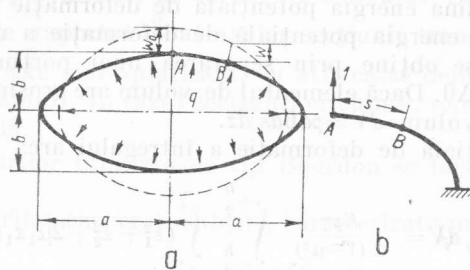


Fig. 12.9

Pentru determinarea celor patru mărimi, care depind de variația conturului secțiunii, este necesar să se afle momentul încovoietor într-un punct B oarecare al cadrului, cu următoarea relație:

$$M = \frac{q b^2}{2} \left(\frac{a^2}{b^2} - 1 \right) \Omega, \quad (12.10)$$

în care Ω este funcția arcului s al conturului, care depinde de secțiunea transversală a tubului și de forma tubului Bourdon.

Deplasarea punctului A al cadrului este dată de relația:

$$w_0 = \int_0^{s/4} \frac{MM_1}{B} ds = \frac{qa^2}{2B} (a^2 - b^2) m, \quad (12.11)$$

în care: B este rigiditatea la încovoiere a cadrului;

m — un coeficient care depinde de forma cadrului.

Deplasarea unui punct oarecare B în sens vertical

$$w = \int_0^{s/4} \frac{MM_1 ds}{B} = \frac{w_0}{m} \omega, \quad (12.12)$$

unde ω este funcția arcului s al conturului, iar M_1 , valoarea momentului încovoietor în punctul B, produs de o forță unitară aplicată în A (fig. 12.9, b).

În mod asemănător se obțin relațiile:

$$\Delta x = \frac{M}{B} = \frac{w_0}{ma^2} \omega, \quad (12.13)$$

$$\Delta A = 4 \int_0^{s/4} \frac{MM_1 ds}{B} = \frac{2w_0}{m} a \left(1 - \frac{b^2}{a^2} \right) n, \quad (12.14)$$

unde $M_1 = \frac{b^2}{2} \left(\frac{a^2}{b^2} - 1 \right) \Omega$, este momentul produs de sarcina uniform re-

partizată, egală cu unitatea $q=1$, iar

n — un coeficient care depinde de conturul cadrului.

Relațiile pentru determinarea coeficienților Ω , ω , m și n se dau, în funcție de conturul secțiunii transversale, în tabela 12.1.

Folosind relațiile precedente, energia potențială totală, în funcție de numai două mărimi variabile w_0 și $\frac{\Delta \gamma}{\gamma}$, se poate determina cu relația:

$$W = \frac{Eh\gamma}{2\rho(1-\mu^2)} \int_0^s \left[\left(\frac{w_0}{m} \omega - y \frac{\Delta \gamma}{\gamma} \right)^2 + \frac{\rho^2 h^2}{12a^4} \frac{w_0^2}{m^2} \Omega^2 \right] ds - 2p \frac{w_0}{m} a \left(1 - \frac{b^2}{a^2} \right) n \rho \gamma. \quad (12.15)$$

Această expresie poate fi adusă sub forma:

$$W = \frac{2Eha\gamma}{\rho(1-\mu^2)} \left[\frac{w_0^2}{m^2} A_1 - 2b \frac{w_0}{m} \left(\frac{\Delta \gamma}{\gamma} \right) A_2 + b^2 \left(\frac{\Delta \gamma}{\gamma} \right)^2 A_3 + \right. \\ \left. + \frac{\gamma^2}{12} \frac{w_0^2}{m^2} n \right] - 2p \frac{w_0}{m} a \left(1 - \frac{b^2}{a^2} \right) n \rho \gamma, \quad (12.16)$$

unde:

$$\left. \begin{aligned} A_1 &= \frac{1}{a} \int_0^{s/4} \omega^2 ds; \\ A_2 &= \frac{1}{ab} \int_0^{s/4} y \omega ds; \\ A_3 &= \frac{1}{ab^2} \int_0^{s/4} y^2 ds; \\ n &= \frac{1}{a} \int_0^{s/4} \Omega^2 ds \quad \text{și} \quad \gamma = \frac{\rho h}{a^2}. \end{aligned} \right\} \quad (12.17)$$

Tabela 12.1

Relații pentru determinarea coeficienților m , n , Ω , ω și Φ , utilizați la calculul arcului tubular manometric

Coeficientul	Secțiunea eliptică (fig. 12.15, c)	Secțiune ovală	
		Porțiunea dreaptă $[0 < x < a - b]$ (fig. 12.15, b)	Porțiunea curbă $[0 < \varphi < 90^\circ]$ (fig. 12.15, b)
Ω	$\frac{J_2}{J_0} - \sin^2 \varphi$	$A - \frac{x^2}{b^2}$	$A - \frac{a}{b} - 1^2 + 2 \frac{a}{b} - 1 \sin \varphi$
m	$J_2 - \frac{J_1 J_3}{J_0}$	$\frac{1}{a^2 \left(\frac{a^2}{b^2} - 1 \right)} \left\{ \frac{1}{2} \left(\frac{a}{b} - 1 \right) \left[\left(\frac{a}{b} - 1 \right)^2 + 12 \right] + \frac{\pi}{2} \left[\left(\frac{a}{b} - 1 \right)^2 + 1 \right] - \right.$ $\left. - A \left[\frac{1}{2} \left(\frac{a}{b} - 1 \right) + \frac{\pi}{2} + \frac{1}{\frac{a}{b} - 1} \right] \right\}$	
n	$J_4 - \frac{J_2^2}{J_0}$	$\frac{1}{a^2 \left(\frac{a^2}{b^2} - 1 \right)} \left\{ \left(\frac{a}{b} - 1 \right)^3 \left[\frac{1}{5} \left(\frac{a}{b} - 1 \right)^2 + 4 \right] + \frac{\pi}{2} \left(\frac{a}{b} - 1 \right)^2 \times \left[\left(\frac{a}{b} - 1 \right)^2 + \right. \right.$ $\left. \left. + 2 \right] + A^2 \left[\frac{a}{b} - 1 + \frac{\pi}{2} \right] - A \left(\frac{a}{b} - 1 \right) \left[\frac{2}{3} \left(\frac{a}{b} - 1 \right)^3 + \pi \left(\frac{a}{b} - 1 \right) + 4 \right] \right\}$	

Tabela 12.1 (continuare)

coeficientul	Secțiunea eliptică (fig. 12.15, c)	Secțiune ovală	
		Porțiunea dreaptă $[0 < x < a - b]$ (fig. 12.15, b)	Porțiunea curbă $[0 < \varphi < 90^\circ]$ (fig. 12.15, b)
ω	$J_2 J_0' \sin \varphi - \frac{J_2^2}{J_0} J_1' - J_2' \sin \varphi + J_3$	$\frac{1}{a^2 \left(\frac{a^2}{b^2} - 1 \right)} \left\{ \frac{x^4}{2 b^4} \frac{A}{2} \frac{x^2}{b^2} + \left(\frac{a}{b} - 1 \right)^3 \left[\frac{1}{4} \left(\frac{a}{b} - 1 \right)^2 + 3 \right] + \right.$ $\left. + \frac{\pi}{2} \left(\frac{a}{b} - 1 \right) \left[\left(\frac{a}{b} - 1 \right)^2 + 1 \right] - A \left[\frac{1}{2} \left(\frac{a}{b} - 1 \right)^3 + \frac{\pi}{2} \left(\frac{a}{b} - 1 \right) + 1 \right] \right\}$	$\frac{1}{a^2 \left(\frac{a^2}{b^2} - 1 \right)} \left\{ \left[\left(\frac{a}{b} - 1 \right)^2 - A \right] \times \right.$ $\left. \times \cos \varphi - \left(\frac{\pi}{2} - \varphi \right) \sin \varphi \right] + \left(\frac{a}{b} - 1 \right) \left[\left(\frac{\pi}{2} - \varphi \right) - \frac{1}{2} \sin 2\varphi \right] \right\}$
Φ	$\omega - \frac{a}{b} \cos \varphi$	$\omega - \frac{a}{b}$	$\omega - \frac{a}{b} \cos \varphi$
	unde: $J_0 = \int_0^{\frac{\pi}{2}} \sin^2 n \varphi / \sqrt{1 - k^2 \sin^2 \varphi} d\varphi$ $J_0' = \int_0^{\frac{\pi}{2}} \sin^2 n \varphi / \sqrt{1 - k^2 \sin^2 \varphi} d\varphi$ $k^2 = 1 - \frac{b^2}{a^2}$	unde: $A = \frac{a-b}{b} - \frac{a-1}{a-1+\frac{\pi}{2}} \left[\frac{1}{3} \left(\frac{a}{b} - 1 \right)^2 + \frac{\pi}{2} \left(\frac{a}{b} - 1 \right) + 2 \right]$	

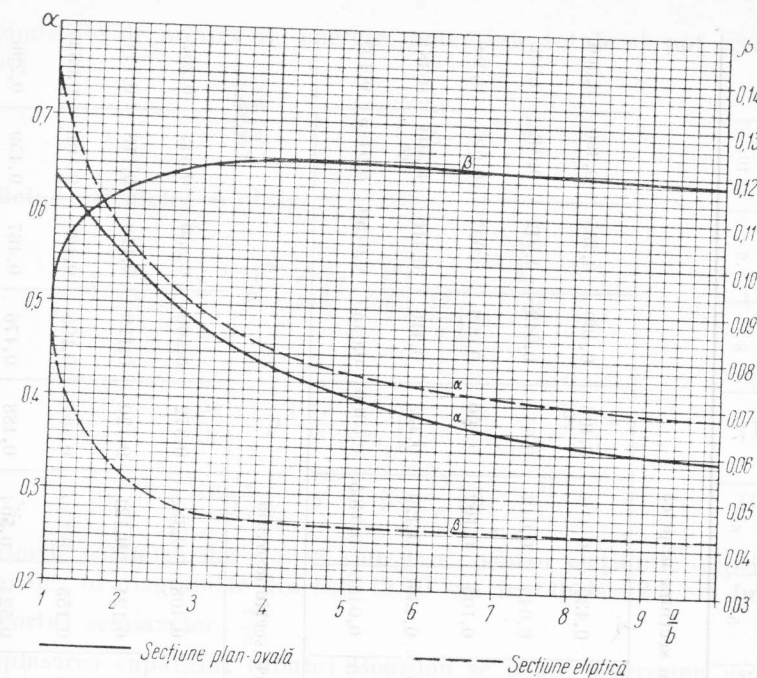


Fig. 12.10

Deplasarea λ se descompune de regulă în două componente, ca în fig. 12.11, c, și anume: o componentă radială λ_r și o componentă tangențială λ_t .

Pentru determinarea acestor componente se aplică în capătul arcului forța unitară în sens radial (fig. 12.11, a) sau în sens tangențial (fig. 12.11, b) și se obține:

$$\left. \begin{aligned} \lambda_r &= \frac{\Delta\gamma}{\gamma} \rho (1 - \cos \gamma); \\ \lambda_t &= \frac{\Delta\gamma}{\gamma} \rho (\gamma - \sin \gamma). \end{aligned} \right\} \quad (12.26)$$

Mărima deplasării totale este dată de relația

$$\lambda = \sqrt{\lambda_r^2 + \lambda_t^2} = \frac{\Delta\gamma}{\gamma} \rho \sqrt{(1 - \cos \gamma)^2 + (\gamma - \sin \gamma)^2} \quad (12.27)$$

sau notînd $\Gamma = \sqrt{(1 - \cos \gamma)^2 + (\gamma - \sin \gamma)^2}$,

$$\lambda = \frac{\Delta\gamma}{\gamma} \rho \Gamma. \quad (12.28)$$

Valorile lui Γ se pot lua din diagrama din fig. 12.12.
Deplasarea totală:

$$\lambda = \rho \frac{1 - \mu^2}{E} \frac{\rho^3}{bh} \left(1 - \frac{b^2}{a^2} \right) \frac{\Gamma \alpha}{\beta + \alpha^2}. \quad (12.29)$$

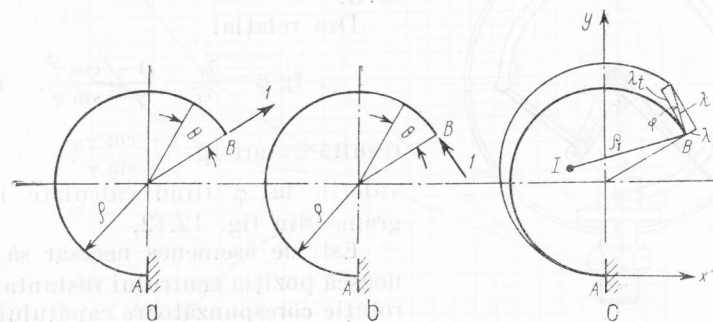


Fig. 12.11

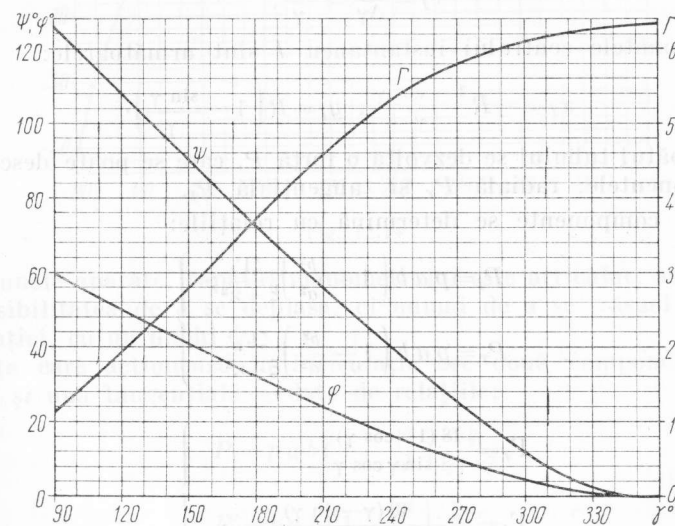


Fig. 12.12

Deplasarea capătului B al tubului Bourdon, în cazul deformațiilor mici, se poate considera liniară. Capătul B antrenează mecanismul de înregistrare al aparatului (fig. 12.13), astfel că articulația din B se deplasează cu mărimea λ . Rezultă că viteza punctului B al tije BC are direcția determinată de deplasarea λ , adică de unghiul φ dintre tangenta la arcul format de tub și direcția deplasării.

Din relația:

$$\operatorname{tg} \varphi = \frac{\lambda_r}{\lambda_t} = \frac{1 - \cos \gamma}{\gamma - \sin \gamma}, \quad (12.30)$$

rezultă $\varphi = \arctg \frac{1 - \cos \gamma}{\gamma - \sin \gamma}$, valorile lui φ fiind calculate în diagrama din fig. 12.12.

Este de asemenea necesar să se cunoască poziția centrului instantaneu de rotație corespunzătoare capătului B al arcului. Raza $BI = \rho_I$ este dată de relația:

$$\rho_I = \frac{\lambda}{\Delta \gamma} = \frac{\rho \Gamma}{\gamma}, \quad (12.32)$$

iar coordonatele centrului instantaneu I sînt următoarele:

$$x_I = -R \frac{1 - \cos \gamma}{\gamma}; \quad y_I = R \left(1 - \frac{\sin \gamma}{\gamma} \right). \quad (12.33)$$

La capătul tubului se dezvoltă o forță P , care se poate descompune în componentele: radială P_r și tangențială P_t .

Aceste componente se determină cu relațiile:

$$\left. \begin{aligned} P_t &= p a b \left(1 - \frac{b^2}{a^2} \right) \frac{\zeta \Gamma_t}{\xi + \chi^2}; \\ P_r &= p a b \left(1 - \frac{b^2}{a^2} \right) \frac{\zeta \Gamma_r}{\xi + \chi^2} \end{aligned} \right\} \quad (12.34)$$

unde

$$\left. \begin{aligned} \Gamma_r &= \frac{48 (1 - \cos \gamma)}{\gamma - \sin \gamma \cos \gamma}; \\ \Gamma_t &= \frac{48 (\gamma - \sin \gamma)}{3\gamma - 4 \sin \gamma + \sin \gamma \cos \gamma} \end{aligned} \right\} \quad (12.35)$$

Valorile expresiilor Γ_r și Γ_t sînt calculate în diagrama din fig. 12.14, iar mărimile ζ și ξ sînt date în tabela 12.2.

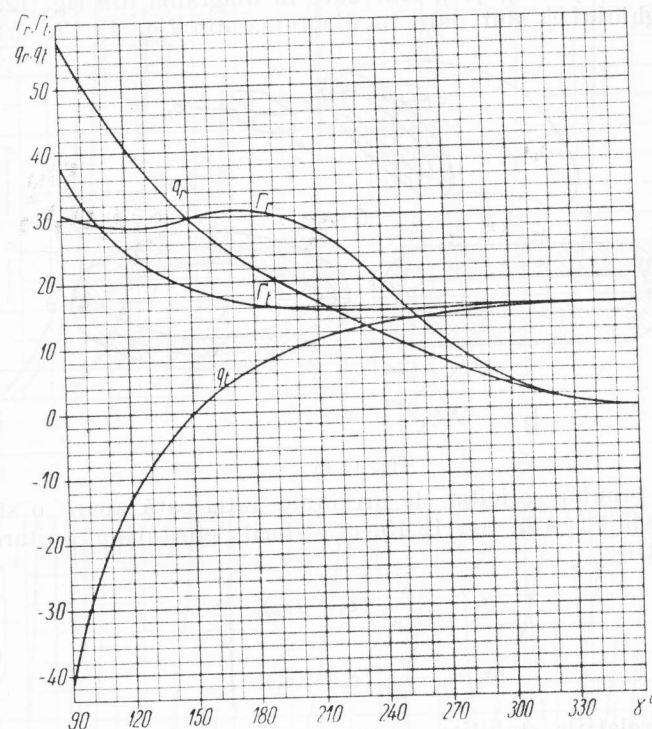


Fig. 12.14

La unele aparate, capătul manometrului este articulat, astfel că nu are posibilitatea de a se deplasa, ci numai de a se răsuci în jurul articulației, cu un unghi ψ .

Forța care acționează în articulație are două componente — una radială și una tangențială — date de relațiile:

$$\left. \begin{aligned} P_t &= p a b \left(1 - \frac{b^2}{a^2} \right) \frac{\zeta q_t}{\xi + \chi^2}; \\ P_r &= p a b \left(1 - \frac{b^2}{a^2} \right) \frac{\zeta q_r}{\xi + \chi^2} \end{aligned} \right\} \quad (12.36)$$

Direcția de acțiune a acestei forțe este $\text{tg } \psi = \frac{q_r}{q_t}$, ψ fiind unghiul cu care se răsucesce capătul tubului manometric în jurul articulației. Valorile coeficienților q_r și q_t sînt date în diagrama din fig. 12.14, iar valorile unghiului ψ sînt date în diagrama din fig. 12.12.

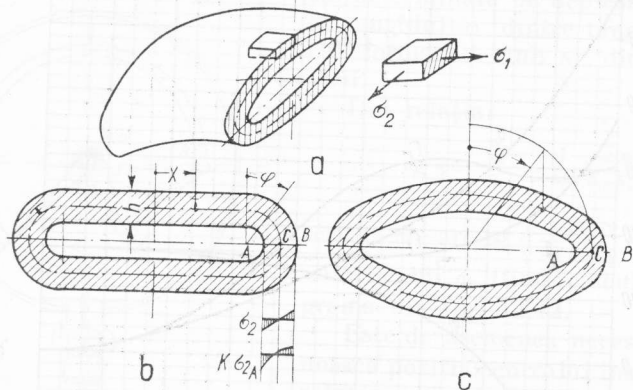


Fig. 12.15

În arcul tubular solicitat de presiunea interioară apare o stare de tensiune biaxială, ca în fig. 12.15, a, valorile eforturilor unitare fiind date de relațiile:

$$\left. \begin{aligned} \sigma_1 &= \frac{E}{1-\mu^2} (\varepsilon_1 + \mu \varepsilon_2), \\ \sigma_2 &= \frac{E}{1-\mu^2} (\varepsilon_2 + \mu \varepsilon_1). \end{aligned} \right\} \quad (12.37)$$

Folosind relațiile stabilite pentru ε_1 și ε_2 , relațiile (12.37) devin:

$$\left. \begin{aligned} \sigma_1 &= p \frac{\rho^2}{a^2} \left(1 - \frac{b^2}{a^2} \right) \frac{3}{\beta + \kappa^2} \left(\frac{2}{\kappa} \Phi \pm \mu \Omega \right), \\ \sigma_2 &= p \frac{\rho^2}{a^2} \left(1 - \frac{b^2}{a^2} \right) \frac{3}{\beta + \kappa^2} \left(\pm \Omega + \mu \frac{2}{\kappa} \Phi \right), \end{aligned} \right\} \quad (12.38)$$

unde: Ω și Φ sînt funcții dependente de poziția punctului pe contur determinat prin coordonatele x și φ (fig. 12.15, b și c). Semnul plus corespunde conturului exterior al secțiunii transversale, iar minus — conturului interior.

În diagramele din fig. 12.16, a, b și c se dau valorile funcțiilor Ω , Φ și ω pentru secțiunile eliptică și plan-ovală.

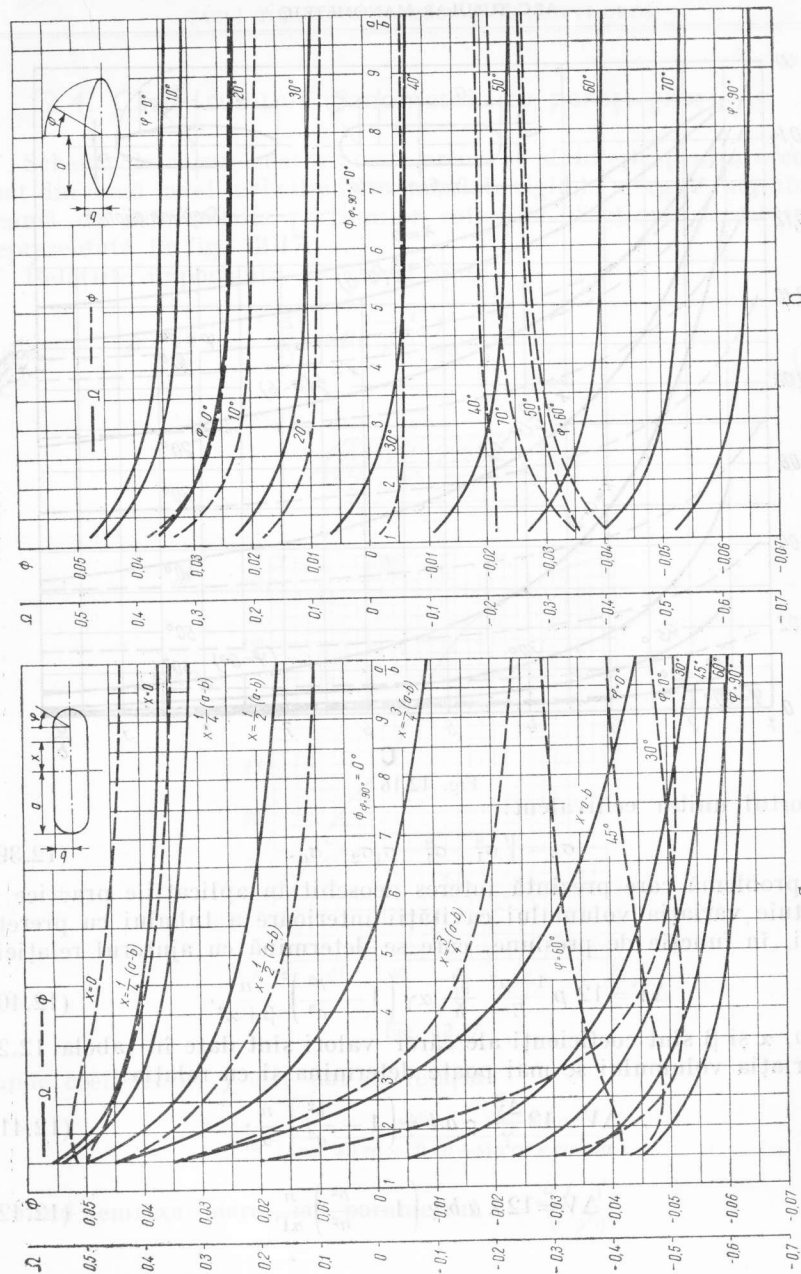


Fig. 12.16 a, b

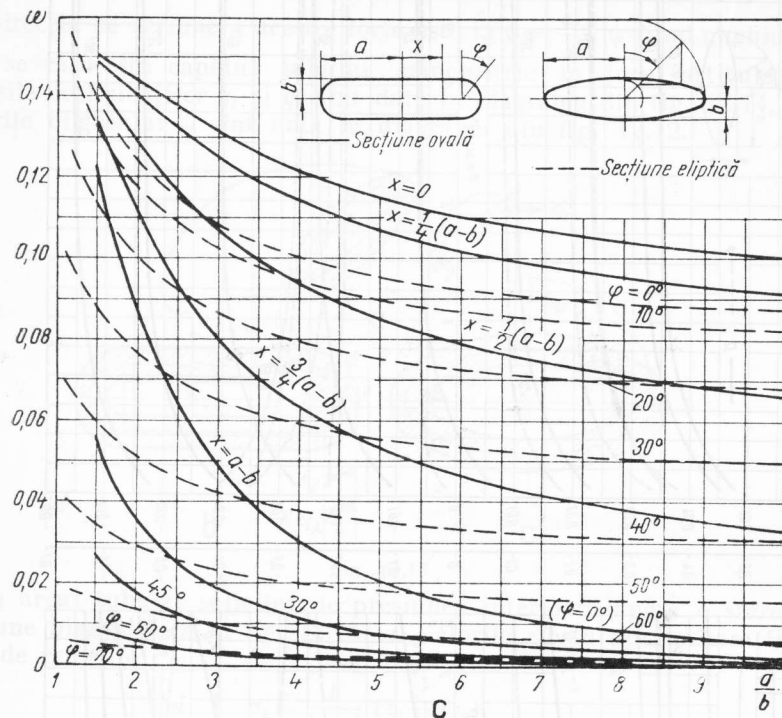


Fig. 12.16

Efortul unitar echivalent:

$$\sigma_e = \sqrt{\sigma_1^2 + \sigma_2^2 - \sigma_1 \sigma_2} \leq \sigma_a. \quad (12.39)$$

O problemă care prezintă interes deosebit în aplicațiile practice o constituie variația volumului cavității interioare a tubului cu pereți subțiri, în funcție de presiune, care se determină cu ajutorul relației:

$$\Delta V = 12 p \frac{1-\mu^2}{E} \frac{\rho^3}{h} \alpha \gamma \left(1 - \frac{b^2}{a^2}\right)^2 \frac{n}{\beta + \gamma^2}, \quad (12.40)$$

unde n , α și β sînt coeficienți ale căror valori sînt date în tabela 12.2.

Variația volumului se mai poate determina și cu relația:

$$\Delta V = 12 \frac{\Delta \gamma}{\gamma} \rho a b \gamma \left(1 - \frac{b^2}{a^2}\right) \frac{n}{\alpha}. \quad (12.41)$$

sau

$$\Delta V = 12 \lambda a b \gamma \left(1 - \frac{b^2}{a^2}\right) \frac{n}{\alpha \Gamma}. \quad (12.42)$$

12.4. Cazul tubului manometric cu pereți groși

Schema de calcul pentru aceste arcuri se stabilește pentru arcul format din două învelișuri cilindrice îmbinate rigid la margini, neținîndu-se seamă de deformările porțiunilor rotunjite. Secțiunea acestuia este reprezentată în fig. 12.17, a.

Relațiile importante de calcul sînt:

$$\frac{\Delta \gamma}{\gamma} = p \frac{1-\mu^2}{E} \frac{\rho^2}{bh} \frac{1-\chi}{\chi + \frac{h^2}{12b^2}}, \quad (12.43)$$

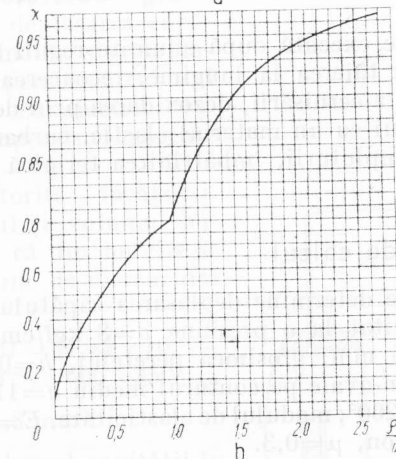
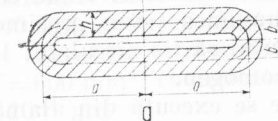


Fig. 12.17

unde coeficientul χ este dat de relația:

$$\chi = \frac{1}{ca} \frac{\text{sh}^2 ca - \sin^2 ca}{\text{sh} ca \times \text{ch} ca + \sin ca \times \cos ca}, \quad (12.44)$$

a fiind semi-axa mare, iar parametrul $c = \sqrt{\frac{4}{\rho^2 h^2}}$.

Valorile lui χ sînt date în diagrama din fig. 12.17, b.

Pentru deplasarea capătului arcului se pot folosi aceleași relații ca la tuburile cu pereți subțiri, rezultatele fiind destul de exacte.

Forțele din capătul arcului se calculează pe baza relațiilor:

$$\left. \begin{aligned} P_t &= 8 p a b (1 - \chi) \frac{\gamma - \sin \gamma}{3\gamma - 4 \sin \gamma + \sin \gamma \cos \gamma}, \\ P_r &= 8 p a b (1 - \chi) \frac{1 - \cos \gamma}{\gamma - \sin \gamma \cos \gamma}. \end{aligned} \right\} \quad (12.45)$$

12.5. Indicații tehnologice

Pentru a realiza un arc manometric de calitate superioară trebuie ca secțiunea pe toată lungimea țevii, grosimea peretilor și ecrisarea să fie uniforme, axa arcului să fie circulară, lungimea țevii să fie precisă, materialul să fie omogen.

Arcurile manometrice se execută din alamă, bronz fosforos sau din oțel inoxidabil.

Tubul Bourdon se execută după anumite reguli tehnologice. Operațiile principale sînt: tăierea la lungime, recoacerea pentru eliminarea tensiunilor interne și a ecrisării, dezoxidarea prin decapare după recoacere, umplerea tubului cu un material elastic, curbarea la profilul convenabil, scoaterea umpluturii, îmbătrînirea termică și verificarea elasticității arcului.

12.6. Exemple de calcul

Exemplul 1. Să se determine deplasarea capătului unui arc tubular de tip Bourdon solicitat la o presiune $p = 8 \text{ kgf/cm}^2$, cunoscînd: raza axei mediane, $R = 55 \text{ mm}$; grosimea peretelui, $h = 0,7 \text{ mm}$; semiaxele secțiunii centrale plan-ovale pe conturul mediu $a = 11 \text{ mm}$, $b = 3,4 \text{ mm}$; unghiul la centru, $\gamma = 260^\circ$; modulul de elasticitate, $E = 1,16 \times 10^6 \text{ kgf/cm}^2$; coeficientul lui Poisson, $\mu = 0,3$.

Rezolvare. Deplasarea capătului arcului:

$$\lambda = p \frac{1 - \mu^2}{E} \frac{R^3}{bh} \left(1 - \frac{b^2}{a^2} \right) \frac{\Gamma \alpha}{\beta^2 + \alpha^2}.$$

Coeficienții α , β , Γ se determină cu ajutorul diagramei din fig. 12.10 și fig. 12.12. În funcție de raportul $\frac{a}{b} = \frac{11}{3,4} = 3,24$ și de unghiul la centru, γ , se obține:

$$\alpha = 0,47; \quad \beta = 0,120; \quad \Gamma = 5,8.$$

Parametrul α se obține din relația:

$$\alpha = \frac{Rh}{a^2} = \frac{55 \times 0,7}{11^2} = 0,318.$$

Deplasarea capătului arcului:

$$\lambda = 8 \frac{1 - 0,3^2}{1,16 \times 10^6} \cdot \frac{55^3}{3,4 \times 0,7} \left(1 - \frac{11^2}{3,4^2} \right) \frac{5,8 \times 0,47}{0,120^2 + 0,318^2} \approx 3,81 \text{ mm}.$$

Exemplul 2. Un termometru manometric cu lichid este prevăzut cu un arc Bourdon și cu o termobutelie umplută cu mercur (fig. 12.18), dimensiunile arcului manometric tubular și ale termobutelei fiind: raza de curbura a axei arcului, $\rho = 22 \text{ mm}$; axa mare și axa mică ale secțiunii plan-ovale, $a = 5 \text{ mm}$; $b = 1 \text{ mm}$; unghiul la centru al arcului, $\gamma = 260^\circ$; modulul de elasticitate al materialului, $E = 2,1 \times 10^4 \text{ kgf/cm}^2$; limita de curgere, $\sigma_c = 100 \text{ kgf/mm}^2$; coeficientul de dilatare liniară al materialului din care este executată termobutelea, $\alpha_t = 11,7 \times 10^{-6} \text{ grd}^{-1}$; volumul termobutelei, $V = 600 \text{ mm}^3$; coeficientul de dilatare volumetrică a mercurului, $\beta_t = 1,81 \times 10^{-4} \text{ grd}^{-1}$.

Să se determine deplasarea capătului arcului manometric și să se stabilească grosimea peretelui tubului dacă termometrul manometric trebuie să măsoare temperaturi cuprinse între 0° și 350° .

Rezolvare. Datorită încălzirii, volumul mercurului și volumul buteliei cresc, astfel că din butelie se evacuează un volum de mercur dat de relația:

$$\Delta V = (\beta_t - 3\alpha_t)V \Delta t = (1,81 \times 10^{-4} - 3 \times 11,7 \times 10^{-6}) \times 600 \times 350$$

$$\Delta V = 31,8 \text{ mm}^3.$$

Rezultă că volumul cavității tubului Bourdon se va mări cu $\Delta V = 31,8 \text{ mm}^3$. Expresia variației cavității tubului Bourdon permite calculul deplasării capătului tubului λ .

Astfel se obține:

$$\lambda = \frac{\Delta V \alpha \Gamma}{12 a b \gamma \left(1 - \frac{b^2}{a^2} \right) n}$$

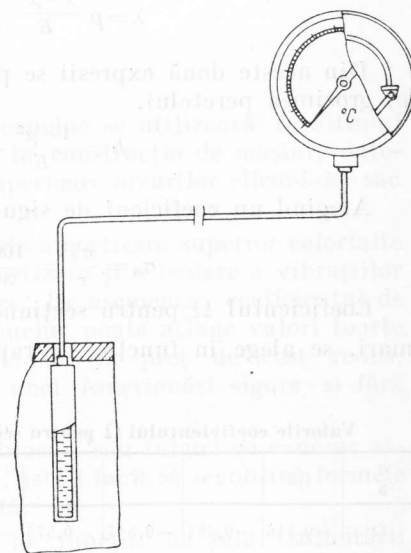


Fig. 12.18

Folosind tabela 12.2 se determină coeficienții α , n , în funcție de raportul $\frac{a}{b} = \frac{5}{1} = 5$, iar din diagrama din fig. 12.12 se obține Γ , în funcție de unghiul γ :

$$\alpha = 0,408; n = 0,132; \Gamma = 5,6.$$

Efectuind calculele, se obține:

$$\lambda = \frac{31,8 \times 0,408 \times 5,6}{12 \times 5 \times 1 \times \frac{2}{260} \times 240 \left(1 - \frac{1^2}{5^2}\right) \times 0,132} = 2,7 \text{ mm.}$$

Efortul unitar echivalent

$$\sigma_e = p \frac{\rho^2}{a^2} \left(1 - \frac{b^2}{a^2}\right) \frac{2,66}{\beta + \alpha^2} |\Omega|,$$

iar deplasarea capătului tubului:

$$\lambda = p \frac{1 - \mu^2}{E} \frac{\rho^3}{bh} \left(1 - \frac{b^2}{a^2}\right) \frac{\Gamma \alpha}{\beta + \alpha^2}.$$

Din aceste două expresii se poate obține, prin eliminarea presiunii p , grosimea peretelui.

$$h = \frac{1 - \mu^2}{E} \frac{\rho a^2}{b} \frac{\sigma_e}{\lambda} \frac{\Gamma \alpha}{2,66 |\Omega|}.$$

Alegînd un coeficient de siguranță $c = 3$, se obține:

$$\sigma_e = \frac{\sigma_c}{c} = \frac{100}{3} = 33,3 \text{ kgf/mm}^2.$$

Coeficientul Ω pentru secțiunea periculoasă, aflată la capetele axei mari, se alege în funcție de raportul $\frac{a}{b}$, din tabela 12.3.

Tabela 12.3
Valorile coeficientului Ω pentru secțiunea care se află la capetele axei mari

$\frac{a}{b}$	1,5	2	3	4	5	6	7	8	9	10
Ω	-0,446	-0,494	-0,547	-0,575	-0,593	-0,605	-0,613	-0,620	-0,625	-0,629

Rezultă $|\Omega| = 0,593$.

Efectuind calculele, se obține:

$$h = \frac{1 - 0,3^2}{2,1 \times 10^4} \frac{22 \times 5^2}{1} \frac{33,3}{2,7} \frac{5,6 \times 0,408}{2,66 \times 0,593} \approx 0,41 \text{ mm.}$$

Elemente elastice din cauciuc

13.1. Generalități

Elementele elastice sau arcurile de cauciuc se utilizează în ultimul timp pe scară din ce în ce mai mare în construcția de mașini, datorită unora dintre proprietățile lor, superioare arcurilor elicoidale sau în foi.

Astfel, cauciucul are un coeficient de amortizare superior celorlalte materiale elastice, putînd realiza o amortizare și o izolare a vibrațiilor cu mult mai bună decît arcurile metalice. De asemenea, coeficientul de utilizare volumetrică al arcurilor de cauciuc poate atinge valori foarte mari. Prezintă o construcție simplă la un preț de cost redus, aceste arcuri mai prezintă avantajul unei funcționări sigure și fără zgomot.

Arcurile de cauciuc se execută din blocuri sau tuburi de cauciuc armate cu plăci, tuburi sau inele metalice, astfel încît să se obțină formele corespunzătoare pentru utilizarea dorită.

Clasificarea arcurilor de cauciuc în funcție de felul solicitării și după forma constructivă, conform STAS 6916-64, este dată în tabela 13.1.

În cele ce urmează se descriu mai amănunțit principalele tipuri de arcuri de cauciuc și se dau unele elemente de calcul pentru cele mai utilizate dintre ele.

Tabela 13.1

Clasificarea arcurilor de cauciuc conform STAS 6916-64

Arcuri de cauciuc de compresiune	Arc placă de cauciuc Arc tubular radial de cauciuc
Arc de cauciuc de întindere	Cablu de cauciuc
Arcuri de cauciuc de forfecare	Arc-bloc de cauciuc Arc-punte de cauciuc Arc punte divizată de cauciuc Arc tubular axial de cauciuc
Arc de compresiune-forfecare	Arc cu manta tronconică
Arcuri de cauciuc de torsiune	Arc tubular de torsiune cu manșoane egale Arc tubular de torsiune de egală rezistență

13.2. Arcuri de cauciuc de compresiune

13.2.1. Forme constructive

Arcurile-placă de cauciuc se execută din blocuri de cauciuc de formă prismatică sau cilindrică, montate între două plăci metalice (fig. 13.1).

Forțele sînt aplicate perpendicular pe plăcile metalice. Avînd în vedere că volumul cauciucului este practic invariabil și că el se poate deforma mult, la montarea arcului trebuie să se prevadă spații necesare deformării laterale a cauciucului. Plăcile metalice, prevăzute cu posibilități de prindere prin nituri sau șuruburi, se îmbină cu blocul de cauciuc prin procedee speciale.

Arcul tubular radial de cauciuc se execută dintr-un tub de cauciuc montat în interiorul unei armături metalice cilindrice, iar în interiorul tubului de cauciuc se montează o bară metalică de formă cilindrică (fig. 13.2).

Cauciucul se deformează în sens axial, deformarea radială fiind împiedicată de existența armăturii metalice exterioare.

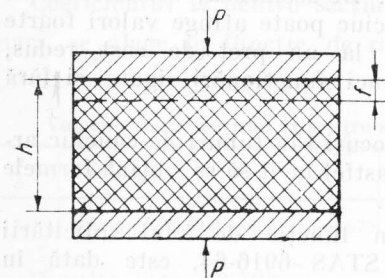


Fig. 13.1

Arcurile-placă se utilizează ca izolator de vibrații în construcția autovehiculelor, fundațiilor de mașini, mașinilor-unelte și aparatelor de precizie.

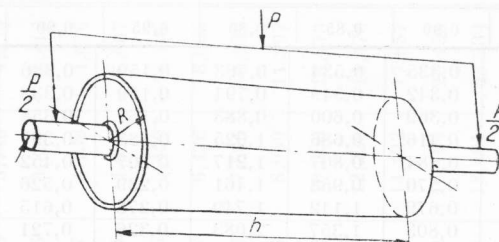


Fig. 13.2

Arcurile tubulare radiale au o utilizare mai restrinsă, fiind utilizate mai ales la suspensii simple, la care trebuie asigurată o deplasare axială a reazemului.

13.2.2. Considerații teoretice și de calcul

Cauciucul nu se supune legii lui Hooke și din această cauză, pentru calcul se vor introduce unele relații deduse pe baze experimentale, care ajută la efectuarea unui calcul asemănător cu cele obținute din „Rezistența materialelor”.

Rezistența admisibilă:

$$\sigma_H = G\sigma'(\varepsilon', \delta), \quad (13.1)$$

unde:

$$G = 0,33 \chi - 9,2, \quad (13.2)$$

χ fiind duritatea cauciucului folosit, măsurată în unități Shore, pentru temperaturi de lucru de 25–80°C.

Mărimea σ' , din relația (13.1), este dată în tabela 13.2 în funcție de ε' și δ .

$$\varepsilon' = 1 - \varepsilon,$$

unde: ε este deformația relativă;

δ — raportul dintre aria suprafeței încărcate a aerului și aria liberă a arcului $\delta = \frac{A_i}{A_l}$.

Valorile lui σ' în funcție de ε' și δ
 $G=1 \text{ kgf/cm}^2$

Tabela 13.2

$\delta \backslash \varepsilon'$	Prismă				Cilindru			
	0,95	0,90	0,85	0,80	0,95	0,90	0,85	0,80
0,5	0,159	0,335	0,534	0,763	0,159	0,336	0,535	0,763
0,75	0,160	0,342	0,549	0,794	0,159	0,338	0,543	0,792
1,00	0,171	0,369	0,600	0,883	0,167	0,358	0,584	0,852
1,25	0,191	0,416	0,686	1,025	0,183	0,397	0,656	0,970
1,50	0,219	0,484	0,807	1,217	0,207	0,452	0,758	1,131
1,75	0,258	0,570	0,958	1,461	0,239	0,526	0,889	1,337
2,00	0,303	0,679	1,142	1,749	0,278	0,615	1,047	1,582
2,25	0,358	0,803	1,357	2,083	0,326	0,721	1,232	1,868
2,50	0,420	0,944	1,597	2,457	0,381	0,841	1,441	2,190
2,75	0,493	1,104	1,868	2,875	0,441	0,980	1,679	2,553
3,00	0,572	1,280	2,116	3,336	0,510	1,130	1,938	2,945
3,25	0,662	1,478	2,492	3,832	0,586	1,300	2,225	3,380
3,50	0,756	1,687	2,843	4,371	0,672	1,478	2,531	3,844
3,75	0,861	1,915	3,220	4,977	0,761	1,675	2,863	4,345
4,00	0,970	2,157	3,622	5,559	0,860	1,884	3,217	4,876
4,25	1,092	2,416	4,051	6,210	0,963	2,112	3,596	5,443
4,50	1,218	2,698	4,500	6,896	1,073	2,344	3,991	6,033
4,75	1,356	2,985	4,979	7,618	1,190	2,598	4,412	6,667
5,00	1,494	3,286	5,477	7,378	1,318	2,860	4,855	7,322

Modulul de elasticitate longitudinal se poate determina de asemenea cu o relație experimentală

$$E = G \frac{d\sigma'(\varepsilon', \delta)}{d\varepsilon'} \quad (13.3)$$

Valorile mărimii $\frac{d\sigma'(\varepsilon', \delta)}{d\varepsilon'}$ pentru diferite valori ε' și δ sînt date în tabela 13.3.

Tabelele 13.2 și 13.3 sînt întocmite pentru sarcini aplicate static.

Pentru calculul dimensiunilor arcului-placă se folosesc relații asemănătoare cu cele ale calculului la compresiune din „Rezistența materialelor”:

$$A_{nec} = \frac{P}{\sigma} = \frac{P}{G\sigma'(\varepsilon', \delta)}, \quad (13.4)$$

unde: A_{nec} este aria secțiunii transversale a arcului (perpendiculară pe direcția de sollicitare).

Deformația arcului (săgeata statică):

$$f_{st} = \frac{Ph}{AE}, \quad (13.5)$$

Tabela 13.3

Valorile funcției $\frac{d\sigma'(\varepsilon', \delta)}{d\varepsilon'}$
 $G=1 \text{ kgf/cm}^2$

$\delta \backslash \varepsilon'$	Prismă				Cilindru			
	1,00	0,95	0,90	0,85	0,80	1,00	0,95	0,90
0,50	3,020	3,338	3,736	4,242	4,899	3,030	3,348	3,740
0,75	3,022	3,394	3,873	4,489	5,311	3,080	3,366	3,821
1,00	3,184	3,656	4,275	5,088	6,180	3,130	3,567	4,138
1,25	3,510	4,128	4,938	6,011	7,460	3,394	3,954	4,687
1,50	3,996	4,793	5,846	7,242	9,111	3,802	4,513	5,450
1,75	4,646	5,656	6,986	8,754	11,122	4,348	5,247	6,426
2,00	5,456	6,702	8,355	10,536	13,458	5,040	6,143	7,595
2,25	6,426	7,939	9,935	12,576	16,196	5,876	7,206	8,959
2,50	7,560	9,346	11,717	15,037	19,070	6,854	8,422	10,503
2,75	8,886	10,939	13,699	17,381	22,319	7,968	9,747	12,226
3,00	10,312	12,687	15,876	20,132	25,851	9,230	11,321	14,122
3,25	11,912	14,618	18,245	23,102	29,669	10,636	13,004	16,184
3,50	13,710	16,703	20,785	26,291	33,774	12,184	14,814	18,401
3,75	15,650	18,963	23,504	29,691	38,112	13,868	16,791	20,794
4,00	17,754	21,363	26,400	33,333	42,722	15,700	18,893	23,323
4,25	20,018	23,933	29,471	37,121	47,608	17,678	21,132	26,010
4,50	22,444	26,510	32,695	41,155	52,751	19,796	23,502	28,848
4,75	25,032	29,492	36,079	45,367	58,181	22,046	26,025	31,831
5,00	27,780	32,495	39,657	49,657	63,957	24,450	28,660	34,959

unde $A = A_{nec}$, din relația (13.4);

h este grosimea blocului de cauciuc.

Din relația (13.5) se deduce:

$$h = \frac{f_{st}}{P} AE. \quad (13.6)$$

Din relațiile (13.3), (13.4) și (13.6) se obține:

$$h = \frac{f_{st}}{P} \frac{P}{G\sigma'(\varepsilon', \delta)} \frac{Gd\sigma'(\varepsilon', \delta)}{d\varepsilon'}. \quad (13.7)$$

Notînd rigiditatea statică a arcului:

$$c_{st} = \frac{P}{f_{st}} = \frac{AE}{h}, \quad (13.8)$$

relația (13.7) devine:

$$h = \frac{1}{c_{st}} \frac{P}{\sigma'(\varepsilon', \delta)} \frac{d\sigma'(\varepsilon', \delta)}{d\varepsilon'}, \quad (13.9)$$

iar (13.5) poate fi pusă sub forma:

$$f_{st} = \frac{P}{c_{st}} = \frac{Ph}{EA} = \frac{\sigma h}{E}. \quad (13.10)$$

Pentru solicitarea dinamică se introduce un coeficient de solicitare dinamică $Q = 1 - 1,25$.

Rigiditatea, respectiv săgeata pentru sarcina aplicată dinamic sînt determinate cu relațiile:

$$c_d = Qc_{st} = \frac{QAE}{h}; \quad (13.11)$$

$$f_d = \frac{P}{c_d} = \frac{Ph}{QAE} = \frac{\sigma h}{QE}. \quad (13.12)$$

Lucrul mecanic de deformare:

$$L = \int P df = \frac{1}{2} P \frac{\sigma h}{EQ} = \frac{1}{2} \frac{\sigma}{E} \frac{V}{Q} = \eta \frac{\sigma^2 V}{E}, \quad (13.13)$$

unde η reprezintă coeficientul de utilizare volumetrică;

$$\eta = \frac{1}{2Q} = 0,4 \dots 0,5.$$

Pulsația proprie a arcului:

$$\omega = \frac{1}{2\pi} \sqrt{\frac{c_d}{m}} [s^{-1}], \quad (13.14)$$

unde m reprezintă masa care vibrează.

Pentru arcul tubular radial de cauciuc, calculul de dimensionare fiind mai dificil, se va folosi o relație care poate fi utilă atât la dimensionare, cît și la calculul forței capabile:

$$P = f \frac{h}{\ln \frac{R}{r}} \cdot 7,5 G \mu_1 \mu_2, \quad (13.15)$$

în care: P este sarcina care acționează radial;

h — lungimea cilindrului;

R — raza interioară a manșonului exterior;

r — raza exterioară a barei interioare;

f — deplasarea radială a manșonului exterior față de cel interior;

μ_1 — un coeficient care ține seamă de variația lui G funcție de dimensiunile și forma arcului;

μ_2 — un coeficient care ține seamă de variația lui G funcție de deformația f și de duritatea cauciucului, %.

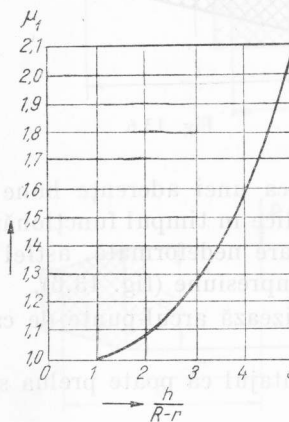


Fig. 13.3

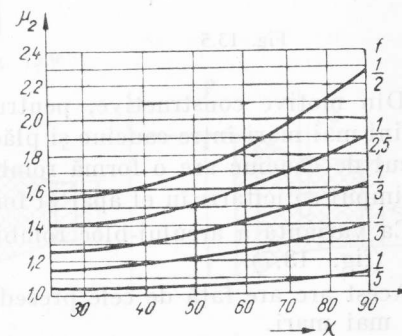


Fig. 13.4

G — se calculează cu relația (13.2). Valorile coeficienților μ_1 și μ_2 sînt date în diagramele din fig. 13.3 și 13.4

13.3. Arcuri de cauciuc de forfecare

13.3.1. Forme constructive

Arcul-bloc de cauciuc este format dintr-un bloc de cauciuc montat între două plăci metalice. Sarcina acționează paralel cu suprafața de aderență a armăturilor metalice, blocul fiind astfel sollicitat la forfecare (fig. 13.5). Acest arc se utilizează, în general, pentru sarcini mici.

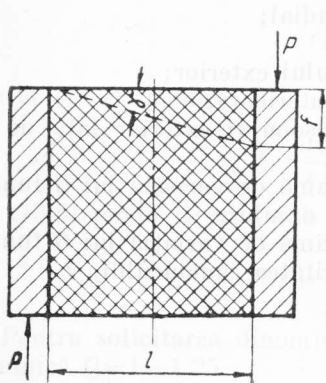


Fig. 13.5

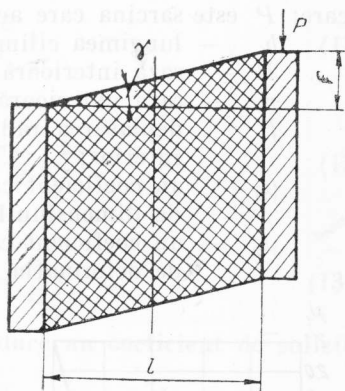


Fig. 13.6

Din motive constructive, pentru realizarea unei aderențe bune la sarcini mai mari între cauciuc și plăcile metalice în timpul funcționării, blocul de cauciuc are o formă rombică în stare nedeformată, astfel că în timpul sollicitării în el apar și forțe de compresiune (fig. 13.6).

Ca variantă a arcului-bloc rombic se utilizează arc-punte de cauciuc (fig. 13.7).

Acest arc are față de cele precedente avantajul că poate prelua sarcini mai mari.

În cazul când sînt necesare deformații mari ale arcului de forfecare se folosește varianta arc-punte divizată de cauciuc (fig. 13.8).

Dacă sarcinile care trebuie preluate au valori foarte mari, se utilizează arcul tubular axial de cauciuc (fig. 13.9).

Acest arc se poate construi și în variante arc tubular axial armat cu țevi metalice de lungimi diferite (fig. 13.10), care prezintă avantajul unei economii de material și a unei repartizări mai uniforme a sollicitării.

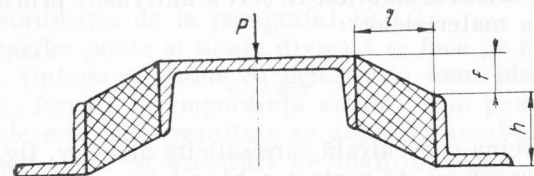


Fig. 13.7

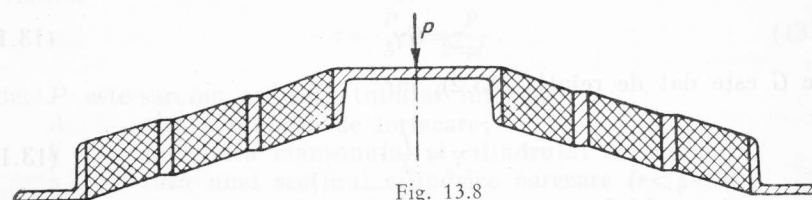


Fig. 13.8

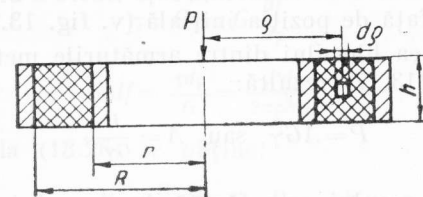


Fig. 13.9

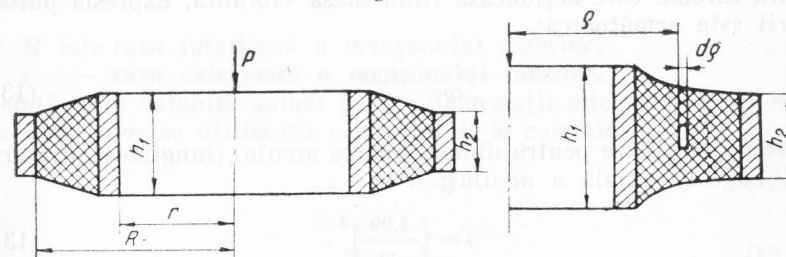


Fig. 13.10

Arcurile de forfecare se utilizează în general la izolarea vibrațiilor, mai ales pentru frecvență mică, putînd prelua sarcini destul de mari.

13.3.2. Considerații teoretice și de calcul

Relațiile de calcul se stabilesc ca și cele anterioare prin analogie cu cele din „Rezistența materialelor“:

$$\tau = \frac{P}{A}, \quad (13.16)$$

unde P este sarcina concentrată care soliciată arcul (v. fig. 13.5 și 13.6).

A — aria suprafeței de contact a blocului cu o armătură.

Valoarea lui τ se poate determina cu aproximație cu relația:

$$\tau = G\gamma, \quad (13.17)$$

unde G este dat de relația (13.2), iar

$$\gamma = \frac{f}{l}, \quad (13.18)$$

unde: γ este unghiul cu care se înclină fața liberă a blocului după deformare față de poziția inițială (v. fig. 13.5 și 13.6);

l — grosimea blocului dintre armăturile metalice.

Din (13.16) și (13.17) rezultă:

$$P = AG\gamma \text{ sau } A = \frac{P}{G\gamma}. \quad (13.19)$$

Dacă utilizarea arcului este făcută în scopul izolării vibrațiilor, singura sarcină care acționează fiind masa vibrantă, expresia pulsației proprii este următoarea:

$$\omega = \frac{4,99}{\sqrt{f}}, \quad (13.20)$$

care se poate utiliza pentru dimensionarea arcului (lungimea între armături). Săgeata axială a arcului:

$$f = \left(\frac{4,99}{\omega} \right)^2. \quad (13.21)$$

Lungimea în stare statică:

$$l_{st} = \frac{f}{\gamma} = \frac{1}{\gamma} \left(\frac{4,99}{\omega} \right)^2, \quad (13.22)$$

iar în stare dinamică:

$$l_d = \frac{1}{\gamma} \left(\frac{4,99}{\omega} \right)^2 Q, \quad (13.23)$$

unde Q are semnificația de la paragraful 13.2.2.

Calculul arcurilor-punte și punte divizată se face pe baza calculului arcului simplu, ținându-se seama ca deformăția unui bloc să nu depășească 40–60%, funcție de importanța arcului. Din punctul de vedere al utilizării, cele mai bune rezultate se obțin cu arcul-punte divizată.

Arcul tubular axial cu armături de înălțimi egale (fig. 13.9), se calculează în mod asemănător cu cele anterioare.

Astfel:

$$\tau = \frac{P}{A} = \frac{P}{2\pi\rho h}, \quad (13.24)$$

unde: P este sarcina aplicată tubului interior;

A — aria suprafeței de forfecare;

h — înălțimea manșonului și cilindrului de cauciuc;

ρ — raza unei secțiuni cilindrice oarecare ($r < \rho < R$);

$$\tau = G\gamma = G \frac{df}{d\rho}; \quad (13.25)$$

$$df = \frac{\tau d\rho}{G} = \frac{P d\rho}{2\pi\rho h G}. \quad (13.26)$$

Integrând relația (13.26) se obține:

$$f = \frac{P}{2\pi h G} \int_r^R \frac{d\rho}{\rho} = \frac{P}{2\pi h G} \ln \frac{R}{r}, \quad (13.27)$$

unde: R este raza interioară a manșonului exterior;

r — raza exterioară a manșonului interior.

Relația este valabilă numai pentru deformații mici. La valori mari ale deformațiilor se utilizează coeficientul de corecție z ,

$$z = 1 - 0,3\sqrt{\gamma}, \quad (13.28)$$

unde:

$$\gamma = \frac{f}{R-r} \quad (13.29)$$

Săgeata în acest caz se determină cu relația:

$$f = \frac{P}{2\pi h G z} \ln \frac{R}{r} = (R-r)\gamma. \quad (13.30)$$

Rigiditatea arcului pentru sarcina aplicată static se determină cu relația corectată:

$$c_{st} = \frac{2\pi hG(1-0,45\sqrt{\gamma})}{\ln \frac{R}{r}}, \quad (13.31)$$

și pentru sarcina aplicată dinamic:

$$c_d = Qc_{st} = \frac{2\pi HGQ(1-0,35\sqrt{\gamma})}{\ln \frac{R}{r}}, \quad (13.32)$$

unde $z_1 = 1 - 0,45\sqrt{\gamma}$ este un coeficient de corecție, iar Q are semnificația de la paragraful 13.2.2.

Din relațiile (13.30) și (13.32) se obține relația pentru dimensionarea arcului tubular axial:

$$R-r = \frac{P}{c_d} \frac{Q}{\gamma} \frac{1-0,45\sqrt{\gamma}}{1-0,3\sqrt{\gamma}}. \quad (13.33)$$

Arcul tubular axial se poate executa și în varianta cu manșoane de lungimi inegale (fig. 13.10).

În acest caz se poate alege pentru grosimea tubului de cauciuc o variație liniară cu raza.

Înălțimea tubului de cauciuc la o rază oarecare, ρ , este dată de relația:

$$h = h_2 + \frac{h_1 - h_2}{R - r} (R - \rho), \quad (13.34)$$

în care: R este raza interioară a manșonului exterior;

r — raza exterioară a manșonului interior;

h_1 — înălțimea manșonului interior;

h_2 — înălțimea manșonului exterior.

Săgeata

$$f = \int_r^R \frac{P}{2\pi G} \frac{1}{\rho \left[h_2 + \frac{h_1 - h_2}{R - r} (R - \rho) \right]} d\rho \quad (13.35)$$

sau efectuând calculele

$$f = \frac{P}{2\pi G} \frac{R-r}{h_1 R - h_2 r} \ln \frac{Rh_1}{rh_2}. \quad (13.36)$$

Pentru deformații mari, relația (13.36) se corectează cu ajutorul factorului z , dat de relația (13.28):

$$f = \frac{P}{2\pi G} \frac{R-r}{h_1 R - h_2 r} \frac{1}{(1-0,3\sqrt{\gamma})} \ln \frac{Rh_1}{rh_2}. \quad (13.37)$$

O variantă a arcului cu manșoane inegale este arcul la care tubul de cauciuc se construiește ca un solid de egală rezistență, deci cu $\tau = \text{const.}$

Din relația (13.24) rezultă:

$$h = \frac{P}{2\pi \rho \tau}. \quad (13.38)$$

Dacă τ este constant, variația lui h se face după o hiperbolă echi-lateră.

Relațiile principalelor caracteristici ale arcului sînt date în cele ce urmează:

Săgeata

$$f = \int_r^R \frac{\tau}{G} d\rho = \frac{\tau}{G} (R-r). \quad (13.39)$$

Avînd în vedere relația (13.38)

$$R = \frac{P}{2\pi h_2 \tau} \text{ și } r = \frac{P}{2\pi h_1 \tau}. \quad (13.40)$$

Deci relația (13.39) devine:

$$f = \frac{P}{2\pi G} \left(\frac{1}{h_2} - \frac{1}{h_1} \right). \quad (13.41)$$

Introducînd factorul de corecție z ,

$$f = \frac{1}{1-0,3\sqrt{\gamma}} \cdot \frac{P}{2\pi G} \left[\frac{1}{h_2} - \frac{1}{h_1} \right] = \frac{1}{1-0,3\sqrt{\gamma}} \cdot \frac{\tau}{G} (R-r). \quad (13.42)$$

Rigiditățile statică și dinamică au valorile corectate cu z_1 :

$$c_{st} = \frac{AG}{R-r} (1-0,45\sqrt{\gamma}); \quad (13.43)$$

$$c_d = \frac{QAG}{R-r} (1-0,45\sqrt{\gamma}).$$

Din relațiile (13.42) și (13.43) se obține o relație utilă pentru dimensionare:

$$R-r = \frac{PQ}{\gamma c_d} \frac{1-0,45\sqrt{\gamma}}{1-0,3\sqrt{\gamma}}. \quad (13.44)$$

13.4. Arc tubular de torsiune

13.4.1. Forme constructive

Standardul prevede două forme constructive pentru aceste tipuri de arcuri de cauciuc: arc tubular de torsiune cu manșoane egale (fig. 13.11) și arc tubular de torsiune de egală rezistență (manșoane neegale) (fig. 13.12)

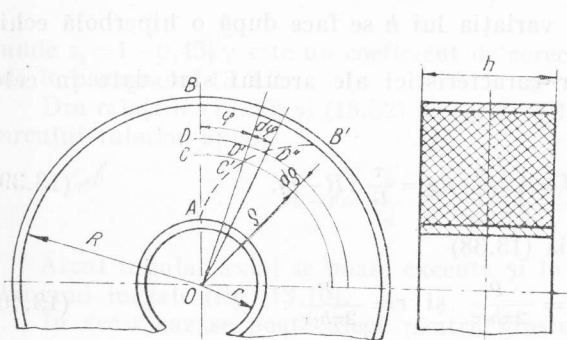


Fig. 13.11

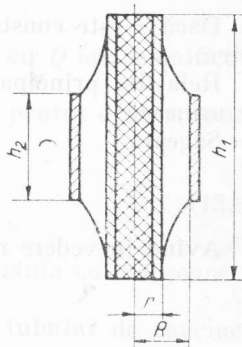


Fig. 13.12

Ele se compun din două manșoane metalice coaxiale, între care se montează un tub cu pereți groși din cauciuc. Aceste arcuri se utilizează la realizarea suspensiei la automobile, avioane etc. Ele pot înlocui bare de torsiune în cazurile când se cere o amortizare superioară.

13.4.2. Considerații teoretice și de calcul

Sub acțiunea momentului de răsucire M_t , raza AB (fig. 13.11) devine curba AB' . Deformația unghiulară la raza ρ este φ (arcul CC'), iar la raza $\rho = d\rho$ deformația devine $\varphi + d\varphi$ (arcul DD'). Unghiul $D'C'D'' = \gamma$ și apare datorită forfecării. Pentru unghiul γ mic

$$\operatorname{tg} \gamma \approx \gamma = \frac{D'D''}{C'D'} = \frac{(\varphi + d\varphi)d\rho}{d\rho} = \frac{\rho d\varphi}{d\rho} \quad (13.45)$$

Efortul de forfecare produs de M_t pe suprafața cilindrică de rază ρ are valoarea:

$$\tau = \frac{T}{A} = \frac{M'}{2\pi\rho^2h}, \quad (13.46)$$

unde: T este forța de forfecare în secțiunea cilindrică de rază ρ ;

A — aria secțiunii solicitate la forfecare;

h — lungimea tubului de cauciuc.

$$\gamma = \frac{\tau}{G} = \frac{\rho d\varphi}{d\rho}, \quad (13.47)$$

de unde:

$$d\varphi = \frac{\tau}{G} \frac{d\rho}{\rho} = \frac{M_t d\rho}{2\pi\rho^3hG}, \quad (13.48)$$

Integrând se obține:

$$\varphi = \frac{M_t}{2\pi hG} \left(\frac{1}{r^2} - \frac{1}{R^2} \right) [\text{rad}] \quad (13.49)$$

sau

$$\varphi = 57,3 \frac{M_t}{2\pi hG} \left(\frac{1}{r^2} - \frac{1}{R^2} \right) [\text{grad}],$$

unde: R este raza interioară a manșonului exterior;

r — raza exterioară a manșonului interior.

În cazul deformațiilor mari, în relația (13.45) $\operatorname{tg} \gamma \neq \gamma$ și din relațiile 13.47) și (13.48) se obține:

$$\rho \frac{d\varphi}{d\rho} = \operatorname{tg} \left(\frac{M_t}{2\pi\rho^2hG} \right) \quad (13.50)$$

sau

$$d\varphi = \frac{1}{\rho} \operatorname{tg} \left(\frac{M_t}{2\pi\rho^2hG} \right) d\rho. \quad (13.51)$$

Integrând se obține:

$$\int_0^\varphi d\varphi = \varphi = \int_r^R \frac{1}{\rho} \operatorname{tg} \left(\frac{M_t}{2\pi\rho^2hG} \right) d\rho. \quad (13.52)$$

După efectuarea calculelor se obține:

$$\varphi = \frac{M_t}{4\pi hG} \left[\left(\frac{1}{r^2} - \frac{1}{R^2} \right) + \frac{1}{9} \left(\frac{M_t}{2\pi hG} \right)^2 \left(\frac{1}{r^6} - \frac{1}{R^6} \right) + \dots \right]. \quad (13.53)$$

Pentru calculul practic s-au reținut numai cei doi termeni ai dezvoltării în serie.

Pentru ca relația să fie valabilă trebuie îndeplinită condiția:

$$\gamma = \frac{M_t}{2\pi\rho^3hG} \leq \frac{\pi}{2}. \quad (13.54)$$

În cazul arcului tubular de torsiune de egală rezistență manșoanele metalice au lungimi diferite (fig. 13.12).

În tot materialul trebuie să existe același efort de forfecare

$$\tau = \frac{M_t}{2\pi\rho^2h} = \text{const} \quad (13.55)$$

sau

$$\rho^2h = \frac{M_t}{2\pi\tau} = \text{const}. \quad (13.56)$$

Pentru valorile extreme ale lui ρ ,

$$\tau = \frac{M_t}{2\pi r^2h_1} = \frac{M_t}{2\pi R^2h_2}, \quad (13.57)$$

de unde rezultă:

$$\frac{R^2}{r^2} = \frac{h_1}{h_2}. \quad (13.58)$$

Din relația 13.47, valabilă pentru deformații mici, se obține:

$$\varphi = \frac{\tau}{G} \ln \frac{R}{r} [\text{rad}], \quad (13.59)$$

sau

$$\varphi = 57,3 \ln \frac{R}{r} \text{tg} \left(\frac{M_t}{2R^2h_2G} \right) [\text{grad}]. \quad (13.60)$$

13.5. Nomograme de calcul

În cele ce urmează se dă o nomogramă care se utilizează la calculul rapid al săgeții arcurilor-placă de cauciuc pentru compresiune. Nomograma din fig. 13.13 este întocmită după modelul folosit de U. S. Rubber Company.

Nomograma cuprinde:

— o scară curbilinie pe care sînt trasate valorile raportului P/A dintre forța care comprimă arcul și suprafața pe care se repartizează sarcina;

- o scară rectilinie pentru modulul de elasticitate E ;
- o scară rectilinie pentru raportul de formă geometric $\frac{D}{h}$;
- o scară de bază, x , de legătură;
- o scară curbilinie pentru săgeți.

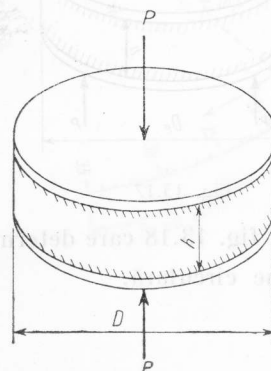


Fig. 13.14

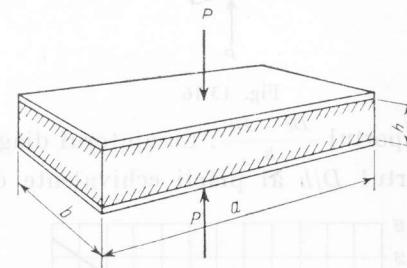


Fig. 13.15

Nomograma este trasată pentru o placă de formă cilindrică (fig. 13.14) cu diametrul D și înălțimea h . Pentru plăci de formă dreptunghiulară (fig. 13.15) se folosesc două scări auxiliare pentru determinarea valorii D/h pe scara raportului de formă geometrică:

- scara rectilinie a/b , raportul dintre lungimea și lățimea plăcii;
- scara raportului b/h , dintre lățimea și grosimea plăcii.

Ca exemplu de utilizare se poate da cel al unei plăci dreptunghiulare, deoarece apare în plus operația de determinare a raportului D/h . Se unesc printr-o dreaptă valorile a/b și b/h , iar la intersecția ei cu scara lui D/h se obține valoarea căutată. Unind punctul corespunzător valorii D/h cu punctul corespunzător lui E pe scara modulului de elasticitate, se obține pe scara x punctul de legătură care, unit cu valoarea P/A , dă prin prelungirea acestei drepte valoarea lui f , pe scara săgeților.

Pentru plăci de alte forme se va face asimilarea cu placa de formă cilindrică cu secțiune circulară.

Pentru placa de cauciuc de secțiune triunghiulară (fig. 13.16), asimilarea se face determinând diametrul cercului înscris în triunghi. Pentru o placă de formă inelară (fig. 13.17), asimilarea se face funcție

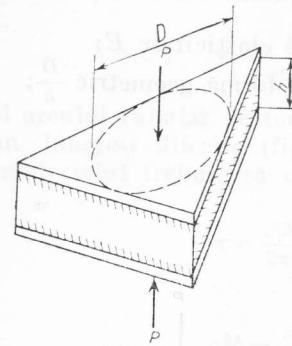


Fig. 13.16

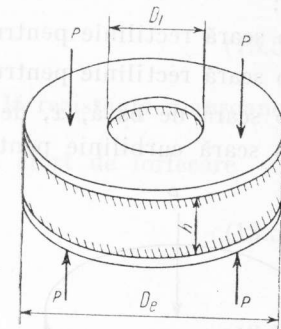


Fig. 13.17

de raportul $\frac{De - Di}{h}$. Cu ajutorul diagramei din fig. 13.18 care determină raportul D/h al plăcii echivalente de secțiune circulară.

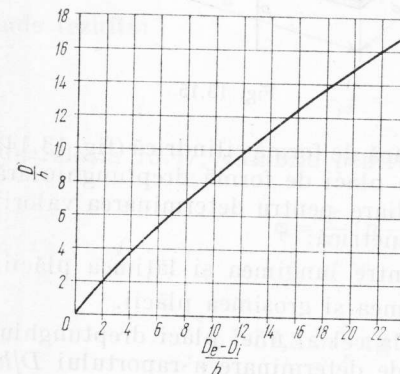


Fig. 13.18

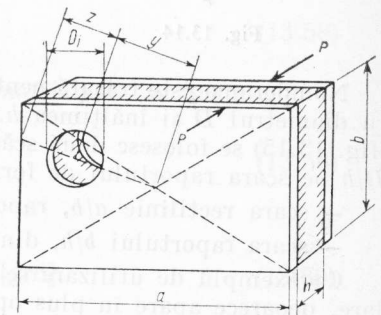


Fig. 13.19

Deoarece în practică se utilizează de multe ori plăci dreptunghiulare prevăzute cu un orificiu pentru bulonul de prindere (fig. 13.19)*, pentru

* În fig. 13.19 s-a notat cu:

D_i este diametrul orificiului;

z, y — distanțele centrului orificiului la marginea plăcii și la centrul plăcii, măsurate pe dreapta care unește centrul orificiului cu centrul plăcii.

calcul se determină, cu ajutorul diagramei, diametrul echivalent D' , pentru placa fără orificiu și apoi, cu ajutorul relației (13.61), se calculează diametrul echivalent pentru placa cu orificiu:

$$D = D' - \frac{b}{a} \left(\frac{z}{z+y} \right) D_i. \quad (13.61)$$

13.6. Indicații tehnologice

La proiectarea arcurilor de cauciuc trebuie respectate o serie de prescripții care influențează funcționarea și îndeosebi durata de funcționare a arcului. Pentru evitarea degradării acestor arcuri se recomandă rotunjirea tuturor colțurilor și muchiilor ascuțite, care constituie amorse pentru viitoare defecte (fig. 13.20).

Aderența între metal și cauciuc este un alt factor determinant pentru o bună funcționare. Rezistența legăturii dintre cauciuc și placă trebuie să se apropie de rezistența cauciucului. Pentru aceasta, plăcile metalice trebuie alămite pe cale electrolitică sau acoperite în prealabil cu plăci de cauciuc dur.

Cauciucul trebuie să aibă o compoziție adecvată scopului. De reținut că o bună aderență o are cauciucul sintetic.

La montarea arcului de cauciuc se va ține seamă ca blocurile de cauciuc să li se permită deformarea liberă; piesele metalice ale arcului în contact cu mașina să nu aibă contact cu fundația (fig. 13.21)

Piesele metalice în contact cu cauciucul nu trebuie să prezinte muchii ascuțite, care îl degradează (fig. 13.22).

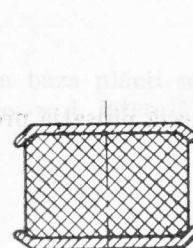


Fig. 13.20

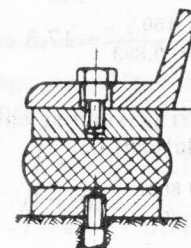


Fig. 13.21

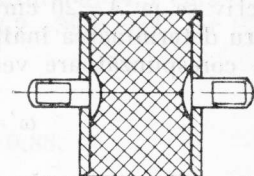


Fig. 13.22

Pentru valorile rezistențelor realizabile pentru aderență, prin folosirea diferitelor procedee de acoperire prealabilă a plăcilor, în tabela 13.4 sînt date valori orientative.

Tabela 13.4
Valorile rezistenței de aderență pentru diferite procedee de acoperire prealabilă a plăcilor

Procedeul	Rezistența, kgf/cm ²	Procedeul	Rezistența, kgf/cm ²
Acoperire cu cauciuc dur	50—60	Hidroclorură de cauciuc	60—70
Alămire	50—70	Novolac-rezarcin	35—45
Latex-albumin	30—40		
Clor-cauciuc	50—60	Desmodur—R	50—60

13.7. Exemple de calcul

Exemplul 1. Să se dimensioneze un arc-placă de cauciuc de compresiune pentru susținerea unui ventilator cu greutatea de 150 kgf, care lucrează cu turația de 1 800 rot/min. Se va ține seamă că arcul să izoleze vibrațiile.

Aria necesară se calculează cu relația (13.4). Alegînd un cauciuc cu duritatea $\lambda=60$ unități Shore, cu relația (13.2) se calculează:

$$G=0,33 \cdot 60 - 9,2 = 9,8 \text{ kgf/cm}^2.$$

Se admit pentru δ și ε' valori preliminare, care sînt apoi verificate, refăcînd calculul prin încercări. Se consideră $\delta=1$ și $\varepsilon'=0,8$.

În funcție de aceste valori, din tabela (13.2) rezultă $\sigma'=0,883$. Aplicînd relația (13.4) se obține:

$$A_{nec} = \frac{150}{9,8 \cdot 0,883} = 17,3 \text{ cm}^2.$$

Constructiv se ia $A=20 \text{ cm}^2$.

Pentru determinarea înălțimii prisme se calculează pulsația proprie. Pulsația corespunzătoare ventilatorului:

$$\omega' = \frac{1800}{60} = 30 \text{ s}^{-1}.$$

Pentru evitarea sigură a rezonanței, pentru arcurile de cauciuc se recomandă:

$$\omega' = 3\omega,$$

de unde:

$$\omega = \frac{\omega'}{3} = \frac{30}{3} = 10 \text{ s}^{-1}.$$

Din relația (13.21) se obține:

$$f = \left(\frac{4,99}{\omega} \right)^2 = \left(\frac{4,99}{10} \right)^2 = 0,25 \text{ cm},$$

de unde coeficientul de rigiditate:

$$c = \frac{P}{f} = \frac{150}{0,25} = 600 \text{ kgf/cm}.$$

Înălțimea arcului:

$$l_{st} = \frac{AE}{c} = \frac{A}{c} \frac{d\sigma'(\varepsilon', \delta)}{d\varepsilon'} = \frac{P}{G\sigma'(\varepsilon', \delta)} \cdot \frac{1}{c} G \frac{d\sigma'(\varepsilon', \delta)}{d\varepsilon'},$$

unde s-a introdus valoarea lui A dată de relația (13.4). Din tabela (13.3) rezultă $\frac{d\sigma'(\varepsilon', \delta)}{d\varepsilon'} = 6,180$.

Deci:

$$l_{st} = \frac{150 \times 6,180}{0,883 \times 600} = 1,75 \text{ cm}.$$

Deoarece sarcina se aplică dinamic

$$l_d = Q l_{st} = 1,25 \times 1,75 = 2,18 \text{ cm}.$$

Se ia $l_d = 2,2 \text{ cm}$.

Se verifică valorile lui δ și ε' :

$$\delta = \frac{A_{\text{încărcat}}}{A_{\text{liber}}} = \frac{40}{39,6} = 1,01.$$

$$A_{\text{încărcat}} = 2A_{nec} = 40 \text{ cm}^2.$$

Pentru baza plăcii se alege un pătrat cu latura $a=4,5 \text{ cm}$.

$$A_{\text{liber}} = A_{\text{laterală a prisme}} = 4 \times 4,5 \times 2,2 = 39,6 \text{ cm}^2, \text{ iar}$$

$$\varepsilon = \frac{f}{h} = 0,114;$$

$$\varepsilon = 1 - \varepsilon = 1 - 0,114 = 0,88,$$

valori apropiate de cele presupuse inițial.

Exemplul 2. Un arc-placă de cauciuc de compresiune are baza un pătrat cu latura $a=16 \text{ cm}$, iar înălțimea $h=4 \text{ cm}$, duritatea cauciucului $\lambda=50$ unități Shore.

Se cere sarcina maximă admisă și pulsația proprie pentru o deformație procentuală de 20%.

Aria suprafeței solicitată la compresiune:

$$A = a^2 = 16^2 = 256 \text{ cm}^2.$$

Forța capabilă:

$$P = AG\sigma'(\epsilon', \delta),$$

unde

$$G = 0,33 \times 50 - 9,2 = 7,3 \text{ kgf/cm}^2;$$

$$\epsilon' = 1 - \epsilon = 0,80;$$

$$\delta = \frac{A_{\text{încărcat}}}{A_{\text{liber}}} = \frac{2A}{A_{\text{laterală}}} = \frac{2 \times 256}{4 \times 16 \cdot 4} = 2.$$

Din tabela (13.2) pentru valorile ϵ' și δ se obține:

$$\sigma'(\epsilon', \delta) = 1,749.$$

Forța capabilă:

$$P = 256 \times 7,3 \times 1,749 = 3\,260 \text{ kgf}.$$

Rigiditatea arcului este dată de relația (13.11):

$$c_d = Q \frac{AE}{h} = \frac{QA}{h} = G \frac{d\sigma'(\epsilon', \delta)}{d\epsilon'}.$$

Din tabela 13.3, corespunzător lui δ și ϵ' calculați, se găsește:

$$\frac{d\sigma'(\epsilon', \delta)}{d\epsilon'} = 13,458.$$

Astfel

$$c_d = \frac{1,25 \times 256}{4} \times 7,3 \times 13,458 = 7920 \text{ kgf/cm}.$$

De unde pulsația proprie, conform relației (13.14), are valoarea:

$$\omega = \frac{1}{2\pi} \sqrt{\frac{cd}{m}} = \frac{1}{2\pi} \sqrt{\frac{7\,920 \times 981}{3\,260}} = 7,8 \text{ s}^{-1}.$$

Pentru siguranța izolării contra vibrațiilor, pulsația motorului se alege

$$\omega' = 3 \omega.$$

Deci turația lui va fi:

$$n = 3 \times 7,8 \times 60 = 1\,400 \text{ rot/min}.$$

Exemplul 3. Se cer dimensiunile unui arc supus la forfecare de o forță de 200 kgf, la o pulsație proprie de 8 s^{-1} și o deformare relativă $\gamma = 0,3$. Cauciucul ales are duritate $X = 60$ unități Shore.

Aria arcului este dată de relația (13.19):

$$A = \frac{P}{G} \frac{1}{\gamma},$$

unde:

$$G = 0,33X - 9,2 = 0,33 \times 60 - 9,2 = 9,8 \text{ kgf/cm}^2.$$

Înlocuind în relația ariei, se obține:

$$A = \frac{200}{9,8 \cdot 0,3} = 68 \text{ cm}^2.$$

Pentru săgeata se aplică relația (13.21):

$$f = \left(\frac{4,99}{\omega} \right)^2 = \left(\frac{4,99}{8} \right)^2 = 0,39 \text{ cm}.$$

Grosimea blocului:

$$l_d = \frac{f}{\gamma} Q = \frac{0,39}{0,3} 1,25 = 1,62 \text{ cm}.$$

Se alege constructiv $l_d = 1,7 \text{ cm}$.

Se verifică aderența:

$$\sigma_{\text{aderență}} = \frac{P}{A} = \frac{200}{68} = 2,95 \text{ kgf/cm}^2,$$

care este o valoare admisibilă.

Exemplul 4. Pentru arcul-punte din fig. 13.23. se cere să se stabilească sarcina admisibilă și pulsația proprie. Cauciucul folosit are duritatea 60 unități Shore, iar deformarea admisă are valoarea maximă 30%.

Aria secțiunii de forfecare se calculează cu ajutorul figurii:

$$A = 2 \times 4 \times 10 = 80 \text{ cm}^2.$$

Pentru duritatea aleasă, $G = 9,8 \text{ kgf/cm}^2$.
Deci sarcina capabilă:

$$P = AG = 80 \times 9,8 \times 0,3 = 235 \text{ kgf}.$$

Pulsația proprie:

$$\omega = 4,99 \sqrt{\frac{Q}{\epsilon \cdot 1}} = 4,99 \sqrt{\frac{1,25}{0,3 \cdot 2,5}} = 6,3 \text{ s}^{-1}.$$

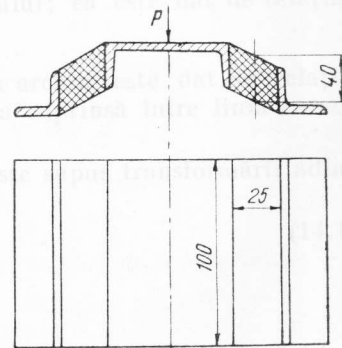


Fig. 13.23

Exemplul 5. Un arc tubular de cauciuc suportă o sarcină axială de 400 kgf la o frecvență proprie $\omega=10 \text{ s}^{-1}$, avînd o constantă dinamică $c_d=520 \text{ kgf/cm}$. Se cere dimensionarea arcului, dacă deformăția admisă este de 0,4. Cauciucul ales are duritatea 55 unități Shore.

Pentru calculul dimensiunilor R , r și h se aplică relațiile (13.32) și (13.33), unde $G=0,33 \times 55 - 9,2 = 9 \text{ kgf/cm}^2$;

$$R-r = \frac{400}{520} \cdot \frac{1,25}{0,4} \cdot \frac{1-0,45\sqrt{0,4}}{1-0,3\sqrt{0,4}};$$

$$\frac{h}{\ln \frac{R}{r}} = \frac{520}{1,25 \times 2 \times \pi \times 9 (1-0,45\sqrt{0,4})}.$$

Efectuînd calculele se obține:

$$R-r=2,19;$$

$$\frac{h}{\ln \frac{R}{r}} = 9,9.$$

Se alege constructiv $r=4 \text{ cm}$, deci $R=6,2 \text{ cm}$.

$$h=9,9 \ln \frac{R}{r} = 9,9 \times 2,3026 \times \lg 1,55 = 4,33 \text{ cm}.$$

Valoarea constructivă $h=4,5$.

În concluzie, dimensiunile arcului tubular sînt: $R=6,2$, $r=4 \text{ cm}$, $h=4,5 \text{ cm}$.



Arcuri pneumatice

Arcurile pneumatice s-au impus în ultima vreme mai ales în construcția autobuzelor moderne și a materialului rulant, la realizarea suspensiilor pneumatice și mecano-pneumatice, în special datorită posibilității de a realiza o rigiditate variabilă.

La arcurile pneumatice, elementul elastic este format din aer sau dintr-un alt gaz comprimat.

În cazul unui arc pneumatic, caracteristica arcului se exprimă tot ca o relație între încărcare (sarcină) și săgeata: $P=\varphi(f)$.

Rigiditatea constituie o caracteristică foarte importantă pentru alegerea și funcționarea corespunzătoare a arcului; ea este dat de relația:

$$c = \frac{dP}{df}$$

Lucrul mecanic produs prin deformarea arcului este dat de relația $L=\int P \cdot df$ și este reprezentat prin suprafața cuprinsă între linia caracteristică a arcului și axa absciselor.

La arcurile pneumatice gazul utilizat este supus transformării adiabate după legea:

$$pV^k = \text{const}, \quad (14.1)$$

unde: p este presiunea;

V — volumul gazului utilizat;

$$k = \frac{c_p}{c_v} = \frac{\text{căldura specifică la presiune constantă}}{\text{căldura specifică la volum constant}}.$$

Dacă se consideră o coloană de gaz de înălțime h_0 de volum V_0 și presiune p_0 , care susține într-un cilindru o masă m , care are o suprafață de contact de arie A (fig. 14.1), forța P produsă de presiunea gazului, care susține masa, este dată de relația:

$$P = Ap_0 = mg. \quad (14.2)$$

Dacă se dă masei un impuls, volumul gazului se va modifica cu ΔV_0 și se va produce o mișcare oscilatorie, astfel că și înălțimea coloanei de gaz se va modifica cu Δh ; totodată se va modifica și aria suprafeței de susținere cu ΔA .

Ținând seama de relația (14.1) se poate scrie:

$$p_0 V_0^k = p \cdot V^k = \text{const sau} \quad (14.3)$$

$$p_0 V_0^k = \frac{P}{A} [(h_0 - \Delta h) A]^k, \quad (14.4)$$

de unde

$$P = \frac{p_0 V_0^k}{(h_0 - \Delta h)^k A^{k-1}}. \quad (14.5)$$

În acest caz rigiditatea arcului:

$$c = \frac{dP}{dh} = \frac{p_0 V_0^k k}{(h_0 - \Delta h)^{k+1} A^{k-1}}. \quad (14.6)$$

Ecuția mișcării oscilatorii a masei m , susținută de gaz, este următoarea:

$$m \frac{d^2 h}{dt^2} + ch = 0; \quad (14.7)$$

perioada acestei mișcări

$$T = 2\pi \sqrt{\frac{m}{c}}, \quad (14.8)$$

iar frecvența

$$n = \frac{1}{T} = \frac{1}{2\pi} \sqrt{\frac{m}{c}}. \quad (14.9)$$

Ținând seamă de relația rigidității unui arc pneumatic și de relațiile: $p_0 = \frac{P}{A}$ și $P = mg$, expresia frecvenței devine:

$$n = \frac{1}{2\pi} \sqrt{\frac{p_0 V_0^k k}{m(h_0 - \Delta h)^{k+1} A^{k-1}}} = \frac{1}{2\pi} \sqrt{\frac{Akg}{V_0}}. \quad (14.10)$$

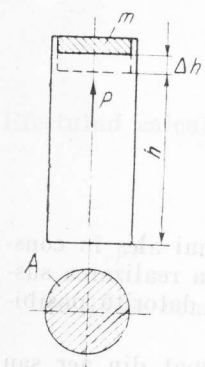


Fig. 14.1

Această relație este foarte importantă pentru dimensionarea unui arc pneumatic, deoarece din ea rezultă că frecvența unui astfel de arc este direct proporțională cu rădăcina pătrată a suprafeței de contact și a raportului k și totodată invers proporțională cu volumul V_0 al coloanei de gaz utilizat.

Arcurile pneumatice folosite în construcția autovehiculelor trebuie să aibă o frecvență cât mai joasă. Acest lucru se realizează deci cu un volum V mare, o secțiune activă A mică și un exponent politropic k mic.

În funcție de frecvența proprie a arcurilor pneumatice se întâlnesc două tipuri constructive distincte:

- arcuri pneumatice cu burduf pentru frecvența $n \leq 80 \text{ min}^{-1}$
- arcuri pneumatice cu membrană pentru frecvențe $n = 80 \dots 100 \text{ min}^{-1}$.

Arcurile pneumatice de tip cu burduf sînt executate dintr-o anvelopă de cauciuc cu cord de nailon avînd forma unor circumvoluțiuni suprapuse. În fig. 14.2 sînt reprezentate schemele a două variante constructive ale acestor burdufuri pentru arc pneumatic. Prima variantă (fig. 14.2, a) fiind un tip obișnuit, iar a doua (fig. 14.2, b) reprezentînd un burduf cu autoetanșare.

În cazul burdufului cu autoetanșare, armătura 2 are o formă teșită, pentru evitarea frecării între culele vecine în momentul comprimării, cînd ele se apropie. La tipul obișnuit aceste armături au secțiuni rotunde (1).

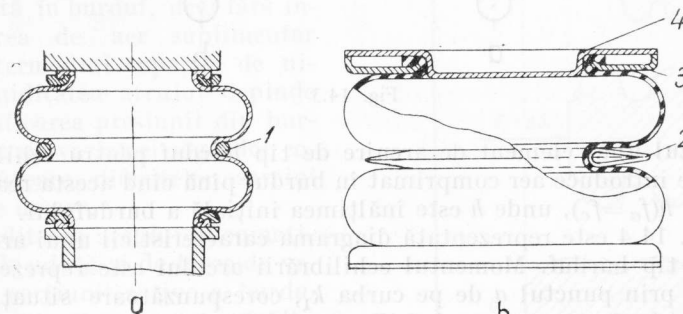


Fig. 14.2

Prinderea burdufului pe suprafețele de reazem se face cu o bună etanșare prin inelul cu secțiune în formă de U 3, talonul burdufului fiind presat pe locul conic al reazemului 4. Acest sistem de prindere

este posibil datorită presiunii interioare din burdof, eliminând organele clasice de strângere cum ar fi șuruburile, care pot provoca avarii bandajului de cauciuc, datorită proeminențelor.

În fig. 14.3 sînt reprezentate schematic două variante de elemente de arc pneumatic cu membrană, prima (fig. 14.3, a) fiind de tipul simplu ghidat, iar a doua (fig. 14.3, b) fiind de tipul dublu ghidat.

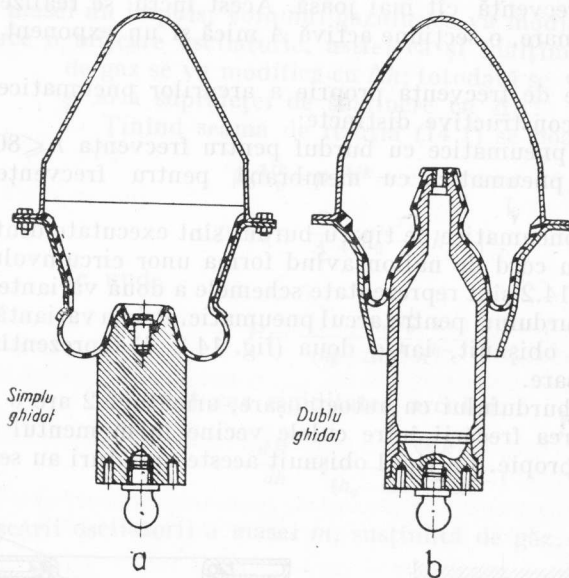


Fig. 14.3

În cazul unui element de arcuire de tip burdof pentru echilibrarea sarcinii se introduce aer comprimat în burdof pînă cînd acesta realizează înălțimea $h(f_a=f_c)$, unde h este înălțimea inițială a burdufului.

În fig. 14.4 este reprezentată diagrama caracteristicii unui arc pneumatic de tip burdof. Momentul echilibrării arcului este reprezentat în diagramă prin punctul a de pe curba k_1 , corespunzătoare situației A a burdufului încărcat cu o sarcină G , săgeata fiind f_a . La o creștere ΔG_1 a sarcinii G , burdoful se comprimă, cantitatea de aer din burdof fiind neschimbată, burdoful ia forma și poziția indicată în figură, iar pe caracteristica k_1 a arcului prin b , săgeata devenind f_b . Pentru a redresa echilibrul burdufului, sub comanda automată a unei supape de nivel se introduce din nou aer în burdof pînă revine la săgeata inițială $f_c=f_a$,

corespunzătoare poziției C a burdufului, indicată în figură și poziției c a caracteristicii K_2 , care diferă de prima caracteristică K_1 . Dacă se descarcă arcul de surplusul de sarcină, înălțimea lui crește ca în poziția D, iar săgeata devine f_d , punctul corespunzător pe diagramă, d , aflîndu-se pe aceeași caracteristică, K_2 .

Dacă creșterea sarcinii este mai mare ciclul este indicat în figură prin punctele a, b', c', d' și, așa cum rezultă din figură, punctele c' și d' se vor afla pe o altă caracteristică, K_3 .

Rezultă că pentru diferite valori ale sarcinii corespund caracteristici de rigiditate diferite pentru arc pneumatic, astfel că, în ansamblu, arc pneumatic lucrează pe un fascicul de curbe caracteristici $K_1, K_2 \dots K_n$.

Pentru o anumită cantitate de aer aflată în burdof, deci fără introducerea de aer suplimentar prin intermediul supapei de nivel, rigiditatea arcului depinde de modificarea presiunii din burdof în urma variației săgeților corespunzătoare diferitelor sarcini preluate de arc.

Rigiditatea arcului pneumatic este influențată și de legea de variație a secțiunii active a burdufului în raport cu variația înălțimii arcului.

Pentru realizarea unor curse de lucru mari se folosesc burdufurile cu mai multe circumvoluțiuni suprapuse.

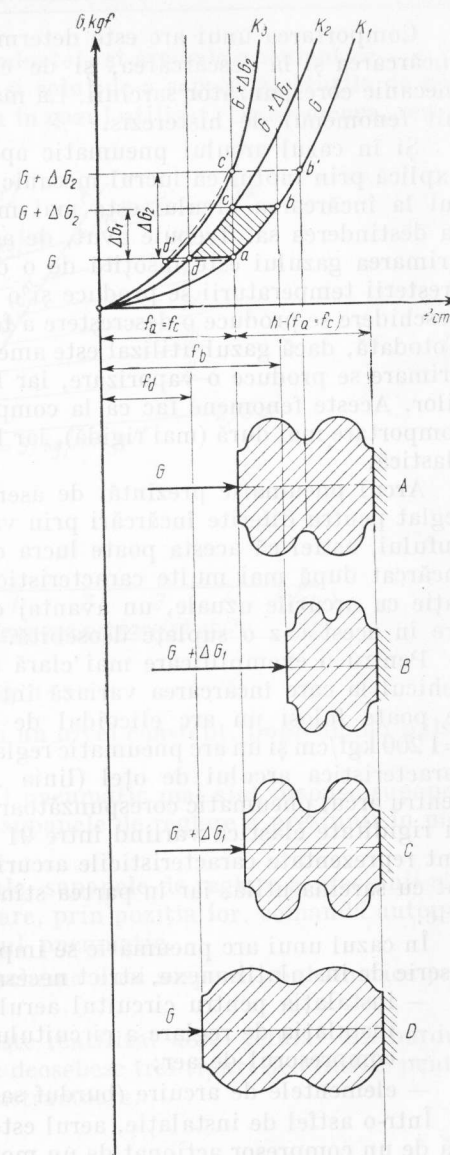


Fig. 14.4

Comportarea unui arc este determinată de curba sa caracteristică la încărcarea și la descărcarea, și de capacitatea sa de a acumula lucru mecanic corespunzător sarcinii. La majoritatea tipurilor de arc s-a întâlnit fenomenul de histerezis.

Și în cazul arcului pneumatic apare acest fenomen. Acest lucru se explică prin faptul că lucrul mecanic acumulat prin comprimarea gazului la încărcarea arcului este mai mare decât lucrul mecanic restituit la destinderea sa. Trebuie avut, de asemenea, în vedere faptul că comprimarea gazului este însoțită de o dezvoltare de căldură, iar datorită creșterii temperaturii se produce și o creștere a presiunii; în schimb, la deschidere se produce o scădere a temperaturii și implicit a presiunii. Totodată, dacă gazul utilizat este amestecat cu vapori saturanți, la comprimare se produce o vaporizare, iar la destindere o condensare a vaporilor. Aceste fenomene fac ca la comprimare arcul pneumatic să aibă o comportare mai dură (mai rigidă), iar la destindere — o comportare mai elastică.

Arcul pneumatic prezintă, de asemenea, avantajul că poate fi ușor reglat pentru diferite încărcări prin variația presiunii în interiorul burdufului, astfel că acesta poate lucra corespunzător sarcinii cu care este încărcat după mai multe caracteristici. Acest lucru prezintă, în comparație cu arcurile uzuale, un avantaj deosebit, deoarece arcul pneumatic are în acest caz o suplețe deosebită.

Pentru o exemplificare mai clară se poate compara suspensia la un vehicul la care încărcarea variază între 2 000 și 4 000 kgf, pentru care se poate folosi un arc elicoidal de oțel cu o rigiditate elastică $c = 1\,200 \text{ kgf/cm}$ și un arc pneumatic reglabil. În fig. 14.5 se arată comparativ caracteristica arcului de oțel (linia AB) și familia de caracteristici pentru arcul pneumatic corespunzătoare unor presiuni între 2,75 și 5,3 at, cu rigiditate elastică variind între 91 și 175 kgf/cm^2 . În partea dreaptă sunt reprezentate caracteristicile arcurilor corespunzătoare arcului încărcat cu sarcina utilă, iar în partea stângă — alura lor sub greutatea proprie.

În cazul unui arc pneumatic se impune ca sistemul să fie prevăzut cu o serie de instalații-anexe, strict necesare funcționării sale. Acestea sunt:

- instalația pentru circuitul aerului;
- instalația de reglare a circuitului aerului;
- compresorul de aer;
- elementele de arcuire (burduf sau membrană).

Într-o astfel de instalație, aerul este comprimat pînă la limita maximă de un compresor acționat de un motor și introdus într-un rezervor de acumulare prin intermediul unei supape de reținere.

Din rezervor se alimentează conductele și arcurile pneumatice.

Rezervorul are în același timp și rolul de a separa picăturile de apă și vaporii de ulei aflați în aerul sau în gazul utilizat. De asemenea, rezervorul

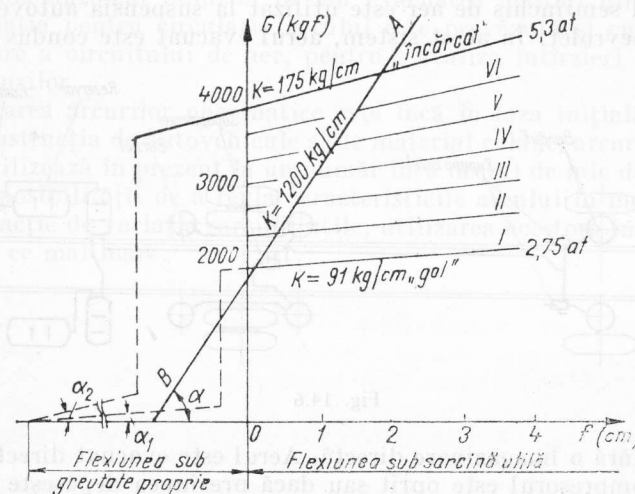


Fig. 14.5

vorul menține presiunea aerului la un nivel constant, împiedicând pulsațiile aerului în arcul pneumatic.

Între rezervorul de aer și arcul pneumatic mai sînt dispuse supapele de reducere a presiunii aerului și supapele de reglare a presiunii în mod automat.

În cazul suspensiilor la vehicule, supapele de reglare a presiunii sînt acționate direct de osiile roților care, prin poziția lor, comandă automat intrarea și ieșirea aerului în arcul pneumatic.

În fig. 14.6 este reprezentată schema unei suspensii pneumatice pentru un autovehicul.

În funcție de modul în care este reutilizat aerul refulat din burduf, la micșorarea încărcării arcului se deosebesc trei tipuri de circuite pentru aer, folosite de diferite firme constructoare:

- circuit deschis;
- circuit semiînchis;
- circuit închis.

Circuitul deschis de aer se utilizează la suspensia autovehiculelor de firma Ford. Acest circuit are cea mai simplă rețea de conducte, dar prezintă dezavantajul că solicită mult compresorul și introduce cantități mari de apă condensată și ulei în burduf.

Circuitul semiînchis de aer este utilizat la suspensia autovehiculelor de firma Chevrolet. În acest sistem, aerul evacuat este condus direct la

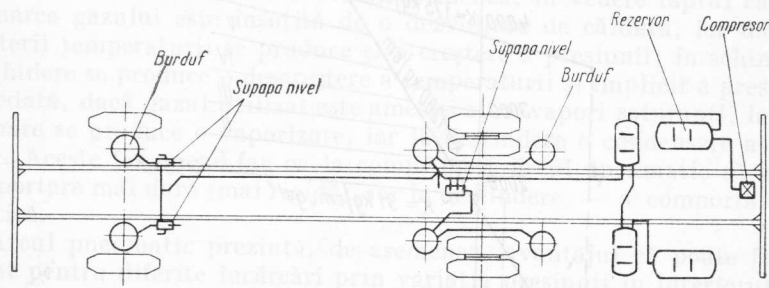


Fig. 14.6

compresor, fără o imagineare directă. Aerul este evacuat direct în exterior dacă compresorul este oprit sau dacă presiunea depășește pe aceea reglată pentru evacuare.

Circuit închis de aer este utilizat la suspensia autovehiculelor de firma Oldsmobile. Acest sistem este puțin mai complicat, dar prezintă avantajul că, prin completarea mai rară cu aer din atmosferă, murdărirea interioară este foarte mică.

Pentru reglarea circulației aerului se folosește o instalație specială, în care elementul principal îl constituie supapele de nivel.

În cazul suspensiilor cu arcuri pneumatice, instalația pentru reglarea circuitului de aer are de îndeplinit două funcții opuse:

- în cazul staționării vehiculului pentru încărcarea sau pentru descărcarea sa, instalația de reglat circulația aerului comandată de supapa de nivel trebuie să introducă automat aer în arcurile pneumatice — în cazul încărcării, sau să evacueze aerul — în cazul descărcării, astfel ca nivelul cutiei autovehiculului să-și mențină o poziție normală de lucru;

- în cazul trecerii vehiculului prin curbe, când se produce înclinarea caroseriei, sistemul de reglare trebuie să fie astfel prevăzut, încât să lamineze curentul de aer pentru a se evita la ieșirea din curbă o înclinare nedorită a caroseriei.

Supapa de reglat nivelul se compune de regulă din două ventile cu arc, etanșate cu cauciuc, unul pentru admisie și celălalt pentru evacuare, comandate printr-o camă, legate printr-o tijă de osiile vehiculului sau de niște pîrghii solidare cu acestea, astfel că prin poziția relativă a osiilor se comandă automat admisia în sau evacuarea aerului din burdufuri.

Instalația pentru circulația aerului este prevăzută și cu sisteme de strangulare a circuitului de aer, pentru a realiza întârzieri convenabile ale comenzilor.

Utilizarea arcurilor pneumatice este încă în faza inițială.

În construcția de autovehicule și de material rulant, arcurile pneumatice se utilizează în prezent la un număr încă destul de mic de cazuri, dar datorită posibilității de a regla caracteristicile arcului în mod convenabil, în funcție de variația sarcinii utile, utilizarea acestora în viitor va fi din ce în ce mai mare.

Amortizoare

15.1. Generalități

În construcția de mașini și aparate, elementele elastice au de foarte multe ori rolul de a proteja organele mașinilor sau construcțiile pe care acestea sînt fixate împotriva vibrațiilor generate de părțile aflate în mișcare ale mașinilor. În acest scop, la diverse mașini sau construcții la care apar vibrații sau șocuri se prevăd și sisteme de protejare sau de înlăturare a lor, denumite în general sisteme de amortizare a vibrațiilor, sau pur și simplu amortizoare.

Studiul vibrațiilor mecanice și al metodelor de amortizare a vibrațiilor constituie o problemă foarte vastă, care depășește cadrul lucrării de față. Totuși, în cele ce urmează se vor lua în considerare, în mod sumar, cîteva sisteme de amortizare tipice, corespunzătoare sistemelor cu un grad sau două de libertate, netinzîndu-se la epuizarea problemei, complexitatea ei necesitînd o dezvoltare specială.

Amortizoarele se pot împărți în trei grupuri oarecum distincte:

- amortizoare mecanice, bazate pe utilizarea unor materiale sau elemente elastice (arcuri);
- amortizoare hidraulice, bazate pe folosirea rezistențelor hidraulice, care iau naștere în cazul unei mișcări relative între masa suspendată elastic și cea nesuspendată;
- amortizoare hidropneumatice, bazate pe folosirea rezistențelor hidraulice și a elasticității pernei de aer comprimat.

Prima categorie este utilizată în industrie la împiedicarea transmiterii vibrațiilor produse de diferite mașini de forță sau de lucru la diversele construcții sau agregate care se află în apropiere. În acest caz, măsurile de izolare a vibrațiilor sînt denumite măsuri de izolare activă sau amortizare activă. Dacă izolarea vibrațiilor produse de una sau de mai multe mașini oarecare, are ca scop apărarea unei mașini de mare precizie sau a anumitor aparate, instrumente de măsură de precizie etc., măsurile de protejare a acestor aparate împotriva vibrațiilor din afară sînt denumite măsuri de izolare pasive sau amortizare pasivă.

În principiu, amortizarea pasivă nu se deosebește de amortizarea activă, iar din această cauză, în cele ce urmează se va prezenta, cu precădere, amortizarea activă.

15.2. Elemente de calcul

Pentru a putea analiza modul de funcționare al amortizoarelor este necesară o analiză sumară a vibrațiilor mecanice care se produc în cazul unui corp, asupra căruia se exercită o forță exterioară, denumită în mod curent forță excitatoare, vibrații care poartă în acest caz denumirea de vibrații forțate. Pentru stabilirea noțiunilor de bază este suficient să se ia în considerare cel mai simplu sistem vibrator, cu un grad de libertate (fig. 15.1), format dintr-o masă m suspendată de un arc cu mișcare pe verticală, de constantă elastică k . Mișcarea masei este frînată de un mecanism de amortizare, care are un coeficient de amortizare r , iar asupra corpului acționează o forță perturbatoare de forma $F_0 \sin \omega t$ produsă de un mecanism motor oarecare.

Ecuatia de mișcare a corpului este dată de ecuația diferențială:

$$m\ddot{x} + r\dot{x} + kx = F_0 \sin \omega t. \quad (15.1)$$

Prin integrarea acestei ecuații diferențiale se ajunge la o soluție formată dintr-o primă parte rezultată din integrarea ecuației diferențiale omogene și o a doua parte care formează o soluție particulară. Ecuatia de mișcare are astfel forma:

$$x = e^{-\frac{r}{2m}t} A_1 \cos(\omega_1 t + \varphi_1) + A \sin(\omega t - \varphi), \quad (15.2)$$

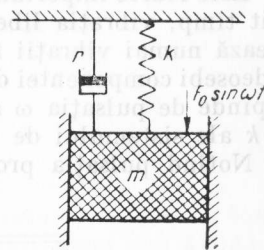


Fig. 15.1

unde A_1 și φ_1 sînt constante de integrare și depind de condițiile inițiale, iar amplitudinea A și unghiul de defazaj φ sînt date de relațiile (15.2,a) și (15.2,b):

$$A = \frac{F_0}{\sqrt{(r\omega)^2 + (k - m\omega^2)^2}}; \quad (15.2,a)$$

$$\varphi = \arctg \frac{r\omega}{k - m\omega^2}. \quad (15.2,b)$$

În același timp, pseudopulsția ω_1 este dată de relația:

$$\omega_1 = \sqrt{\frac{k}{m} - \frac{r^2}{4m^2}}. \quad (15.2,c)$$

Analizînd ecuația de mișcare (15.2) se poate observa că mișcarea corpului poate fi considerată, în cazul general, drept rezultate a două mișcări vibratorii și anume:

— o primă mișcare vibratorie liberă, amortizată, de formă exponențială (fig. 15.2, a), dată de ecuația:

$$x_1 = e^{-\frac{r}{2m}t} \cos(\omega_1 t + \varphi_1); \quad (15.3)$$

— o a doua mișcare forțată, de formă sinusoidală (fig. 15.2, b):

$$x_2 = A \sin(\omega t + \varphi). \quad (15.3,a)$$

Prin suprapunerea celor două mișcări se obține mișcarea rezultantă (fig. 15.2, c).

Este foarte important de remarcat faptul că după trecerea unui anumit timp, vibrația liberă devine neglijabilă, dispăre, iar corpul efectuează numai vibrații forțate. Aceasta face ca atenția să fie acordată îndeosebi componentei datorită vibrațiilor forțate, a cărei amplitudine A depinde de pulsația ω a forței excitatoare și de mărimile mecanice m și k ale sistemului de vibrație.

Notînd pulsația proprie a sistemului cu

$$\omega_0 = \sqrt{\frac{k}{m}},$$

se poate pune în evidență ω_0 în expresia (15.2,a):

$$A = \frac{\frac{F_0}{k}}{\sqrt{\left[1 - \left(\frac{\omega}{\omega_0}\right)^2\right]^2 + \left(\frac{r}{k} \omega\right)^2}} \quad (15.4)$$

Notînd săgeata statică cu $x_{st} = \frac{F_0}{k}$;

— amortizarea critică cu $r_{cr} = 2m\omega_0 = 2m \sqrt{\frac{k}{m}} = 2 \sqrt{mk}$;

— amortizarea relativă $\beta = \frac{r}{r_{cr}}$,

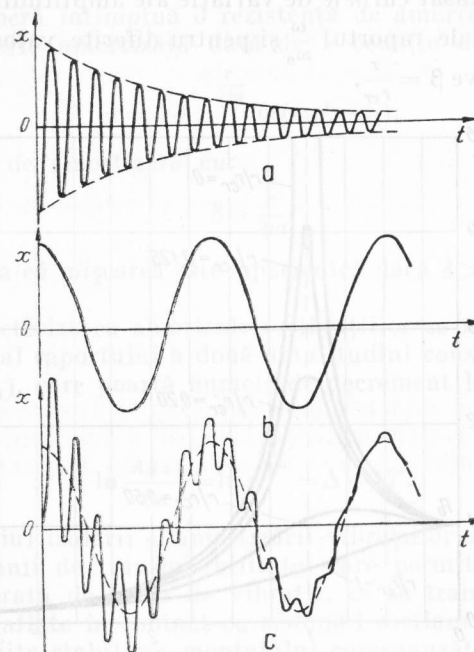


Fig. 15.2

relația amplitudinii (15.4) devine:

$$A = \frac{x_{st}}{\sqrt{\left[1 - \left(\frac{\omega}{\omega_0}\right)^2\right]^2 + \left(2 \frac{r}{r_{cr}} \frac{\omega}{\omega_0}\right)^2}}. \quad (15.5)$$

Se poate observa că amplitudinea vibrațiilor devine maximă pentru cazul $\frac{\omega}{\omega_0} = 1$ și în acest caz are valoarea:

$$A = \frac{F_0}{r\omega}. \quad (15.6)$$

Pentru această valoare are loc fenomenul de rezonanță. Dacă vibrația forțată are loc fără amortizare, adică $r=0$, amplitudinea devine infinită. Se constată că pentru diverse valori ale amortizării relative $\beta = \frac{r}{r_{cr}}$ și în funcție de raportul $\frac{\omega}{\omega_0}$, valoarea amplitudinii vibrațiilor variază. În fig. 15.3 s-au trasat curbele de variație ale amplitudinilor vibrațiilor forțate în funcție de raportul $\frac{\omega}{\omega_0}$ și pentru diferite valori constante ale amortizării relative $\beta = \frac{r}{r_{cr}}$.

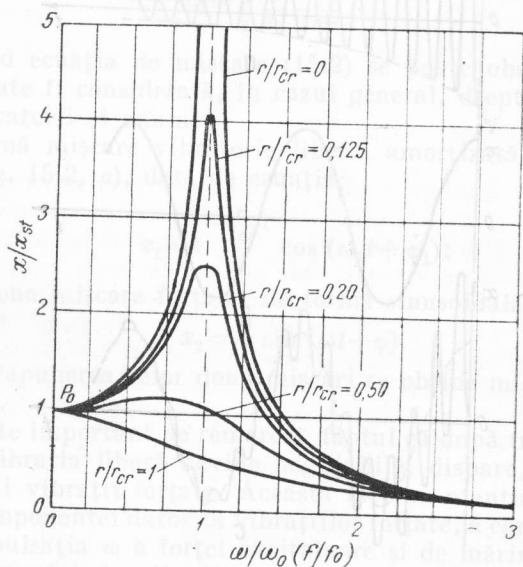


Fig. 15.3

Dacă asupra sistemului nu se exercită o forță perturbatoare ($F_0=0$) și nu există nici amortizare ($r=0$), ecuația mișcării capătă forma mișcării armonice:

$$x = A \cos(\omega_0 t - \varphi). \quad (15.7)$$

Intervalul de timp T dintre două amplitudini succesive ale deplasării se numește perioada mișcării și se măsoară în secunde:

$$T = \frac{2\pi}{\omega_0} = 2\pi \sqrt{\frac{m}{k}}. \quad (15.8)$$

Numărul de perioade pe secundă este frecvența vibrației și se măsoară în herți:

$$\nu = \frac{\omega}{2\pi}. \quad (15.9)$$

Dacă asupra sistemului nu se exercită o forță perturbatoare ($F_0=0$), dar vibrația liberă întâmpină o rezistență de amortizare, ea devine o mișcare vibratorie amortizată dată de o ecuație de forma:

$$x = A_1 e^{-\frac{r}{2m} t} \cos(\omega_1 t - \varphi_1). \quad (15.10)$$

Notind gradul de amortizare cu:

$$\delta = \frac{r}{2m}, \quad (15.11)$$

se poate observa că mișcarea este aperiodică dacă $\delta > \omega_0$, sau periodică dacă $\delta < \omega_0$.

Pentru caracterizarea amortizării vibrațiilor se mai folosește logaritmul natural al raportului a două amplitudini consecutive de același sens ($A_n + A_{n+1}$), care poartă numele de decrement logaritm:

$$\ln \frac{A_{n+1}}{A_n} = \ln e^{\frac{\pi r}{m\omega}} = \Delta = \delta T. \quad (15.12)$$

Pentru studiul izolării și amortizării vibrațiilor se dă o importanță deosebită noțiunii de transmisibilitate, care permite evaluarea forței dinamice, generată de sursa de vibrații, ce se transmite elementelor înconjurătoare aflate în contact cu sistemul oscilant. Analiza transmisibilității permite stabilirea montajului corespunzător pentru a transmite la sistemul înconjurător o forță dinamică minimă.

Considerind amortizarea primului termen relația (15.2), integrala generală a ecuației (15.1) se poate scrie sub forma:

$$x = A \sin(\omega t - \varphi). \quad (15.13)$$

Ecuațiile vitezei și accelerației sînt următoarele:

$$\dot{x} = A\omega \cos(\omega t - \varphi); \quad (15.14)$$

$$\ddot{x} = -A\omega^2 \sin(\omega t - \varphi) = -\omega^2 x. \quad (15.15)$$

Se poate observa că viteza este defazată cu $\frac{\pi}{2}$ față de deplasare, iar accelerația este în opoziție față de ea. Pentru momentul în care

forța perturbatoare are valoare maximă F_0 , ecuația diferențială a mișcării devine:

$$m\ddot{x}_0 + r\dot{x}_0 + kx_0 = F_0, \quad (15.16)$$

unde x_0 , \dot{x}_0 , \ddot{x}_0 reprezintă valorile deplasării, vitezei și accelerației la momentul respectiv.

Ținând seamă de ecuațiile deplasării, vitezei și accelerației, se poate observa că între x_0 , \dot{x}_0 și \ddot{x}_0 defazat cu $\frac{\pi}{2}$ există relațiile:

$$x_0 = \frac{x_0}{\omega}; \quad \ddot{x}_0 = -\omega \dot{x}_0 = -\omega^2 x_0. \quad (15.17)$$

Știind că defazarea vitezei față de deplasare este $\frac{\pi}{2}$, rezultă forța maximă care acționează asupra sistemului:

$$|F_0| = x_0 \sqrt{\left(m\omega - \frac{k}{\omega}\right)^2 + r^2}. \quad (15.18)$$

Asupra fundației (fig. 15.4) care susține sistemul elastic acționează numai o parte din forța maximă F_0 aplicată sistemului și anume forța transmisă F_T , care se determină cu relația:

$$F_T = kx_0 + r\dot{x}_0 \quad (15.19)$$

$$F_T = \frac{k}{\omega} \dot{x}_0 + r\dot{x}_0. \quad (15.20)$$

Modulul forței transmise, ținând seamă de defazajul dintre viteză și deplasare,

$$|F_T| = \frac{\dot{x}_0}{\omega} \sqrt{k^2 + r^2 \omega^2}.$$

Transmisibilitatea vibrațiilor în cazul unui sistem elastic se măsoară cu coeficientul de transmisibilitate, definit de raportul:

$$C_T = \frac{F_T}{F_0} = \frac{\frac{x_0}{\omega} \sqrt{k^2 + r^2 \omega^2}}{\dot{x}_0 \sqrt{\left(m\omega - \frac{k}{\omega}\right)^2 + r^2}}. \quad (15.21)$$

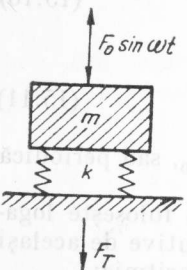


Fig. 15.4

Coeficientul de transmisibilitate se exprimă de regulă în funcție de următorii parametri:

— frecvența relativă, γ , reprezentînd raportul dintre frecvența forței perturbatorii și frecvența proprie a agregatului;

$$\gamma = \frac{\omega}{\omega_0} = \frac{v}{v_0}; \quad (15.22)$$

— coeficientul de amortizare relativ β , definit anterior.

Folosind acești parametri, coeficientul de transmisibilitate

$$C_T = \sqrt{\frac{1 + \left(2 \frac{r}{r_{cr}} \frac{v}{v_0}\right)^2}{\left[1 - \left(\frac{v}{v_0}\right)^2\right]^2 + \left(2 \frac{r}{r_{cr}} \frac{v}{v_0}\right)^2}} = \frac{\sqrt{1 + 4\beta^2 \gamma^2}}{\sqrt{(1 - \gamma^2)^2 + 4\beta^2 \gamma^2}}. \quad (15.23)$$

Valoarea coeficientului de transmisibilitate este o funcție de parametrii β și γ . Dacă se dau coeficientului relativ de amortizare β diferite valori constante, se pot obține diverse curbe de variație ale coeficientului de transmisibilitate, în funcție de frecvența relativă γ , adică:

$$C_T = f(\gamma). \quad (15.24)$$

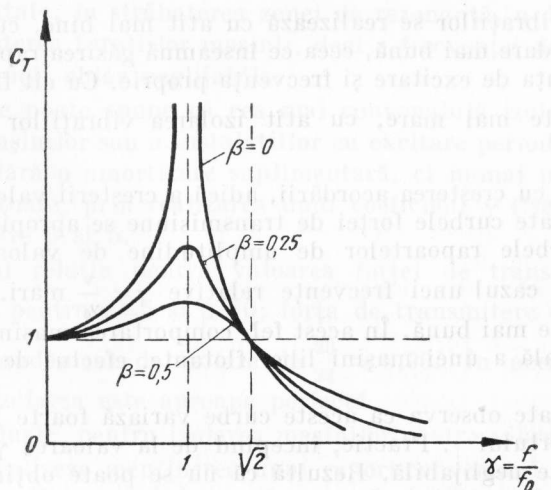


Fig. 15.5

În fig. 15.5 se dau familiile de curbe $C_T = f(\gamma)$ pentru diferite valori ale lui β .

Analizînd diagramele date în fig. 15.3 și 15.5, în care se arată variația raportului amplitudinilor oscilațiilor și raportul forțelor în funcție de frecvența relativă, se pot trage o serie de concluzii foarte importante pentru realizarea unei înlăturări active a deranjamentelor produse de sisteme (mașini) cu excitație periodică. Rezultă din analiza acestor curbe următoarele proprietăți ale izolării vibrațiilor:

a) În jurul valorii $\gamma = \frac{\nu}{\nu_0} = 1$, adică atunci cînd frecvența proprie a mașinii izolate corespunde aproximativ cu frecvența de excitație, forța de deranjare este deosebit de mare și la o amortizare redusă amplitudinile de oscilație au valori mari. Această situație, denumită rezonanță, nu permite o exploatare normală a sistemului.

b) Intervalul dintre $\gamma = 0$ și $\gamma = 1$ corespunde unei fundații fixe. Din diagrame rezultă că în acest caz, amplitudinea oscilației mașinii este într-adevăr mică, iar forțele transmise sînt mai mari decît forțele de excitație. În acest fel, la o montare fixă mișcările sistemului de susținere (batiu, fundație etc.) devin și ele mari.

c) Forța transmisă este mai mică decît forța de excitație, dacă $\gamma = \frac{\nu}{\nu_0} > 1,41$.

Izolarea vibrațiilor se realizează cu atît mai bine, cu cît se poate realiza o acordare mai bună, ceea ce înseamnă găsirea raportului optim dintre frecvența de excitație și frecvența proprie. Cu cît frecvența relativă $\gamma = \frac{\nu}{\nu_0}$ este mai mare, cu atît izolarea vibrațiilor se realizează mai bine.

d) O dată cu creșterea acordării, adică a creșterii valorii frecvenței relative γ , toate curbele forței de transmisiune se apropie de valoarea zero, iar curbele rapoartelor de amplitudine de valoarea minimă. Rezultă că în cazul unei frecvențe relative $\gamma = \frac{\nu}{\nu_0}$ mari, amortizarea sistemului este mai bună. În acest fel, comportarea mașinii se apropie de starea ideală a unei mașini liber flotante, efectul de izolare fiind mai bun.

Se mai poate observa că aceste curbe variază foarte lin o dată cu creșterea raportului γ . Practic, începînd de la valoarea $\gamma = 5$, variația raportului este neglijabilă. Rezultă că nu se poate obține o îmbunătățire a randamentului de izolare dacă se mărește mai mult valoarea lui γ peste această limită, acest lucru fiind important și pentru faptul că prețul de cost crește cu creșterea lui γ , și din această cauză sistemele se dispun astfel ca să se realizeze pentru γ o valoare cuprinsă între 3 și 5.

e) Pentru valori ale frecvenței relative $\gamma > 1,41$, singurul element care se ia în considerare pentru o izolare bună, forța transmisă este cu atît mai mică cu cît se reduce valoarea coeficientului relativ de amortizare $\beta = \frac{r}{r_{cr}}$. În același timp, amplitudinea oscilației nu este influențată de către amortizare. Rezultă că în această regiune amortizarea are o influență dezavantajoasă asupra efectului de izolare.

f) Amplitudinile oscilațiilor se reduc printr-o amortizare puternică numai în zona rezonanței.

Avînd în vedere faptul că majoritatea mașinilor sînt acordate supra-critic, rezultă că atît la pornire, cît și la oprire ele trebuie să treacă prin zona de rezonanță, ceea ce ar crea impresia că nu se poate evita o amortizare puternică pentru o bună funcționare a sistemului din punctul de vedere al izolării vibrațiilor. Deoarece valorile pentru raportul amplitudinii date în diagrame sînt valabile numai pentru frecvențe constante în timp, fenomenul de rezonanță nu se produce decît dacă se păstrează un timp mai lung frecvența (turația) de excitație constantă.

În realitate, în străbaterea zonei de rezonanță, o dată cu creșterea sau descreșterea turațiilor mașinii, deci a frecvenței de excitație, efectele sînt mici, chiar neglijabile.

Deci, se poate spune că cea mai convenabilă izolare a vibrațiilor în cazul mașinilor sau a instalațiilor cu excitație periodică se realizează de regulă fără o amortizare suplimentară, ci numai printr-o acordare corespunzătoare, prin realizarea unui coeficient γ (frecvența relativă) cuprins între 3 și 5.

Folosind relația pentru valoarea forței de transmitere se poate constata că pentru $\gamma = 5$ și $\beta = 0$; forța de transmitere devine: $F_T = \frac{F_0}{24}$, adică un randament de izolare de $\frac{23}{24} \approx 0,96$. În acest caz se poate spune că izolarea este aproape perfectă.

În concluzie, pentru izolarea mașinilor contra vibrațiilor este necesar să se realizeze menținerea unui raport convenabil, $\nu > \sqrt{2} f_0$, între frecvențe excitatoare și frecvența proprie a sistemului. De cele mai multe ori, determinarea frecvenței proprii este dificilă. Totuși, acest lucru se poate realiza în multe cazuri prin măsurarea deformațiilor statice ale sistemului (agregatului). Astfel, între greutatea P a agre-

atului împreună cu stratul izolator, constanta elastică a stratului izolator elastic k și deformația statică x_{st} se stabilește relația:

$$P = kx_{st} \text{ sau } x_{st} = \frac{P}{k}. \quad (15.25)$$

Frecvența proprie a agregatului:

$$\nu_0 = \frac{1}{2\pi} \sqrt{\frac{k}{m}} = \frac{\sqrt{g}}{2\pi} \sqrt{\frac{k}{P}} \approx \frac{5}{\sqrt{x_{st}}}. \quad (15.26)$$

În același timp, frecvența perturbatoare este dată de relația:

$$\nu = \frac{n}{60}, \quad (15.27)$$

unde n este turația mașinii, în rot/min.

Ținând seamă de faptul că coeficientul de transmisibilitate, pentru valori mici ale amortizării relative $\beta = \frac{r}{r_{cr}} \approx 0$, este maxim și are valoarea:

$$|C_T| \approx \frac{1}{\nu^2 - 1}, \quad (15.28)$$

se poate determina relația:

$$x_{st} = \frac{25}{\nu^2} \left(1 + \frac{1}{C_T} \right) = \frac{9 \times 10^4}{n^2} \left(1 + \frac{1}{C_T} \right). \quad (15.29)$$

Pentru calculul rapid al izolației contra vibrațiilor se folosesc curent nomograme care se bazează pe relațiile amintite și pe proprietățile materialelor cel mai des folosite pentru izolarea vibrațiilor ca: plută, cauciuc și arcuri metalice. În nomograma din fig. 15.6 se dau în abscisă deformațiile statice, iar în ordonată valorile pentru frecvență, greutatea agregatului sau turația mașinii. În nomogramă apar familii de drepte caracteristice. Dreapta punctată înclinată reprezintă dreapta de rezonanță, necesară pentru determinarea frecvenței proprii în raport cu deformația statică. Dreptele continue paralele cu dreapta de rezonanță reprezintă curbele de egală transmisibilitate (pentru valori cuprinse între 0,01 și 0,5). Dreptele paralele cu bisectoarea întâi a axelor de coordonate sînt drepte de egală constantă elastică.

Folosirea nomogramei este foarte simplă. Se cere să se calculeze, ca exemplu, frecvența unui agregat care produce o săgeată statică de 1 cm. Se duce o verticală prin punctul de abscisă 1 cm pînă intersec-

tează dreapta de rezonanță, iar din punctul de intersecție o orizontală. Se citește pe scara din stînga frecvența proprie 5 Hz.

Pentru calculul deformației statice și frecvenței proprii a unui agregat de greutate 800 kgf, așezat pe patru arcuri identice, avînd fiecare o constantă elastică $k=500$ kgf/cm, se procedează astfel: se duce pe dia-

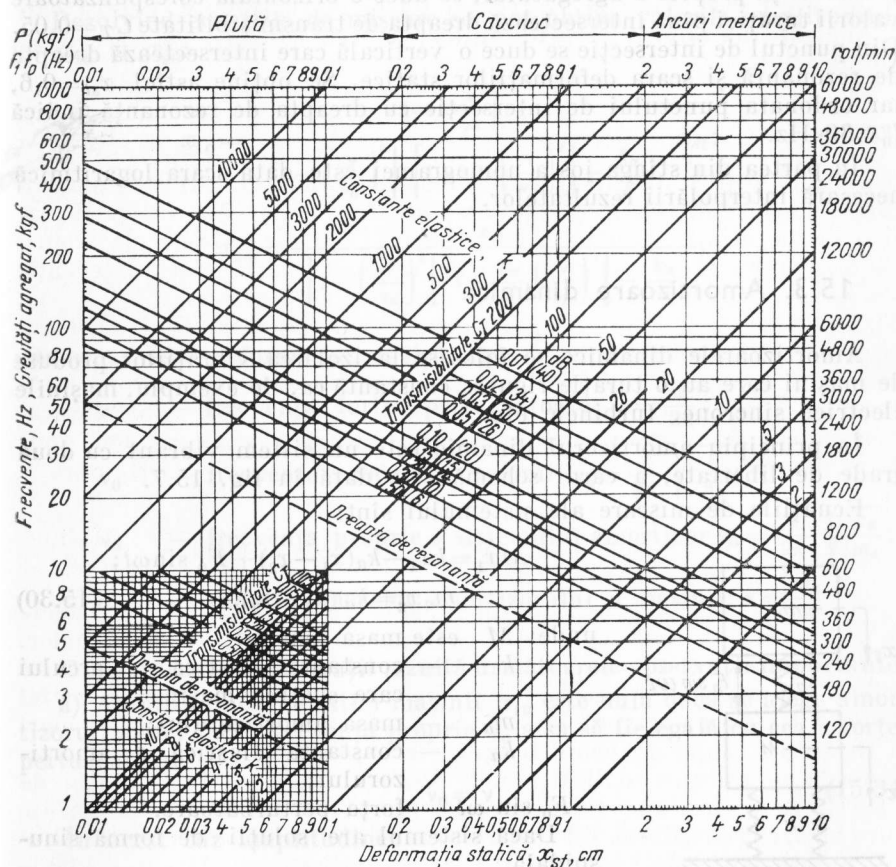


Fig. 15.6

gramă o dreaptă orizontală prin punctul de ordonată 200, corespunzătoare sarcinii preluate de fiecare arc, pînă intersectează dreapta $k=500$.

Ducînd prin acest punct o verticală, se găsește pe abscisă deformația statică $x_{st}=0,4$ cm. Ordonata punctului de intersecție cu dreapta de rezonanță de valoarea frecvenței proprii, $f_0=8$ Hz.

În cazul cînd se dă turația agregatului, de exemplu $n=1800$, și coeficientul de transmisibilitate $C_T=0,05$ și se cere săgeata statică și frecvența proprie a agregatului, se duce o orizontală corespunzătoare valorii turației pînă intersectează dreapta de transmisibilitate $C_T=0,05$. Din punctul de intersecție se duce o verticală care intersectează dreapta de rezonanță și scara deformațiilor statice. Se obține astfel $x_{st}=0,6$, iar ordonata punctului de intersecție cu dreapta de rezonanță indică $f_0=30$ Hz.

În partea din stînga jos a nomogramei este dată scara logaritmică necesară interpolării rezultatelor.

15.3. Amortizoare dinamice

Amortizoarele dinamice se folosesc la izolarea vibrațiilor produse de mașini care au o turație riguroasă constantă ca, de exemplu, mașinile electrice sincrone, turbinele etc.

În principiu amortizorul dinamic este un sistem vibrant cu două grade de libertate, a cărui schemă este dată în fig. 15.7.

Ecuatiile de mișcare ale sistemului sînt:

$$\begin{aligned} M\ddot{x}_1 &= kx_1 - k_a(x_1 - x_2) + F_0 \sin \omega t; \\ m_a \ddot{x}_2 &= k_a(x_1 - x_2), \end{aligned} \quad (15.30)$$

unde: M este masa mașinii;

k — constanta elastică a arcului care susține mașina;

m_a — masa amortizorului;

k_a — constanta elastică a amortizorului;

$F_0 \sin \omega t$ — forța perturbatoare.

Dacă sistemul are soluții de formă sinusoidală,

$$\begin{aligned} x_1 &= x_{10} \sin \omega t; \\ x_2 &= x_{20} \sin \omega t, \end{aligned} \quad (15.31)$$

unde: x_{10} și x_{20} sînt amplitudinile oscilațiilor mașinii și amortizorului

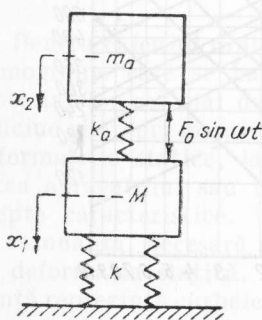


Fig. 15.7

dinamic, pentru momentul în care forța perturbatoare are valoarea maximă sistemul devine:

$$\begin{aligned} (k + k_a - M\omega^2)x_{10} - k_ax_{20} &= F_0 \\ -k_ax_{10} + (k_a - m_a\omega^2)x_{20} &= 0 \end{aligned} \quad (15.32)$$

Rezolvînd ecuațiile de mișcare se pot obține valorile amplitudinilor x_{10} și x_{20} :

$$\begin{aligned} x_{10} &= \frac{1 - \left(\frac{\nu}{\nu_a}\right)^2}{\left[1 - \left(\frac{\nu}{\nu_a}\right)^2\right] \left[1 + \alpha - \left(\frac{\nu}{\nu_a}\right)^2\right] - \frac{k_a}{k}} x_{st}; \\ x_{20} &= \frac{x_{st}}{\left[1 - \left(\frac{\nu}{\nu_a}\right)^2\right] \left[1 + \frac{k_a}{k} \left(\frac{\nu}{\nu_a}\right)^2\right] - \frac{k_a}{k}}, \end{aligned} \quad (15.33)$$

unde: x_{st} este deformația statică $x_{st} = \frac{F_0}{k}$;

ν — frecvența forței perturbatoare; $\nu = \frac{\omega}{2\pi}$;

ν_0 — frecvența proprie a mașinii $\nu_0 = \frac{1}{2\pi} \sqrt{\frac{k}{M}}$;

ν_a — frecvența proprie a sistemului amortizor $\nu_a = \frac{1}{2\pi} \sqrt{\frac{k_a}{m_a}}$;

α — raportul maselor amortizorului și mașinii; $\alpha = \frac{m_a}{M}$.

Din analiza acestor relații rezultă următoarele observații importante.

a) Amplitudinea vibrației mașinii x_{10} este nulă dacă se alege amortizorul, astfel încît frecvența proprie ν_0 a sa să fie egală cu cea a forței perturbatoare

$$\nu_a = \nu. \quad (15.34)$$

În acest caz amplitudinea

$$x_{20} = -\frac{k}{k_a} \cdot x_{st} = \frac{F_0}{k_a}. \quad (15.35)$$

În concluzie, dacă mașina rămîne nemișcată, forța născută de amortizor este egală și opusă forței exterioare.

b) Fenomenul de rezonanță apare cînd $v_a = v_0$, adică atunci cînd este îndeplinită condiția:

$$\frac{k_a}{k} = \frac{m_a}{M} = \alpha. \quad (15.36)$$

În acest caz, valorile frecvenței forței perturbatoare, pentru care se anulează mîntorul amplitudinilor maxime (15.33), se pot obține din relația:

$$\left(\frac{v}{v_a}\right)^2 = 1 + \frac{\alpha}{2} \pm \sqrt{\alpha + \frac{\alpha^2}{4}}. \quad (15.37)$$

Rezultă că pentru un raport dat al maselor amortizorului și al mașinii există două valori ale frecvenței excitatoare, pentru care elongațiile x_1 și x_2 devin infinite, aceste frecvențe purtînd numele de frecvențe proprii ale sistemului și au valori destul de apropiate de valoarea frecvenței $v = v_a$, pentru care se construiește amortizorul dinamic.

Amortizorul dinamic, realizat pe baza schemei indicate, pentru izolarea vibrațiilor unei mașini asupra căreia acționează o forță $F_0 \sin \omega t$, realizează o amortizare foarte bună dacă mașina are o turație constantă. Amortizorul dinamic nu are eficacitate, ci este chiar contraindicat dacă turația este variabilă, deoarece în acest caz sistemul are două zone de rezonanță.

15.4. Amortizoare hidraulice și hidropneumatice

Aceste amortizoare sînt folosite la izolarea vibrațiilor cu precădere în construcția suspensiei elastice a autovehiculelor și a avioanelor.

În construcția modernă a autovehiculelor, suspensia lor elastică trebuie să corespundă unor cerințe din ce în ce mai riguroase, astfel încît să ferească pasagerii și încărcătura de accelerații verticale mari și de șocuri, chiar în condiții grele de exploatare. În acest scop s-a ajuns la necesitatea utilizării unor elemente cu coeficienți reduși de amortizare și cu o amortizare proprie mică. Realizarea acestor cerințe duce astăzi la utilizarea tot mai răspîndită a amortizoarelor hidraulice sau hidropneumatice. Amortizorul de vibrații folosit de autovehicule are de îndeplinit două sarcini importante.

a) Amortizarea rapidă și reducerea la o valoare convenabilă a vibrațiilor caroseriei suspendate pe arcuri, produse de către neregularitatea terenului și de forțele masice.

b) Anularea vibrațiilor produse de elementele componente ale autovehiculului care formează grupul de mase neamortizate (roțile, osiile, butucii, frînele etc.). Această anulare a vibrațiilor trebuie să fie astfel realizată, încît să nu se întrerupă legătura de forțe între teren și roțile pneumatice în vederea asigurării direcției și dirijării vehiculului.

În cazul autovehiculelor și avioanelor, șocurile produse în timpul mișcării datorită denivelărilor terenului sînt preluate de către cauciucurile roților.

Esența amortizării constă în deformarea sistemului de amortizare format din cauciucurile roților și din amortizoarele propriu-zise.

Amortizarea trebuie să fie elastică cu intensitate crescîndă a absorbirii șocului, astfel ca efortul maxim să apară la sfîrșitul cursei amortizorului, să nu permită reculuri bruște în timpul cursei de revenire și să nu permită desprinderea de pe pămînt.

15.4.1. Amortizor hidraulic

Modelul cel mai răspîndit de amortizor hidraulic este cel de tip telescopic.

Funcționarea amortizorului hidraulic se bazează pe rezistențele hidraulice care apar în timpul mișcării relative între masa suspendată elastic și cea nesuspendată.

În cazul autovehiculelor, amortizorul, arcurile de suspensie, cauciucurile roților și autovehiculul formează un sistem oscilant cu două grade de libertate, a cărui schemă este reprezentată în fig. 15.8 și care are două frecvențe proprii. Valorile acestor frecvențe sînt date de relațiile:

$$\begin{aligned} v_1 &= \frac{1}{2\pi} \sqrt{\frac{k_1 k_2}{k_1 + k_2} \cdot \frac{1}{M_1}}; \\ v_2 &= \frac{1}{2\pi} \sqrt{(k_1 + k_2) \frac{1}{M_2}} \end{aligned} \quad (15.38)$$

unde: k_1 este coeficientul elastic al arcului de suspensie;

k_2 — coeficientul elastic al cauciucurilor roților.

Trebuie avut în vedere că elasticitatea pneului este mult mai mare decît a arcului de suspensie și că în același timp masa M_1 a caroseriei este mult mai mare decît masa nesuspendată M_2 ce corespunde roților, axelor etc. $M_1 \gg M_2$.

Conform acestor relații, cele două frecvențe ν_1 și ν_2 au valori foarte diferite; pentru autoturisme, de exemplu, raportul dintre cele două frecvențe are valori cuprinse între 5 și 10:

$$\frac{\nu_2}{\nu_1} = 5 \dots 10.$$

Amortizorul are deci două zone de rezonanță periculoase, iar pentru bună funcționare a sistemului este necesar ca frecvențele de excitație

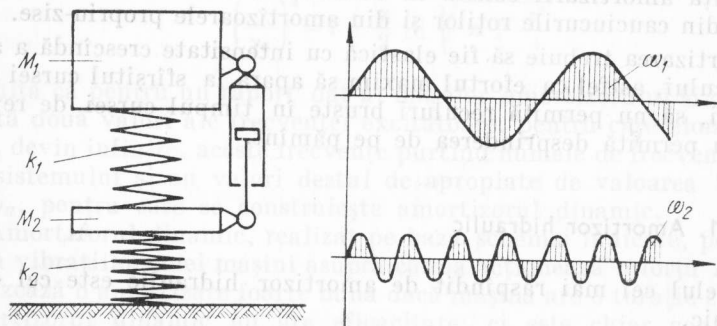


Fig. 15.8

să fie cât mai diferite de frecvențele proprii, pentru ca amortizarea să fie cât mai eficientă.

În fig. 15.9 este reprezentată schema unui amortizor hidraulic, pe baza căreia se poate determina prin calcul valoarea forței de amortizare P , care este mereu dirijată în sens contrar mișcării relative a părților fixe ale amortizorului.

Considerând că în mișcarea lichidului nu se produc deranjamente, datorită degajării de gaze sau vapori, în timpul funcționării amortizorului, în baza condiției de continuitate, se poate scrie relația:

$$(A_1 - A_2)v = \mu A_3 \sqrt{2(p_2 - p_1) \frac{1}{\rho}}, \quad (15.39)$$

care: A_1 este secțiunea pistonului, în m^2 ;

A_2 — secțiunea tijei pistonului, în m^2 ;

A_3 — secțiunea ventilului, în m^2 ;

v — viteza relativă a pistonului, în m/s ;

ρ — densitatea masică, în $\frac{kgf \cdot s^2}{m^4}$; $\rho = \frac{\gamma}{g}$;

μ este coeficientul de scurgere (valoare medie eficace) p_1 și p_2 sînt presiunile pe cele două fețe ale pistonului.

În timpul mișcării ascendente a pistonului, echilibrul forțelor care lucrează asupra sa este dat de relația:

$$A_1 p_1 + P - (A_1 - A_2) p_2 = 0, \quad (15.40)$$

de unde rezultă:

$$p_2 = \frac{A_1 p_1 + P}{A_1 - A_2}, \quad (15.41)$$

care, introdusă în relația (15.39), permite determinarea forței de amortizare p , transmisă de amortizor, în funcție de viteza sa:

$$p = \frac{(A_1 - A_2)^2 v^2}{\mu^2 A_3^2 \frac{2g}{\gamma}} - p_1 A_2. \quad (15.42)$$

Secțiunea A_3 compusă din secțiunea de trecere a canalelor de descărcare a ventilelor și din interstițiul inelar dintre piston și cilindru poate fi constantă sau poate fi variabilă dependentă de diferența presiunilor $p_2 - p_1$, dată de expresia

$$A_3 = C(p_2 - p_1)^x \quad \text{sau} \quad p_2 - p_1 = \left(\frac{A_3}{C} \right)^{\frac{1}{x}}, \quad (15.43)$$

unde C este o constantă a amortizorului. Valoarea coeficientului x depinde de construcția ventilului de trecere a fluidului. Astfel:

$x=0$; $A_3=C$, în cazul unei secțiuni de gîtuire constante;

$x=1$; $A_3=C(p_2 - p_1)$, în cazul unei secțiuni de gîtuire variabile, reglată de un ventil comandat de un arc.

Din relațiile (15.39) și (15.43) se obțin relațiile:

$$A_3 = B v^{\frac{4x}{1+2x}}; \quad p = \frac{Q v^2}{A_3^2} - p_1 A_2 \quad (15.44)$$

unde B și Q sînt constante.

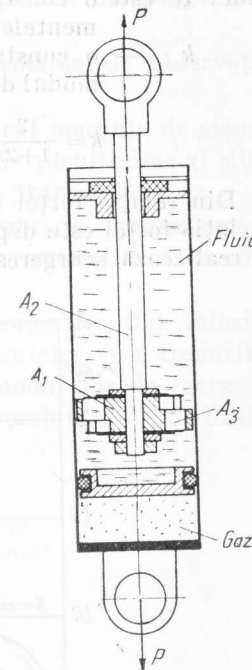


Fig. 15.9

În final, pentru forța transmisă de amortizor se obține o relație de forma:

$$P = Rv^{\frac{2}{1+2x}} - p_1 A_2 \approx Rv^k, \quad (15.45)$$

unde: R este o constantă care rezultă din calcul și depinde de elementele constructive;

k — o constantă care depinde de valoarea lui x , adică de modul de reglare a gîturii scurgerii lichidului;

$$k = \frac{2}{1+2x}.$$

Din relația forței transmise de amortizorul hidraulic se deduce că variația forței este dependentă de viteza pistonului și de modul în care se realizează scurgerea lichidului prin ventil.

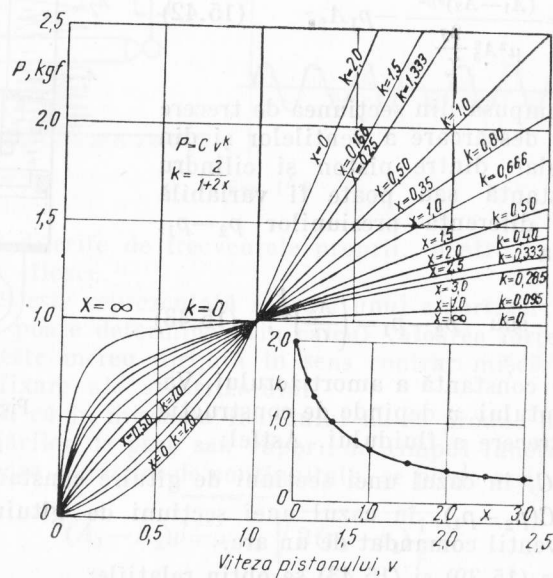


Fig. 15.10

În fig. 15.10 se dă reprezentarea grafică a variației forței de amortizare P în funcție de viteza v , pentru diferite valori ale exponenților x , respectiv k .

În timpul funcționării sale ca izolator de vibrații, amortizorul hidraulic absoarbe lucrul mecanic. Mărimea lucrului mecanic absorbit la fiecare cursă a pistonului rezultă din suprafața diagramei care reprezintă forța transmisă de piston în funcție de cursa acestuia.

În fig. 15.11 sînt reprezentate diagramele pentru diverse valori ale exponentului k .

Din analiza acestor diagrame se pot face următoarele observații importante:

o valoare redusă a exponentului k face ca lucrul mecanic de amortizare să crească la fiecare cursă, deoarece gradul de plenitudine al diagramei crește pentru o valoare maximă a forței transmise P ;

pentru o valoare mică a exponentului k , forța de transmitere a amortizorului variază foarte puțin în cazul unor variații de frecvențe sau amplitudini.

Deoarece amortizoarele hidraulice și hidropneumatice sînt folosite aproape cu exclusivitate în construcția autovehiculelor și a trenurilor de aterizare a avioanelor, este bine a analiza modul lor de lucru în condițiile utilizării lor. Amortizarea vibrațiilor șasiului este realizată,

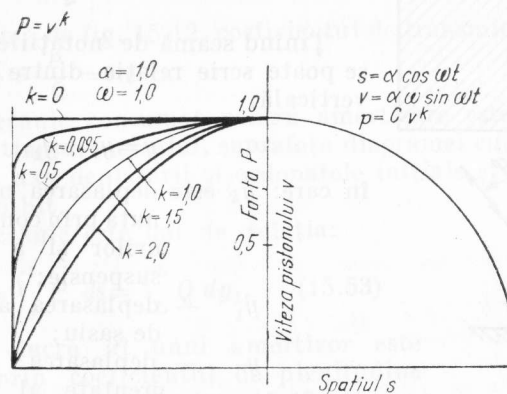


Fig. 15.11

în cazul autovehiculelor sau al trenurilor de aterizare a avioanelor, de către mai multe elemente, și anume: cauciucurile roților, amortizorul (hidraulic sau hidropneumatic) propriu-zis și arcurile de susținere.

În fig. 15.12* este reprezentat schematic un sistem de amortizare utilizat la trenurile de aterizare, care în principiu este asemănător cu cel al autovehiculelor.

Lucrul mecanic absorbit de sistemul de amortizare

$$L = \frac{1}{2} m_{red} v_y^2, \quad (15.46)$$

unde: v_y — este viteza verticală de deplasare a masei reduse;
 m_{red} — masa redusă a vehiculului, adică masa sa raportată la liniile de acționare a rezultantei șocurilor.

Pentru masa redusă se ține seamă nu numai de mișcarea de înaintare a vehiculului, ci și de rotirea lui în raport cu centrul său de greutate.

Amortizoarele trebuie să fie astfel amplasate, încât unghiul să fie, în toate cazurile normale posibile de șoc, pe cât posibil cât mai mic. Valoarea acestui unghi se ia constructiv și în funcție de modul de așezare al amortizorului. În cazul jambei de amortizare telescopice, valoarea unghiului φ se ia mai mică de 25° , iar în cazul jambelor cu pîrghie se iau pentru φ valori între 30° și 40° . Raportul între forțele P și Q este

tocmai coeficientul de transmitere al forțelor

$$C_T = \frac{P}{Q}. \quad (15.47)$$

Ținînd seamă de notațiile din fig. 15.12 se poate scrie relația dintre deplasările pe verticală:

$$y = y_k + y_1,$$

în care: y_k este deplasarea axei roții obținută prin comprimarea pneurilor și a arcurilor de suspensie;

y_1 — deplasarea axei roții față de șasiu;

y — deplasarea centrului de greutate al masei reduse (m_{red}).

Direcția de deplasare

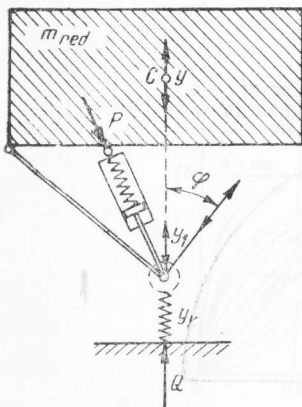


Fig. 15.12

* Q este sarcina pe roată care lucrează după direcția normalei la teren și trece prin axa roții și centrul de greutate al masei reduse;
 P — forța ce acționează asupra pistonului amortizorului;
 φ — unghiul dintre direcția de acționare a sarcinii Q și direcția de deplasare a axei (centrului) roții.

Între coeficientul de transmitere al forțelor și deplasări există relația:

$$\frac{dy_1}{ds} = C_T, \quad (15.48)$$

în care s este cursa tijei pistonului.

În proiectare se utilizează obișnuit coeficientul de transmitere al forțelor medii, mărimea sa fiind dată de relația:

$$C_{T \text{ med}} = \frac{1}{s} \int_0^s C_T ds = \frac{y_1}{s} = C_{Tx}, \quad (15.49)$$

în care C_{Tx} este coeficientul de transmitere pentru o poziție oarecare:

$$y = y_k + s C_{Tx}. \quad (15.50)$$

Din relațiile (15.48) și (15.50) rezultă:

$$C_T = C_{Tx} + s \frac{dC_{Tx}}{ds}. \quad (15.51)$$

Dacă

$C = \text{const}$, rezultă $C_{Tx} = \text{const}$.

Ținînd seamă de fig. 15.12, coeficientul de transmitere se determină cu relația $C_T = \frac{P}{Q} = \cos \varphi$. (15.52)

Lucrul mecanic consumat pentru amortizare este redat de curba eforturilor în timpul mersului, suprafața diagramei cuprinsă între curba de aplatizare, axa deplasării și ordonatele inițiale și finale fiind egală cu lucrul absorbit.

Lucrul mecanic este dat de relația:

$$L = \int_0^s P ds = \int_L^{y_1} Q dy_1. \quad (15.53)$$

Modul de lucru al unui amortizor este caracterizat prin coeficientul de plenitudine η al diagramei. Dacă în fig. 15.13, suprafața $Oabce$ reprezintă lucrul mecanic real absolut și $Ofce$ lucrul mecanic maxim posibil de realizat cu condiția ca efortul maxim să fie constant, raportul de plenitudine este:

$$\eta = \frac{Oabce}{Ofce}. \quad (15.54)$$

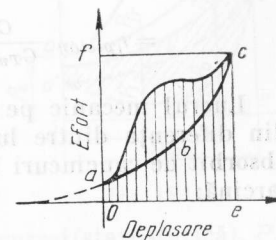


Fig. 15.13

Lucrul mecanic consumat pentru comprimarea aerului și învingerea forțelor de frecare este dat de suprafața de sub curba abc .

În curba de revenire, lucrul mecanic consumat se compune din lucrul mecanic necesar pentru învingerea rezistenței lichidului la trecerea prin supapa inversă (suprafața de sub curba $a'd'c'$) și din lucrul mecanic consumat pentru învingerea frecărilor (suprafața de sub curba $a'b'c'$).

Lucrul mecanic consumat pentru amortizare în cursa de revenire este dat în diagramă de suprafața hașurată.

Suprafața cuprinsă între curbele adc și $a'd'c'$ corespunde lucrului de histerezis (compus din lucrul lichidului și al forțelor de frecare în cursa directă și în cea de revenire).

Mărimea forțelor care acționează asupra pistonului amortizorului, indicate în diagrama amintită, depinde de forma sa constructivă; astfel, dacă orificiile de trecere în cursa directă a lichidului se micșorează, punctul d din diagramă se ridică, iar dacă se mărește suprafața acestor orificii, punctul d coboară. Dacă rezistența lichidului devine neglijabilă, în cazul unor orificii mari, amortizarea se va realiza numai prin consumarea lucrului mecanic realizat prin comprimarea aerului și învingerea frecărilor în bușe și în garnituri, această situație corespunzând unei amortizări cu aer.

Lucrul mecanic realizat prin procesul de compresie-destindere al aerului depinde de modul în care se desfășoară acest proces. El poate fi izotermic, adiabatic sau politropic, mărimea forței aerului care acționează asupra pistonului variind de la caz la caz.

Pornind de la ecuația politropei

$$(p_0 + 1)V_0^x - (p + 1)V^x, \quad (15.64)$$

se deduce forța P_a cu care aerul acționează asupra pistonului:

$$p_a = \left[(p_0 + 1) \left(\frac{V_0}{V} \right)^x - 1 \right] A, \quad (15.65)$$

unde: p — suprapresiunea inițială a aerului;
 V_0 — volumul inițial al camerei de aer;
 V — volumul la un moment dat al camerei;
 p — suprapresiunea la un moment dat al camerei de aer;
 A — suprafața pistonului;
 x — indicele transformării (în cazul transformării izoterme $x=1$, în cazul transformării adiabactice $x=1,4$).

În momentul inițial se observă că $V=V_0$, de unde rezultă

$$P_{a.0} = p_0 A.$$

Dacă pistonul se deplasează, mărimea forței P_a se schimbă. Ținând seama de imprecizia cu care se stabilește coeficientul x , notînd cu s înălțimea camerei la un moment dat și s_0 , înălțimea inițială a camerei, se poate lua:

$$p_a = \frac{p_0 A}{\left(\frac{V}{V_0} \right)^x} = \frac{p_0 A}{\left(1 - \frac{sA}{V_0} \right)^x}. \quad (15.66)$$

Știind că: $V = V_0 - sA$, relația devine:

$$P_a = \frac{p_0 A}{1 - \left(\frac{s}{s_0} \right)^x}. \quad (15.67)$$

Suprapresiunea în camera de aer, pentru o anumită poziție a pistonului, este dată de relația:

$$p = \frac{p_0 + 1}{\left(\frac{V}{V_0} \right)^x} - 1 \approx \frac{p_0}{\left(\frac{V}{V_0} \right)^x} = \frac{p_0}{\left(1 - \frac{sA}{V_0} \right)^x}. \quad (15.68)$$

La proiectare se folosesc forțele din momentul inițial, final și forța din timpul staționării. Pentru acestea rezultă relațiile:

$$P_{a0} = K p_0 A, \quad (15.69)$$

în care: K este un coeficient care ține seama de frecare; $k=1,05 \dots 1,20$;

$$P_{a \cdot final} = \frac{p_0 A}{1 - \frac{s_{final}}{s_0}}; \quad (15.70)$$

$$P_{a \cdot static} = \left[(p_0 + 1) \frac{V_0}{V} - 1 \right] A \approx K_{cor} p_0 \frac{V_0}{V} A, \quad (15.71)$$

unde K_{cor} este un coeficient de corecție; ($K_{cor} \approx 1$ la începutul cursei și $K_{cor} < 1$ la sfîrșit).

15.4.2.2. Stabilirea forțelor de frecare

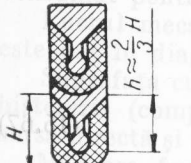
La dimensionarea amortizoarelor hidraulice și hidropneumatice trebuie să se țină seama și de forțele de frecare, și anume de frecarea, garniturilor și de frecarea în ghidaje.

Frecarea garniturilor în jamba amortizorului depinde de strîngerea inițială a pachetului de etanșare, de presiunea în jambă și de coeficientul de frecare. Strîngerea inițială este mică și este de obicei preluată chiar

de presiunea inițială din cameră, astfel că poate fi neglijată. În fig. 15.15 este reprezentată o secțiune într-o garnitură de piele.

Coefficientul de frecare depinde de materialele folosite, de prelucrarea suprafețelor care se freacă și de presiunea uleiului în amortizor.

Mărimea forței de frecare a garniturilor este dată de relația:



$$P_{fr.g} = \frac{\mu_0 \pi D h p_0}{\left(1 - \frac{sA}{V_0}\right)^x}, \quad (15.72)$$

în care: μ_0 este coeficientul de frecare;
 D — diametrul suprafeței de frecare;
 h — înălțimea de lucru a unei garnituri.

Fig. 15.15

15.4.2.3. Frecarea în ghidaje

Frecarea tijei pistonului în ghidaje depinde de particularitățile constructive ale jambei amortizorului, de forțele exterioare care acționează asupra sistemului și de coeficientul de frecare. Mărimea forței de fre-

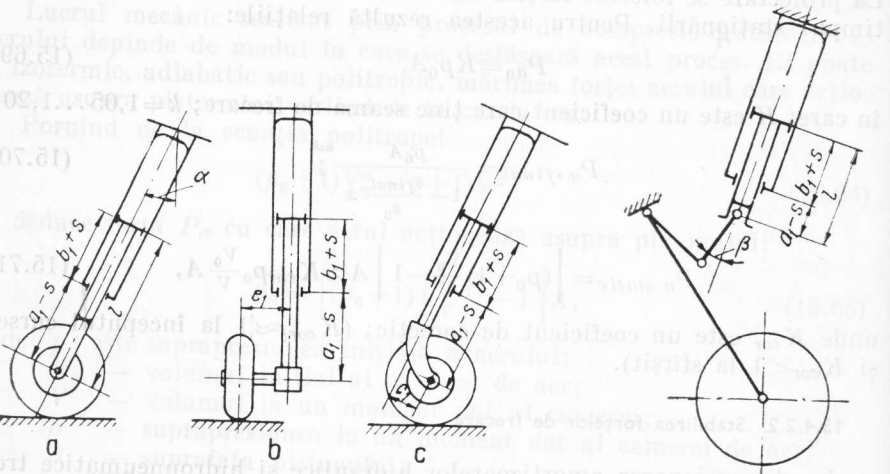


Fig. 15.16

care în ghidaje se poate calcula în mod expeditiv pe baza unei relații de forma:

$$P_{fr} = \psi P,$$

unde P este efortul total care se obține în amortizor, iar ψ o funcție de s (cursa pistonului), funcția care depinde de forma constructivă a jambei amortizorului. Expresia funcției ψ este dată în tabela 15.1, în funcție de tipul jambei indicat în fig. 15.16 și 15.17.

Tabela 15.1

Valorile funcției ψ pentru diferite tipuri de suspensii	
Tipul suspensiei	$\psi(s)$
Axială (fig. 15.16, a)	$\mu_0 \frac{2a_1 + b_1 - s}{b_1 + s} \operatorname{tg} \alpha$
În consolă (fig. 15.16, b)	$\frac{\mu_0}{b_1 + s} \left[\sqrt{(a_1 + b_1)^2 \operatorname{tg}^2 \alpha + e_1^2} + \sqrt{(a_1 - 3)^2 \operatorname{tg}^2 \alpha + e_1^2} \right]$
Cu roata deplasată în spate (fig. 15.16, c)	$\frac{\mu}{b_1 + s} [(2a_1 + b_1 - s) \operatorname{tg} \alpha - 2c_1]$
Suspensii cu pirghii de tipul bielă-manivelă (fig. 15.17)	pentru $s < a_1$
	$\mu_0 \frac{2a_1 + b_1 - s}{b_1 + s} \operatorname{tg} \beta$
	pentru $s \geq a_1$
	$\mu_0 \operatorname{tg} \beta$

15.4.2.4. Rezistența hidrolică

Forța dezvoltată de rezistența orificiilor la trecerea lichidului dintr-o cameră a amortizorului în alta este dată de relația:

$$P_1 = \frac{\rho(A_p + A_0)A_p^2}{2A_0^2} s^2 \approx \frac{\rho A_p^3}{2A_0^2} s^2, \quad (15.73)$$

iar suprapresiunea uleiului dislocuit de pistonul plonjor este dat de relația:

$$P_{ulei\ dist} = (p_u - p_a) = \frac{P_2}{A} 10^{-4} = \zeta \frac{\rho v^2}{2} 10^{-4} = \zeta \frac{\rho}{2} \left(\frac{A_p}{A_0}\right) s^2 10^{-4}, \quad (15.74)$$

în care: p_u este presiunea uleiului, în kgf/cm²;
 p_a — presiunea aerului, în kgf/cm²;
 v — viteza jetului de lichid, în m/s;
 A_p — suprafața pistonului plonjor, în m²;
 A_0 — suprafața orificiilor de trecere, în m²;

s este viteza pistonului față de cilindru, în m/s;
 ζ — coeficient de rezistență hidraulică;
 ρ — densitate lichidului, în $\text{kgf}\cdot\text{s}^2/\text{m}^4$; $\rho = \frac{\gamma}{a}$ (γ , fiind greutatea specifică).

Mărirea coeficientului de rezistență hidraulică ζ depinde de viscozitatea și de viteza de mișcare a lichidului, precum și de forma orificiului. Practic se iau pentru ζ valori cuprinse între 2 și 2,5 pentru orificii cu muchii ascuțiți și 1, 2 pentru muchii rotunjite.

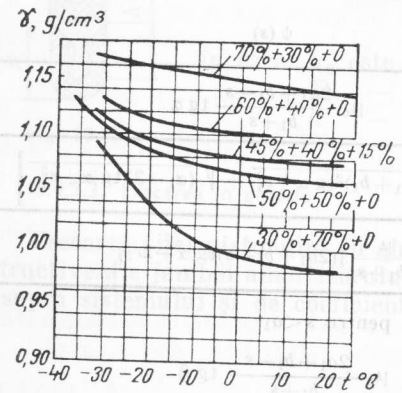


Fig. 15.18

În diagrama din fig. 15.18 se dau valorile greutății specifice γ pentru lichid de amortizor alcool-glicerină-ulei.

Mărirea suprafeței orificiilor de scurgere se stabilește pe baza relației:

$$A_0 = k's_{final} A_p \sqrt{\frac{\zeta \gamma A_p (n_s - k'')}{L_{normat\ ulei} C_{Tfinal}}} \quad (15.75)$$

în care: n_s este coeficientul de suprasarcină la exploatare (paragr. 15.4/1);

$L_{normat\ ulei}$ este lucrul mecanic normal (proiectat) pentru ulei, în $\text{kgf}\cdot\text{m}$;
 $k' = 0,4-0,5$;
 $k'' = 0,25$.

15.4.2.5. Proiectarea amortizoarelor cu ulei-aer

La dimensionarea amortizoarelor cu ulei-aer (hidropneumatice) se utilizează relațiile de calcul prezentate, ținând seamă de datele specifice construcției.

În funcție de vehiculul la care se montează amortizorul se determină inițial sarcina de staționare pe roată, și pe baza ei se stabilește pneul cauciucurilor, presiunea în cauciuc și curba de lucru (aplatisare) a cauciucului (Q în funcție de deformația y_k).

În funcție de condițiile de lucru ale autovehiculului se stabilesc masa redusă pe o roată m_{red} și mărirea lucrului mecanic de exploatare normal. Se alege coeficientul de suprasarcină la exploatare $n_s = \frac{Q_{max}}{Q_{st}}$.

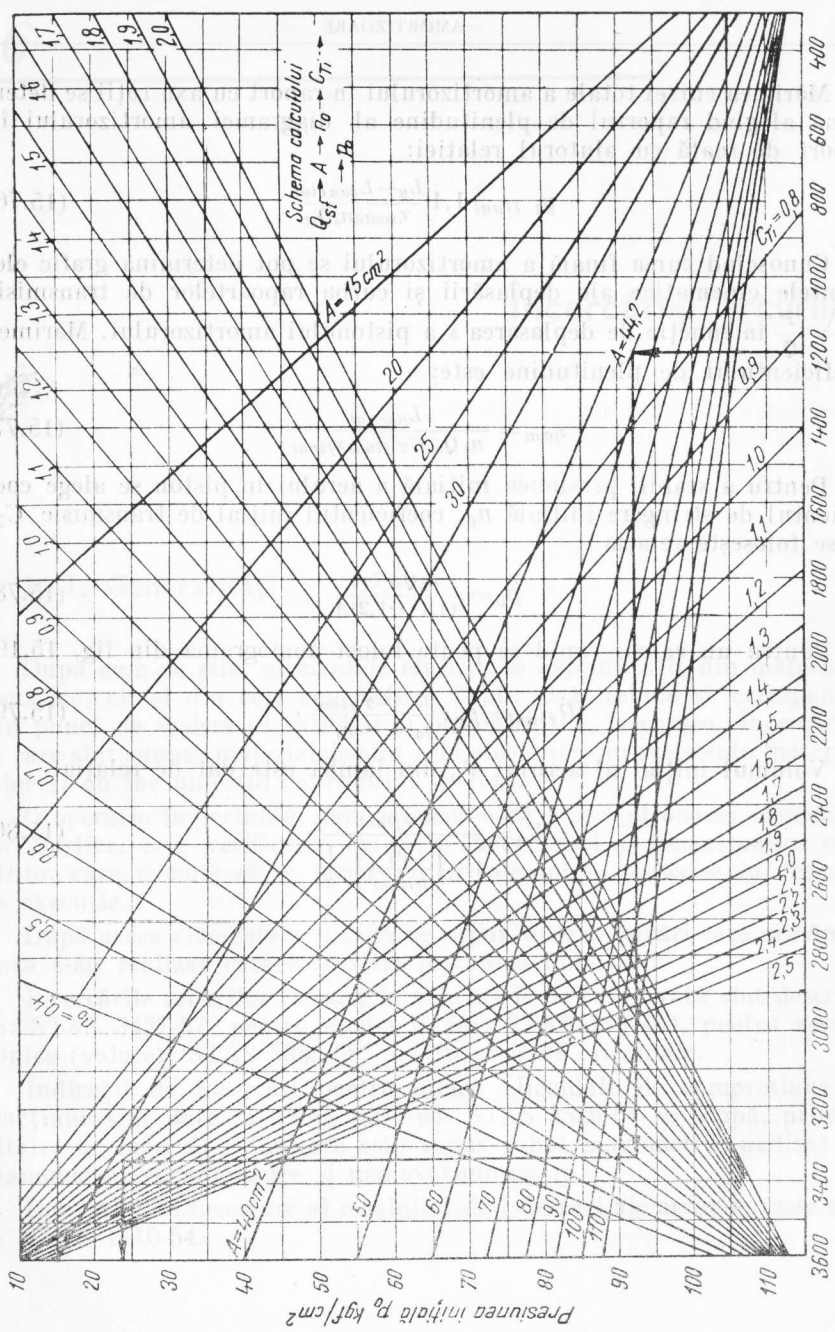


Fig. 15.19

Mărimea cursei totale a amortizorului în raport cu axa roții se determină alegând raportul de plenitudine al diagramei amortizorului în raport de roată cu ajutorul relației:

$$y_1 \text{ final } 1,1 \frac{L_u - L_{cauciuc}}{\eta_{roata} n_s Q_{st}} \quad (15.76)$$

Cunoscînd cursa finală a amortizorului se pot determina grafic elementele cinematice ale deplasării și curba rapoartelor de transmisie $C_T = \frac{P}{Q}$ în funcție de deplasarea s a pistonului amortizorului. Mărimea coeficientului de plenitudine este:

$$\eta_{am} = \frac{L_{normat}}{n_s Q_{st} C_T \text{ final } s_{final}} \quad (15.77)$$

Pentru a stabili presiunea inițială a aerului în piston se alege coeficientul de stringere inițială n_0 , coeficientul inițial de transmisie C_{Ti} și se folosește relația

$$p_0 = \frac{n_0 Q_{st} C_{Ti}}{(1,1 \dots 1,2) A} \quad (15.78)$$

Pentru un calcul rapid se poate folosi nomograma din fig. 15.19.

$$P_{final} = p_0 \cdot \frac{n_s}{n_0} \cdot \frac{C_T \text{ final}}{C_{T0}} \quad (15.79)$$

Volumul inițial al aerului V_0 din jambă este dat de relația:

$$V_0 = \frac{A \cdot s_{final}}{1 - \left(\frac{p_0}{p_{final}} \right) \frac{1}{x}} \quad (15.80)$$

Încercările arcurilor

16.1. Generalități

După cum se știe, elementele elastice se execută atât din materiale metalice, cât și din cele nemetalice. Toate însă trebuie să corespundă din punct de vedere al calității și proprietăților mecanice. Încercările la care sînt supuse materialele sînt cele obișnuite din rezistența materialelor și nu fac obiectul capitoului de față.

O operație importantă, care se efectuează la recepționarea elementelor elastice, este verificarea calității execuției și a dimensiunilor stabilite, care trebuie să se încadreze în toleranțele prescrise în desenul de execuție.

După aceea elementele elastice se supun unor încercări care urmăresc dacă s-au realizat caracteristicile mecanice impuse.

Încercările arcurilor folosite la vehiculele de cale ferată sînt descrise în: STAS 3427-57, pentru arcuri în foi; STAS 4131-59, pentru arcuri conice (volute); STAS 5885-58, pentru arcurile elicoidale.

Indicații de încercări pentru arcuri elicoidale de compresiune și tracțiune sînt date în STAS 6917-64. STAS 3589-64 se ocupă, printre altele, de încercările la care este supus tubul manometric utilizat la manometre, vacuummetre și manovacuummetre.

Domeniul de încercare al mașinilor de încercări ale arcurilor este dat în STAS 1510-54.

În general, încercările mecanice ale arcurilor se clasifică în:

- încercări la solicitări statice;
- încercări la solicitări dinamice;
- încercări la solicitări repetate (oboseală);
- încercări speciale, la care sînt supuse arcurile care lucrează în condiții deosebite (temperatură ridicată, medii corosive etc.);
- încercări ale elementelor elastice speciale (silfoane, membrane, tub manometric, amortizoare etc.).

Încercarea la solicitare statică a arcurilor este încercarea mecanică la care este supus un arc aplicînd asupra lui lent, progresiv o sarcină de tracțiune, compresiune, încovoiere sau răsucire, după direcția corespunzătoare de solicitare a arcului respectiv.

Prin încercarea statică se urmărește:

- trasarea caracteristicii reale de funcționare a arcului;
- determinarea sarcinii corespunzătoare deformației maxime a arcului sau a sarcinii corespunzătoare ruperii;
- determinarea rigidității arcului:

$$c = \frac{\text{sarcină}}{\text{deformație}} \text{ sau a flexibilității; } \frac{1}{c}.$$

Încercarea statică se poate executa prin: determinarea deformației arcului corespunzătoare unei sarcini stabilite și determinarea sarcinii necesare pentru realizarea unei deformații stabilite.

Încercarea la solicitări repetate a arcurilor sau încercarea la oboseală se execută pentru a se determina deformația remanentă după un număr oarecare de cicluri sau, din punct de vedere tehnologic, se urmărește cîte cicluri suportă arcul pînă la rupere. Prin această încercare se poate aprecia durata de funcționare a arcului.

Din seria încercărilor speciale interesează în special cele aplicate arcurilor care lucrează la temperaturi ridicate și care sînt supuse fenomenului de relaxare a tensiunilor, însoțit de deformații permanente.

16.2. Încercările arcurilor în foi

16.2.1. Încercarea la solicitare statică

Această încercare mecanică are ca scop trasarea caracteristicii arcului atât la încărcare, cît și la descărcare. Forma caracteristicii arcului este influențată de următorii factori:

- montarea corectă a foilor în arc;

- frecarea foilor între ele pe suprafețele de contact;
- modificările curburii foilor și ale formei arcului;
- diferențele relative eventuale ale caracteristicilor mecanice ale materialelor din care sînt executate foile componente.

În diagrama din fig. 16.1 este dată abaterea caracteristicii unui arc de la forma liniară, în cazul cînd unele foi sînt deplasate.

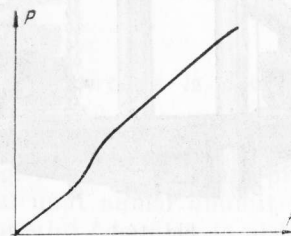


Fig. 16.1

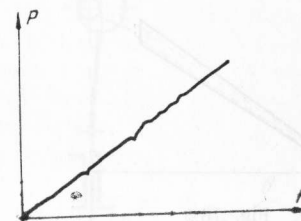


Fig. 16.2

Dacă suprafața de contact dintre foi nu este omogenă, atunci frecarea variază de la o poziție la alta a arcului deformat și caracteristica acestuia își pierde din liniaritate, avînd forma din fig. 16.2.

Caracteristica este influențată și de calitatea suprafețelor, și de ungere. Influența este sensibilă mai ales la deplasarea caracteristicii de descărcare față de cea de încărcare. În fig. 16.3 sînt date caracteristicile aceluiași arc în două situații. Cu linie plină este reprezentată caracteristica arcului neuns și cu foile ruginite, iar cu linie întreruptă caracteristica aceluiași arc cu foile curățate și unse.

Arcurile de foi se încearcă la diferite mașini de încercări mecanice, care sînt prevăzute cu dispozitive speciale de prindere a arcului.

Dispozitivul de prindere din fig. 16.4 este prevăzut cu o placă în legătură cu sistemul de producere a sarcinii, care acționează asupra legăturii arcului și două reazeme montate pe cărucioare pe role, care permit deplasarea liberă a capetelor arcului în foi sub acțiunea sarcinii.

În fig. 16.5 este reprezentată schema de funcționare a mașinii de încercat, pe care este montat un astfel de dispozitiv. Arcul 1 este montat pe cărucioarele pe role 2, care se pot deplasa liber pe traversa 3. Sarcina se aplică legăturii arcului de către tija 4 a pistonului unei mașini hidraulice.

Valoarea sarcinii se măsoară cu un manometru-pendul. Presiunea din cilindrul principal este transmisă în cilindrul 5 al manometrului și prin intermediul pistonului 6 este pus în mișcare echipamentul mobil

al manometrului împreună cu contragreutatea 7. Un ac indicator dă posibilitatea citirii valorii sarcinii. Deformația sub sarcină este indicată

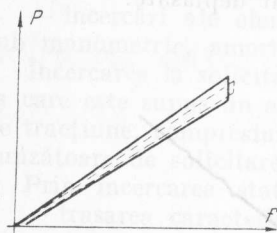


Fig. 16.3

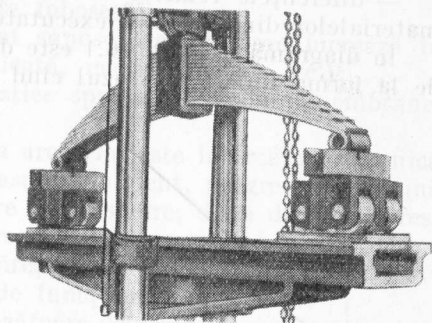


Fig. 16.4

pe o scară gradată montată pe coloana fixă a mașinii de încercat de către un indicator fixat pe pistonul mașinii. Pentru o măsurare mai precisă se utilizează ceasuri comparatoare cu precizia indicației de 0,01 mm, montate pe traversa fixă și acționate prin deplasarea legăturii arcului.

Pentru încercarea la solicitare statică, sarcina se aplică progresiv de la valoarea zero pînă la valoarea sarcinii de probă.

Sarcina statică maximă, conform STAS 3427-57, este:

$$P_{max} = \frac{\sigma n b h^2}{1,5 \times 2 l_1} \quad (16.1)$$

unde:

- σ — este rezistența oțelului pentru arcuri, în kgf/mm²;
- n — numărul de foi;
- b — lățimea foii, în mm;
- h — grosimea foii, în mm;
- $2l_1$ — distanța între axele ochiurilor în stare îndreptată a foii principale.

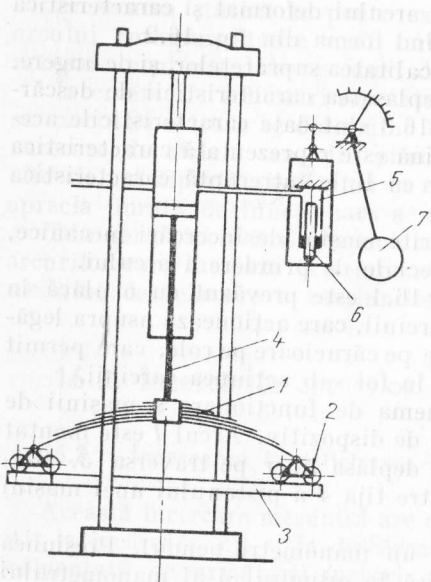


Fig. 16.5

Sub sarcina de probă dată de relația (16.1) se urmărește realizarea săgeții indicate pe desen. După descărcarea arcului se verifică dacă deformația remanentă se încadrează în limitele admise.

Pentru obținerea caracteristicii arcului la încărcare și la descărcare se înregistrează un număr suficient de valori sarcină-deformație, cu care se poate trasa prin puncte linia caracteristică.

16.2.2. Încercarea la oboseală

Încercarea la oboseală a arcurilor (fig. 16.6) se realizează prin aplicarea unui număr anumit de cicluri arcului 1 de către un piston 2, acționat de un excentric 3. Capetele arcului sînt montate pe cărucioarele 4, care se pot deplasa pe traverse 5. Printr-un sistem hidraulic sarcina este măsurată la manometrele 6. Mașina are adaptat un contor pentru înregistrarea numărului de cicluri la care este supus arcul.

Încercarea se poate efectua prin înregistrarea numărului de cicluri pînă la rupere sau prin măsurarea deformației remanente pentru un anumit număr de cicluri.

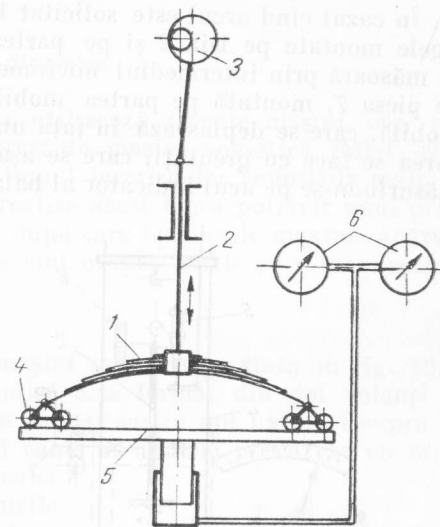


Fig. 16.6

16.3. Încercările arcurilor elicoidale de compresiune și tracțiune

16.3.1. Încercarea la solicitarea statică

La această încercare sarcina se aplică progresiv pînă la valoarea sarcinii maxime care, la arcurile de compresiune, este realizată atunci cînd spirele vin în contact. Pentru arcurile de tracțiune ea este indicată pe desen.

În fig. 16.7 este reprezentată o mașină de încercat arcuri, în general pentru sarcini mici.

Arcul de compresiune 1 este montat între două platouri plane. Tija 2, la care este montat unul dintre platouri, poate fi deplasată prin sistemul de manivele 3, atât cu manevrare rapidă, cât și cu manevrare lentă, prin intermediul unui șurub melc-roată melcată.

În cazul când arcul este solicitat la întindere, el se fixează între cîrligele montate pe tija 2 și pe partea mobilă 4 a mașinii. Deformația se măsoară prin intermediul micrometrului 5, fixat pe tija 2 și acționat de piesa 7, montată pe partea mobilă și de rigla 6 montată pe partea mobilă, care se deplasează în fața unui indicator fixat pe tija 2. Încărcarea se face cu greutatea, care se așază pe platanul 8, sarcina aplicată măsurîndu-se pe acul indicator al balanței 9. Pentru descărcare aparatul este prevăzut cu amortizorul hidraulic 10.

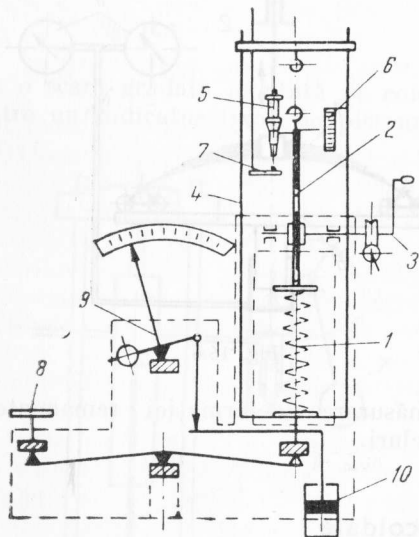


Fig. 16.7

Pentru arcuri care lucrează la sarcini mari se utilizează mașini de încercat cu acționare mecanică sau hidraulică. Arcul se montează între platouri, dacă se încarcă la compresiune sau se fixează în cîrlige pentru încercarea la tracțiune.

Încercările statice se execută în următoarele situații:

Încercări de elasticitate de scurtă durată, la care se aplică sarcina pentru realizarea înălțimii minime timp de 2—3 min (pentru compresiune). La arcurile de tracțiune se aplică sarcina maximă calculată. După descărcare se măsoară înălțimea arcului a cărei variație trebuie să fie cuprinsă în toleranțele admise.

Încercări de flexibilitate, la care se aplică sarcina progresiv, pînă la sarcina maximă. Se determină flexibilitatea (inversul rigidității c), în $\frac{\text{mm}}{\text{tf}}$.

Încercări de elasticitate de lungă durată. Se execută o comprimare sau întindere timp de 2—3 min, după care se descarcă arcul, supunîndu-se după aceea aceleiași sarcini timp de 48 de ore. Se măsoară înălțimea arcului după fiecare solicitare, urmărind ca ea să se înscrie în toleranțele admise.

Se poate trasa caracteristica reală de funcționare a arcului (încărcare-descărcare), măsurîndu-se diverse valori ale sarcinii și săgeții corespunzătoare.

16.3.2. Încercarea la solicitări dinamice

Pentru acest fel de încercări se utilizează diferite mașini, care pot produce sarcini repetate. Se va prezenta mașina sovietică IMI-1, care are avantajul de a reproduce în timpul încercărilor condițiile reale de funcționare ale arcului. Se poate realiza acest lucru potrivit unui principiu din rezistența materialelor, după care tensiunile maxime apărute în arcul supus deformării dinamice sînt proporționale cu suma maximă a vitezelor $\left[\sum_{i=1}^n v_i \right]_{max}$.

Schema cinematică a acestei mașini este reprezentată în fig. 16.8.

Mecanismul de solicitare dinamică este format din doi volanți 1, care sînt montați pe arborele principal și susțin opt axe 2. Fiecare ax are la capete rolele 3 și cite două came 4. Camele prevăzute cu arcurile lamelare 5 se pot deplasa împreună cu axele în direcție radială în tăieturile volanților, cu ajutorul unor șuruburi și glisiere. Rolele se deplasează pe șabloanele de copiat 6, care asigură o mișcare rectilinie a camelor pe porțiunea compresiunii forțate a arcurilor încercate. Solicitarea arcurilor se realizează cu ajutorul camelor prin intermediul flanșei 7. Arcurile studiate 8, așezate pe ghidajele fixe 9, se reazemă cu capetele inferioare, prin intermediul flanșei, pe capul special 10, asupra căruia acționează capetele mecanismului de solicitare dinamică. Acest cap lunecă de jos în sus pe tija centrală 11, comprimînd arcurile. Pentru absorbirea energiei părților mobile, la capătul cursei (atunci cînd capul 10 se află în poziția superioară și inferioară sînt prevăzute dispozitivele

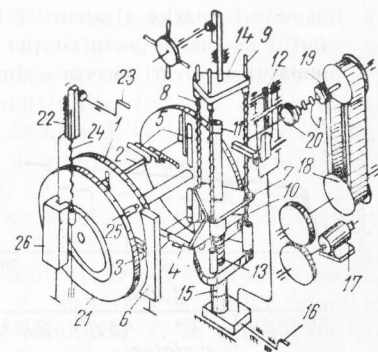


Fig. 16.8

speciale de amortizare 12 și 13. Reazemul superior al arcurilor, care constă în glijiera 14, are posibilitatea să se deplaseze în ghidajele colectorului cu ajutorul unei cremaliere. Reglarea cursei capătului mobil al arcului se realizează prin coborîrea sau ridicarea capului 10 cu ajutorul garniturii de inele 15. Prin reglarea razei loviturii, întregul colector se deplasează pe batiu cu ajutorul șurubului 16, în direcție orizontală. Principiul care stă la baza mișcării capătului mobil al arcului poate fi înregistrat cu ajutorul unui vitezymetru cu tambur de înregistrare. Mașina este acționată de motorul electric 17, prevăzut cu variatorul de viteză 18. Cuplul este transmis arborelui mașinii prin cuplajul cu discuri de fricțiune 19, care poate fi blocat de frâna cu discuri 20. Volantul 21 reprezintă un dispozitiv de copiere avînd un canal al cărui profil corespunde principiului prescris de solicitare.

Mașina mai este înzestrată cu suportul 22, pe care se află dispozitivul 23, pentru fixarea și reglarea arcului 24. La rotirea volantului, tijă 25 se deplasează cu una din rolele sale pe profilul canalului volantului, iar cu a doua rolă în ghidajul liniar 26, fixat pe suport. În acest fel, arcul studiat este comprimat între tijă și dispozitivul 23, după principiul care stă la baza solicitării.

Caracteristicile mașinii sînt următoarele:

cursa de lucru a arcului	2—150 mm;
numărul de lovituri	400—350/min;
diametrul interior al arcurilor încercate	2—40 mm;
efortul maxim de lucru (static)	pină la 90 kgf;
numărul de arcuri încercate simultan 1 sau 3.	

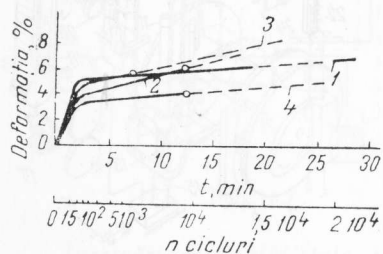


Fig. 16.9

Pe porțiunea linie continuă este reprezentată rezistența la oboseală a arcurilor fără deteriorări, iar pe porțiunea linie întreruptă, zona deteriorărilor.

Arcurile încercate sînt executate din oțel Arc 3 și au: $d=1,2$ mm, $D_m=10,4$ mm, $H_0=410$ mm. Viteza maximă de comprimare este de 10,4 m/s, iar numărul ciclurilor 740 cicluri/min.

Se observă din figură că în cazul arcurilor încercate, care lucrează cu ciocnirea reciprocă a spirelor prin inerție, prelucrarea cu alic mărește rezistența la oboseală.

Un factor foarte important care influențează rezistența la oboseală este deci modul de prelucrare a suprafeței arcurilor.

16.3.3. Încercarea de relaxare a tensiunilor

Pentru arcurile care lucrează la temperaturi înalte este necesară încercarea de relaxare, care constă în măsurarea deformației remanente a arcurilor menținute un anumit timp la temperaturi înalte sub sarcină constantă.

Dispozitivele utilizate se compun dintr-un mecanism de încărcare, construit din oțel inoxidabil și dintr-un comparator de tip ceasornic, cu diviziuni de 0,01 mm, pentru măsurarea variației înălțimii arcurilor înainte și după încercare. Un astfel de mecanism de încărcare utilizat este reprezentat în fig. 16.10.

El este format din garnitura de plăci de formă pătrată 1 și 2, între care se montează pe axa dispozitivului bușele fixe 3, pentru orice înălțime a arcului încercat. Strângerea axială se realizează cu șurubul 4.

Fiecare placă 2 are nouă găuri prin care sînt trecute știfturile de fixare 5, acestea servind și ca dornuri pentru arcuri. Numărul de arcuri introduse în dispozitiv depinde de dimensiunile lor. În dispozitivul din figură, realizat pentru un tip anumit de arcuri, se introduc simultan 54 de arcuri. Înălțimea de comprimare a arcurilor s-a determinat în funcție de efortul unitar inițial prescris.

Măsurarea variației săgeții arcurilor se efectuează la un dispozitiv special cu „electrosondă”, reprezentat în fig. 16.11.

Dispozitivul este format din placa de control 1, șublerul de trasaj 2, cu două brățări mobile, comparatorul 3, suportul 4 izolat electric de talpa 5, lampa 6 și transformatorul de laborator 7. În prealabil dispozitivul se reglează la zero cu o cală planparalelă.

La măsurătorile următoare, comparatorul indică abaterea înălțimii față de înălțimea inițială. Atingerea cît de slabă a marginii arcului 8 de planul de măsurare a șublerului este înregistrată prin aprinderea lămpii electrice. Săgeata inițială se poate calcula ca diferență a înălțimii libere a arcului și a înălțimii sale de strîngere.

Tensiunea inițială creată în arc are valoarea:

$$\tau_0 = \frac{8D_0 k P_0}{\pi d_0^3} \tag{16.2}$$

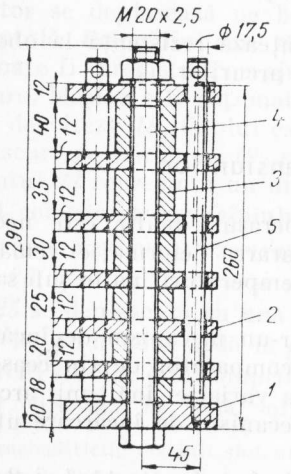


Fig. 16.10

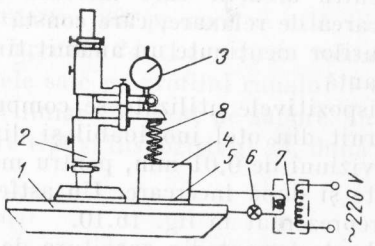


Fig. 16.11

sau

$$\tau_0 = \frac{d_0 k G_0}{D_n D_0^2} f_0 \tag{16.3}$$

unde:

- τ_0 — este efortul unitar, în kgf/mm²;
- D_0 — diametrul mediu, în mm;
- d_0 — diametrul sîrmei, în mm;
- n — numărul spirelor, de lucru;
- f_0 — săgeata, în mm;
- G_0 — modulul de elasticitate transversal, kgf/mm²;
- P_0 — sarcina, în kgf;
- k — un coeficient de corecție, care depinde de forma secțiunii și de raportul de formă al arcului. Indicele „0” se referă la valorile măsurate la temperatura camerei.

Dispozitivul se introduce într-un cuptor electric, se încălzește pînă la temperatura prescrisă, se menține un timp determinat și apoi se răcește.

Se măsoară la dispozitivul descris săgeata remanentă f_t .

Efortul unitar corespunzător acestei săgeți:

$$\tau_t = \frac{d_0 k G_0}{n D_0^2} f_t \tag{16.4}$$

sau

$$\tau_t = \frac{f_t}{f_0} \tau_0 \tag{16.5}$$

Pierdere de tensiune:

$$(\Delta \tau)_t = \frac{(f_0 - f_t)}{f_0} \tau_0 \tag{16.6}$$

Indicele „t” se referă la valoarea care caracterizează temperatura de încercare t°C.

Construind curbe de variație a efortului unitar τ funcție de timpul de menținere sub sarcină la o temperatură dată, se observă o scădere mare la început și o scădere ulterioară destul de lentă a tensiunii τ . În fig. 16.12 sînt trasate curbele de relaxare pentru temperatura de 180°C (fig. 16.12, a), 300°C (fig. 16.12, b) și 400°C (fig. 16.12, c) pentru un arc efectuat din oțel 30 Cl30 (curba 1), oțel 40Cl30 (curba 2) și oțel Arc 1 (curba 3).

Această încercare are o mare importanță pentru studiul comportării arcurilor care lucrează la temperaturi înalte. Prin utilizarea unor materiale corespunzătoare se realizează arcuri la care variația efortului unitar este redusă, prezentînd stabilitate în timp, în scopul păstrării proprietăților mecanice la temperaturi înalte.

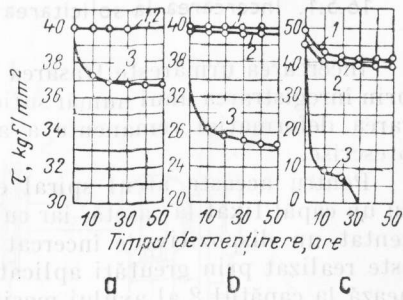


Fig. 16.12

16.4. Încercarea arcurilor elicoidale de torsiune

Încercarea statică se realizează prin aplicarea gradată a unui moment de răsucire a axului la care este montat arcu. În fig. 16.13 este repre-

zentată o schemă a dispozitivului de încercat arcuri elicoidale de răsucire care pot prelua sarcini mici. Sarcina se aplică prin intermediul unui disc acționat tangențial de o serie de greutateți așezate pe un taler. Arcul 1 are un capăt prins în piesa fixă 2, iar celălalt capăt în discul mobil 3. Greutățile 4 produc un moment de răsucire a discului. Discul are trasat pe el gradații, dând posibilitatea citirii unghiului său de rotație. După încercarea la momentul de răsucire prescris se descarcă arcul și se citește deformația unghiulară remanentă. Încercările arcurilor care pot prelua sarcini mari fac după aceeași schemă, producerea sarcinii realizându-se prin metodele mecanice.

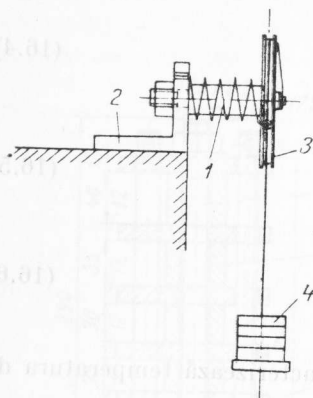


Fig. 16.13

16.5. Încercările arcului spiral plan

16.5.1. Încercarea la solicitarea statică

Încercarea urmărește trasarea caracteristicii de funcționare a arcului prin înregistrarea unui număr suficient de valori moment-unghi sau măsurarea deformației remanente a arcului în urma aplicării unei sarcini prescrise.

Pentru aceasta arcul spiral este montat în interiorul unei casete, cu un capăt fixat la casetă, iar cu celălalt la ax. În fig. 16.14. este reprezentat un dispozitiv de încercat arcuri spirale mici, la care momentul este realizat prin greutateți aplicate la capătul pîrghiei 1. Pîrghia acționează la capătul 2 al axului mașinii de încercat. Axul e montat în două lagăre 3, în partea din față aflîndu-se caseta 4, în care se montează arcul spiral 5. Deformația unghiulară este indicată pe cadranul 6.

Pentru arcuri mai mari, care necesită unghiuri mari de rotație, se utilizează instalația din fig. 16.15, unde sarcina este aplicată axului 1, prin intermediul rolei solidare cu el, 2. Rola este acționată, în funcție de mărimea cuplului, de un cablu fixat pe ea fie încărcat la un capăt cu greutatețile 3, fie tras pe verticală în sus de mecanismul de ridicare

al unei macarale prin intermediul dinamometrului 4, pentru măsurarea sarcinii.

Instalația este asemănătoare cu cea precedentă, arcul 5 fiind montat în caseta 6.

Un exemplu de caracteristică a unui arc spiral este dat în fig. 16.16, unde se observă diferențe între curba de încărcare 1 și cea de descărcare 2.

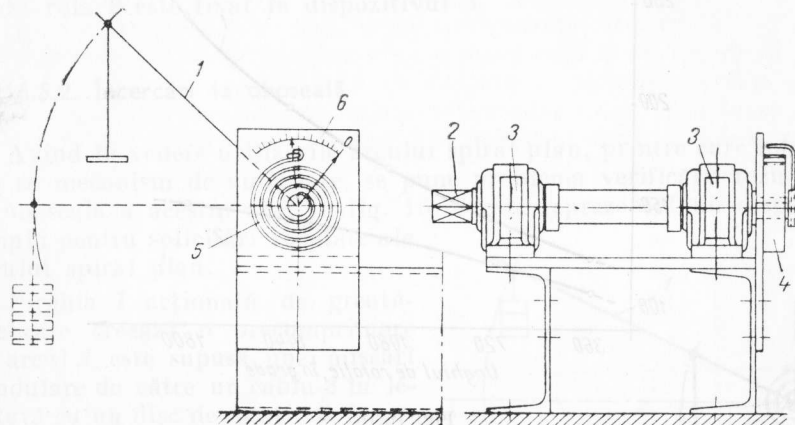


Fig. 16.14

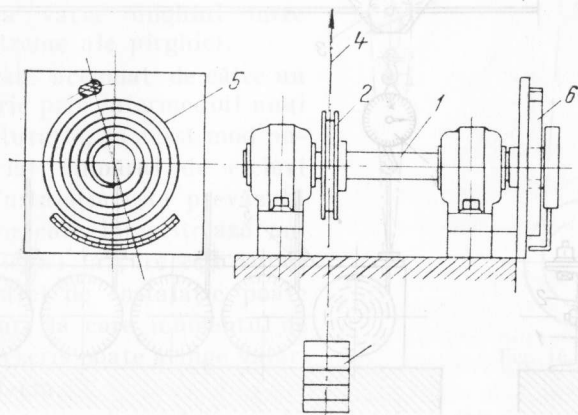


Fig. 16.15

Diferența este accentuată pentru unghiuri mari de rotație, cînd spi-
rele arcului vin în contact și cînd intervine frecarea dintre ele.
Arcul spiral este supus și încercării statice de durată. Pentru aceasta
el este menținut încărcat sub sarcina de probă timp de 48 de ore, după

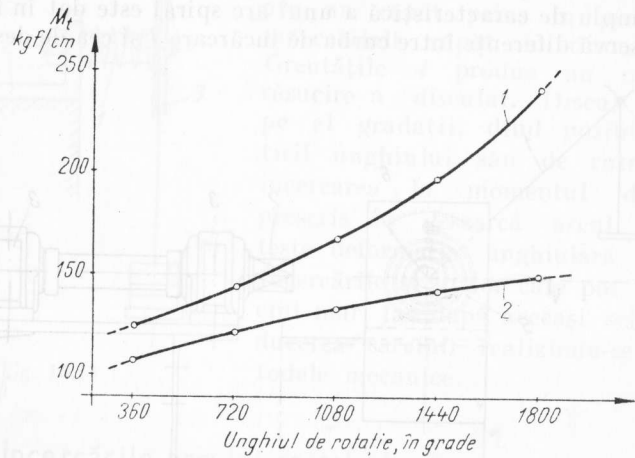


Fig. 16.16

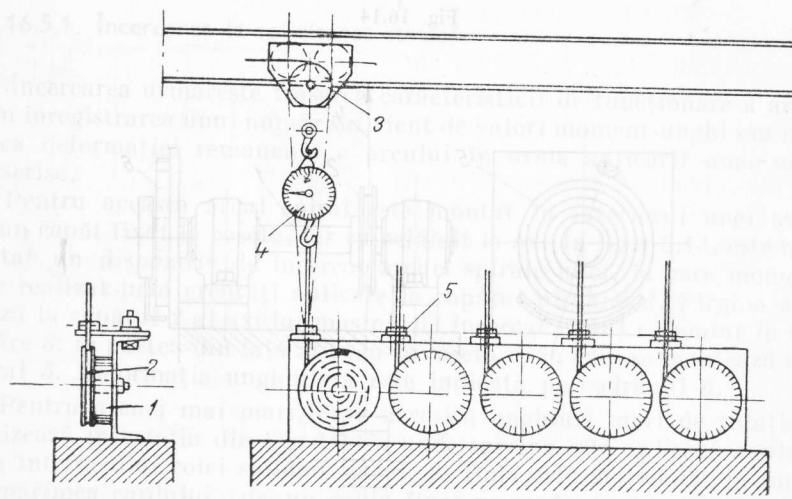


Fig. 16.17

care, descărcîndu-se, se măsoară deformația unghiulară remanentă.
În fig. 16.17 este reprezentat un dispozitiv pentru încercarea de durată
a mai multor arcuri.

Arcul montat în caseta 1 este acționat prin intermediul rolei 2 de
către mecanismul de ridicare 3 al unei macarale, prin intermediul dina-
mometrului 4. După încărcarea la sarcina prescrisă, cablul care acțio-
nează rola 2 este fixat în dispozitivul 5.

16.5.2. Încercări la oboseală

Avînd în vedere utilizările arcului spiral plan, printre care folosirea
lui ca mecanism de antrenare, se pune problema verificării rezistenței
la oboseală a acestui arc. În fig. 16.18 este reprezentat un dispozitiv
simplu pentru solicitări repetate ale
arcului spiral plan.

Pîrghia 1 acționată de greută-
țile care creează o precomprimare
în arc 2, este supusă unei mișcări
pendulare de către un cablu 3 în le-
gătură cu un disc de rotație 4. Legă-
tura se face printr-un bolț cu rul-
ment, raza la care se montează bol-
țul pe disc putînd fi modificată, pen-
tru a putea varia unghiul între
pozițiile extreme ale pîrghiei.

Discul este acționat de către un
motor electric prin intermediul unui
variator de turație, în acest mod pu-
tînd fi variat numărul de cicluri
pe minut. Instalația este prevăzută
cu un contor care înregistrează nu-
mărul de cicluri la care este supus
arcul. O astfel de instalație poate
încerca arcuri la care momentul de
încercare prescris poate atinge valori
de 7 500 kgf·cm.

După efectuarea încercării se măsoară deformația remanentă a arcului,
care trebuie să se încadreze în toleranțele impuse.

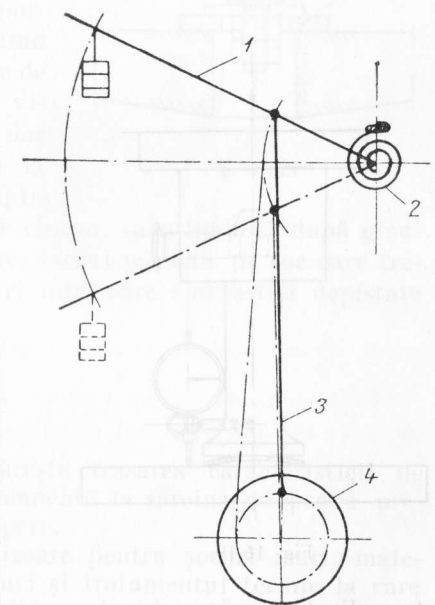


Fig. 16.18

16.6. Încercarea arcurilor-disc

16.6.1. Încercarea la solicitări statice

În funcție de forța pe care o poate dezvolta mașina încercarea se poate face pentru un singur disc sau pentru arcul-disc grupat.

În fig. 16.19 este reprezentat schematic un disc montat în dispozitivul de încercare al unei mașini. Deformația discului este înregistrată cu un ceas comparator cu precizia de 0,01 mm.

În cazul încercării unui arc-disc grupat se utilizează mașini puternice de tipul celor utilizate în laboratoarele de rezistența materialelor pentru încercări mecanice.

În fig. 16.20 este reprezentată schema instalației de încercat pentru un astfel de arc. Arcul-disc 1 este montat pe dornul 2, asupra căruia

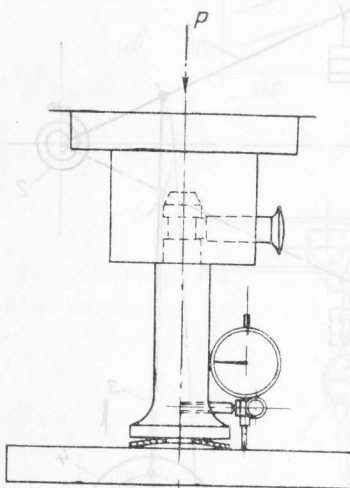


Fig. 16.19

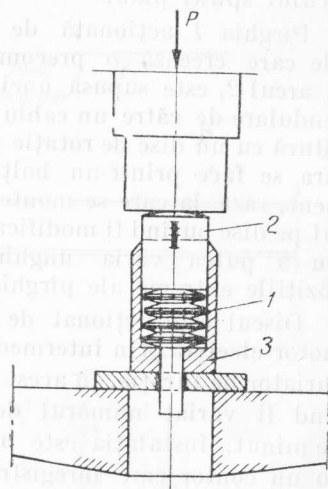


Fig. 16.20

este aplicată sarcina. Arcul se montează în interiorul carcasei 3, care servește la ghidare și ca protecție în cazul ruperii vreunui disc. Deformația se măsoară pe o scară gradată trasată pe dorn sau montând corespunzător un comparator. După descărcare se măsoară deformația remanentă.

Pentru încercarea statică de durată se menține arcul sub sarcina de probă 48 de ore. Pentru a nu ține mașina imobilizată se utilizează sistemul din fig. 16.21.

Arcul-disc 1 este imobilizat pe dornul 2 printr-un sistem piuliță-contrapiuliță 3. La scoaterea de sub sarcină se readuce montajul la mașina de încercat, se realizează o apăsare puțin superioară celei inițiale și se desfac piulițele. Se măsoară, de asemenea, deformația remanentă, care trebuie să se încadreze în limitele impuse.

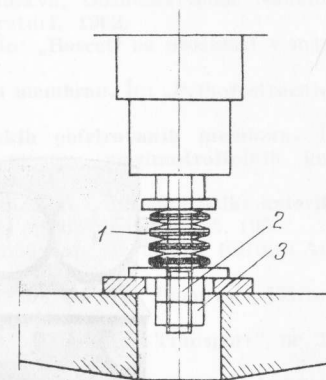


Fig. 16.21

16.6.2. Încercarea dinamică

La arcurile-disc, de o mare importanță este comportarea la șoc, ele fiind folosite în multe situații ca amortizoare de șoc. Defectele ascunse nu influențează vizibil comportarea la sarcina statică, dar influențează foarte mult comportarea la șoc. Încercarea dinamică constă din aplicarea asupra arcului a unei lovituri de ciocan, calculându-se după greutatea ciocanului și înălțimea de cădere, lucrul mecanic de șoc care trebuie preluat de arc. Arcurile cu fisuri interioare sînt astfel depistate și înlăturate.

16.7. Încercările arcurilor inelare

Încercarea arcurilor inelare urmărește trasarea caracteristicii de funcționare a acestora, deformația remanentă la sarcina de probă presisă și determinarea sarcinii de rupere.

Dat fiind importanța lor ca amortizoare pentru șocuri mari, materialului din care se execută aceste arcuri și tratamentul termic la care sînt supuse li se dă o atenție deosebită.

Încercarea statică se realizează la o mașină de încercat cu platouri între care se așază arcul inelar (fig. 16.22).

După supunerea la sarcină de probă se măsoară deformația remanentă.

Încercarea de durată se realizează prin aplicarea statică a sarcinii

și menținerea sub sarcină 48 de ore. Se înregistrează, de asemenea, deformația remanentă a arcului.

Arcul este supus și încercării dinamice în mod asemănător arcului inelar, prin aplicarea unei lovituri de ciocan. Inelele care se distrug sînt înlocuite fără a fi nevoie să se înlocuiască întreg arcul.

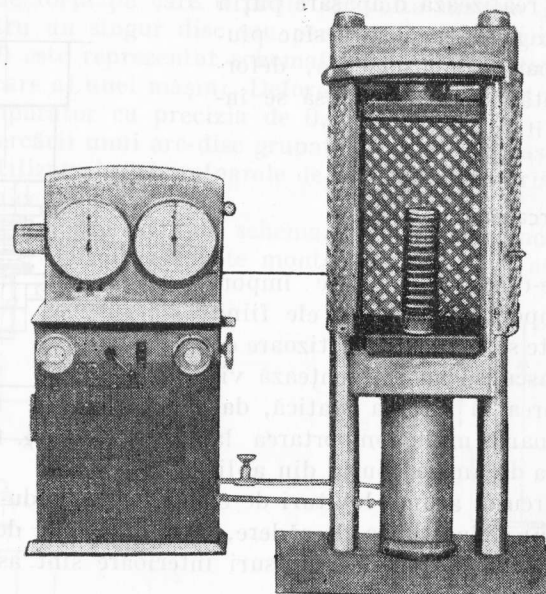


Fig. 16.22

Încercările de rezistență la oboseală se execută la prese cu excentric. Se înregistrează numărul de cicluri la care rezistă arcul pînă la rupere și, funcție de aceasta, numărul de cicluri pentru care arcul are o funcționare sigură. Se măsoară deformația remanentă a arcului după numărul de cicluri prescris, urmărindu-se ca ea să se încadreze în limitele impuse.

Cititorul este rugat să completeze acest chestionar și să-l trimită pe adresa:

**Editura tehnică
Redacția Construcției de mașini
București, str. Știrbei Vodă nr. 37**

**ELEMENTELE
ELASTICE
ALE
MAȘINILOR**

Numele

Întreprinderea la care lucrează

Atelierul, Secția, Serviciul

Profesiunea și funcția

Studii

Considerați că această carte vă este utilă, în ce măsură și din ce motive

.

.

.

.

Ce cărți tehnice care să fie foarte utile activității dv. profesionale ați dori să edităm (titluri și, eventual, detalii cu privire la conținutul dorit)

.

.

.

.

.

.

.